Indice

1. Indice generale degli argomenti **pag. 2**

2. Indice analitico delle Tavole **pag. 3**

3. Bibliografia **pag. 13**

4. Premessa alle Tavole **pag. 20**

1. Indice generale degli argomenti

1. Architravi e Piattabande: **pag. 21**
· Piattabande piane;
· Piattabande spaziali.

2. Volte piane: **pag. 33**
· A pianta circolare;
· A pianta quadrata;
· Trasformazioni geometriche: piano-cilindro-sfera.

3. Archi: **pag. 47**
· Archi piani;
· Archi obliqui;
· Archi spaziali.

4. Volte a botte: **pag. 77**
· Botte retta;
· Botte obliqua;
· Botte anulare.

5. Arriere- voussure (Volta dietro un vano): **pag. 105**
· Arriere-voussure de Montpellier;
· Arriere-voussure de Marseille;
· Arriere-voussure de St. Antoine.

6. Volte in aggetto: **pag. 119**
· Trompe coniche;
· Trompe sferiche;
· Trompe cilindriche;
· Trompe a sup. di rotazione;
· Trompe a sup. rigata.

7. Volte a ventaglio: **pag. 251**
· Con intradosso decorato;
· Con intradosso liscio.

8. Cupole: **pag 263**
· Sferiche;
· Ellittiche.

9. Volte Composte: **pag. 287**
· A sviluppo verticale;
· A sviluppo orizzontale.

10. Scale: **pag. 321**
· Elicoidali;
· Spaziali.

11. Stereotomia e modellazione parametrica **pag. 373**

2. Indice analitico delle Tavole

TAV. n°:

1. "Unità formale classica";
2. "Unità formale anticlassica" (disegno di invenzione);
3. Architrave-piattabanda: ammorsatura - esploso;
4. Architrave-piattabanda: vista;
5. Architrave-piattabanda: dettagli;
6. Architrave-piattabanda: portico d'ingresso della Cappella di Anet (P. Delorme), Francia;
7. Architrave-piattabanda: ricostruzione - esploso - del portico d'ingresso della Cappella di Anet (P. Delorme), Francia;
8. Piattabanda con giunti verticali all'esterno e convergenti all'interno;
9. Piattabanda con giunti verticali all'esterno e convergenti all'interno, esplo so;
10. Piattabanda in un muro a scarpa;
11. Piattabanda in una torre rotonda a scarpa;
12. Piattabanda in una torre rotonda;
13. Piattabanda in una torre rotonda: elicoidale e orizzontale;
14. Volta piana circolare con quattro appoggi;
15. Volta piana circolare con quattro appoggi, esploso;
16. Volta piana con apparecchiatura a quadrati concentrici;
17. Volta piana con apparecchiatura a quadrati concentrici, esploso;
18. Tecnica di deformazione cilindrica della volta piana, secondo il sistema di apparecchiatura di Abeille;
19. Tecnica di deformazione cilindrica della volta piana, rapporto deformazio ne/angolo;
20. Tecnica di deformazione cilindrica della volta piana, rappresentazione grafi ca delle funzioni e dei parametri;
21. Tecnica di deformazione cilindrica della volta piana, modello solido della volta indeformata;
22. Tecnica di deformazione cilindrica della volta piana, secondo il sistema di a pparecchiatura di Abeille, modello volta deformata: elemento;
23. Tecnica di deformazione cilindrica della volta piana, secondo il sistema di apparecchiatura di Abeille, modello volta deformata: proiezioni;
24. Tecnica di deformazione sferica della volta piana, secondo il sistema di apparecchiatura di Abeille, modello volta deformata: generalizzazione;
25. Tecnica di deformazione sferica della volta piana, secondo il sistema di apparecchiatura di Abeille, modello volta deformata: viste;
26. Volta piana, secondo il sistema di apparecchiatura di Abeille: prototipo rea lizzato presso i laboratori dell'Ille d'Abeau, Lione - Francia;
27. Finta bifora;
28. Finta bifora: tecnica del tracciato geometrico dell'apparecchiatura;
29. Finta bifora: tecnica del tracciato geometrico, Foto: esempio in una corte del centro antico di Lione - Francia;
30. Arco con intradosso conico o corno di vacca;
31. Arco con intradosso conico o corno di vacca con decorazione a cassettone;
32. Doppio arco conico a tutto sesto;
33. Arco obliquo, biais passé: trattati;
34. Arco obliquo, biais passé: modello esplicativo;
35. Arco obliquo, biais passé: intradosso e ipografia;
36. Arco obliquo, biais passé: disegno d'invenzione;
37. Arco obliquo, biais passé all'interno di un arco;
38. Arco obliquo, biais passé con direttrice ellittica;
39. Arco obliquo, biais passé con direttrice ellittica: ipografia, vista dell'intra dosso, apparecchiatura;
40. Ponte obliquo, con direttrice a curva policentrica;
41. Ponte obliquo, con direttrice a curva policentrica: immagini del fronte e d'intradosso;
42. Arco obliquo rampante, con direttrice a curva policentrica: disegno d'inven zione;

TAV. n°:

43. Arco obliquo rampante, con direttrice a curva policentrica: disegno d'inven zione - scala;
44. Archi spaziali ad intradosso cilindrico: G. Guarini, J.B. Rondelet;
45. Archi spaziali ad intradosso cilindrico: processo generativo;
46. Archi spaziali ad intradosso cilindrico: archi e sviluppo dei conci;
47. Archi spaziali ad intradosso cilindrico: archi e sviluppo dei conci - volumi;
48. Archi spaziali ad intradosso conoidale: Torino, San Lorenzo, navata;
49. Cono/conoide guariniano e genesi dell'arco spaziale: Torino, San Lorenzo, navata;
50. Composizione virtuale della sequenza degli archi spaziali: Torino, San Lorenzo, navata;
51. Composizione virtuale della sequenza degli archi spaziali - sezione prospet tica e vista dall'alto: Torino, San Lorenzo, navata;
52. Arco a tutto sesto in una torre rotonda a scarpa (in una sup. conica);
53. Arco a tutto sesto in una torre rotonda a scarpa (in una sup. conica): gene si formale;
54. Arco sull'angolo in un muro a piombo;
55. Arco sull'angolo in un muro a piombo: modello;
56. Carpenteria lignea cilindrica dalle nuove invenzioni per costruire a piccoli pezzi;
57. Carpenteria lignea cilindrica dalle nuove invenzioni per costruire a piccoli pezzi: prototipo;
58. Carpenteria lignea cilindrica dalle nuove invenzioni per costruire a piccoli pezzi: sequenza del montaggio;
59. Carpenteria lignea cilindrica dalle nuove invenzioni per costruire a piccoli pezzi: prototipo - dettaglio del nodo;
60. Volta a botte con motivo intradossale ad intreccio (P. Delorme): ingresso del Castello di Anet, Francia;
61. Volta a botte con motivo intradossale ad intreccio (P. Delorme): vista pro spettica e ipografia;
62. Volta a botte con motivo intradossale ad intreccio (P. Delorme): proiezioni;
63. Volta a botte con motivo intradossale ad intreccio (P. Delorme): vista asso nometrica e sezione longitudinale;
64. Volta a botte con motivo intradossale ad intreccio (P. Delorme): modello reale e virtuale;
65. Volta a botte con motivo intradossale ad intreccio (P. Delorme): modello reale;
66. Volta a botte con motivo intradossale a cassettone (J. Chéreau): modello reale e virtuale;
67. Volta a botte con motivo intradossale a cassettone (J. Chéreau): analisi fol. 102 v, m.s.;
68. Volta a botte con motivo intradossale a cassettone (J. Chéreau): apparec chiatura;
69. Volta a botte con motivo intradossale a cassettone (J. Chéreau): modello globale, w.f.;
70. Volta a botte con motivo intradossale a cassettone (J. Chéreau): modello globale;
71. Volta a botte con motivo intradossale a cassettone (J. Chéreau): prototipo di gesso (p.r.);
72. Volte a botte (Desargues-A. Bosse): anulari, oblique e elicoidali;
73. Volta a botte per una discesa obliqua (Desargues-A. Bosse): piani di lavoro;
74. Volta a botte per una discesa obliqua (Desargues-A. Bosse): piani di lavoro e panneaux;
75. Volta a botte per una discesa obliqua (Desargues-A. Bosse): i conci;
76. Volta a botte anulare con direttrice parabolica diella Halle au Blé (N. Le Camus de Mézières), Parigi: analisi della sezione verticale radiale;
77. Volta a botte anulare con direttrice parabolica della Halle au Blé (N. Le Camus de Mézières), Parigi: superficie della volta e modello solido;
78. Volta a botte anulare con direttrice parabolica della Halle au Blé (N. Le Camus de Mézières), Parigi: modello di insieme e della parte;
79. Volta a botte anulare con direttrice parabolica della Halle au Blé (N. Le Camus de Mézières), Parigi: ricostruzione superficiale dello spazio;

TAV. n°:

80. Volta a botte anulare con direttrice parabolica della Halle au Blé (N. Le Camus de Mézières), Parigi: ricostruzione materica dello spazio;
81. Volta a botte anulare con direttrice parabolica della Halle au Blé (N. Le Camus de Mézières), Parigi: ricostruzione materica dello spazio - h.;
82. Volta a botte anulare con direttrice parabolica della Halle au Blé (N. Le Camus de Mézières), Parigi: dettaglio;
83. Arrière-vuossure de St. Antoine: modello di pietra (Compagnon du Devoir, Atelier S. Jaques, Parigi);
84. Arrière-vuossure de St. Antoine: analisi della geometria della volta e del l'apparecchiatura (punto convergenza appartenente alla volta);
85. Arrière-vuossure de Marseille: modello di pietra (Compagnon du Devoir, Atelier S. Jaques, Parigi);
86. Arrière-vuossure de Marseille: analisi della geometria della volta e dell'ap parecchiatura;
87. Arrière-vuossure de Montpellier: analisi della geometria della volta e del l'apparecchiatura;
88. Arrière-vuossure con veletta cilindrica: disegno di invenzione;
89. Arrière-vuossure con veletta cilindrica lignea: disegno di invenzione - vista 1;
90. Arrière-vuossure con veletta cilindrica lignea: disegno di invenzione - vista 2;
91. Veletta cilindrica lignea: modello;
92. Arrière-vuossure con veletta cilindrica lignea: disegno di invenzione - proiezioni ortogonali;
93. Arrière-vuossure con veletta cilindrica lignea: disegno di invenzione - viste assonometriche;
94. Lunetta di penetrazione in una volta a botte;
95. Lunetta di penetrazione in una volta a botte: proiezioni ortogonali e esplo so;
96. La trompe e la derivazione formale dallo strumento musicale: il pavillon della trombetta;
97. Apertura strombata dicroma, disegno di invenzione: apparecchiatura d'in sieme;
98. Apertura strombata dicroma, disegno di invenzione: le parti e la composi zione cromatica;
99. Apertura strombata dicroma, disegno di invenzione: dettaglio e esploso;
100. Antecedenti formali della trompe: finestre stombate medievali in Italia meridionale;
101. Antecedenti formali della trompe: finestre stombate e superfici coniche;
102. Trompe d'Anet (P. Delorme, 1552): geometrie del trait géométrique;
103. Trompe d'Anet (P. Delorme, 1552): geometrie del trait géométrique e rico struzione ideale;
104. Trompe d'Anet (P. Delorme, 1552): sviluppo della superficie intradossale della volta;
105. Trompe d'Anet (P. Delorme, 1552): modello della trompe con convergenza in un punto delle superfici intra/estradossale della volta;
106. Trompe d'Anet (P. Delorme, 1552): modello della trompe con convergenza in un punto delle superfici intra/estradossale della volta - render;
107. Trompe d'Anet (P. Delorme, 1552): modello della trompe con convergenza in due punti delle superfici intra/estradossale della volta;
108. Trompe d'Anet (P. Delorme, 1552): modello della trompe con convergenza in due punti delle superfici intra/estradossale della volta - render;
109. Trompe d'Anet (P. Delorme, 1552): modello della trompe con convergenza in due punti delle superfici intra/estradossale della volta - render;
110. Baldacchino del pozzo (P. Delorme, 1536) nella prima corte de hotel Bullioud, Lione Francia : antecedente formale della trompe d'Anet;
111. Baldacchino del pozzo (P. Delorme, 1536) nella prima corte de hotel Bullioud, Lione Francia : antecedente formale della trompe d'Anet - sovrap posizione delle forme;
112. Trompe d'Anet e Cabinet du roi (P. Delorme,1552): gli elementi per una ipotesi ricostruttiva;
113. Trompe d'Anet e Cabinet du roi (P. Delorme,1552): modello d'insieme e delle parti;

TAV. n°:

114. Trompe d'Anet e Cabinet du roi (P. Delorme,1552): modello d'insieme e proporzionamento in scala;
115. Trompe d'Anet e Cabinet du roi (P. Delorme,1552): ipotesi sulla natura geometrica della curva tra la trompe e il muro destro;
116. Trompe d'Anet e Cabinet du roi (P. Delorme,1552): restituzione grafica;
117. Trompe d'Anet e Cabinet du roi (P. Delorme,1552): restituzione prospetti ca;
118. Trompe d'Anet e Cabinet du roi (P. Delorme,1552): analisi dei parametri geometrici della trompe e ipotesi di variazione;
119. Trompe d'Anet e Cabinet du roi (P. Delorme,1552): modello parametrico-variazionale;
120. Le trompe della galerie de l'hôtel Bullioud (P. Delorme,1536) a Lione, Francia: immagini storiche;
121. Le trompe della galerie de l'hôtel Bullioud (P. Delorme,1536) a Lione, Francia: la corte e la galleria;
122. Le trompe della galerie de l'hôtel Bullioud (P. Delorme,1536) a Lione, Francia: rilievo della trompe di sinistra;
123. Le trompe della galerie de l'hôtel Bullioud (P. Delorme,1536) a Lione, Francia: traits géométriques delle due trompe di sinistra (in alto), e di destra (in basso);
124. Trait géométrique della pechina tore ridonda enbiaje: similitudine formale con la trompe sin. di Lione;
125. Le trompe della galerie de l'hôtel Bullioud (P. Delorme, 1536) a Lione, Francia: dal trait géométrique al modello tridimensionale ideale;
126. Le trompe della galerie de l'hôtel Bullioud (P. Delorme, 1536) a Lione, Francia: sovrapposizione reale/ideale;
127. Le trompe della galerie de l'hôtel Bullioud (P. Delorme, 1536) a Lione, Francia: ipotesi del progetto originario (cfr. D.Bonnet Saint Georges);
128. Le trompe della galerie de l'hôtel Bullioud (P. Delorme, 1536) a Lione, Francia: modello di insieme;
129. Le trompe della galerie de l'hôtel Bullioud (P. Delorme, 1536) a Lione, Francia: modello di insieme, sovrapposizione virtuale-reale;
130. Le trompe della galerie de l'hôtel Bullioud (P. Delorme, 1536) a Lione, Francia: analisi CAD/CAM della trompe di sinistra;
131. Le trompe della galerie de l'hôtel Bullioud (P. Delorme, 1536) a Lione, Francia: analisi CAD/CAM e CNC della trompe di sinistra;
132. Le trompe della galerie de l'hôtel Bullioud (P. Delorme, 1536) a Lione, Francia: lavorazione a CNC del prototipo della trompe di sinistra;
133. Le trompe della galerie de l'hôtel Bullioud (P. Delorme, 1536) a Lione, Francia: montaggio dei conci del prototipo in polistirolo della trompe di sinistra;
134. Le trompe della galerie de l'hôtel Bullioud (P. Delorme, 1536) a Lione, Francia: il prototipo in polistirolo della trompe di sinistra;
135. Le trompe della galerie de l'hôtel Bullioud (P. Delorme, 1536) a Lione, Francia: analisi agli elementi finiti della superficie globale della trompe di sinistra;
136. Le trompe della galerie de l'hôtel Bullioud (P. Delorme, 1536) a Lione, Francia: raffronto proporzionale tra la trompe di sinistra e quella d'Anet;
137. Le trompe della galerie de l'hôtel Bullioud (P. Delorme, 1536) a Lione, Francia: raffronto formale tra la trompe di sinistra e quella d'Anet;
138. La maison Saint-Oyen sur trompe (G. Désargues, 1650-1655) a Lione, Francia: viste panoramiche;
139. La maison Saint-Oyen sur trompe (G. Désargues, 1650-1655) a Lione, Francia: viste panoramiche;
140. La maison Saint-Oyen sur trompe (G. Désargues, 1650-1655) a Lione, Francia: prospetto;
141. La maison Saint-Oyen sur trompe (G. Désargues, 1650-1655) a Lione, Francia: trait géométrique della trompe;
142. La maison Saint-Oyen sur trompe (G. Désargues, 1650-1655) a Lione, Francia: modello globale;
143. La maison Saint-Oyen sur trompe (G. Désargues, 1650-1655) a Lione, Francia: prospettiva aerea;
144. Trompe conica sotto l'angolo: modello;

TAV. n°:

145. Trompe conica sotto una torre rotonda (de Monpellier): modello;
146. Trompe conica nell'angolo sotto la pensilina del ponte a Avignon, Francia: fotografie;
147. Trompe conica nell'angolo sotto l'angolo della cattedrale di Santiago di Compostela: fotografia;
148. Trompe conica nell'angolo sotto l'angolo nel centro storico di Arles (9 rue du Séminaire): foto;
149. Trompe conica nell'angolo sotto l'angolo nel centro storico di Montpellier (hotel Sarret, 1636): fotografie;
150. Trompe conica nell'angolo sotto l'angolo nel centro storico di Montpellier (hotel Sarret, 1636): Dettaglio;
151. Trompe conica con profilo mistilineo (retto/curvo) nel centro storico di Montpellier (corte dell'hotel Sarret, 1636): fotografie;
152. Trompe conica con profilo mistilineo (retto/curvo) nel centro storico di Montpellier (corte dell'hotel Sarret, 1636): dettaglio;
153. Trompe conica con profilo mistilineo (retto/curvo) : riferimento teorico (P. Delorme);
154. Trompe conica con profilo mistilineo (retto/curvo) nel centro storico di Montpellier (corte dell'hotel Sarret, 1636): la trompe;
155. Trompe conica con profilo mistilineo (retto/curvo) nel centro storico di Montpellier (corte dell'hotel Sarret, 1636): il modello;
156. Stage Trompe, Fondation Cubertin, Parigi: proiezioni ortogonali del model lo;
157. Stage Trompe, Fondation Cubertin, Parigi: determinazione dei panneaux;
158. Stage Trompe, Fondation Cubertin, Parigi: determinazione degli angoli per pendicolari agli spigoli dei conci;
159. Stage Trompe, Fondation Cubertin, Parigi: sviluppo della sup. di intradosso e anamorfosi dell'altorilievo della conchiglia di S. Jacquesi;
160. Stage Trompe, Fondation Cubertin, Parigi: realizzazione dell'epure- tecnica tradizionale;
161. Stage Trompe, Fondation Cubertin, Parigi: taglio dei blocchi grezzi per la lavorazione;
162. Stage Trompe, Fondation Cubertin, Parigi: tecnica di taglio a falso squadro dei conci;
163. Stage Trompe, Fondation Cubertin, Parigi: controllo della geometria del concio per mezzo dei panneaux;
164. Stage Trompe, Fondation Cubertin, Parigi: realizzazione del trompillon;
165. Stage Trompe, Fondation Cubertin, Parigi: realizzazione dell'anamorfosi in altorilievo;
166. Stage Trompe, Fondation Cubertin, Parigi: realizzazione dell'incisione sulla base del prototipo;
167. Stage Trompe, Fondation Cubertin, Parigi: montaggio dei conci del prototi po;
168. Stage Trompe, Fondation Cubertin, Parigi: prototipo, viste;
169. Stage Trompe, Fondation Cubertin, Parigi: prototipo;
170. Locus Finis Terrae, progetto in località Punta Ristola, S. Maria di Leuca (Lecce): restituzione prospettica del belvedere - fronte scala;
171. Locus Finis Terrae, progetto in località Punta Ristola, S. Maria di Leuca (Lecce): restituzione prospettica del belvedere - fronte trompe;
172. Locus Finis Terrae, progetto in località Punta Ristola, S. Maria di Leuca (Lecce): razionalizzazione della struttura lapidea;
173. Locus Finis Terrae, progetto in località Punta Ristola, S. Maria di Leuca (Lecce): razionalizzazione della struttura lapidea - conci fronte scala;
174. Locus Finis Terrae, progetto in località Punta Ristola, S. Maria di Leuca (Lecce): proiezioni ortogonali del belvedere;
175. Locus Finis Terrae, progetto in località Punta Ristola, S. Maria di Leuca (Lecce): apparecchiatura della trompe - trait géométrique;
176. Locus Finis Terrae, progetto in località Punta Ristola, S. Maria di Leuca (Lecce): verifica globale dell'equilibrio meccanico delle masse;
177. Locus Finis Terrae, progetto in località Punta Ristola, S. Maria di Leuca (Lecce): calcolo degli angoli perpendicolari agli spigoli dei conci della volta e dei panneaux;

TAV. n°:

178. Locus Finis Terrae, progetto in località Punta Ristola, S. Maria di Leuca (Lecce): calcolo degli ingombri dei blocchi parallelepipedi circoscritti ai conci della volta;
179. Locus Finis Terrae, progetto in località Punta Ristola, S. Maria di Leuca (Lecce): costruzione del modello ligneo della volta;
180. Locus Finis Terrae, progetto in località Punta Ristola, S. Maria di Leuca (Lecce): costruzione del modello ligneo della volta - apparecchiatura;
181. Locus Finis Terrae, progetto in località Punta Ristola, S. Maria di Leuca (Lecce): costruzione del modello ligneo della volta - proiezioni ortog.;
182. Locus Finis Terrae, progetto in località Punta Ristola, S. Maria di Leuca (Lecce): progetto della centina per il montaggio della volta;
183. Locus Finis Terrae, progetto in località Punta Ristola, S. Maria di Leuca (Lecce): fasi di montaggio della volta;
184. Locus Finis Terrae, progetto in località Punta Ristola, S. Maria di Leuca (Lecce): fasi di montaggio dell'intero belvedere;
185. Locus Finis Terrae, progetto in località Punta Ristola, S. Maria di Leuca (Lecce): progetto della balaustra - finitura;
186. Trompe (cilindrica) sotto una torre rotonda eretta su di un muro rettilineo: trattato e disegno di invenzione;
187. Trompe (cilindrica) nell'abside della chiesa del Saint-Sulpice (Charles de Wailly, 1774), Parigi: vista d'insieme;
188. Trompe (cilindrica) nell'abside della chiesa del Saint-Sulpice (Charles de Wailly, 1774), Parigi: geometrie della trompe;
189. Trompe (cilindrica) nell'abside della chiesa del Saint-Sulpice (Charles de Wailly, 1774), Parigi: prospettiva centrale dal basso e modello;
190. Trompe (cilindrica) nell'abside della chiesa del Saint-Sulpice (Charles de Wailly, 1774), Parigi: dettaglio;
191. Trompe (cilindrica) nell'abside della chiesa del Saint-Sulpice (Charles de Wailly, 1774), Parigi: modello di insieme e apparecchiatura - esploso;
192. Trompe (cilindrica) nell'abside della chiesa del Saint-Sulpice (Charles de Wailly, 1774), Parigi: proiezioni ortogonali;
193. Trompe (cilindrica), hotel de Jaucourt (P. Desmaisons e S. Charpentier, 1733), Parigi: vista d'insieme;
194. Trompe (cilindrica), hotel de Jaucourt (P. Desmaisons e S. Charpentier, 1733), Parigi: dettaglio;
195. Trompe (cilindrica), centro storico di Murcia, Spagna: dettaglio;
196. Trompe (sferica)(J. Chéreau): analisi fol. 104 v;
197. Trompe (sferica)(J. Chéreau): analisi fol. 104 v, e sviluppo conico del quar to di sfera;
198. Trompe (sferica)(J. Chéreau): viste del modello solido;
199. Trompe (sferica)(J. Chéreau): la geometria globale dell'apparecchiatura e ricostituzione della sfera;
200. Trompe (sferica)(J. Chéreau): volta sferica apparecchiata con quattro trompe;
201. Trompe (sferica) apparecchiata a pendentif: M. Jousse (sviluppo della volta) e H. Ruiz (intradosso decorato);
202. Trompe (sferica) apparecchiata a pendentif: modello sferico di H. Ruiz (intradosso decorato);
203. Trompe (sferica) apparecchiata a pendentif: modello sferico di H. Ruiz (intradosso decorato)- suddivisione in quattro trompe;
204. Trompe (sferica) a nicchia sotto l'angolo: disegno in prospettiva;
205. Trompe (sferica) sotto l'angolo: geometria e modello lapideo (Atelier S. Jacques, Parigi);
206. Trompe (sferica) sotto l'angolo: modello infografico - viste e proiezioni;
207. Trompe (sferica) della tribuna della chiesa di S. Trophime (J.-B. A. de Monteil,1695) a Arles, Francia: analisi dell' apparecchiatura;
208. Trompe (solido di rotazione) nell'angolo sotto l'angolo: analisi dell' appa recchiatura;
209. Trompe (solido di rotazione) nell'angolo sotto l'angolo: viste;
210. Trompe (solido di rotazione) nell'angolo sotto l'angolo: vista dal basso - imposta;
211. Trompe (solido di rotazione) nell'angolo sotto l'angolo: serie polare dell'e lemento - capitello stereotomico di invenzione;

TAV. n°:

212. Trompe rigata (superficie rigata) nell'angolo: vista d'insieme e della parte;
213. Trompe rigata (superficie rigata) nell'angolo: profilo del paraboloide-iper bolico;
214. Trompe rigata (superficie rigata) nell'angolo: viste del paraboloide-iperbo lico;
215. Trompe rigata (superficie rigata) nell'angolo: arco del paraboloide-iperboli co;
216. Composizione di trompe coniche: viste del cabinet e modello lapideo delle trompe (Compagnon du Devoir, Parigi);
217. Composizione di trompe coniche: viste delle trompe (4) e modello delle trompe ribaltate;
218. Composizione di trompe coniche: viste laterale del modello delle trompe (Compagnon du Devoir, Parigi);
219. Composizione di trompe coniche: due trompe su mensola;
220. Composizione di trompe coniche: disegno di invenzione - copertura di un tempietto;
221. Composizione di trompe coniche: disegno di invenzione - un tempietto;
222. Composizione di trompe coniche: tribuna - modello;
223. Composizione di trompe coniche: tribuna - proiezioni ortogonali del model lo;
224. Trompe con apparecchiatura cilindrica: battistero della cattedrale di Anagni (Roma);
225. Trompe con apparecchiatura cilindrica: battistero della cattedrale di Anagni (Roma)- geometrie;
226. Trompe con apparecchiatura cilindrica: battistero della cattedrale di Anagni (Roma)- modello;
227. Volta a ventaglio decorata: geometrie e modello;
228. Volta a ventaglio decorata: modello solido;
229. Volta a ventaglio decorata: apparecchiatura della volta e genesi geometrica del "concio";
230. Volta a ventaglio decorata: la mesh della decorazione;
231. Volta a ventaglio decorata: prospettiva dal basso;
232. Volta a ventaglio decorata: viste prospettiche;
233. Volta a ventaglio liscia: geometrie;
234. Volta a ventaglio decorata: elementi terminali di imposta della volta;
235. Volta a ventaglio decorata: elementi terminali di imposta della volta - geo metrie;
236. Volta a ventaglio decorata: spazio di invenzione;
237. Volta a ventaglio liscia: trait géométrique;
238. Cupola cassettonata (Anet) : antecedenti formali;
239. Cupola cassettonata (Anet): geometrie;
240. Cupola cassettonata (Anet): geometrie del pavimento/intradosso della volta;
241. Cupola cassettonata (Anet): proiezioni cilindriche tra pavimento/intradosso della volta;
242. Cupola cassettonata (Anet): apparecchiatura della volta;
243. Cupola cassettonata (Anet): modello della volta, foto del pavimento;
244. Cupola cassettonata (Anet): modello della volta, dell'intradosso;
245. Cupola cassettonata (Anet): sezione/prospetto;
246. Cupola a costoloni elicoidali e tamponamento vitreo: modello dell'estrados so;
247. Cupola a costoloni elicoidali e tamponamento vitreo: geometria solida del costolone-tipo;
248. Cupola a costoloni elicoidali e tamponamento vitreo: genesi geometrica del costolone-tipo;
249. Cupola a costoloni elicoidali e tamponamento vitreo: proiezioni di costoloni;
250. Cupola a costoloni elicoidali e tamponamento vitreo: costoloni e superficie sferica;
251. Cupola a costoloni elicoidali e tamponamento vitreo: costoloni e superficie sferica - viste;
252. Cupola sferica con apparecchiatura a forma di triangolo equilatero - tratta ti;

TAV. n°:

253. Cupola sferica con costolonature a forma di triangolo equilatero: vestiboli S.Sindone, To;
254. Cupola sferica con costolonature a forma di triangolo equilatero: vestiboli S.Sindone, To - modello;
255. Cupola sferica con costolonature a forma di triangolo equilatero: vestiboli S.Sindone, To - modello, viste;
256. Cupola ellittica: apparecchiatura romanica;
257. Cupola ellittica: apparecchiatura moderna;
258. Cupola ellittica: apparecchiatura moderna - sezione assonometrica e proie zioni;
259. Cupola ellittica: apparecchiatura moderna - letti di contatto dei conci;
260. Cupola ellittica: apparecchiatura moderna - filari orizzontali;
261. Volta composta a sviluppo verticale: stereotomia degli archi intrecciati;
262. Volta composta a sviluppo verticale: gli archi intrecciati di S. Lorenzo a Torino - trattato;
263. Volta composta a sviluppo verticale: gli archi intrecciati di S. Lorenzo a Torino - modello 1 ;
264. Volta composta a sviluppo verticale: gli archi intrecciati di S. Lorenzo a Torino - modello 2;
265. Volta composta a sviluppo verticale: gli archi intrecciati di S. Lorenzo a Torino - modello 3;
266. Volta composta a sviluppo verticale: gli archi intrecciati di S. Lorenzo a Torino - modello 4;
267. Volta composta a sviluppo verticale: gli archi sovrapposti de S.Sindone a Torino - geometrie;
268. Volta composta a sviluppo verticale: gli archi sovrapposti de S.Sindone a Torino -intradosso;
269. Volta composta a sviluppo verticale: gli archi sovrapposti de S.Sindone a Torino - modello 1;
270. Volta composta a sviluppo verticale: gli archi sovrapposti de S.Sindone a Torino - modello 2;
271. Volta composta a sviluppo verticale: gli archi sovrapposti de S.Sindone a Torino - modello 3;
272. Volta composta a sviluppo verticale: gli archi sovrapposti de S.Sindone a Torino - modello 4;
273. Volta composta a sviluppo verticale: gli archi intrecciati - trattato e model lo;
274. Volta composta a sviluppo verticale: gli archi intrecciati - trattato e model lo, ipografia;
275. Volta composta a sviluppo verticale: gli archi intrecciati - modello della prototipazione rapida-1;
276. Volta composta a sviluppo verticale: gli archi intrecciati - modello della prototipazione rapida-2;
277. Volta composta a sviluppo verticale: gli archi intrecciati - modello della prototipazione rapida-3;
278. Volta composta a sviluppo verticale: gli archi intrecciati - modello della prototipazione rapida-4;
279. Volta composta a sviluppo verticale: gli archi intrecciati - modello della prototipazione rapida-5;
280. Volta composta a sviluppo verticale: gli archi intrecciati - modello della prototipazione rapida-6;
281. Volta composta a sviluppo verticale: gli archi intrecciati - modello della prototipazione rapida-7;
282. Volta composta a sviluppo verticale: gli archi intrecciati e le cupole sferoi dali - trattato;
283. Volta composta a sviluppo verticale: gli archi intrecciati e le cupole sferoi dali - ipografia;
284. Volta composta a sviluppo verticale: gli archi intrecciati e le cupole sferoi dali - modello solido;
285. Volta composta a sviluppo verticale: gli archi intrecciati e le cupole sferoi dali - modello/rete 1;
286. Volta composta a sviluppo verticale: gli archi intrecciati e le cupole sferoi dali - modello/rete 2;

TAV. n°:

287. Volta composta a sviluppo orizzontale: spazio voltato dell'hotel de ville d'Arles - interno 1;
288. Volta composta a sviluppo orizzontale: spazio voltato dell'hotel de ville d'Arles - interno 2;
289. Volta composta a sviluppo orizzontale: spazio voltato dell'hotel de ville d'Arles - dettaglio;
290. Volta composta a sviluppo orizzontale: spazio voltato dell'hotel de ville d'Arles - ipografia;
291. Volta composta a sviluppo orizzontale: spazio voltato dell'hotel de ville d'Arles -geometrie;
292. Volta composta a sviluppo orizzontale: spazio voltato dell'ingresso della sacrestia della certosa di Valbonne - modello;
293. Volta composta a sviluppo orizzontale: spazio voltato dell'ingresso del seminario Saint- Charles (J. B. Franque, Avignon, 1749-1757) - ipografia;
294. La vite elicoidale: la geometria della filettatura triangolare e il modello;
295. La vite elicoidale: la geometria della filettatura triangolare e il modello - vista;
296. Scala elicoidale a nucleo centrale e perimetrale continuo: la "vis de Saint-Gilles" - modello 1;
297. Scala elicoidale a nucleo centrale e perimetrale continuo: la "vis de Saint-Gilles" - modello 2;
298. Scala elicoidale a nucleo centrale e perimetrale continuo: la "vis de Saint-Gilles" - modello - proiezioni;
299. Scala elicoidale a nucleo centrale e perimetrale continuo: la "vis de Saint-Gilles" - modello - dettagli;
300. Scala elicoidale a nucleo centrale e perimetrale continuo: la "vis de Saint-Gilles" - modello - secondo De La Rue;
301. Scala elicoidale a nucleo centrale e perimetrale continuo: la "vis de Saint-Gilles" - modello dell' intradosso - secondo De La Rue;
302. Scala elicoidale a nucleo centrale e perimetrale continuo: la "vis de Saint-Gilles" - modello del nucleo centrale - secondo De La Rue;
303. Scala elicoidale a nucleo centrale e perimetrale continuo: la "vis de Saint-Gilles" - modello del nucleo centrale (tangenza) - secondo De La Rue;
304. Scala elicoidale a nucleo centrale e perimetrale continuo: la "vis de Saint-Gilles" - modello del nucleo centrale (viste) - secondo De La Rue;
305. Scala elicoidale a nucleo centrale puntiforme e perimetrale continuo: opere attribuite a P. Delorme;
306. Scala elicoidale a nucleo centrale puntiforme e perimetrale continuo: geo metrie degli elementi - 1;
307. Scala elicoidale a nucleo centrale puntiforme e perimetrale continuo: geo metrie degli elementi - 2;
308. Scala elicoidale a nucleo centrale puntiforme e perimetrale continuo: geo metrie degli elementi - 3;
309. Scala elicoidale a nucleo centrale puntiforme e perimetrale continuo: geo metrie degli elementi - 4;
310. Scala elicoidale a nucleo perimetrale continuo: fonti dell'elaborazione;
311. Scala elicoidale a nucleo perimetrale continuo: modello geometrico spazia le;
312. Scala elicoidale a nucleo perimetrale continuo: modello geometrico spaziale - ipotesi statica;
313. Scala elicoidale a nucleo perimetrale continuo: modello geometrico spaziale - l'insieme;
314. Scala elicoidale a nucleo perimetrale continuo: modello geometrico spaziale - la trompe sferica;
315. Scala elicoidale a nucleo perimetrale continuo: schizzo di Marcel Chaboud - ri-elaborazione;
316. Scala elicoidale a nucleo perimetrale continuo: immagine fotografica;
317. Scala elicoidale a nucleo perimetrale continuo: tipo a "caracolle de Majorca";
318. Scala elicoidale a nucleo perimetrale continuo: tipo a "caracolle de Majorca" - modello, viste;
319. Scala elicoidale a nucleo perimetrale continuo: tipo a "caracolle de Majorca" - modello;

TAV. n°:

320. Scala elicoidale a nucleo perimetrale continuo: doppia elica modanata, modello parametrico;
321. Scala elicoidale a nucleo perimetrale continuo: doppia elica modanata - superfici del modello parametrico;
322. Scala elicoidale a nucleo perimetrale continuo: doppia elica modanata - prototipazione rapida 1;
323. Scala elicoidale a nucleo perimetrale continuo: doppia elica modanata - prototipazione rapida 2;
324. Scala elicoidale a nucleo perimetrale continuo inscritta in due superfici coniche: rampa doppia e singola - le fonti;
325. Scala elicoidale a nucleo perimetrale continuo inscritta in due superfici coniche: rampa singola, modello;
326. Scala elicoidale a nucleo perimetrale continuo inscritta in due superfici coniche: rampa singola, modello - sezione e proiezioni;
327. Scala elicoidale a nucleo perimetrale continuo inscritta in due superfici coniche: rampa singola, modello - l'ingombro;
328. Scala elicoidale a nucleo perimetrale continuo inscritta in due superfici coniche: rampa doppia, modello e proiezioni;
329. Scala elicoidale a nucleo perimetrale continuo inscritta in due superfici coniche: rampa doppia, modello e ipografia;
330. Scala elicoidale a nucleo perimetrale puntiforme: architrave (cosciale) eli coidale, modello;
331. Scala elicoidale a nucleo perimetrale puntiforme a doppia rampa: architra ve e cosciale elicoidali, modello lapideo;
332. Scala elicoidale a nucleo perimetrale puntiforme a doppia rampa: architra ve e cosciale elicoidali, modello lapideo - dettaglio cosciali interni;
333. Scala elicoidale a nucleo perimetrale puntiforme a doppia rampa: architra ve e cosciale elicoidali, modello lapideo - dettaglio sup. intradossale;
334. Scala elicoidale a nucleo perimetrale puntiforme a doppia rampa: architra ve e cosciale elicoidali, modello lapideo - dettaglio cosciali e gradini;
335. Scala elicoidale a nucleo perimetrale puntiforme su colonna a rampa singo la: modello lapideo e infografico;
336. Scala elicoidale: geometria del cosciale elicoidale;
337. Scala con gradini ad incastro: modello;
338. Scala aerea con gradini ad incastro: pulpito a Saint-Sulpice, Parigi. Reale/virtuale;
339. Scala aerea con gradini ad incastro: pulpito a Saint-Sulpice, Parigi - foto d'insieme e di dettaglio;
340. Scala aerea con gradini ad incastro: pulpito a Saint-Sulpice, Parigi - foto di dettaglio;
341. Scala aerea con gradini ad incastro: pulpito a Saint-Sulpice, Parigi. Modello infografico 1;
342. Scala aerea con gradini ad incastro: pulpito a Saint-Sulpice, Parigi. Modello infografico 2;
343. Scala aerea con gradini ad incastro: pulpito a Saint-Sulpice, Parigi. Modello infografico 3;
344. Scale aeree: tipi composti;
345. Operazioni Booleane parametriche: due cilindri;
346. Operazioni Booleane parametriche: due cilindri, variazioni;
347. Operazioni Booleane parametriche: cono e sfera, variazioni;

3. Bibliografia

1. **Adhémar, Joseph-Alphonse, Traité de la coupe des pierres, II ed., Colin, Paris 1840.**
2. **Androuet Du Cerceau, Jacques, Le premier volume des plus excellents bastiments de France, Paris 1576-79.**
3. **Babelon J.P., Anet, Chateaux de France au siécle de la Renaissance, Paris, 1989, p.p.419-428.**
4. **Benveniste, Emile, Problémes de linguistique générale, Paris, Gallimard, 1966-1974.**
5. **Blanchard, Edme, Traité de la Coupe des Bois pour le revêtement des Voutes, Arrières-Voussures, Trompes ..., Josse et Jombert, Paris 1729.**
6. **Blunt, Anthony, Philibert Delorme, London 1958 (trad. francese, Paris 1963).**
7. **Boito Camillo, Ornamenti di tutti gli stili. Ulrico Hoepli, Milano, 1881.**
8. **Bonet Correa, Antonio, Los tratados de cortes de piedra espardes en los siglos XVI, XVII e XVIII, in "Academia Madrid", n. 69 (1989), pp. 29-62.**
9. **Bonnet Saint-Georges Dominique, Philibert de l'Orme lyonnais, Les dossier des Archives Municipales 5, Lyon, 1993.**
10. **Borrel, Jean (Buteus)-Apologia adversus epistolam Jacob Peletarii. Lione, Iovio, 1562.**
11. **Bosse, Abraham, La Pratique du Trait a preuves de Mr. Desargues Lyonnois, pour la Coupe des Pierres en l'Architecture, Paris 1643.**
12. **Boudon, Françoise et Blécon, Jean, Philibert Deloeme et le château royal de Saint-Leger-en-Yvelines, Paris, Picard, 1985.**
13. **Boye, Blaise, L'Architecture des voutes, ms inv. Ms. 619 Bibliothèque Municipale Bordeaux, 1741.**
14. **Briére Mme G., Le tombeau de Diane de Poitiers et sa restitution au châ teau d'Anet, Bulletin de la société de l'histoire de l'art francais.1966, p.23-47.**
15. **Calbat C., Marguerite G., Martin J., De la stéréotomie médiévale, la coupe des pierres chez Villard de Honnecourt, in Bulletin monumental, t.145, IV, 1987.**
16. **Camerota, Filippo, Prospectiva aedificandi. Ottica, stereotomia e architettu ra obliqua, tesi del dottorato di ricerca, Firenze 1994.**
17. **Chaix, J., Traité de la coupe des pierres. La stéréotomie, H. Chairgrasse fils, Paris 1890 (reprint Seld J.C. Godefroy, Paris 1997).**
18. **Chales Milliet, Claude François de, De Lapidum Sectione in Cursus seu mun dus mathematicus, Lugduni, ex officina Anissoniana, 1674.**
19. **Chappuis, René, Géométrie et structure des coupoles sur pendentifs dans les églises romanes entre Loire et Pyrénées, in "Bulletin monumental" (1962), pp. 7-39.**
20. **Chasles, Michel, Aperçu Historique sur l'origine et le développement des méthodes en géométrie, Paris 1837, pp. 331-4.**
21. **Chatelet-Lange L., Philibert de L'Orme à Montceaux-en-Brie.Le pavillon de la grotte, Architectura, 1973-2, p.p. 153-170.**
22. **Chatenet, Monique, Le château de Madrid au bois de Boulogne, Paris, Picard, 1987.**
23. **Chéreau, Jean, Livre d'architecture, ms n. 2280 biblioteca municipale Gdansk (Danzica), 1567-74.**
24. **Chevalier (Abbé), Lettres et devis de Ph. De l'Orme, Paris, 1864.**
25. **Clouzot H., Philibert Delorme, Paris, 1910.**
26. **Damisch, Hubert, L'origine de la perspective, Paris, Flammarion, 1987.**
27. **Deforge, Yves, Le graphisme technique, son histoire et son enseignement, Editions du Champ Vallon, 1981, pp. 48-55.**
28. **De Laborde L., Comptes des batiments du roi(1528-1571), Paris, 1877-1880.**
29. **Delorme, Philibert, Le premier tome de l'architecture..., Paris 1567 (succ. 1568, 1576, Rouen 1648, 1894, Bruxelles 1981, Paris 1988).**
30. **Delorme, Philibert, Nouvelles Inventions pour bien bastir et à petits fraiz, Paris, 1561.**
31. **Derand, François, L'Architecture des voûtes Ou l'Art Des Traits, Et coupe Des Voutes..., Paris 1643 (succ. 1743, 1755).**

32. Desargues, Girard, Brouillon project d'exemples d'une manière universelle du sieur G.D.L., touchant la pratique du trait à preuve pour la coupe des pierres en architecture..., Paris 1640.
33. Deshoulières, François, Les trompes des coupoles romanes en France, in "Bulletin archéologique" (1927), pp. 367-78.
34. Dhombres, Jean; Sakarovitch, Joël, Desargues en son temps, Blanchard, Paris, 1994.
35. Dobson, Edward, Masonry and Stonecutting, 12a ed., London 1903.
36. Douliot, J.-P., Traité spécial de coupe des pierres, Dunod, Paris 1825.
37. Du Cerceau J. A., Les plus excellents bastiments de France, 2 voll., 1576-79.
38. Du Colombier, Pierre, Les chantiers des cathédrales, ouvries, architectes,sculpteurs, Paris, Picard, 1953.
39. Epron, Jean-Pierre, L'édifice idéal et la règle constructive, Paris, 1980.
40. Evans, Robin, La trompe di Anet, in "Eidos" n. 2 (1988), Asolo Arti, pp. 50-7.
41. Evans, Robin, The Projective Cast, MIT Press, Cambridge Mass. 1995, pp. 179-239.
42. Field, Judit V., Linear perspective and the projective geometry of Girard Desargues, in "Nuncius" II (1987), pp. 3-40.
43. Field, Judit V.; Gray, J.J., The geometrical work of Girard Desargues, New York 1987.
44. Foucault, Michel, Les mots et les choses, Paris, Gallimard, 1966.
45. Frézier, Amédée-François, Eléments de stéréotomie à l'usage de l'architec ture puor la coupe des pierres, Paris 1760 (succ. 1830).
46. Frézier, Amédée-François, La théorie et la pratique de la coupe des pierres et des bois..., 3 vol., J. D. Doulsseker le fils, Strasbourg; L. H. Guerin, Paris, 1737-39 (succ. 1754, 1769, 1980).
47. Fourrey, Emile, Notions de stéréotomie, 1955.
48. Gébelin F., Les chateaux de la Renaissance, Paris, 1927, 304.
49. Gilles, Bertrand, Les ingénieurs de la Renaissance, Paris, Hermann, 1964 (rééd.Paris, Seuil, 1978).
50. Grashoff E., Die schlosskapelle von Anet und die deutsche Barockarchitecktur, Zeitschrift des deutschen Vereins fur Kunstwissenschaft, VII, 1940, p.123 et svtes.
51. Guarini, Guarino, Architettura civile, postuma, 2 vol., Torino 1737 (succ. London 1964, Milano 1968).
52. Guiffrey, Jules, Artistes parisiens du XVI et XVII siécles, Paris, 1915.
53. Guillaume, Jean, Philibert Delorme: un traité différent, in "Les Traités d'Architecure de la Renaissance", Picard, pp. 347-54.
54. Guillaume, Jean, De L'Orme et Michel-Ange, in Il se rendit en Italie : étu des offertes à André Chastel, Paris, edizione dell'Elefante-Flammarion, 1987.
55. Guillaume, Jean, (sous la direction de), Les chantiers de la Renaissance, Paris, Picard, 1991 (actes des colloques se Tours 1983 et 1984).
56. Hachette, Jean Nicolas Pierre, Traité de géométrie descriptive avec les applications aux ombres, a la perspective et a la stereotomie, Paris 1822.
57. Hamilton, John, Stereography or a compleat body of perspective, London 1738 (succ. 1740, 1748).
58. Hautecoeur, Louis, De la trompe aux moukarnas, in "Gazette des Beaux-Arts" (1931), pp. 27-59.
59. Hautecoeur, Louis, Histoire de l'architecture classique en France, Paris, Picard, 1965, livre I.
60. Héliot P., documents inédit sur le château d'Anet, Mémoires de la société des antiquaires de France, 1951, pp.257-269.
61. Herbert F., Les travaux de Philibert Delorme à Fontainebleau, Annales de la société d'histoire et d'archéologie du Gatinais, 1894, p.p.6-8.
62. Hoffmann, Volker, Philibert Delorme und das Schloss Anet, in "Architectura" (1973), pp. 131-52.
63. Ivins, William, Two First Editions of Desargues, in "Bulletin of the Metropolitan Museum of Art", 2nd Series, vol. 1 1942, pp. 33-45.
64. Ivins, William, A note on Girard Desargues, in "Scripta Mathematica", vol. 9 1943, pp. 33-48.

65. Jousse, Mathurin, Le Secret d'Architecture, decouvrant fidèlement les traits Géométriques, Couppes & Dérobemens nécessaires dans les Bastimens, La Flêche 1642 (privilège del 1635).
66. Kemp, Martin, The Science of Art, Yale University Press, New Haven e London 1990 (ed. it. La scienza dell'arte, Giunti, Firenze 1994).
67. La Gournerie, Jules de, Discours prononcé au Conservatoire
68. La Hire, Philippe de, Traité de la coupe des pierres, ms n. 1596 Bibliothèque de l'Institut de France, Paris.
69. Lalbat, Claude; Margueritte, Gilbert; Martin, Jean, De la stéréotomie médié vale: la coupe des pierres chez Villard de Honnecourt, in "Bulletin Monumental", n. 145 IV (1987), pp. 387-406.
70. La Ruë, Jean Baptiste De, Traité de la coupe des pierres, Imprimerie Royale, Paris 1728 (succ. 1764, 1858).
71. Launoy, Jules, Cours pratique de coupe des pierres, Aug. Fonteyn, Louvain 1899.
72. LeGoff, Jean-Pierre; Bessot, Didier; Hellegouarc'h, Yves, Destin de l'art; Desseins de la science, Aderhem, Caen 1991.
73. Lejeune, Emile, Traité pratique de la coupe des pierres précédé de toute la partie de la géométrie descriptive qui trouve son application..., Baudry, Paris 1872.
74. Leroy, Charles-Félix-Augustin, Traité de stéréotomie..., Bachelier, Paris 1844.
75. Lévi-Strauss, Claude, Anthropologie structurale, Paris, Plon, 1974.
76. Lévi-Strauss, Claude, La voie des masques, Paris, Plon, 1979.
77. Mayer M., Le château d'Anet, 1952, nouv.éd. remise à jour par Ch.de Yturbe, Anet, 1989, 88 p.
78. Maldonado Tomas, Reale e virtuale, Feltrinelli Editore, Milano, 1998.
79. Marin, Louis, Le portrait du roi, Paris, minuit, 1981.
80. Mignot C. Le triomphe des ordres d'architecture. Du Louvre aux Tuileries, Histoire de l'art, Temps modernes, XV-XVIII siécles, Paris, 1996, p.214.
81. Monduit, Louis; Denis, Alexandre, Stéréotomie au point de vue de la coupe des pierres, C.H. Juliot, Paris 1889.
82. Monge, Gaspard, Géométrie Descriptive, Paris 1795.
83. Mouton B., Crypto-portique d'Anet, Monuments historiques, 164, Chateaux du Val-de-Loire, juillet-aout 1989, pp.30-33.
84. Mueller, Werner, The autenticity of Guarini's Stereotomy in his Architettura Civile, in "Journal of Society of Architectural Historians", n. XXVII (1968), pp. 202-8.
85. Mueller, Werner, Guarini e la stereotomia, in "Guarino Guarini e l'interna zionalità del barocco", Torino 1970, vol.1 pp. 531-56.
86. Palacios, José Carlos, Trazas y cortes de cantiera en el Renacimiento espa nol, Madrid, 1990.
87. Palustre L. , La Renaissance en France, Paris, 1879-89, 3 voll.
88. Pauwels, Yves, Philibert de L'Orme et l'ordre inique in L'Emploi des ordre sdans l'architectur de la Renaissance, Paris, Picard, 1992 (colloque de Tours des 9-14 juin 1986 sous la direction de Jean Guillaume).
89. Pauwels Y., Les Français à la recherche d'un langage : les ordres hètèrodo xes de Philibert Delorme et Pierre lescot, Revue de l'art, n.112, 1996-2, p.p. 9-15.
90. Peletier, Jacques-Disquisitiones geomerticae. Lione, Tournes, 1567.
91. Perez-Gomez, Alberto, Architecture and the Crisis of Modern Science, MIT Press, Cambridge 1990.
92. Pérouse de Montclos, Jean-Marie, L'architecture à la française, XVIe, XVIIe, XVIIIe siècles, Picard, Paris 1982.
93. Pérouse de Montclos, Jean-Marie, Les èditions des traités de Philibert Delorme au XVIIe siècle, in "Les Traités d'Architecure de la Renaissance", Picard, pp. 355-65.
94. Pérouse de Montclos, Jean-Marie, Philibert de L'Orme en Italie, in Il se ren dit en Italie : études à André Chastel, Paris, edizione dell'Elefante-Flammarion,1987.
95. Pèrouse de Montclos, Jean-Marie, La charpente à la Philibert de L'Orme, rèflexions sur la fortune des techniques en architecture, in Les chantiers de la Renaissance, Paris, Picard, 1991.

96. Pérouse de Montclos J.-M., Le château d'Anet, histoire de l'architecture francaise de la Renaissance à l Révolution, Paris, CNMHS, 1989,pp.104-108.
97. Pérouse de Montclos J.-M., dir., Anet, Le guide du patrimoine, Centre-Val de Loire, Paris, 1992, pp. 112-123.
98. Pérouse de Montclos J.-M., Anet (Eure-et-Loir). Château, Philibert de L'Orme, architecte du roi (1514-1570), Paris, 2000, pp.254-275.
99. Pfnor, Rodolphe, Monographie du château d'Anet, construit par Philibert de l'Orme en MDXLVIII, Paris 1867.
100. Pérouse de Montclos J.-M.,Philibert de L'Orme, architecte du roi(1514-1570), Paris, 2000, 388 p. ill.
101. Picon, Antoine, Architectes et ingénieurs au Siècle des Lumières, Marseille, Parenthèses, 1988.
102. Pillet, Jules-Jean, Traité de stéréotomie, charpente et coupe des pierres : texte et dessins, Delagrave, Paris 1887.
103. Poisson G., Anet, Promenades aux chateaux de l'Ile-de-France, Saverne, 1967, pp.97-109.
104. Poitié, Philippe, Philibert Delorme: figures de la pensée constructive, Parenthèses, Paris 1996.
105. Poité, Philippe, Philibert Delorme : la théorie du projet architectural à la Renaissance, thése de doctorat, Paris, Ecole des Hautes Etudes en Sciences sociales, 1984, multig.
106. Ponte Francisco y Blanco, Tratado pràctico de Estereotomia, aplicaciones al corte de piedras, maderas y hierros. La Coruna, 1921.
107. Porcher J., Les premiéres construction de Philibert Delorme au château d'Anet, Bulletin de la société de l'histoire de l'art francais, 1939, pp.6-17.
108. Portoghesi Paolo, Bernardo Vittone. Un Architetto tra illuminismo e Rococò, Edizioni dell'Elefante, Roma, 1966.
109. Poudra, Nöel Germinal, Ouvres de Desargues, 2 vol., Leiber, Paris 1864.
110. Rondelet, Jean-Baptiste, Traité théorique et pratique de l'art de bâtir, Paris 1802-17 (succ. 1827-29, 1838).
111. Rouché, Eugène; Brisse, Charles, Coupe des pierres, Baudry, Paris 1893.
112. Roux A., Le château d'Anet, M.E. Lefèvre-Pontalis (dir.), Paris, s.d. (1911), 134 p. (petites monographies des grands édifices de la France).
113. Roy, Maurice, Anet, in "Bulletin de la Société de l'histoire de l'art français" (1924), pp. 122-80.
114. Roy, Maurice, Artistes et monuments de la Renaissance en France, Paris, 1929, p.p. 160-390.
115. Sakarovitch, Joel, Théorisation d'une pratique, pratique d'une théorie. Des traitées de coupe des pierres à la géométrie descriptive, tesi di dottorato, École d'Architecture de Paris La Villette, Paris 1989.
116. Sakarovitch, Joël, Epures d'architecture: de la coupe des pierres à la géo métrie descriptive XVIe - XIXe siècles, Basel, Birkhäuser, 1998.
117. Salmon Jacqueline Jean Louis Schefer, 8 rue Juiverie-la lumière élargie, Editions Comp'Act, Lyon, 1989.
118. Scolari, Massimo, L'idea di modello, in "Eidos" n. 2 (1988), pp. 22-3.
119. Schneider, Mark, Girard Desargues. The architectural and perspective geo metry : a study in the rationalization of figure, tesi di dottorato, Virginia Polytechnic Institute and State University, Blacksburg 1983.
120. Siguret, Philippe, Les voûtes plates, in "Gypsum" (1963), pp. 94-8.
121. Simonin, W., Traité élémentaire de la coupe des pierres, ou art du trait, Paris 1792.
122. Sinaud, Henry, Coupe des pierres limitée aux épures usuelles avec l'indica tion sommaire des sujet qui ne sont plus en usage, 1890.
123. Société des amis d'Anet, Anet et ses environs : guide Historique et touristi que, Syndicat d'initiative, 1974, 229 p.
124. Tachon, E., Traité pratique de la coupe des pierres, Librairie de la construc tion moderne, Paris 1914.
125. Taton, René, Les grandes étapes de la mathématisation des techniques graphiques: des origines à Dürer, à Desargues et à Monge, in "XY, Dimensioni del Disegno", n. 1 (1986), pp. 75-88.
126. Taton, René, L'Histoire de la Géométrie Descriptive, Paris 1954.
127. Taton, René, L'Oeuvre Scientifique de Monge, Paris 1951.
128. Taton, René, L'œuvre mathématique de G.Desargues (1951), Lyon, 1988.

129. Vaquier J., Anet, les anciens chateaux de France, IV série, L'Ile-de-France, Paris, 1922, pp.1-8.
130. Vachon M. , Philibert de l'Orme, Paris s.d. (1887).
131. Vanaise P., La construction de la chapelle du parc du château de Villers-Cotterets : 1552-1553, Bulletin de la Société de l'histoire de l'art francais, 1967, p.p. 27-38.
132. Villard de Honnencourt, Disegni, manoscritto Biblioteque Nationale Paris (ed. it. a cura di AA.VV., Jaca Book, Milano 1988).
133. Vittone Bernardo, Istruzioni Elementari, Torino, 1760.
134. Vittone Bernardo, Istruzioni Diverse, Torino, 1766.
135. Von Geymuller H. , Die Baukunst der Renaissance in Frankreich, Stuttgart, 1898-1901, 2 voll.
136. Yturbe C. De, Le château d'Anet, Ingersheim, 1993, 25 p.



TAVOLA N° 1

Argomento della tavola: **"Unità formale classica";**

Fonti dell'elaborazione: **rilievo diretto in situ: *frammento* della peristasi esterna del tempio di Apollo Epicurio a Bassae;**

Tipo di modellazione: **3D Solido/superficiale;**

Software utilizzati: **Autocad 2000, 3DStudio Max 5, Photoshop 7.**

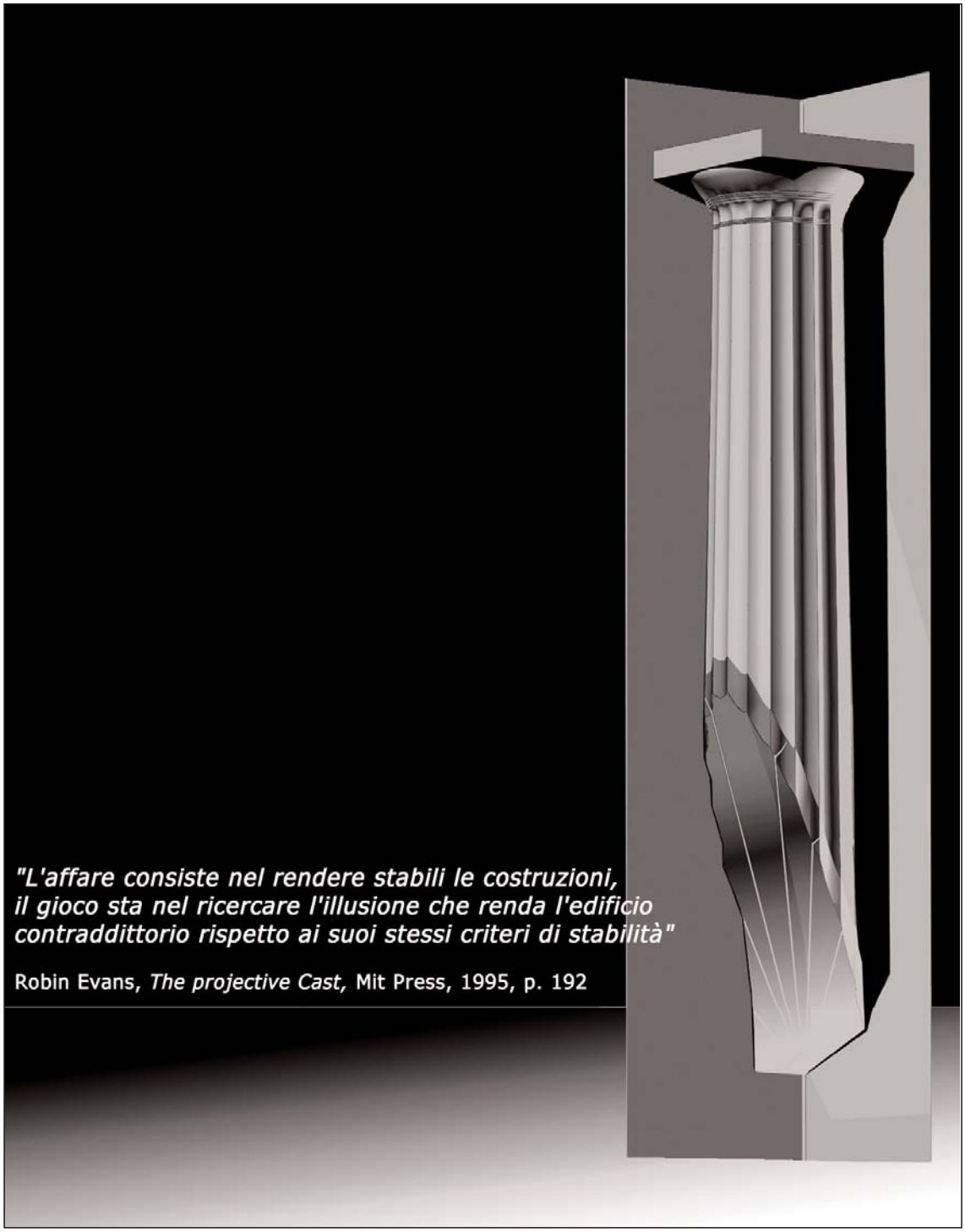


TAVOLA N° 2

Argomento della tavola:	**"Unità formale anticlassica" (disegno di invenzione);**
Fonti dell'elaborazione:	**rielaborazione di modelli;**
Tipo di modellazione:	**3D Solido/superficiale;**
Software utilizzati:	**Autocad 2000, 3DStudio Max 5, Photoshop 7.**

4. Premessa alle tavole

I sistemi/elementi architettonici qui presentati, descrivono una parte minima, seppur notevole, dell'immenso patrimonio culturale che lega la *ratio* umana alla costruzione in pietra da taglio di cui si tenta, con tutte le limitazioni connesse alle forme di "riduzione", una classificazione metodologica per una più spedita comprensione del fenomeno "stereotomia".
Un lavoro di analisi, quindi, potenzialmente inesauribile perché inesauribili risultano le opere architettoniche nate dalle capacità compositivo/progettuale di generazioni di *tailleur de pierre* che, mediando le regole del mestiere con le personali quanto geniali *deroghe* costruttive, hanno contribuito per secoli al lungo processo di avanzamento disciplinare.
Le singole opere studiate, sono state "illustrate" per mezzo di un elaborato grafico, pensato di dimensioni standard, che sintetizza le diverse forme di modellazione utilizzate nell'analisi. Fra queste la modellazione vettoriale tridimensionale risulta sicuramente la più proficua perché, oltre a permettere una o più immagini di sintesi, consente la riproducibilità fisica dell'elemento studiato.
Il presente volume, quindi raccoglie trecentoquarantasette Tavole di quasi centocinquanta modelli tridimensionali tutti prototipabili materialmente.
Dell'elaborato grafico si riportano una serie di dati utili alla comprensione globale dell'oggetto studiato, tra cui: l'argomento della tavola che inquadra l'argomento, la fonte dell'elaborazione che dà le coordinate del trattato di riferimento, il tipo di modellazione e i software utilizzati valevoli per coloro che si ripropongano di ridisegnare i modelli a scopo formativo.
Il compito del seguente lavoro, in definitiva, vuole essere la trasmissione fascinosa delle potenzialità espressive del processo di progettazione/realizzazione insite nell'utilizzo della stereotomia come paradigma costruttivo tra tradizione e innovazione.

1. Architravi e Piattabande

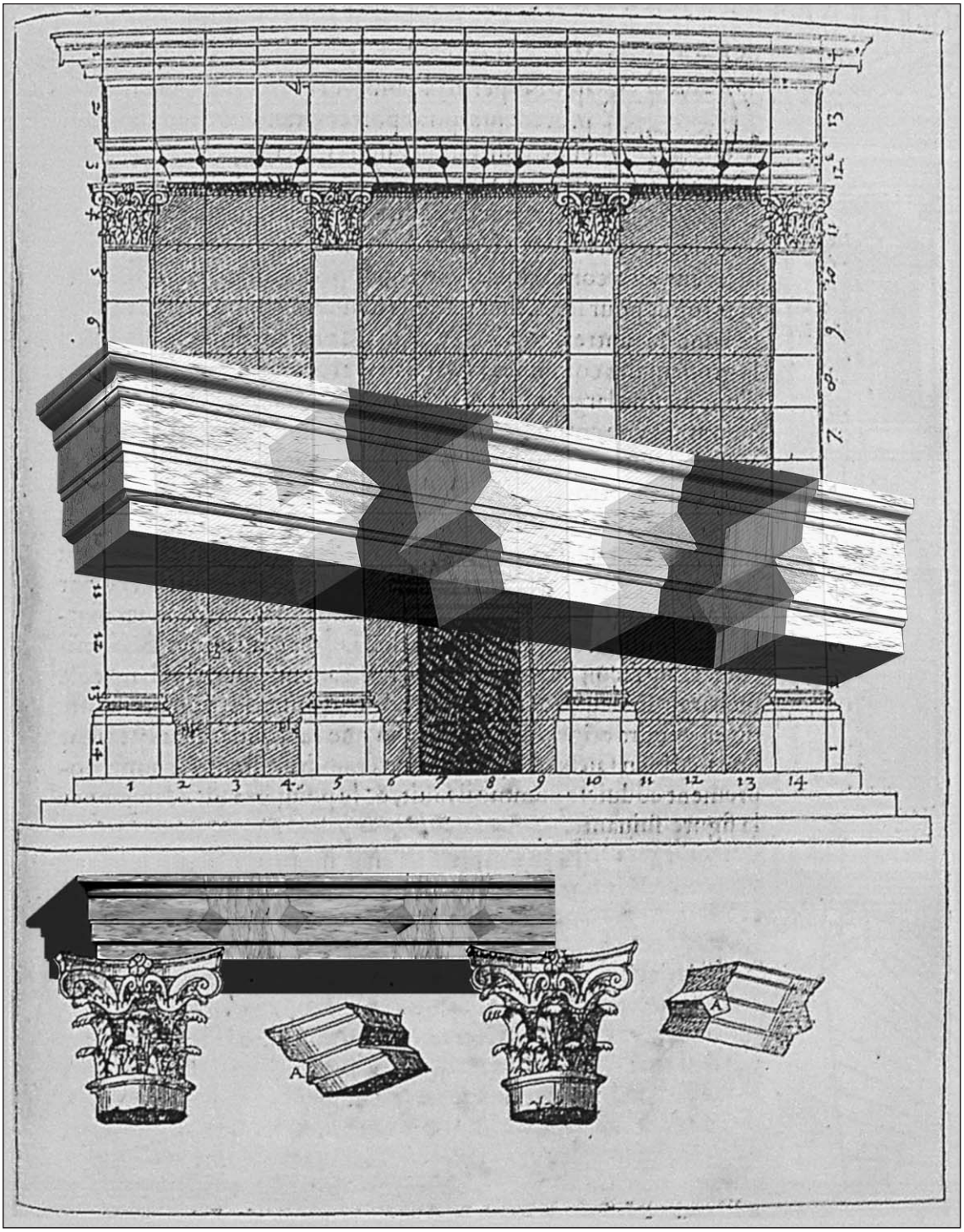


TAVOLA N° 3

Argomento della tavola: **Architrave-piattabanda: ammorsatura - esploso;**

Fonti dell'elaborazione: **P. Delorme, *Premiere* cit. (cfr. bibliografia), Libro VII, cap. XV, fol. 226;**

Tipo di modellazione: **3D Solida;**

Software utilizzati: **Autocad 2004, 3DStudio Max 5, Photoshop 7.**



TAVOLA N° 4

Argomento della tavola: **Architrave-piattabanda: vista;**

Fonti dell'elaborazione: **P. Delorme, *Premiere* cit. (cfr. bibliografia), Libro VII, cap. XV, fol. 226;**

Tipo di modellazione: **3D Solida;**

Software utilizzati: **Autocad 2004, 3DStudio Max 5, Photoshop 7.**

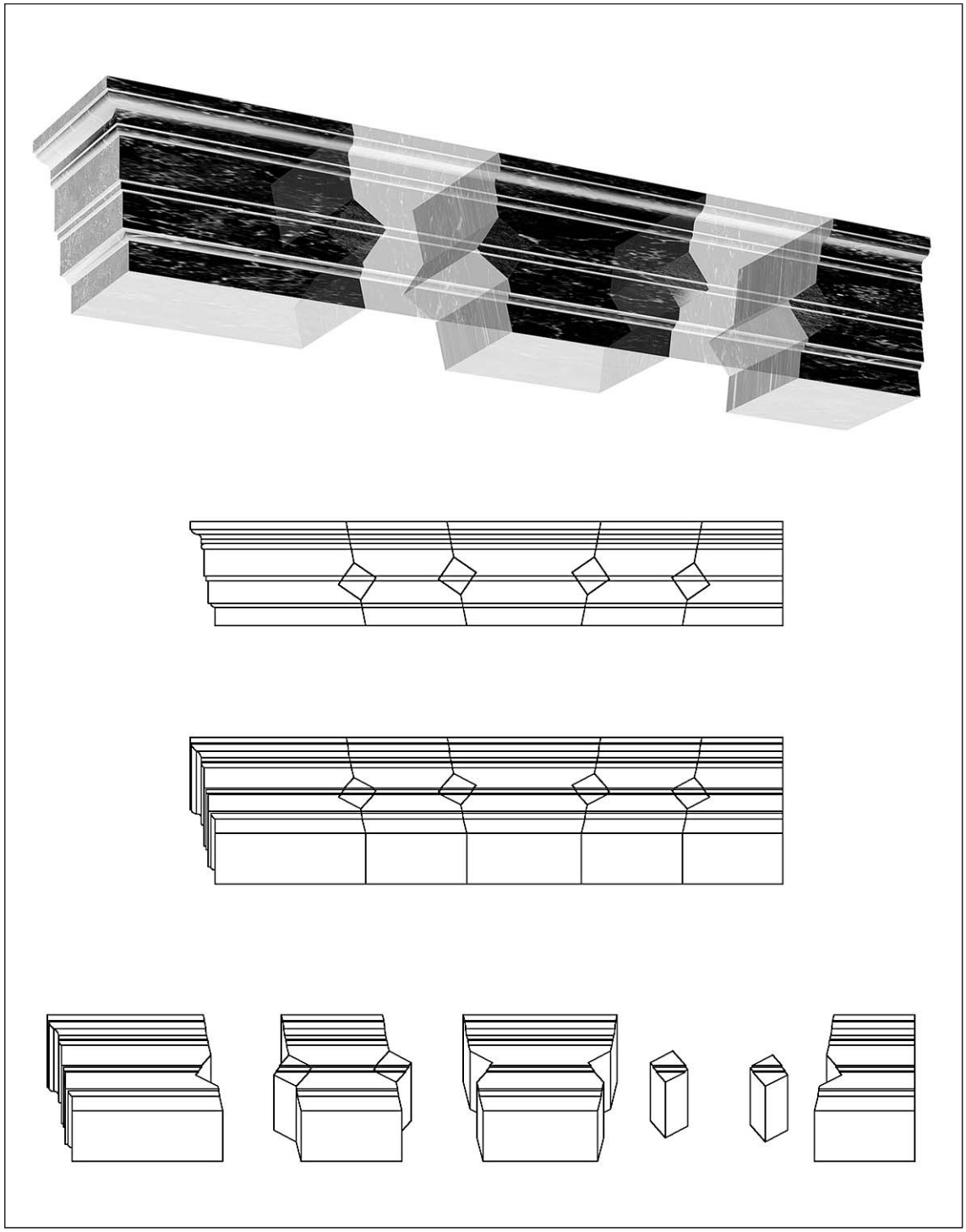


TAVOLA N° 5

Argomento della tavola: **Architrave-piattabanda: dettagli;**

Fonti dell'elaborazione: **P. Delorme, *Premiere* cit. (cfr. bibliografia), Libro VII, cap. XV, fol. 226;**

Tipo di modellazione: **3D Solida;**

Software utilizzati: **Autocad 2004, 3DStudio Max 5, Photoshop 7.**

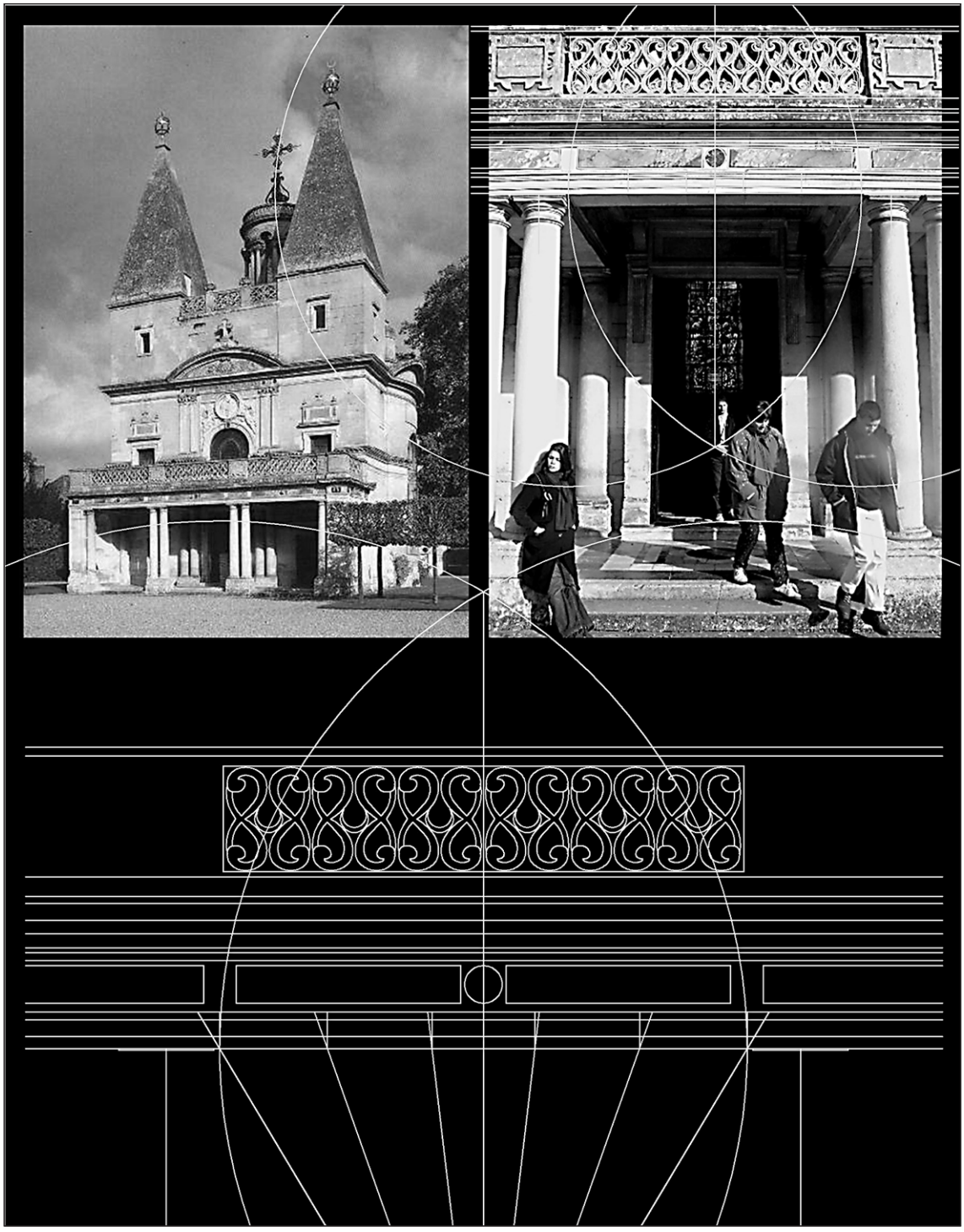


TAVOLA N° 6

Argomento della tavola: **Architrave-piattabanda: portico d'ingresso della Cappella di Anet (P. Delorme), Francia;**

Fonti dell'elaborazione: **rilievo fotografico in situ;**

Tipo di modellazione: **2D Vettoriale;**

Software utilizzati: **Autocad 2004, Photoshop 7.**

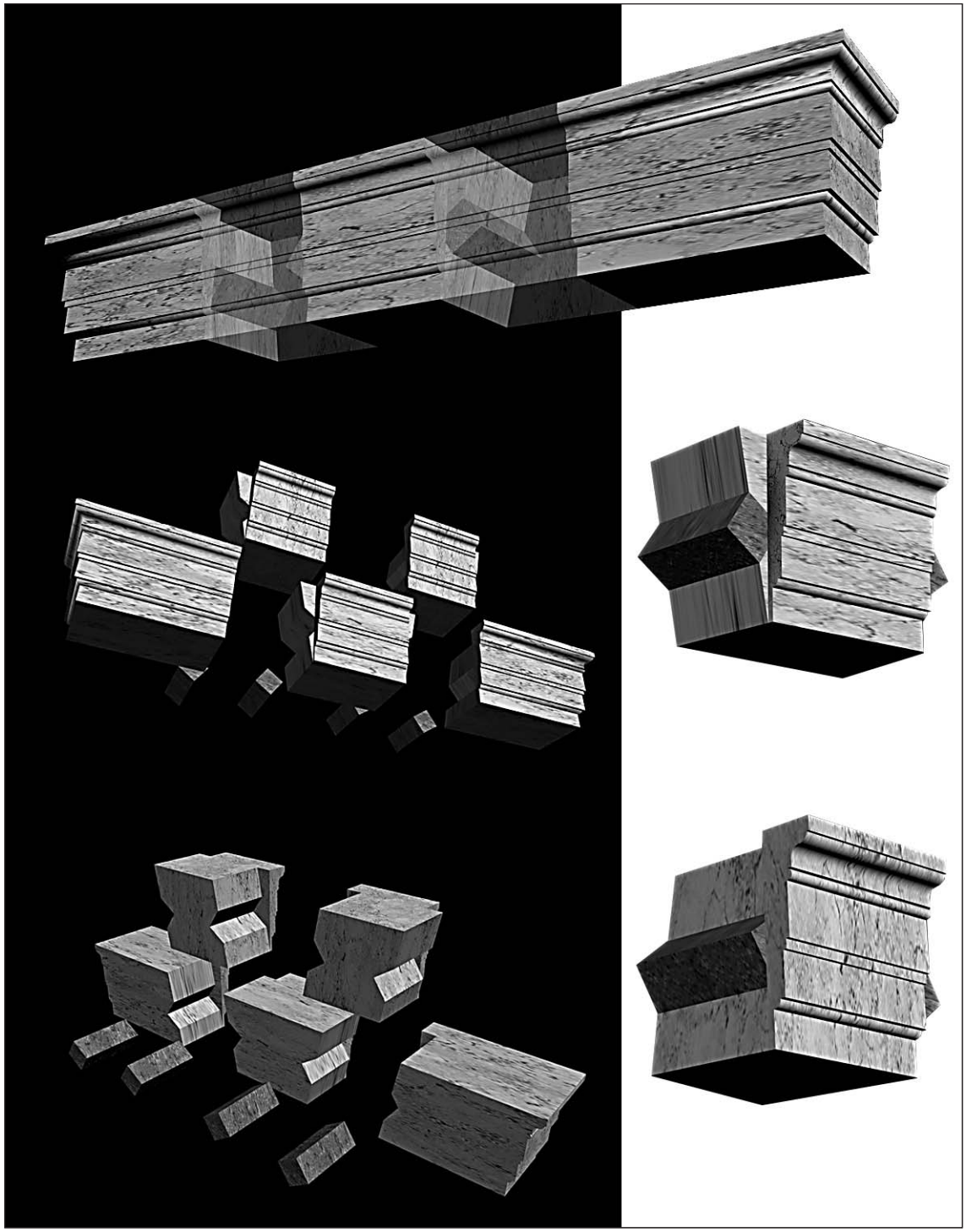


TAVOLA N° 7

Argomento della tavola: **Architrave-piattabanda: ricostruzione - esploso - del portico d'ingresso della Cappella di Anet (P. Delorme), Francia;**

Fonti dell'elaborazione: **rilievo fotografico in situ;**

Tipo di modellazione: **3D Solida;**

Software utilizzati: **Autocad 2004, 3DStudio Max 5, Photoshop 7.**

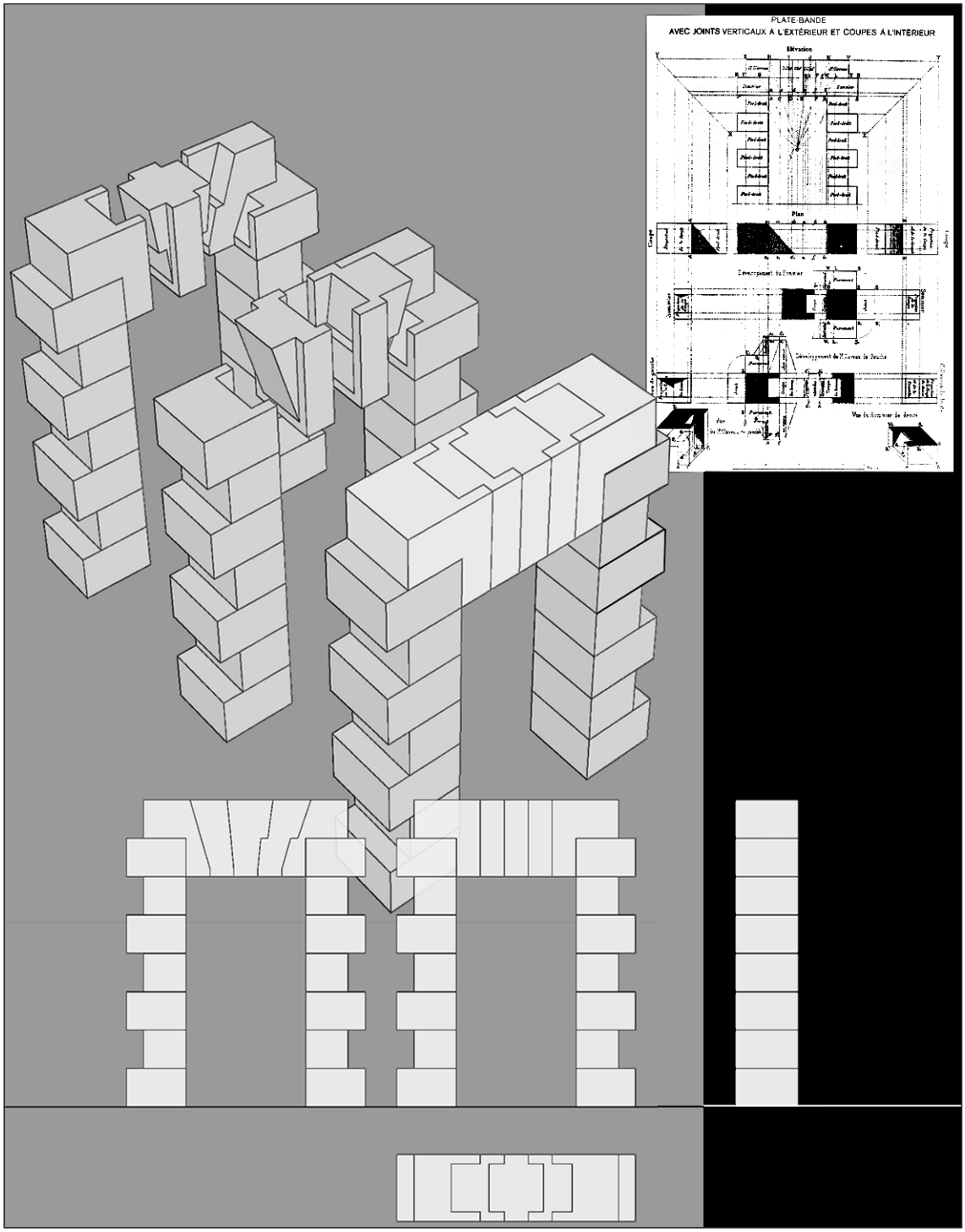


TAVOLA N° 8

Argomento della tavola: **Piattabanda con giunti verticali all'esterno e convergenti all'interno;**

Fonti dell'elaborazione: **L. Monduit, *Traité* cit. (cfr. bibliografia), pl. 14;**

Tipo di modellazione: **3D Solida;**

Software utilizzati: **Autocad 2004, 3DStudio Max 5, Photoshop 7**

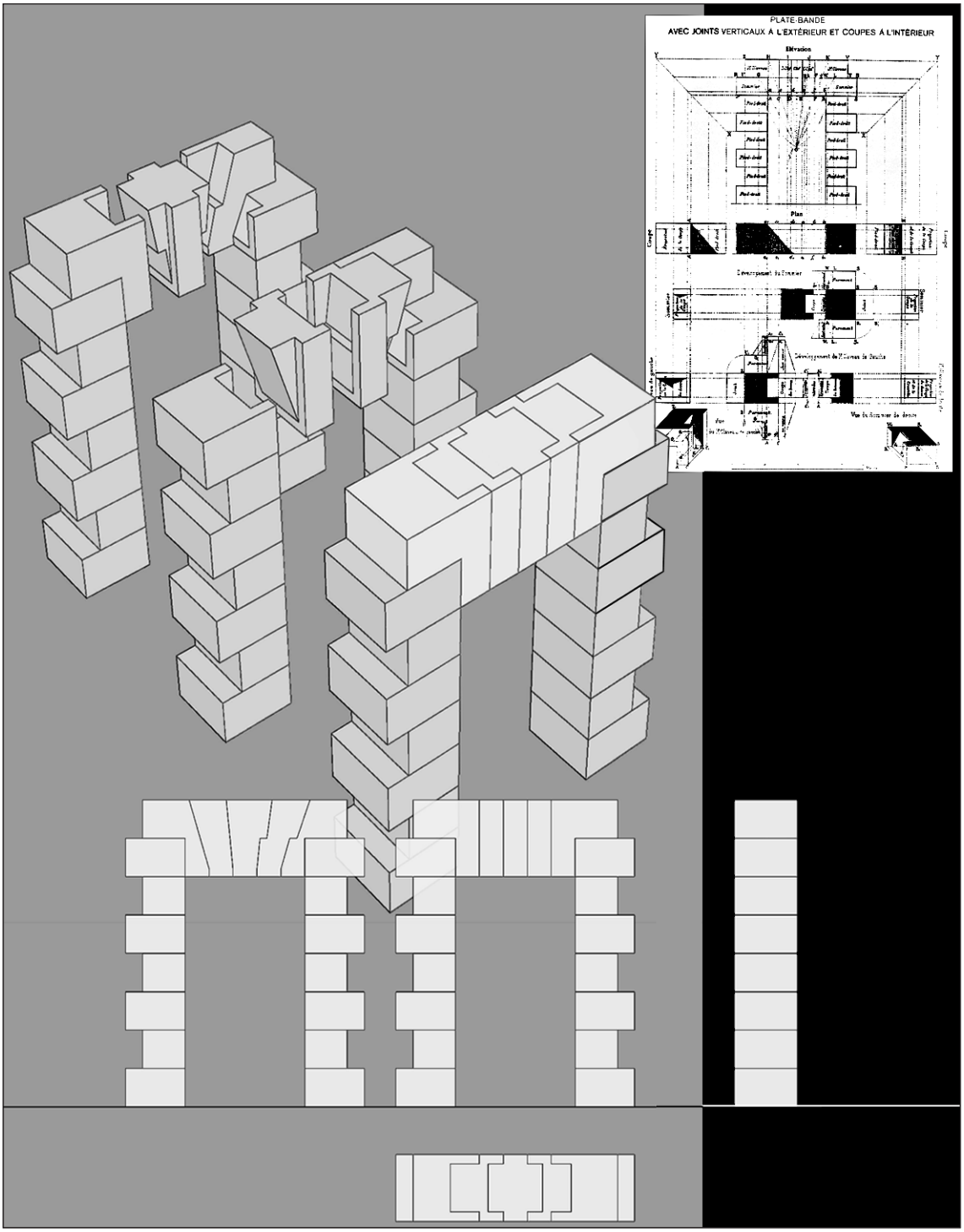


TAVOLA N° 9

Argomento della tavola: **Piattabanda con giunti verticali all'esterno e convergenti all'interno, esploso;**

Fonti dell'elaborazione: **L. Monduit, *Traité* cit. (cfr. bibliografia), pl. 14;**

Tipo di modellazione: **3D Solida;**

Software utilizzati: **Autocad 2004, 3DStudio Max 5, Photoshop 7.**

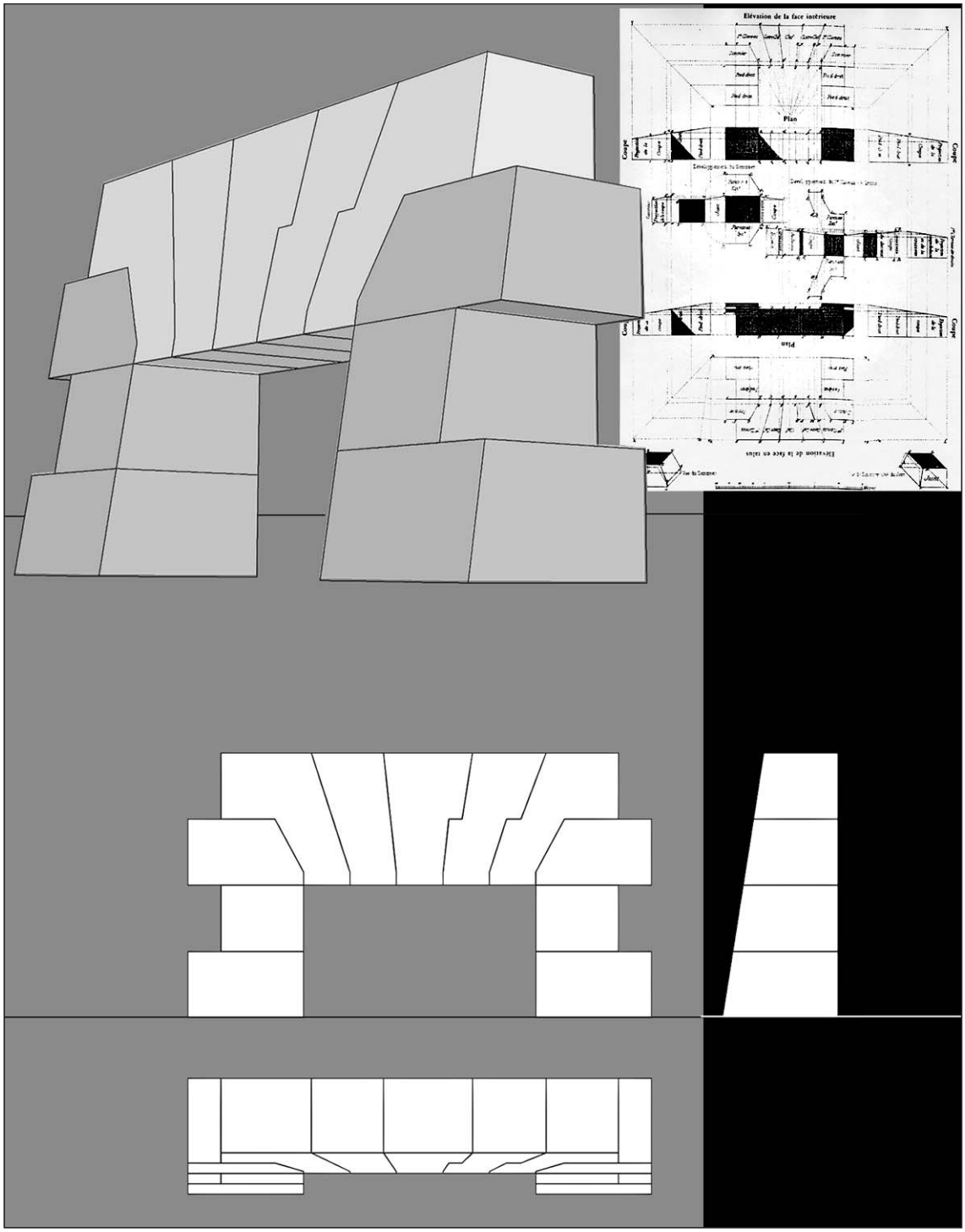


TAVOLA N° 10

Argomento della tavola: **Piattabanda in un muro a scarpa;**

Fonti dell'elaborazione: **L. Monduit, *Traité* cit. (cfr. bibliografia), pl. 15;**

Tipo di modellazione: **3D Solida;**

Software utilizzati: **Autocad 2004, 3DStudio Max 5, Photoshop 7.**

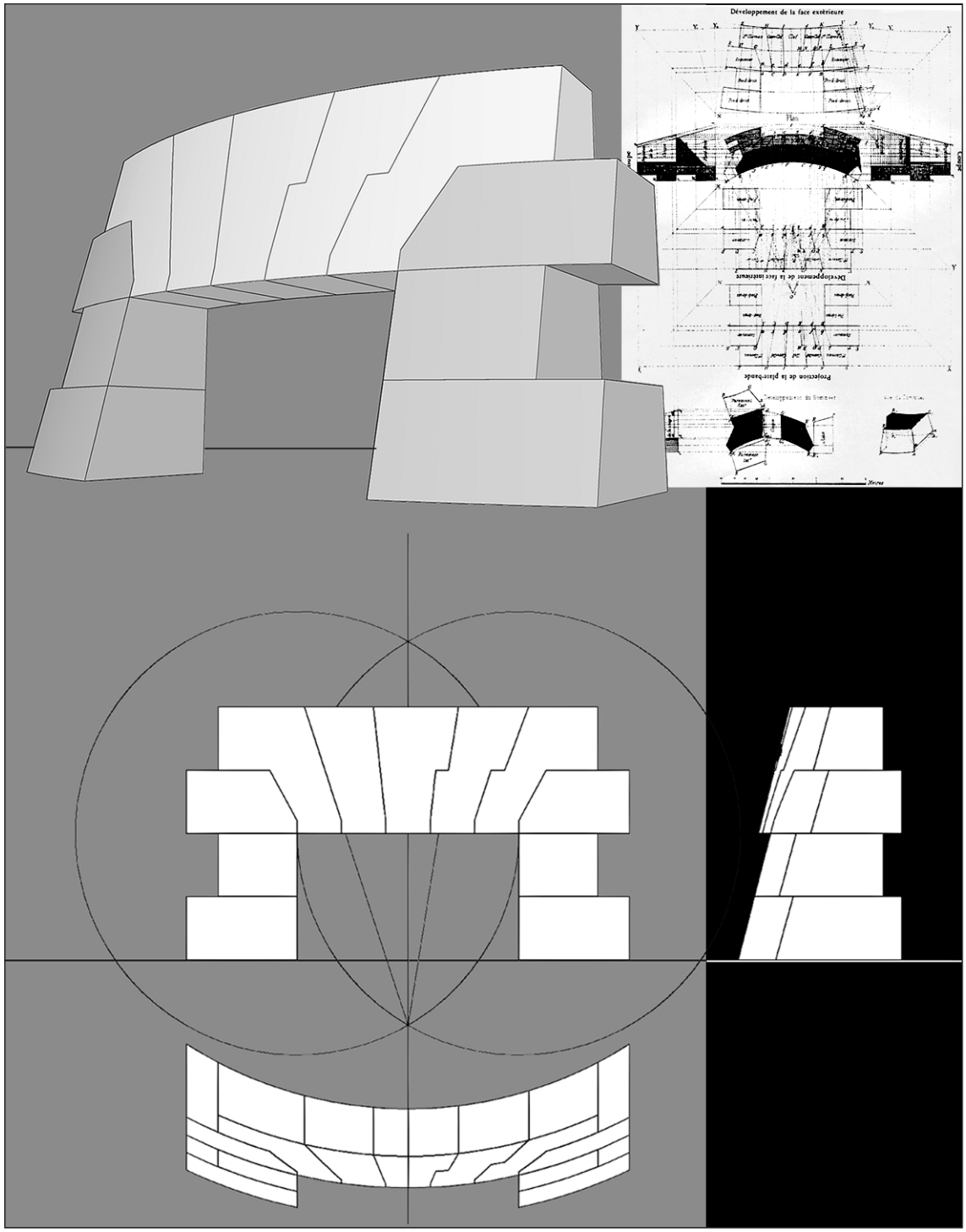


TAVOLA N° 11

Argomento della tavola: **Piattabanda in una torre rotonda a scarpa;**

Fonti dell'elaborazione: **L. Monduit, *Traité* cit. (cfr. bibliografia), pl. 18;**

Tipo di modellazione: **3D Solida;**

Software utilizzati: **Autocad 2004, 3DStudio Max 5, Photoshop 7.**

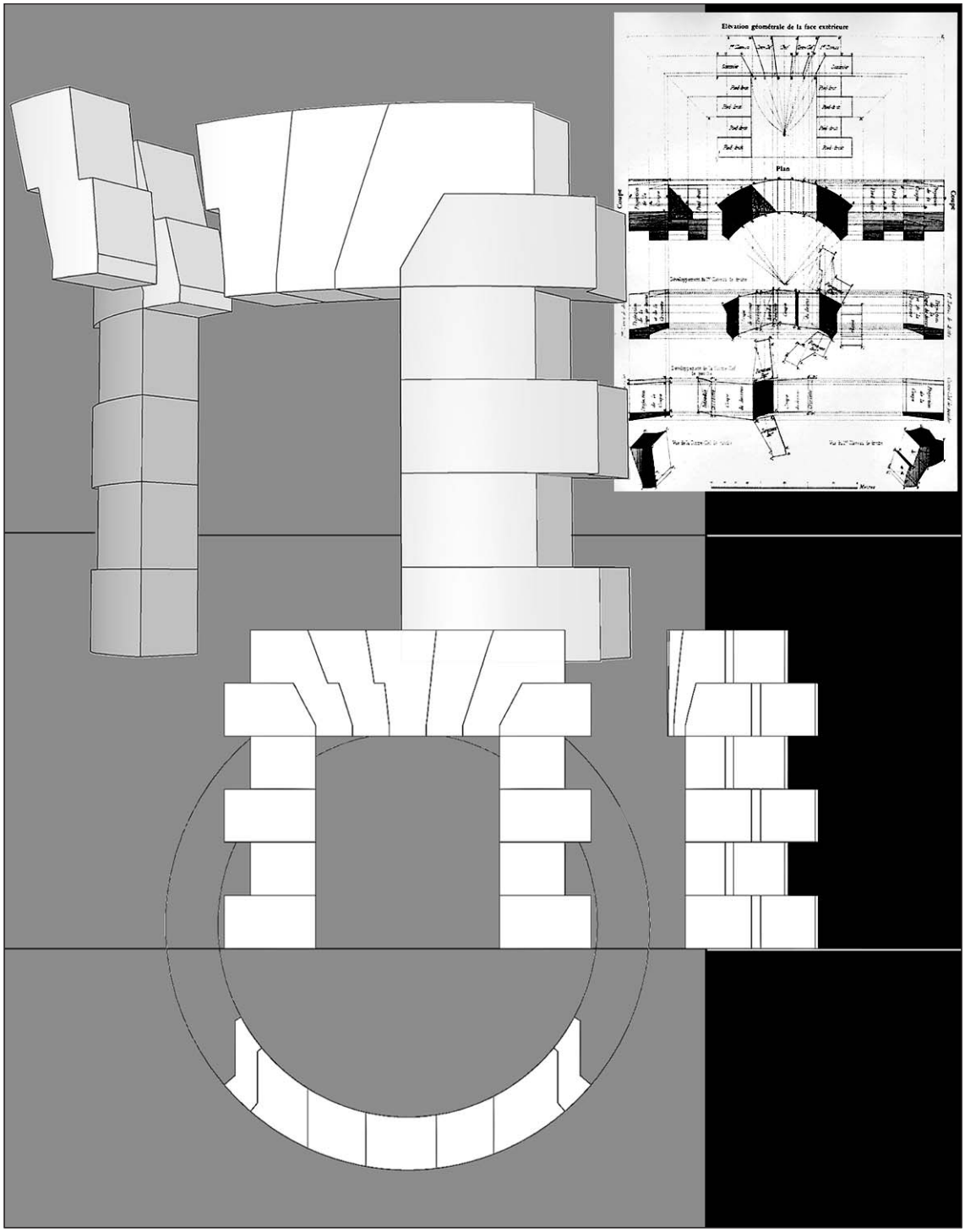


TAVOLA N° 12

Argomento della tavola: **Piattabanda in una torre rotonda;**

Fonti dell'elaborazione: **L. Monduit, *Traité* cit. (cfr. bibliografia), pl. 16;**

Tipo di modellazione: **3D Solida;**

Software utilizzati: **Autocad 2004, 3DStudio Max 5, Photoshop 7.**



TAVOLA N° 13

Argomento della tavola: **Piattabanda in una torre rotonda: elicoidale e orizzontale;**

Fonti dell'elaborazione: **Rilievo fotografico in situ: collegamento verticale per mezzo di scala a chiocciola, presso una corte nel nucleo antico di Lione, Francia;**

Tipo di modellazione: **-**

Software utilizzati: **-**

2. Volte piane

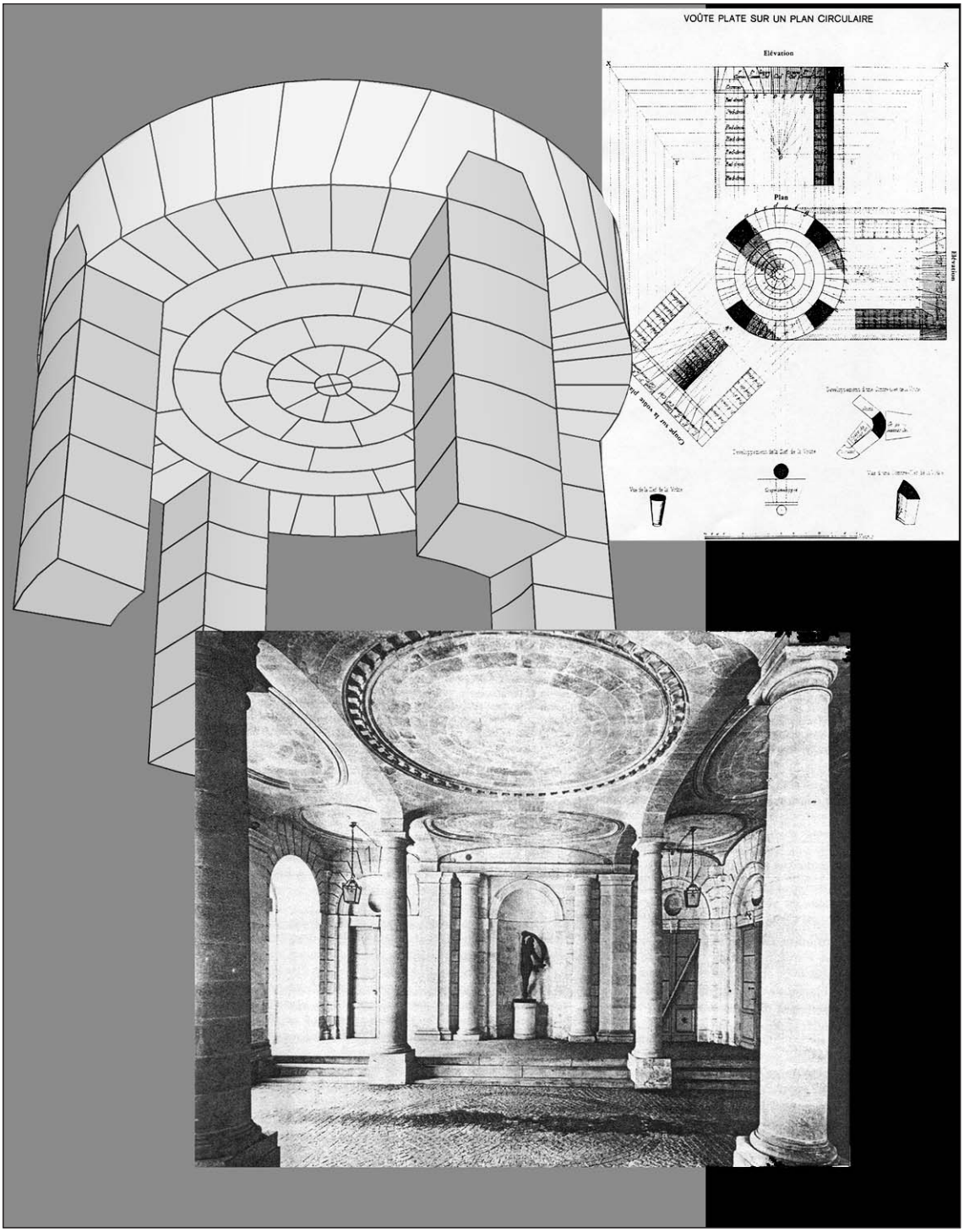


TAVOLA N° 14

Argomento della tavola: **Volta piana circolare con quattro appoggi;**

Fonti dell'elaborazione: **L. Monduit, *Traité* cit. (cfr. bibliografia), pl. 46. Foto, J.M. Pérouse de Montclos, *L'Architecture*cit. (cfr. bibliografia): Bordeaux, hotel de Saige, 1775-1780 (Victor Louis);**

Tipo di modellazione: **3D Solida;**

Software utilizzati: **Autocad 2004, 3DStudio Max 5, Photoshop 7.**

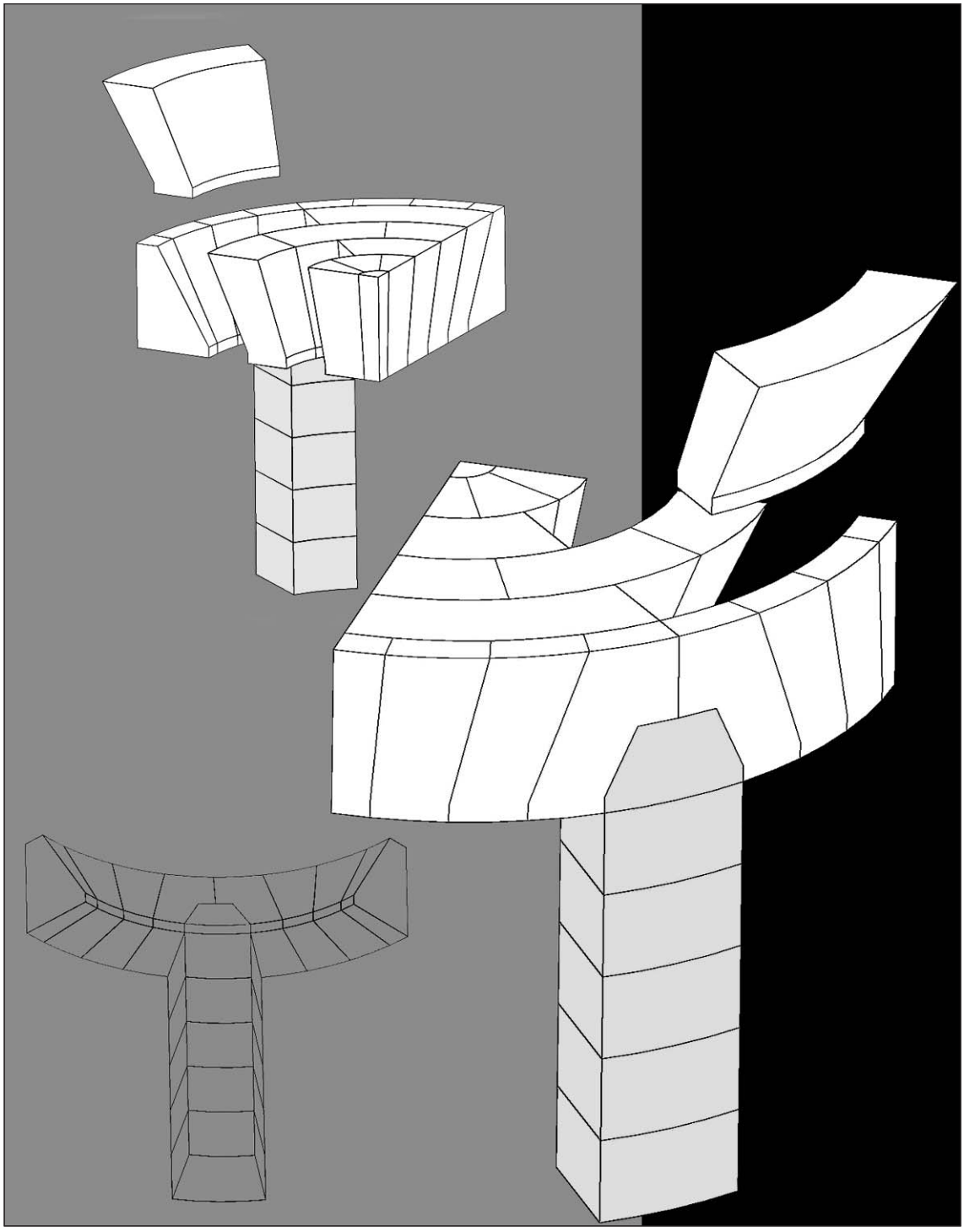


TAVOLA N° 15

Argomento della tavola:	**Volta piana circolare con quattro appoggi, espl so;**
Fonti dell'elaborazione:	**L. Monduit, *Traité* cit. (cfr. bibliografia), pl. 46;**
Tipo di modellazione:	**3D Solida;**
Software utilizzati:	**Autocad 2004, 3DStudio Max 5, Photoshop 7.**

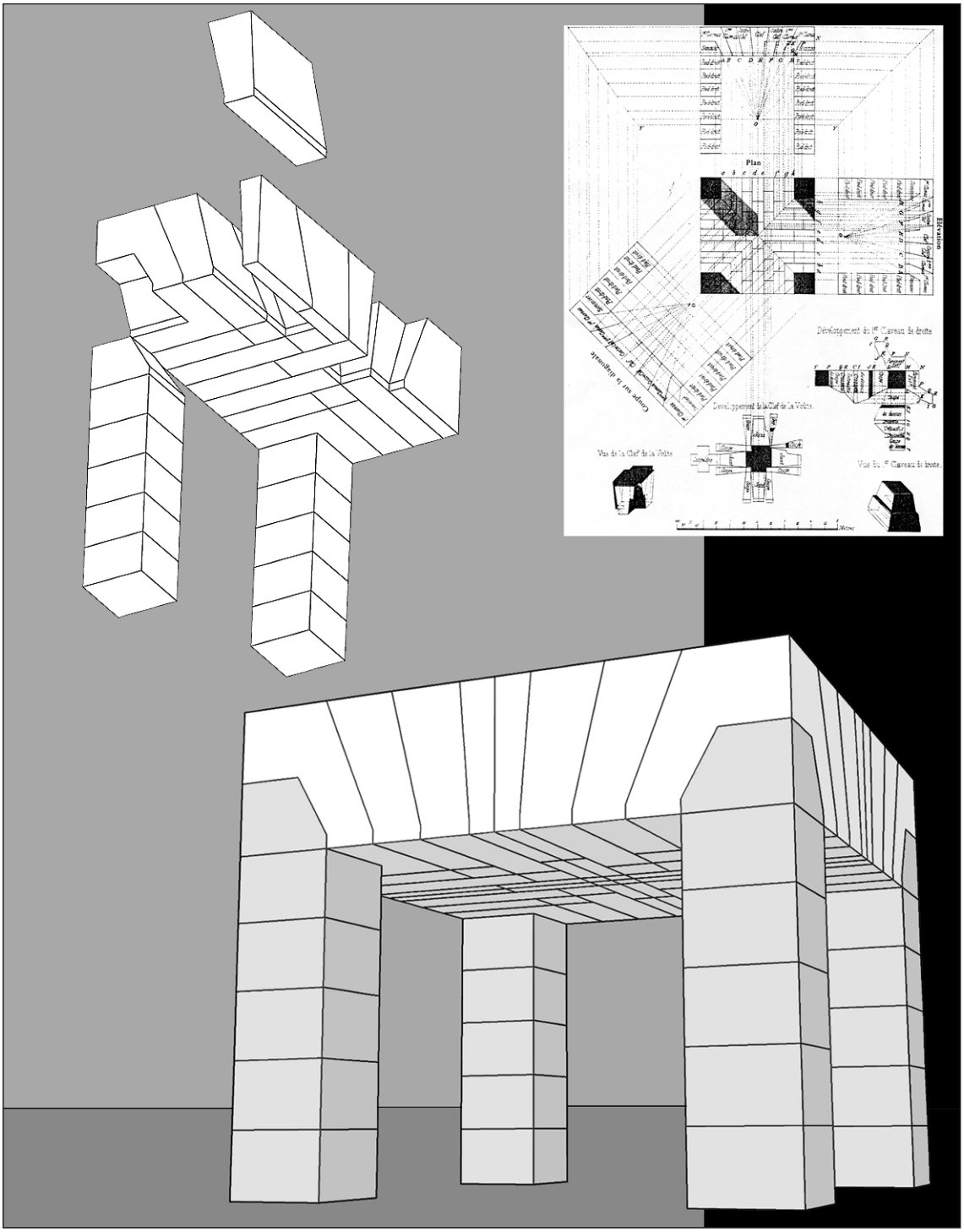


TAVOLA N° 16

Argomento della tavola: **Volta piana con apparecchiatura a quadrati con centrici;**

Fonti dell'elaborazione: **L. Monduit, *Traité* cit. (cfr. bibliografia), pl. 45;**

Tipo di modellazione: **3D Solida;**

Software utilizzati: **Autocad 2004, 3DStudio Max 5, Photoshop 7.**

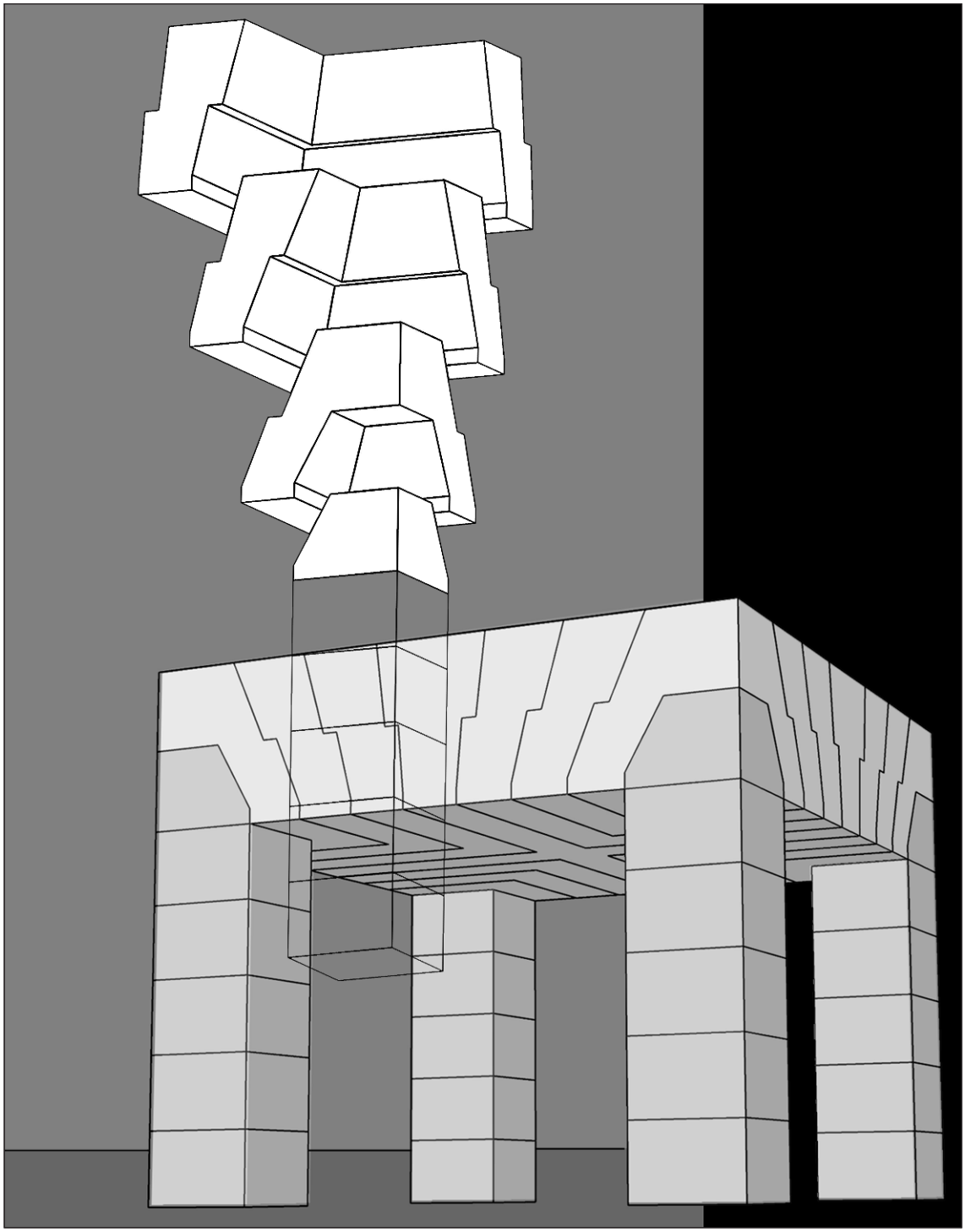


TAVOLA N° 17

Argomento della tavola:	**Volta piana con apparecchiatura a quadrati con centrici, esploso;**
Fonti dell'elaborazione:	**L. Monduit, *Traité* cit. (cfr. bibliografia), pl. 45;**
Tipo di modellazione:	**3D Solida;**
Software utilizzati:	**Autocad 2004, 3DStudio Max 5, Photoshop 7.**

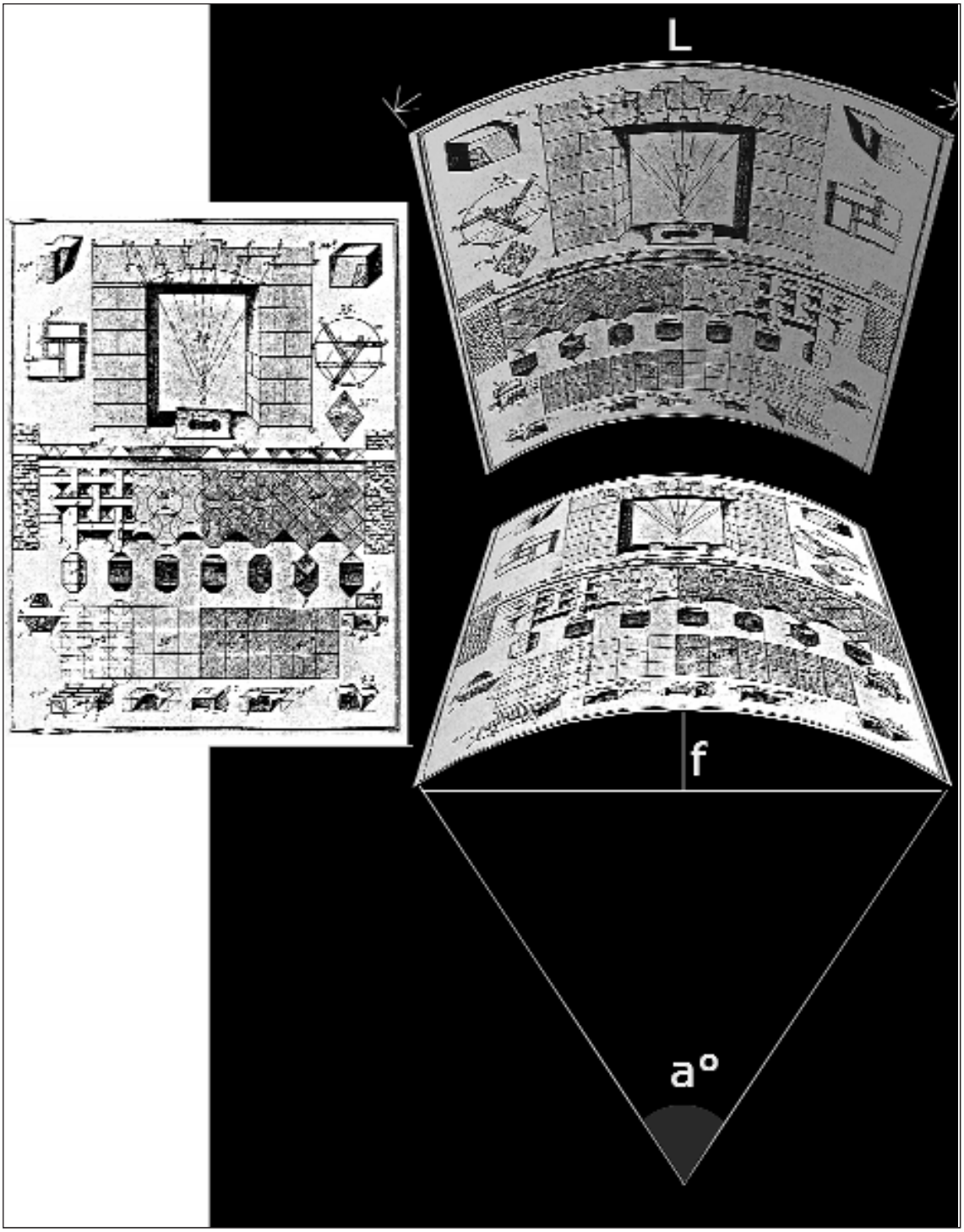


TAVOLA N° 18

Argomento della tavola: **Tecnica di deformazione cilindrica della volta piana, secondo il sistema di apparecchiatura di Abeille;**

Fonti dell'elaborazione: **A.-F. Frézier, *La théorie* cit. (cfr. bibliografia), t. II, pl. 31, fig. 37;**

Tipo di modellazione: **3D Superficiale;**

Software utilizzati: **3DStudio Max 5, Photoshop 7.**

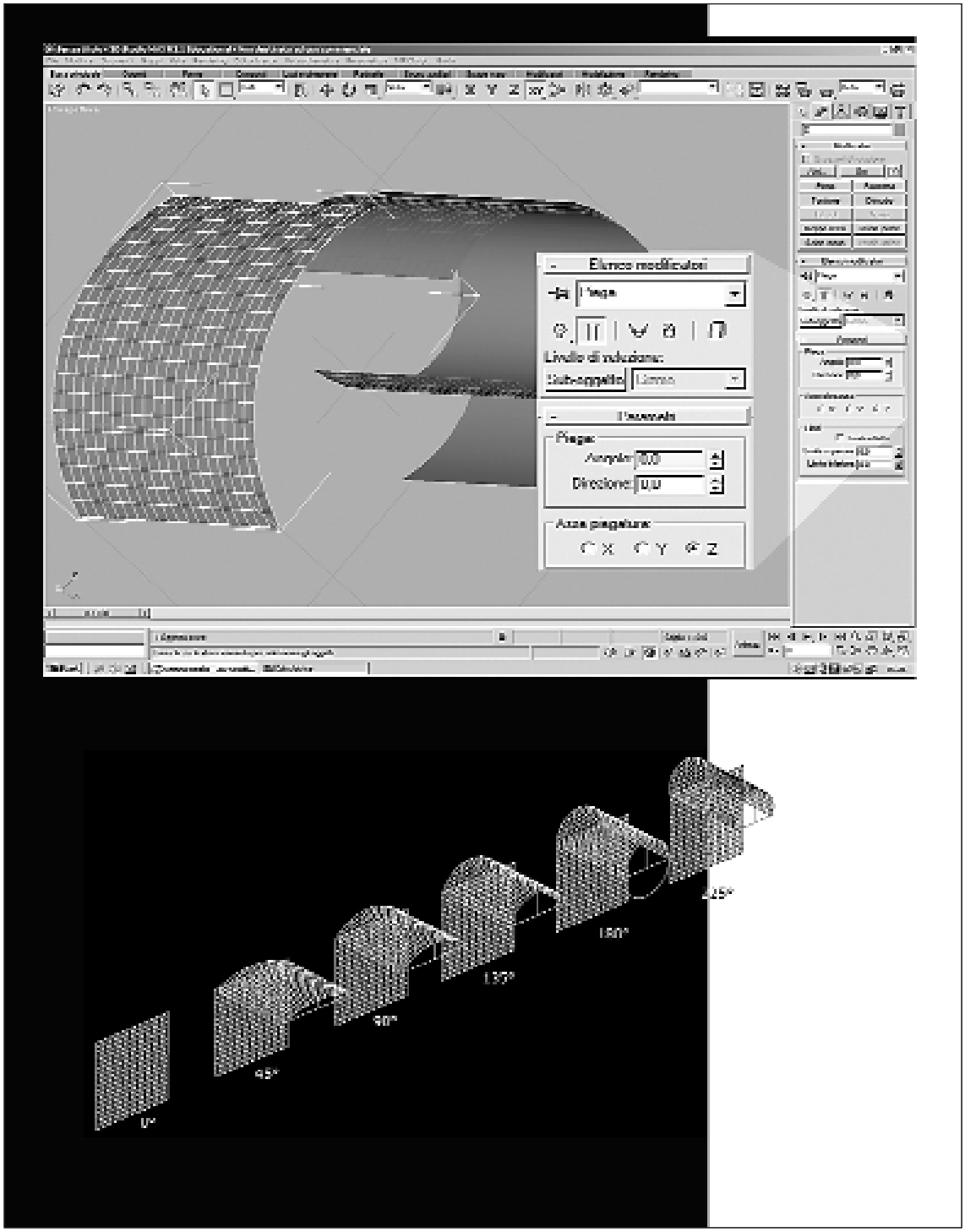


TAVOLA N° 19

Argomento della tavola: **Tecnica di deformazione cilindrica della volta piana, rapporto deformazione/angolo;**

Fonti dell'elaborazione: **A.-F. Frézier, *La théorie* cit. (cfr. bibliografia), t. II, pl. 31, fig. 37;**

Tipo di modellazione: **3D Superficiale;**

Software utilizzati: **3DStudio Max 5, Photoshop 7.**

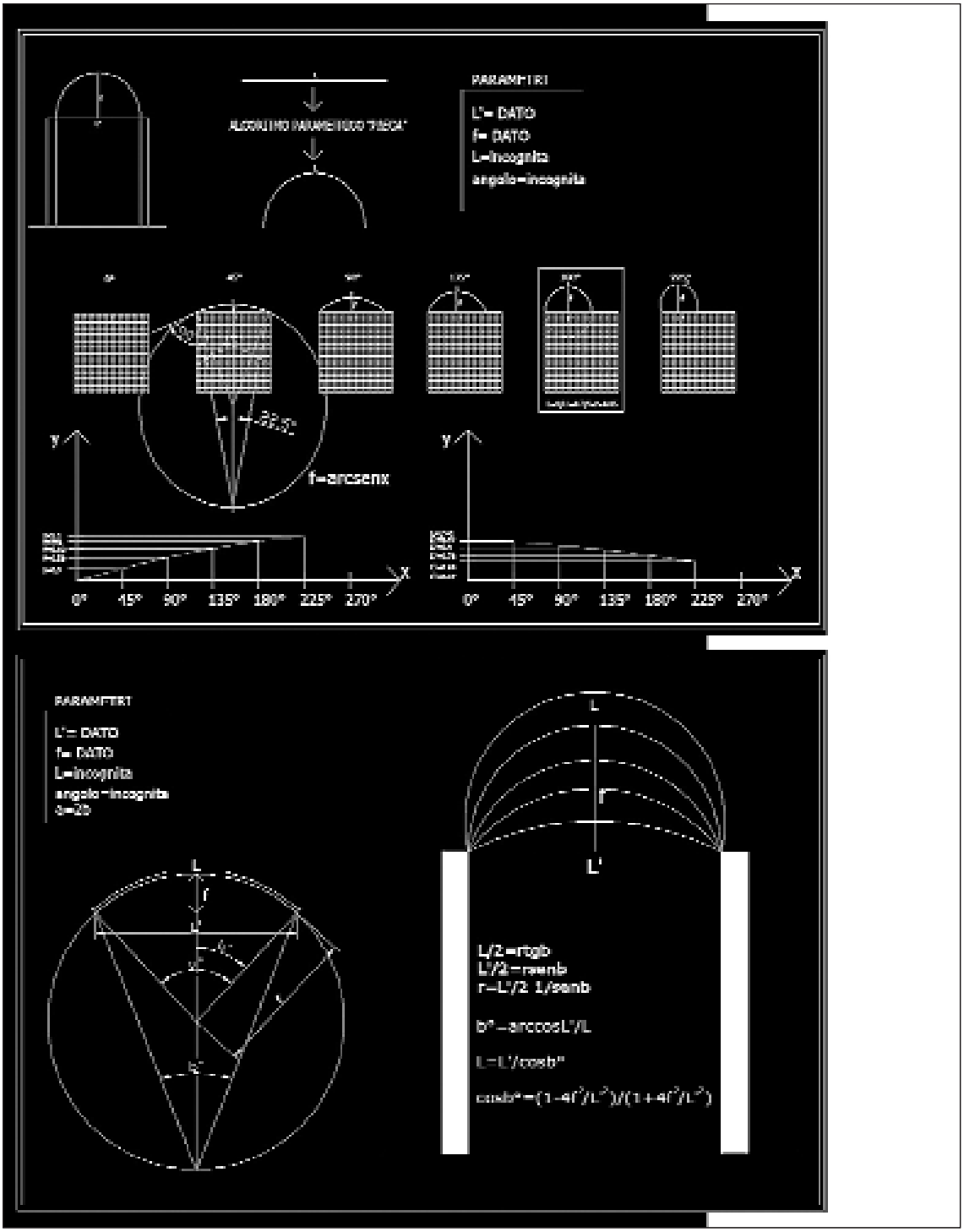


TAVOLA N° 20

Argomento della tavola: **Tecnica di deformazione cilindrica della volta piana, rappresentazione grafica delle funzioni e dei parametri;**

Fonti dell'elaborazione: **A.-F. Frézier, *La théorie* cit. (cfr. bibliografia), t. II, pl. 31, fig. 37;**

Tipo di modellazione: **2D Vettoriale;**

Software utilizzati: **Autocad 2004, Photoshop 7.**

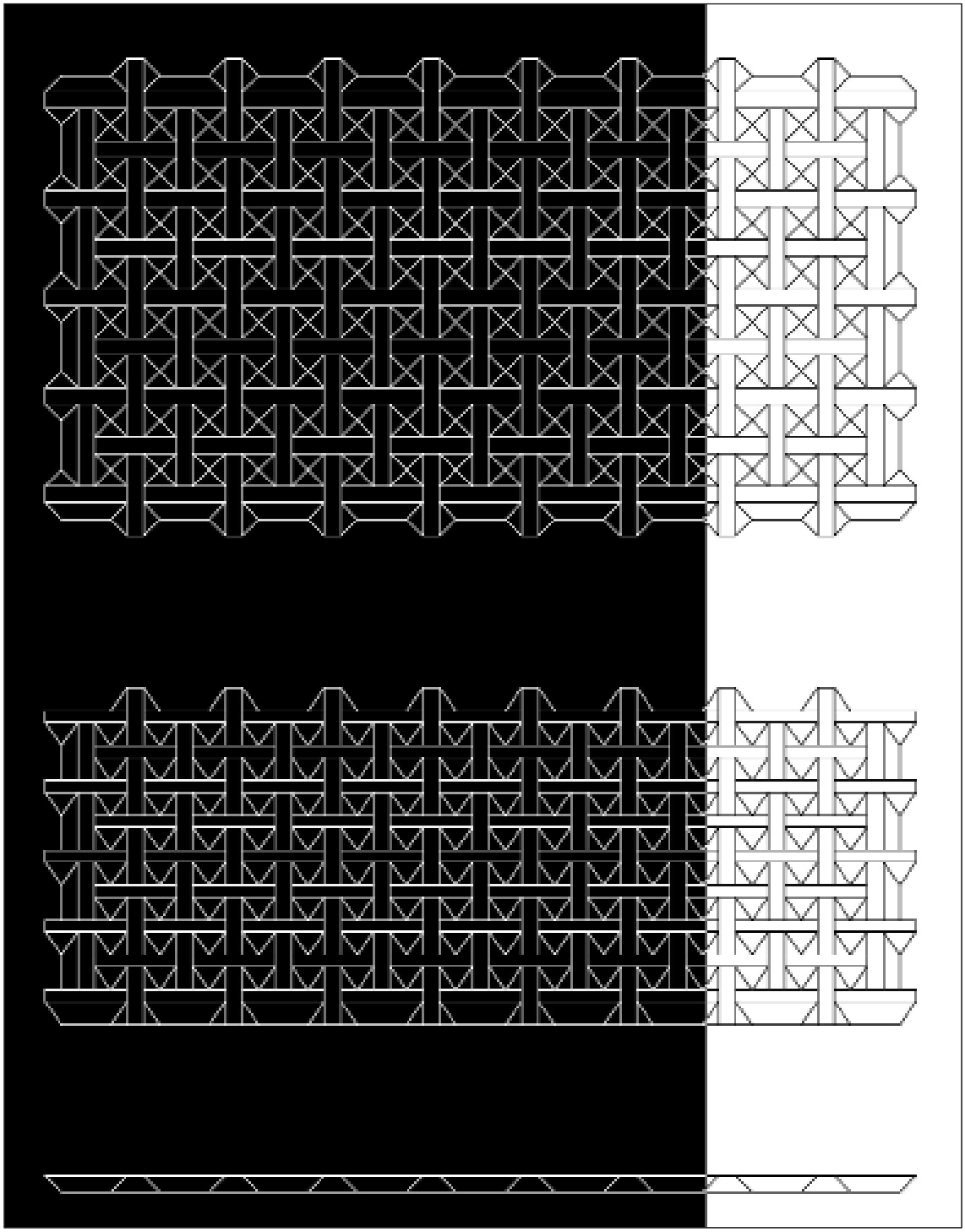


TAVOLA N° 21

Argomento della tavola: **Tecnica di deformazione cilindrica della volta piana, modello solido della volta indeformata;**

Fonti dell'elaborazione: **A.-F. Frézier, *La théorie* cit. (cfr. bibliografia), t. II, pl. 31, fig. 37;**

Tipo di modellazione: **3D Solida;**

Software utilizzati: **Autocad 2004, Photoshop 7.**

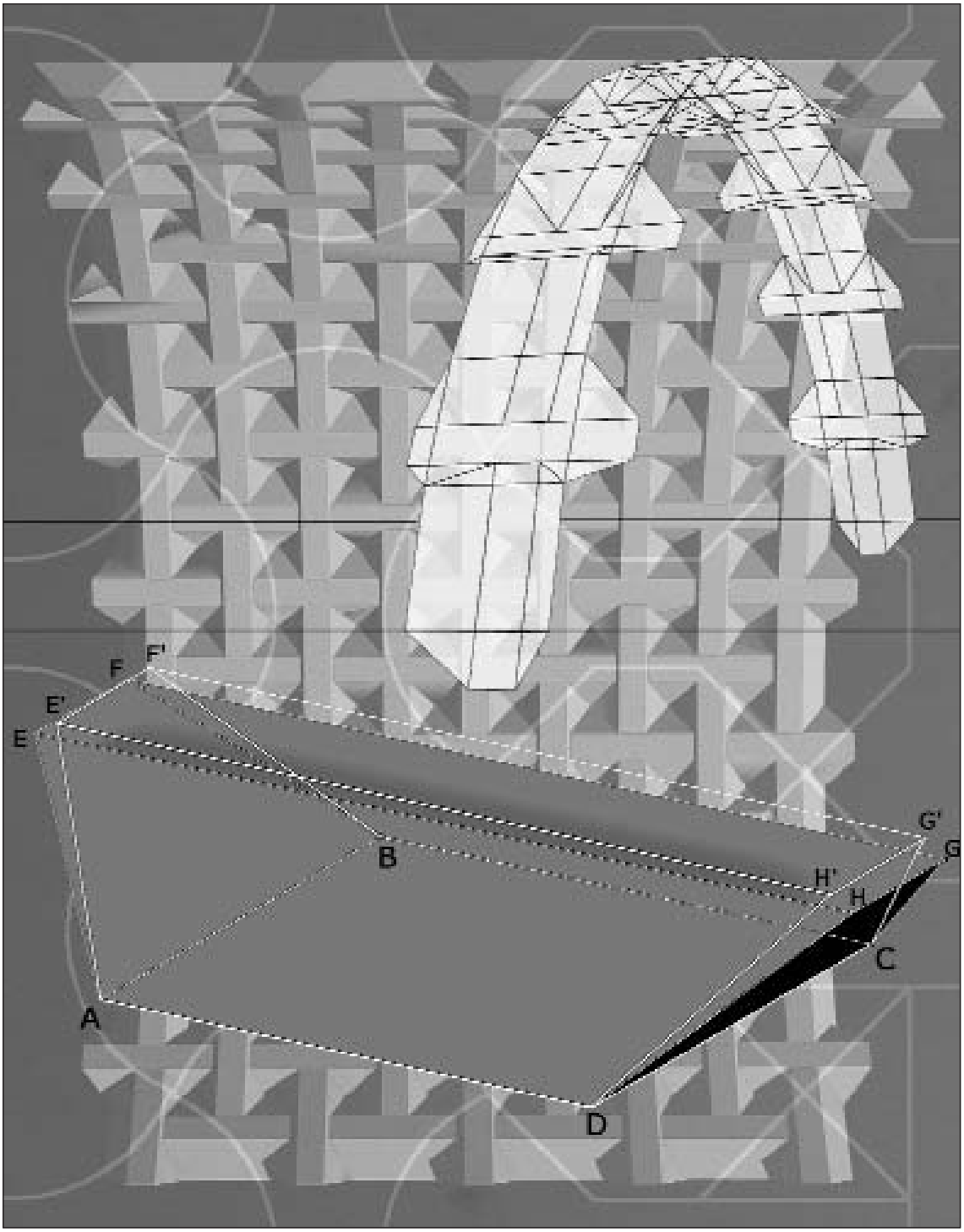


TAVOLA N° 22

Argomento della tavola: **Tecnica di deformazione cilindrica della volta piana, secondo il sistema di apparecchiatura di Abeille, modello volta deformata: elemento;**

Fonti dell'elaborazione: **A.-F. Frézier, *La théorie* cit. (cfr. bibliografia), t. II, pl. 31, fig. 37;**

Tipo di modellazione: **3D Solido/Superficiale;**

Software utilizzati: **Autocad 2004, 3DStudio Max 5, Photoshop 7.**

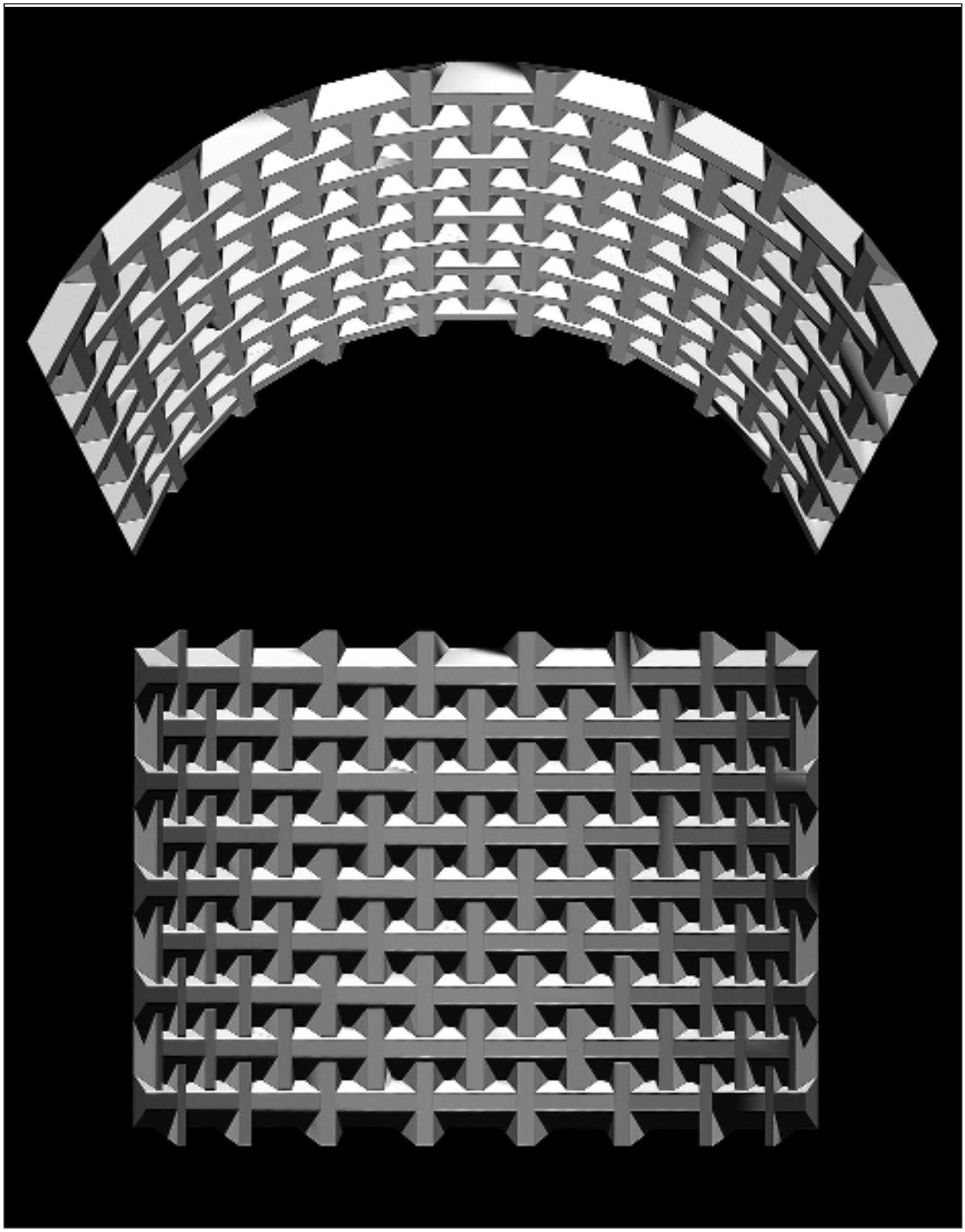


TAVOLA N° 23

Argomento della tavola:	**Tecnica di deformazione cilindrica della volta piana, secondo il sistema di apparecchiatura di Abeille, modello volta deformata: proiezioni;**
Fonti dell'elaborazione:	**A.-F. Frézier, *La théorie* cit. (cfr. bibliografia), t. II, pl. 31, fig. 37;**
Tipo di modellazione:	**3D Solido/Superficiale;**
Software utilizzati:	**Autocad 2004, 3DStudio Max 5, Photoshop 7.**

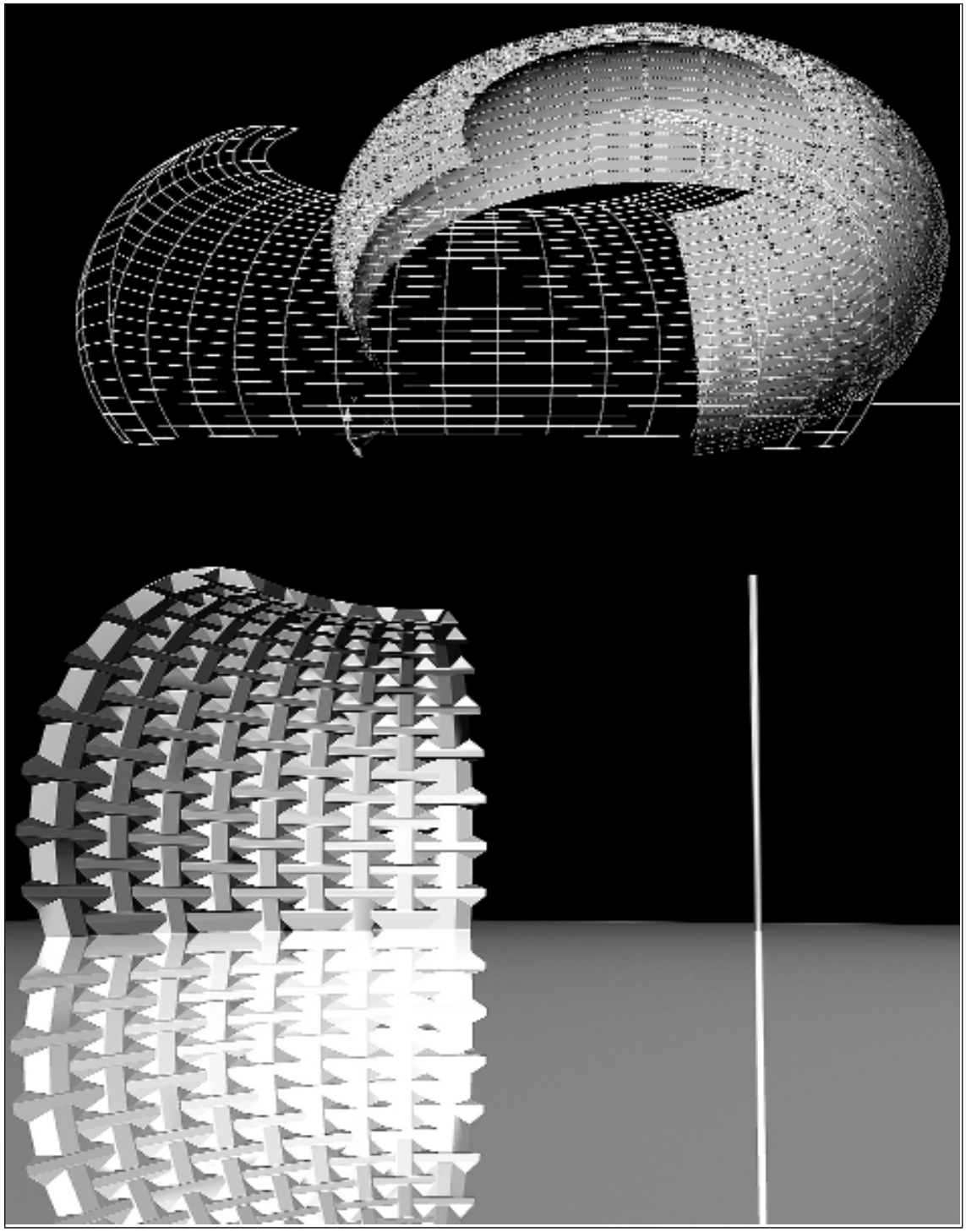


TAVOLA N° 24

Argomento della tavola:	**Tecnica di deformazione sferica della volta piana, secondo il sistema di apparecchiatura di Abeille, modello volta deformata: generalizzaz.;**
Fonti dell'elaborazione:	**A.-F. Frézier, *La théorie* cit. (cfr. bibliografia), t. II, pl. 31, fig. 37;**
Tipo di modellazione:	**3D Solido/Superficiale;**
Software utilizzati:	**Autocad 2004, 3DStudio Max 5, Photoshop 7.**

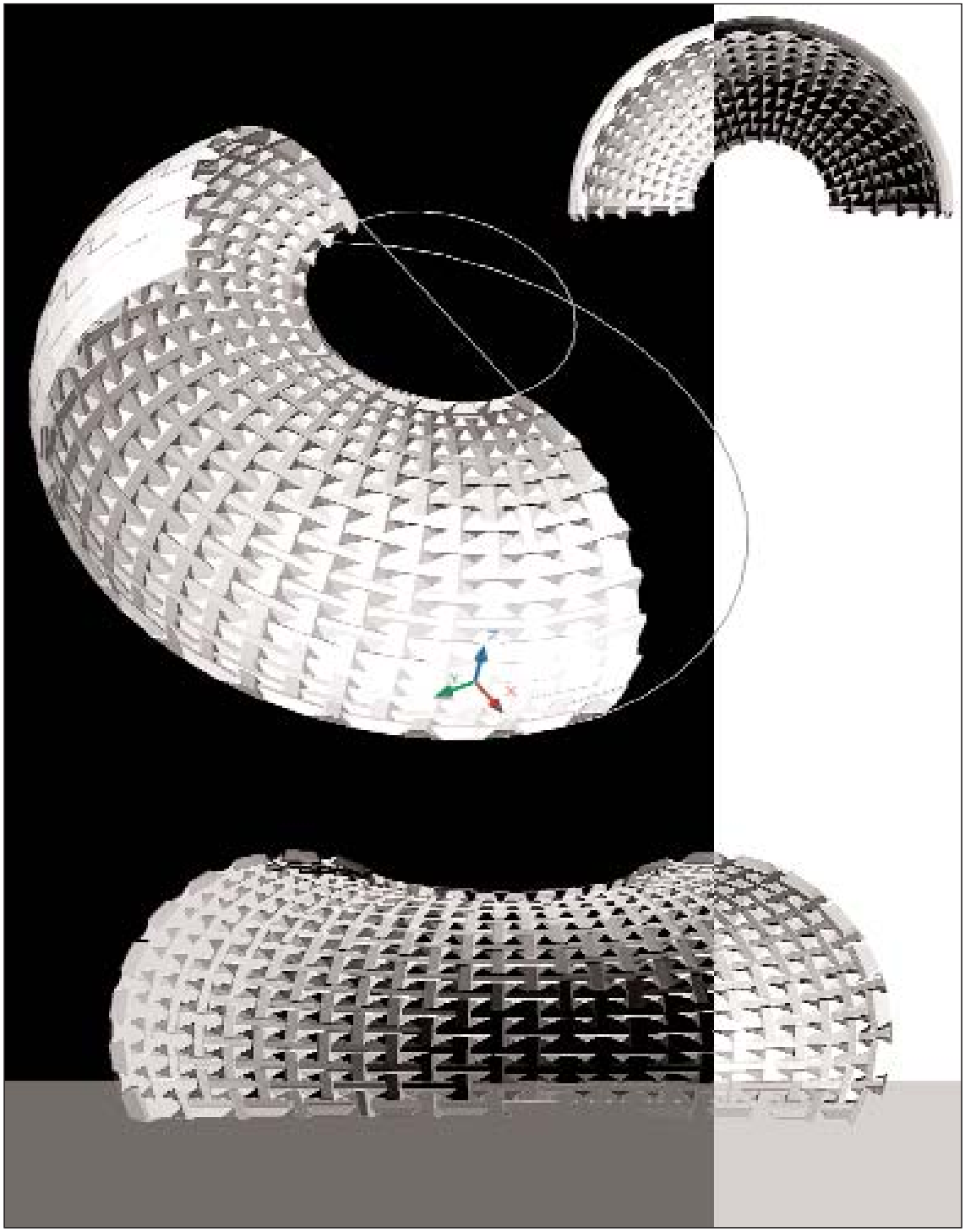


TAVOLA N° 25

Argomento della tavola:	**Tecnica di deformazione sferica della volta piana, secondo il sistema di apparecchiatura di Abeille, modello volta deformata: viste;**
Fonti dell'elaborazione:	**A.-F. Frézier, *La théorie* cit. (cfr. bibliografia), t. II, pl. 31, fig. 37;**
Tipo di modellazione:	**3D Solido/Superficiale;**
Software utilizzati:	**Autocad 2004, 3DStudio Max 5, Photoshop 7.**



TAVOLA N° 26

Argomento della tavola: **Volta piana, secondo il sistema di apparecchiatura di Abeille: prototipo realizzato presso i laboratori dell'Ille d'Abeau, Lione - Francia;**

Fonti dell'elaborazione: **A.-F. Frézier, *La théorie* cit. (cfr. bibliografia), t. II, pl. 31, fig. 37;**

Tipo di modellazione: **-**

Software utilizzati: **Photoshop 7.**

3. Archi

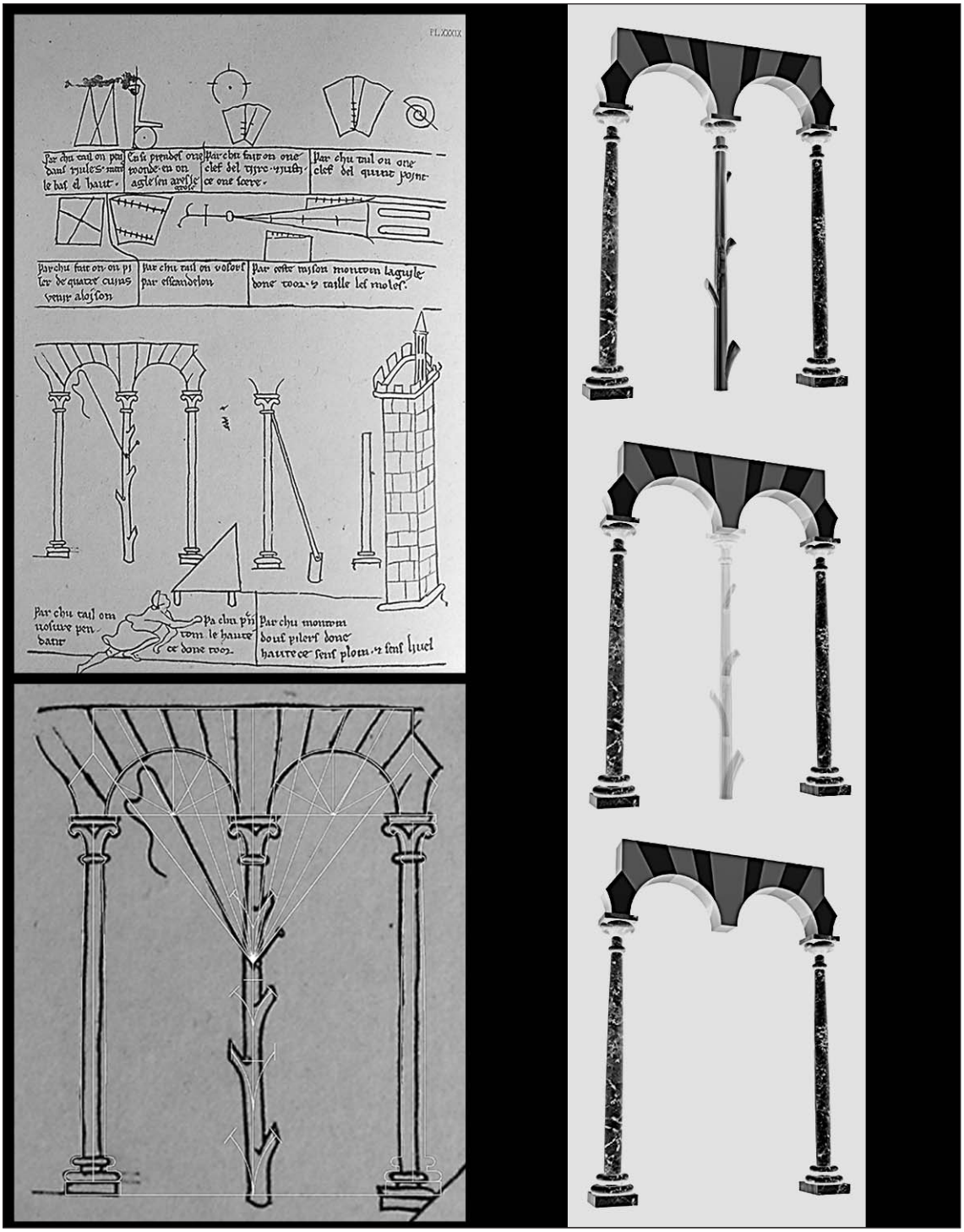


TAVOLA N° 27

Argomento della tavola: **Finta bifora;**

Fonti dell'elaborazione: **V. de Honnecourt, *Carnet* cit. (cfr. bibliografia), fol. 20 r, pl. 40;**

Tipo di modellazione: **3D Solido/Superficiale;**

Software utilizzati: **Autocad 2004, 3DStudio Max 5, Photoshop 7.**

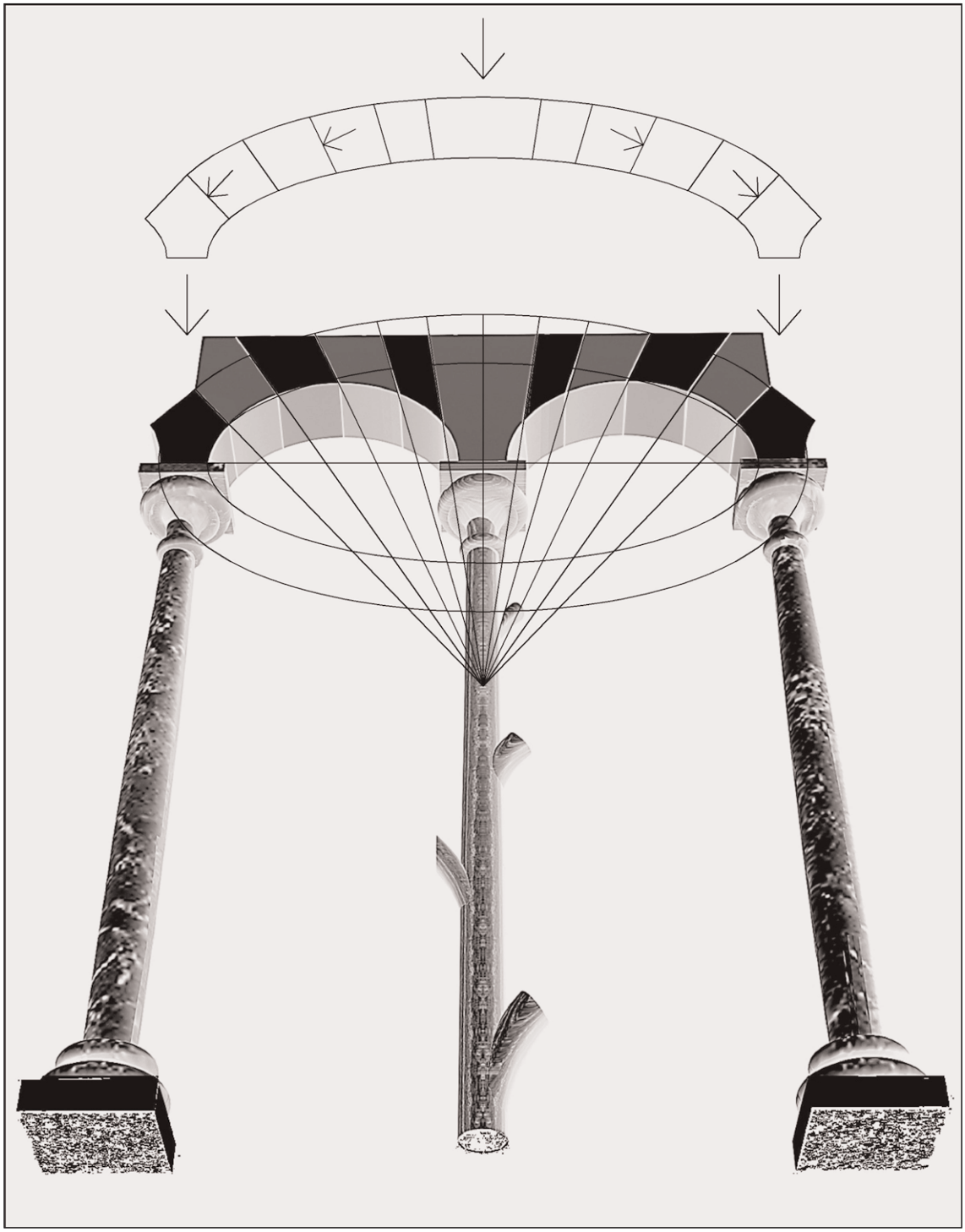


TAVOLA N° 28

Argomento della tavola: **Finta bifora: tecnica del tracciato geometrico dell'apparecchiatura;**

Fonti dell'elaborazione: **V. de Honnecourt, *Carnet* cit. (cfr. bibliografia), fol. 20 r, pl. 40;**

Tipo di modellazione: **3D Solido/Superficiale;**

Software utilizzati: **Autocad 2004, 3DStudio Max 5, Photoshop 7.**

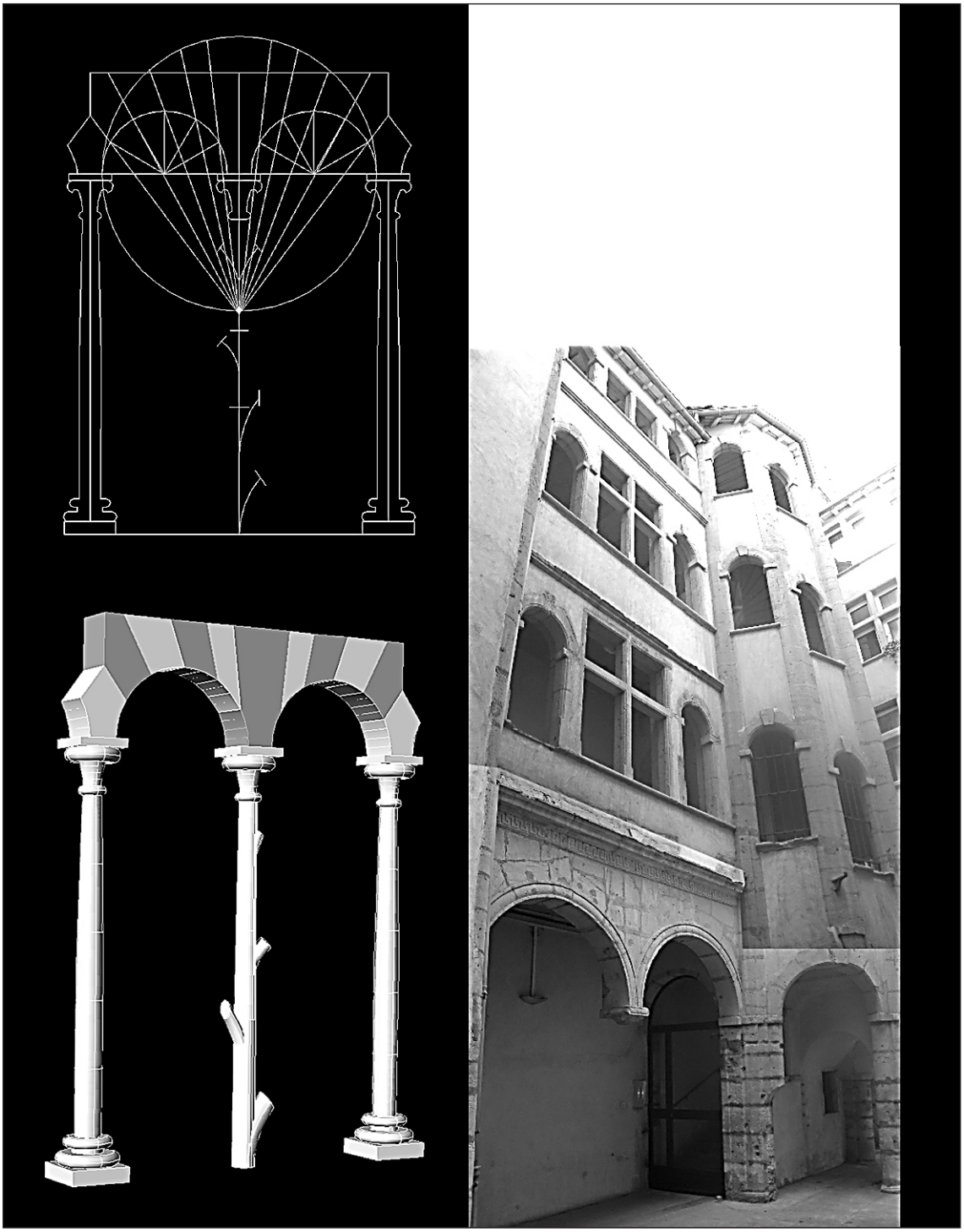


TAVOLA N° 29

Argomento della tavola: **Finta bifora: tecnica del tracciato geometrico, Foto: esempio in una corte del centro antico di Lione - Francia;**

Fonti dell'elaborazione: **V. de Honnecourt, *Carnet* cit. (cfr. bibliografia), fol. 20 r, pl. 40;**

Tipo di modellazione: **3D Solido/Superficiale;**

Software utilizzati: **Autocad 2004, 3DStudio Max 5, Photoshop 7.**

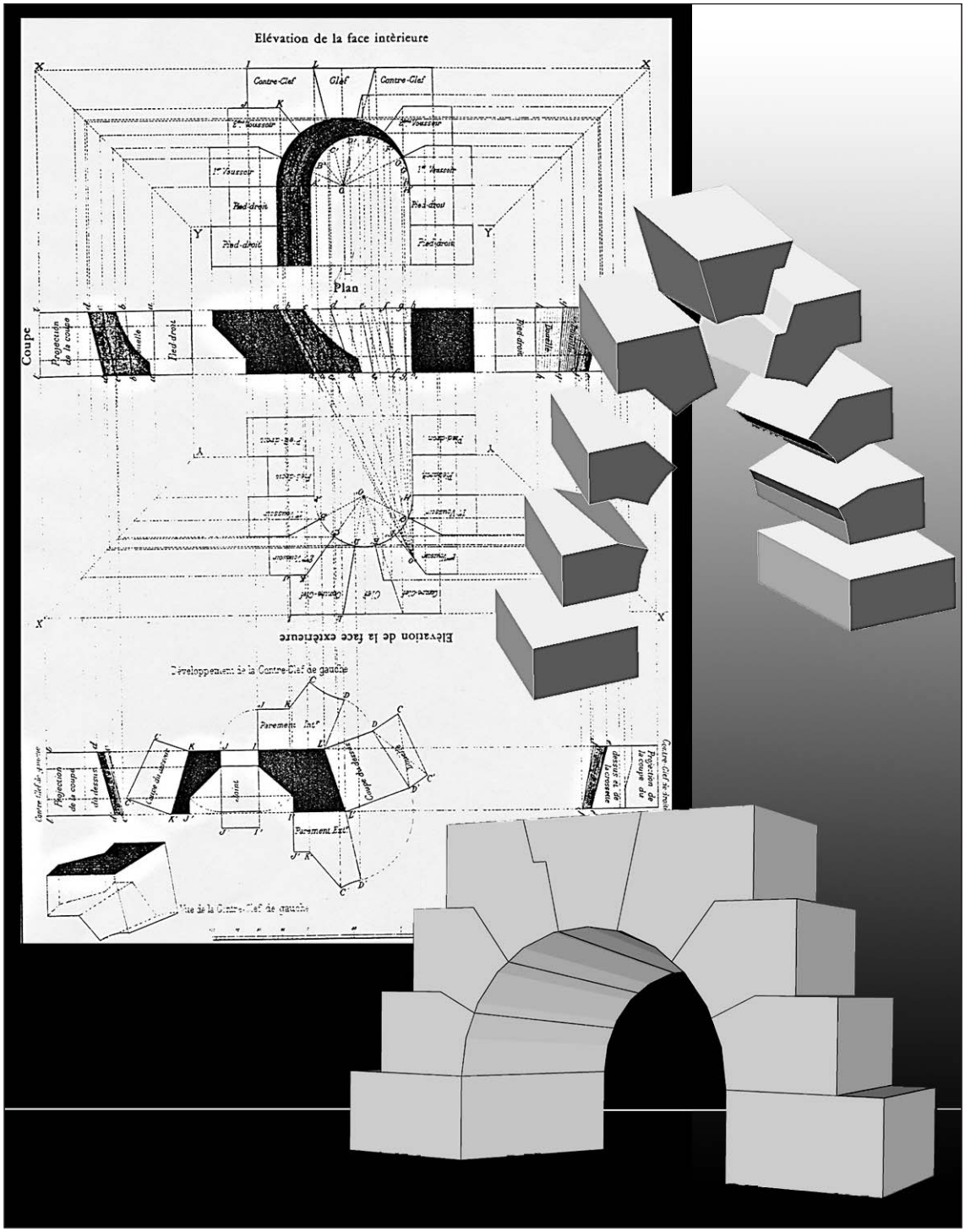


TAVOLA N° 30

Argomento della tavola: **Arco con intradosso conico o corno di vacca;**

Fonti dell'elaborazione: **L. Monduit, *Traité* cit. (cfr. bibliografia), pl. 31;**

Tipo di modellazione: **3D Solida;**

Software utilizzati: **Autocad 2004, 3DStudio Max 5, Photoshop 7.**

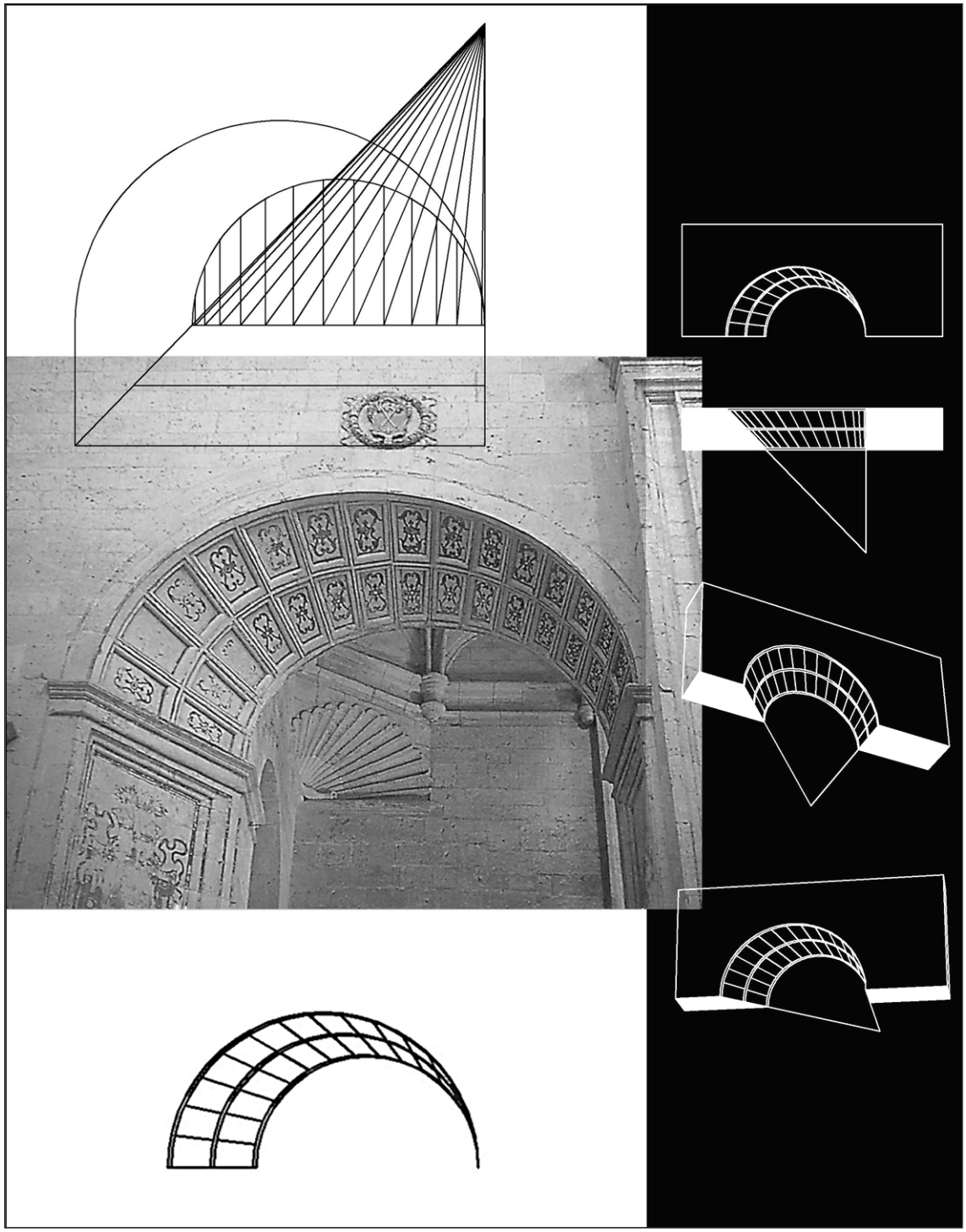


TAVOLA N° 31

Argomento della tavola: **Arco con intradosso conico o corno di vacca con decorazione a cassettone;**

Fonti dell'elaborazione: **Foto: ingresso al monastero della Santa Espina, Valladolid, E. R. Dìaz, *Forma* cit. (cfr. bibliografia);**

Tipo di modellazione: **3D Solido/Superficiale;**

Software utilizzati: **Rhinoceros, 3DStudio Max 5, Photoshop 7.**

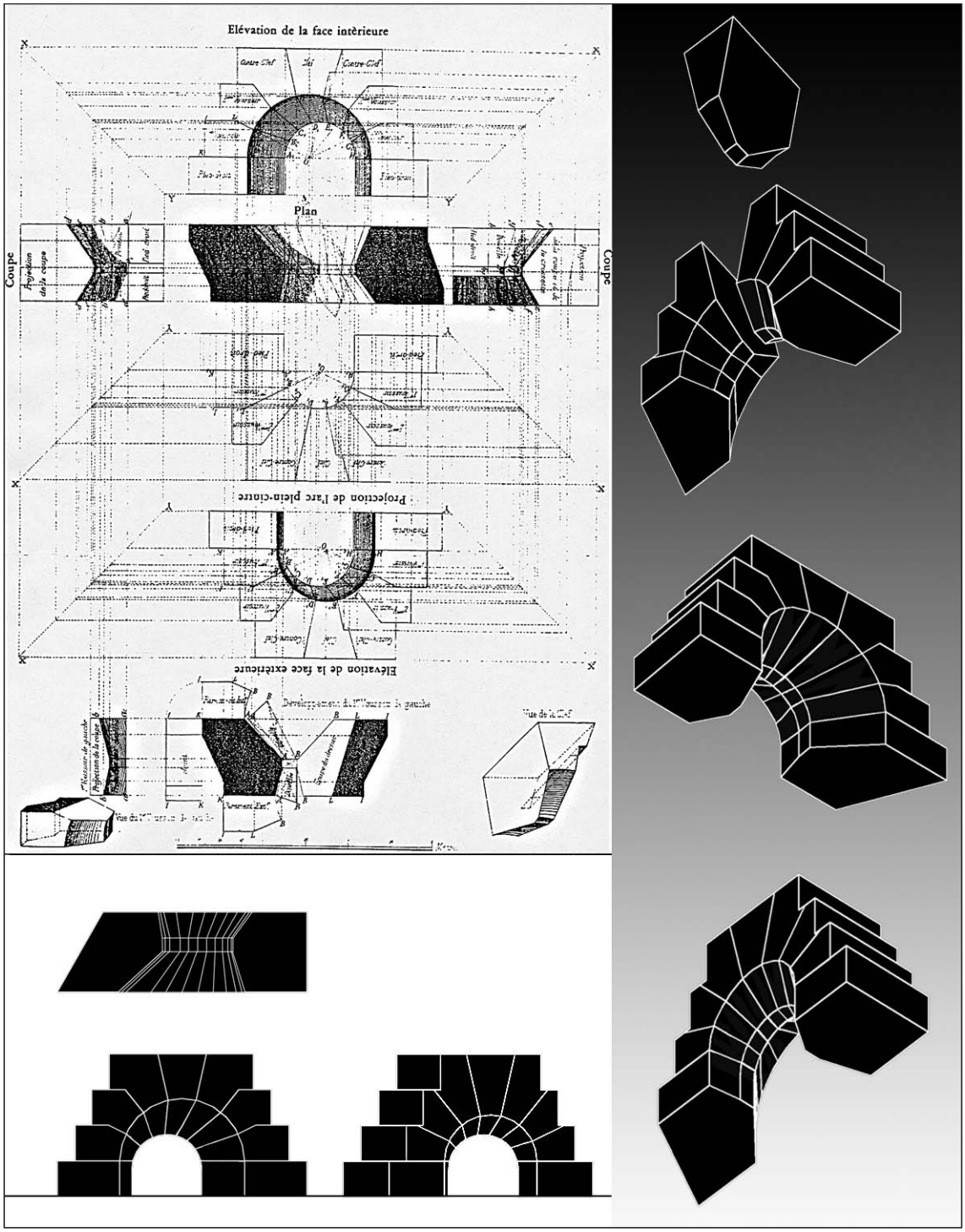


TAVOLA N° 32

Argomento della tavola: **Doppio arco conico a tutto sesto;**

Fonti dell'elaborazione: **L. Monduit, *Traité* cit. (cfr. bibliografia), pl. 32;**

Tipo di modellazione: **3D Solido/superficiale;**

Software utilizzati: **Rhinoceros, 3DStudio Max 5, Photoshop 7.**

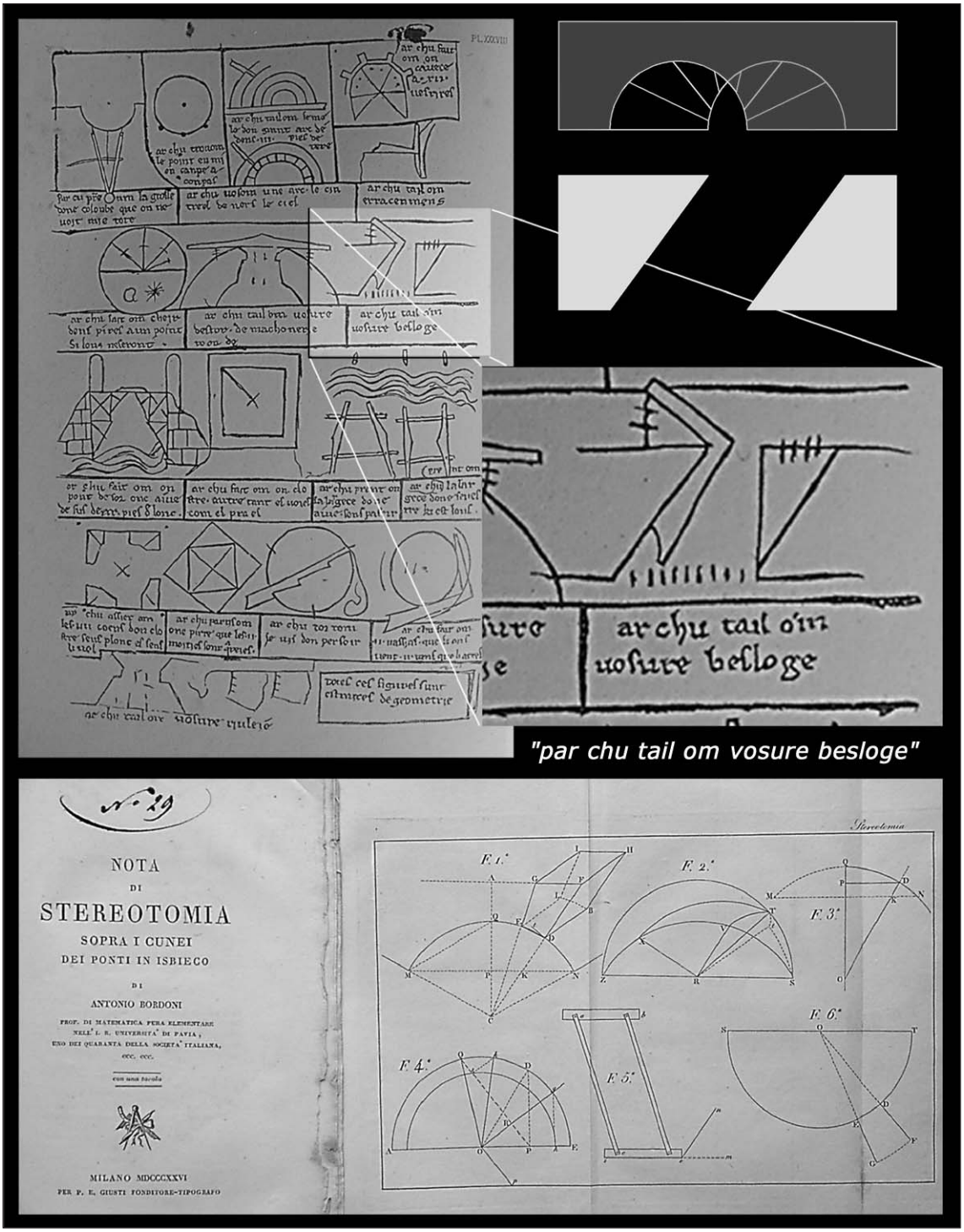


TAVOLA N° 33

Argomento della tavola: **Arco obliquo, *biais passé:* trattati;**

Fonti dell'elaborazione: **V. de Honnecourt, *Carnet* cit. (cfr. bibliografia), fol. 20 v, pl. 39. A. Bordoni, *Nota* cit. (cfr. biblio grafia);**

Tipo di modellazione: **2D, raster;**

Software utilizzati: **Autocad 2004, 3DStudio Max 5, Photoshop 7.**

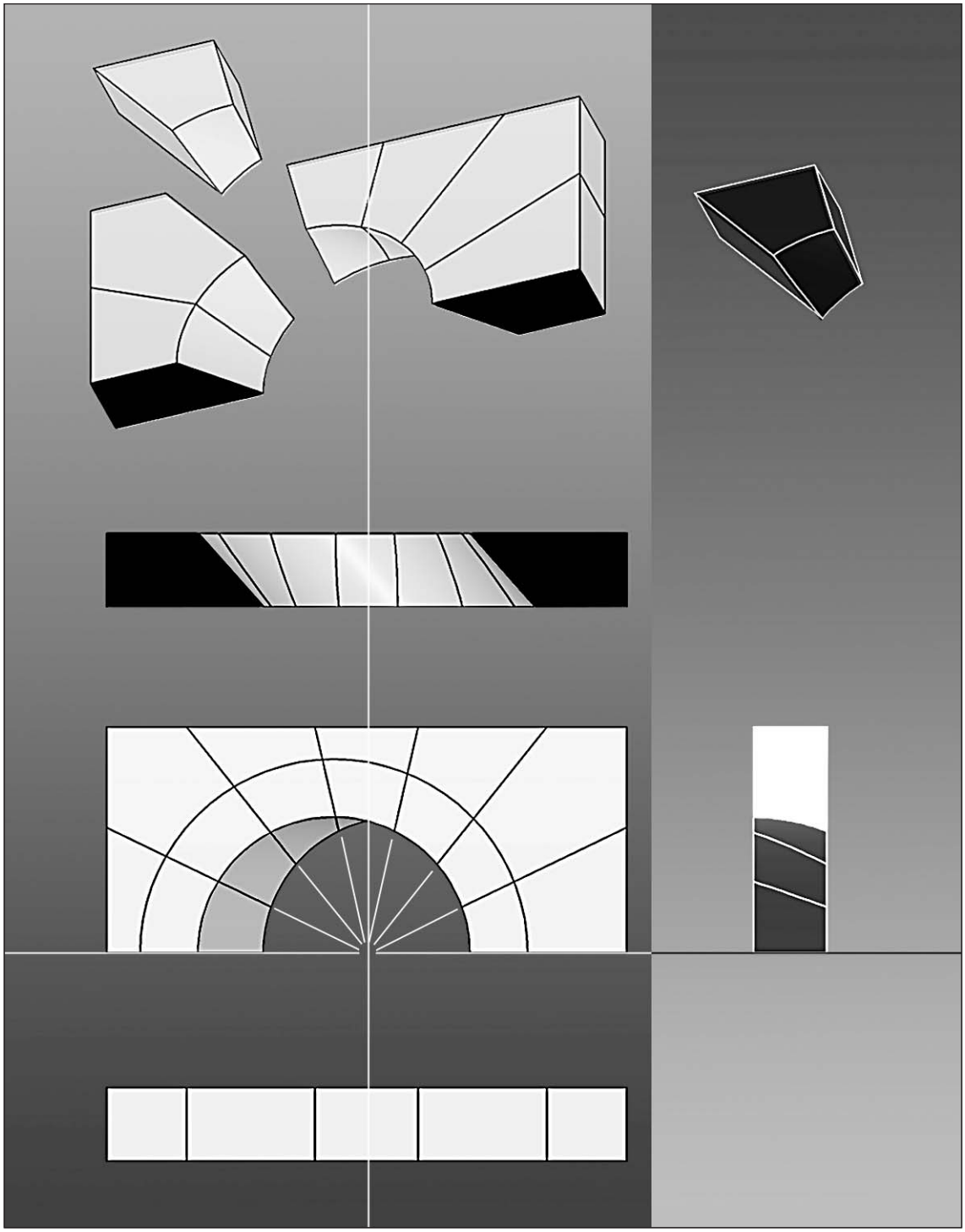


TAVOLA N° 34

Argomento della tavola: **Arco obliquo, *biais passé:* modello esplicativo;**

Fonti dell'elaborazione: **V. de Honnecourt, *Carnet* cit. (cfr. bibliografia), fol. 20 v, pl. 39. A. Bordoni, *Nota* cit. (cfr. biblio grafia);**

Tipo di modellazione: **3D Solida;**

Software utilizzati: **Autocad 2004, 3DStudio Max 5, Photoshop 7.**

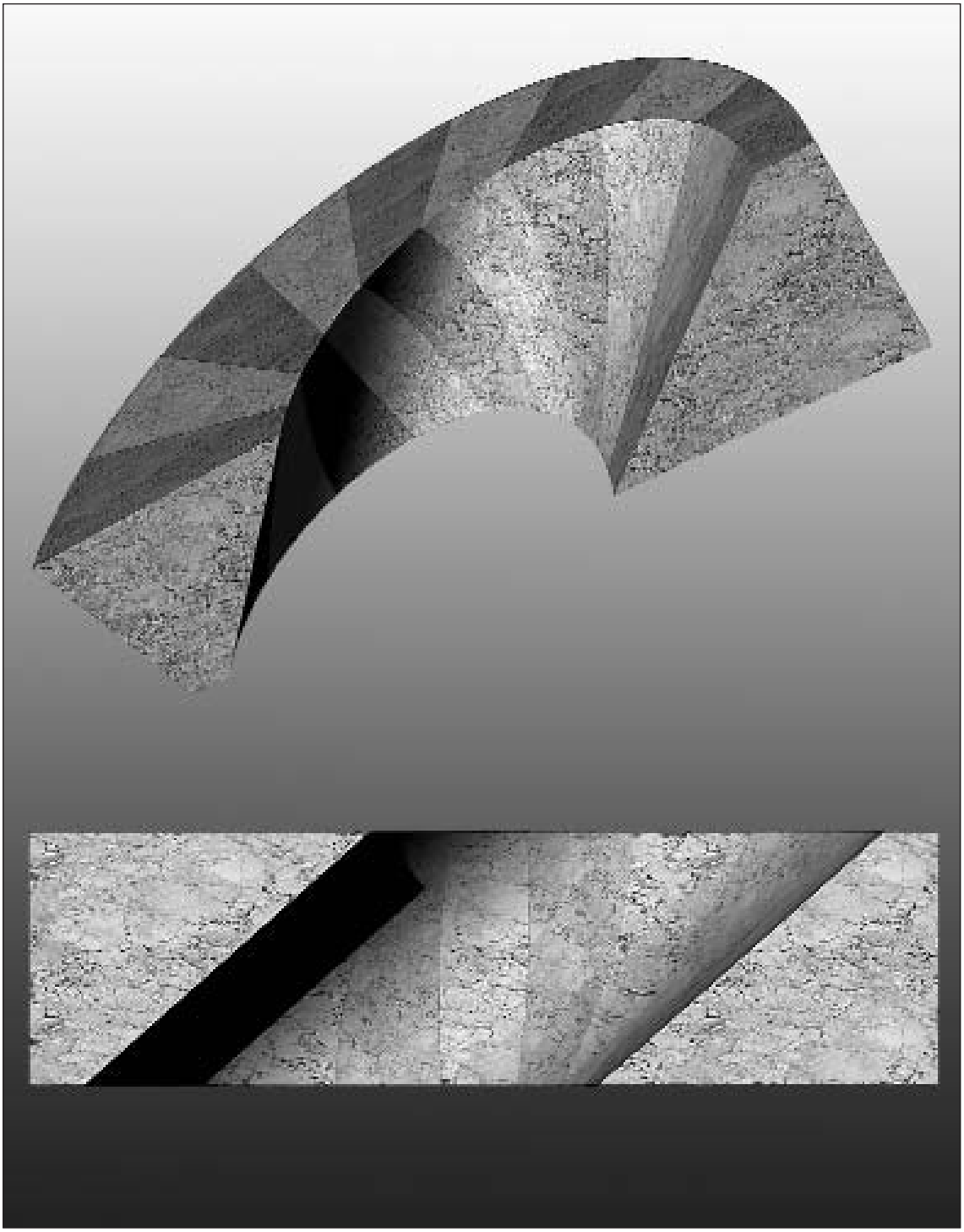


TAVOLA N° 35

Argomento della tavola: **Arco obliquo, *biais passé: intradosso e* ipografia;**

Fonti dell'elaborazione: **V. de Honnecourt, *Carnet* cit. (cfr. bibliografia), fol. 20 v, pl. 39. A. Bordoni, *Nota* cit. (cfr. biblio grafia);**

Tipo di modellazione: **3D Solida;**

Software utilizzati: **Autocad 2004, 3DStudio Max 5, Photoshop 7.**

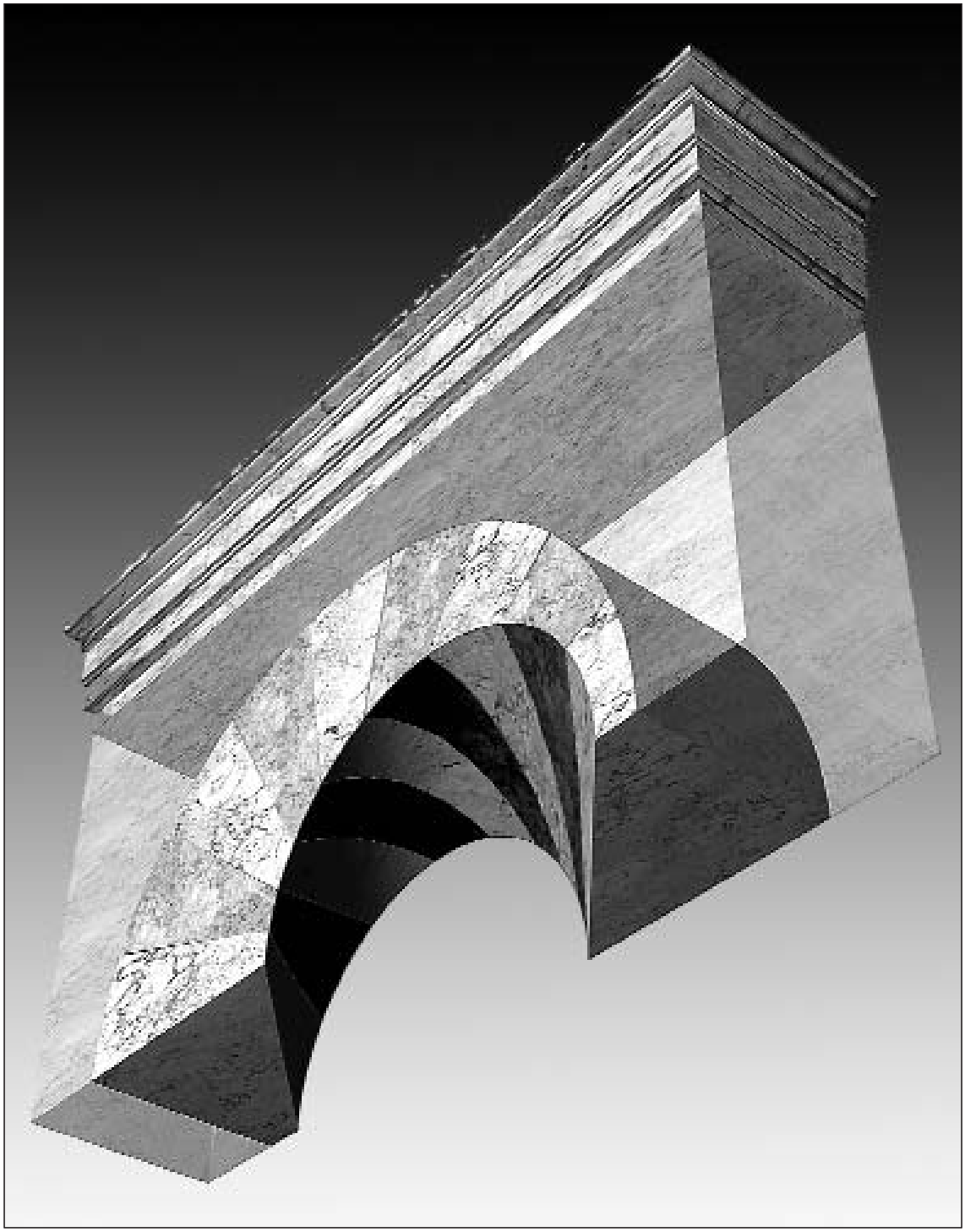


TAVOLA N° 36

Argomento della tavola: **Arco obliquo, *biais passé:* disegno d'invenzione;**

Fonti dell'elaborazione: **V. de Honnecourt, *Carnet* cit. (cfr. bibliografia), fol. 20 v, pl. 39. A. Bordoni, *Nota* cit. (cfr. biblio grafia);**

Tipo di modellazione: **3D Solida;**

Software utilizzati: **Autocad 2004, 3DStudio Max 5, Photoshop 7.**

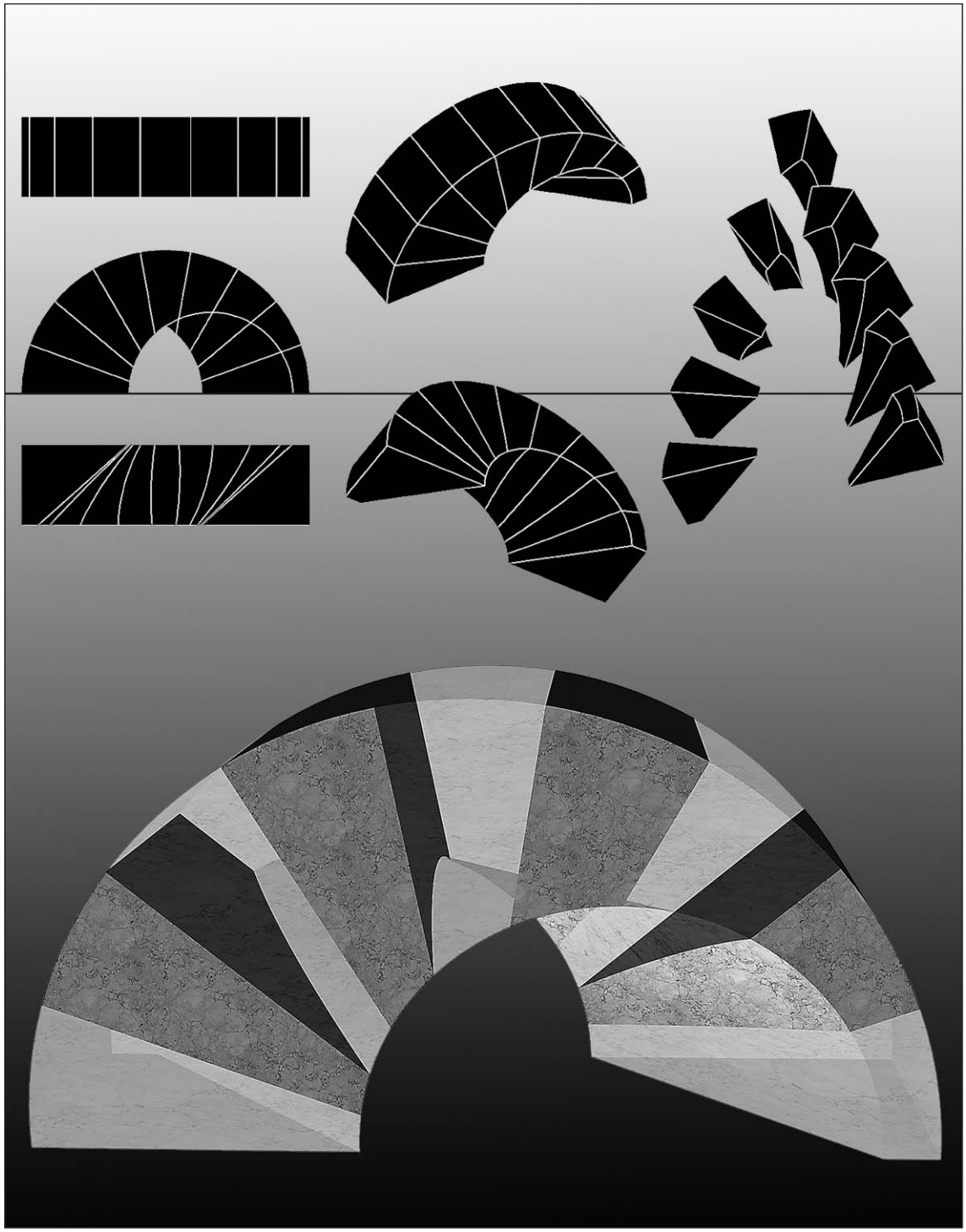


TAVOLA N° 37

Argomento della tavola: **Arco obliquo, *biais passé* all'interno di un arco;**

Fonti dell'elaborazione: **V. de Honnecourt, *Carnet* cit. (cfr. bibliografia), fol. 20 v, pl. 39. A. Bordoni, *Nota* cit. (cfr. biblio grafia);**

Tipo di modellazione: **3D Solida;**

Software utilizzati: **Autocad 2004, 3DStudio Max 5, Photoshop 7.**

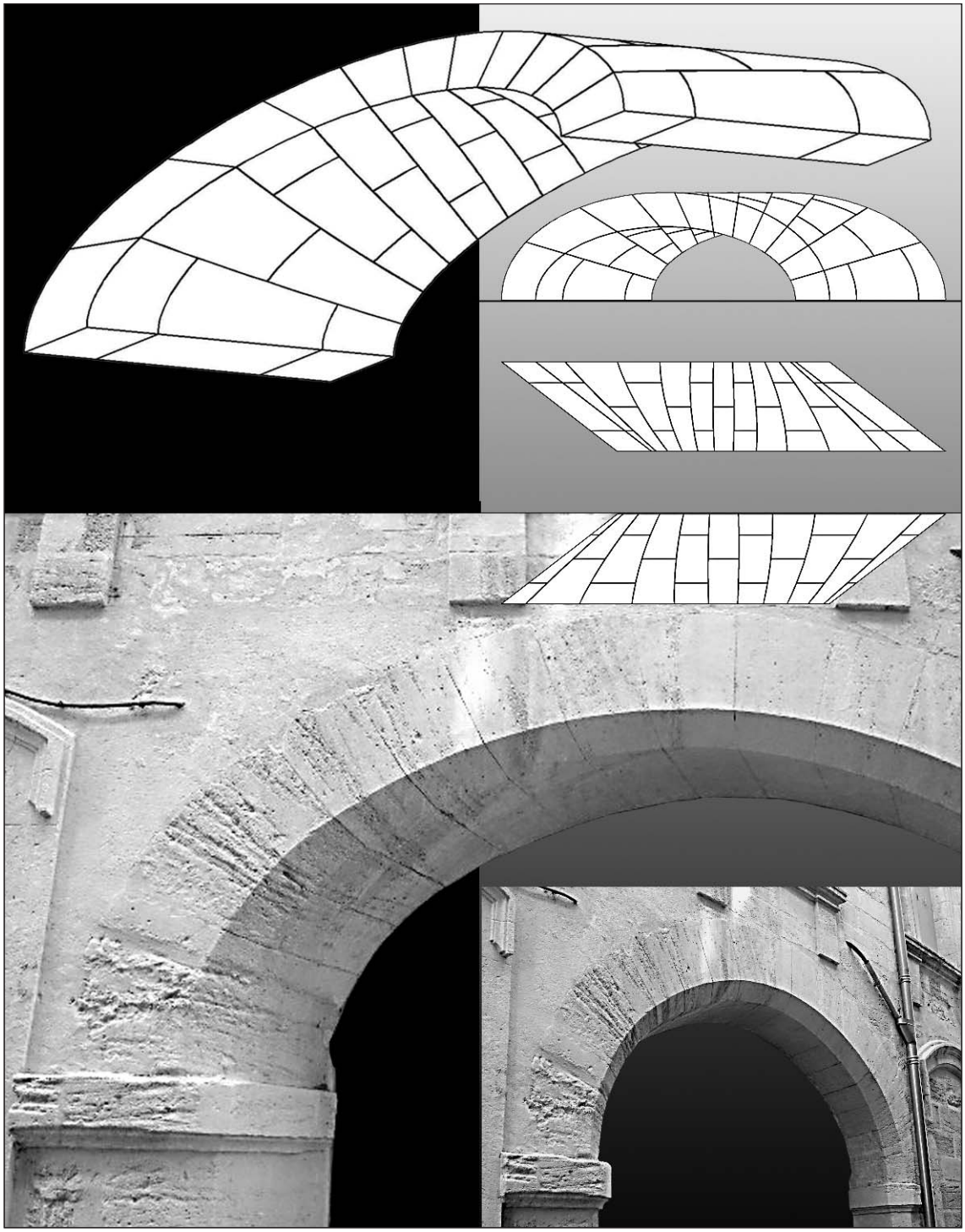


TAVOLA N° 38

Argomento della tavola: **Arco obliquo, *biais passé* con direttrice ellittica;**

Fonti dell'elaborazione: **Foto: apertura-ingresso in Avignon, Francia.**

Tipo di modellazione: **3D Solida;**

Software utilizzati: **Autocad 2004, 3DStudio Max 5, Photoshop 7.**

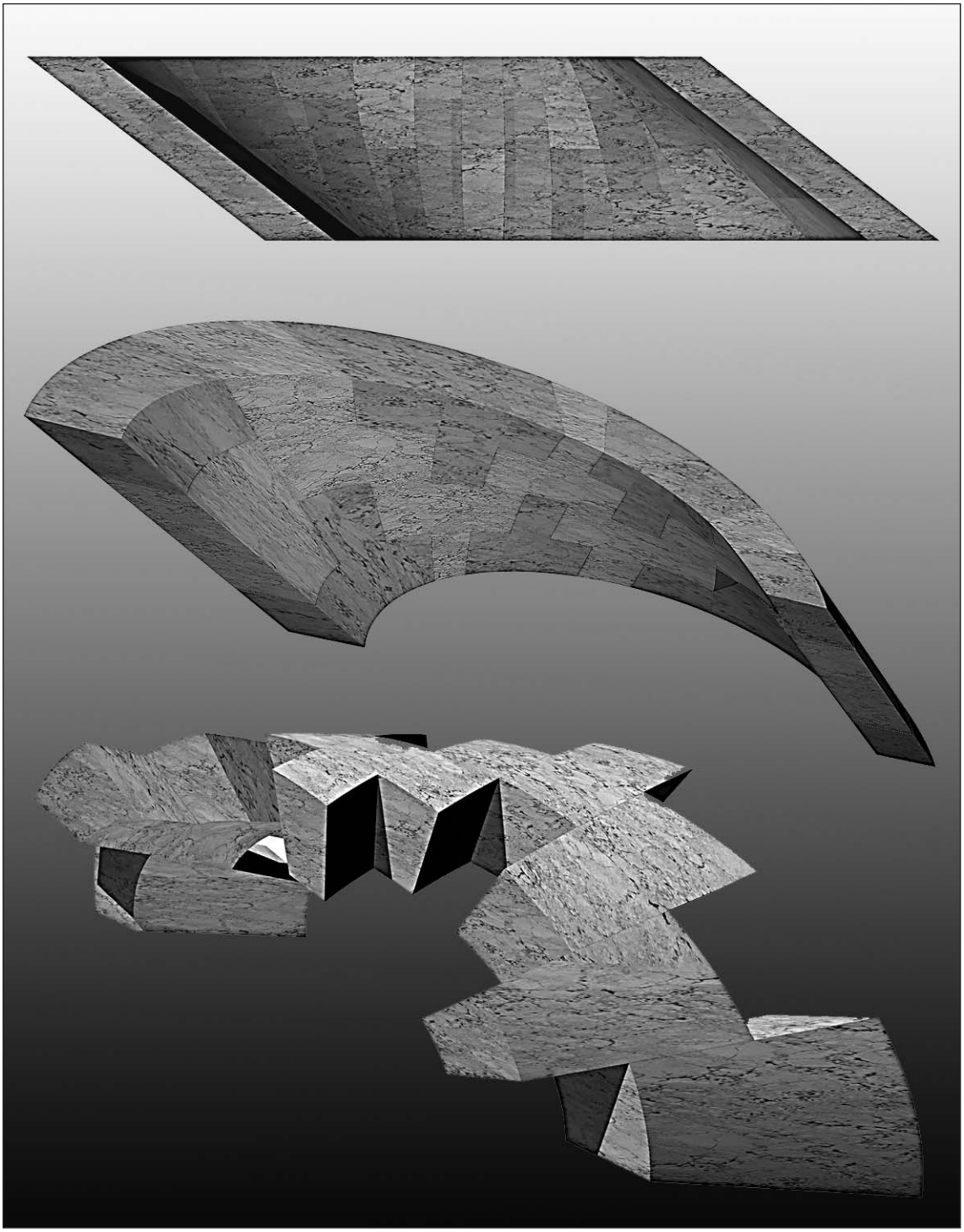


TAVOLA N° 39

Argomento della tavola: **Arco obliquo, *biais passé* con direttrice ellittica: ipografia, vista dell'intradosso, apparecchiatura;**

Fonti dell'elaborazione: **rielaborazione modello.**

Tipo di modellazione: **3D Solida;**

Software utilizzati: **Autocad 2004, 3DStudio Max 5, Photoshop 7.**

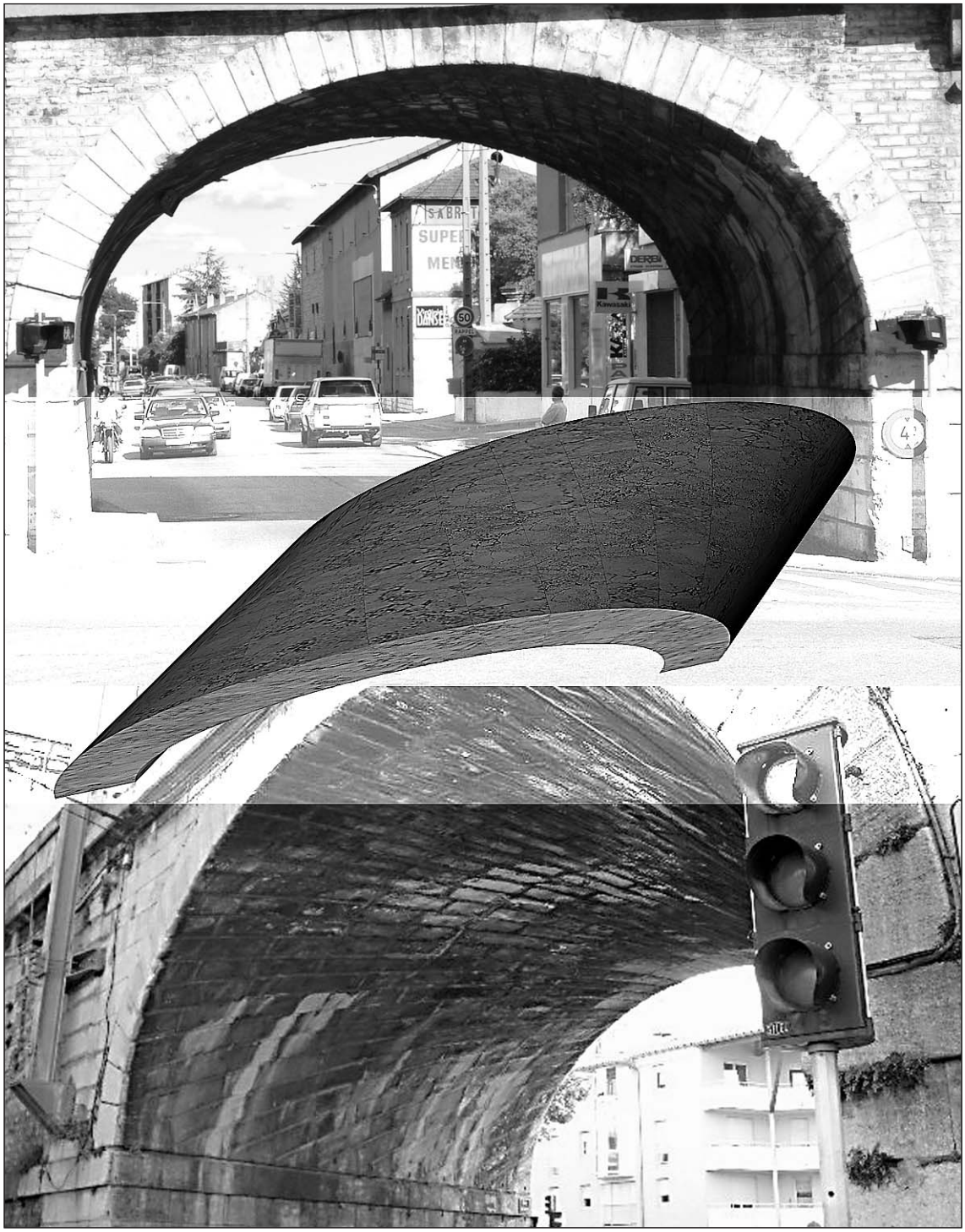


TAVOLA N° 40

Argomento della tavola: **Ponte obliquo, con direttrice a curva policentrica;**

Fonti dell'elaborazione: **Foto: ponte ferroviario a Nimes, Francia;**

Tipo di modellazione: **3D Solida;**

Software utilizzati: **Autocad 2004, 3DStudio Max 5, Photoshop 7.**

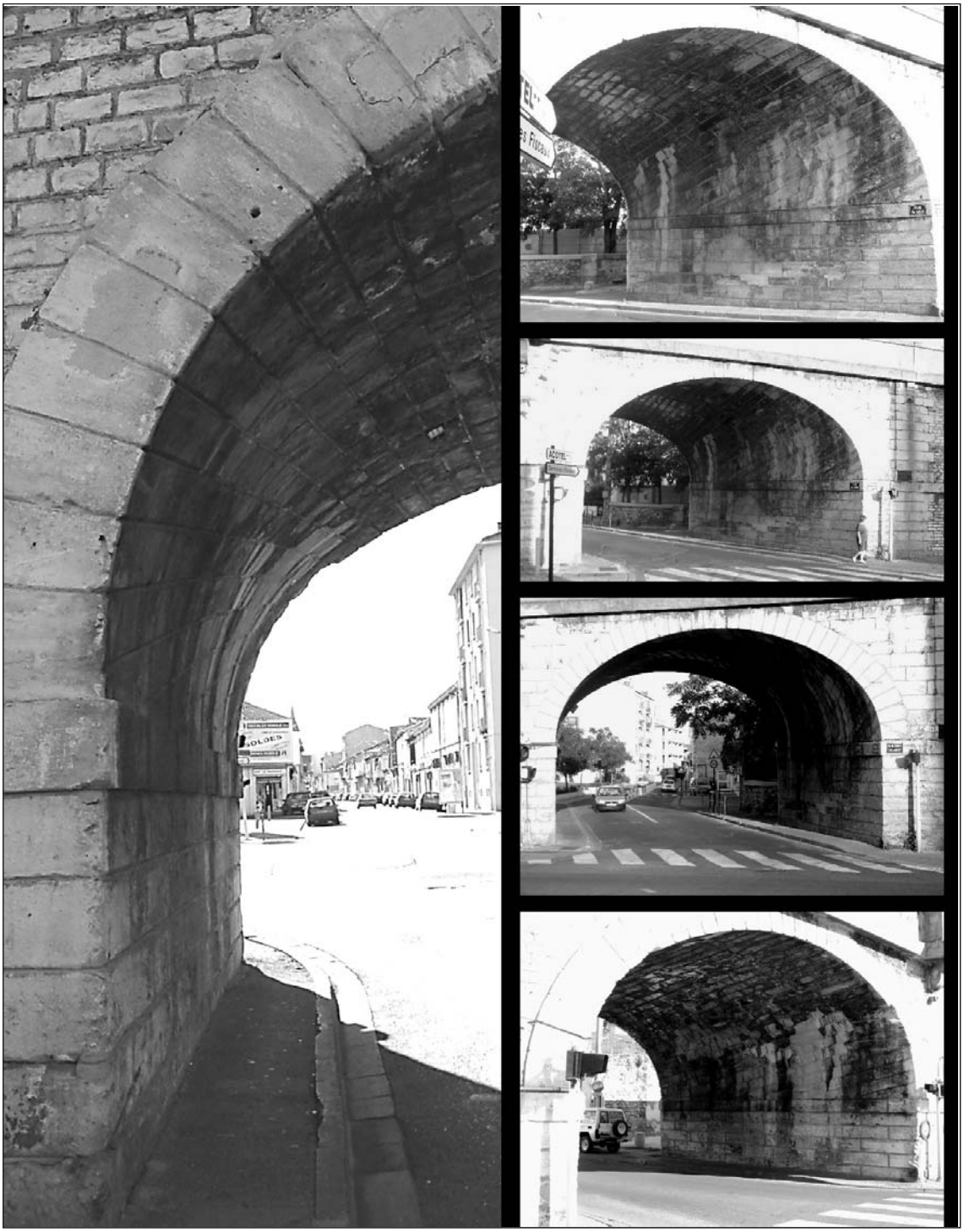


TAVOLA N° 41

Argomento della tavola: **Ponte obliquo, con direttrice a curva policentri ca: immagini del fronte e d'intradosso;**

Fonti dell'elaborazione: **Foto: ponte ferroviario a Nimes, Francia;**

Tipo di modellazione: **raster;**

Software utilizzati: **Photoshop 7.**

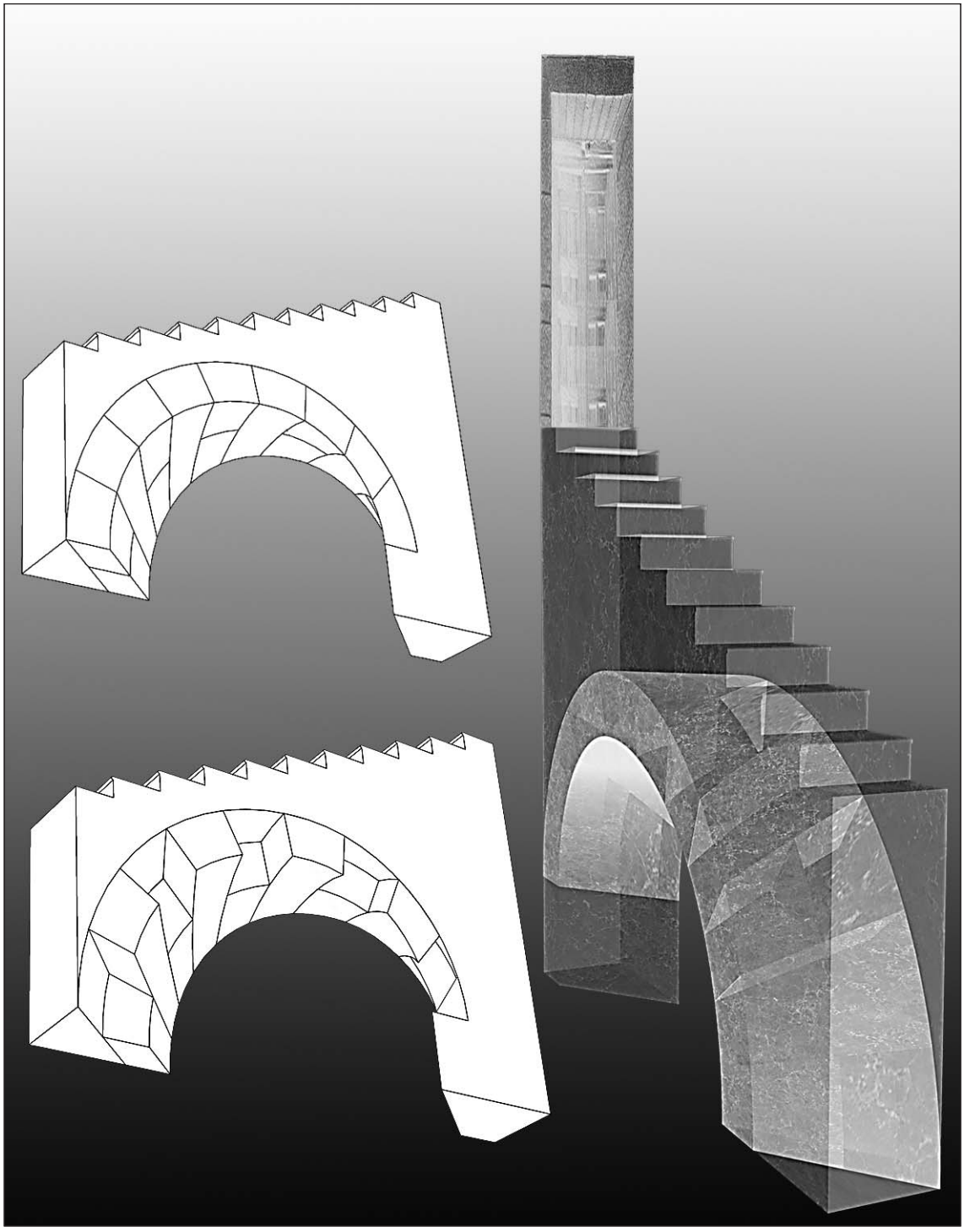


TAVOLA N° 42

Argomento della tavola: **Arco obliquo rampante, con direttrice a curva policentrica: disegno d'invenzione;**

Fonti dell'elaborazione: **rielaborazione modelli;**

Tipo di modellazione: **3D Solida;**

Software utilizzati: **Autocad 2004, 3DStudio Max 5, Photoshop 7.**

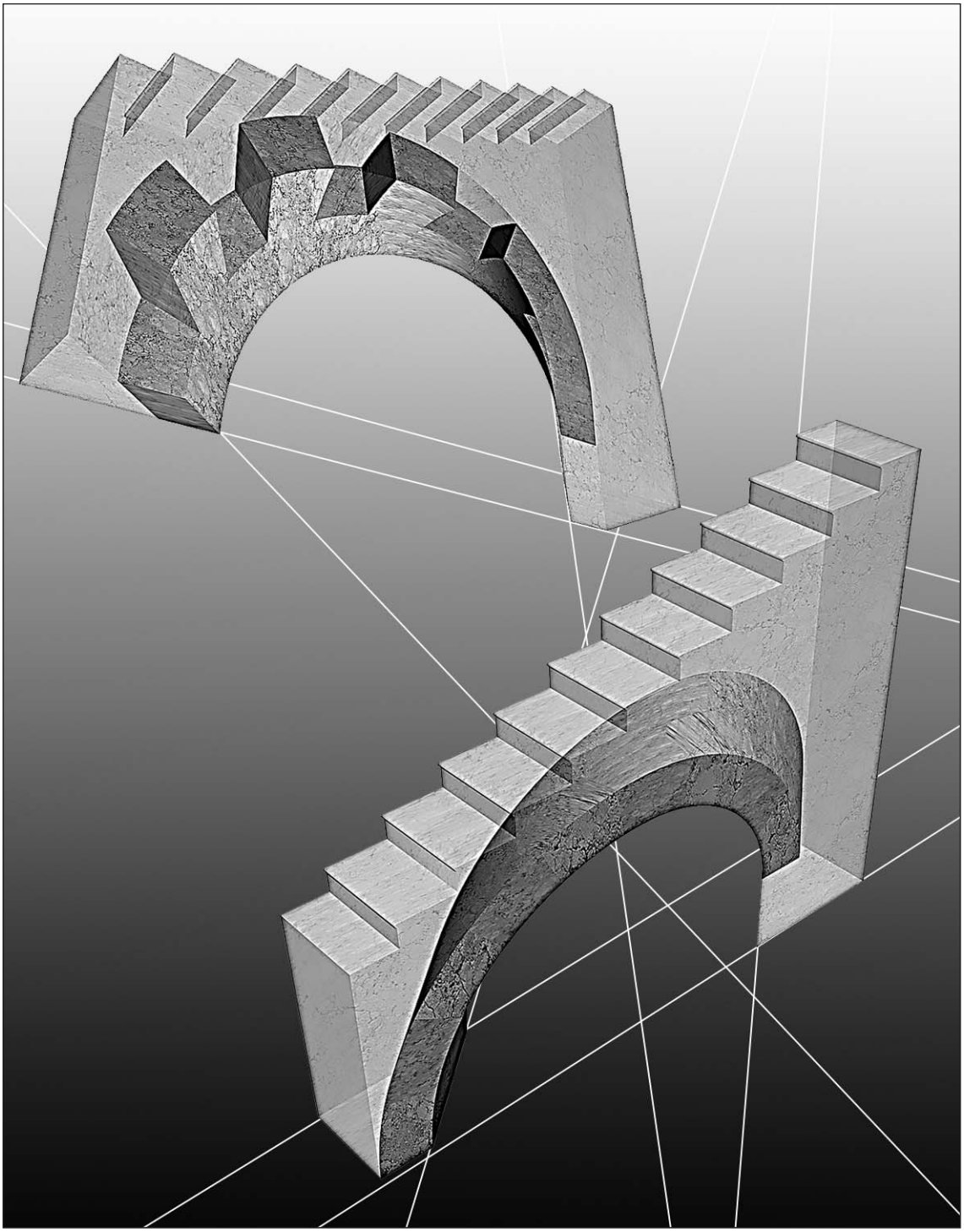


TAVOLA N° 43

Argomento della tavola: **Arco obliquo rampante, con direttrice a curva policentrica: disegno d'invenzione - scala;**

Fonti dell'elaborazione: **rielaborazione modelli;**

Tipo di modellazione: **3D Solida;**

Software utilizzati: **Autocad 2004, 3DStudio Max 5, Photoshop 7.**

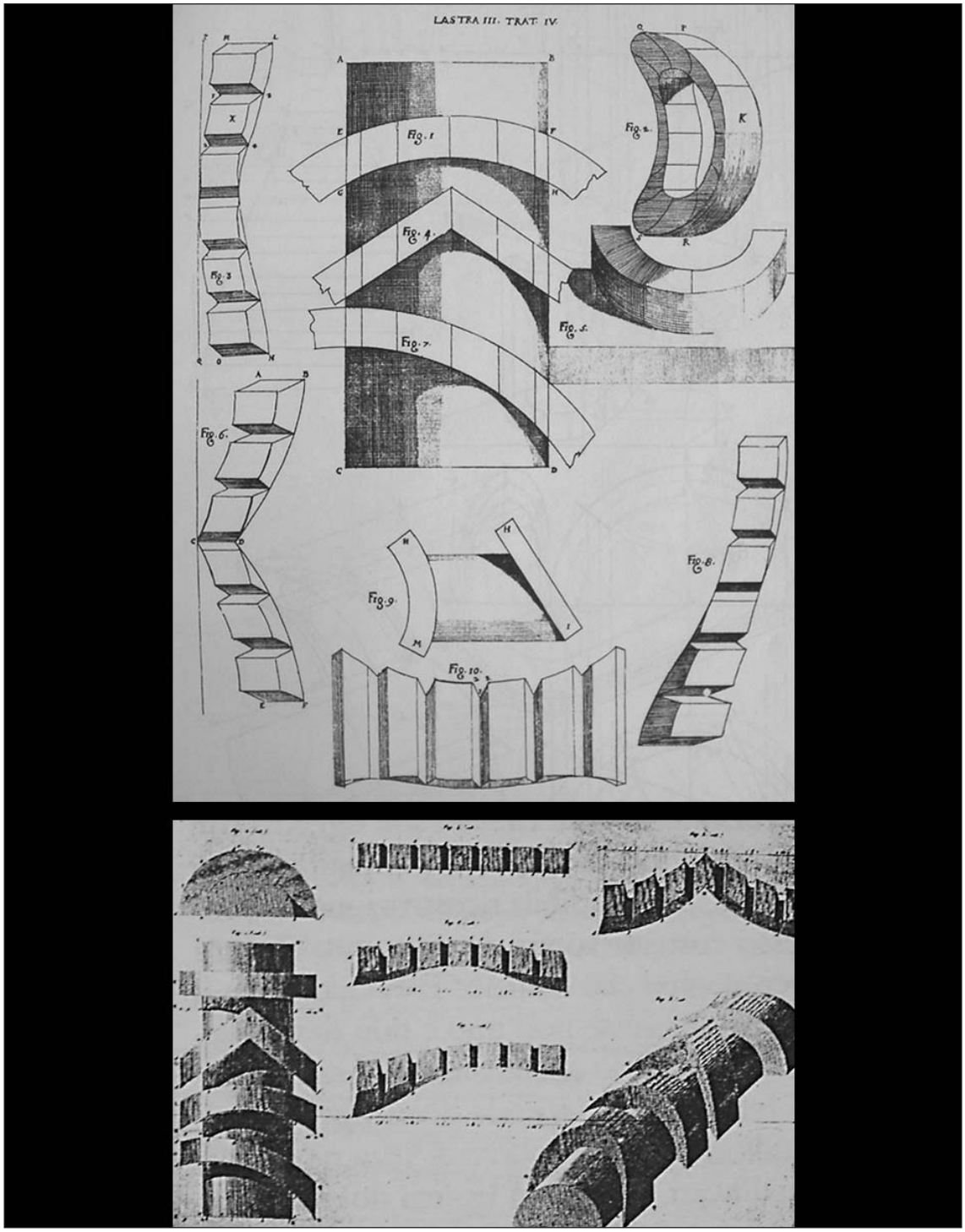


TAVOLA N° 44

Argomento della tavola: **Archi spaziali ad intradosso cilindrico: G. Guarini, J.B. Rondelet;**

Fonti dell'elaborazione: **G. Guarini, *Architettura* cit. (cfr. bibliografia), Tav. XXXI, Lastra III, trat. IV. J.B. Rondelet, *Traité* cit (cfr. bibliografia), pl. 34;**

Tipo di modellazione: **-**

Software utilizzati: **-**

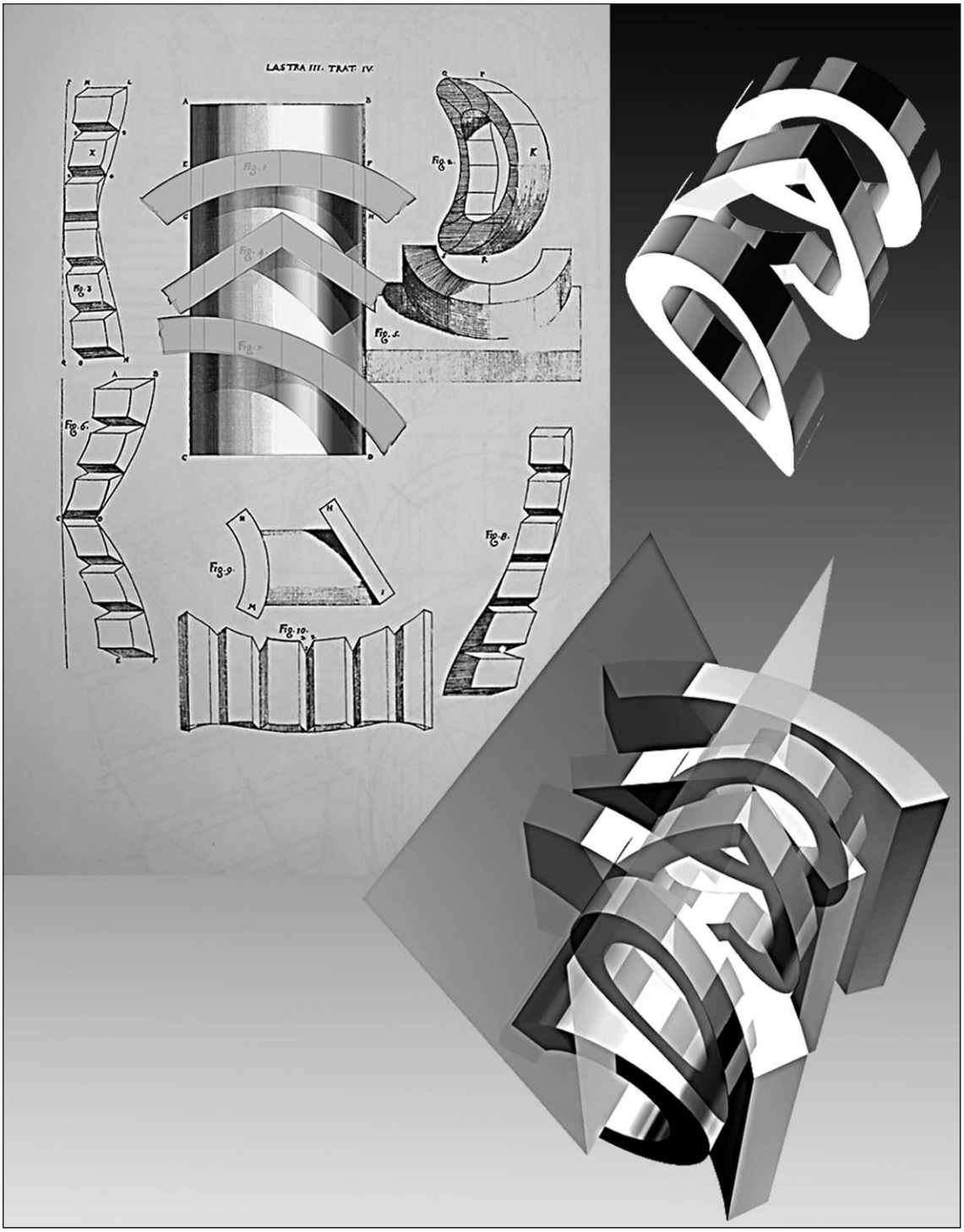


TAVOLA N° 45

Argomento della tavola: **Archi spaziali ad intradosso cilindrico: processo generativo;**

Fonti dell'elaborazione: **G. Guarini, *Architettura* cit. (cfr. bibliografia), Tav. XXXI, Lastra III, trat. IV;**

Tipo di modellazione: **3D Solida;**

Software utilizzati: **Autocad 2004, 3DStudio Max 5, Photoshop 7.**

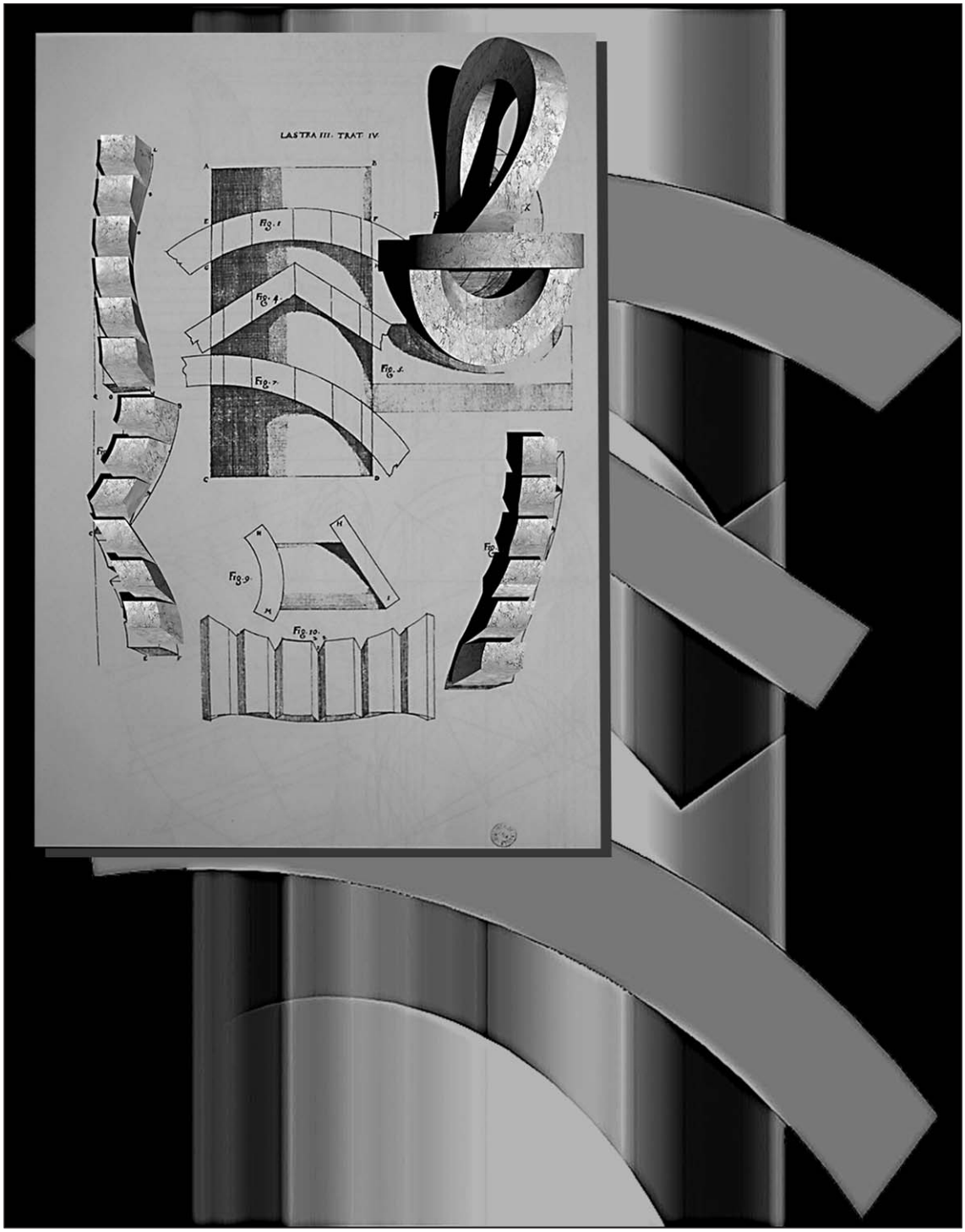


TAVOLA N° 46

Argomento della tavola: **Archi spaziali ad intradosso cilindrico: archi e sviluppo dei conci;**

Fonti dell'elaborazione: **G. Guarini, *Architettura* cit. (cfr. bibliografia), Tav. XXXI, Lastra III, trat. IV;**

Tipo di modellazione: **3D Solida;**

Software utilizzati: **Autocad 2004, 3DStudio Max 5, Photoshop 7.**

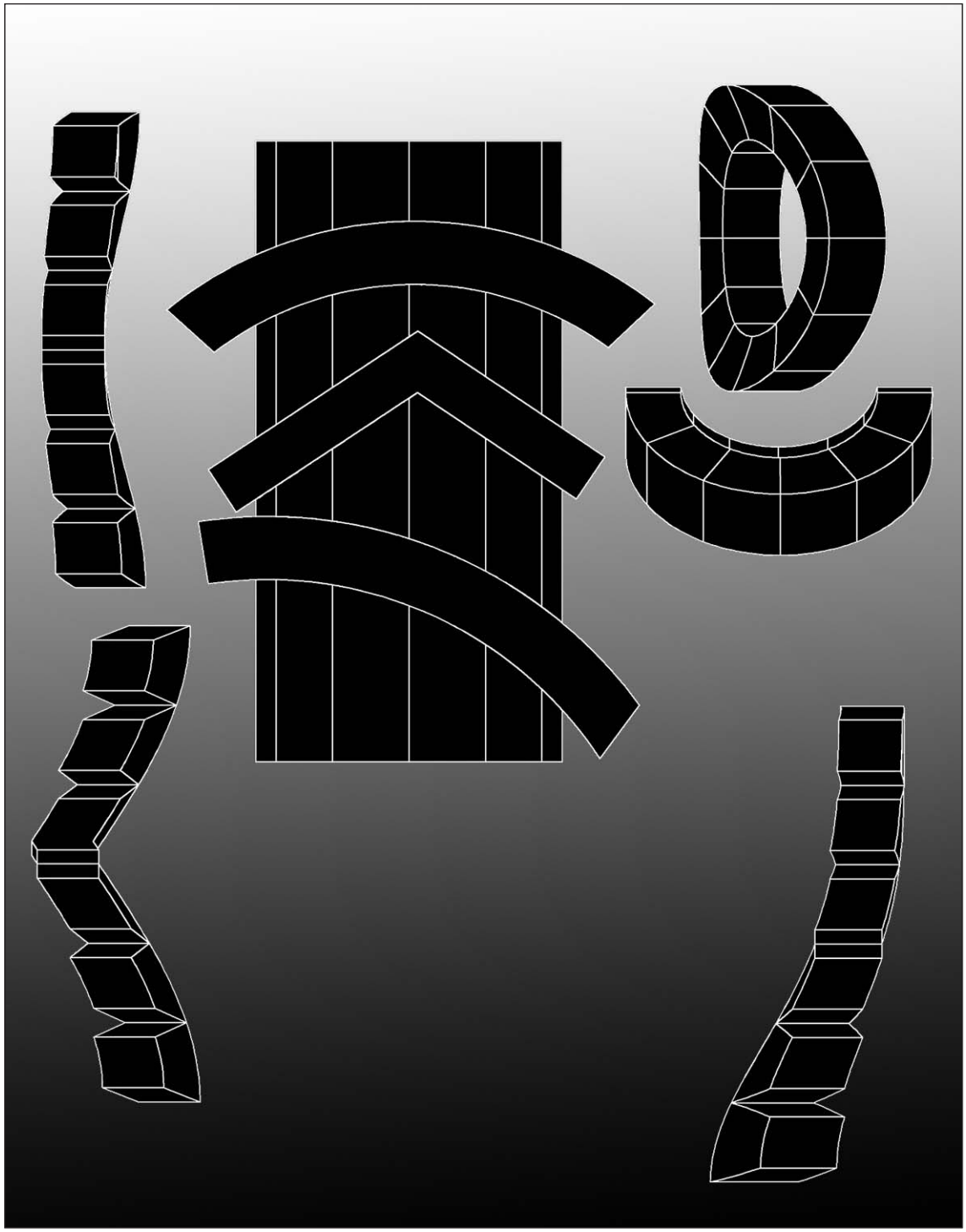


TAVOLA N° 47

Argomento della tavola: **Archi spaziali ad intradosso cilindrico: archi e sviluppo dei conci - volumi;**

Fonti dell'elaborazione: **G. Guarini, *Architettura* cit. (cfr. bibliografia), Tav. XXXI, Lastra III, trat. IV;**

Tipo di modellazione: **3D Solida;**

Software utilizzati: **Autocad 2004, 3DStudio Max 5, Photoshop 7**

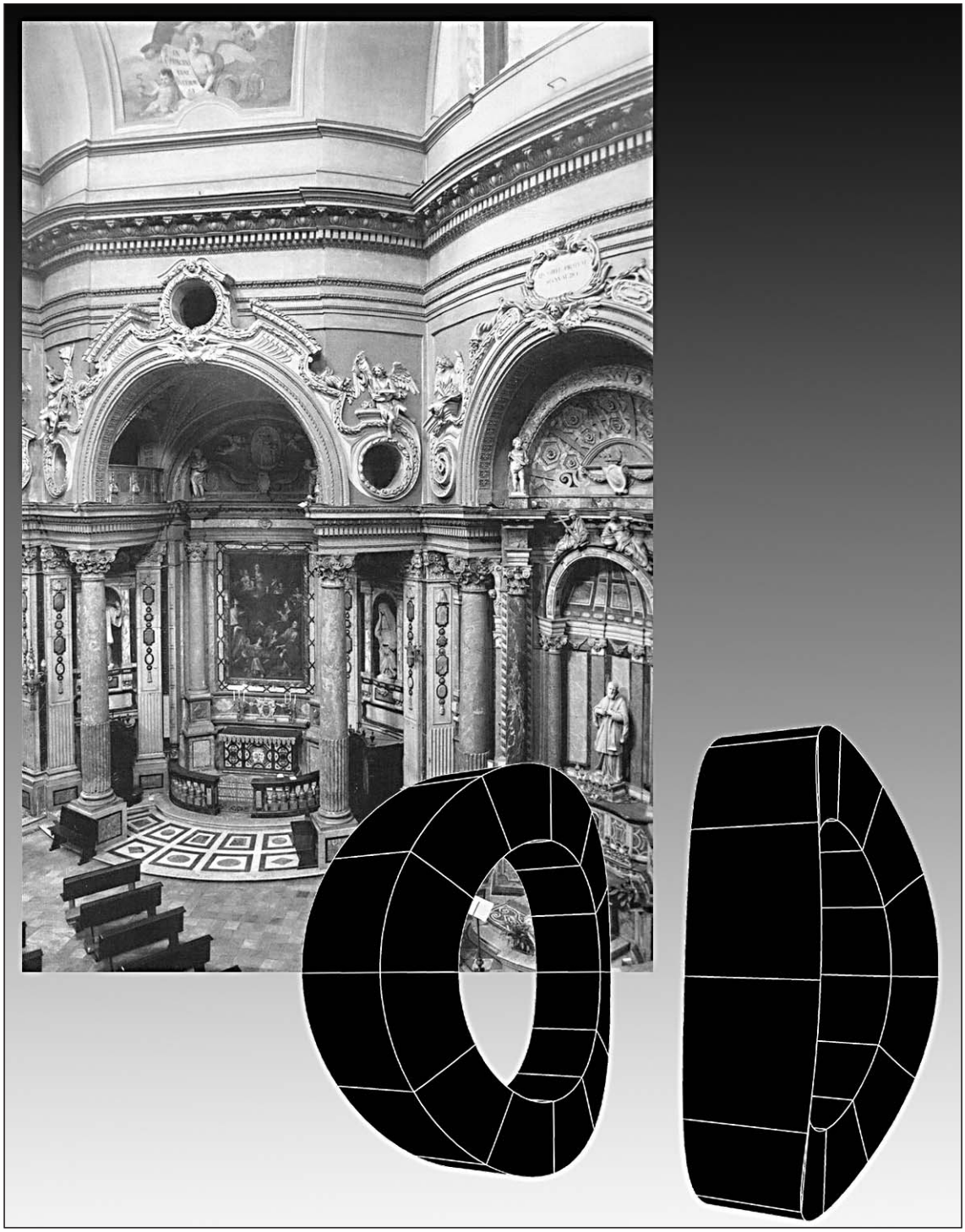


TAVOLA N° 48

Argomento della tavola: **Archi spaziali ad intradosso conoidale: Torino, San Lorenzo, navata;**

Fonti dell'elaborazione: **Foto: H. A. Meek, *Guarino* cit. (cfr. bibliografia), Torino, San Lorenzo, navata;**

Tipo di modellazione: **3D Solida;**

Software utilizzati: **Autocad 2004, 3DStudio Max 5, Photoshop 7.**

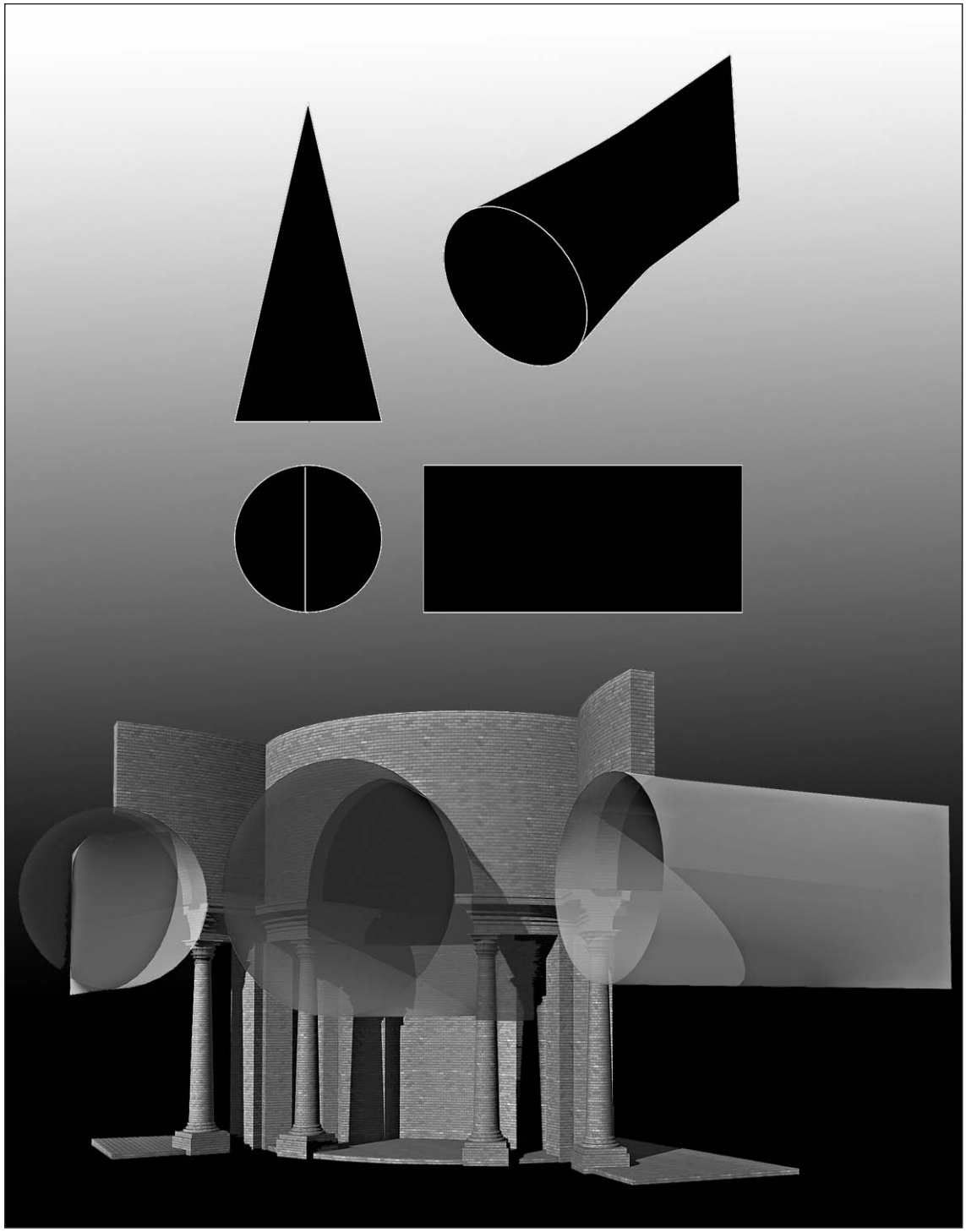


TAVOLA N° 49

Argomento della tavola: **Cono/conoide guariniano e genesi dell'arco spaziale: Torino, San Lorenzo, navata;**

Fonti dell'elaborazione: **G. Guarini, *Architettura* cit. (cfr. bibliografia), Tavv. IV - VI;**

Tipo di modellazione: **3D Solido/Superficiale;**

Software utilizzati: **Rhinoceros, 3DStudio Max 5, Photoshop 7.**



TAVOLA N° 50

Argomento della tavola: **Composizione virtuale della sequenza degli archi spaziali: Torino, San Lorenzo, navata;**

Fonti dell'elaborazione: **G. Guarini, *Architettura* cit. (cfr. bibliografia), Tavv. IV - VI;**

Tipo di modellazione: **3D Solido/Superficiale;**

Software utilizzati: **Rhinoceros, 3DStudio Max 5, Photoshop 7.**

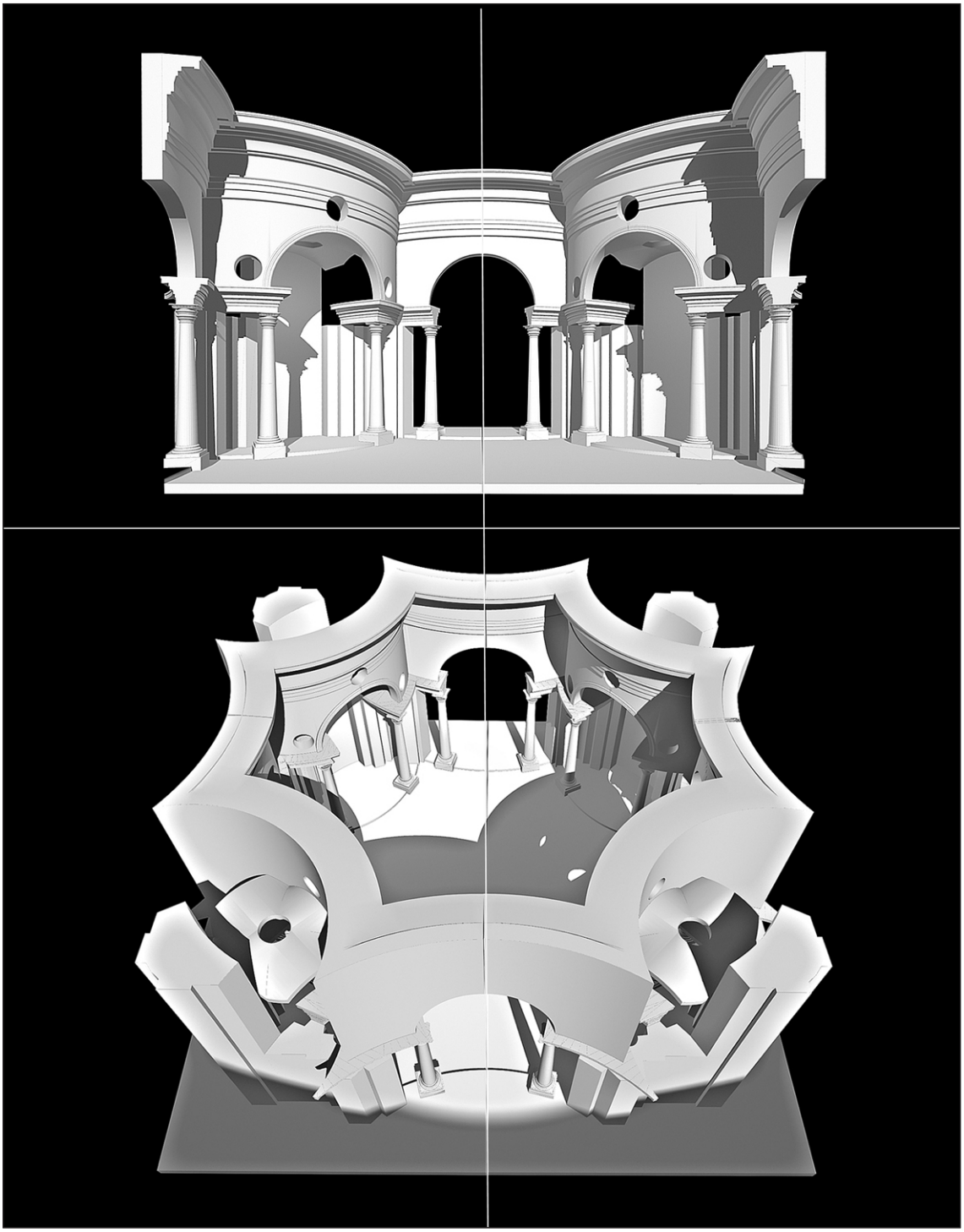


TAVOLA N° 51

Argomento della tavola: **Composizione virtuale della sequenza degli archi spaziali - sezione prospettica e vista dall'alto: Torino, San Lorenzo, navata;**

Fonti dell'elaborazione: **G. Guarini, *Architettura* cit. (cfr. bibliografia), Tavv. IV - VI;**

Tipo di modellazione: **3D Solido/Superficiale;**

Software utilizzati: **Rhinoceros, 3DStudio Max 5, Photoshop 7.**

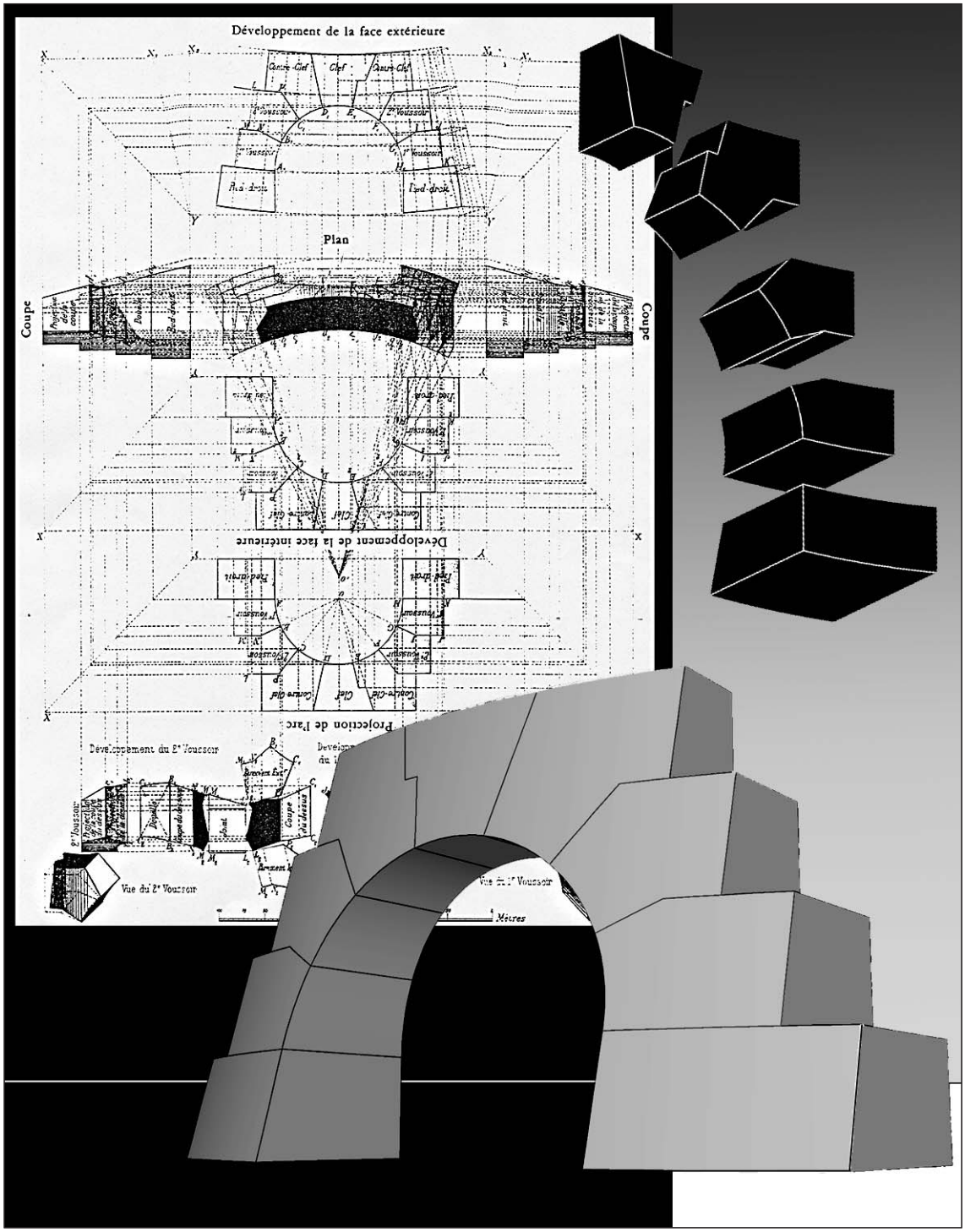


TAVOLA N° 52

Argomento della tavola: **Arco a tutto sesto in una torre rotonda a scarpa (in una sup. conica);**

Fonti dell'elaborazione: **L. Monduit, *Traité* cit. (cfr. bibliografia), pl. 36;**

Tipo di modellazione: **3D Solida;**

Software utilizzati: **Autocad 2004, 3DStudio Max 5, Photoshop 7.**

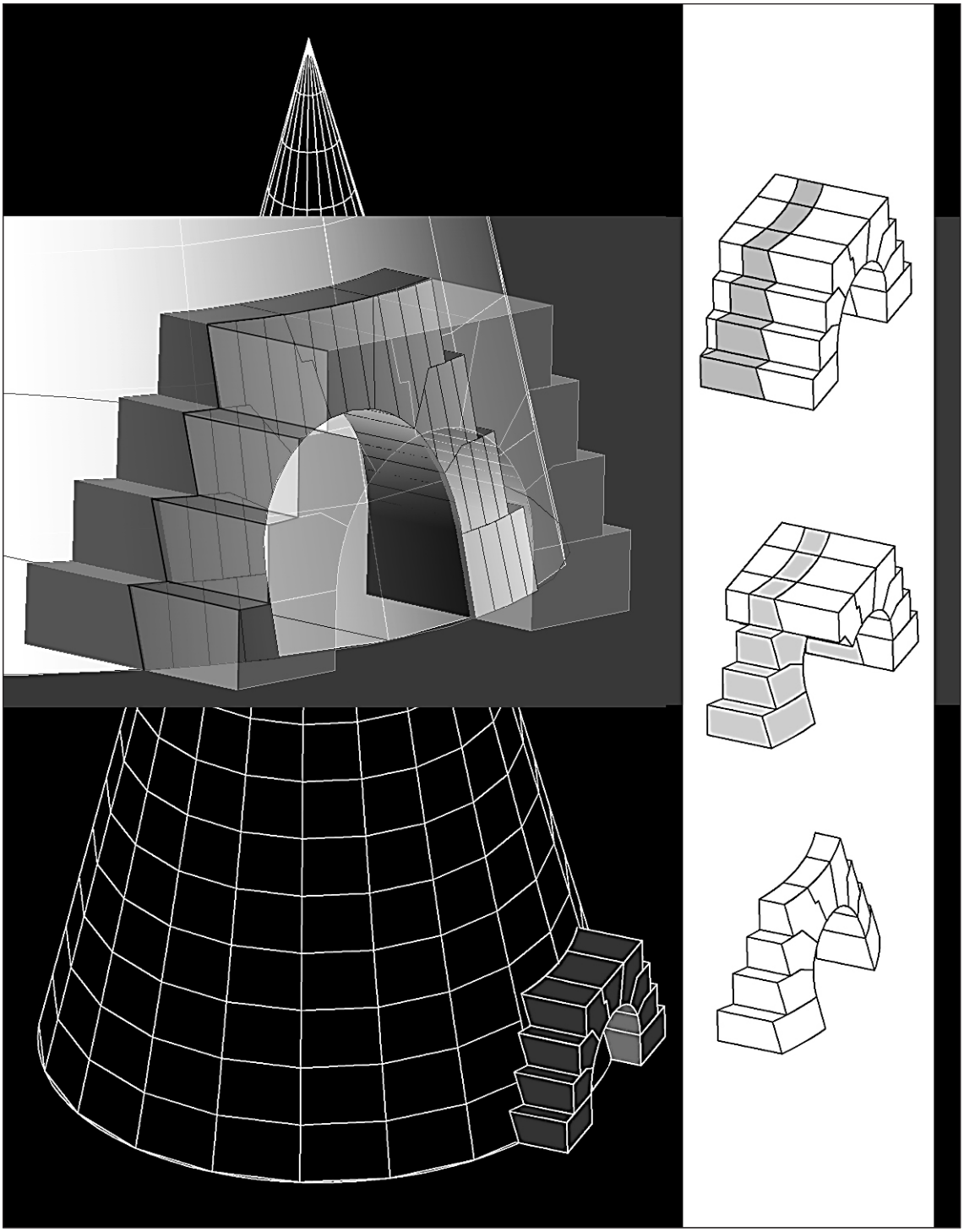


TAVOLA N° 53

Argomento della tavola: **Arco a tutto sesto in una torre rotonda a scarpa (in una sup. conica): genesi formale;**

Fonti dell'elaborazione: **L. Monduit, *Traité* cit. (cfr. bibliografia), pl. 36;**

Tipo di modellazione: **3D Solido/Superficiale;**

Software utilizzati: **Autocad 2004, 3DStudio Max 5, Photoshop 7**

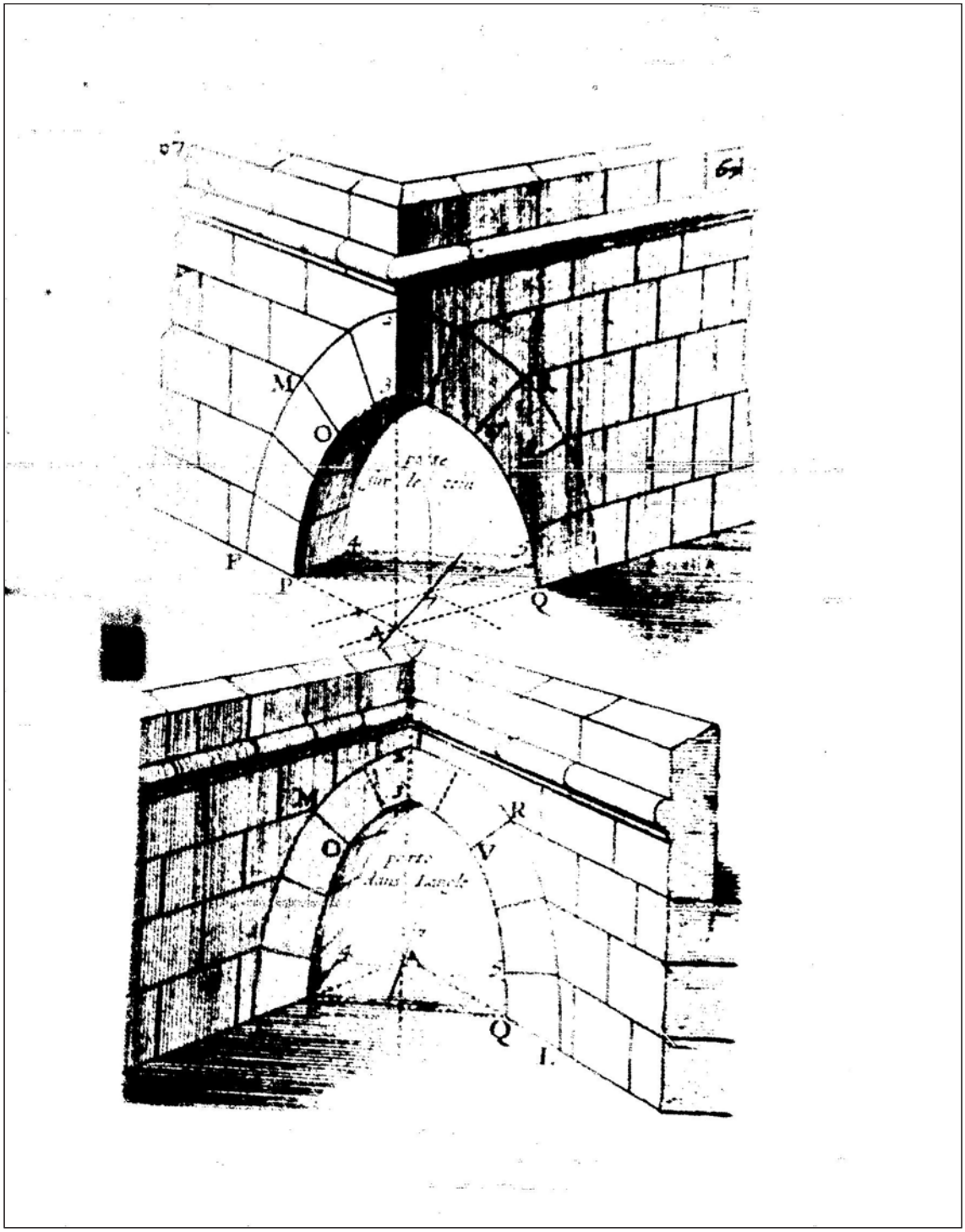


TAVOLA N° 54

Argomento della tavola: **Arco sull'angolo in un muro a piombo;**

Fonti dell'elaborazione: **A. Bosse, *Pratique* cit (cfr. bibliografia), fol. 66;**

Tipo di modellazione: **-**

Software utilizzati: **-**

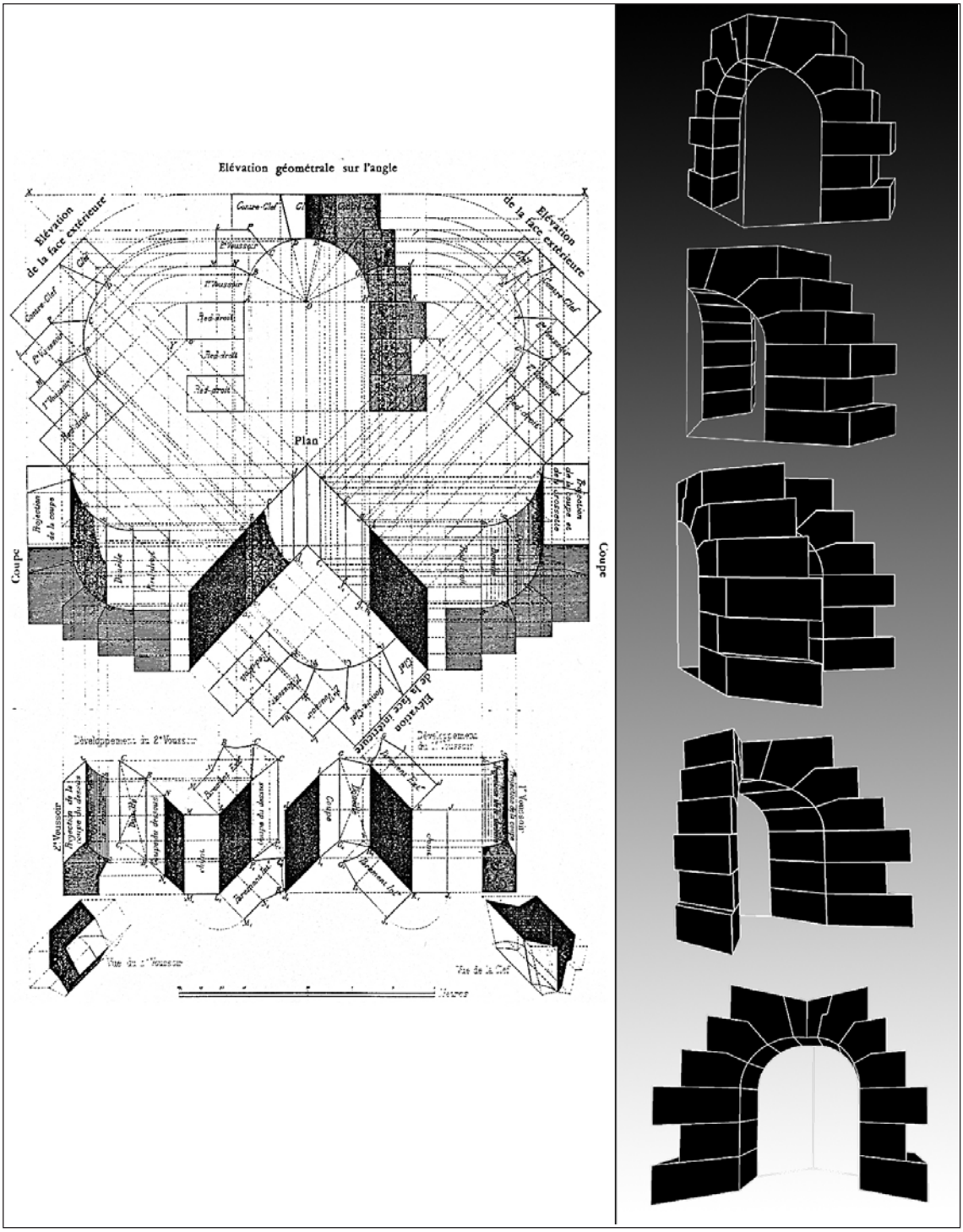


TAVOLA N° 55

Argomento della tavola: **Arco sull'angolo in un muro a piombo: modello;**

Fonti dell'elaborazione: **L. Monduit, *Traité* cit. (cfr. bibliografia), pl. 38;**

Tipo di modellazione: **3D Solida;**

Software utilizzati: **Autocad 2004, 3DStudio Max 5, Photoshop 7**

4. Volte a botte

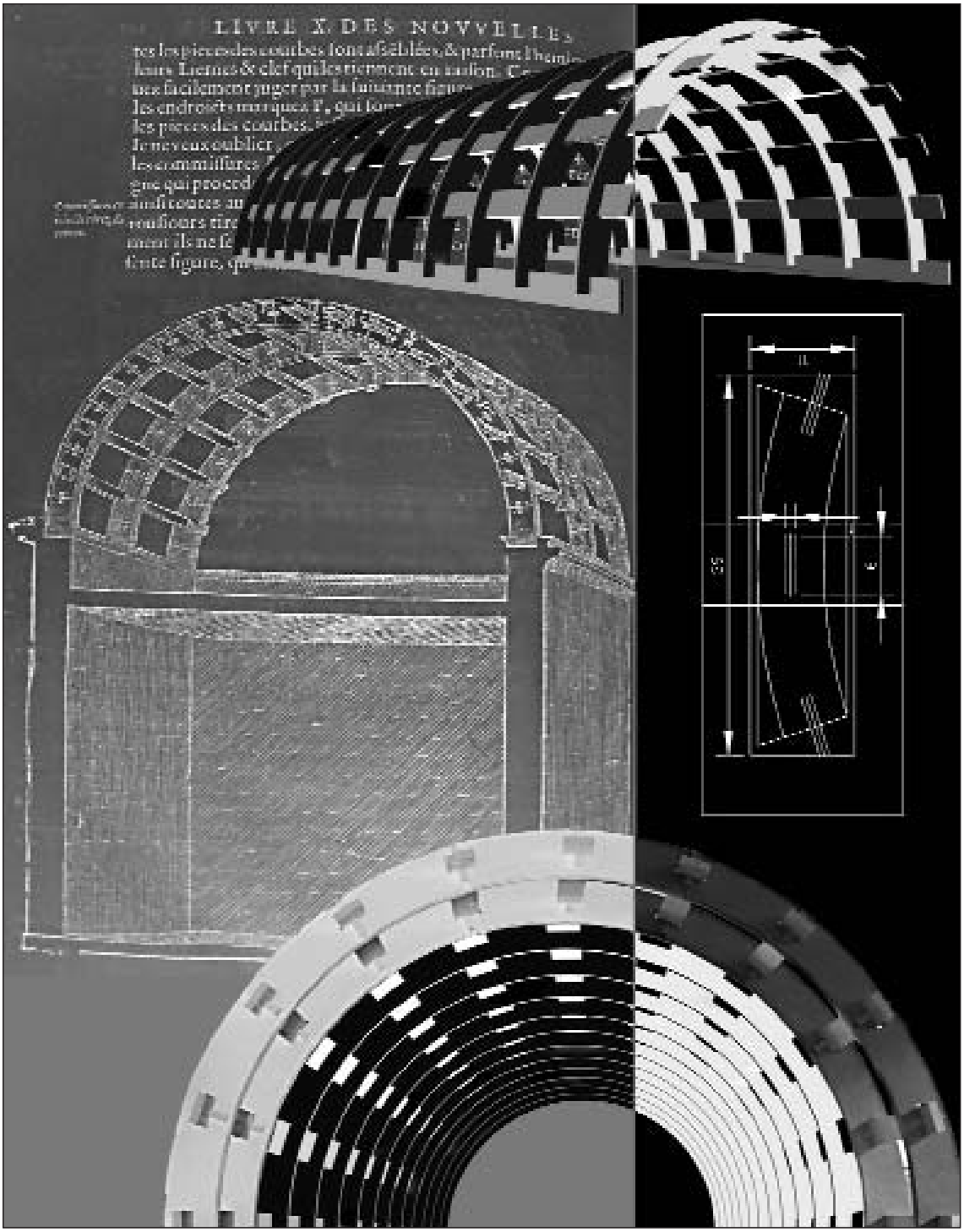


TAVOLA N° 56

Argomento della tavola: **Carpenteria lignea cilindrica dalle *nuove inven zioni per costruire a piccoli pezzi*;**

Fonti dell'elaborazione: **P. Delorme, *Premiere* cit. (cfr. bibliografia), Libro X (*Des nouvelles..)*, cap. VII, fol. 2865 v;**

Tipo di modellazione: **3D Solida;**

Software utilizzati: **Autocad 2004, 3DStudio Max 5, Photoshop 7.**

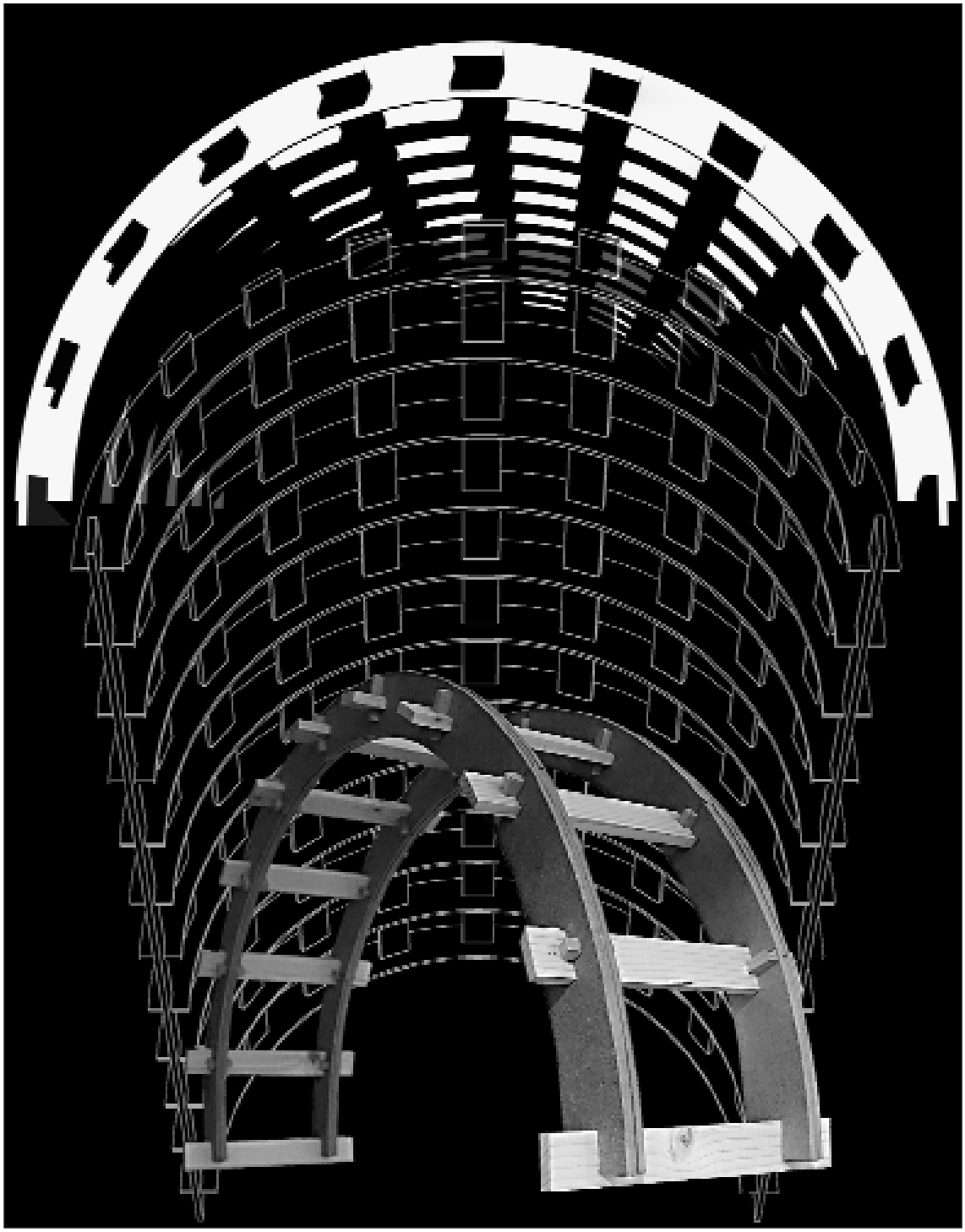


TAVOLA N° 57

Argomento della tavola: **Carpenteria lignea cilindrica dalle *nuove inven zioni per costruire a piccoli pezzi:* prortotipo;**

Fonti dell'elaborazione: **P. Delorme, *Premiere* cit. (cfr. bibliografia), Libro X (*Des nouvelles..)*, cap. VII, fol. 285 v;**

Tipo di modellazione: **3D Solida;**

Software utilizzati: **Autocad 2004, 3DStudio Max 5, Photoshop 7.**

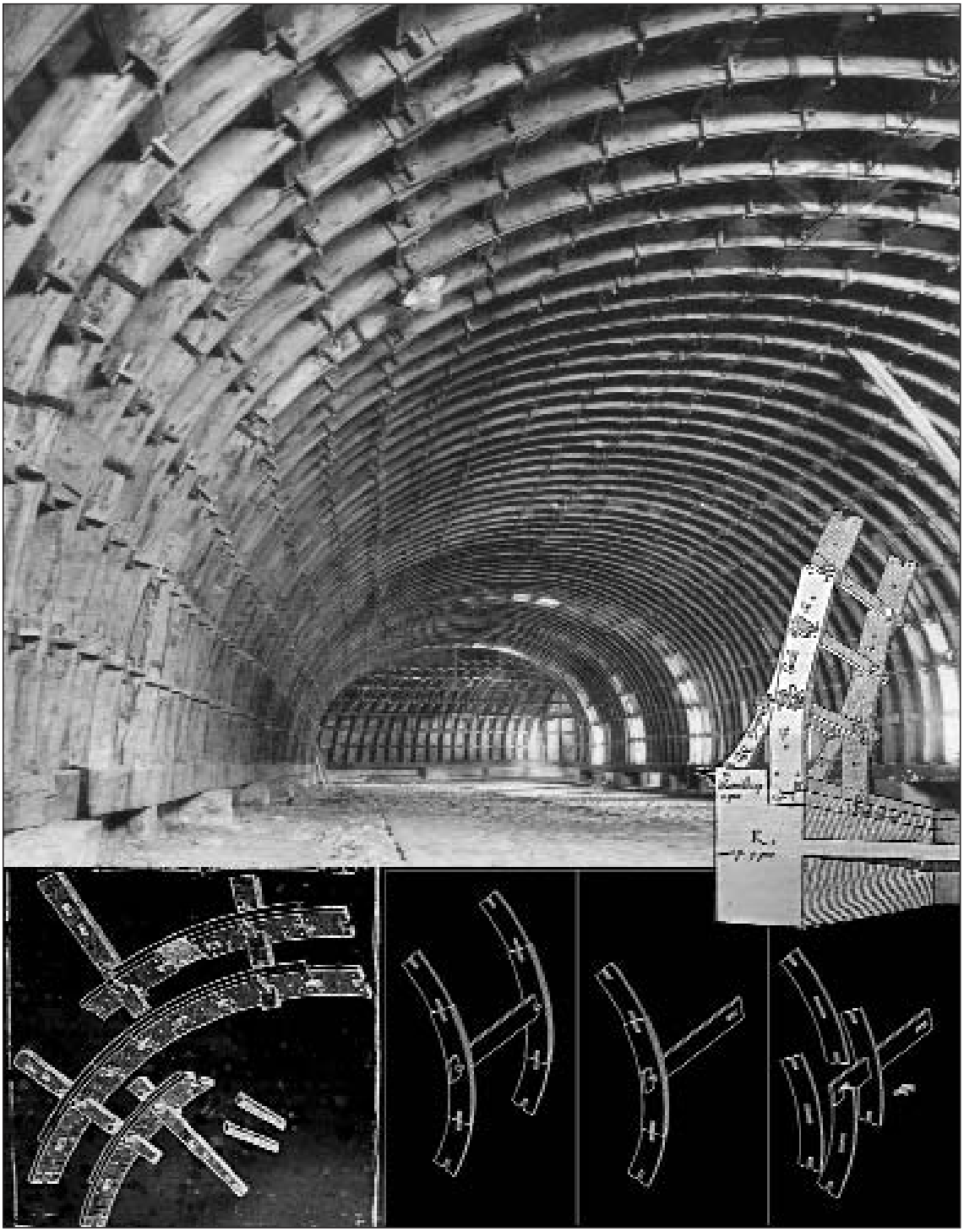


TAVOLA N° 58

Argomento della tavola: **Carpenteria lignea cilindrica dalle *nuove inven zioni per costruire a piccoli pezzi:* sequenza del montaggio;**

Fonti dell'elaborazione: **Foto, J.M. Pérouse de Montclos, *Philibert* cit. (cfr. bibliografia): Mont-Dauphin, XIX° secolo;**

Tipo di modellazione: **3D Solida;**

Software utilizzati: **Autocad 2004, 3DStudio Max 5, Photoshop 7.**

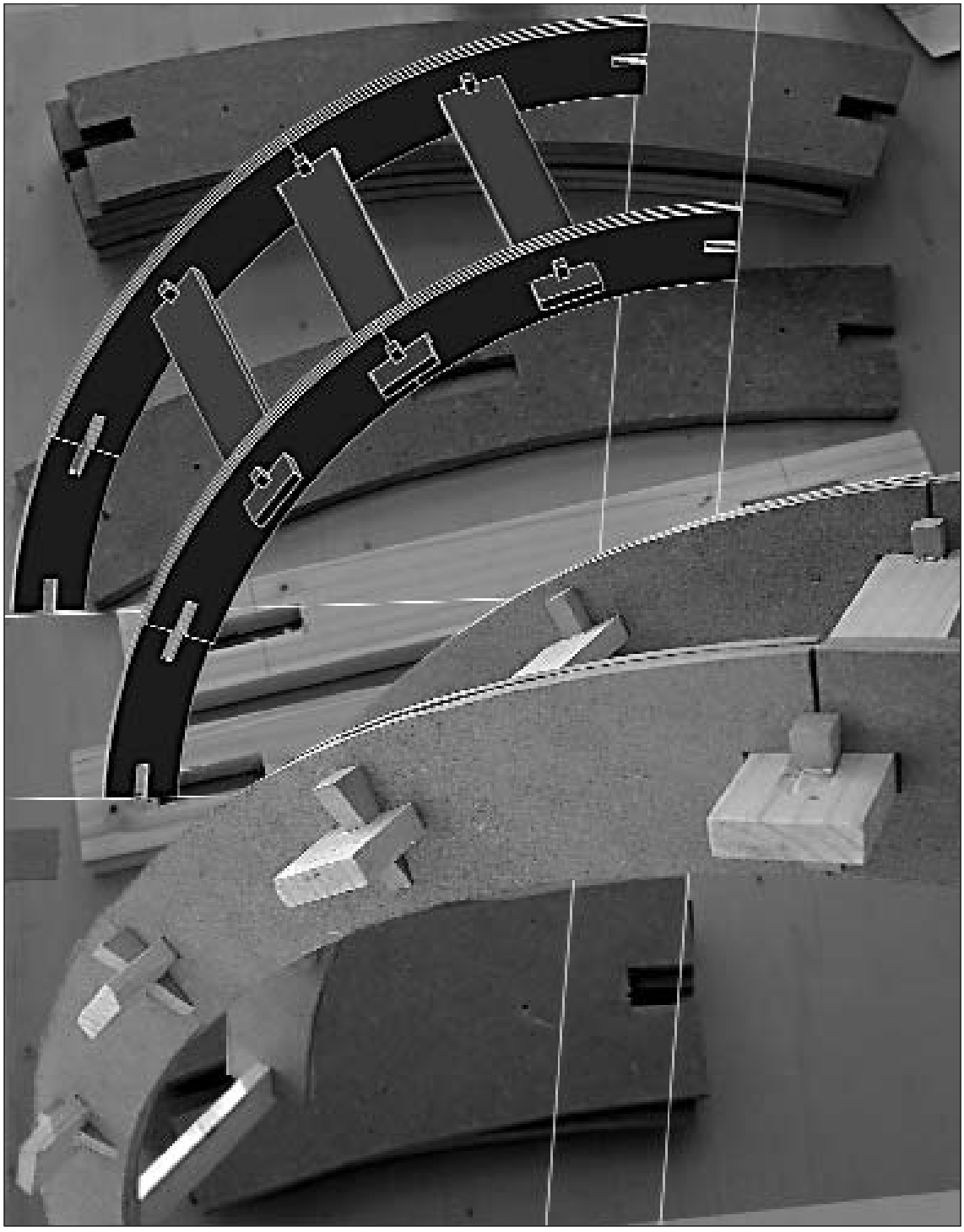


TAVOLA N° 59

Argomento della tavola: **Carpenteria lignea cilindrica dalle *nuove invenzioni per costruire a piccoli pezzi:* prortotipo - dettaglio del nodo;**

Fonti dell'elaborazione: **P. Delorme, *Premiere* cit. (cfr. bibliografia), Libro X (*Des nouvelles..)*, cap. VII, fol. 286 r;**

Tipo di modellazione: **3D Solida;**

Software utilizzati: **Autocad 2004, 3DStudio Max 5, Photoshop 7.**

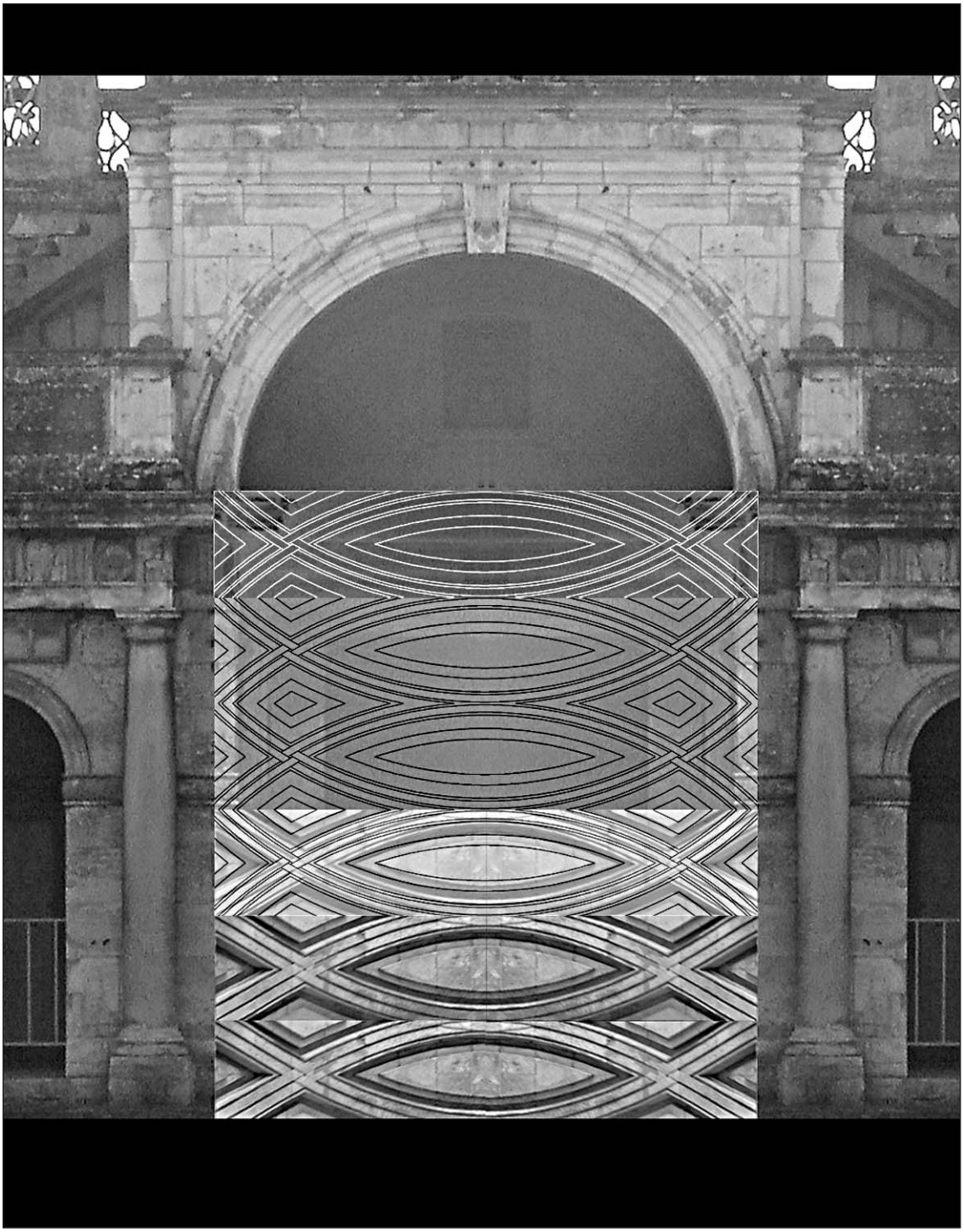


TAVOLA N° 60

Argomento della tavola: **Volta a botte con motivo intradossale ad intreccio (P. Delorme): ingresso del Castello di Anet, Francia;**

Fonti dell'elaborazione: **Rilievo fotografico in situ;**

Tipo di modellazione: **3D Superficiale;**

Software utilizzati: **Rhinoceros, 3DStudio Max 5, Photoshop 7.**

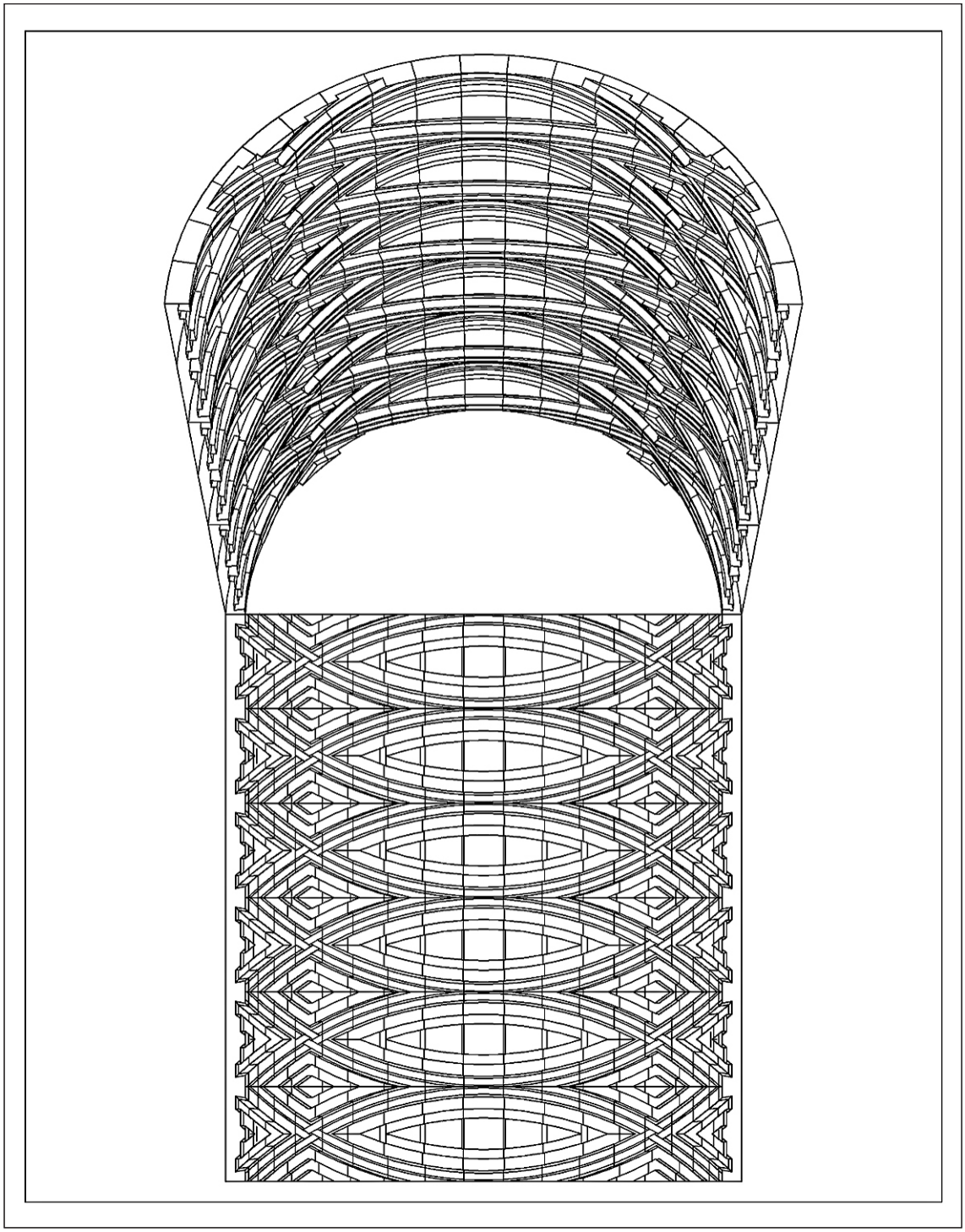


TAVOLA N° 61

Argomento della tavola:	**Volta a botte con motivo intradossale ad intreccio (P. Delorme): vista prospettica e ipo grafia;**
Fonti dell'elaborazione:	**Rilievo fotografico in situ;**
Tipo di modellazione:	**3D Superficiale;**
Software utilizzati:	**Rhinoceros, 3DStudio Max 5, Photoshop 7.**

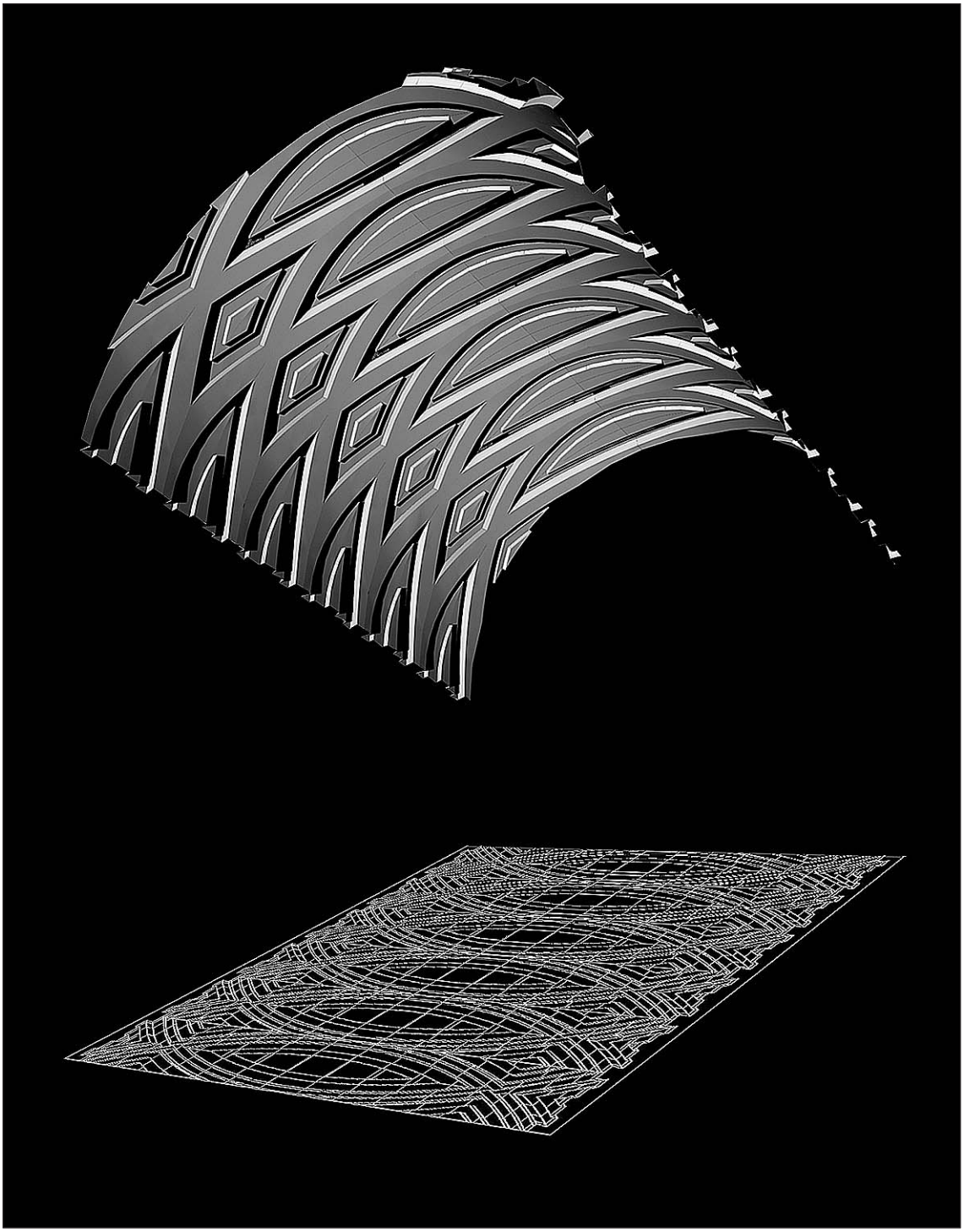


TAVOLA N° 62

Argomento della tavola: **Volta a botte con motivo intradossale ad intreccio (P. Delorme): proiezioni;**

Fonti dell'elaborazione: **Rilievo fotografico in situ;**

Tipo di modellazione: **3D Superficiale;**

Software utilizzati: **Rhinoceros, 3DStudio Max 5, Photoshop 7.**

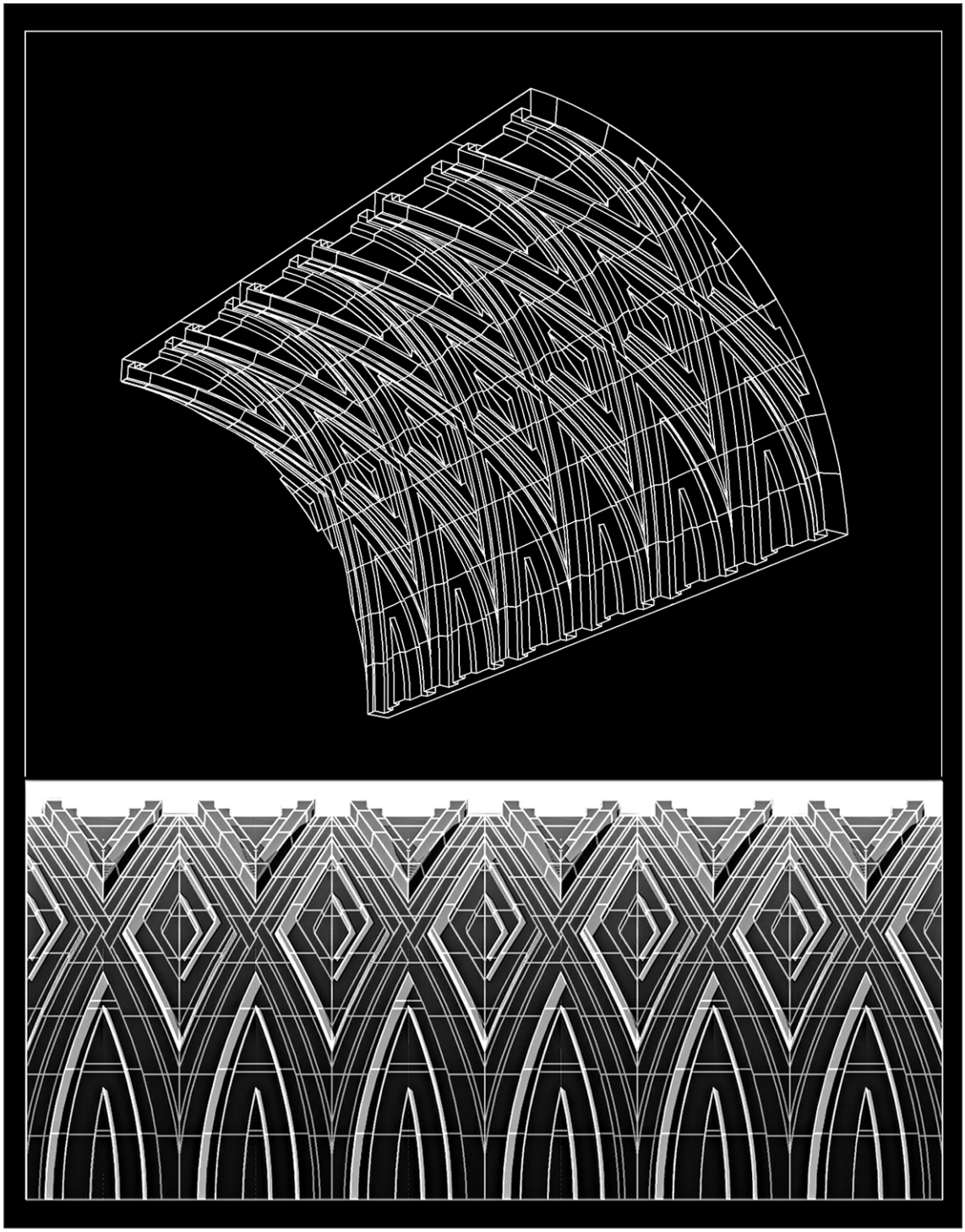


TAVOLA N° 63

Argomento della tavola: **Volta a botte con motivo intradossale ad intreccio (P. Delorme): vista assonometrica e sezione longitudinale;**

Fonti dell'elaborazione: **Rilievo fotografico in situ;**

Tipo di modellazione: **3D Superficiale;**

Software utilizzati: **Rhinoceros, 3DStudio Max 5, Photoshop 7.**

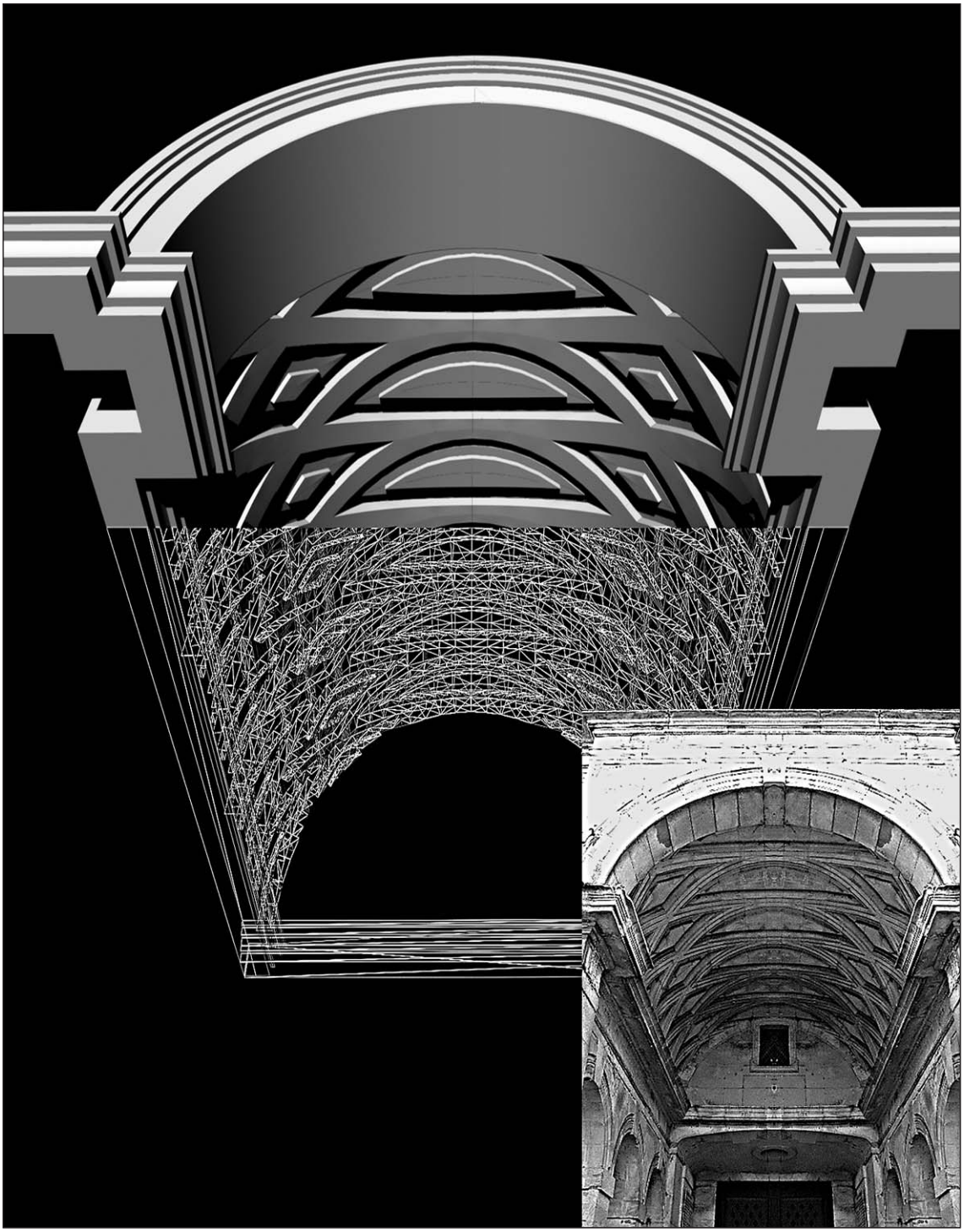


TAVOLA N° 64

Argomento della tavola: **Volta a botte con motivo intradossale ad intreccio (P. Delorme): modello reale e virtuale;**

Fonti dell'elaborazione: **Rilievo fotografico in situ;**

Tipo di modellazione: **3D Superficiale;**

Software utilizzati: **Rhinoceros, 3DStudio Max 5, Photoshop 7.**



TAVOLA N° 65

Argomento della tavola: **Volta a botte con motivo intradossale ad intreccio (P. Delorme): modello reale;**

Fonti dell'elaborazione: **Rilievo fotografico in situ;**

Tipo di modellazione: **-**

Software utilizzati: **-**

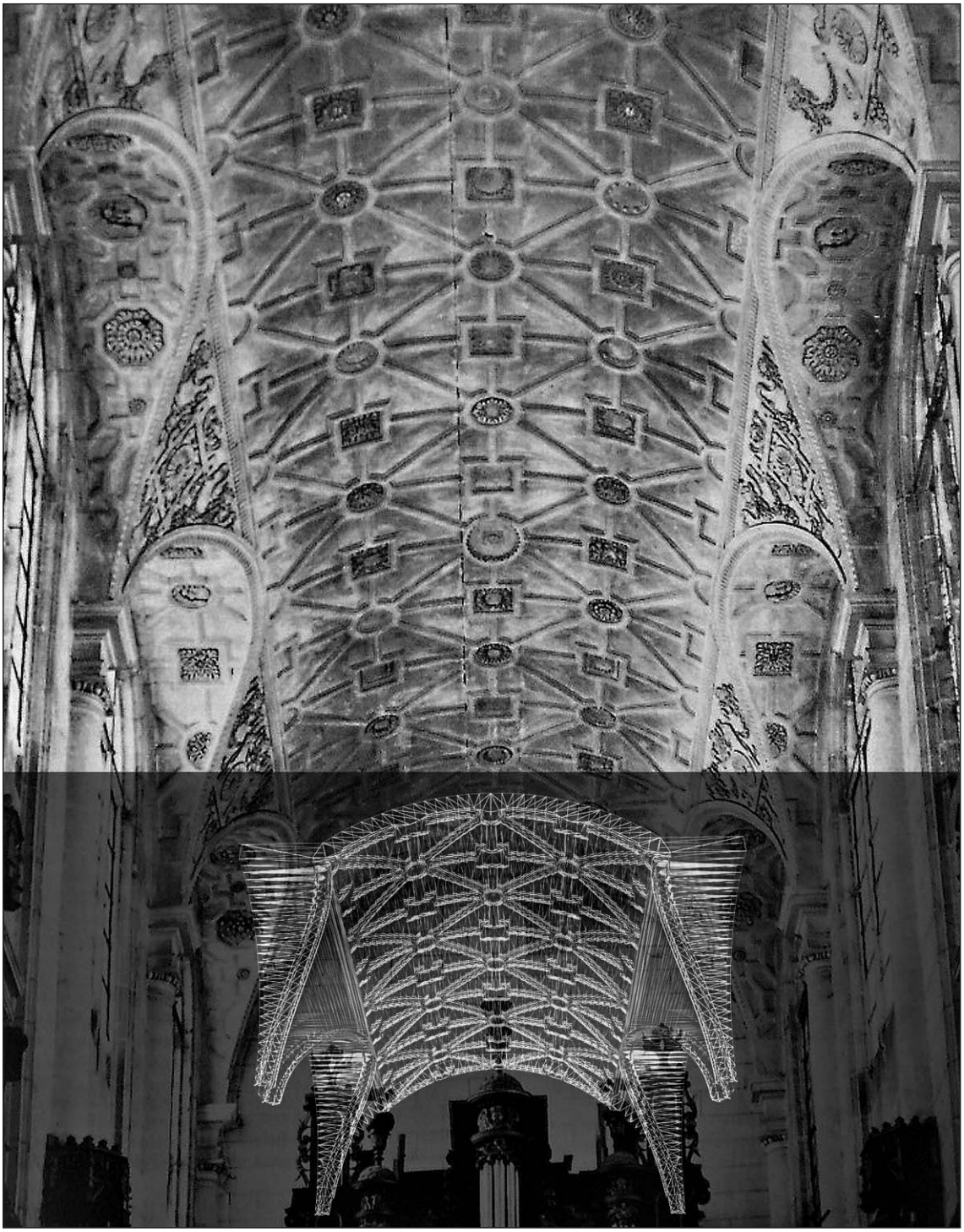


TAVOLA N° 66

Argomento della tavola:	**Volta a botte con motivo intradossale a cas settone (J. Chéreau): modello reale e virtuale;**
Fonti dell'elaborazione:	**J. Chéreau, *livre* cit (cfr. bibliografia), fol. 102 v. Foto, J.M. Pérouse de Montclos, *L'Architecture*cit. (cfr. bibliografia): chiesa di S. Jean, Yonne, Fra.;**
Tipo di modellazione:	**3D Solido/superficiale;**
Software utilizzati:	**Rhinoceros, 3DStudio Max 5, Photoshop 7.**

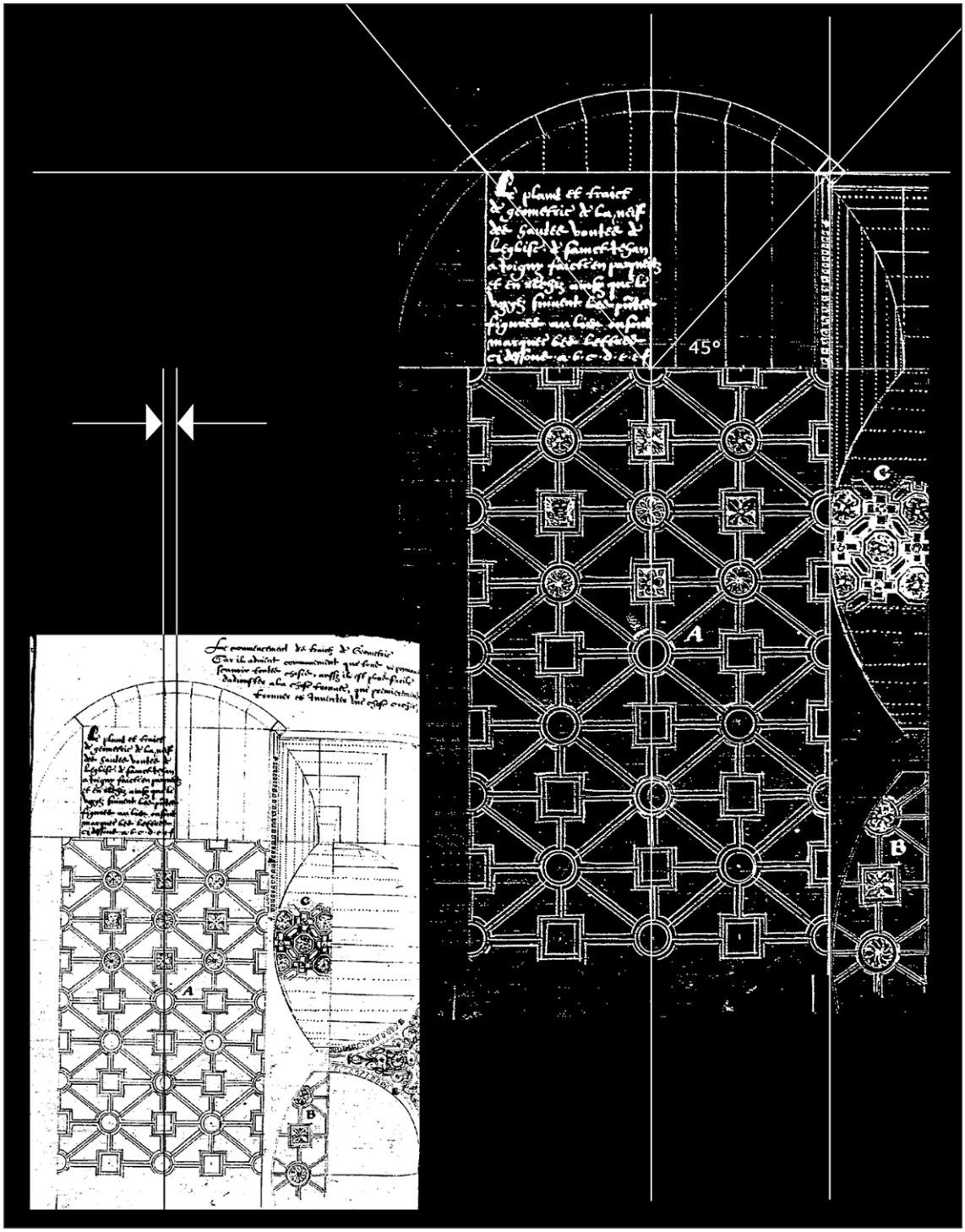


TAVOLA N° 67

Argomento della tavola: **Volta a botte con motivo intradossale a cas settone (J. Chéreau): analisi fol. 102 v, m.s.;**

Fonti dell'elaborazione: **J. Chéreau, *livre* cit (cfr. bibliografia), fol. 102 v. Foto, J.M. Pérouse de Montclos, *L'Architecture*cit. (cfr. bibliografia): chiesa di S. Jean, Yonne, Fra.;**

Tipo di modellazione: **2D raster/vettoriale;**

Software utilizzati: **Rhinoceros, 3DStudio Max 5, Photoshop 7.**

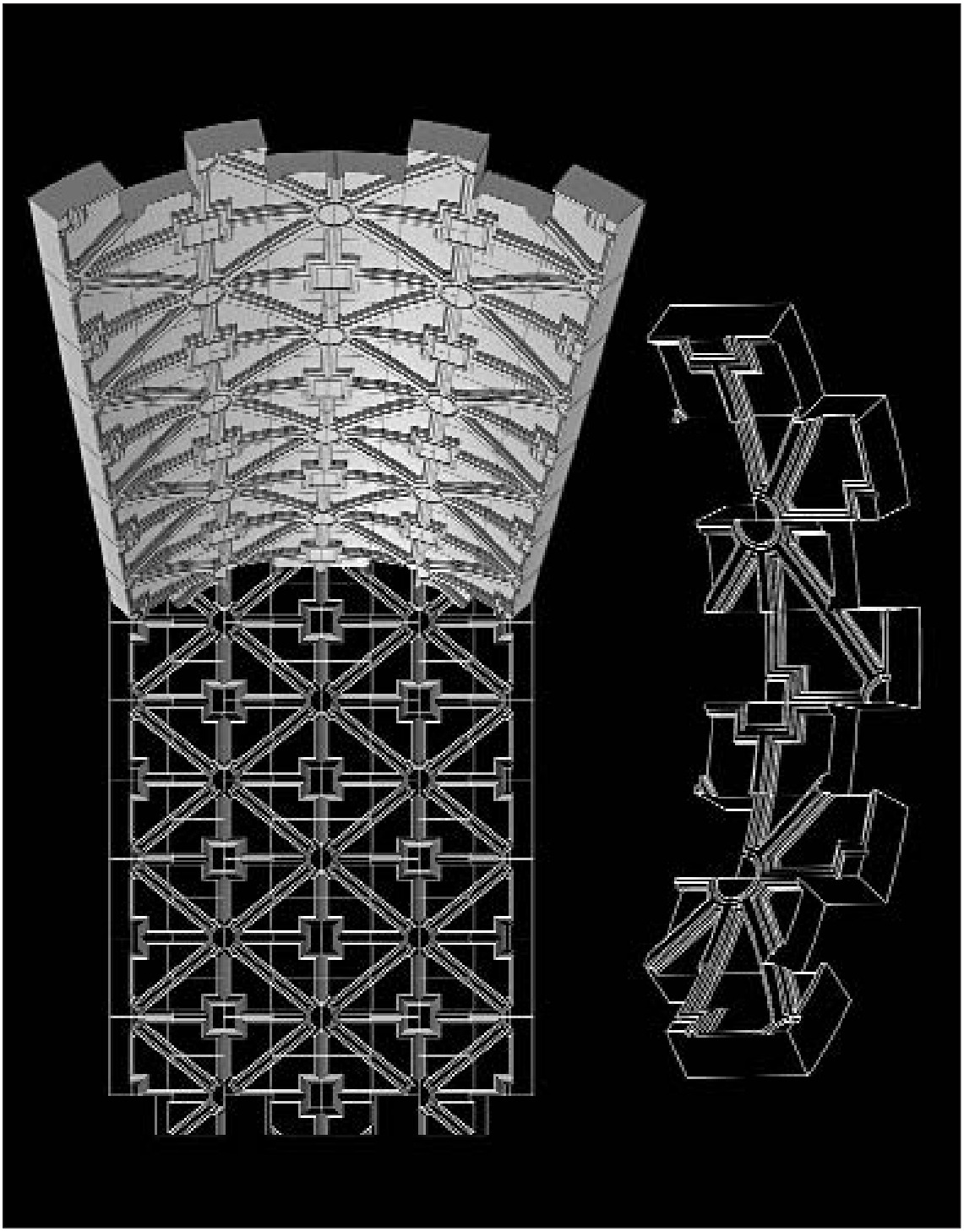


TAVOLA N° 68

Argomento della tavola:	**Volta a botte con motivo intradossale a cas settone (J. Chéreau): apparecchiatura;**
Fonti dell'elaborazione:	**J. Chéreau, *livre* cit (cfr. bibliografia), fol. 102 v. Foto, J.M. Pérouse de Montclos, *L'Architecture*cit. (cfr. bibliografia): chiesa di S. Jean, Yonne, Fra.;**
Tipo di modellazione:	**3D Superficiale;**
Software utilizzati:	**Rhinoceros, 3DStudio Max 5, Photoshop 7.**

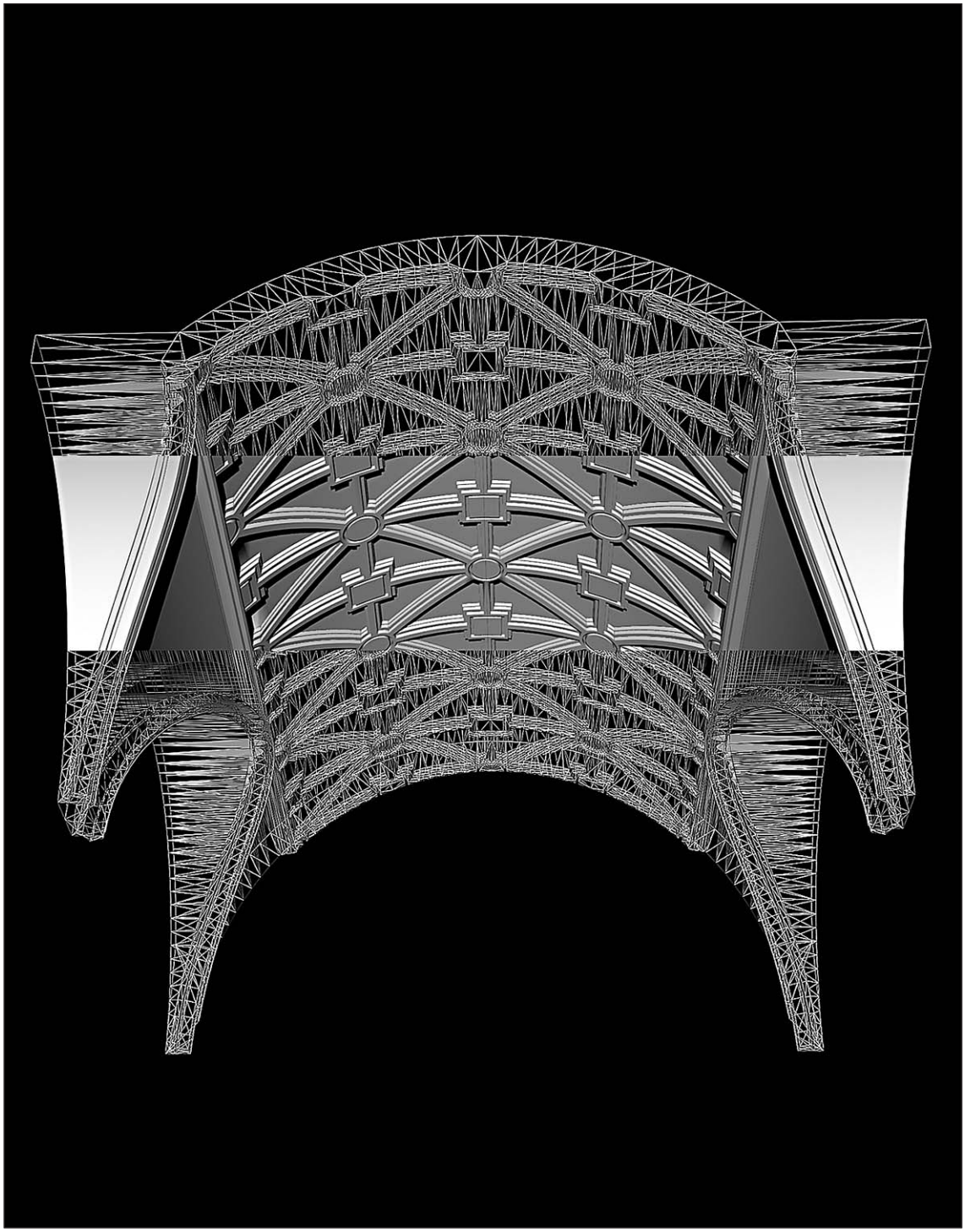


TAVOLA N° 69

Argomento della tavola:	**Volta a botte con motivo intradossale a cas settone (J. Chéreau): modello globale, w.f.;**
Fonti dell'elaborazione:	**J. Chéreau, *livre* cit (cfr. bibliografia), fol. 102 v. Foto, J.M. Pérouse de Montclos, *L'Architecture*cit. (cfr. bibliografia): chiesa di S. Jean, Yonne, Fra.;**
Tipo di modellazione:	**3D Solido/superficiale;**
Software utilizzati:	**Rhinoceros, 3DStudio Max 5, Photoshop 7.**

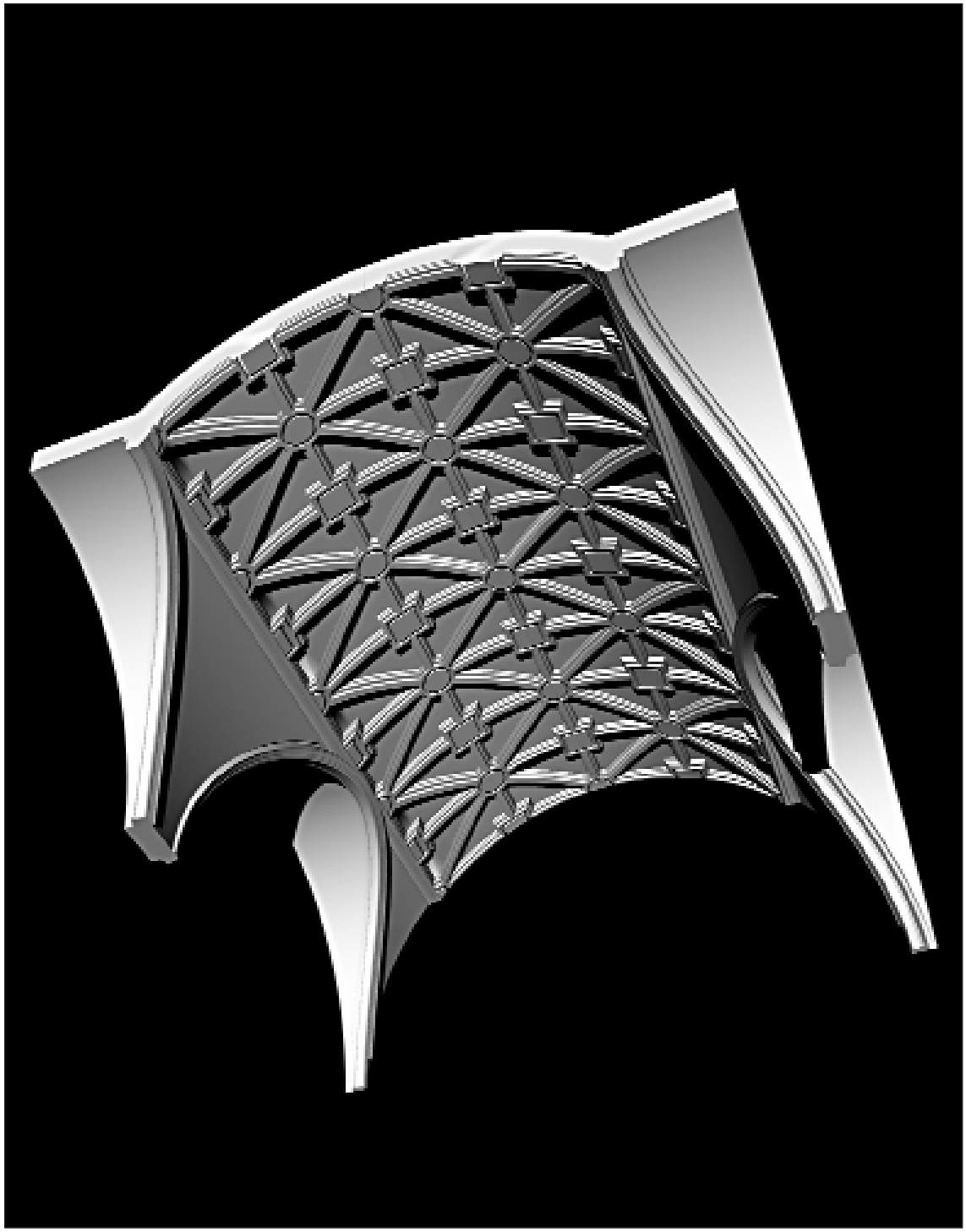


TAVOLA N° 70

Argomento della tavola:	**Volta a botte con motivo intradossale a cas settone (J. Chéreau): modello globale;**
Fonti dell'elaborazione:	**J. Chéreau, *livre* cit (cfr. bibliografia), fol. 102 v. Foto, J.M. Pérouse de Montclos, *L'Architecture*cit. (cfr. bibliografia): chiesa di S. Jean, Yonne, Fra.;**
Tipo di modellazione:	**3D Solido/superficiale;**
Software utilizzati:	**Rhinoceros, 3DStudio Max 5, Photoshop 7.**

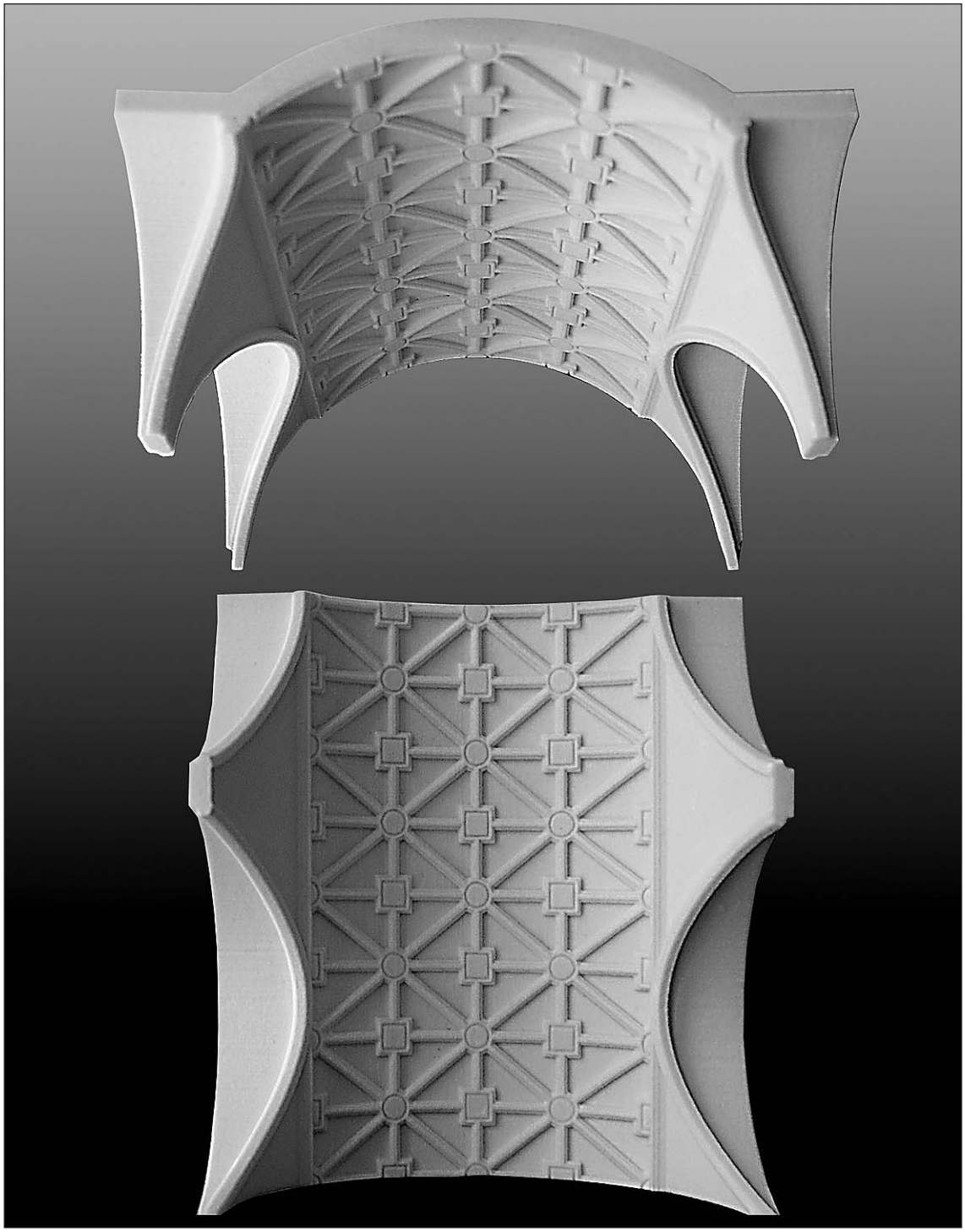


TAVOLA N° 71

Argomento della tavola: **Volta a botte con motivo intradossale a cas settone (J. Chéreau): prototipo di gesso (p.r.);**

Fonti dell'elaborazione: **J. Chéreau, *livre* cit (cfr. bibliografia), fol. 102 v. Foto, J.M. Pérouse de Montclos, *L'Architecture*cit. (cfr. bibliografia): chiesa di S. Jean, Yonne, Fra.;**

Tipo di modellazione: **3D Solido/superficiale;**

Software utilizzati: **Magics RP, Rhino, 3DStudio Max 5, Photoshop 7.**

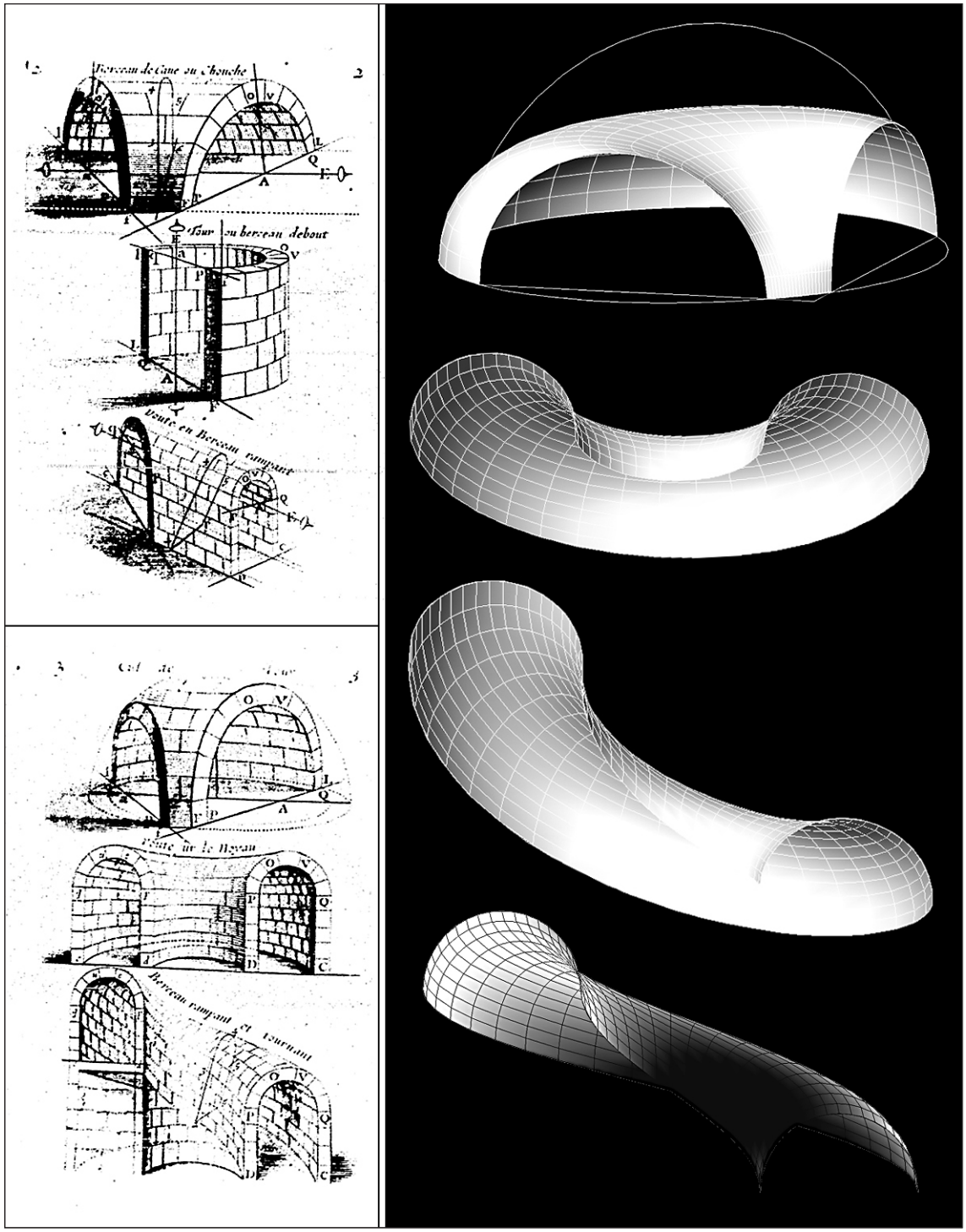


TAVOLA N° 72

Argomento della tavola: **Volte a botte (Desargues-A. Bosse): anulari, oblique e elicoidali;**

Fonti dell'elaborazione: **A. Bosse, *Pratique* cit (cfr. bibliografia), ff. 2, 3;**

Tipo di modellazione: **3D Superficiale;**

Software utilizzati: **Rhinoceros, 3DStudio Max 5, Photoshop 7.**

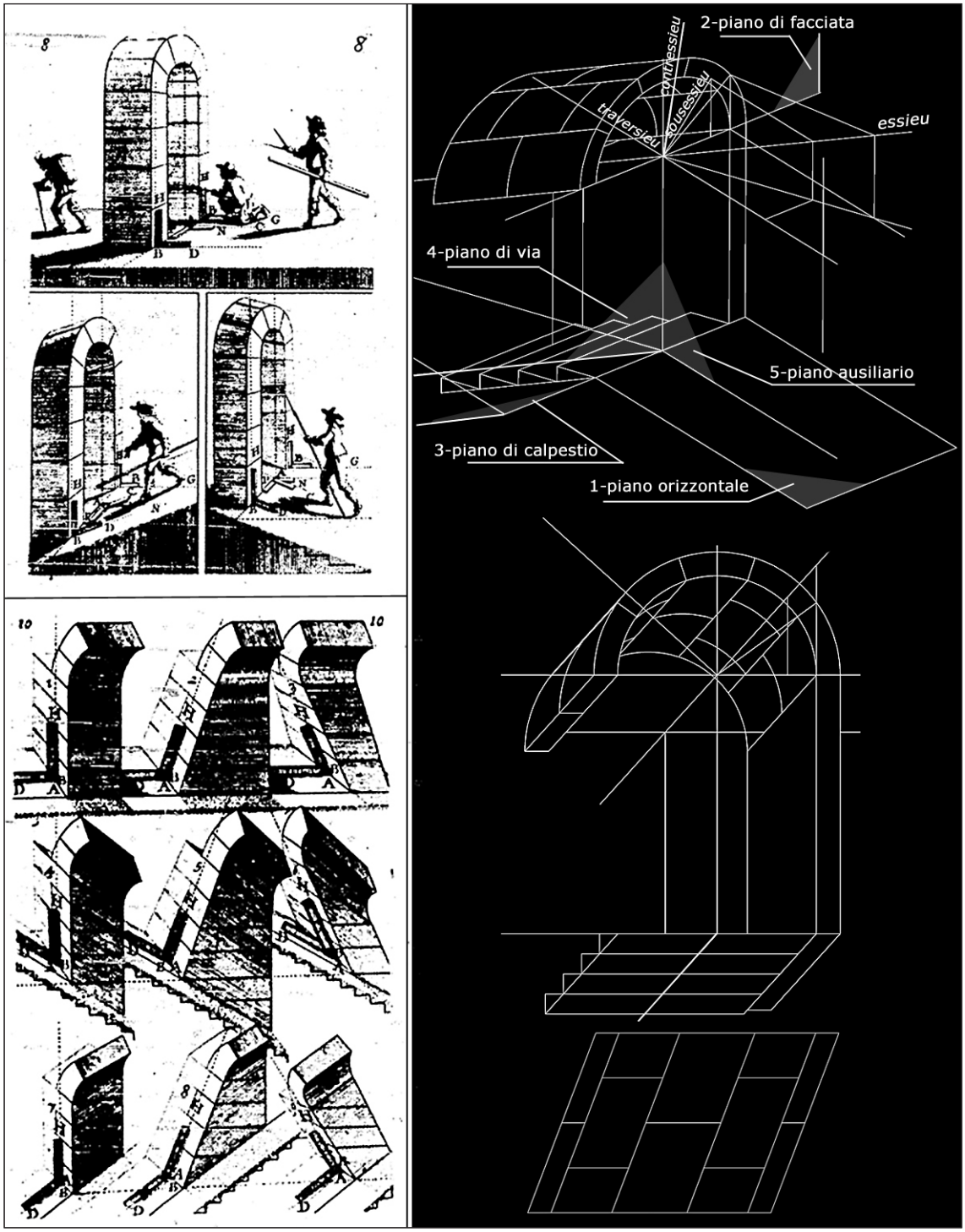


TAVOLA N° 73

Argomento della tavola: **Volta a botte per una discesa obliqua (Desargues-A. Bosse): piani di lavoro;**

Fonti dell'elaborazione: **A. Bosse, *Pratique* cit (cfr. bibliografia), ff.8, 10;**

Tipo di modellazione: **3D Solido/superficiale;**

Software utilizzati: **Rhinoceros, 3DStudio Max 5, Photoshop 7.**

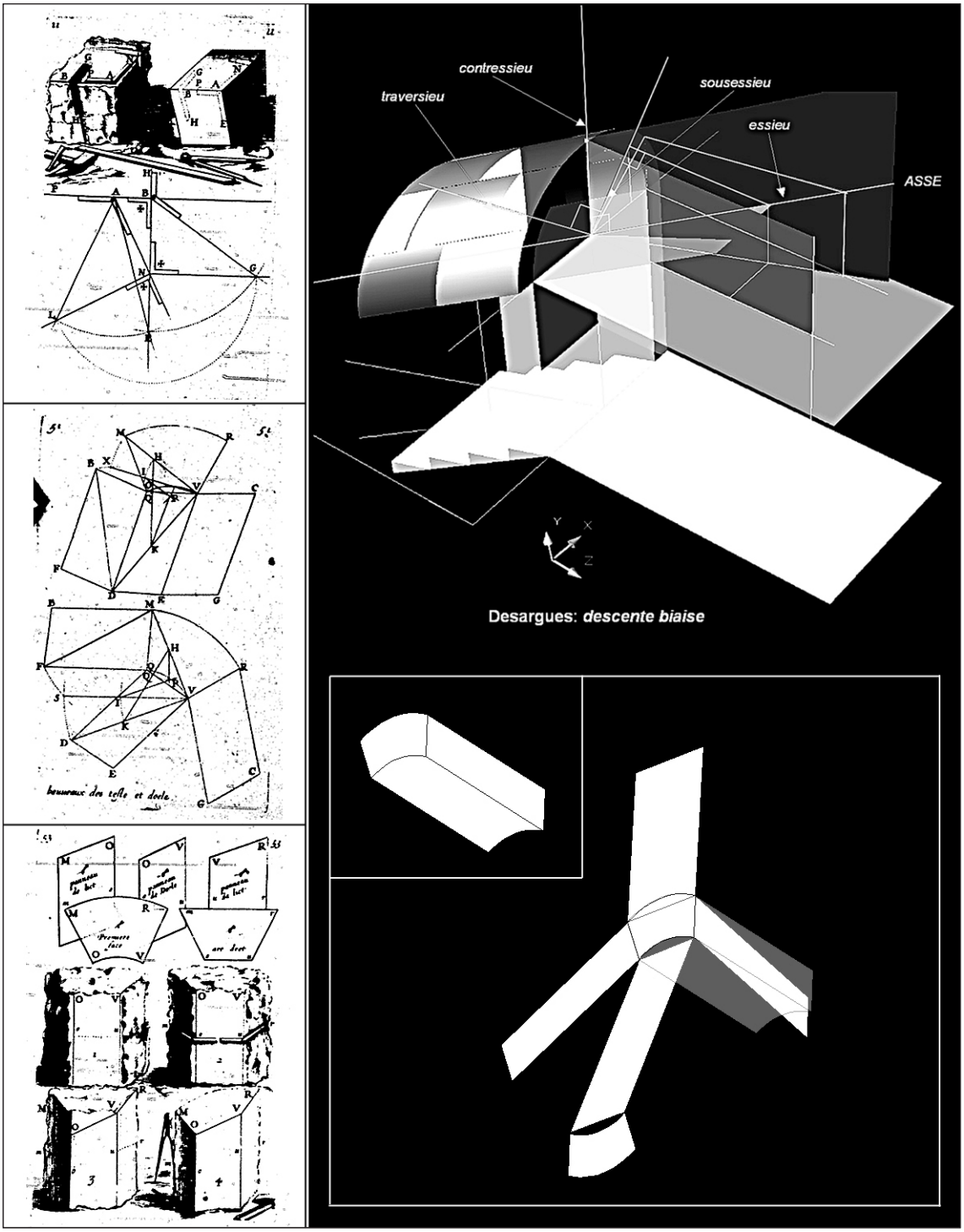


TAVOLA N° 74

Argomento della tavola: **Volta a botte per una discesa obliqua (Desargues-A. Bosse): piani di lavoro e pan neaux;**

Fonti dell'elaborazione: **A. Bosse, *Pratique* cit (cfr. bibliografia), ff.11, 52, 53;**

Tipo di modellazione: **3D Solido/superficiale;**

Software utilizzati: **Rhinoceros, 3DStudio Max 5, Photoshop 7.**

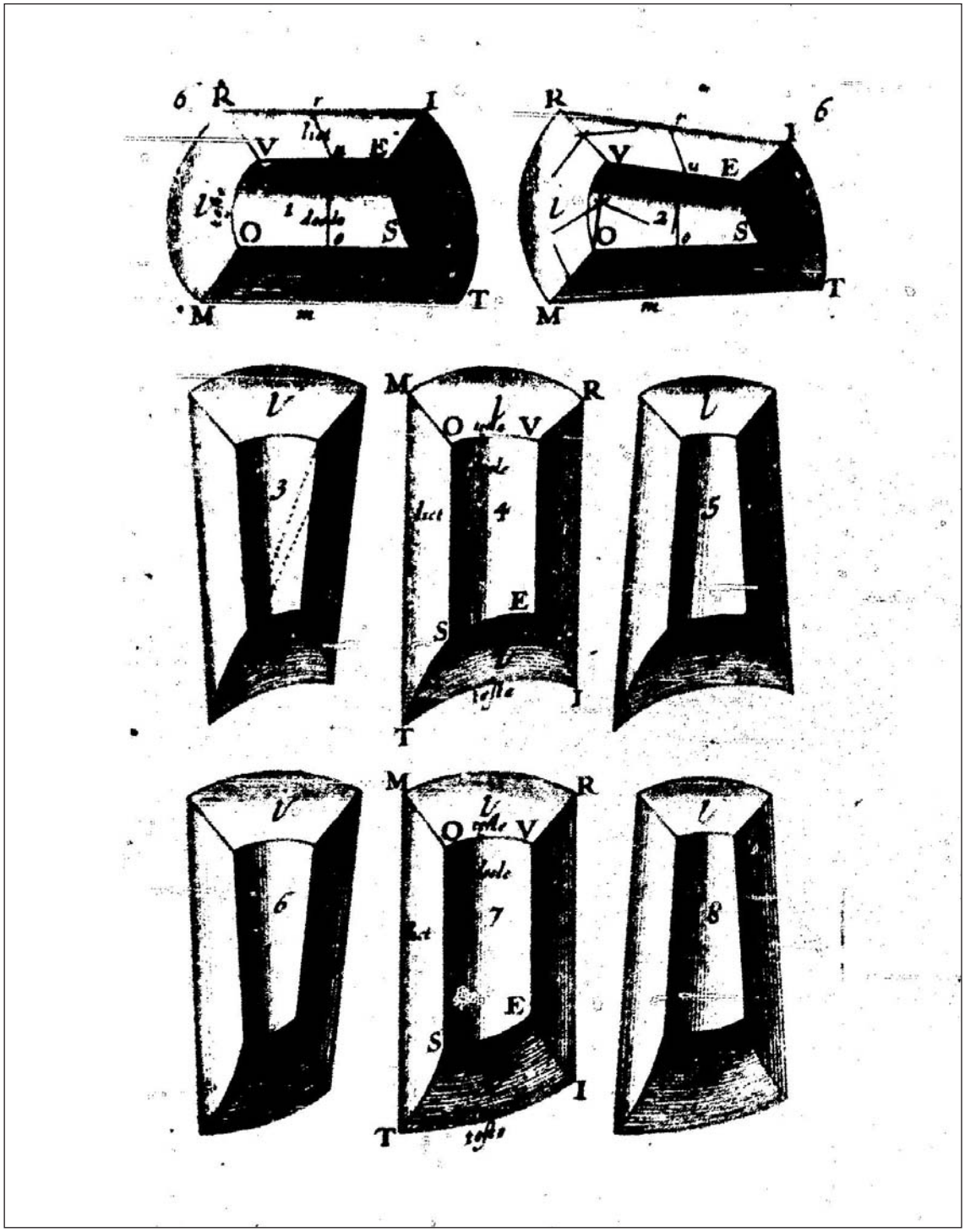


TAVOLA N° 75

Argomento della tavola: **Volta a botte per una discesa obliqua (Desargues-A. Bosse): i conci;**

Fonti dell'elaborazione: **A. Bosse, *Pratique* cit (cfr. bibliografia), fol. 6;**

Tipo di modellazione: **-**

Software utilizzati: **-**

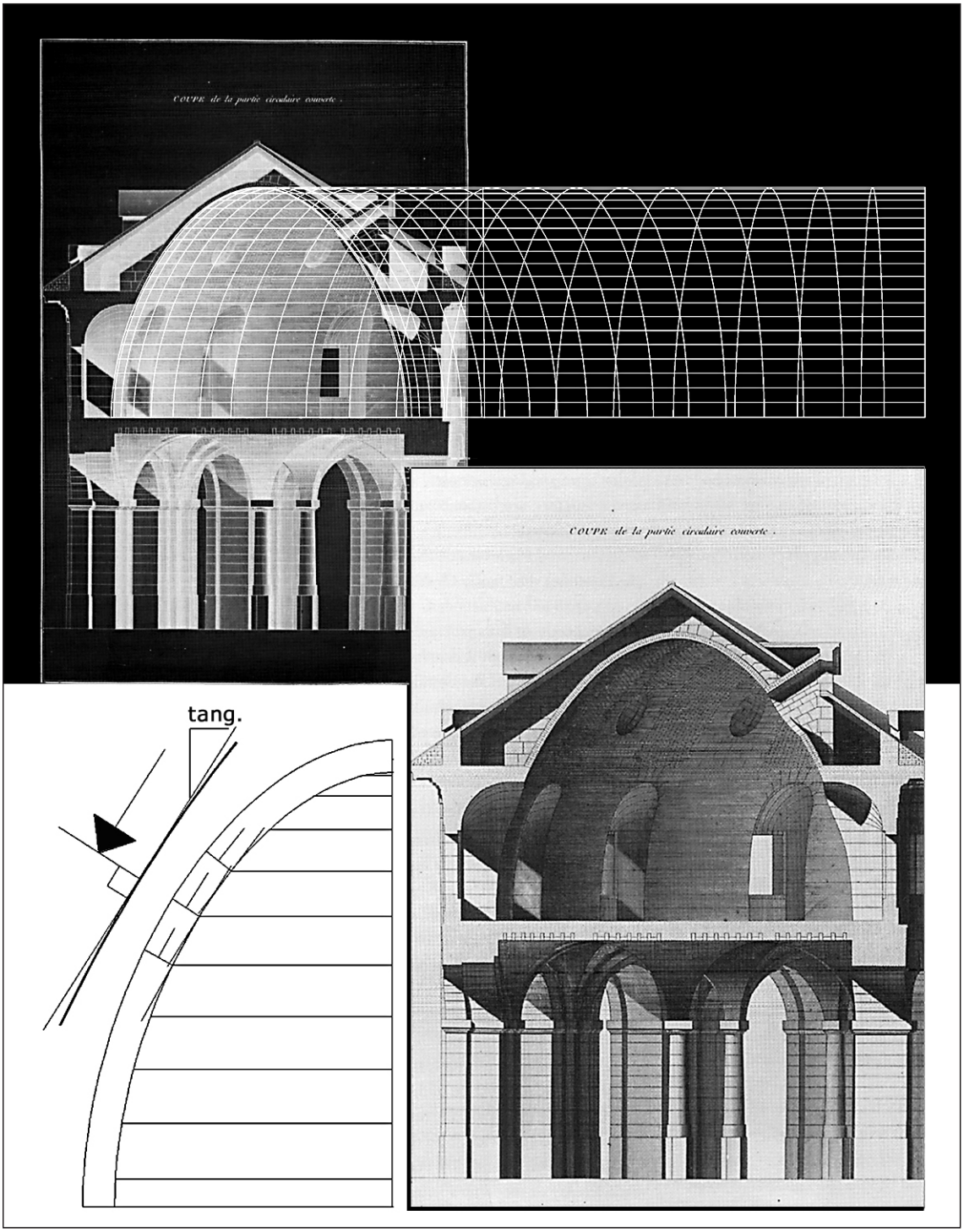


TAVOLA N° 76

Argomento della tavola:	**Volta a botte anulare con direttrice parabolica della Halle au Blé (N. Le Camus de Mézières), Parigi: analisi della sezione verticale radiale;**
Fonti dell'elaborazione:	**R. Evans, *Projective* cit (cfr. bibliografia), p. 219 (da *Recueil*, 1769);**
Tipo di modellazione:	**3D Solido/superficiale;**
Software utilizzati:	**Rhinoceros, 3DStudio Max 5, Photoshop 7.**

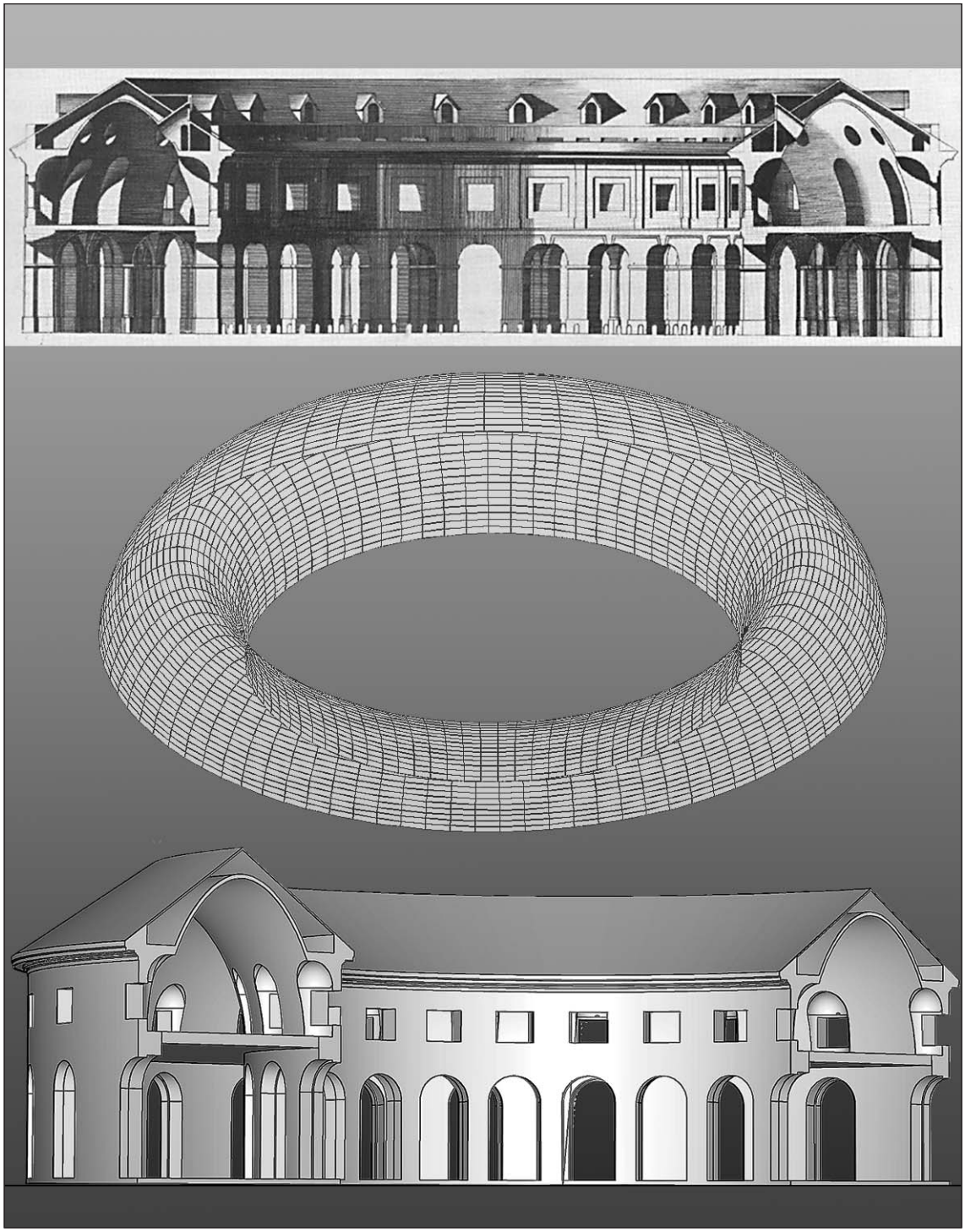


TAVOLA N° 77

Argomento della tavola:	**Volta a botte anulare con direttrice parabolica della Halle au Blé (N. Le Camus de Mézières), Parigi: superficie della volta e modello solido;**
Fonti dell'elaborazione:	**R. Evans, *Projective* cit (cfr. bibliografia), p. 219 (da *Recueil*, 1769);**
Tipo di modellazione:	**3D Solido/superficiale;**
Software utilizzati:	**Rhinoceros, 3DStudio Max 5, Photoshop 7.**

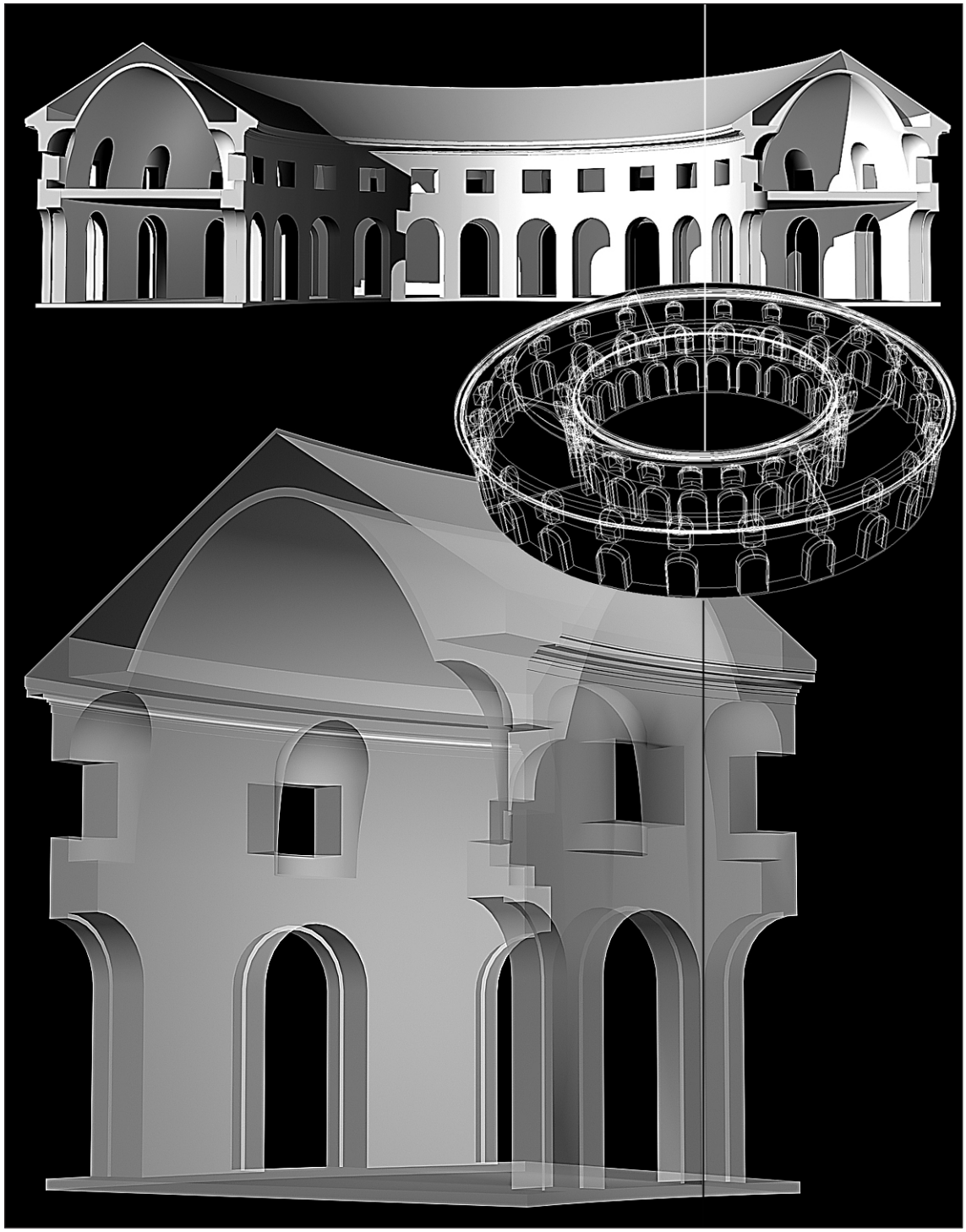


TAVOLA N° 78

Argomento della tavola: **Volta a botte anulare con direttrice parabolica della Halle au Blé (N. Le Camus de Mézières), Parigi: modello di insieme e della parte;**

Fonti dell'elaborazione: **R. Evans, *Projective* cit (cfr. bibliografia), p. 219 (da *Recueil*, 1769);**

Tipo di modellazione: **3D Solido/superficiale;**

Software utilizzati: **Rhinoceros, 3DStudio Max 5, Photoshop 7.**

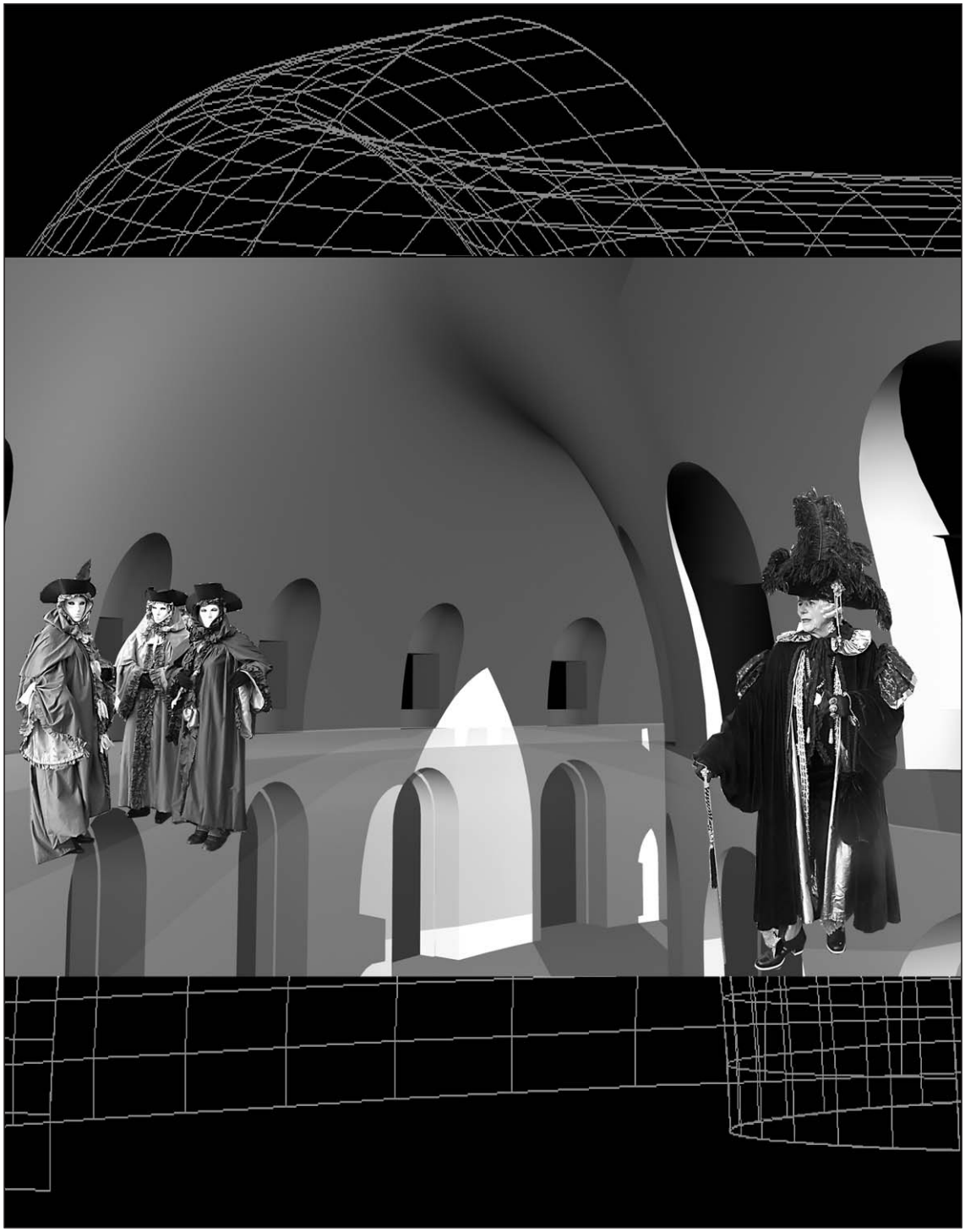


TAVOLA N° 79

Argomento della tavola:	**Volta a botte anulare con direttrice parabolica della Halle au Blé (N. Le Camus de Mézières), Parigi: ricostruzione superficiale dello spazio;**
Fonti dell'elaborazione:	**R. Evans, *Projective* cit (cfr. bibliografia), p. 219 (da *Recueil*, 1769);**
Tipo di modellazione:	**3D Solido/superficiale;**
Software utilizzati:	**Rhinoceros, 3DStudio Max 5, Photoshop 7.**



TAVOLA N° 80

Argomento della tavola: **Volta a botte anulare con direttrice parabolica della Halle au Blé (N. Le Camus de Mézières), Parigi: ricostruzione materica dello spazio;**

Fonti dell'elaborazione: **R. Evans, *Projective* cit (cfr. bibliografia), p. 219 (da *Recueil*, 1769);**

Tipo di modellazione: **3D Solido/superficiale;**

Software utilizzati: **Rhinoceros, 3DStudio Max 5, Photoshop 7.**



TAVOLA N° 81

Argomento della tavola:	**Volta a botte anulare con direttrice parabolica della Halle au Blé (N. Le Camus de Mézières), Parigi: ricostruzione materica dello spazio - h.;**
Fonti dell'elaborazione:	**R. Evans, *Projective* cit (cfr. bibliografia), p. 219 (da *Recueil*, 1769);**
Tipo di modellazione:	**3D Solido/superficiale;**
Software utilizzati:	**Rhinoceros, 3DStudio Max 5, Photoshop 7.**

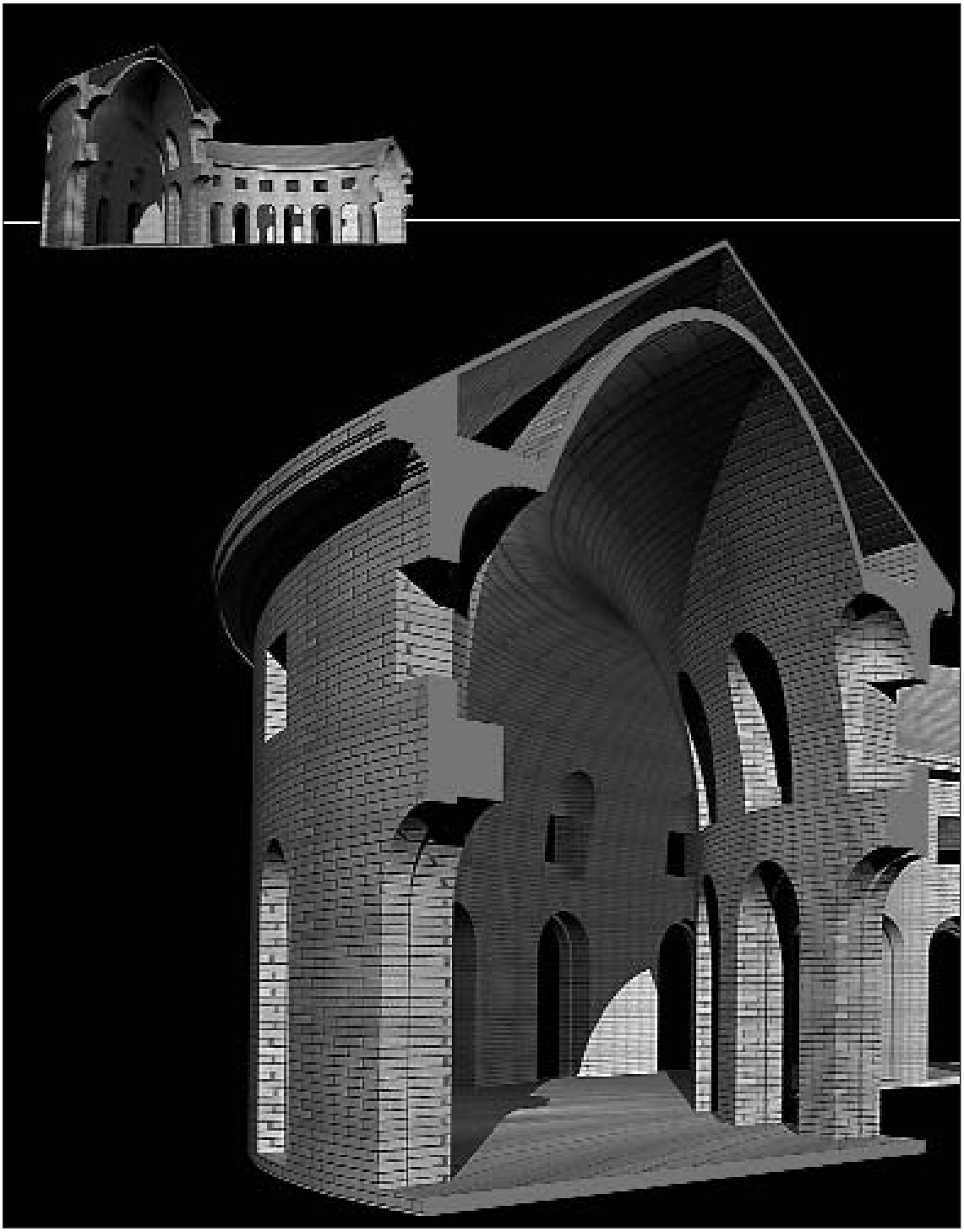


TAVOLA N° 82

Argomento della tavola: **Volta a botte anulare con direttrice parabolica della Halle au Blé (N. Le Camus de Mézières), Parigi: dettaglio;**

Fonti dell'elaborazione: **R. Evans, *Projective* cit (cfr. bibliografia), p. 219 (da *Recueil*, 1769);**

Tipo di modellazione: **3D Solido/superficiale;**

Software utilizzati: **Rhinoceros, 3DStudio Max 5, Photoshop 7.**

5. *Arriere-voussure* (volta dietro un vano)

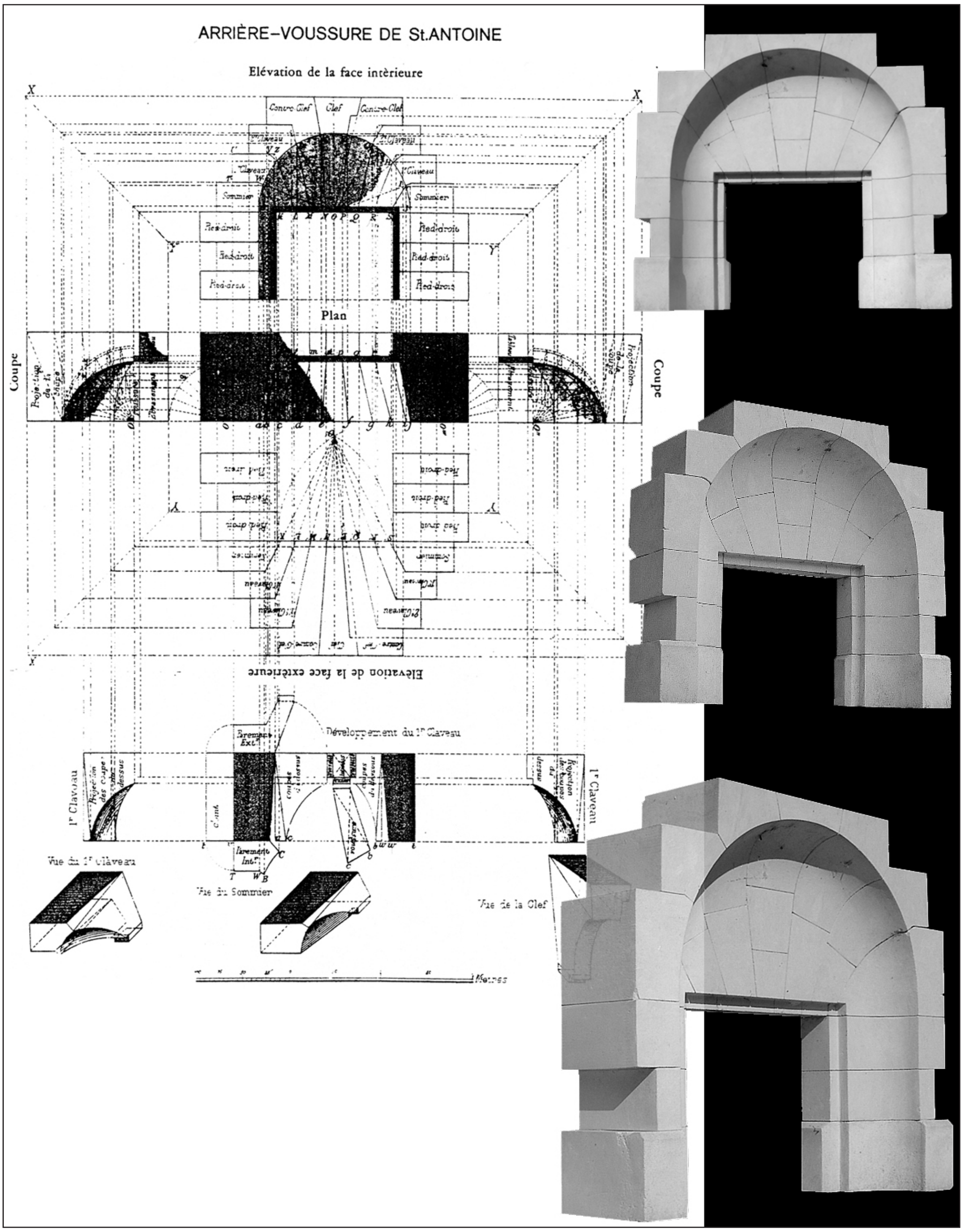


TAVOLA N° 83

<u>Argomento della tavola</u>: **Arrière-vuossure de St. Antoine: modello di pie tra (Compagnon du Devoir, Atelier S. Jaques, Parigi);**

<u>Fonti dell'elaborazione</u>: **L. Monduit, *Traité* cit. (cfr. bibliografia), pl. 79;**

<u>Tipo di modellazione</u>: **-**

<u>Software utilizzati</u>: **Photoshop 7.**

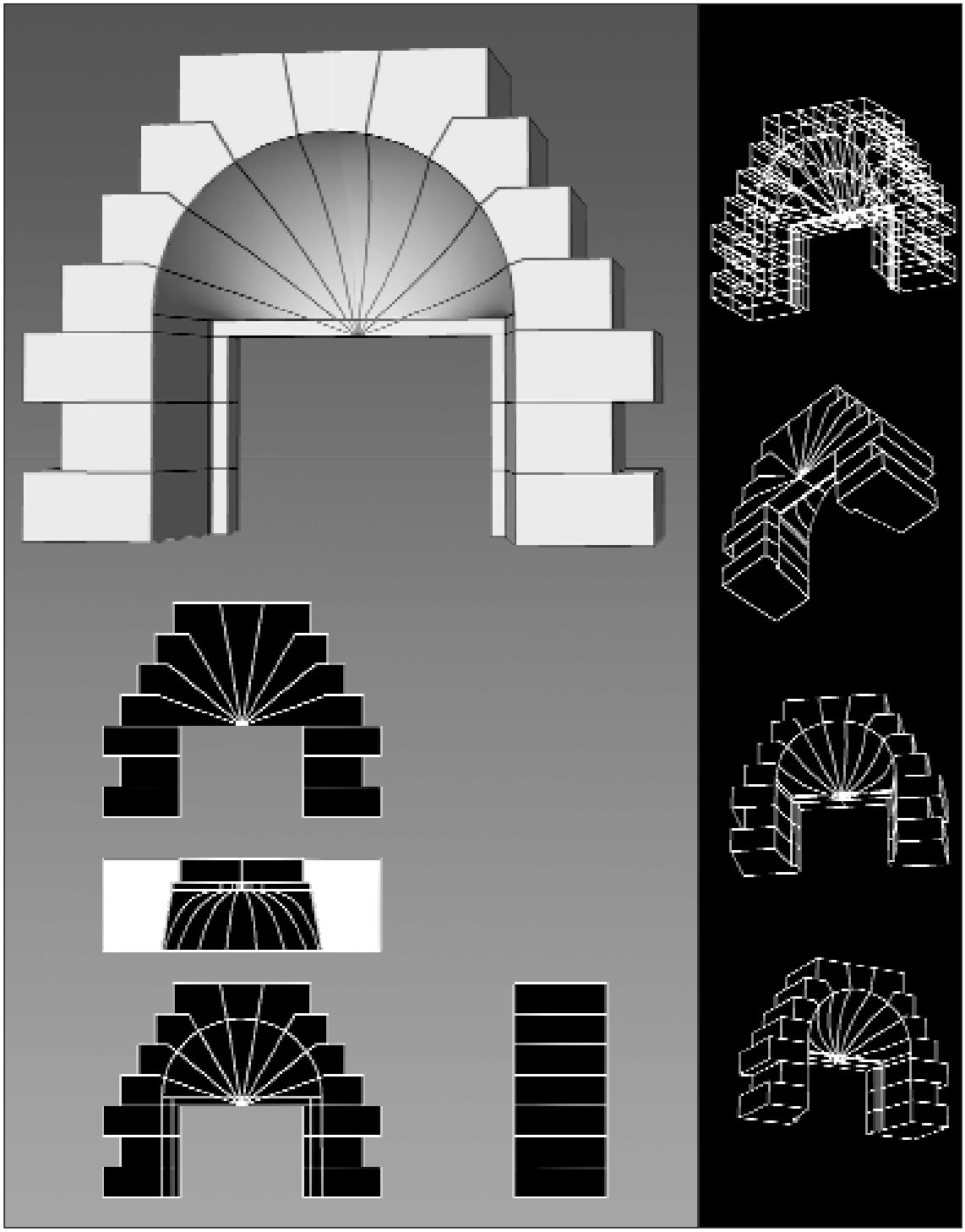


TAVOLA N° 84

Argomento della tavola: **Arrière-vuossure de St. Antoine: analisi della geometria della volta e dell'apparecchiatura (punto convergenza appartenente alla volta);**

Fonti dell'elaborazione: **L. Monduit, *Traité* cit. (cfr. bibliografia), pl. 79;**

Tipo di modellazione: **3D Superficiale;**

Software utilizzati: **Rhinoceros, 3DStudio Max 5, Photoshop 7.**

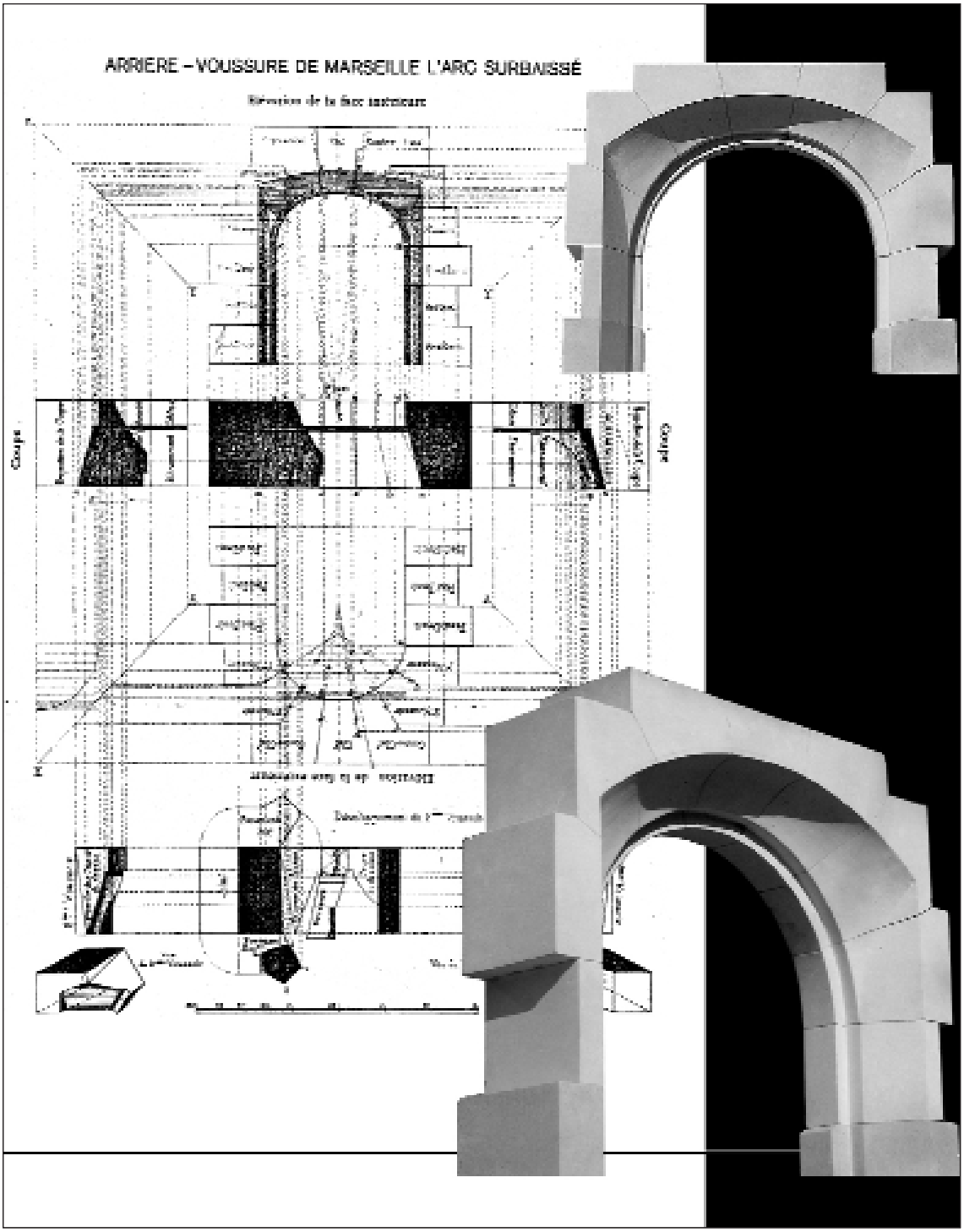


TAVOLA N° 85

Argomento della tavola: **Arrière-vuossure de Marseille: modello di pie tra (Compagnon du Devoir, Atelier S. Jaques, Parigi);**

Fonti dell'elaborazione: **L. Monduit, *Traité* cit. (cfr. bibliografia), pl. 78;**

Tipo di modellazione: **-;**

Software utilizzati: **Photoshop 7.**

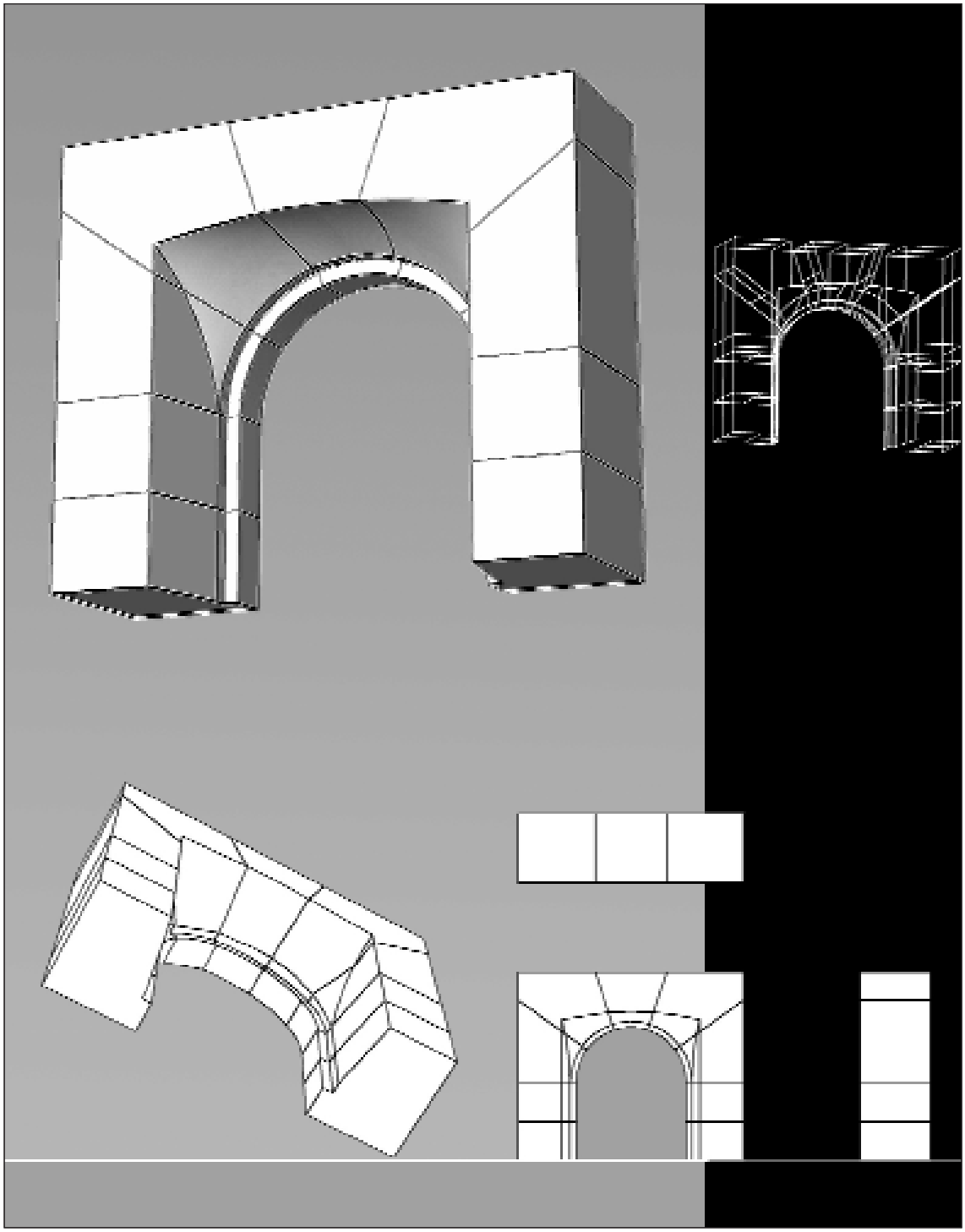


TAVOLA N° 86

Argomento della tavola: **Arrière-vuossure de Marseille: analisi della geometria della volta e dell'apparecchiatura;**

Fonti dell'elaborazione: **L. Monduit, *Traité* cit. (cfr. bibliografia), pl. 78;**

Tipo di modellazione: **3D Superficiale;**

Software utilizzati: **Rhinoceros, 3DStudio Max 5, Photoshop 7.**

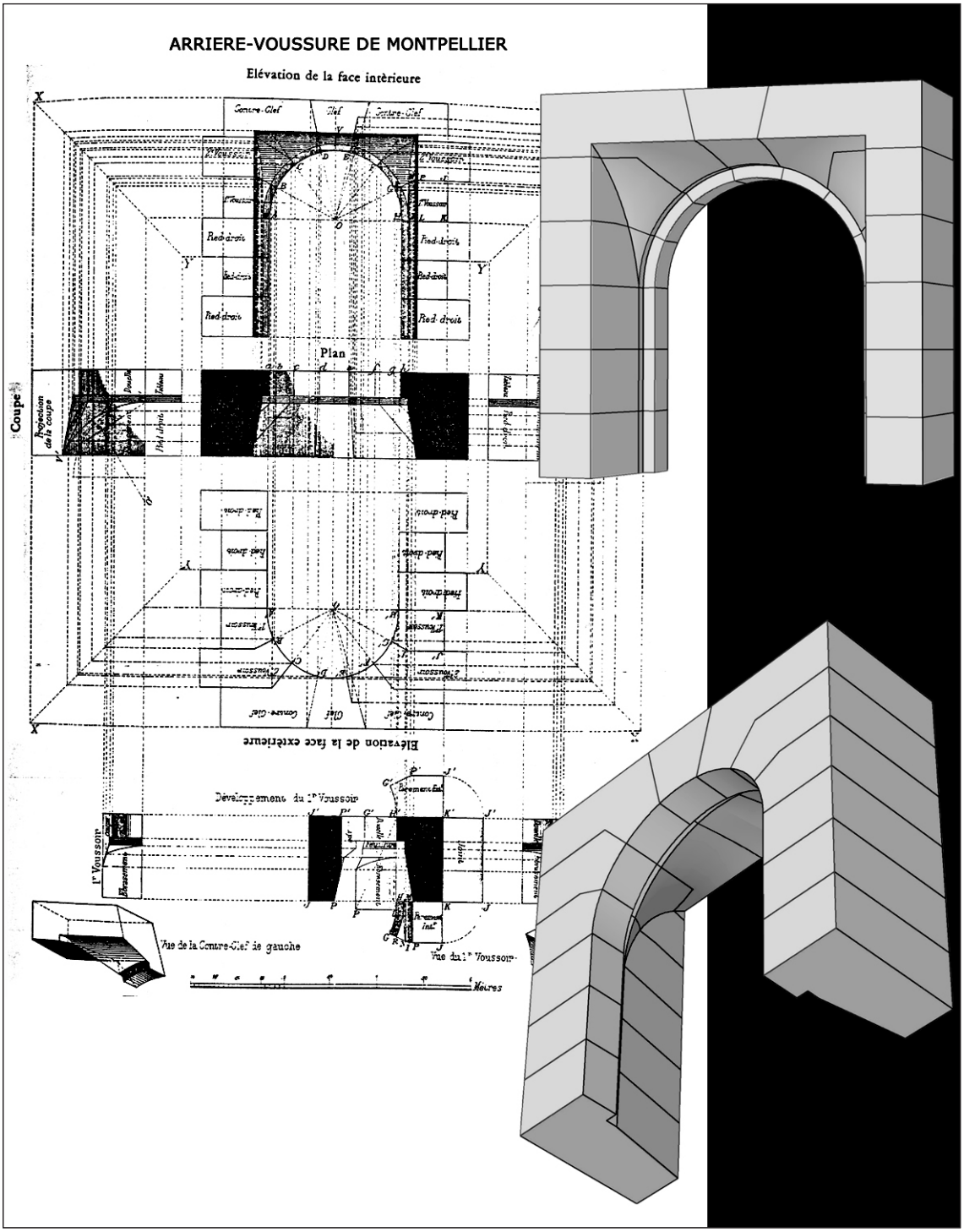


TAVOLA N° 87

Argomento della tavola: **Arrière-vuossure de Montpellier: analisi della geometria della volta e dell'apparecchiatura;**

Fonti dell'elaborazione: **L. Monduit, *Traité* cit. (cfr. bibliografia), pl. 77;**

Tipo di modellazione: **3D Superficiale;**

Software utilizzati: **Rhinoceros, 3DStudio Max 5, Photoshop 7.**

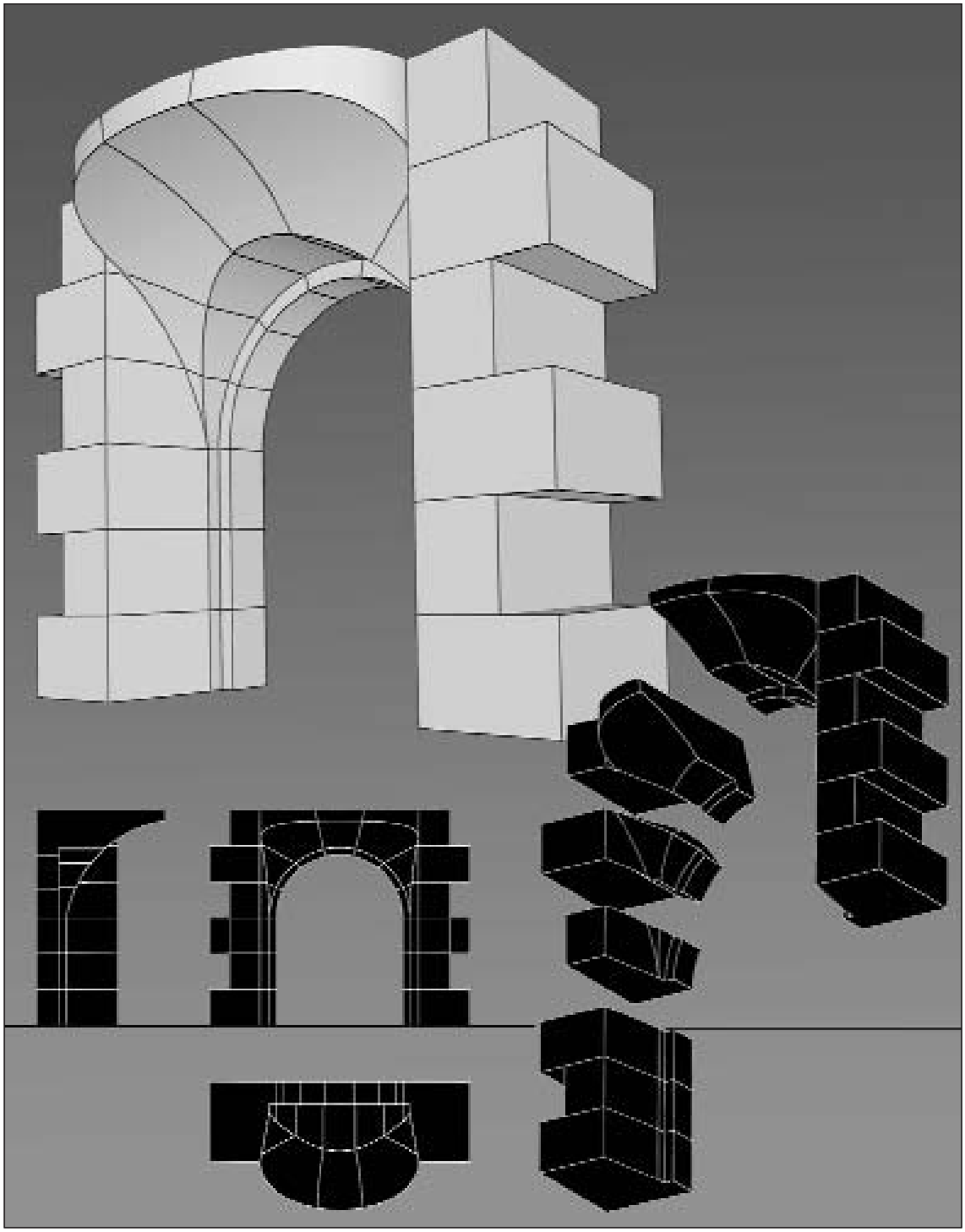


TAVOLA N° 88

Argomento della tavola: **Arrière-vuossure con veletta cilindrica: disegno di invenzione;**

Fonti dell'elaborazione: **-**

Tipo di modellazione: **3D Solida;**

Software utilizzati: **Autocad 2004, 3DStudio Max 5, Photoshop 7.**



TAVOLA N° 89

Argomento della tavola: **Arrière-vuossure con veletta cilindrica lignea: disegno di invenzione - vista 1;**

Fonti dell'elaborazione: **Fotografia del modello ligneo dell'aggetto (Compagnon du Devoir, Lione, Francia);**

Tipo di modellazione: **3D Solida;**

Software utilizzati: **Autocad 2004, 3DStudio Max 5, Photoshop 7.**

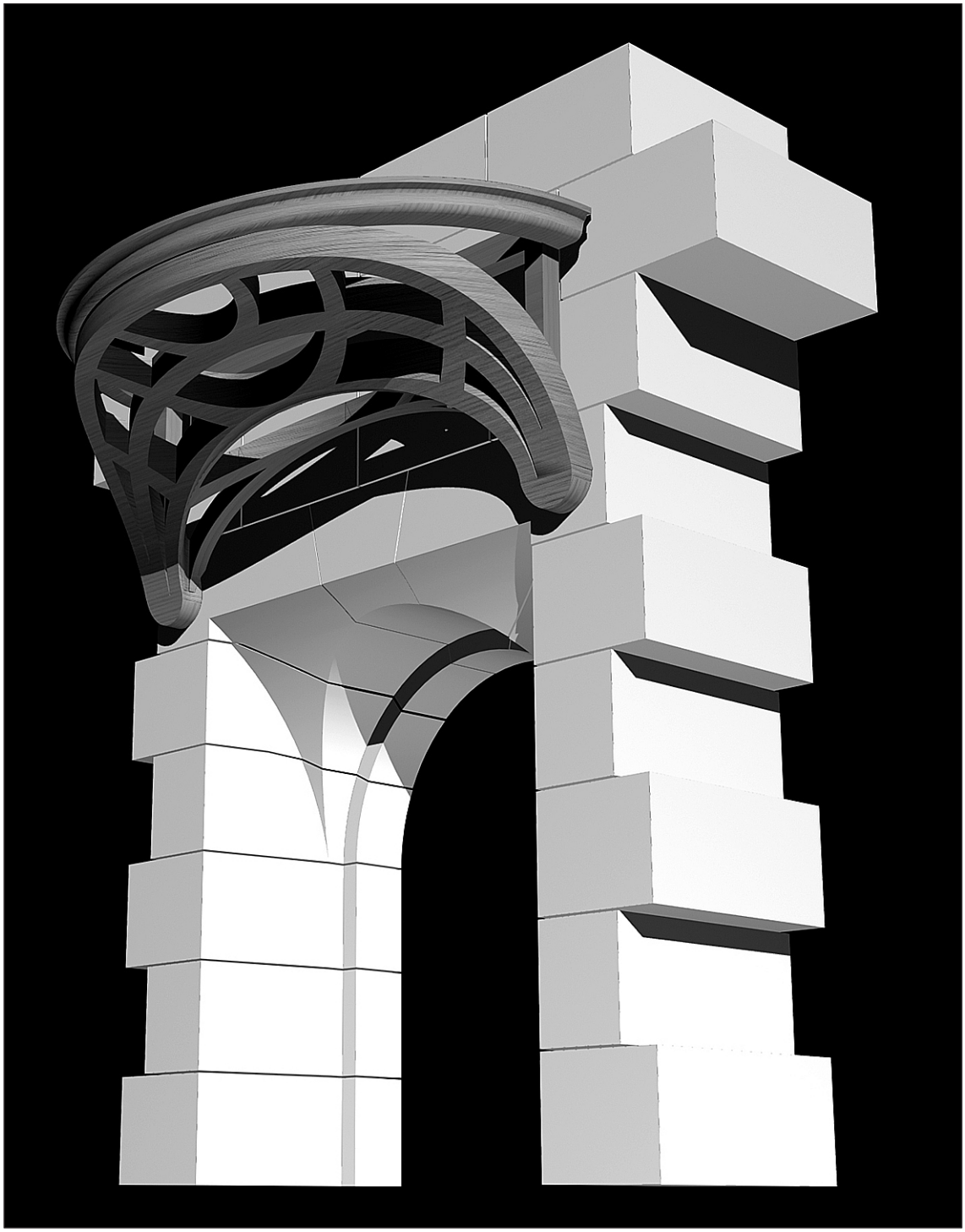


TAVOLA N° 90

Argomento della tavola:	**Arrière-vuossure con veletta cilindrica lignea: disegno di invenzione - vista 2;**
Fonti dell'elaborazione:	**Fotografia del modello ligneo dell'aggetto (Compagnon du Devoir, Lione, Francia);**
Tipo di modellazione:	**3D Solida;**
Software utilizzati:	**Autocad 2004, 3DStudio Max 5, Photoshop 7.**

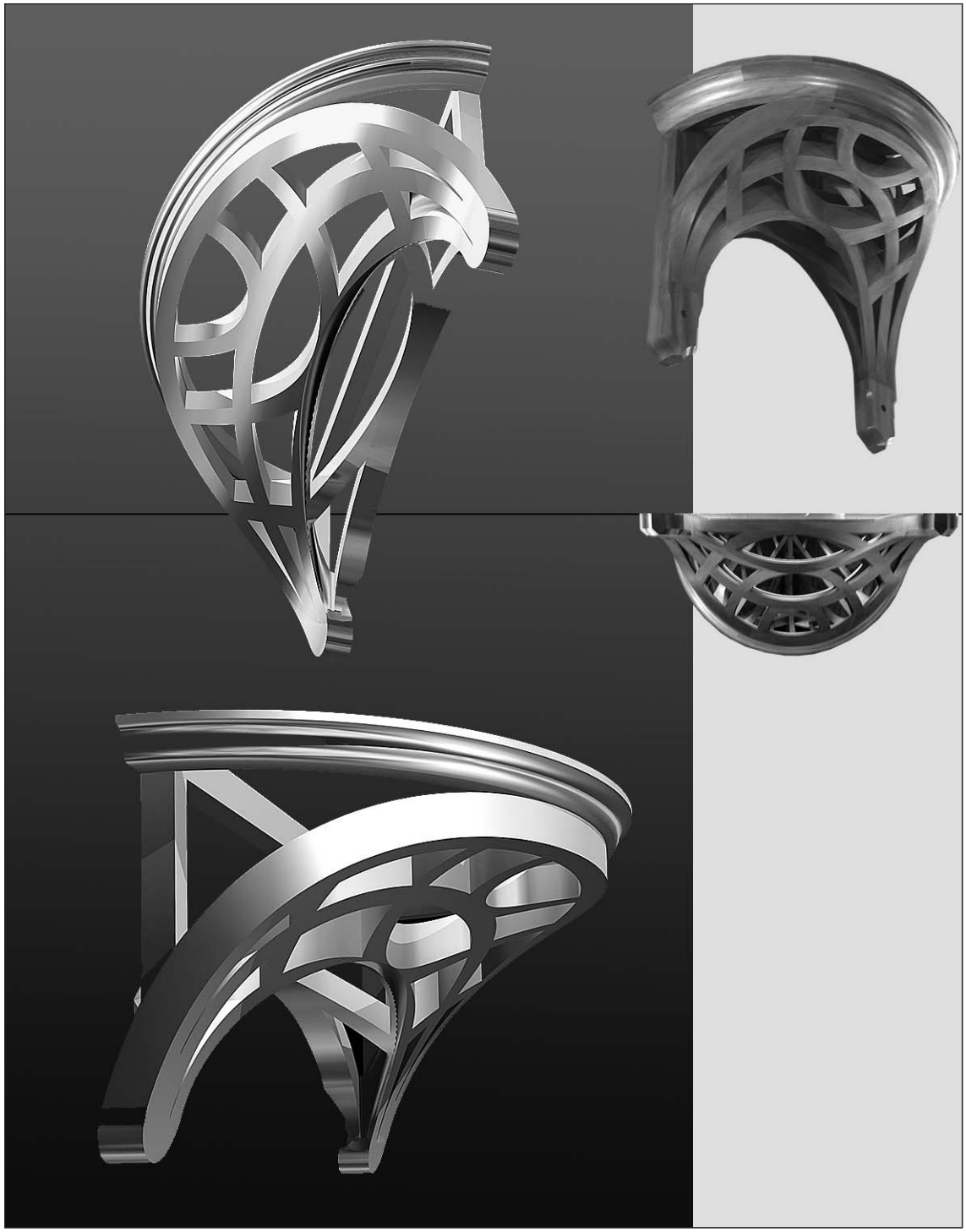


TAVOLA N° 91

Argomento della tavola: **Veletta cilindrica lignea: modello;**

Fonti dell'elaborazione: **Fotografia del modello ligneo dell'aggetto (Compagnon du Devoir, Lione, Francia);**

Tipo di modellazione: **3D Solida;**

Software utilizzati: **Autocad 2004, 3DStudio Max 5, Photoshop 7.**

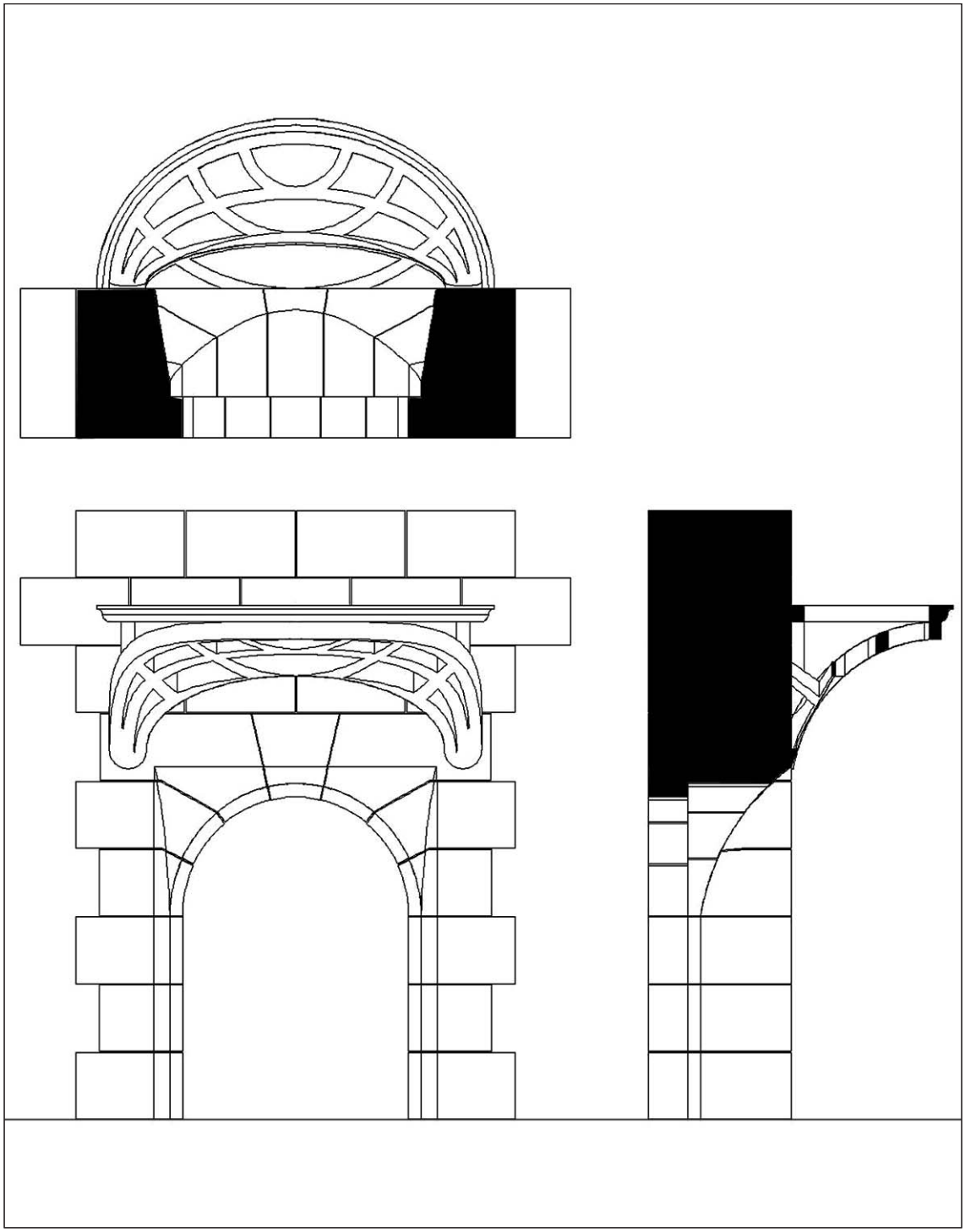


TAVOLA N° 92

Argomento della tavola: **Arrière-vuossure con veletta cilindrica lignea: disegno di invenzione - proiezioni ortogonali;**

Fonti dell'elaborazione: **Fotografia del modello ligneo dell'aggetto (Compagnon du Devoir, Lione, Francia);**

Tipo di modellazione: **3D Solida;**

Software utilizzati: **Autocad 2004, 3DStudio Max 5, Photoshop 7.**

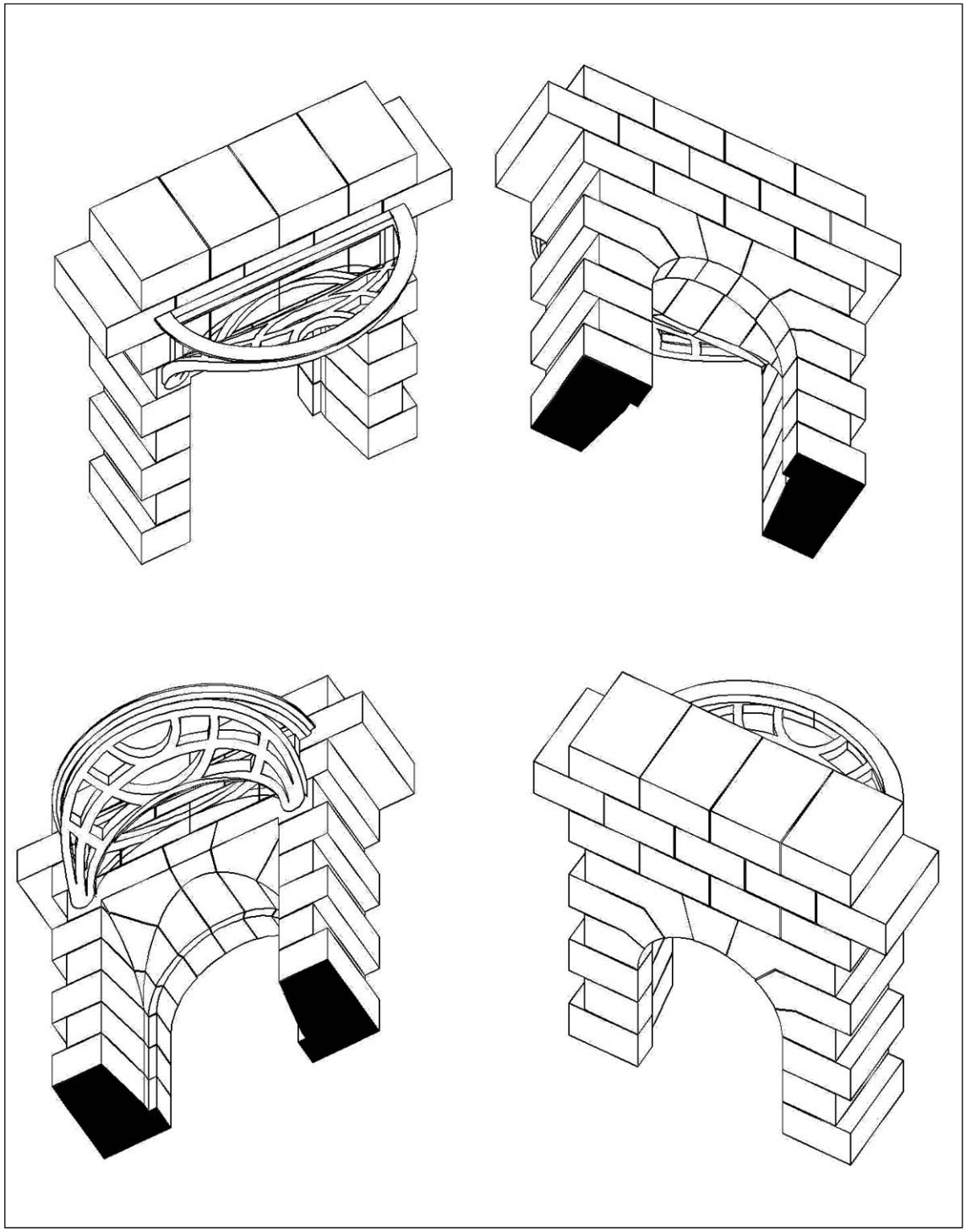


TAVOLA N° 93

Argomento della tavola: **Arrière-vuossure con veletta cilindrica lignea: disegno di invenzione - viste assonometriche;**

Fonti dell'elaborazione: **Fotografia del modello ligneo dell'aggetto (Compagnon du Devoir, Lione, Francia);**

Tipo di modellazione: **3D Solida;**

Software utilizzati: **Autocad 2004, 3DStudio Max 5, Photoshop 7.**

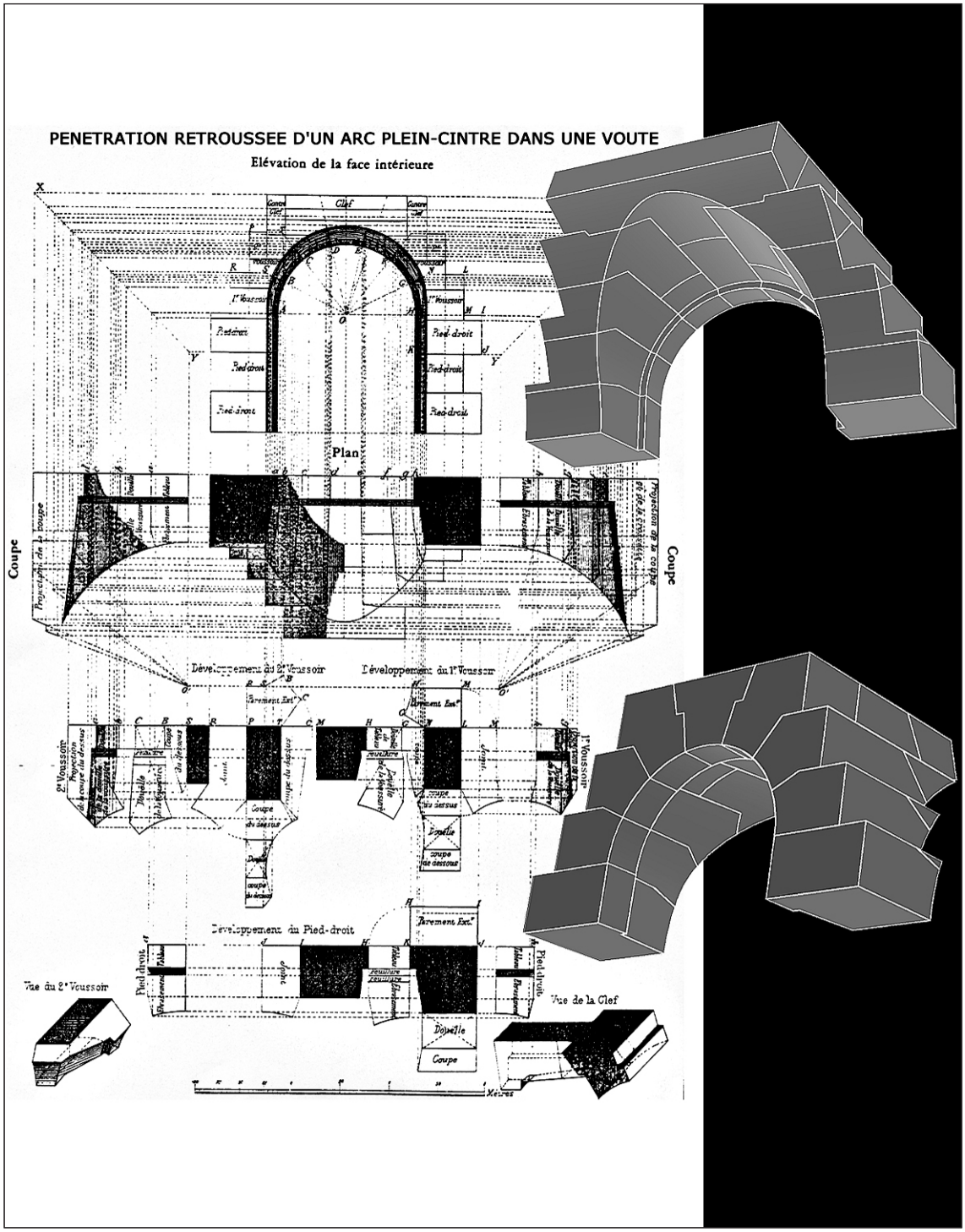


TAVOLA N° 94

Argomento della tavola: **Lunetta di penetrazione in una volta a botte;**

Fonti dell'elaborazione: **L. Monduit, *Traité* cit. (cfr. bibliografia), pl. 41;**

Tipo di modellazione: **3D Solida;**

Software utilizzati: **Autocad 2004, 3DStudio Max 5, Photoshop 7.**

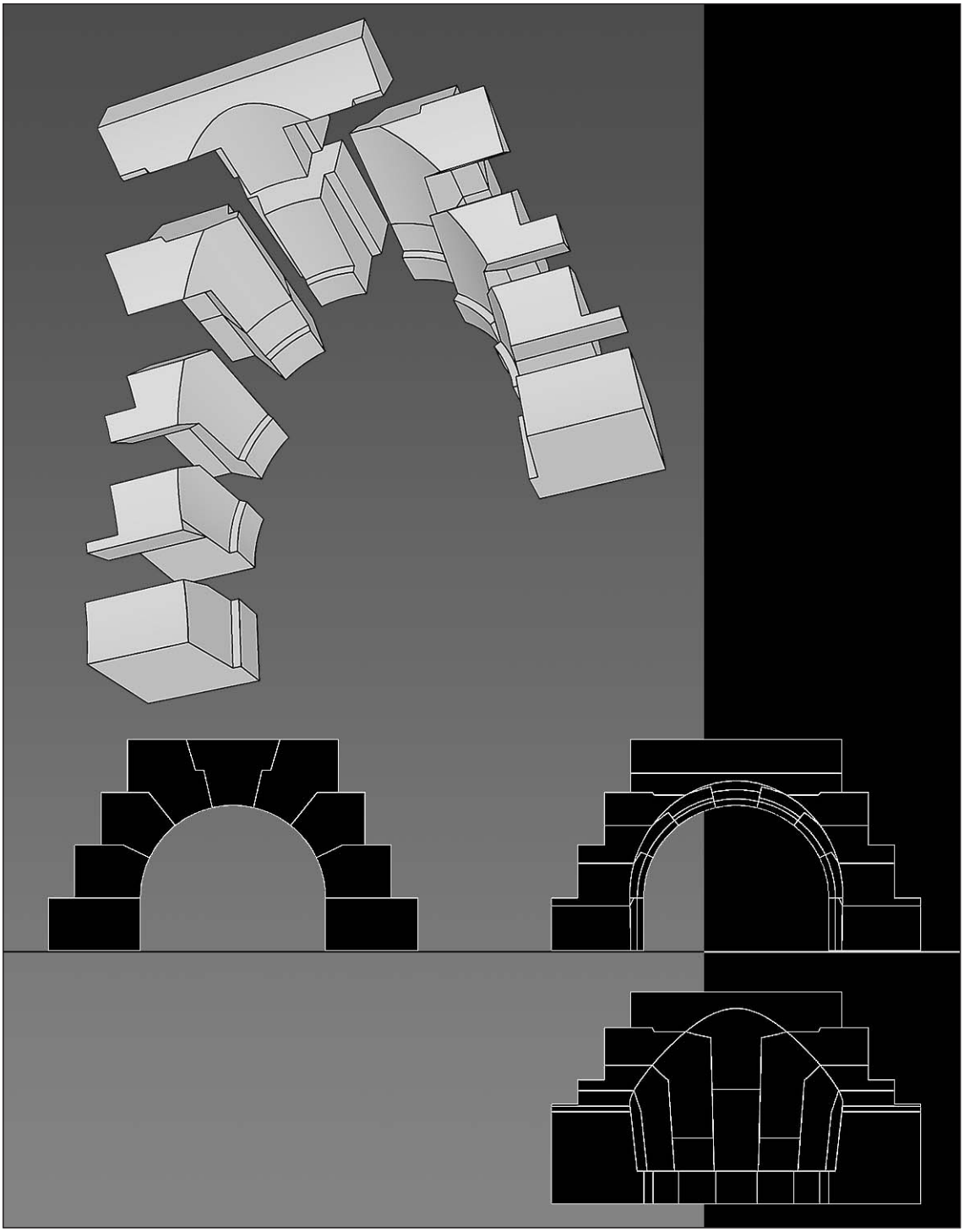


TAVOLA N° 95

Argomento della tavola: **Lunetta di penetrazione in una volta a botte: proiezioni ortogonali e esploso;**

Fonti dell'elaborazione: **L. Monduit, *Traité* cit. (cfr. bibliografia), pl. 41;**

Tipo di modellazione: **3D Solida;**

Software utilizzati: **Autocad 2004, 3DStudio Max 5, Photoshop 7.**

6. Volte in aggetto - *Trompe*

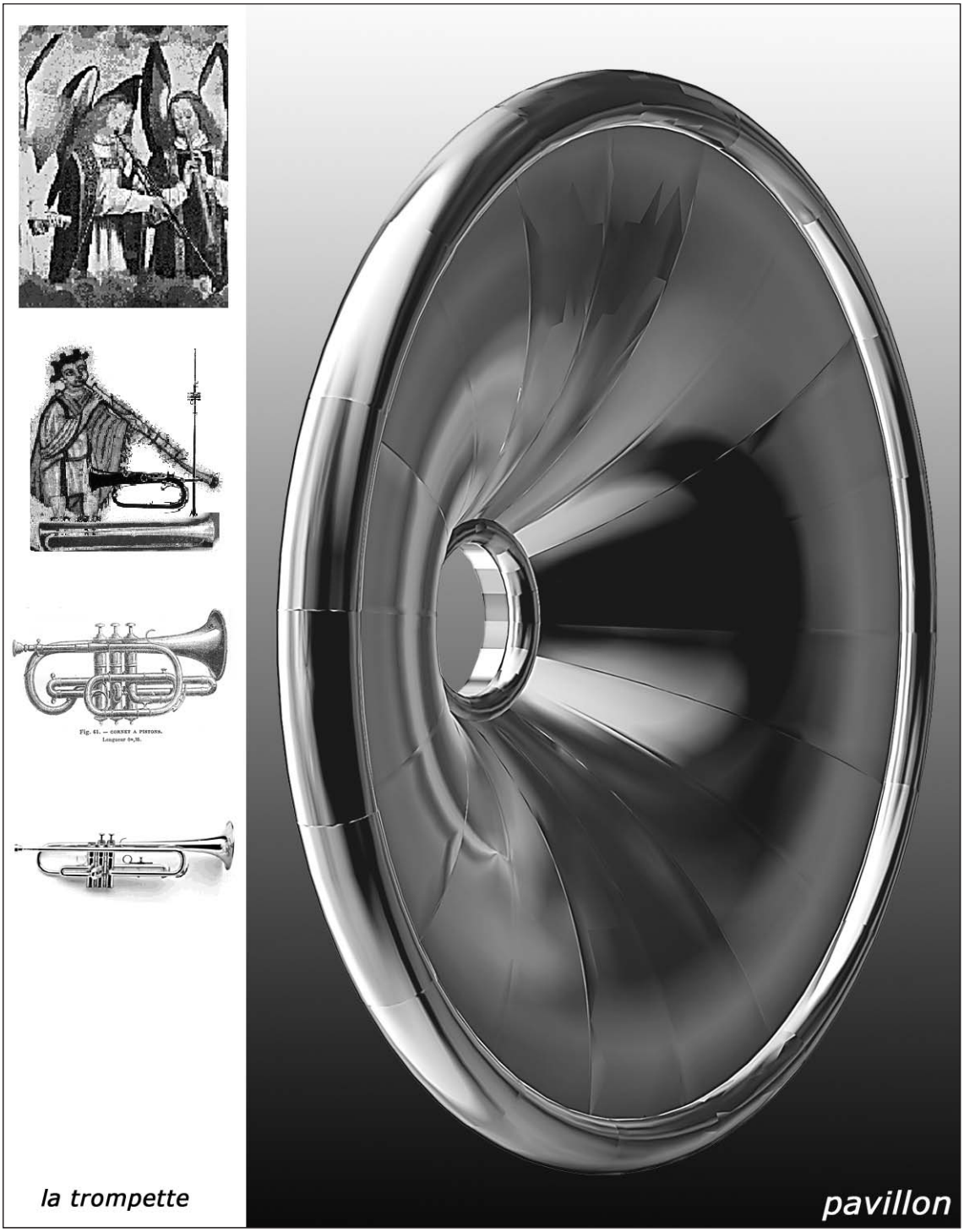


TAVOLA N° 96

Argomento della tavola: **La *trompe* e la derivazione formale dallo stru mento musicale: il *pavillon* della trombetta;**

Fonti dell'elaborazione: **P. Delorme, *Premiere* cit. (cfr. bibliografia), Libro IV, cap. I, fol. 89 v (a proposito della tromba);**

Tipo di modellazione: **3D Solida;**

Software utilizzati: **Autocad 2004, 3DStudio Max 5, Photoshop 7.**

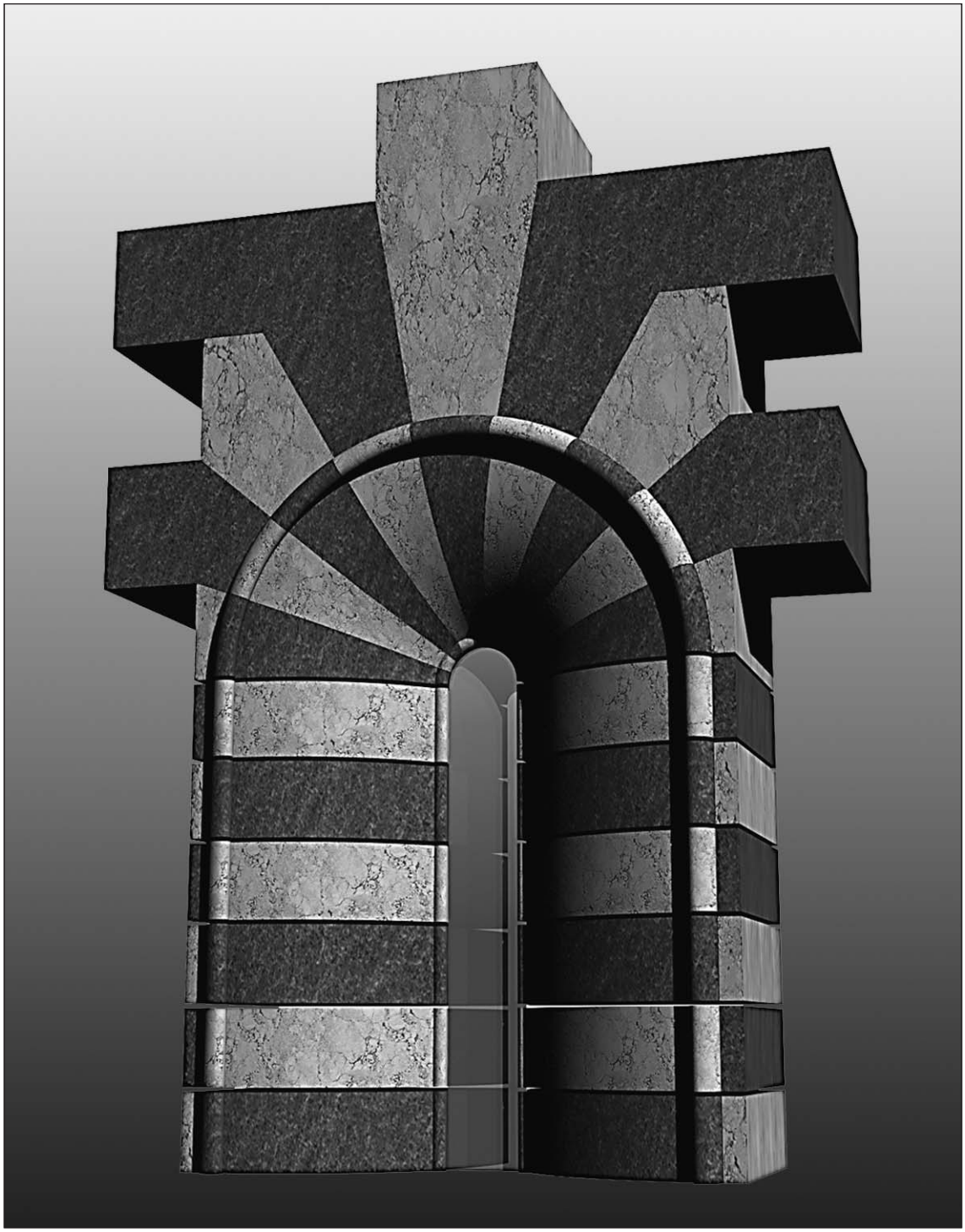


TAVOLA N° 97

Argomento della tavola:	**Apertura *strombata* dicroma, disegno di inven zione: apparecchiatura d'insieme;**
Fonti dell'elaborazione:	**P. Delorme, *Premiere* cit. (cfr. bibliografia), Libro IV, cap. I, fol. 89 v (a proposito della tromba);**
Tipo di modellazione:	**3D Solida;**
Software utilizzati:	**Autocad 2004, 3DStudio Max 5, Photoshop 7.**

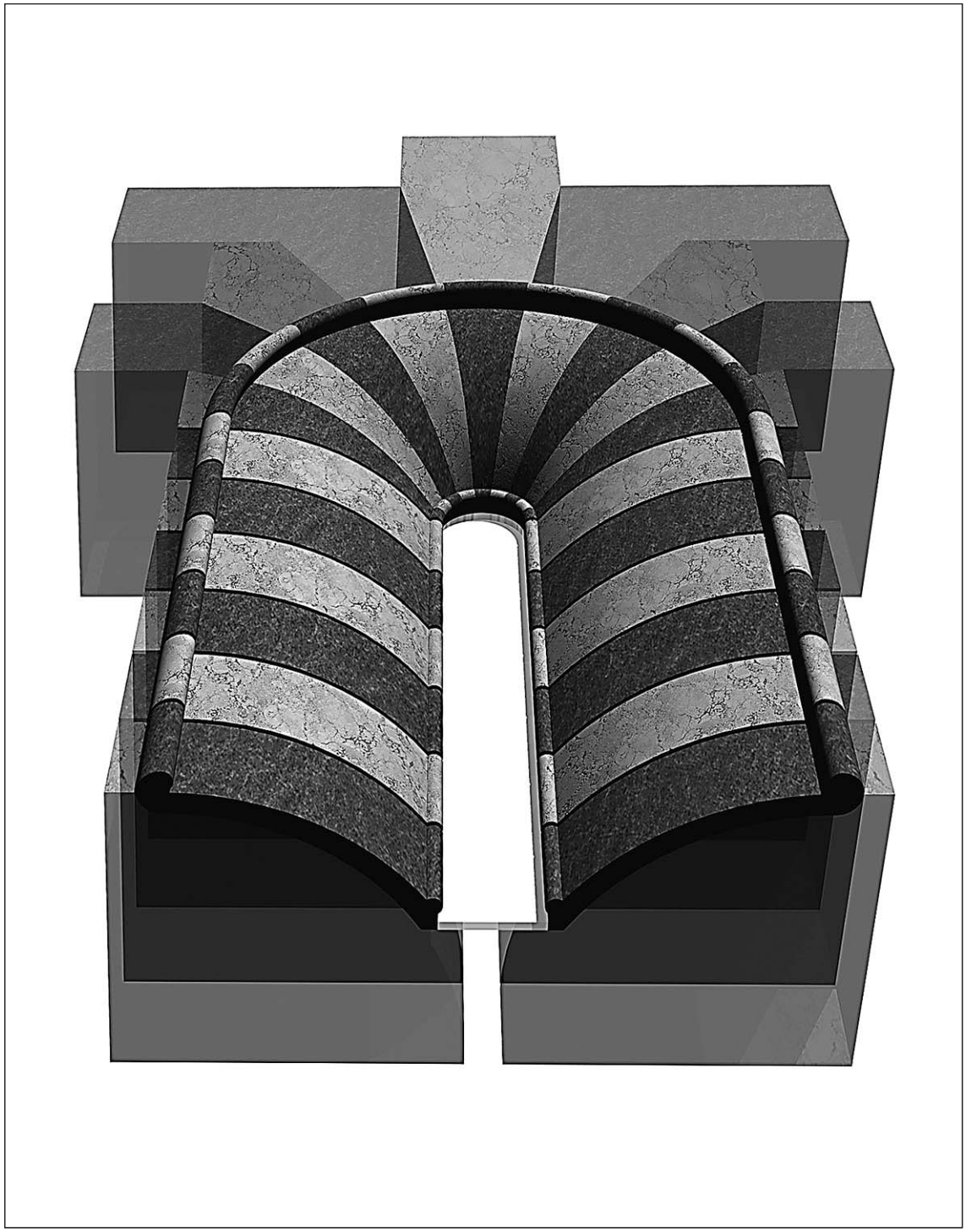


TAVOLA N° 98

Argomento della tavola: **Apertura *strombata* dicroma, disegno di invenzione: le parti e la composizione cromatica;**

Fonti dell'elaborazione: **P. Delorme, *Premiere* cit. (cfr. bibliografia), Libro IV, cap. I, fol. 89 v (a proposito della tromba);**

Tipo di modellazione: **3D Solida;**

Software utilizzati: **Autocad 2004, 3DStudio Max 5, Photoshop 7.**

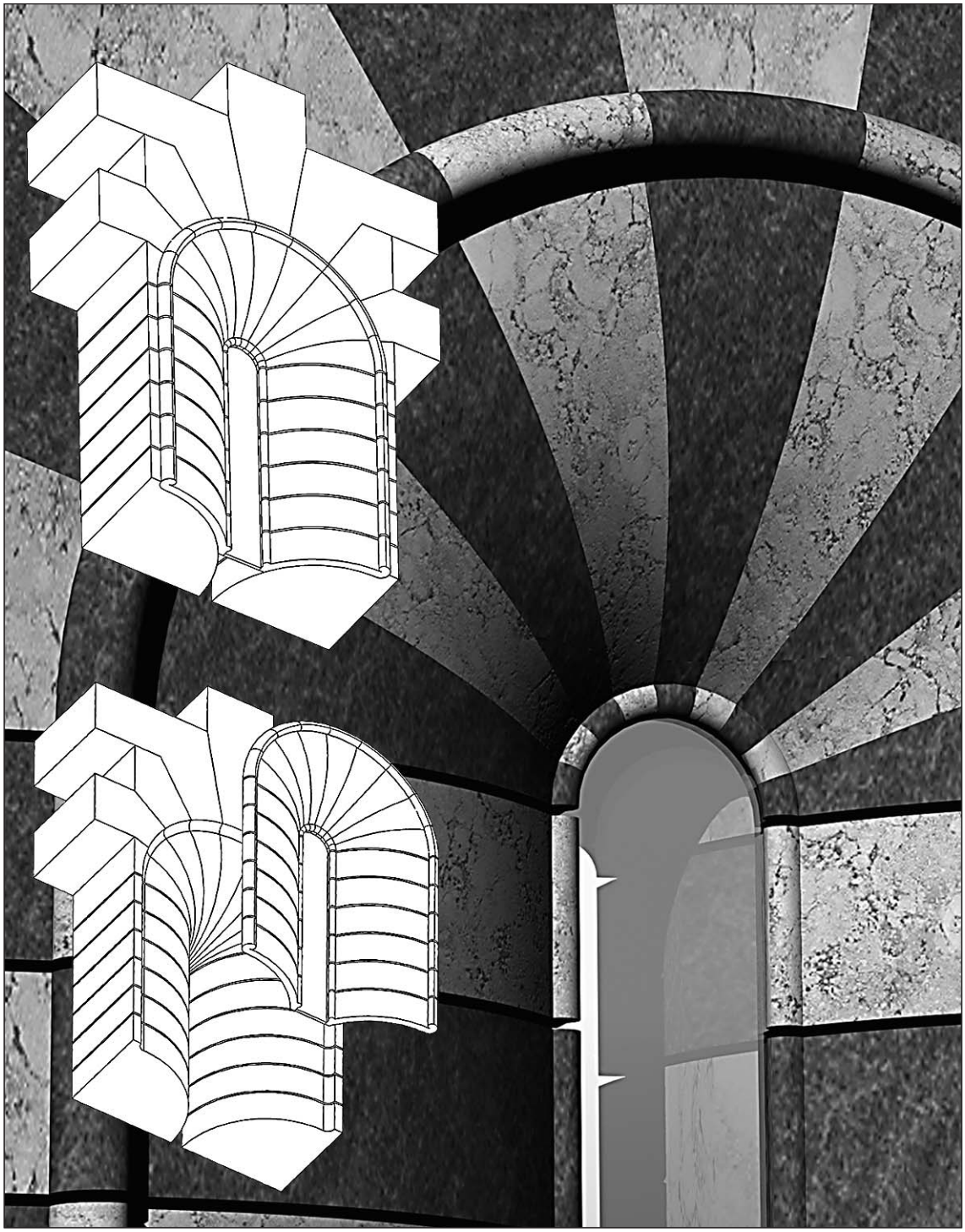


TAVOLA N° 99

Argomento della tavola:	**Apertura *strombata* dicroma, disegno di inven zione: dettaglio e esploso;**
Fonti dell'elaborazione:	**P. Delorme, *Premiere* cit. (cfr. bibliografia), Libro IV, cap. I, fol. 89 v (a proposito della tromba);**
Tipo di modellazione:	**3D Solida;**
Software utilizzati:	**Autocad 2004, 3DStudio Max 5, Photoshop 7**

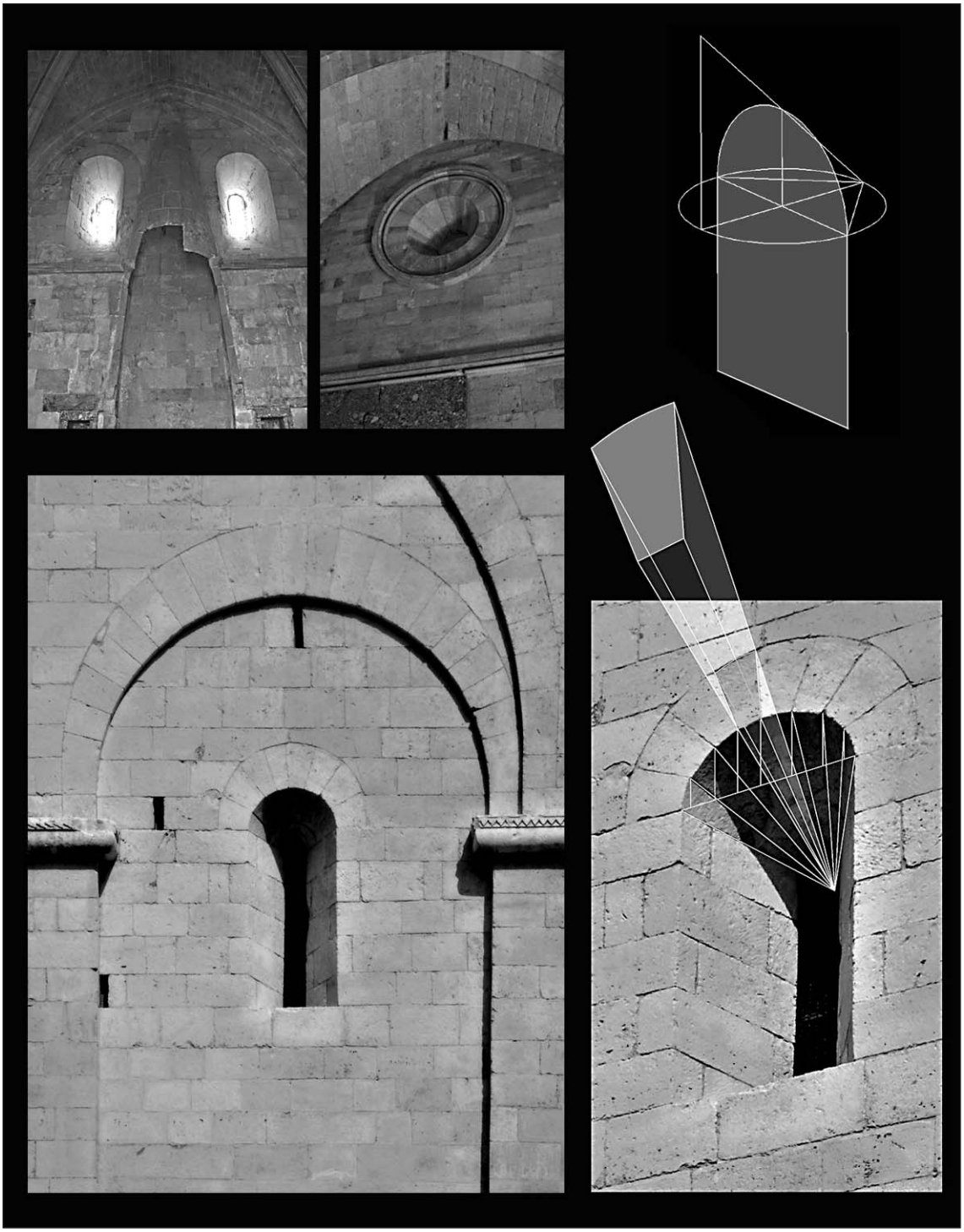


TAVOLA N° 100

Argomento della tavola: **Antecedenti formali della *trompe*: finestre stom bate medievali in Italia meridionale;**

Fonti dell'elaborazione: **Rilievo fotografico in situ: in alto camino conico e finestre strombate (Castel Del Monte - Puglia, XIII sec), in basso finestra strombata (Cattedrale di Bitonto Bari, XII sec);**

Tipo di modellazione: **3D Solida;**
Software utilizzati: **Autocad 2004, 3DStudio Max 5, Photoshop 7.**

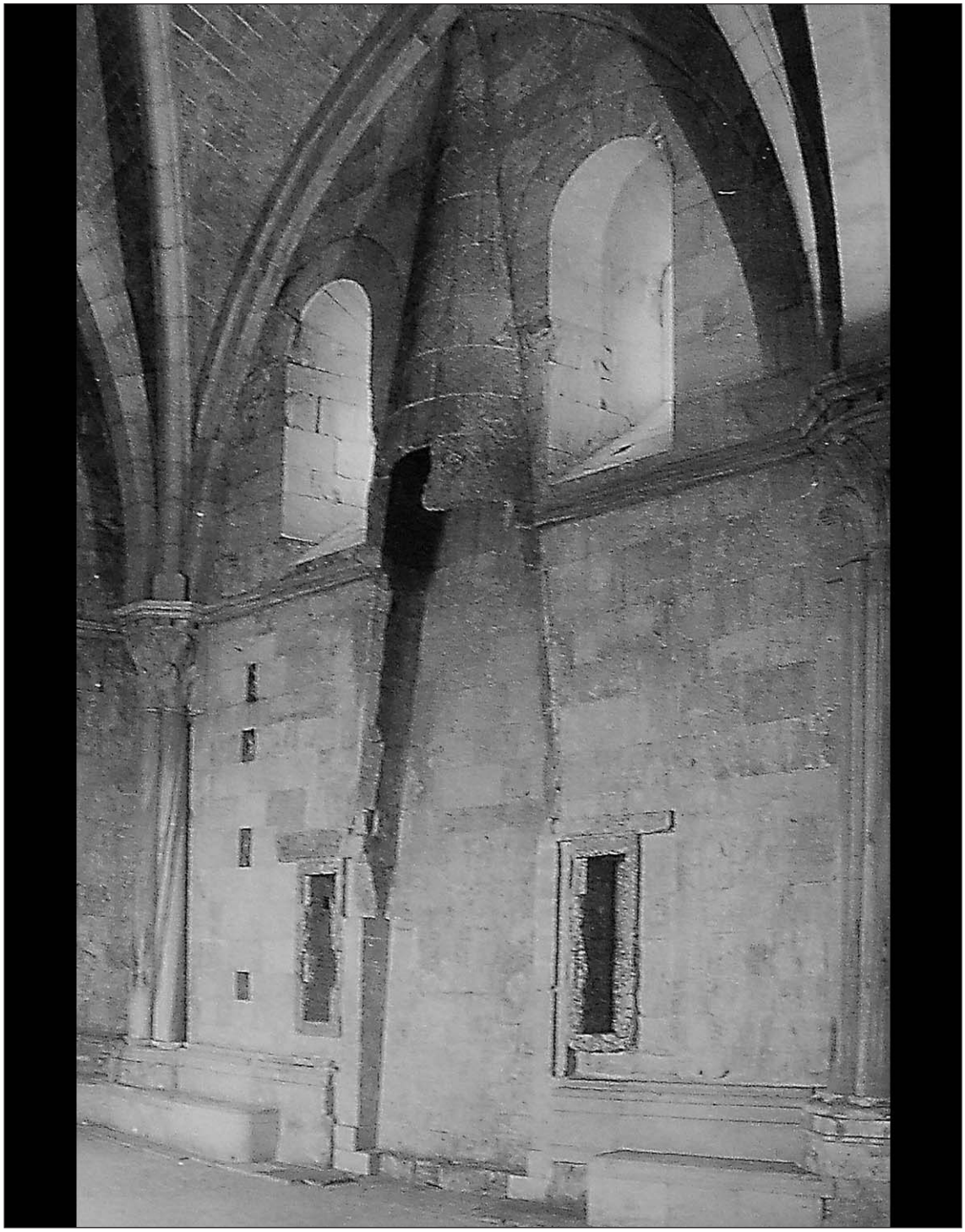


TAVOLA N° 101

Argomento della tavola: **Antecedenti formali della *trompe*: finestre stombate e superfici coniche;**

Fonti dell'elaborazione: **Rilievo fotografico in situ: in alto camino conico e finestre strombate (Castel Del Monte - Puglia, XIII sec);**

Tipo di modellazione: **-**

Software utilizzati: **-**

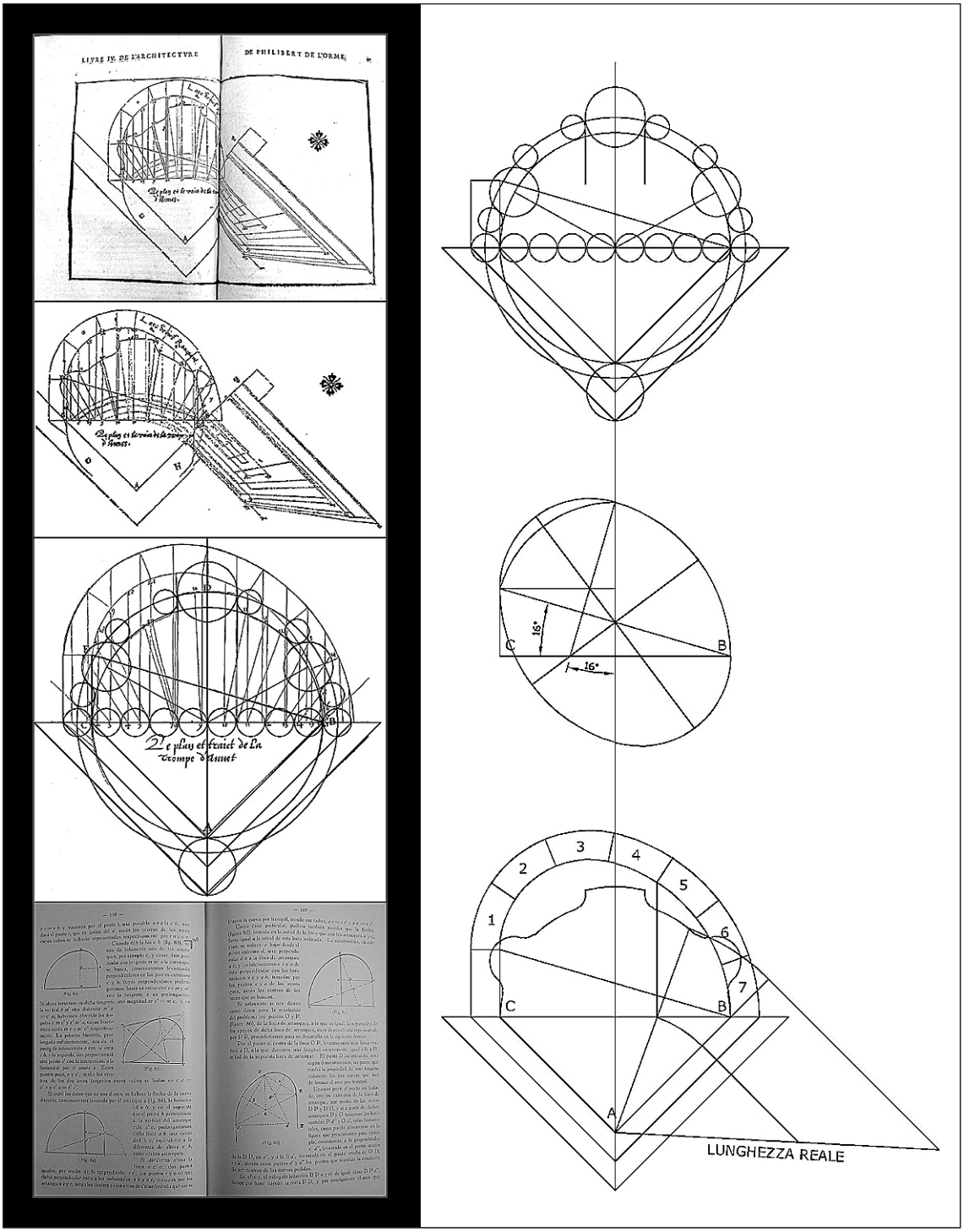


TAVOLA N° 102

Argomento della tavola: ***Trompe d'Anet* (P. Delorme, 1552): geometrie del trait géométrique;**

Fonti dell'elaborazione: **P. Delorme, *Premiere* cit. (cfr. bibliografia), Libro IV, cap. I, ff. 92r-93v. F. Ponte y Blanco, *Estereotomia* cit. (cfr. bibliografia), pp. 118-119;**

Tipo di modellazione: **2D Vettoriale;**

Software utilizzati: **Autocad 2004, Photoshop 7.**

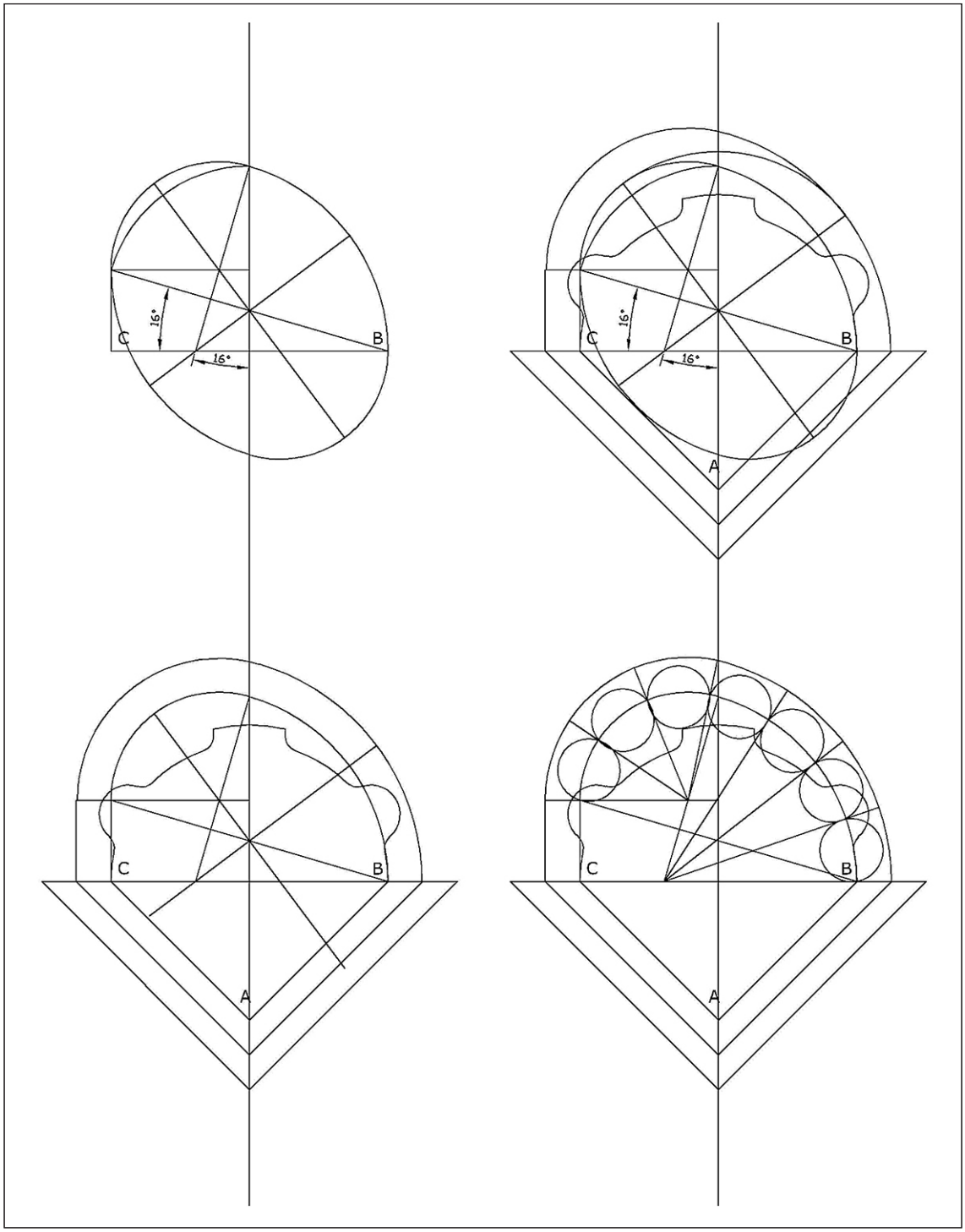


TAVOLA N° 103

Argomento della tavola: ***Trompe d'Anet* (P. Delorme, 1552): geometrie del trait géométrique e ricostruzione ideale;**

Fonti dell'elaborazione: **P. Delorme, *Premiere* cit. (cfr. bibliografia), Libro IV, cap. I, ff. 92r-93v. F. Ponte y Blanco, *Estereotomia* cit. (cfr. bibliografia), pp. 118-119;**

Tipo di modellazione: **2D Vettoriale;**

Software utilizzati: **Autocad 2004, Photoshop 7.**

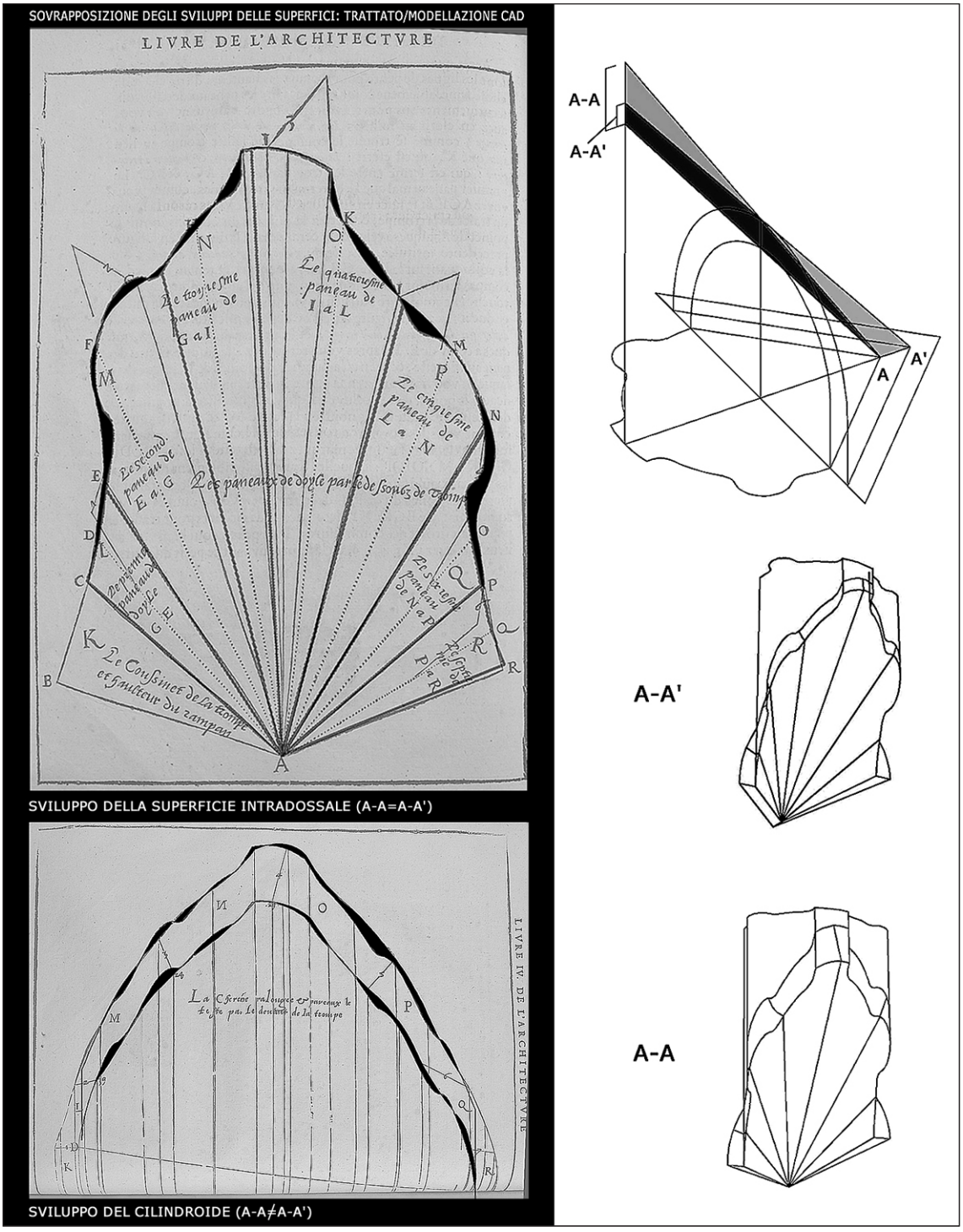


TAVOLA N° 104

Argomento della tavola: ***Trompe d'Anet* (P. Delorme, 1552): sviluppo della superficie intradossale della volta;**

Fonti dell'elaborazione: **P. Delorme, *Premiere* cit. (cfr. bibliografia), Libro IV, cap. I, ff. 94v-95v;**

Tipo di modellazione: **3D Superficiale;**

Software utilizzati: **Rhinoceros, Photoshop 7.**

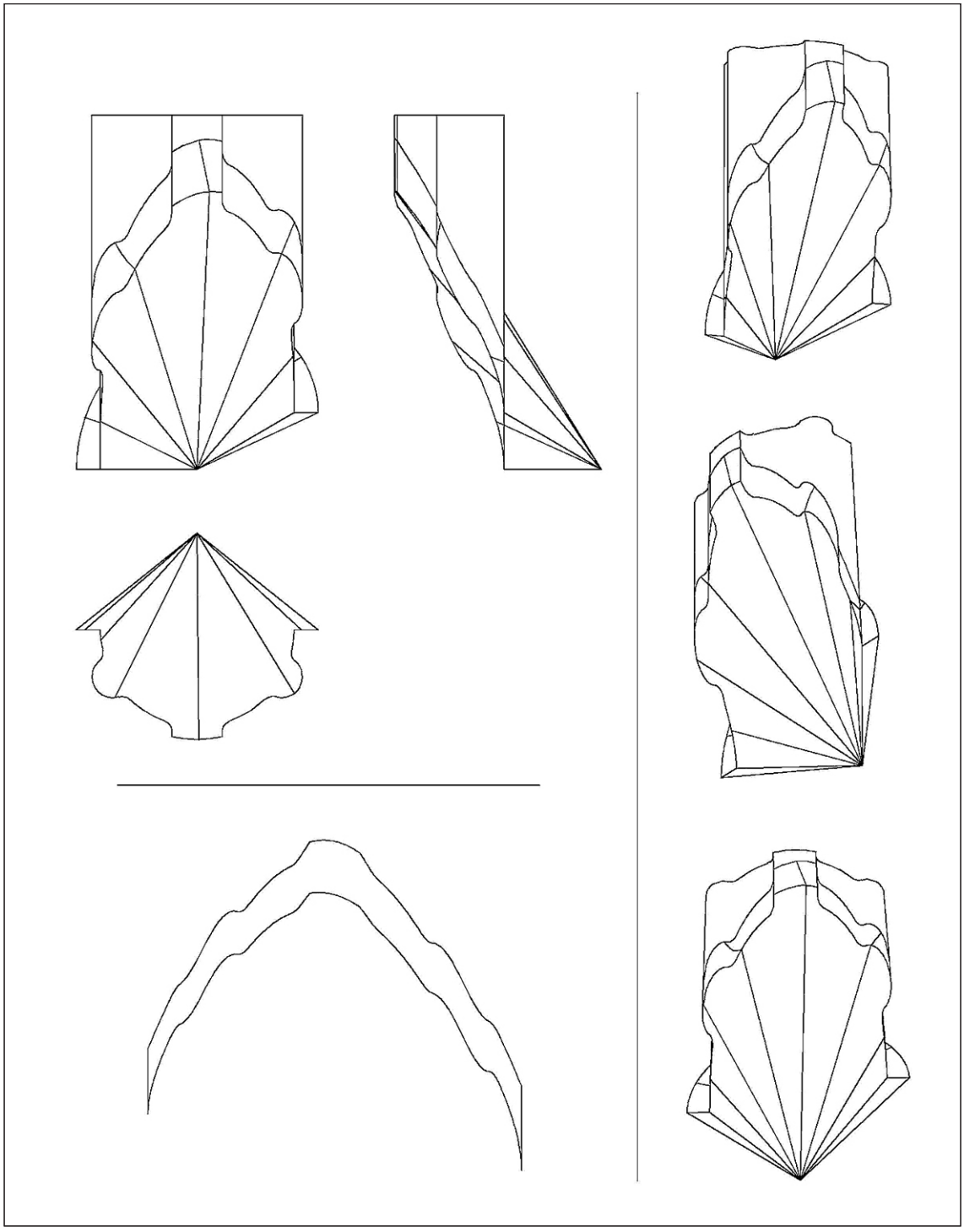


TAVOLA N° 105

Argomento della tavola: ***Trompe d'Anet* (P. Delorme, 1552): modello della trompe con convergenza in un punto delle superfici intra/estradossale della volta;**

Fonti dell'elaborazione: **P. Delorme, *Premiere* cit. (cfr. bibliografia), Libro IV, cap. I, ff. 92r-93v.**

Tipo di modellazione: **3D Superficiale;**

Software utilizzati: **Rhinoceros, Photoshop 7.**

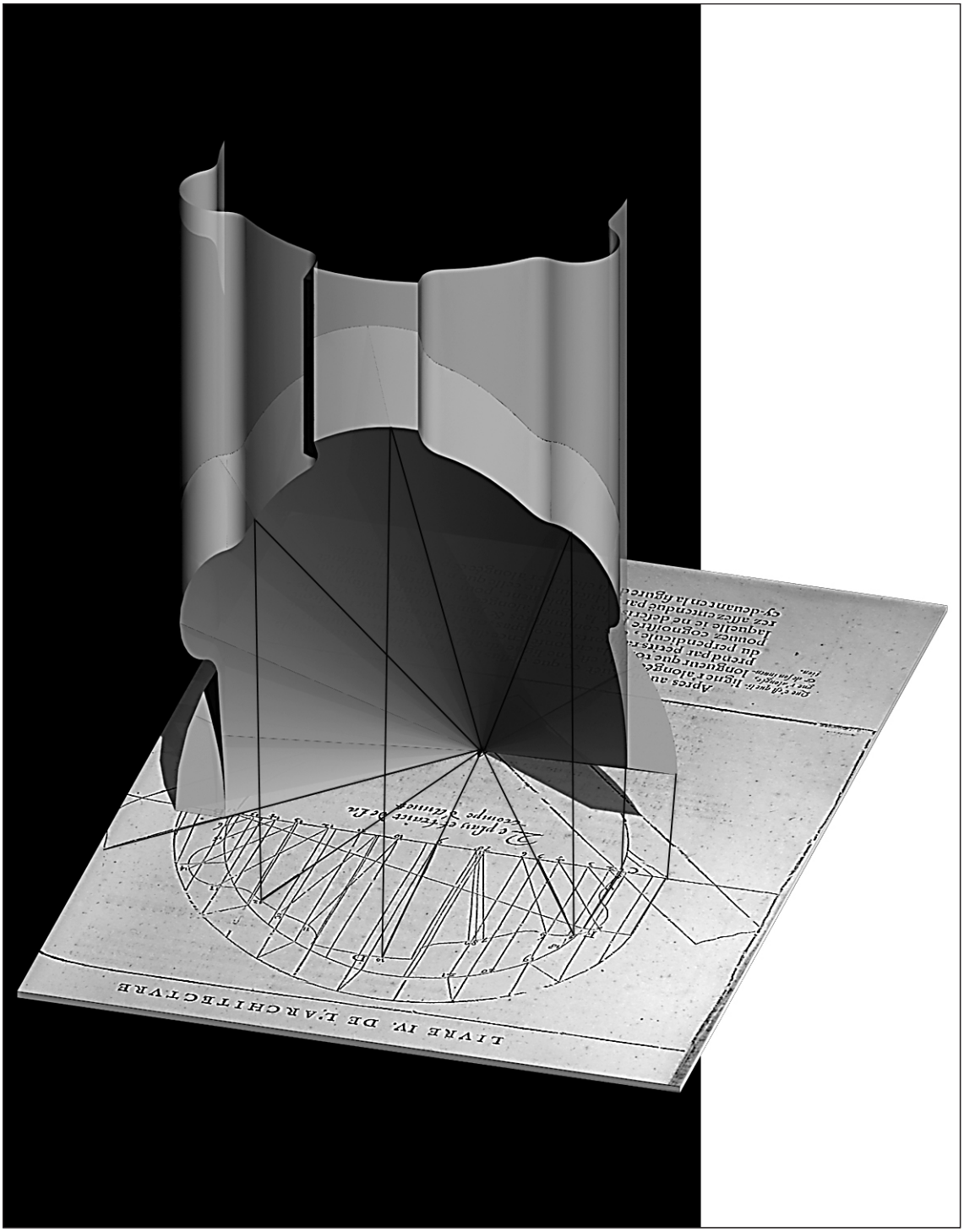


TAVOLA N° 106

Argomento della tavola: ***Trompe d'Anet* (P. Delorme, 1552): modello della trompe con convergenza in un punto delle superfici intra/estradossale della volta - render;**

Fonti dell'elaborazione: **P. Delorme, *Premiere* cit. (cfr. bibliografia), Libro IV, cap. I, ff. 99v.**

Tipo di modellazione: **3D Superficiale;**

Software utilizzati: **Rhinoceros, Photoshop 7.**

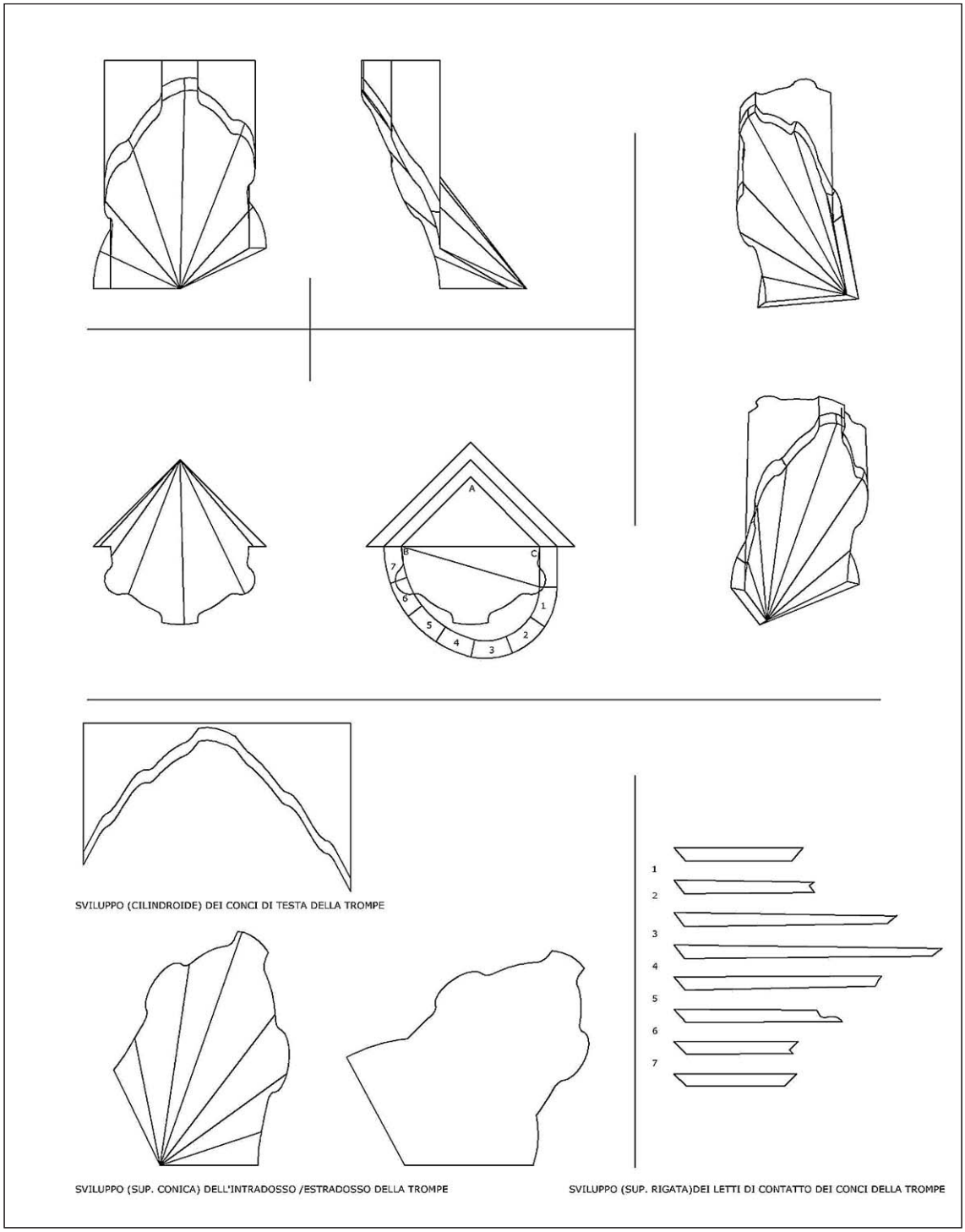


TAVOLA N° 107

Argomento della tavola: ***Trompe d'Anet* (P. Delorme, 1552): modello della trompe con convergenza in due punti delle superfici intra/estradossale della volta;**

Fonti dell'elaborazione: **P. Delorme, *Premiere* cit. (cfr. bibliografia), Libro IV, cap. I, ff. 92r-93v.**

Tipo di modellazione: **3D Superficiale;**

Software utilizzati: **Rhinoceros, Photoshop 7.**

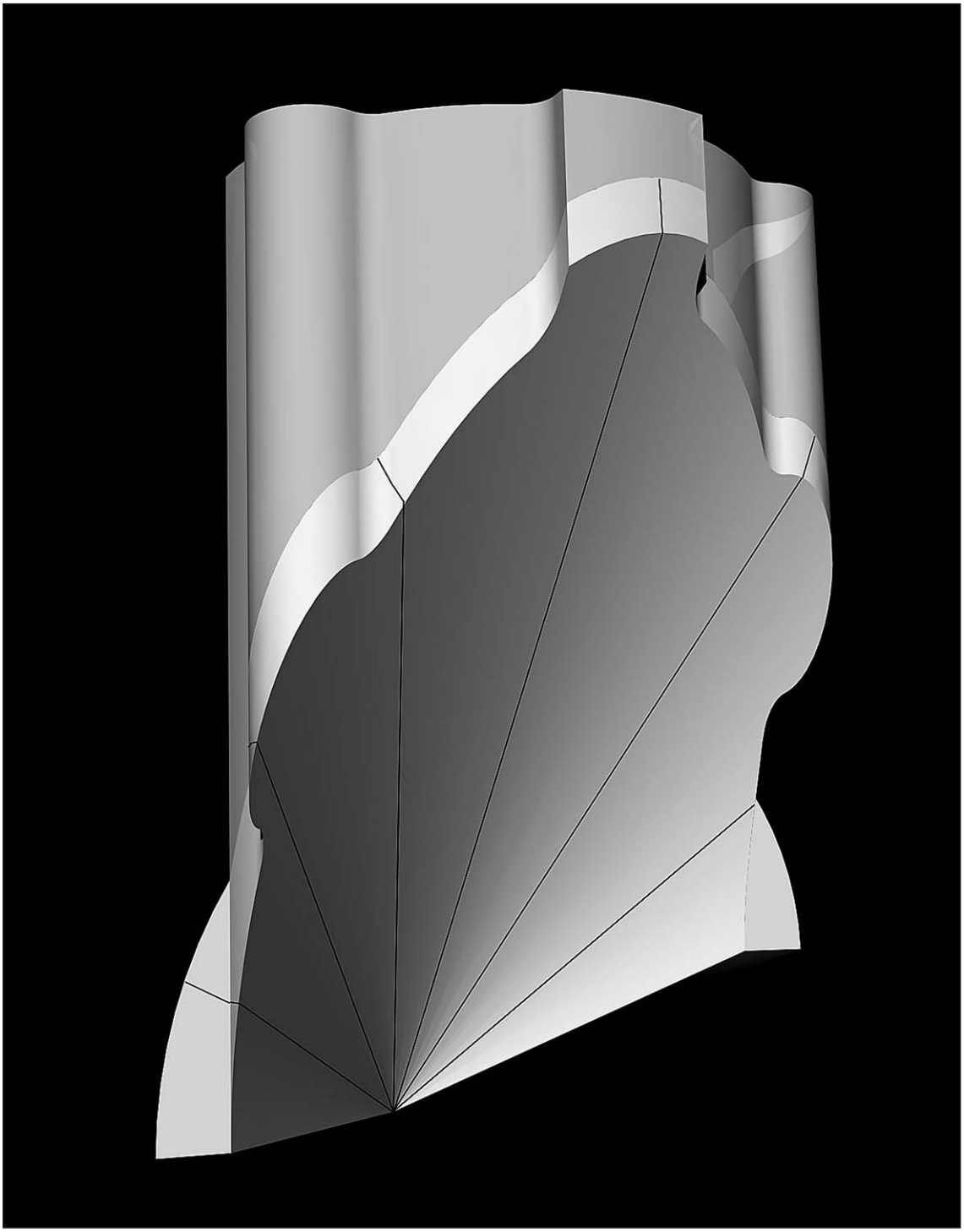


TAVOLA N° 108

Argomento della tavola: ***Trompe d'Anet* (P. Delorme, 1552): modello della trompe con convergenza in due punti delle superfici intra/estradossale della volta - render;**

Fonti dell'elaborazione: **P. Delorme, *Premiere* cit. (cfr. bibliografia), Libro IV, cap. I, ff. 92r-93v.**

Tipo di modellazione: **3D Superficiale;**

Software utilizzati: **Rhinoceros, Photoshop 7.**

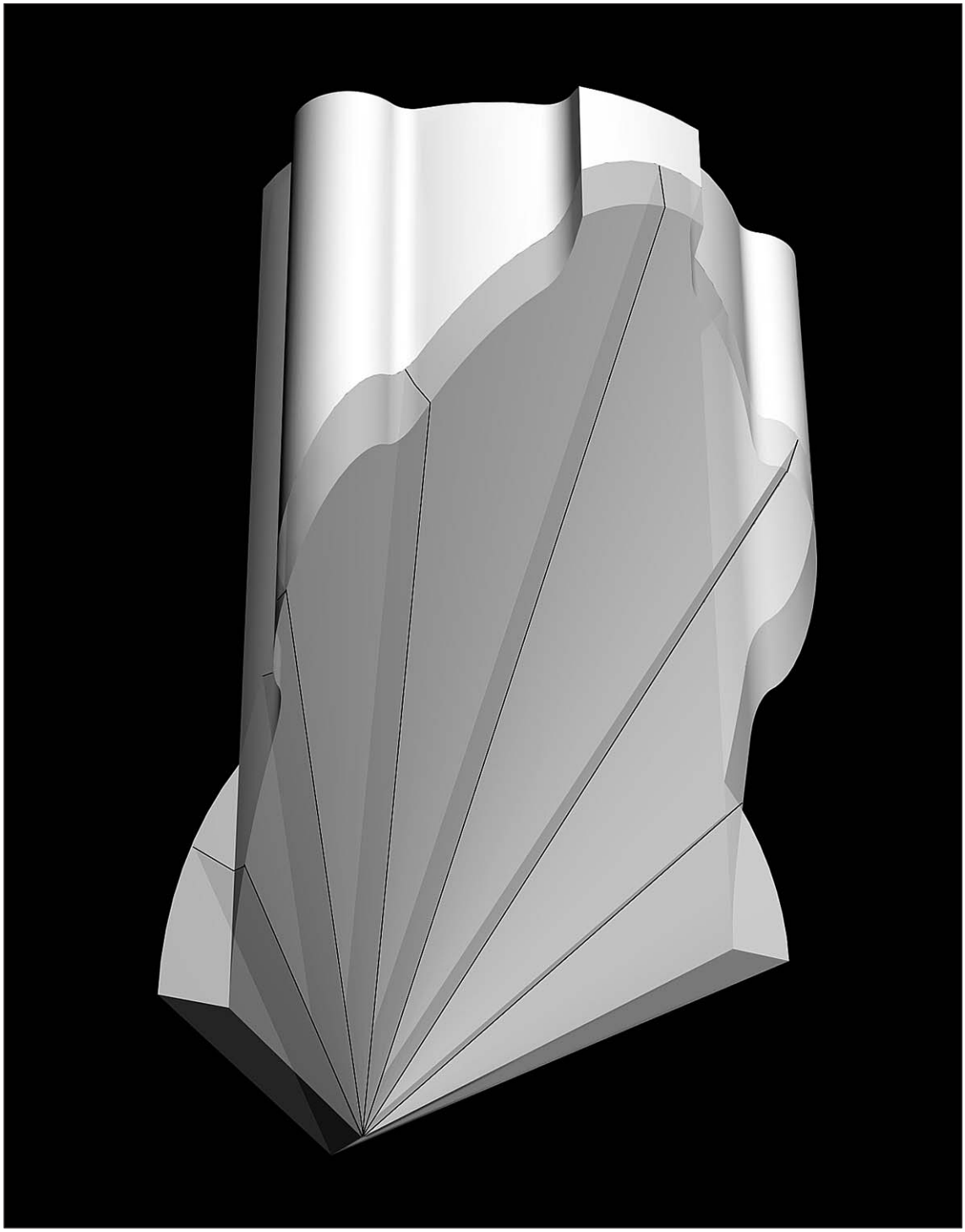


TAVOLA N° 109

Argomento della tavola:	***Trompe d'Anet* (P. Delorme, 1552): modello della trompe con convergenza in due punti delle superfici intra/estradossale della volta - render;**
Fonti dell'elaborazione:	**P. Delorme, *Premiere* cit. (cfr. bibliografia), Libro IV, cap. I, ff. 92r-93v.**
Tipo di modellazione:	**3D Superficiale;**
Software utilizzati:	**Rhinoceros, Photoshop 7.**

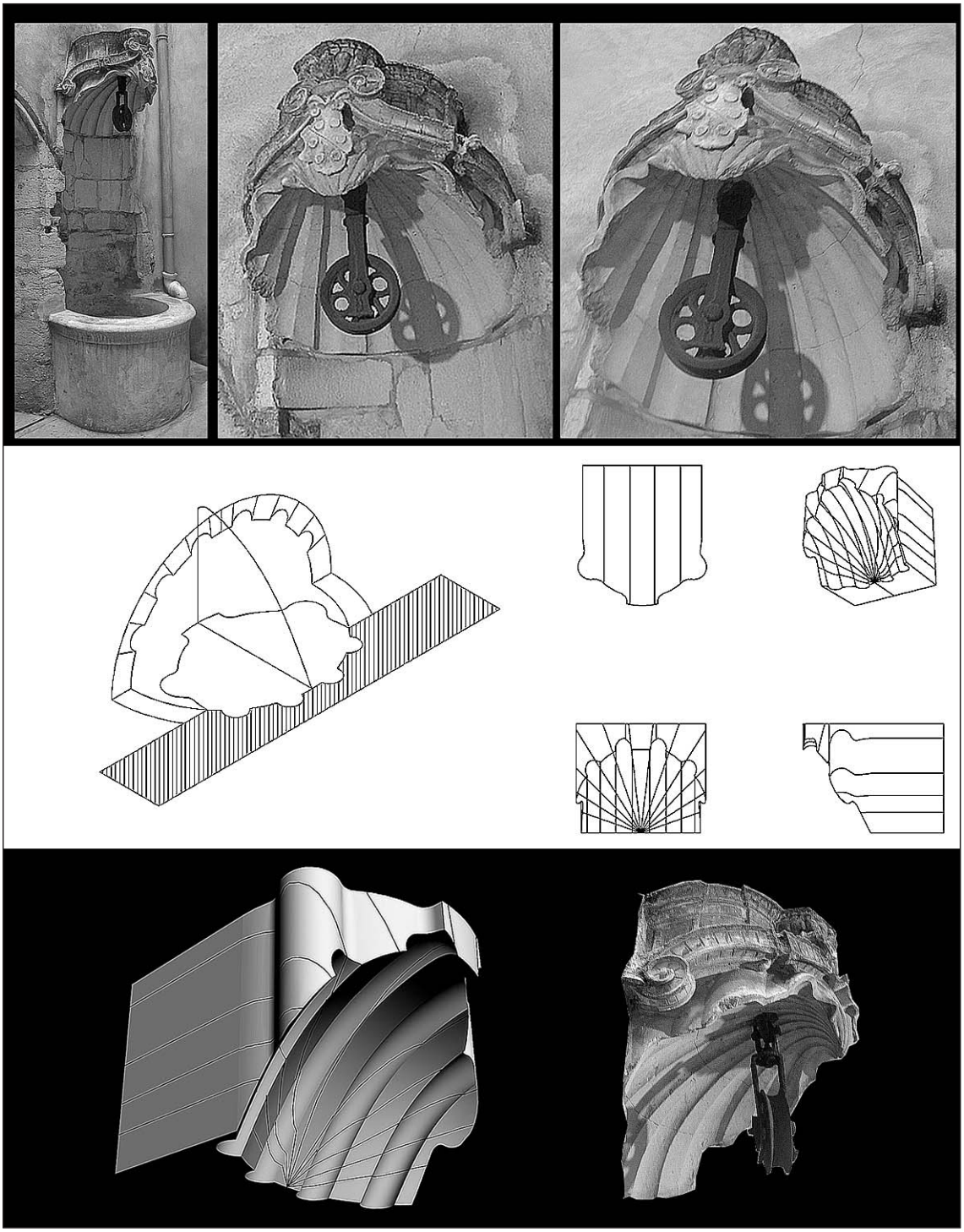


TAVOLA N° 110

Argomento della tavola: **Baldacchino del pozzo (P. Delorme, 1536) nella prima corte de *hôtel Bullioud*, Lione Francia : antecedente formale della trompe d'Anet;**

Fonti dell'elaborazione: **Rilievo fotografico in situ;**

Tipo di modellazione: **3D Superficiale;**

Software utilizzati: **Rhinoceros, Photoshop 7.**

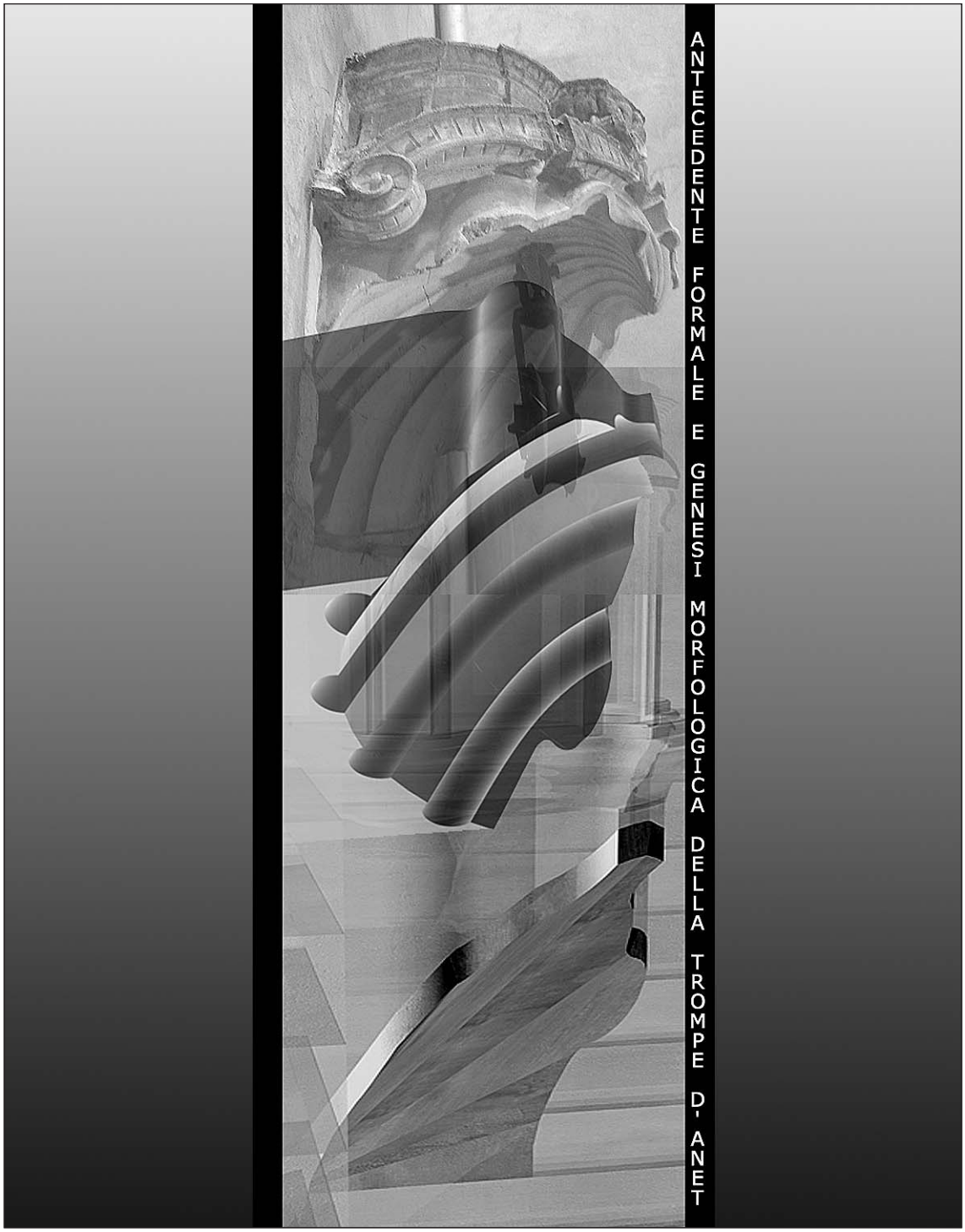


TAVOLA N° 111

Argomento della tavola: **Baldacchino del pozzo (P. Delorme, 1536) nella prima corte de hotel Bullioud, Lione Francia : antecedente formale della trompe d'Anet - sovrapposizione delle forme;**

Fonti dell'elaborazione: **Rilievo fotografico in situ;**

Tipo di modellazione: **3D Superficiale;**

Software utilizzati: **Rhinoceros, Photoshop 7.**

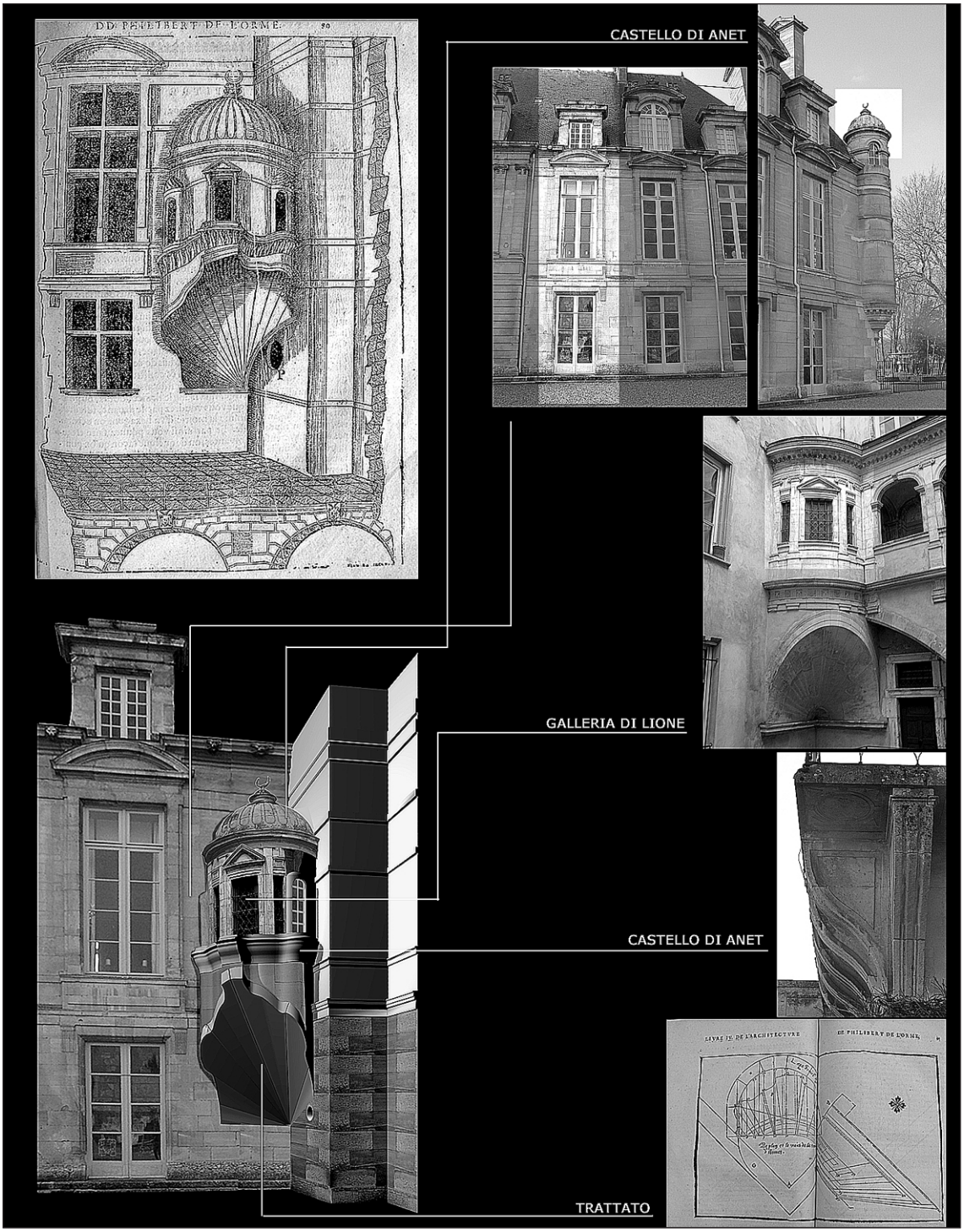


TAVOLA N° 112

Argomento della tavola: ***Trompe d'Anet e Cabinet du roi* (P. Delorme,1552): gli elementi per una ipotesi ricostruttiva;**

Fonti dell'elaborazione: **P. Delorme, *Premiere* cit. (cfr. bibliografia), Libro IV, cap. I, f. 89r. Rilievo fotografico in situ;**

Tipo di modellazione: **3D Solido/superficiale;**

Software utilizzati: **Rhinoceros, 3D Studio Max 5, Photoshop 7.**

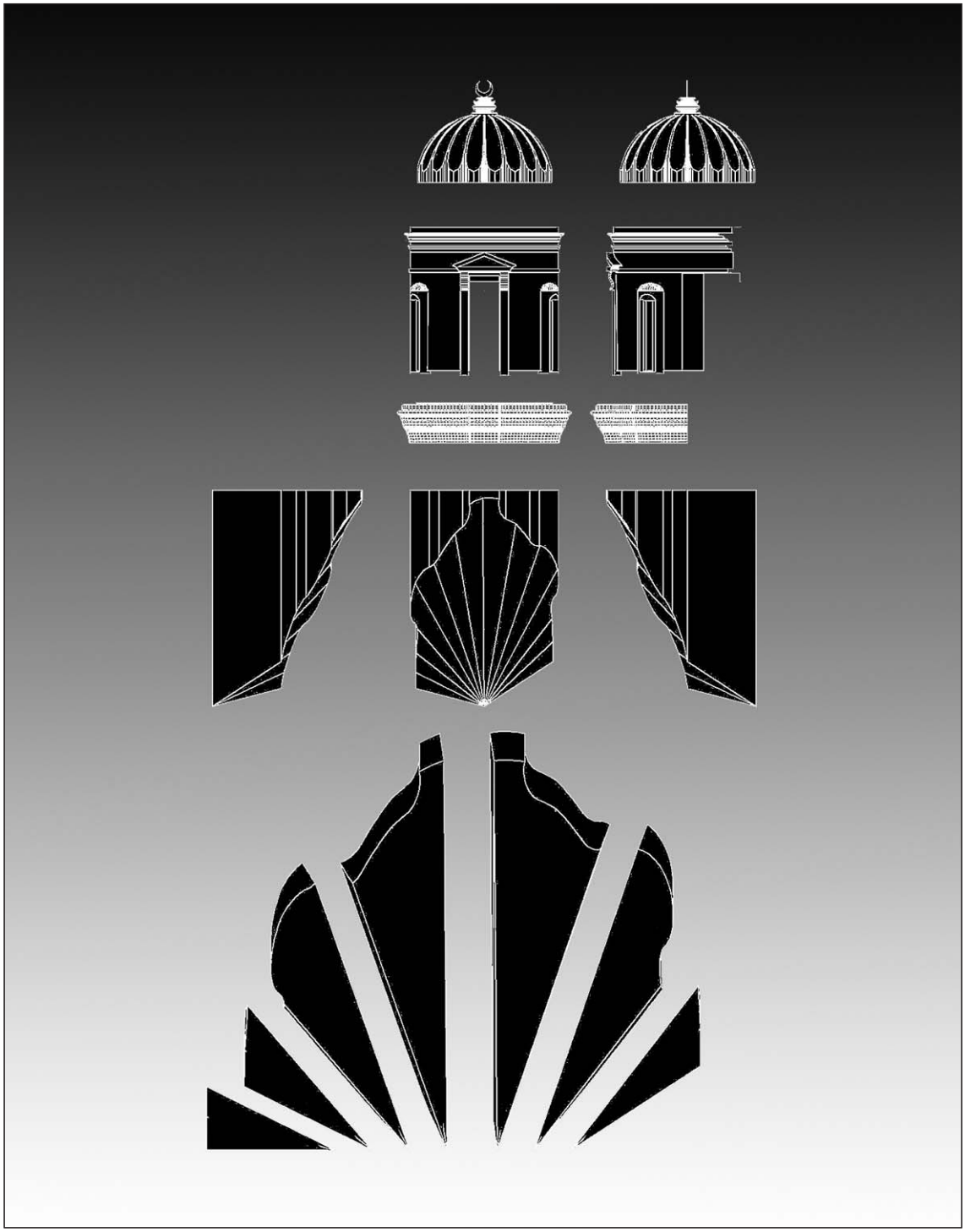


TAVOLA N° 113

Argomento della tavola:	***Trompe d'Anet e Cabinet du roi* (P. Delorme,1552): modello d'insieme e delle parti;**
Fonti dell'elaborazione:	**P. Delorme, *Premiere* cit. (cfr. bibliografia), Libro IV, cap. I, f. 89r. Rilievo fotografico in situ;**
Tipo di modellazione:	**3D Solido/superficiale;**
Software utilizzati:	**Rhinoceros, 3D Studio Max 5, Photoshop 7.**

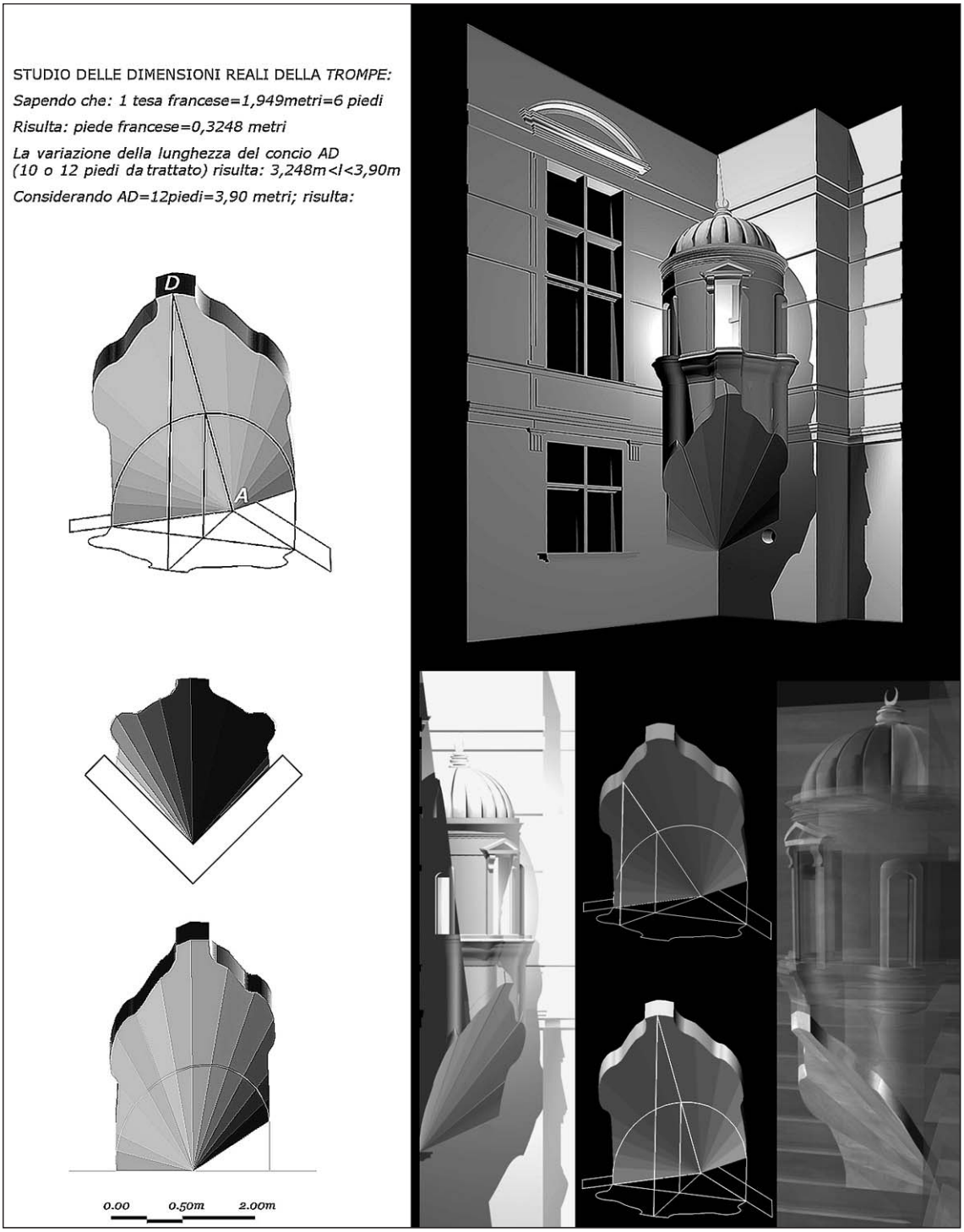


TAVOLA N° 114

Argomento della tavola: ***Trompe d'Anet e Cabinet du roi* (P. Delorme,1552): modello d'insieme e proporzionamento in scala;**

Fonti dell'elaborazione: **P. Delorme, *Premiere* cit. (cfr. bibliografia), Libro IV, cap. I, f. 89r. Rilievo fotografico in situ;**

Tipo di modellazione: **3D Solido/superficiale;**

Software utilizzati: **Rhinoceros, 3D Studio Max 5, Photoshop 7.**

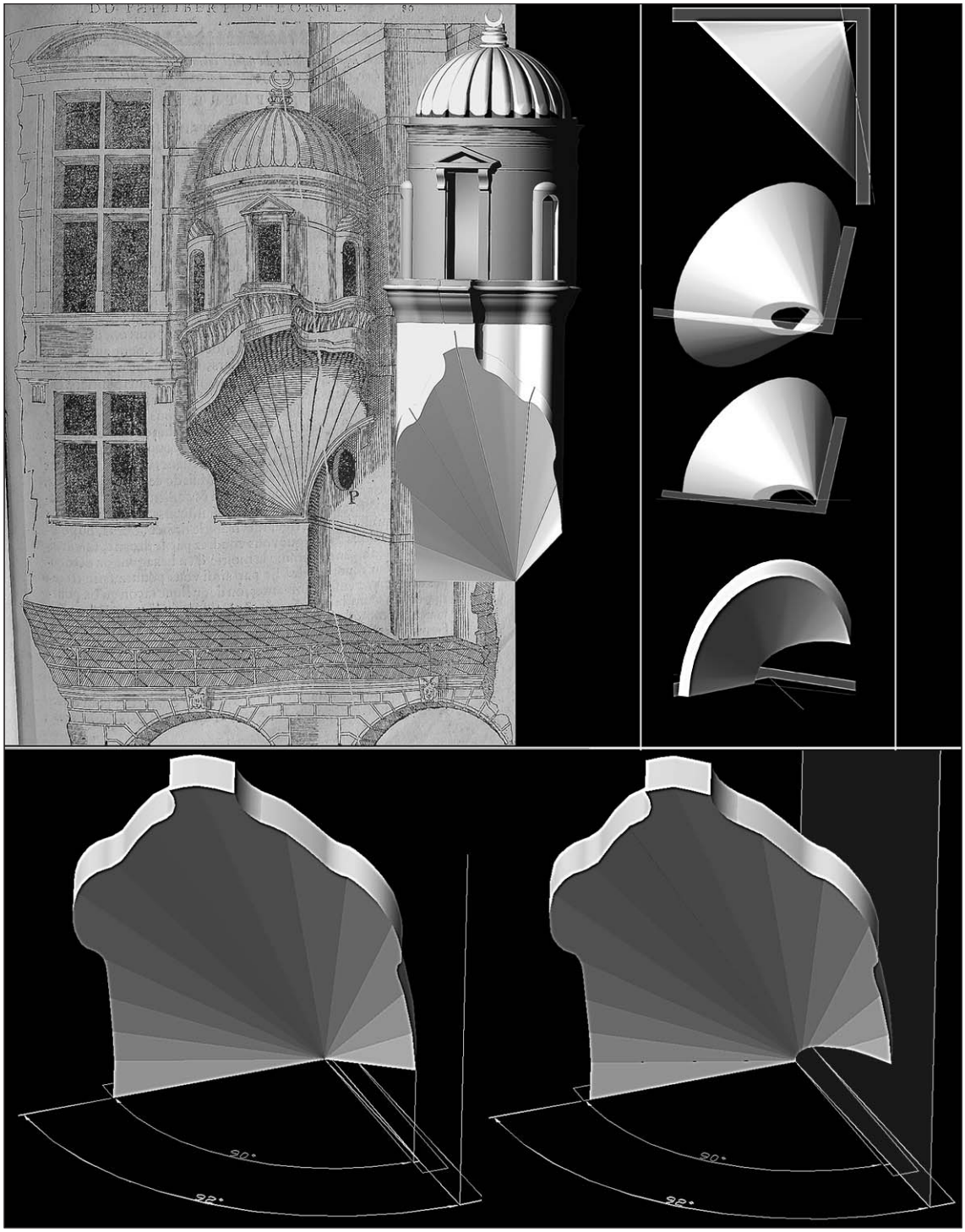


TAVOLA N° 115

Argomento della tavola: ***Trompe d'Anet e Cabinet du roi* (P. Delorme,1552): ipotesi sulla natura geometrica della curva tra la trompe e il muro destro;**

Fonti dell'elaborazione: **P. Delorme, *Premiere* cit. (cfr. bibliografia), Libro IV, cap. I, f. 89r. Rilievo fotografico in situ;**

Tipo di modellazione: **3D Solido/superficiale;**

Software utilizzati: **Rhinoceros, 3D Studio Max 5, Photoshop 7.**

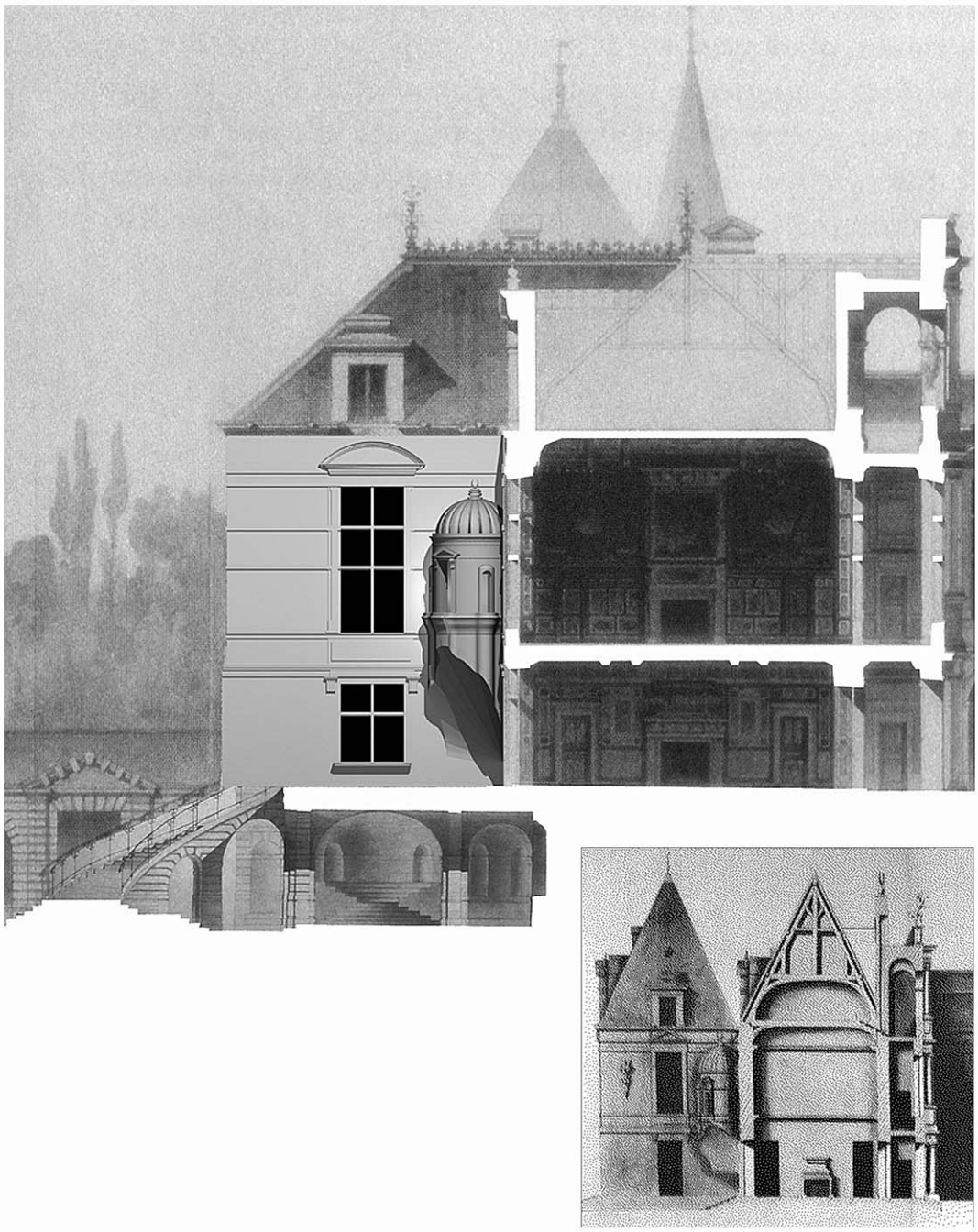


TAVOLA N° 116

Argomento della tavola: ***Trompe d'Anet e Cabinet du roi* (P. Delorme,1552): restituzione grafica;**

Fonti dell'elaborazione: **Immagine: ricostruzione dello stato del castello nel XVI sec. di Auguste Bourgeois 1877;**

Tipo di modellazione: **3D Solido/superficiale;**

Software utilizzati: **Rhinoceros, 3D Studio Max 5, Photoshop 7.**



TAVOLA N° 117

Argomento della tavola: ***Trompe d'Anet e Cabinet du roi* (P. Delorme,1552): restituzione prospettica;**

Fonti dell'elaborazione: **Rilievo fotografico in situ;**

Tipo di modellazione: **3D Solido/superficiale;**

Software utilizzati: **Rhinoceros, 3D Studio Max 5, Photoshop 7.**

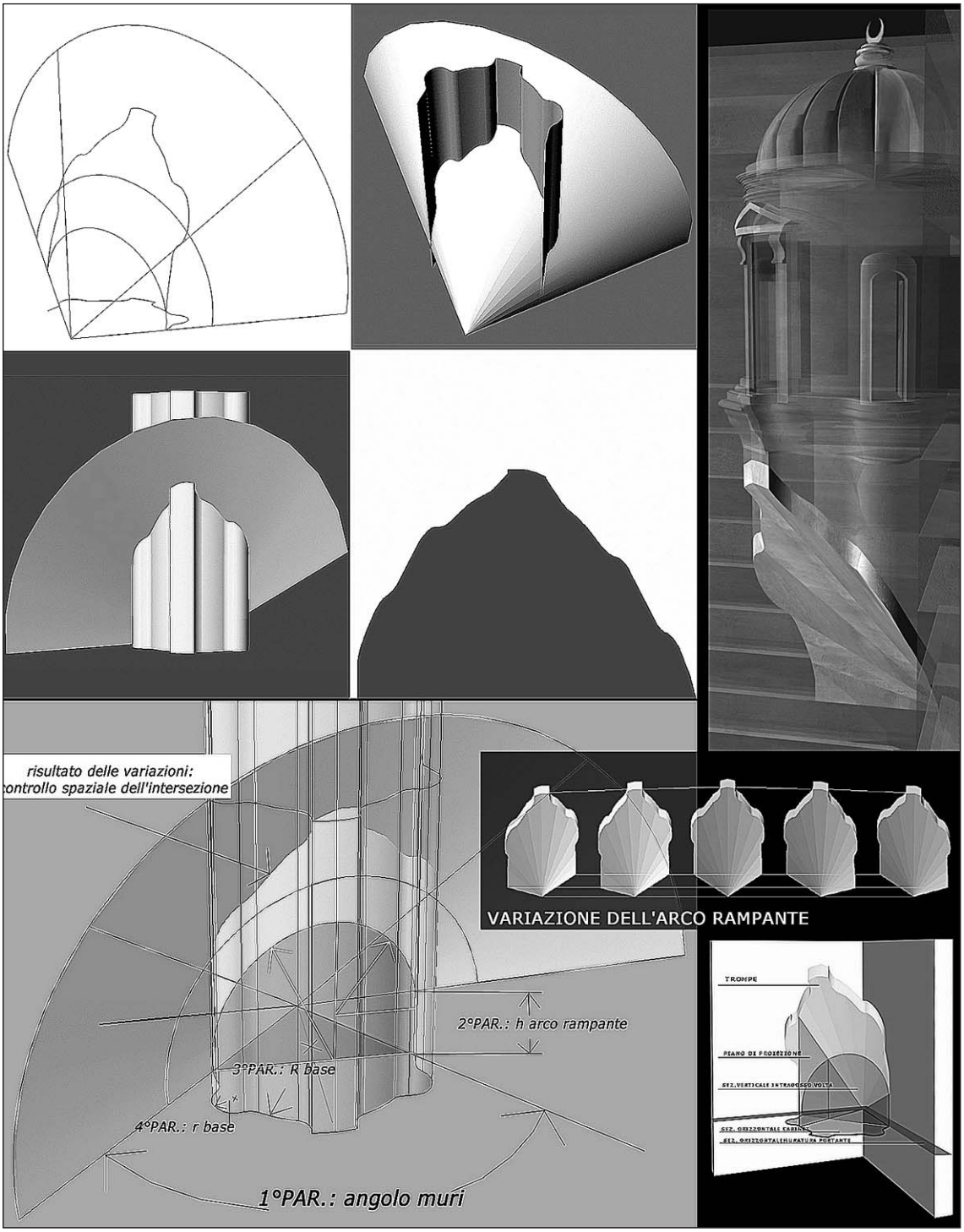


TAVOLA N° 118

Argomento della tavola: ***Trompe d'Anet e Cabinet du roi* (P. Delorme,1552): analisi dei parametri geome trici della trompe e ipotesi di variazione;**

Fonti dell'elaborazione: **P. Delorme, *Premiere* cit. (cfr. bibliografia), Libro IV, cap. I, ff. 92r-93v. Rilievo fotografico in situ;**

Tipo di modellazione: **3D Solido/superficiale;**

Software utilizzati: **Rhinoceros, Solidthinking, Photoshop 7.**

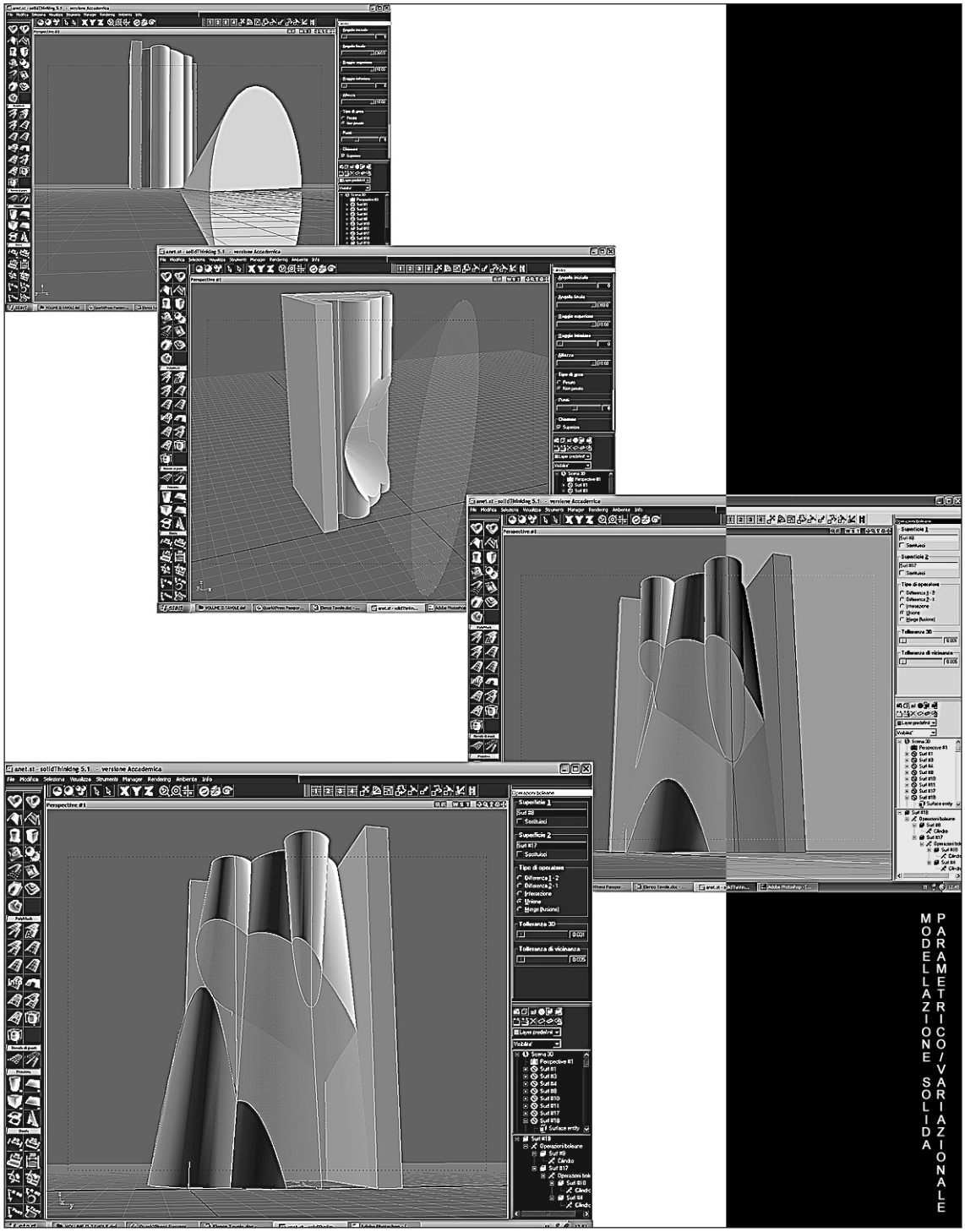


TAVOLA N° 119

Argomento della tavola: ***Trompe d'Anet e Cabinet du roi* (P. Delorme,1552): modello parametrico-varia zionale;**

Fonti dell'elaborazione: **P. Delorme, *Premiere* cit. (cfr. bibliografia), Libro IV, cap. I, ff. 92r-93v. Rilievo fotografico in situ;**

Tipo di modellazione: **3D Solido/superficiale;**

Software utilizzati: **Solidthinking, Photoshop 7.**

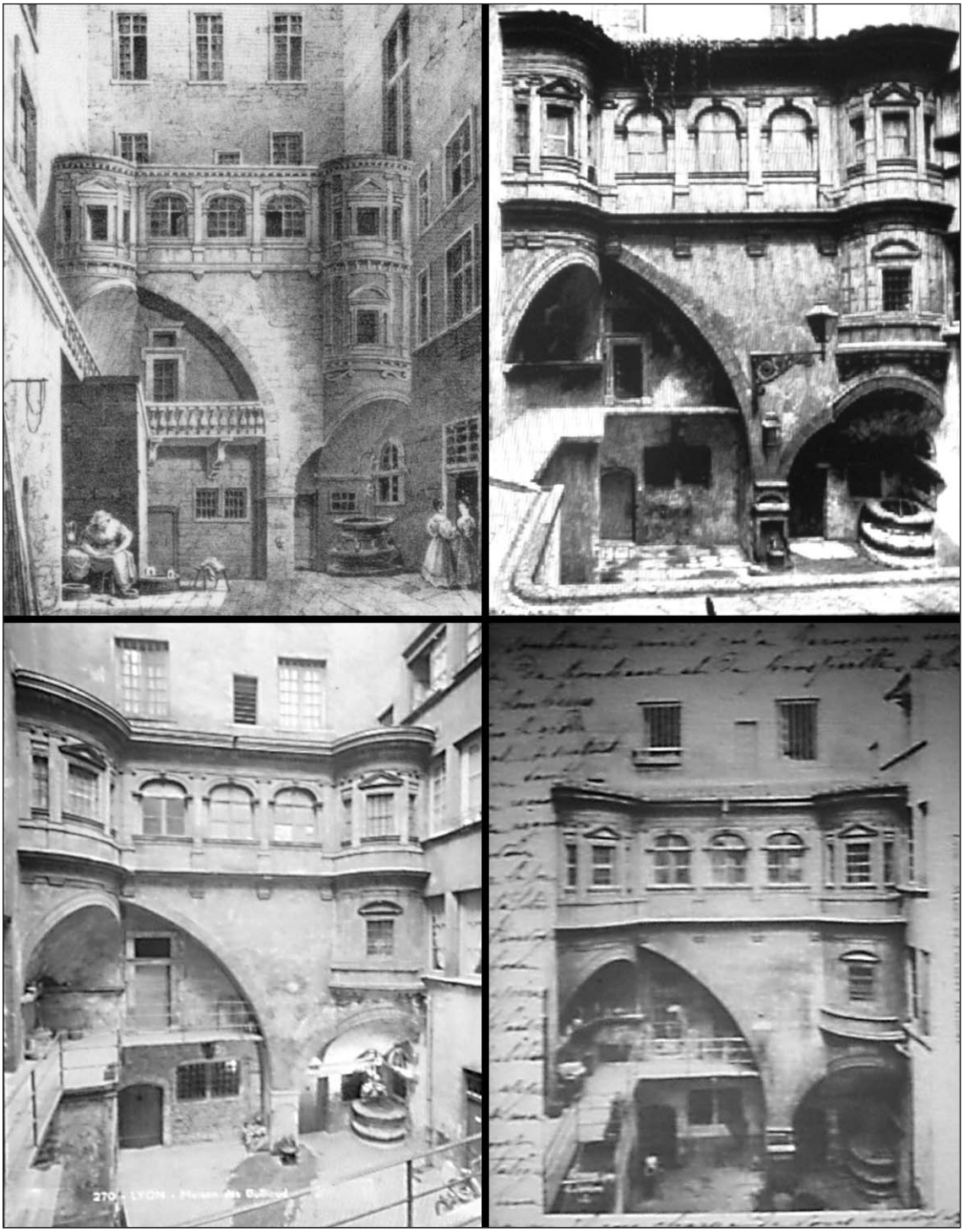


TAVOLA N° 120

Argomento della tavola: **Le trompe della *galerie de l'hôtel Bullioud* (P. Delorme, 1536) a Lione, Francia: imm. storiche;**

Fonti dell'elaborazione: **Incisione del XIX sec. di Jolimont, edita da Jobard a Dijon. Fotografie dagli Archivi Municipali di Lione;**

Tipo di modellazione: **-**

Software utilizzati: **Photoshop 7.**

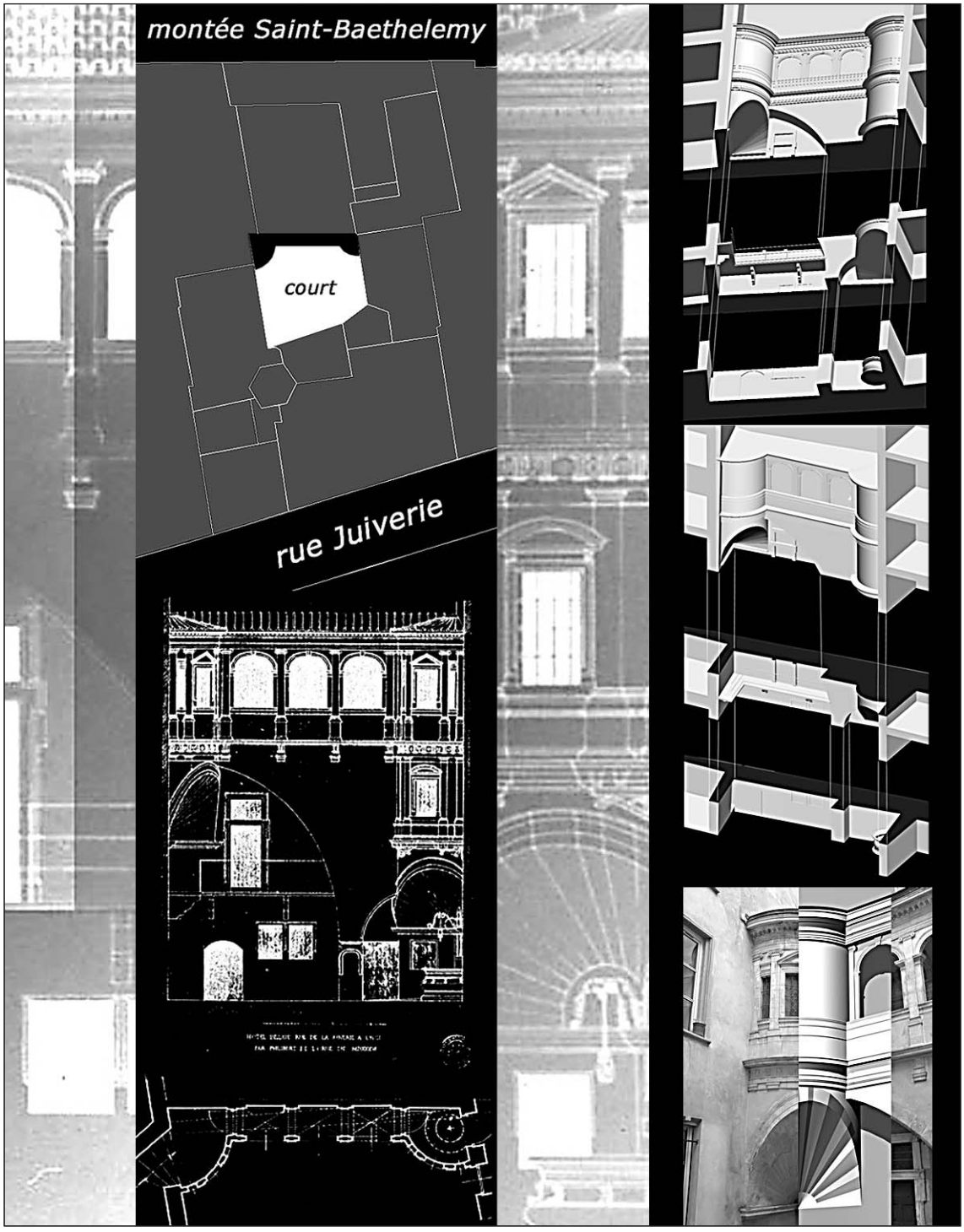


TAVOLA N° 121

Argomento della tavola:	**Le trompe della *galerie de l'hôtel Bullioud* (P. Delorme, 1536) a Lione, Francia: la corte e la galleria;**
Fonti dell'elaborazione:	**Rilievo dagli Archivi Municipali di Lione e in situ;**
Tipo di modellazione:	**3D Solido/superficiale;**
Software utilizzati:	**Rhinoceros, 3D Studio Max 5, Photoshop 7.**

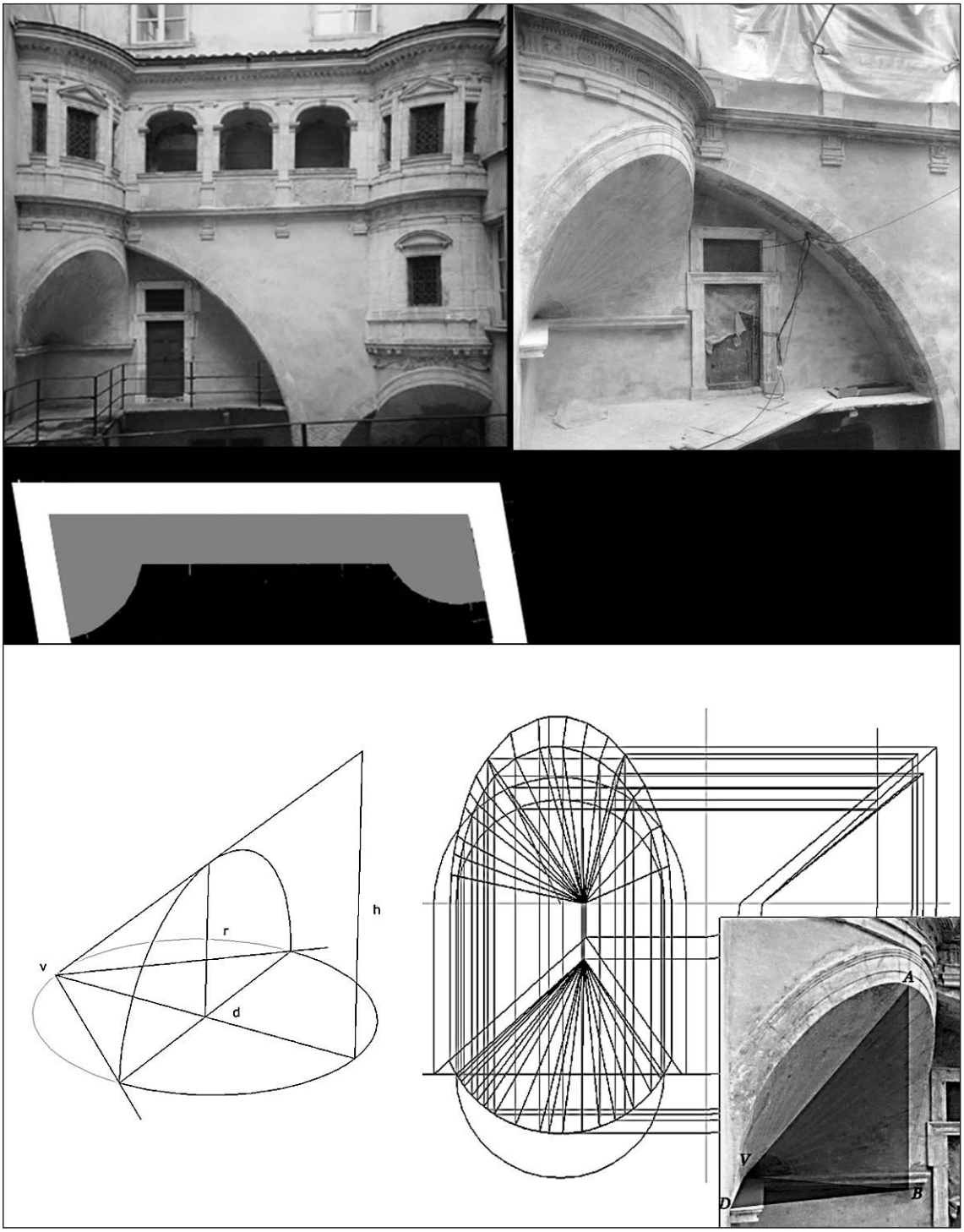


TAVOLA N° 122

Argomento della tavola: **Le trompe della *galerie de l'hôtel Bullioud* (P. Delorme, 1536) a Lione, Francia: rilievo della trompe di sinistra;**

Fonti dell'elaborazione: **Rilievo diretto in situ;**

Tipo di modellazione: **3D Superficiale;**

Software utilizzati: **Rhinoceros, Photoshop 7.**

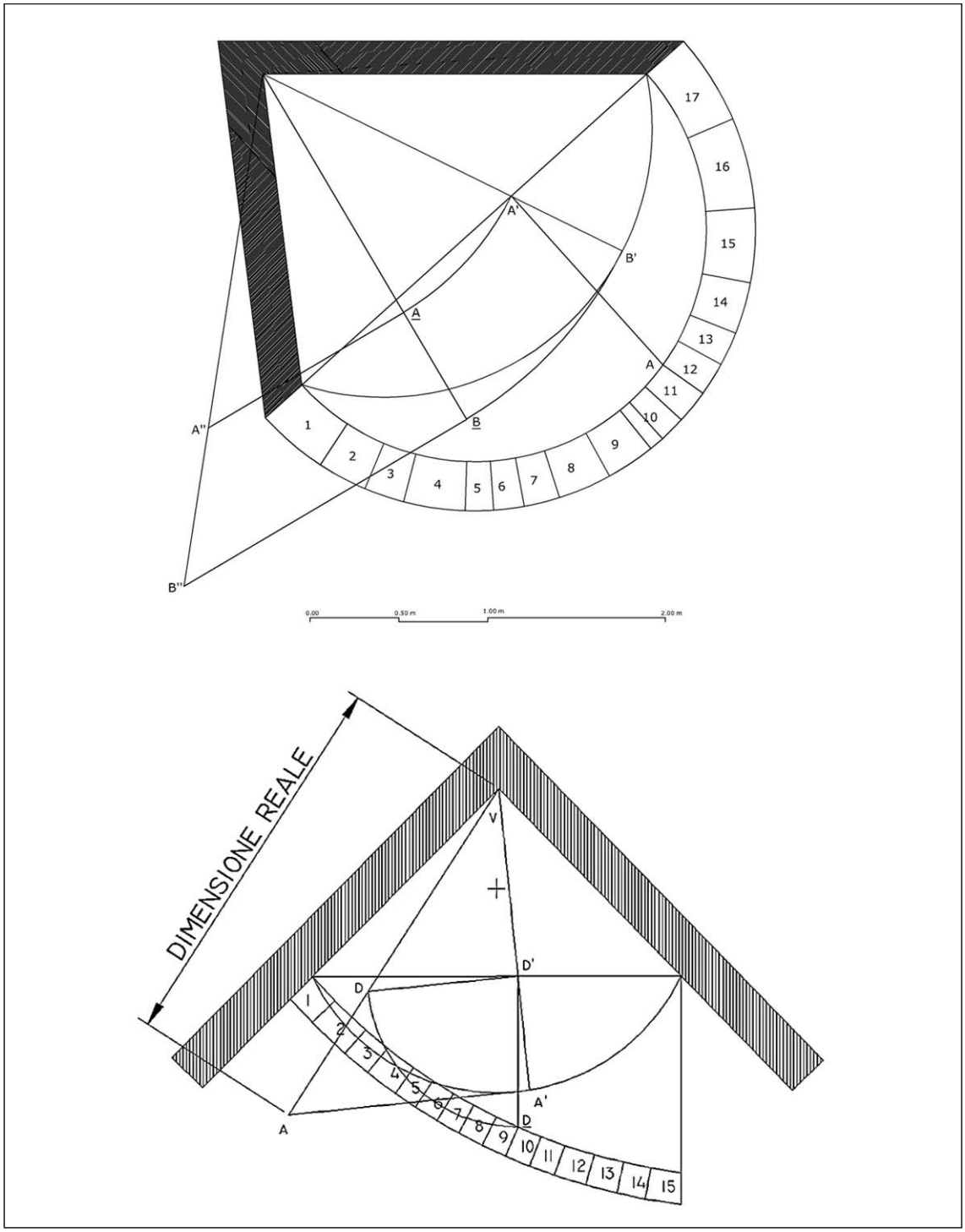


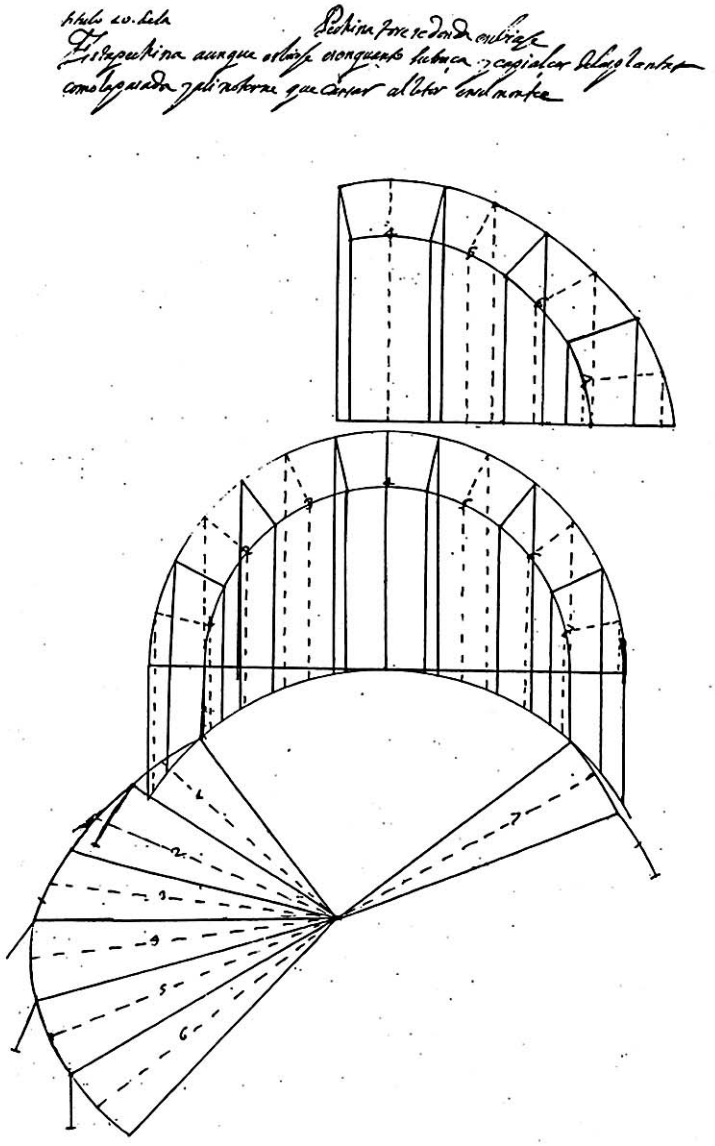
TAVOLA N° 123

Argomento della tavola: **Le trompe della *galerie de l'hôtel Bullioud* (P. Delorme, 1536) a Lione, Francia: traits géométri ques delle due trompe di sinistra (in alto), e di destra (in basso);**

Fonti dell'elaborazione: **Rilievo diretto in situ;**

Tipo di modellazione: **2D Vettoriale;**

Software utilizzati: **Rhinoceros, Photoshop 7.**



[Fol. 11 v.]

TAVOLA N° 124

Argomento della tavola: ***Trait géométrique* della *pechina tore ridonda enbiaje:* similitudine formale con la trompe sin. di Lione;**

Fonti dell'elaborazione: **A. de Vandelvira, *Libro.* (cfr. Bibliografia);**

Tipo di modellazione: **3D Solido/superficiale;**

Software utilizzati: **Rhinoceros, 3D Studio Max 5, Photoshop 7.** :

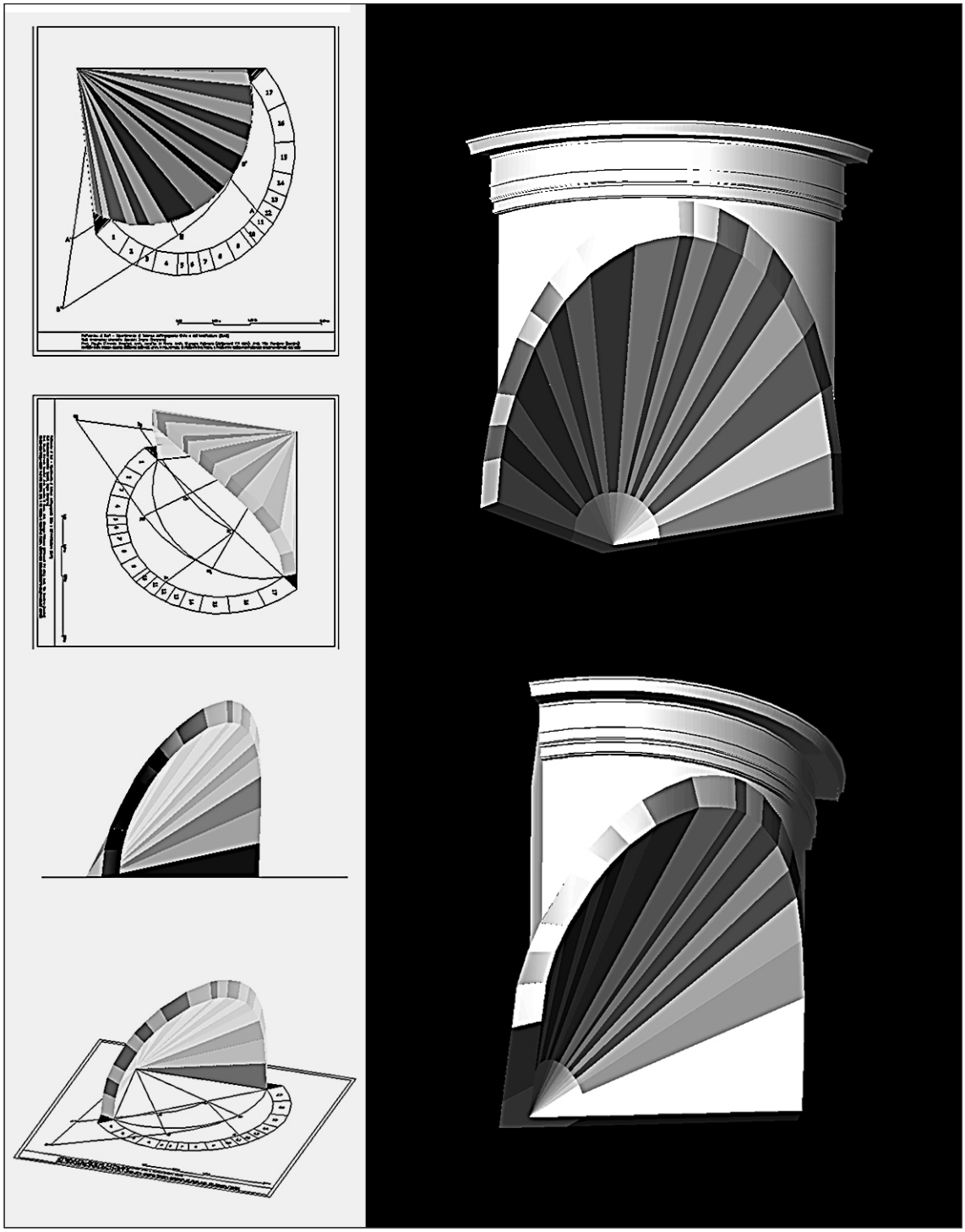


TAVOLA N° 125

Argomento della tavola: **Le trompe della *galerie de l'hôtel Bullioud* (P. Delorme, 1536) a Lione, Francia: dal trait géo métrique al modello tridimensionale ideale;**

Fonti dell'elaborazione: **Rilievo in situ;**

Tipo di modellazione: **3D Solido/superficiale;**

Software utilizzati: **Rhinoceros, 3D Studio Max 5, Photoshop 7.**



TAVOLA N° 126

Argomento della tavola: **Le trompe della *galerie de l'hôtel Bullioud* (P. Delorme, 1536) a Lione, Francia: sovrapposizio ne reale/ideale;**

Fonti dell'elaborazione: **Rilievo dagli Archivi Municipali di Lione e in situ;**

Tipo di modellazione: **3D Solido/superficiale;**

Software utilizzati: **Rhinoceros, 3D Studio Max 5, Photoshop 7.**

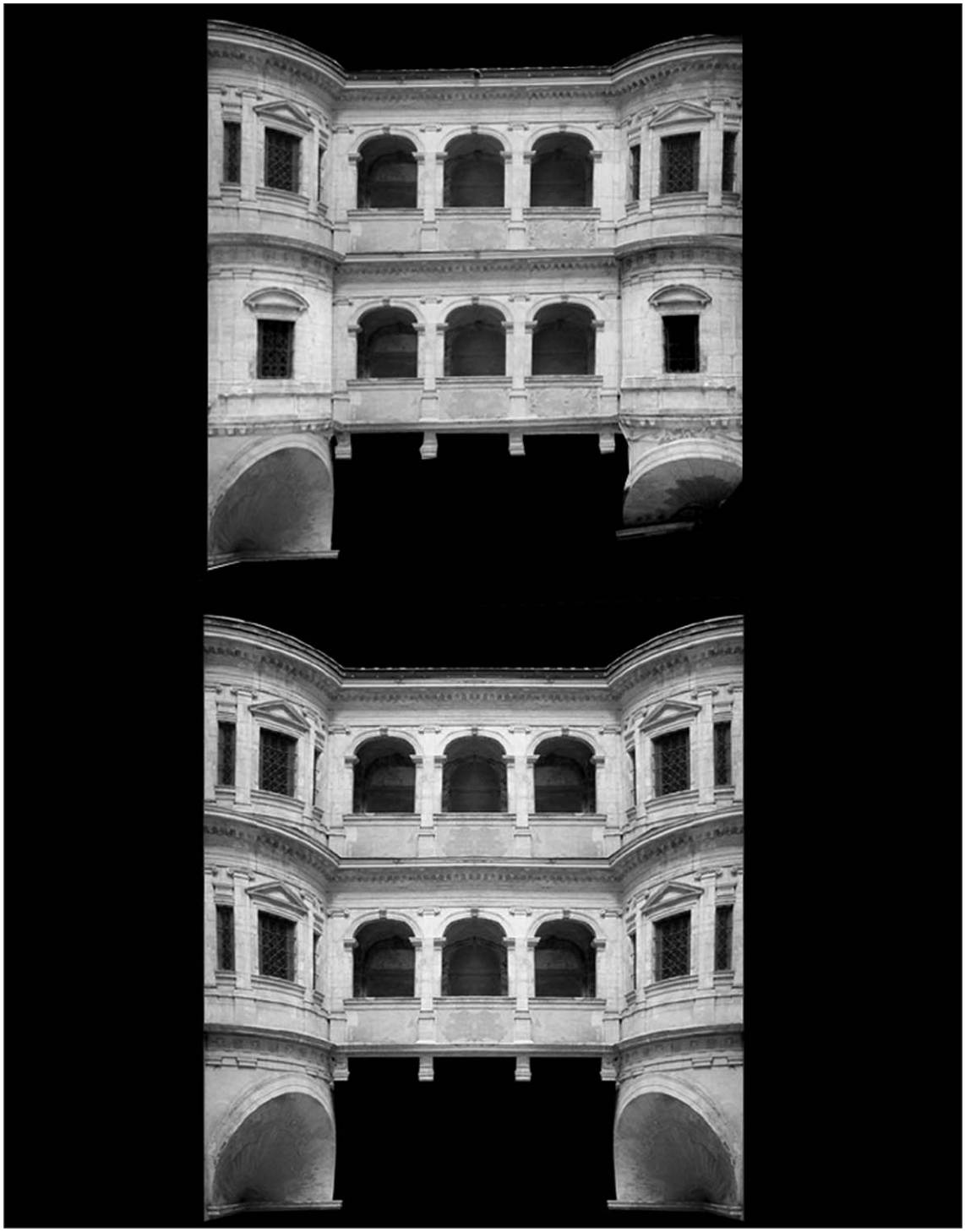


TAVOLA N° 127

Argomento della tavola:	**Le trompe della *galerie de l'hôtel Bullioud* (P. Delorme, 1536) a Lione, Francia: ipotesi del pro getto originario (cfr. D.Bonnet Saint Georges);**
Fonti dell'elaborazione:	**Rilievo fotografico in situ;**
Tipo di modellazione:	**3D Solido/superficiale;**
Software utilizzati:	**Rhinoceros, 3D Studio Max 5, Photoshop 7.**

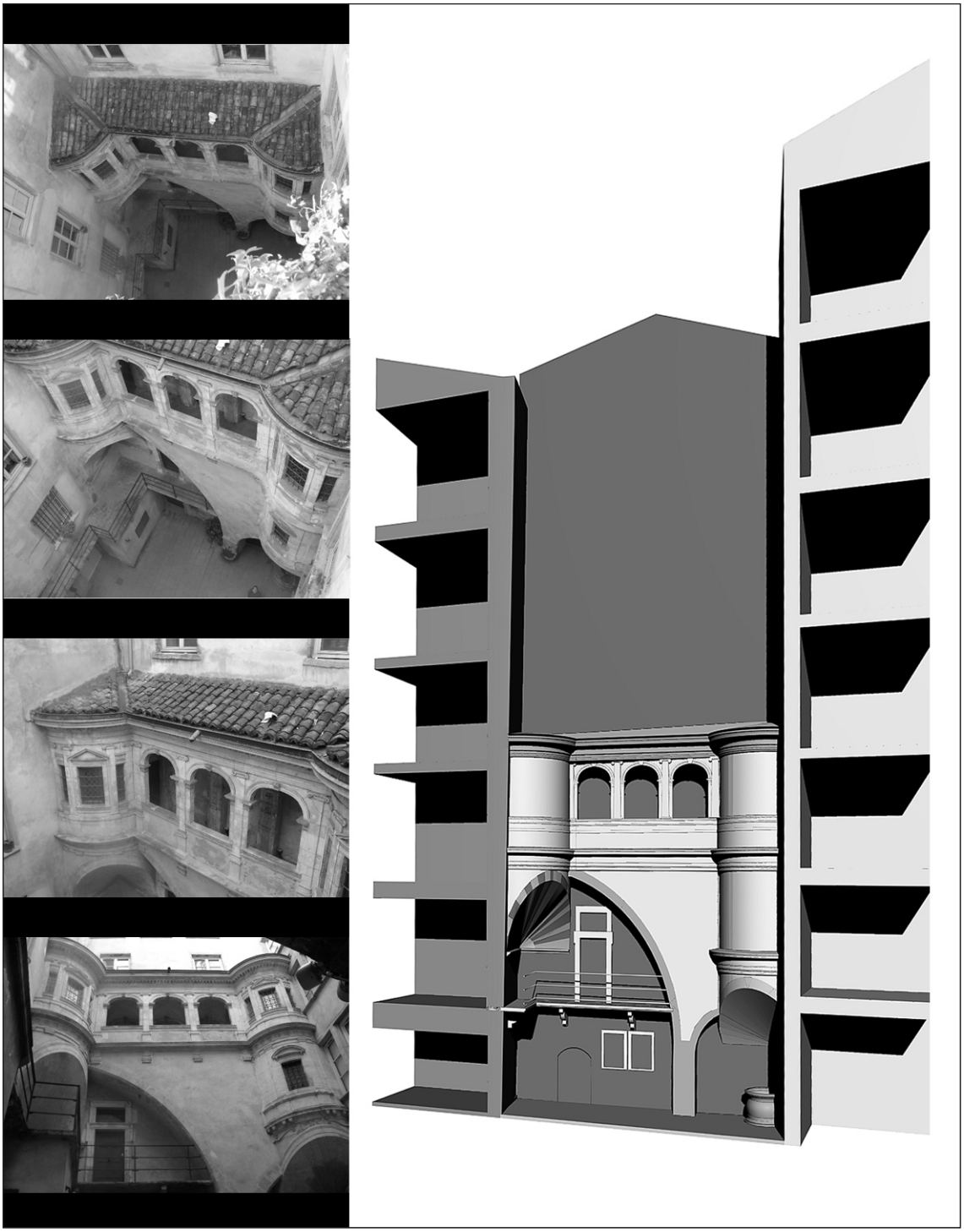


TAVOLA N° 128

Argomento della tavola: **Le trompe della *galerie de l'hôtel Bullioud* (P. Delorme, 1536) a Lione, Francia: modello di insieme;**

Fonti dell'elaborazione: **Rilievo metrico e fotografico in situ;**

Tipo di modellazione: **3D Solido/superficiale;**

Software utilizzati: **Rhinoceros, 3D Studio Max 5, Photoshop 7.**

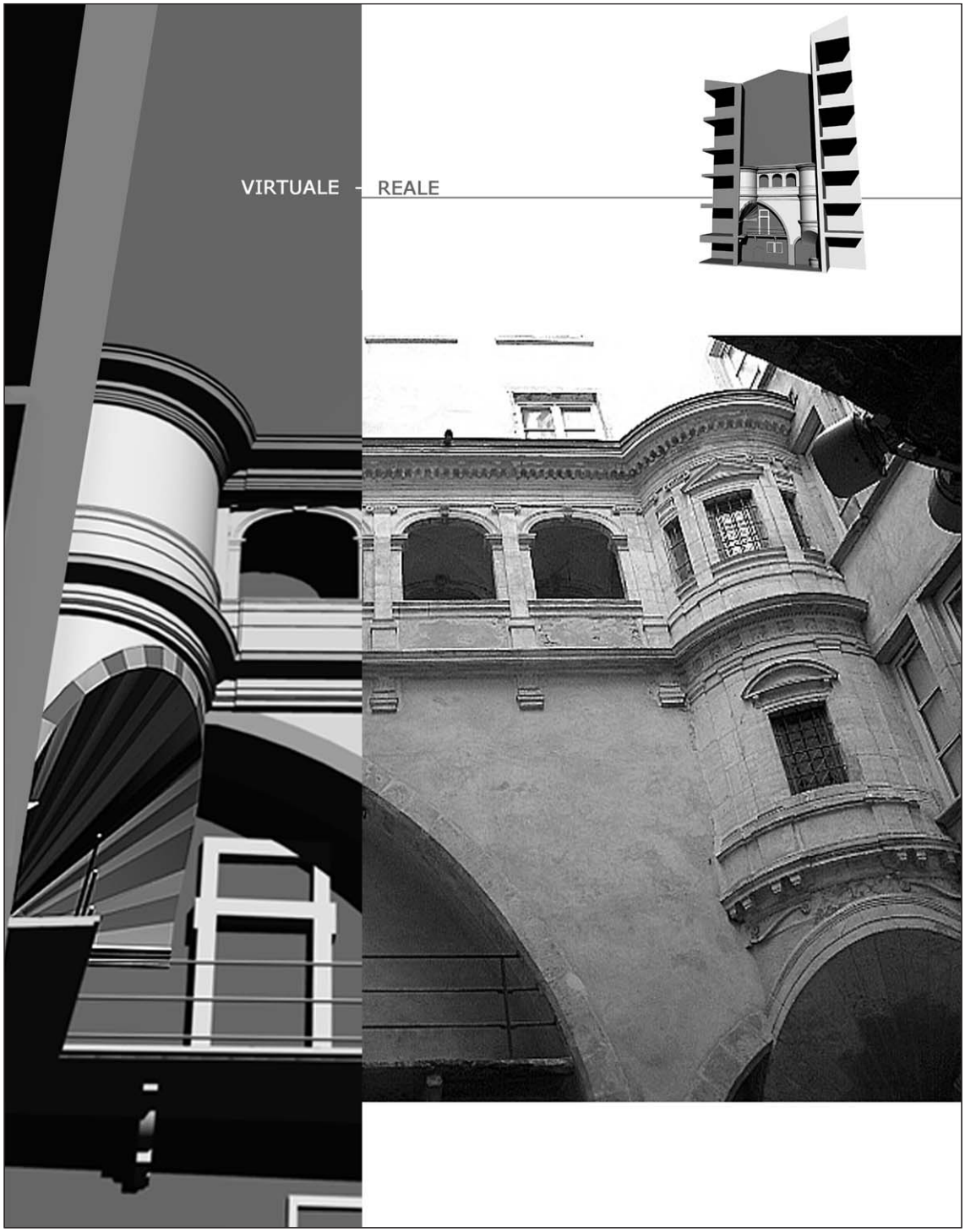


TAVOLA N° 129

Argomento della tavola: **Le trompe della *galerie de l'hôtel Bullioud* (P. Delorme, 1536) a Lione, Francia: modello di insieme, sovrapposizione virtuale-reale;**

Fonti dell'elaborazione: **Rilievo metrico e fotografico in situ;**

Tipo di modellazione: **3D Solido/superficiale;**

Software utilizzati: **Rhinoceros, 3D Studio Max 5, Photoshop 7.**

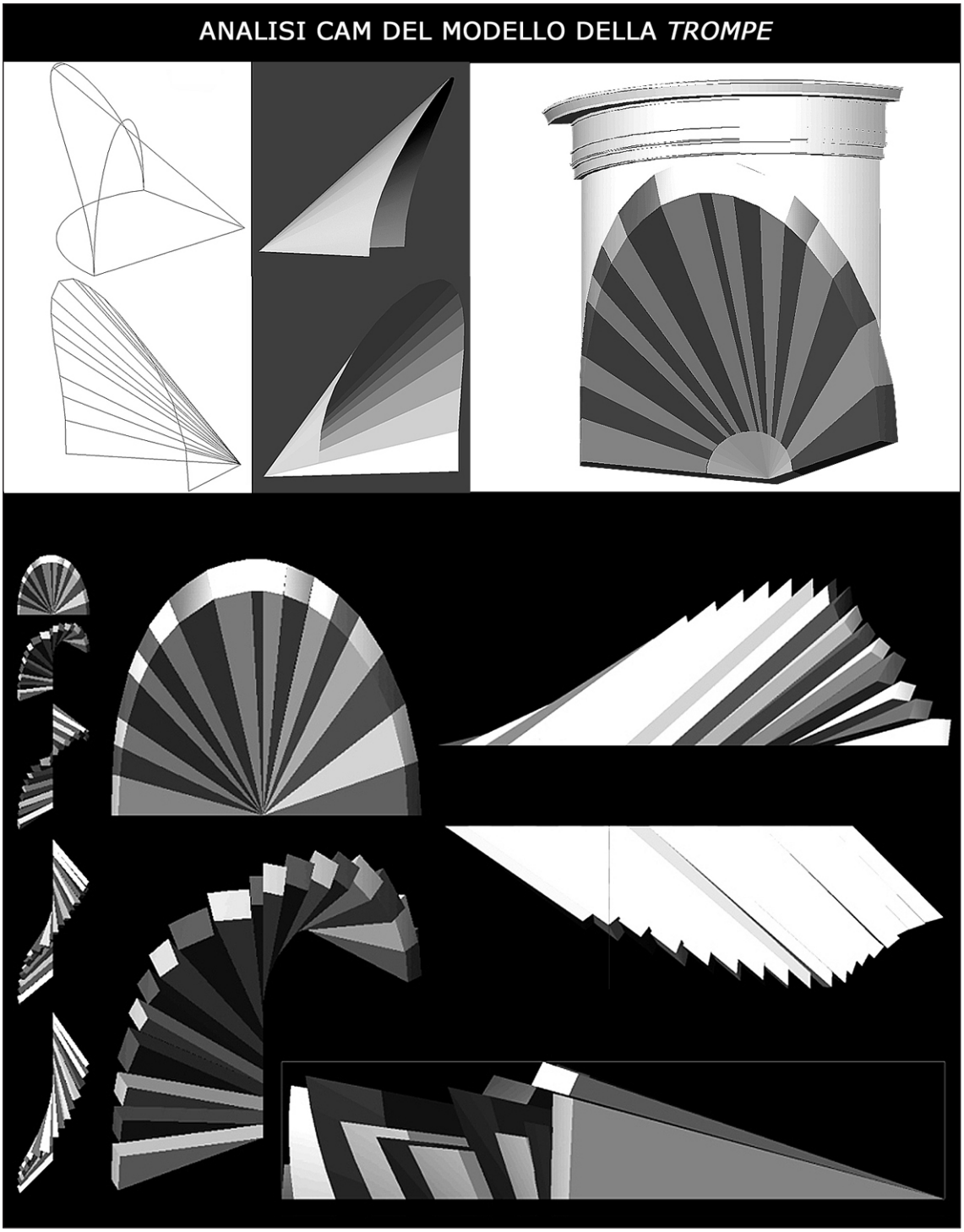


TAVOLA N° 130

Argomento della tavola: **Le trompe della *galerie de l'hôtel Bullioud* (P. Delorme, 1536) a Lione, Francia: analisi CAD/CAM della trompe di sinistra;**

Fonti dell'elaborazione: **Rilievo metrico e fotografico in situ;**

Tipo di modellazione: **3D Solido/superficiale;**

Software utilizzati: **Rhinoceros, MasterCam, Photoshop 7.**

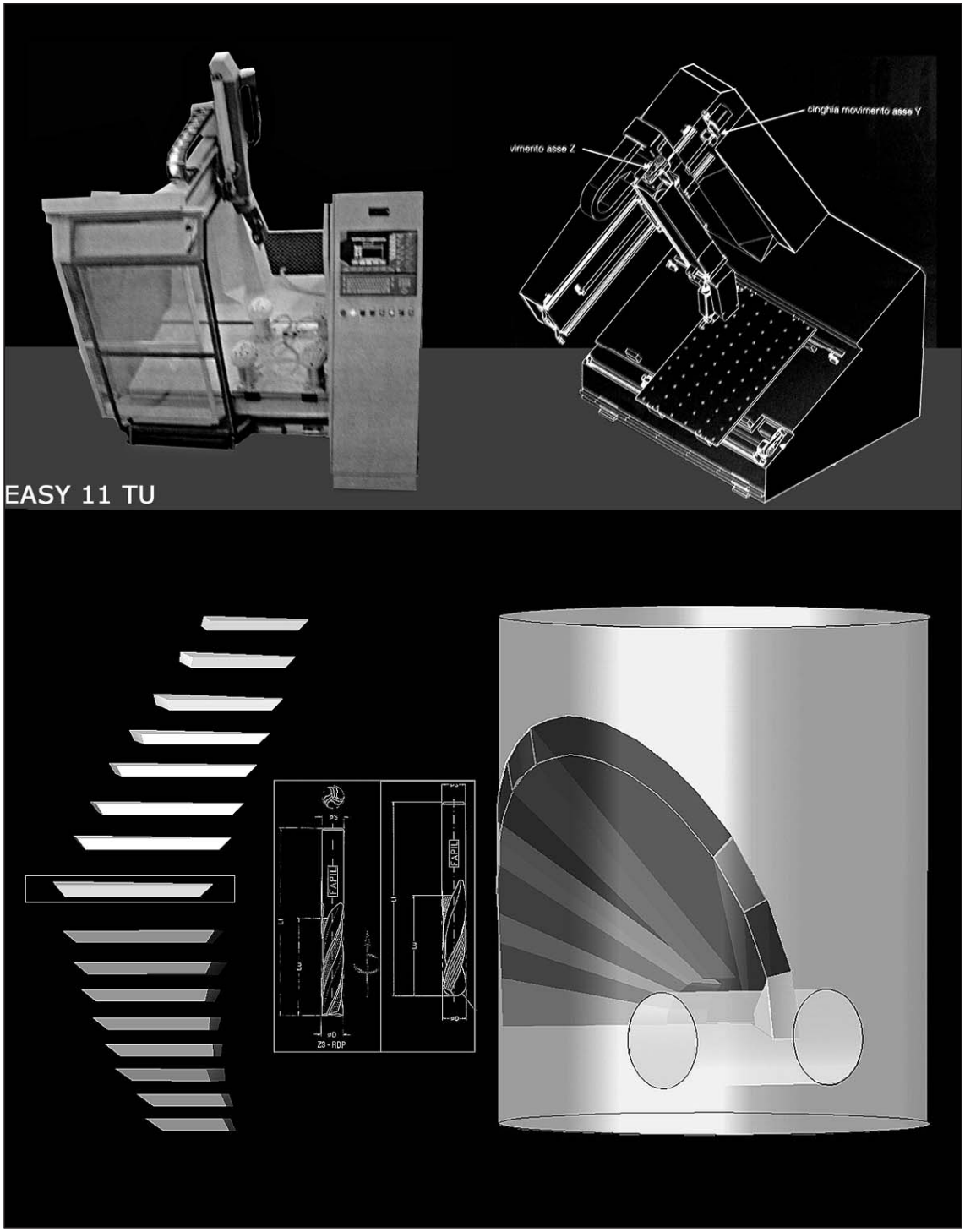


TAVOLA N° 131

Argomento della tavola:	**Le trompe della *galerie de l'hôtel Bullioud* (P. Delorme, 1536) a Lione, Francia: analisi CAD/CAM e CNC della trompe di sinistra;**
Fonti dell'elaborazione:	**Rilievo metrico e fotografico in situ;**
Tipo di modellazione:	**3D Solido/superficiale;**
Software utilizzati:	**Rhinoceros, MasterCam, Photoshop 7.**

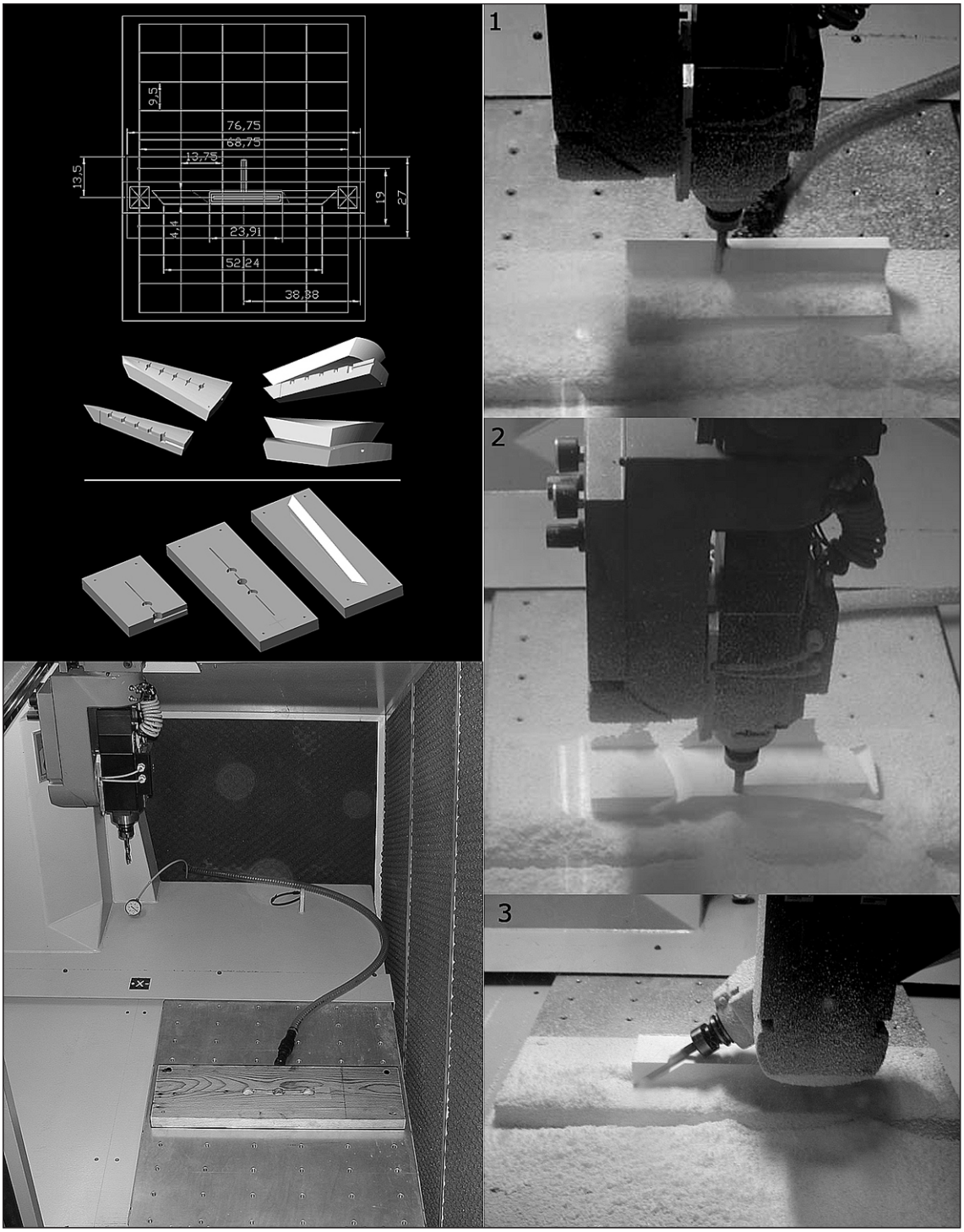


TAVOLA N° 132

Argomento della tavola: **Le trompe della *galerie de l'hôtel Bullioud* (P. Delorme, 1536) a Lione, Francia: lavorazione a CNC del prototipo della trompe di sinistra;**

Fonti dell'elaborazione: **Rilievo metrico e fotografico in situ;**

Tipo di modellazione: **3D Solido/superficiale;**

Software utilizzati: **Rhinoceros, MasterCam, Photoshop 7.**

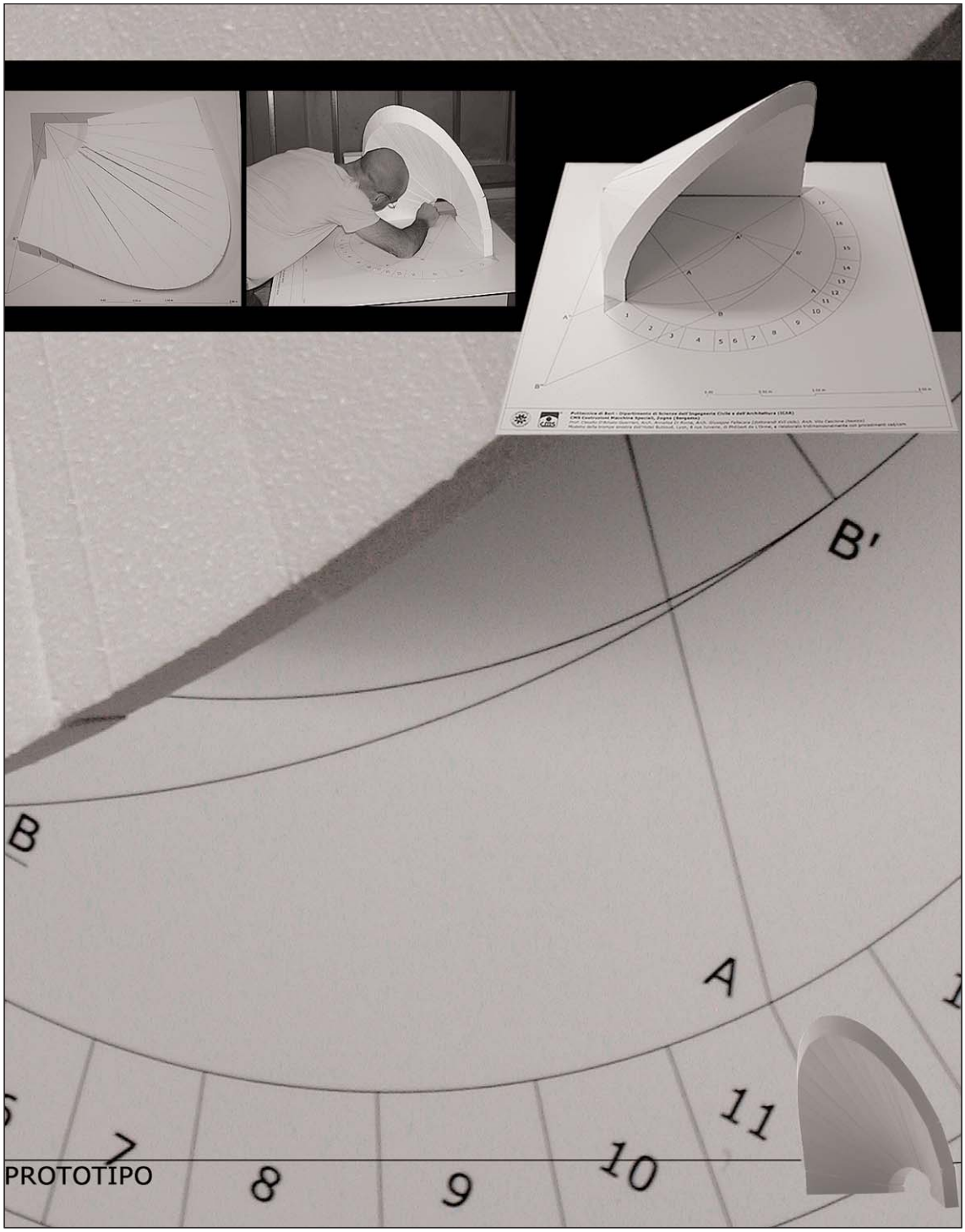


TAVOLA N° 133

Argomento della tavola:	**Le trompe della *galerie de l'hôtel Bullioud* (P. Delorme, 1536) a Lione, Francia: montaggio dei conci del prototipo in polistirolo della trompe di sinistra;**
Fonti dell'elaborazione:	**Rilievo metrico e fotografico in situ;**
Tipo di modellazione:	**3D Solido/superficiale;**
Software utilizzati:	**Rhinoceros, MasterCam, Photoshop 7.**

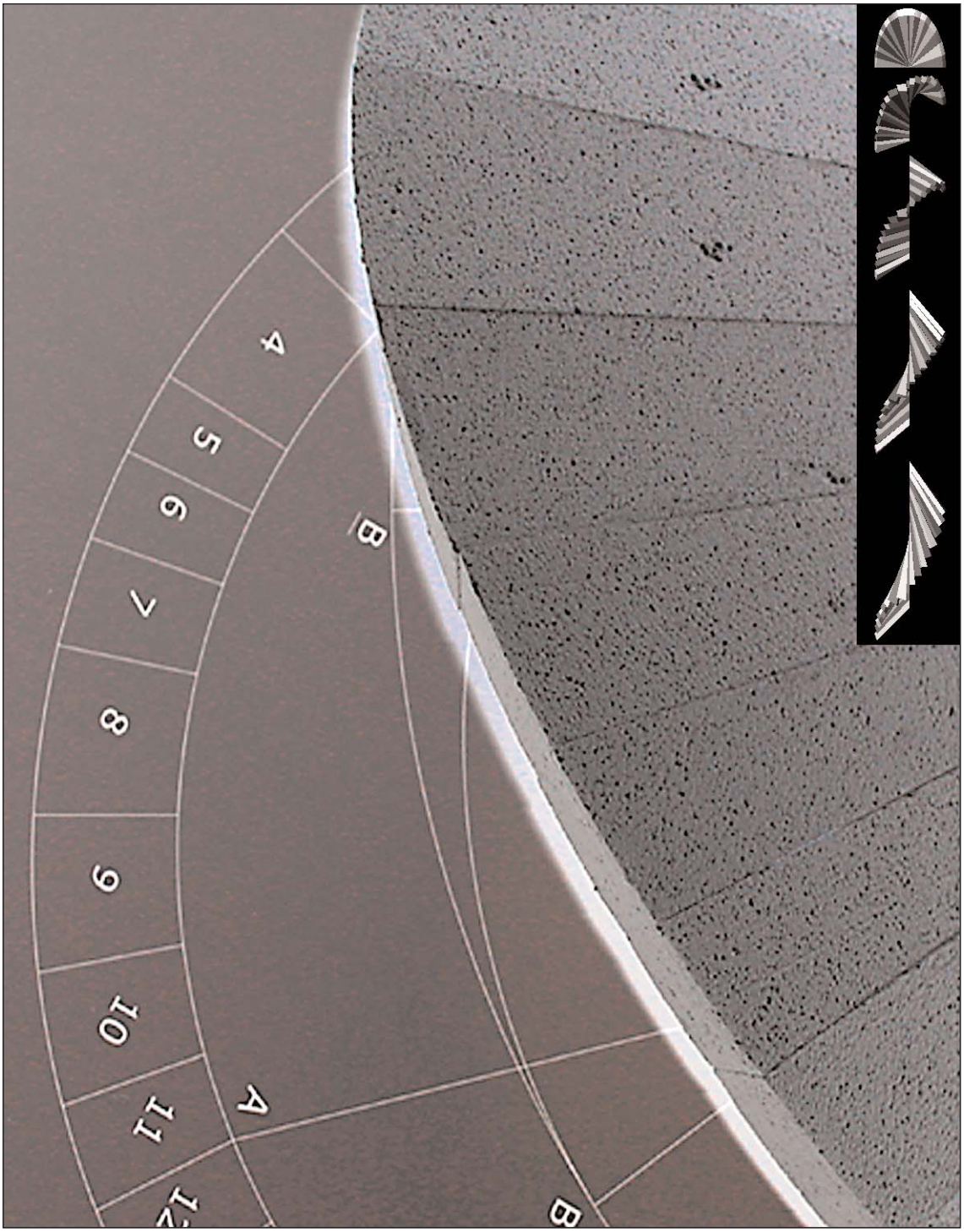


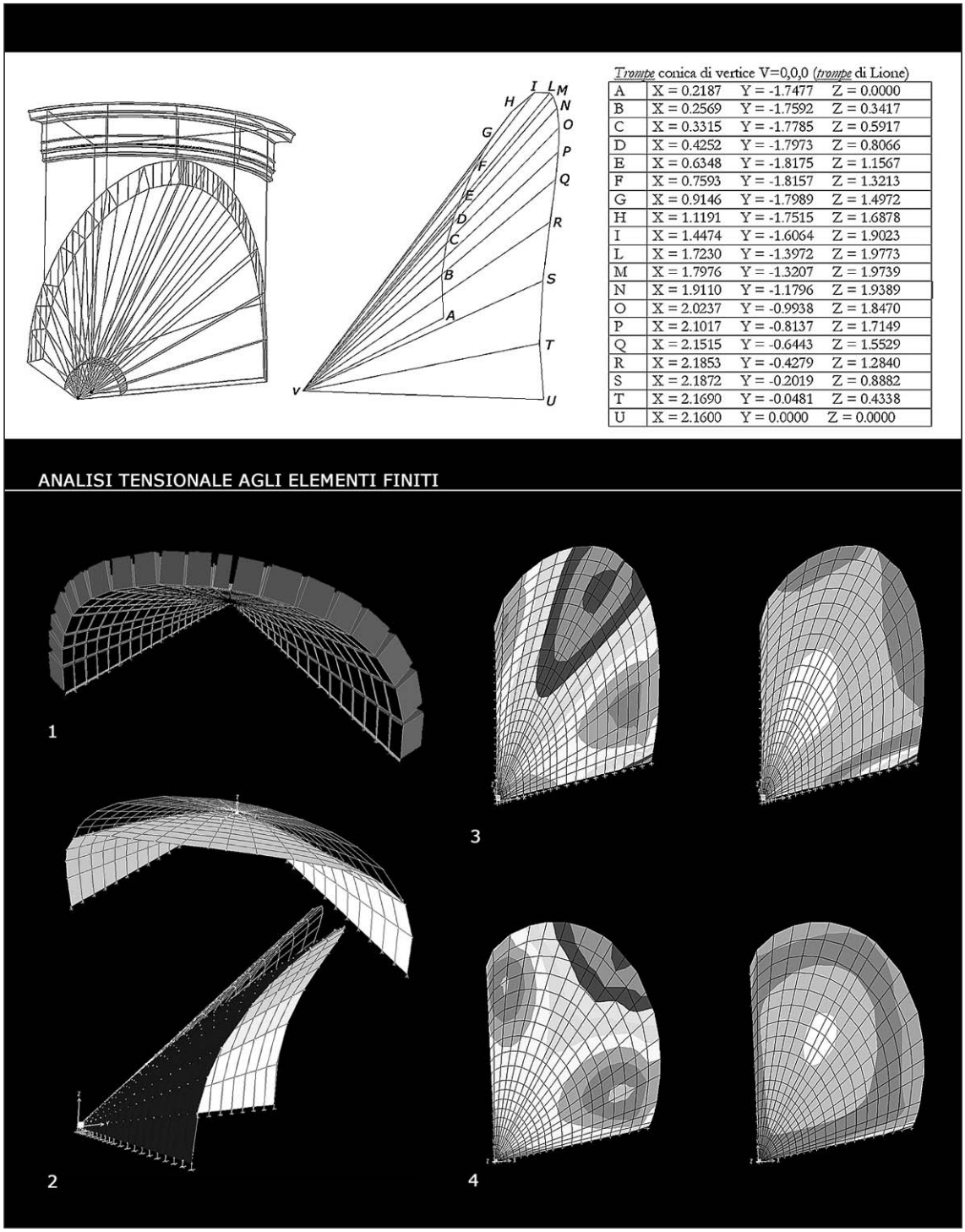
TAVOLA N° 134

Argomento della tavola: **Le trompe della *galerie de l'hôtel Bullioud* (P. Delorme, 1536) a Lione, Francia: il prototipo in polistirolo della trompe di sinistra;**

Fonti dell'elaborazione: **Rilievo metrico e fotografico in situ;**

Tipo di modellazione: **3D Solido/superficiale;**

Software utilizzati: **Rhinoceros, MasterCam, Photoshop 7.**



Trompe conica di vertice V=0,0,0 (*trompe* di Lione)

A	X = 0.2187	Y = -1.7477	Z = 0.0000
B	X = 0.2569	Y = -1.7592	Z = 0.3417
C	X = 0.3315	Y = -1.7785	Z = 0.5917
D	X = 0.4252	Y = -1.7973	Z = 0.8066
E	X = 0.6348	Y = -1.8175	Z = 1.1567
F	X = 0.7593	Y = -1.8157	Z = 1.3213
G	X = 0.9146	Y = -1.7989	Z = 1.4972
H	X = 1.1191	Y = -1.7515	Z = 1.6878
I	X = 1.4474	Y = -1.6064	Z = 1.9023
L	X = 1.7230	Y = -1.3972	Z = 1.9773
M	X = 1.7976	Y = -1.3207	Z = 1.9739
N	X = 1.9110	Y = -1.1796	Z = 1.9389
O	X = 2.0237	Y = -0.9938	Z = 1.8470
P	X = 2.1017	Y = -0.8137	Z = 1.7149
Q	X = 2.1515	Y = -0.6443	Z = 1.5529
R	X = 2.1853	Y = -0.4279	Z = 1.2840
S	X = 2.1872	Y = -0.2019	Z = 0.8882
T	X = 2.1690	Y = -0.0481	Z = 0.4338
U	X = 2.1600	Y = 0.0000	Z = 0.0000

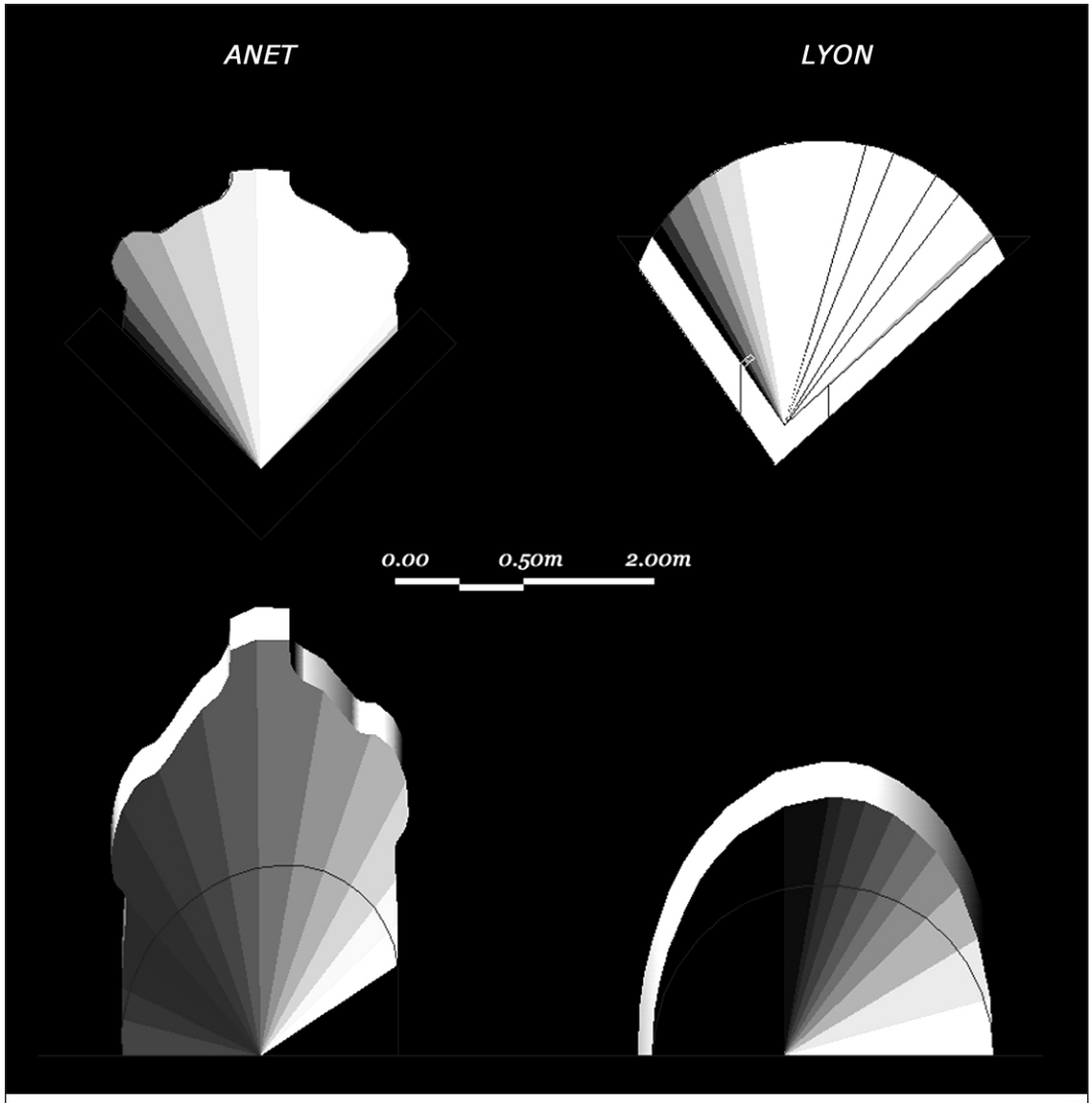
TAVOLA N° 135

Argomento della tavola: **Le trompe della *galerie de l'hôtel Bullioud* (P. Delorme, 1536) a Lione, Francia: analisi agli ele menti finiti della superficie globale della trompe di sini stra;**

Fonti dell'elaborazione: **Rilievo metrico e fotografico in situ;**

Tipo di modellazione: **3D Solido/superficiale;**

Software utilizzati: **Rhinoceros, Nolian, Photoshop 7.**



	Intradosso trompe d'Anet (deduzione da trattato)	*Intradosso trompe sud Lyon* (da rilievo)
Concio più lungo	3,90 m	2,94 m
Concio più lungo fuori dalle imposte dei muri	2,14 m	1,00 m
h.max dall'imposta dei muri	3,15 m	1,95 m

TAVOLA N° 136

Argomento della tavola: **Le trompe della *galerie de l'hôtel Bullioud* (P. Delorme, 1536) a Lione, Francia: raffronto pro porzionale tra la trompe di sinistra e quella d'Anet;**

Fonti dell'elaborazione: **Rilievo metrico e fotografico in situ;**

Tipo di modellazione: **3D Solido/superficiale;**

Software utilizzati: **Rhinoceros, Photoshop 7.**



TAVOLA N° 137

Argomento della tavola:	**Le trompe della *galerie de l'hôtel Bullioud* (P. Delorme, 1536) a Lione, Francia: raffronto for male tra la trompe di sinistra e quella d'Anet;**
Fonti dell'elaborazione:	**Rilievo metrico e fotografico in situ;**
Tipo di modellazione:	**3D Solido/superficiale;**
Software utilizzati:	**Rhinoceros, Photoshop 7.**

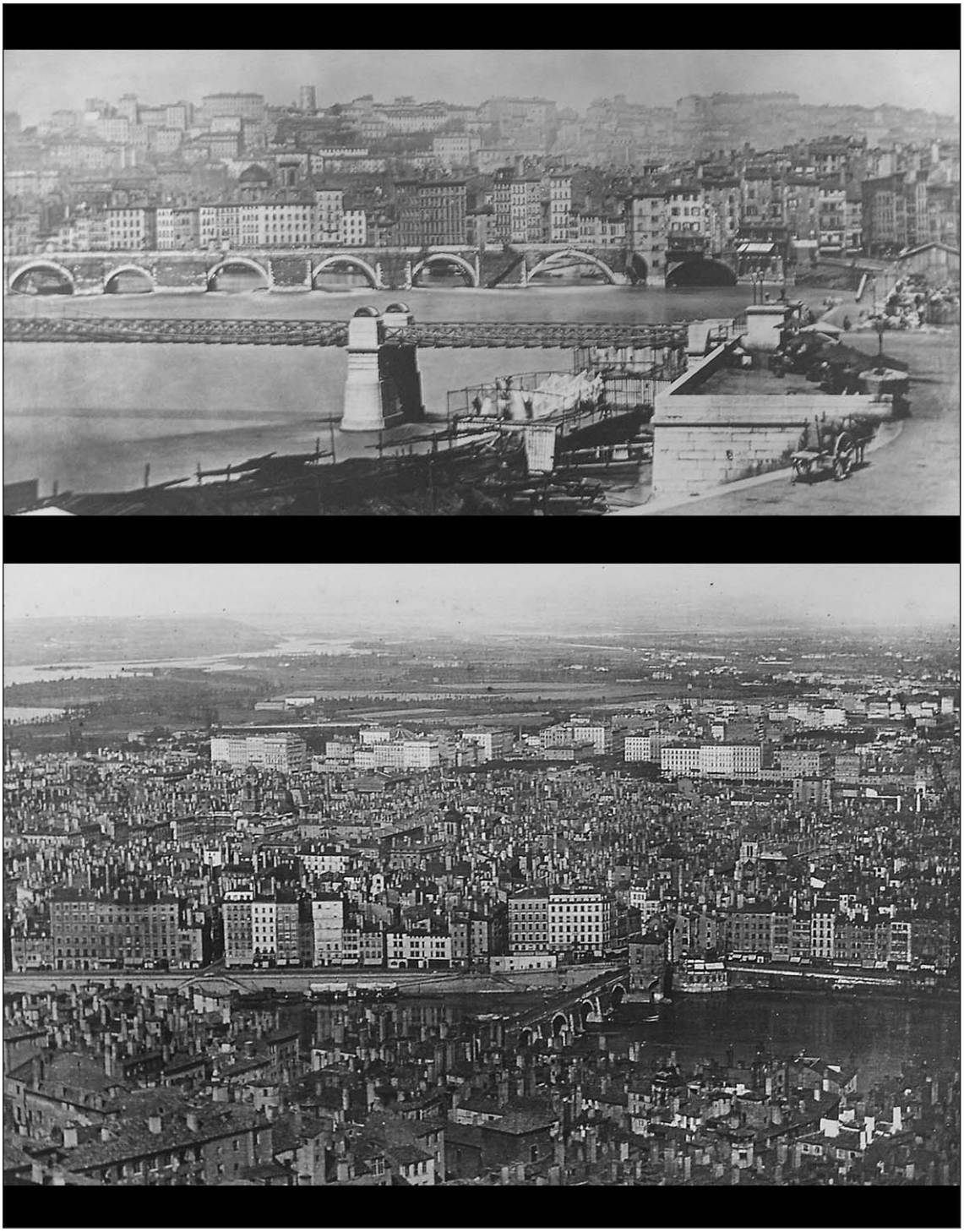


TAVOLA N° 138

Argomento della tavola: **La maison Saint-Oyen sur trompe (G. Désargues, 1650-1655) a Lione, Francia: viste panoramiche;**

Fonti dell'elaborazione: **Fotografie storiche dagli Archivi Municipali di Lione;**

Tipo di modellazione: **-**

Software utilizzati: **Photoshop 7.**

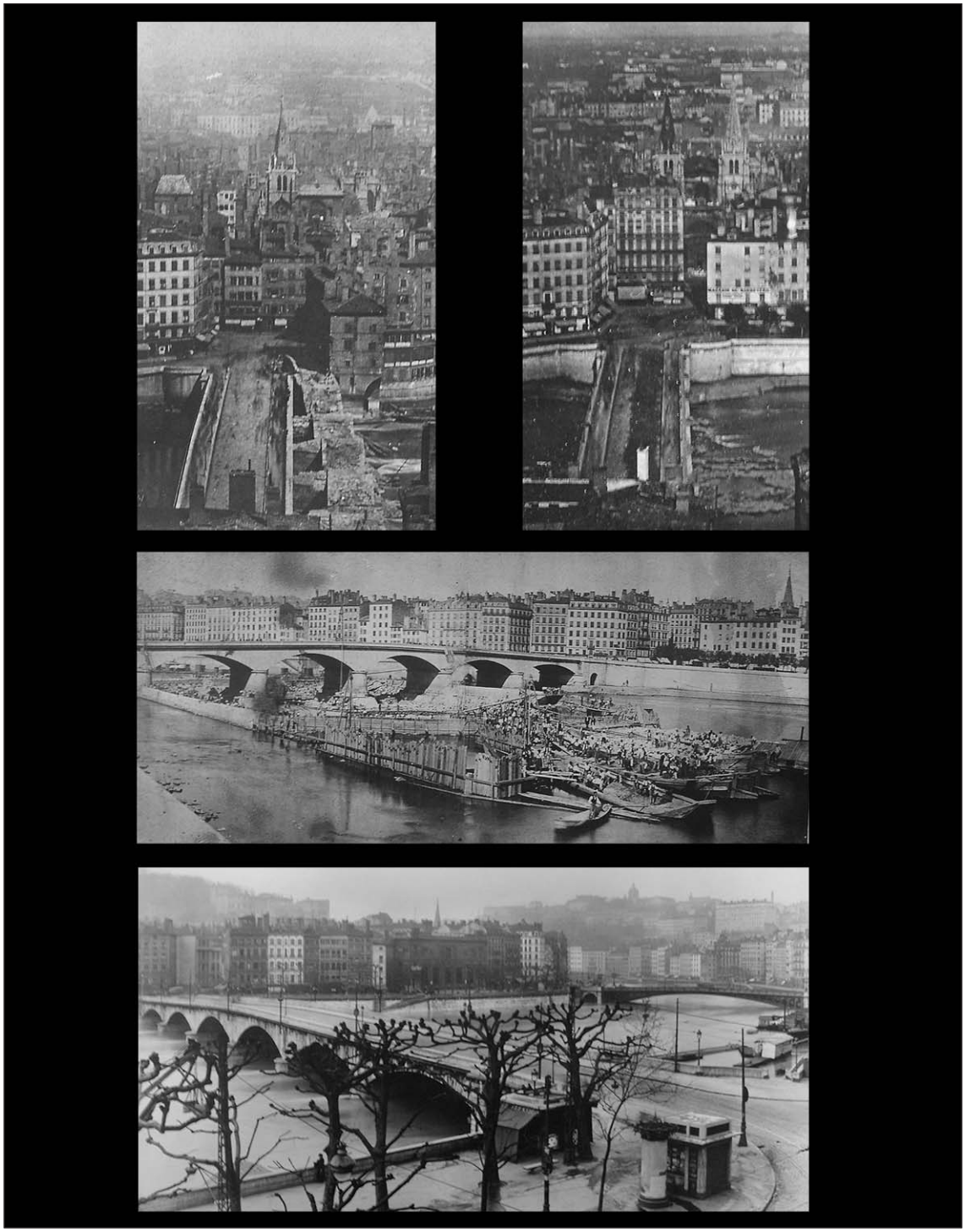


TAVOLA N° 139

Argomento della tavola: **La maison Saint-Oyen sur trompe (G. Désargues, 1650-1655) a Lione, Francia: viste panoramiche;**

Fonti dell'elaborazione: **Fotografie storiche dagli Archivi Municipali di Lione;**

Tipo di modellazione: **-**

Software utilizzati: **Photoshop 7.**

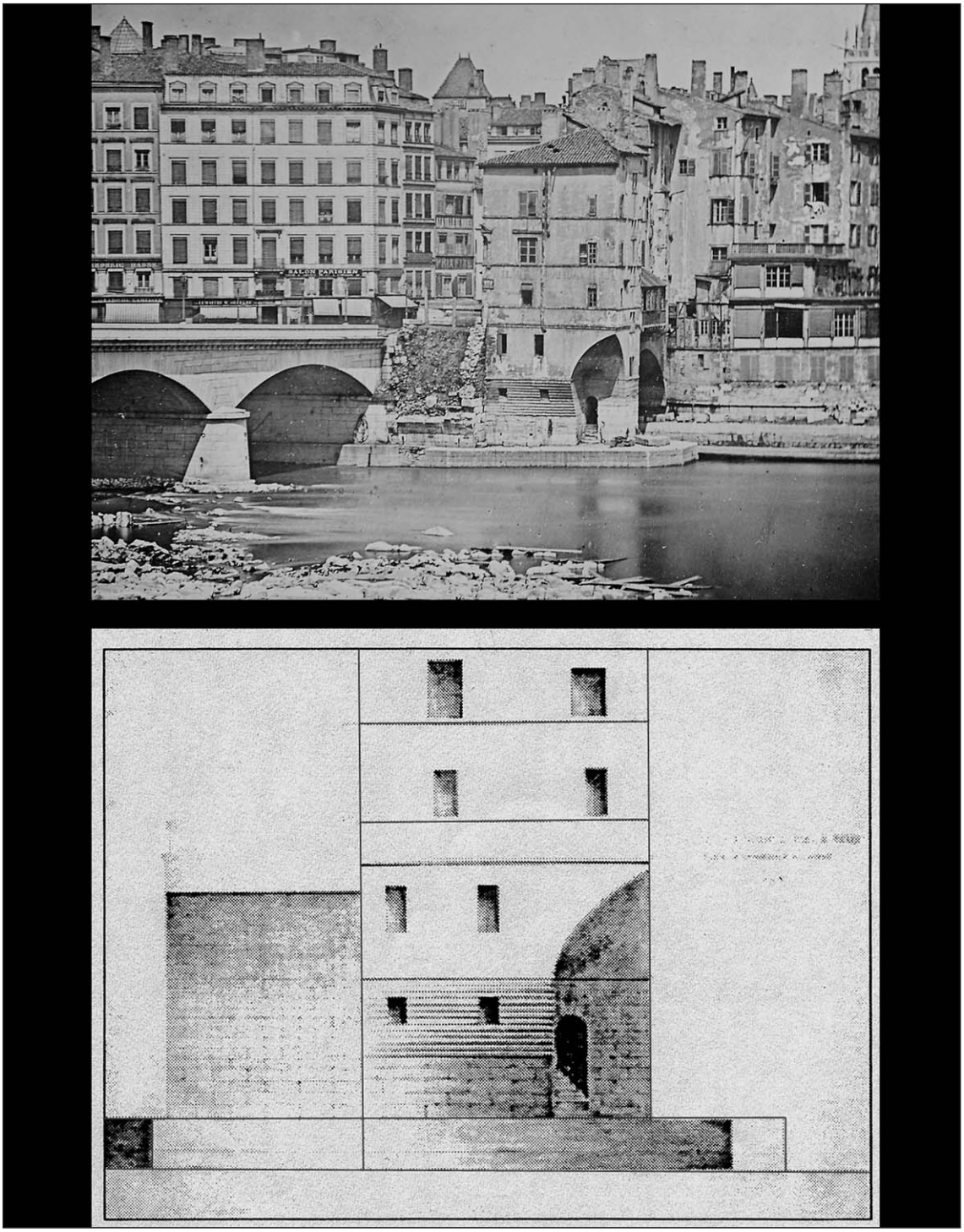


TAVOLA N° 140

Argomento della tavola: **La maison Saint-Oyen sur trompe (G. Désargues, 1650-1655) a Lione, Francia: prospetto;**

Fonti dell'elaborazione: **Fotografie storiche dagli Archivi Municipali di Lione; Rilievo ante demolizione (1846 Benoit e Monvenoux) dagli Archivi della Società Accademica d'Architettura di Lione;**

Tipo di modellazione: **-**

Software utilizzati: **Photoshop 7.**

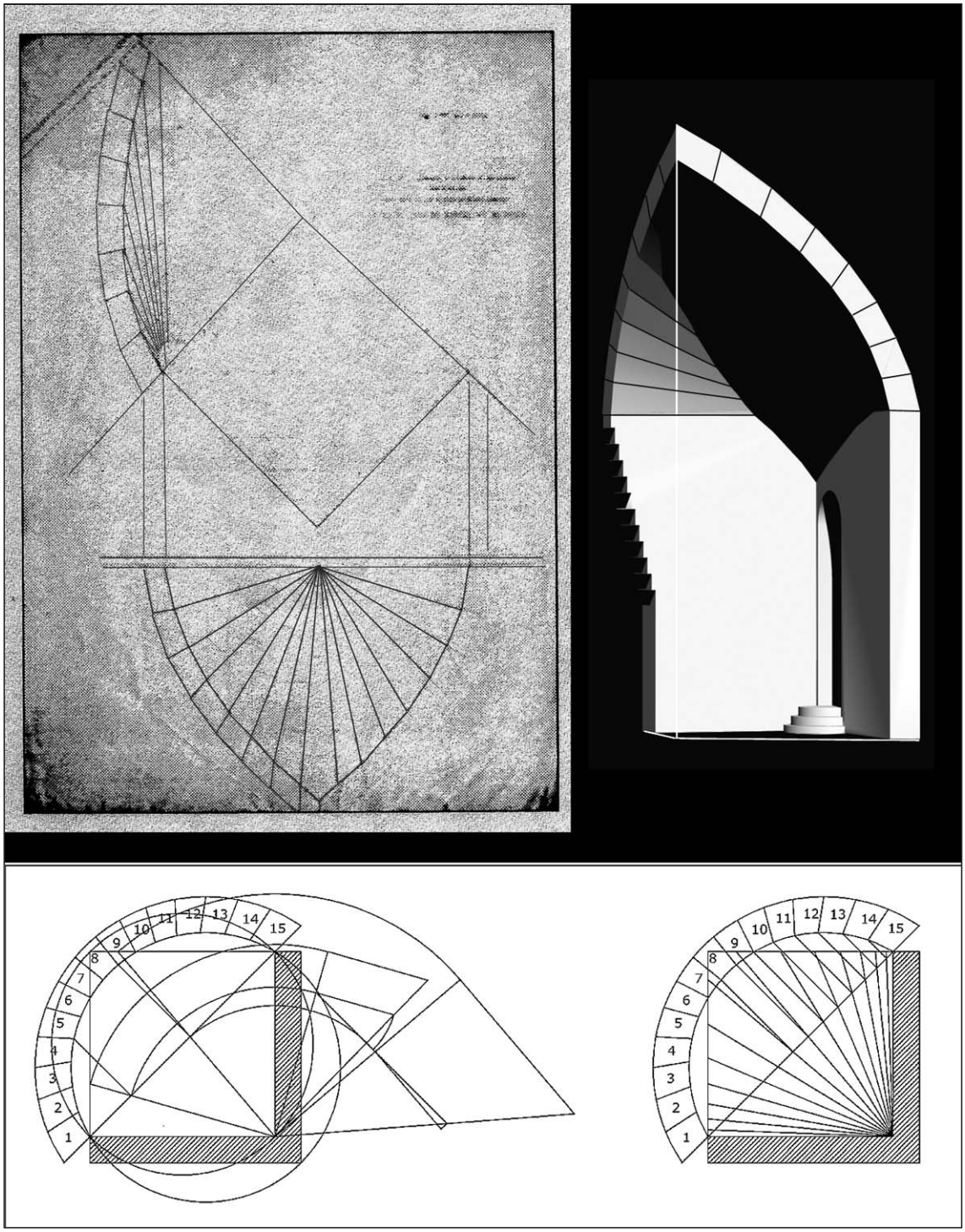


TAVOLA N° 141

Argomento della tavola: **La maison Saint-Oyen sur trompe (G. Désargues, 1650-1655) a Lione, Francia: trait géométrique della trompe;**

Fonti dell'elaborazione: **Rilievo ante demolizione (1846 Benoit e Monvenoux) dagli Archivi della Società Accademica d'Architettura di Lione;**

Tipo di modellazione: **3D Solido/Superficiale;**

Software utilizzati: **Rhinoceros, Photoshop 7.**

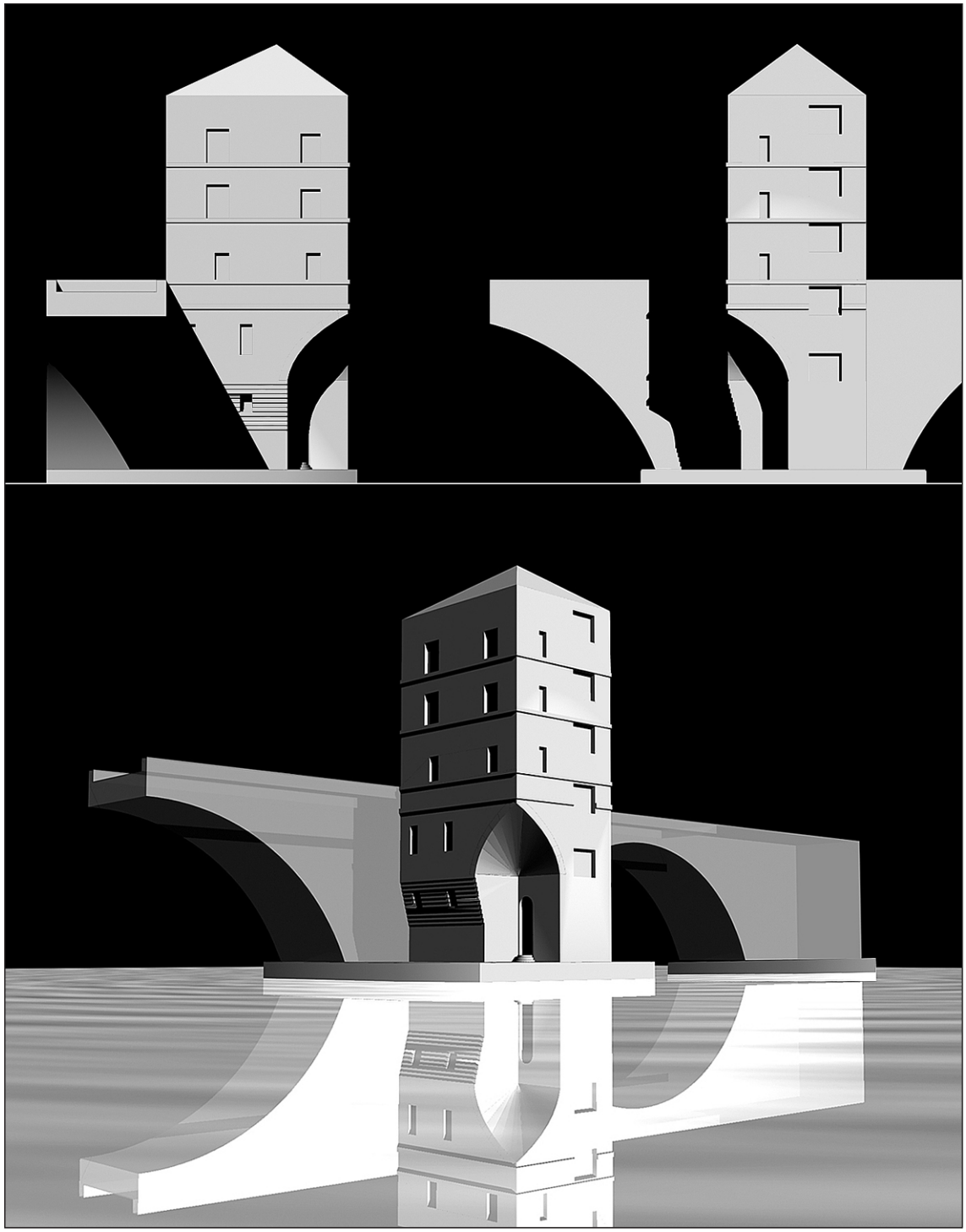


TAVOLA N° 142

Argomento della tavola: **La maison Saint-Oyen sur trompe (G. Désargues, 1650-1655) a Lione, Francia: modello globale;**

Fonti dell'elaborazione: **Rilievo ante demolizione (1846 Benoit e Monvenoux) dagli Archivi della Società Accademica d'Architettura di Lione;**

Tipo di modellazione: **3D Solido/Superficiale;**

Software utilizzati: **Rhinoceros, 3D Studio Max5, Photoshop 7.**

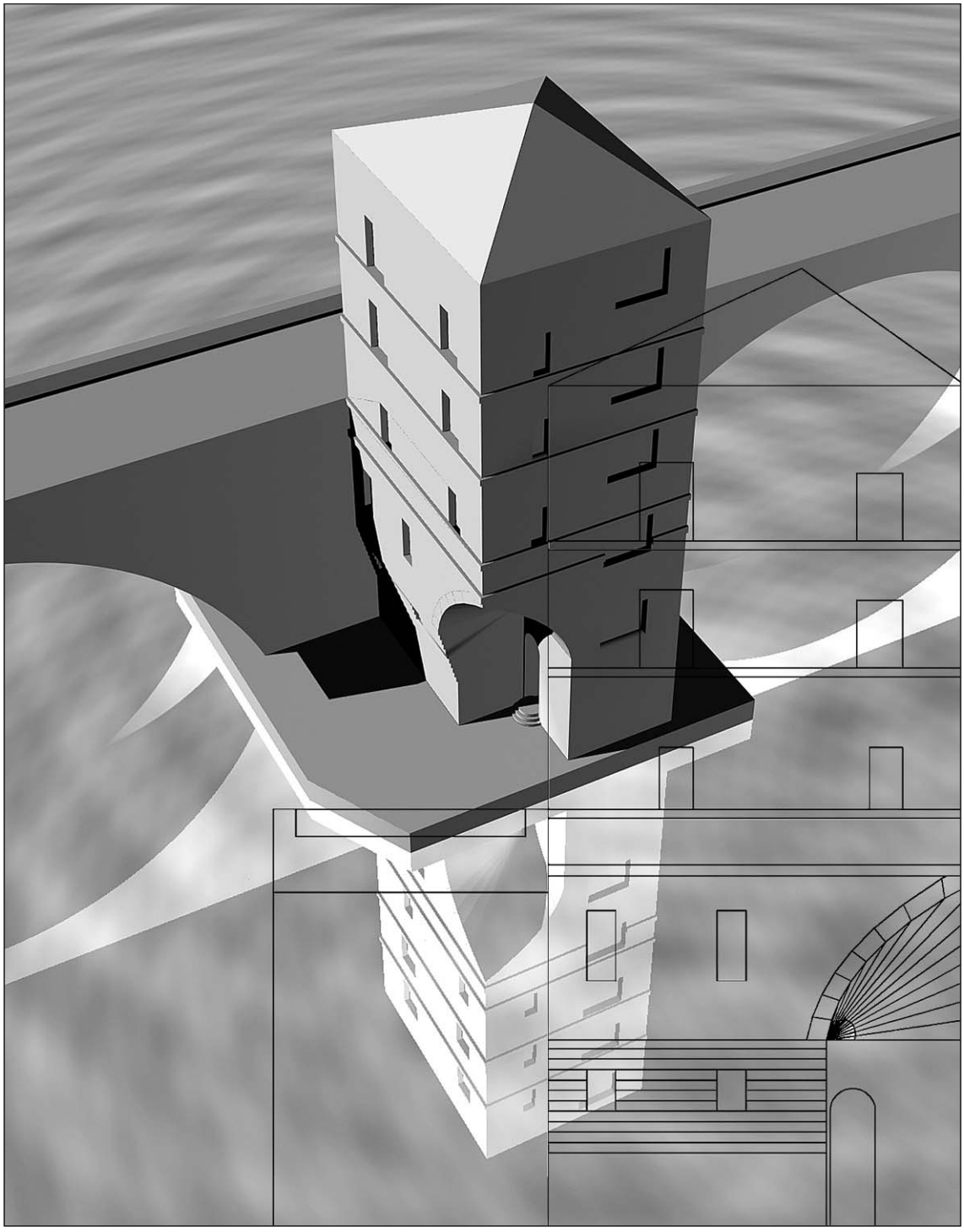


TAVOLA N° 143

Argomento della tavola: **La maison Saint-Oyen sur trompe (G. Désargues, 1650-1655) a Lione, Francia: prospettiva aerea;**

Fonti dell'elaborazione: **Rilievo ante demolizione (1846 Benoit e Monvenoux) dagli Archivi della Società Accademica d'Architettura di Lione;**

Tipo di modellazione: **3D Solido/Superficiale;**

Software utilizzati: **Rhinoceros, 3D Studio Max5, Photoshop 7.**

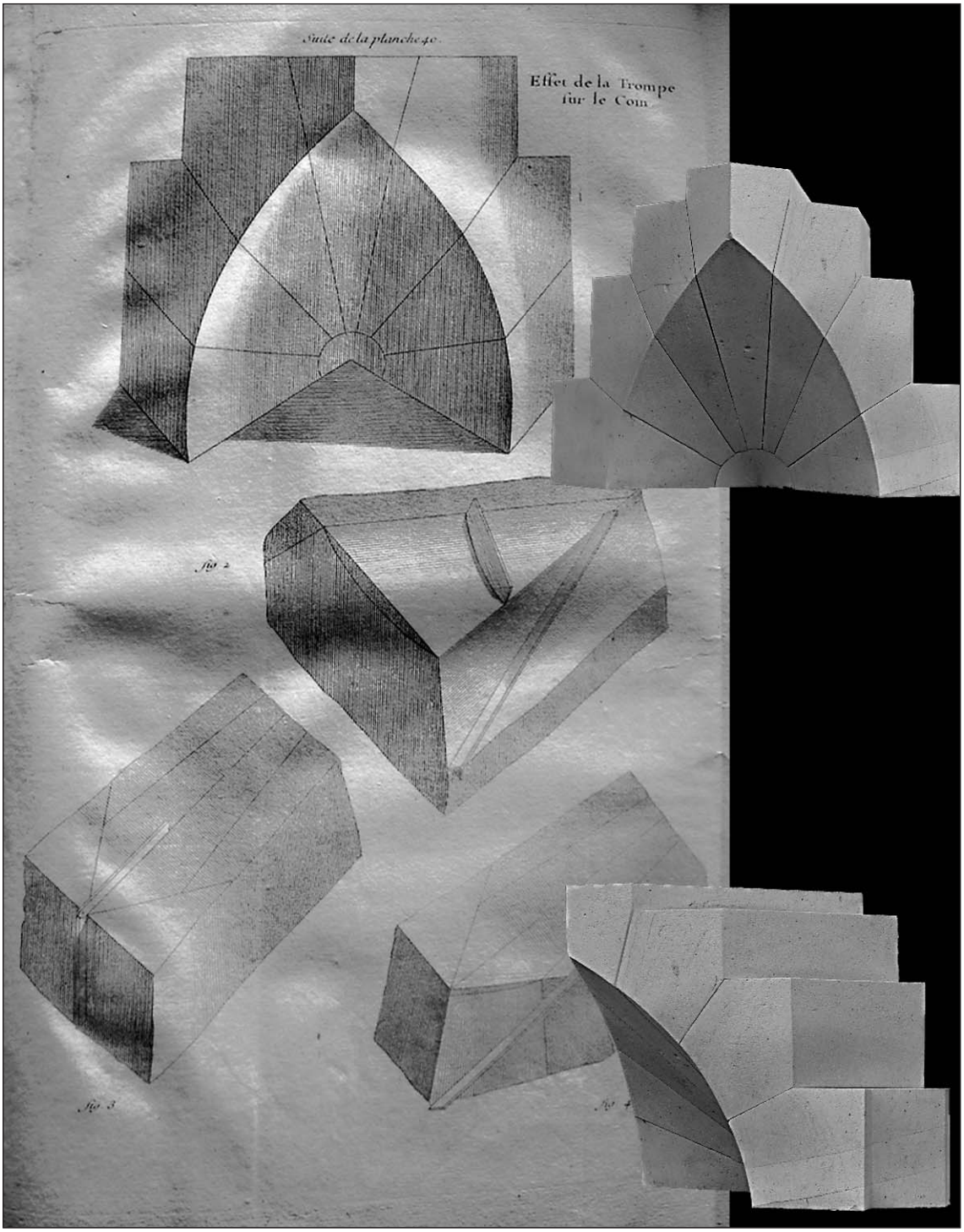


TAVOLA N° 144

Argomento della tavola: **Trompe conica sotto l'angolo: modello;**

Fonti dell'elaborazione: **J. B. de La Rue, *Traité* cit. (cfr. bibliografia), fol. 79. Modello di pietra (Compagnon du Devoir, Atelier S. Jaques, Paris);**

Tipo di modellazione: **-**

Software utilizzati: **Photoshop 7.**

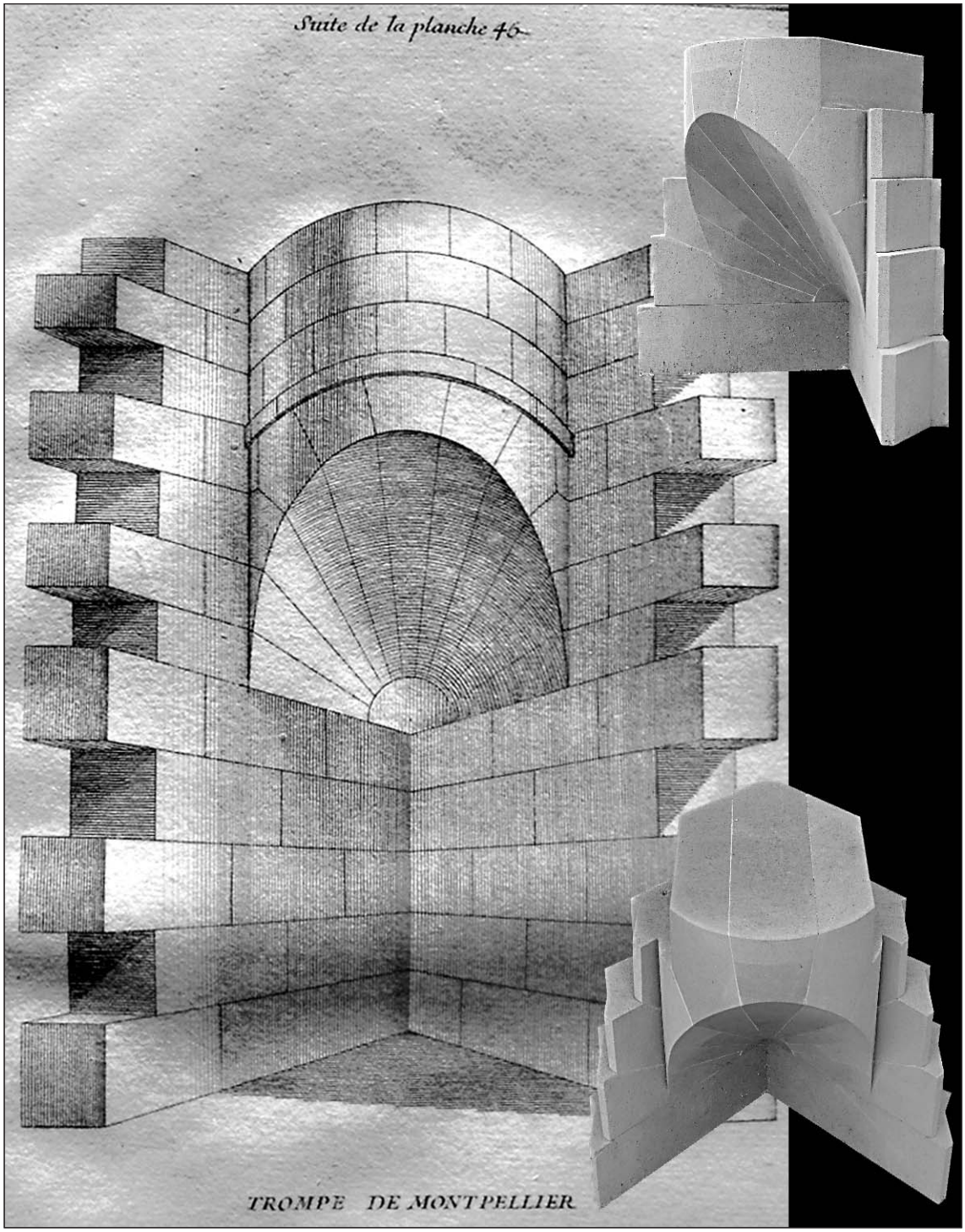


TAVOLA N° 145

Argomento della tavola: **Trompe conica sotto una torre rotonda (de Monpellier): modello;**

Fonti dell'elaborazione: **J. B. de La Rue, *Traité* cit. (cfr. bibliografia), pl. 46. Modello di pietra (Compagnon du Devoir, Atelier S. Jaques, Paris);**

Tipo di modellazione: **-**

Software utilizzati: **Photoshop 7.**

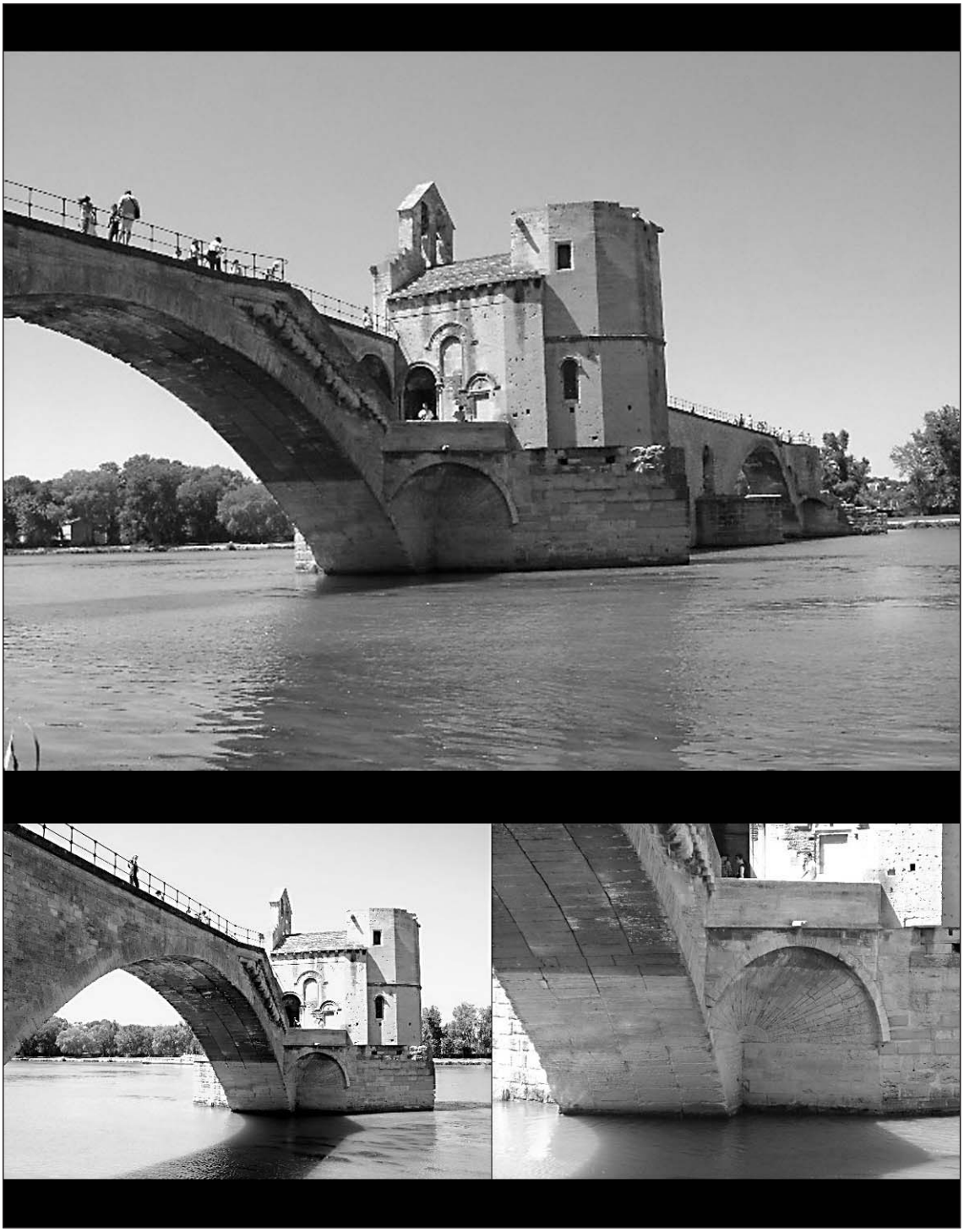


TAVOLA N° 146

Argomento della tavola: **Trompe conica nell'angolo sotto la pensilina del ponte a Avignon, Francia: fotografie;**

Fonti dell'elaborazione: **Rilievo fotografico in situ;**

Tipo di modellazione: **-**

Software utilizzati: **Photoshop 7.**

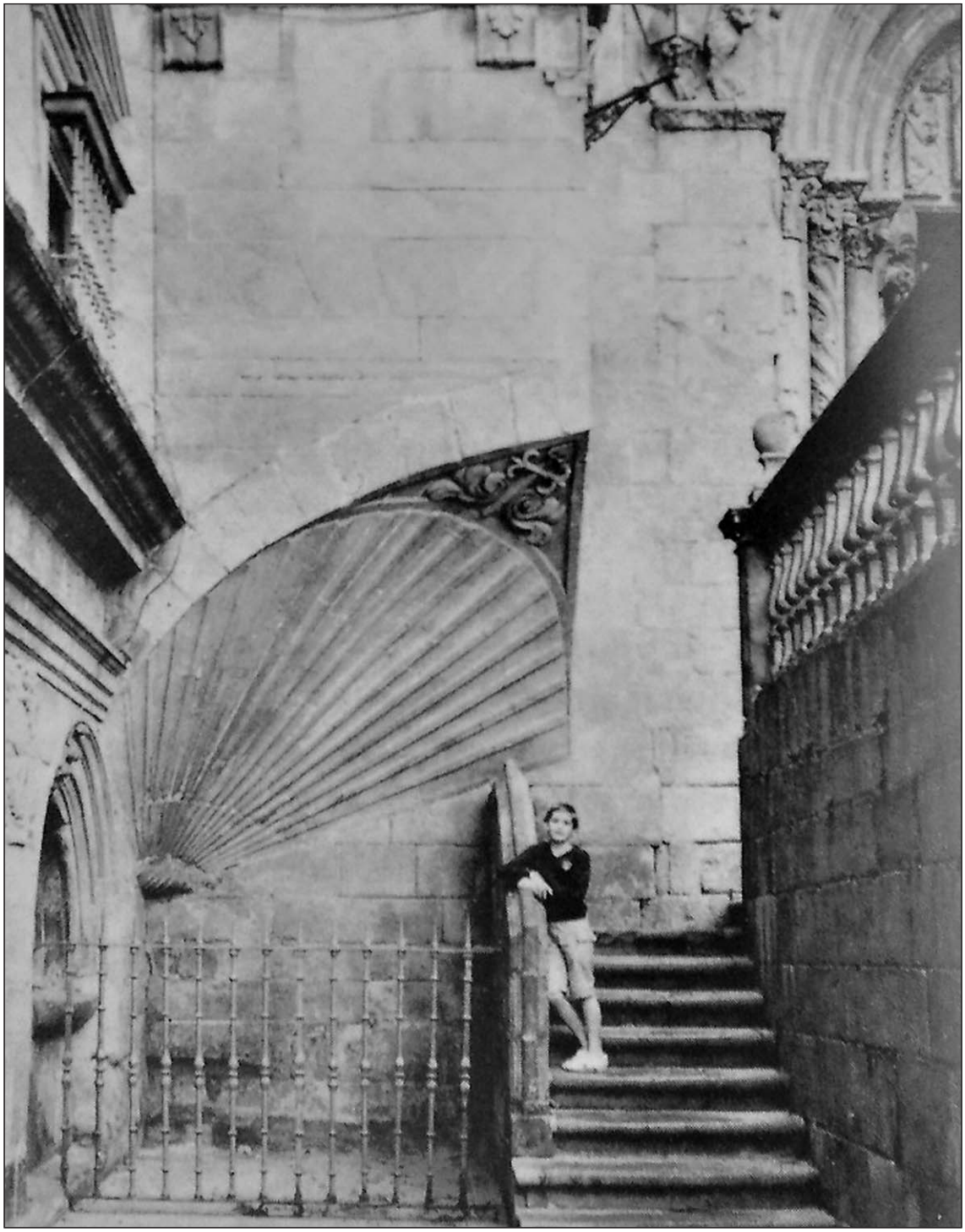


TAVOLA N° 147

Argomento della tavola: **Trompe conica nell'angolo sotto l'angolo della cattedrale di Santiago di Compostela: fotografia;**

Fonti dell'elaborazione: **Foto, J.M. Pérouse de Montclos, *L'Architecture*cit. (cfr. bibliografia): la "Concha" (Rodrigo Gil de Hontanon, 1573-1590);**

Tipo di modellazione: **-**

Software utilizzati: **-**

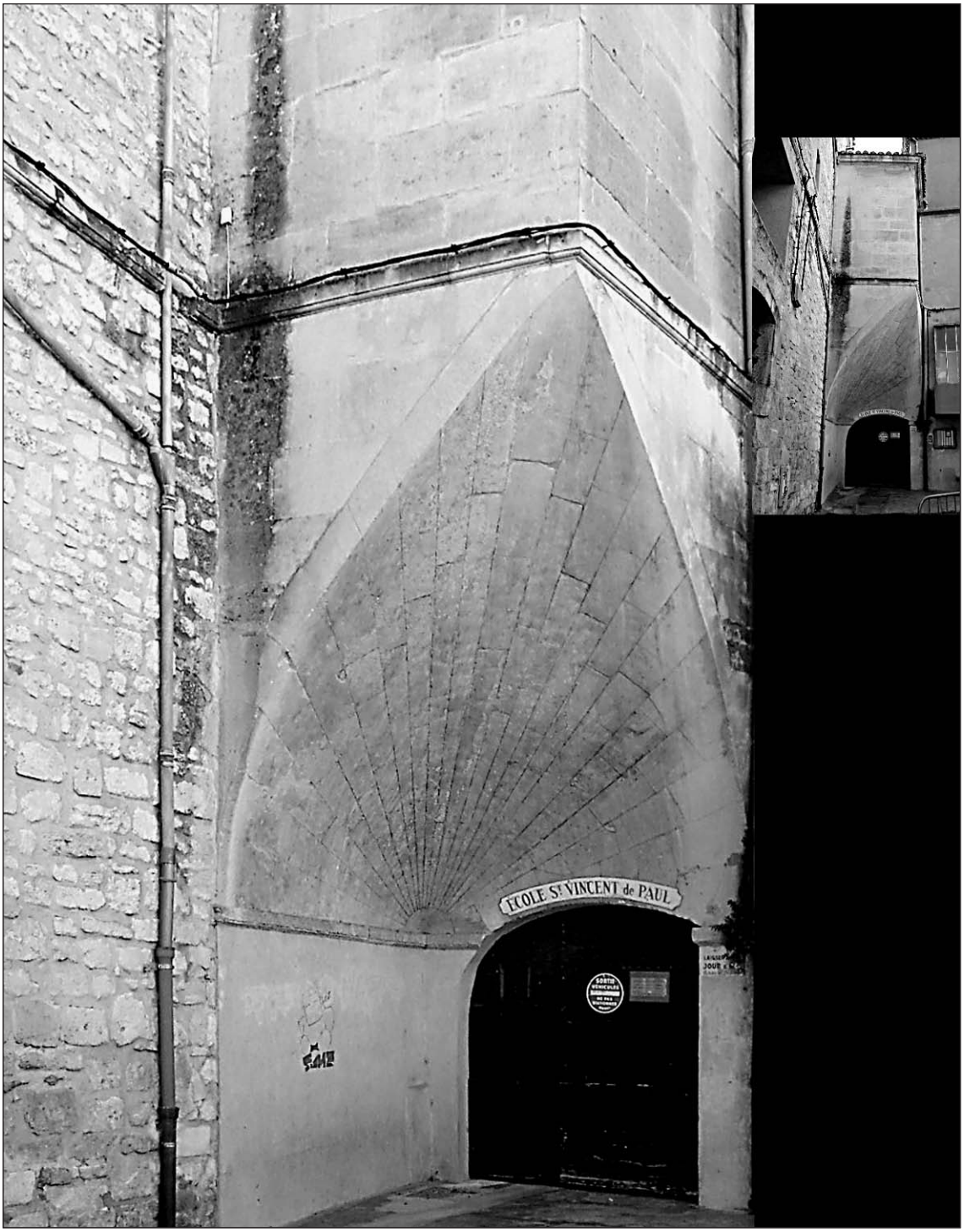


TAVOLA N° 148

Argomento della tavola: **Trompe conica nell'angolo sotto l'angolo nel cen tro storico di Arles (9 rue du Séminaire): foto;**

Fonti dell'elaborazione: **Rilievo fotografico in situ;**

Tipo di modellazione: **-**

Software utilizzati: **Photoshop 7.**

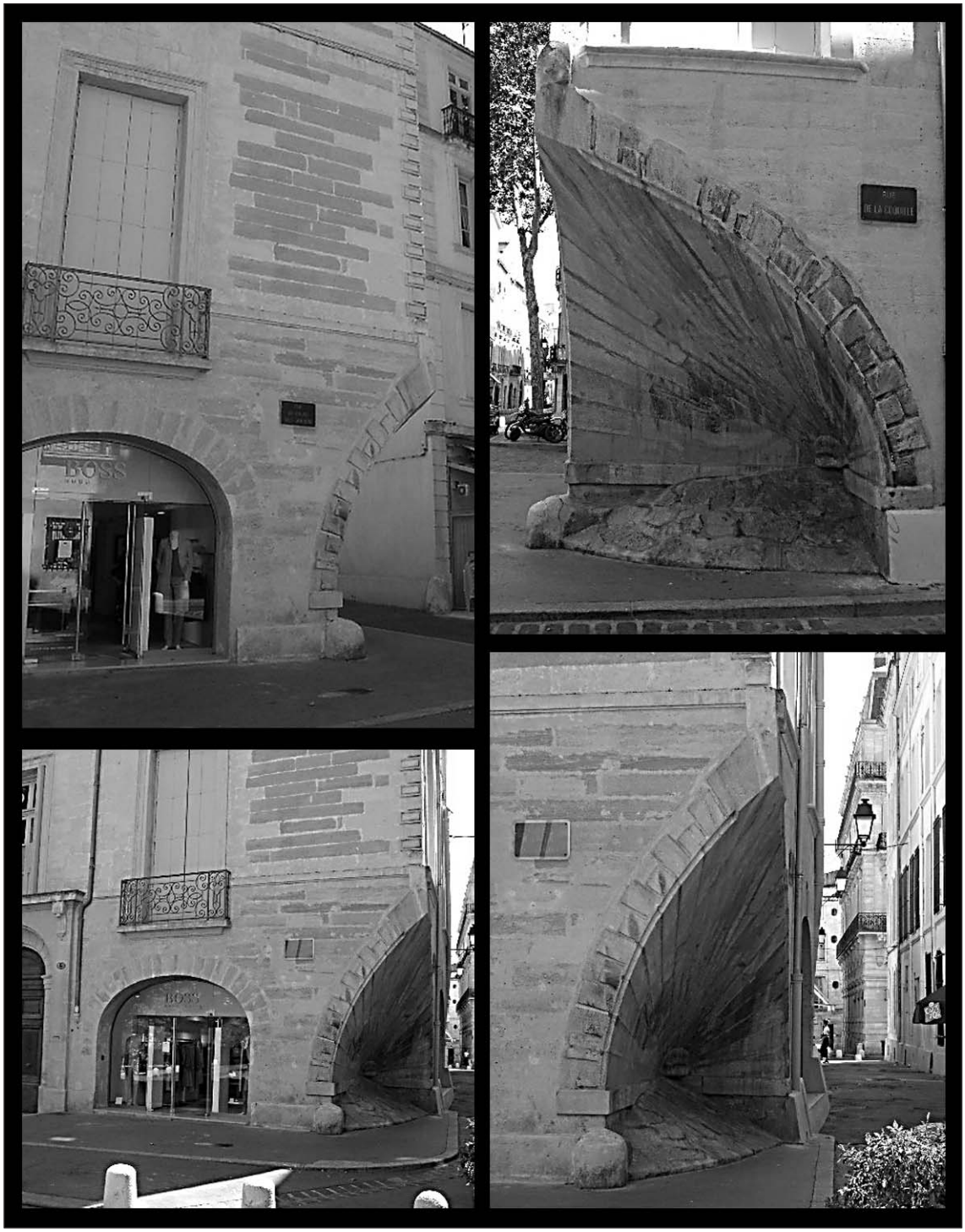


TAVOLA N° 149

Argomento della tavola: **Trompe conica nell'angolo sotto l'angolo nel centro storico di Montpellier (hotel Sarret, 1636): fotografie;**

Fonti dell'elaborazione: **Rilievo fotografico in situ;**

Tipo di modellazione: **-**

Software utilizzati: **Photoshop 7.**



TAVOLA N° 150

Argomento della tavola: **Trompe conica nell'angolo sotto l'angolo nel centro storico di Montpellier (hotel Sarret, 1636): Dettaglio;**

Fonti dell'elaborazione: **Rilievo fotografico in situ;**

Tipo di modellazione: **-**

Software utilizzati: **Photoshop 7.**



TAVOLA N° 151

Argomento della tavola: **Trompe conica con profilo mistilineo (retto/curvo) nel centro storico di Montpellier (corte dell'hotel Sarret, 1636): fotografie;**

Fonti dell'elaborazione: **Rilievo fotografico in situ;**

Tipo di modellazione: **-**

Software utilizzati: **Photoshop 7.**



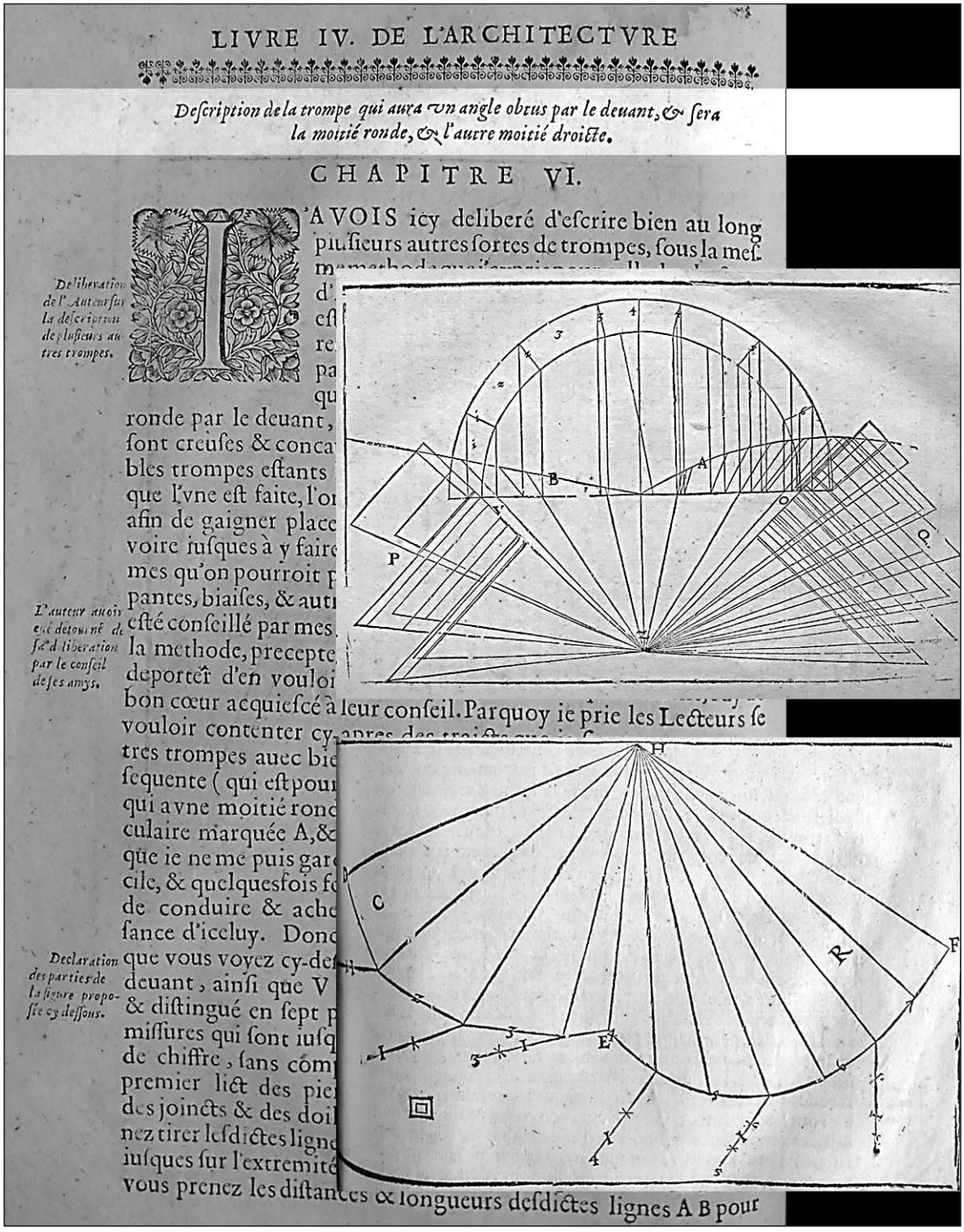
TAVOLA N° 152

Argomento della tavola: **Trompe conica con profilo mistilineo (retto/curvo) nel centro storico di Montpellier (corte dell'hotel Sarret, 1636): dettaglio;**

Fonti dell'elaborazione: **Rilievo fotografico in situ;**

Tipo di modellazione: **-**

Software utilizzati: **Photoshop 7.**


LIVRE IV. DE L'ARCHITECTVRE

Deſcription de la trompe qui aura vn angle obtus par le deuant, & ſera la moitié ronde, & l'autre moitié droicte.

CHAPITRE VI.

De liberation de l'Autheur ſur la deſcription de pluſieurs autres trompes.

L'auteur auoit eté detourné de ſa deliberation par le conſeil de ſes amys.

Declaration des parties de la figure propoſée cy deſſous.

J'AVOIS icy deliberé d'eſcrire bien au long pluſieurs autres ſortes de trompes, ſous la meſme methode que i'ay eſcripte pour celle ronde par le deuant, font creuſes & concaues, bles trompes eſtants que l'vne eſt faite, l'or afin de gaigner place voire iuſques à y faire mes qu'on pourroit p pantes, biaiſes, & autr eſté conſeillé par mes la methode, precepte deporter d'en vouloi bon cœur acquieſcé à leur conſeil. Parquoy ie prie les Lecteurs ſe vouloir contenter cy-apres des traictz que ie tres trompes auec bie ſequente (qui eſt pour qui a vne moitié ronde culaire marquée A, & que ie ne me puis gar cile, & quelquesfois fe de conduire & ache ſance d'iceluy. Donc que vous voyez cy-de deuant, ainſi que V & diſtingué en ſept p miſſures qui ſont iuſq de chiffre, ſans com premier lict des pie des joinctz & des doi nez tirer leſdictes ligne iuſques ſur l'extremité vous prenez les diſtances & longueurs deſdictes lignes A B pour

TAVOLA N° 153

Argomento della tavola: **Trompe conica con profilo mistilineo (retto/curvo) : riferimento teorico (P. Delorme);**

Fonti dell'elaborazione: **P. Delorme, *Premiere* cit. (cfr. bibliografia), Libro IV, cap. VI, ff. 103v-104r-105r.;**

Tipo di modellazione: **-**

Software utilizzati: **Photoshop 7.**



TAVOLA N° 154

Argomento della tavola: **Trompe conica con profilo mistilineo (retto/curvo) nel centro storico di Montpellier (corte dell'hotel Sarret, 1636): la trompe;**

Fonti dell'elaborazione: **Rilievo fotografico in situ;**

Tipo di modellazione: **-**

Software utilizzati: **Photoshop 7.**

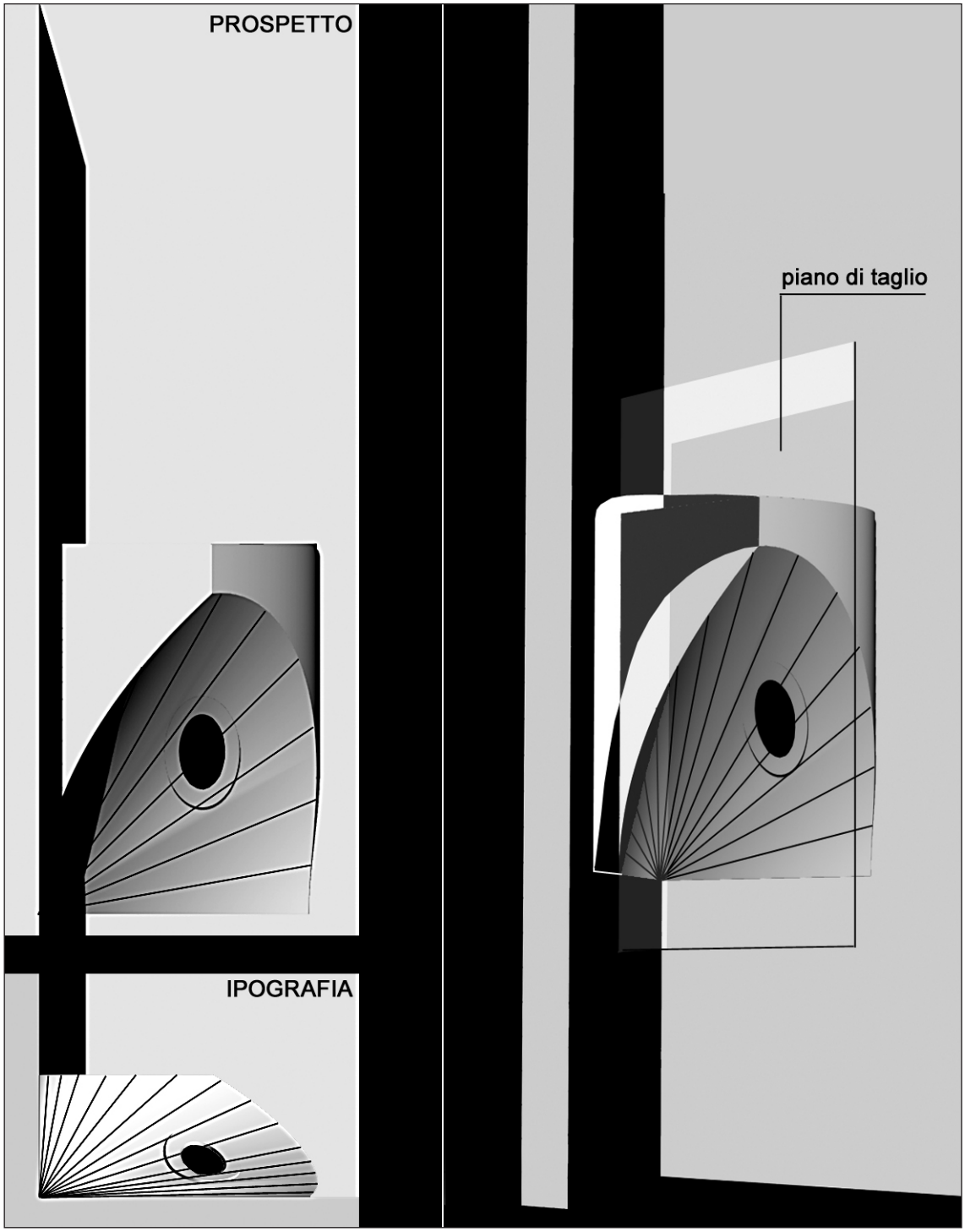


TAVOLA N° 155

Argomento della tavola: **Trompe conica con profilo mistilineo (retto/curvo) nel centro storico di Montpellier (corte dell'hotel Sarret, 1636): il modello;**

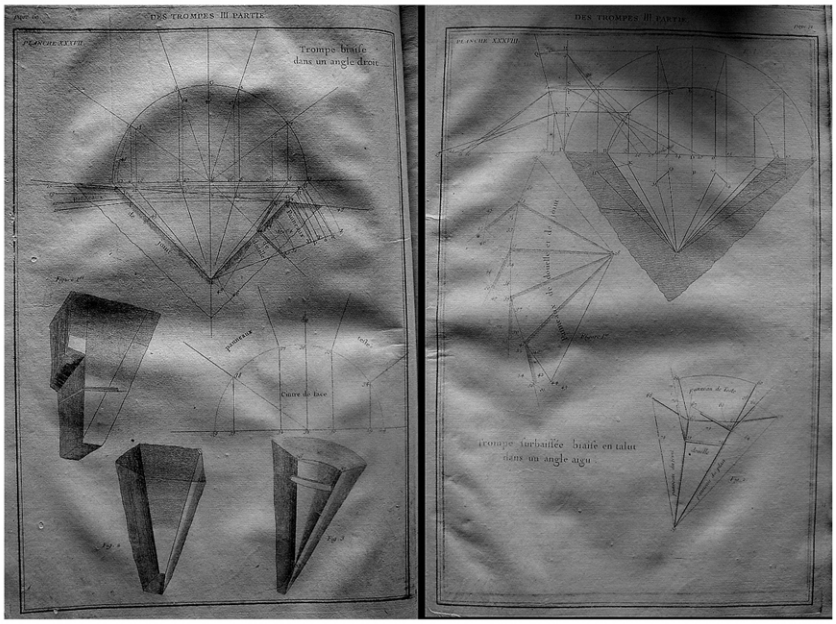
Fonti dell'elaborazione: **Rilievo fotografico in situ;**

Tipo di modellazione: **3D Solido/superficiale;**

Software utilizzati: **Rhinoceros, Photoshop 7.**

TROMPE BIAISE EN TALUS REMPANTE DANS UN ENCOIGNURE

TRAITE' DE LA COUPE DES PIERRES DE JEAN BAPTISTE DE LA RUE, PARIS 1728
DES TROMPES III PARTIE - PLANCHES XXXVII, XXXVIII



TROMPE BIAISE EN TALUS REMPANTE DANS UN ENCOIGNURE

PROJECT

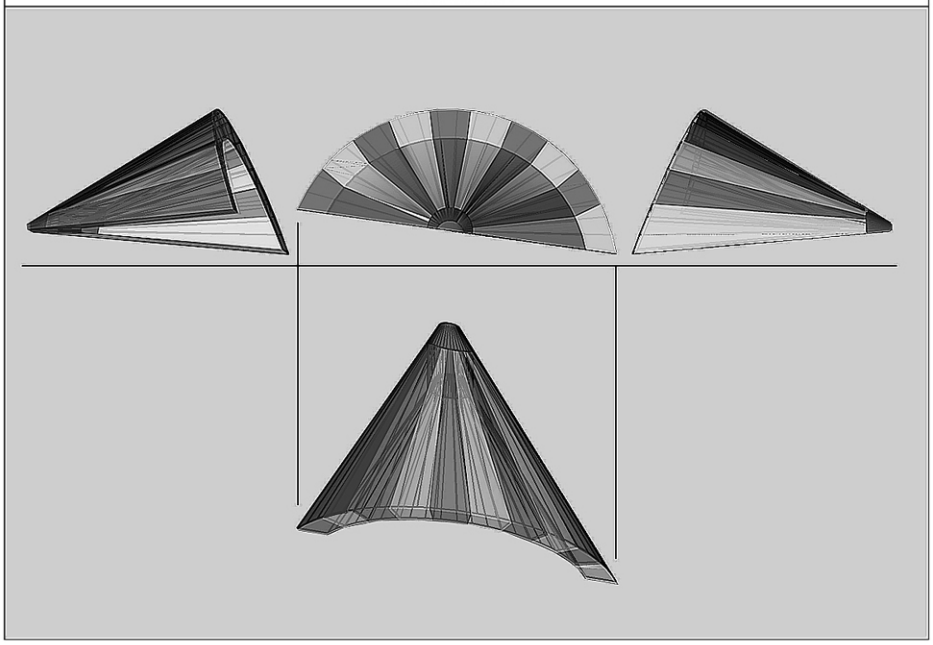


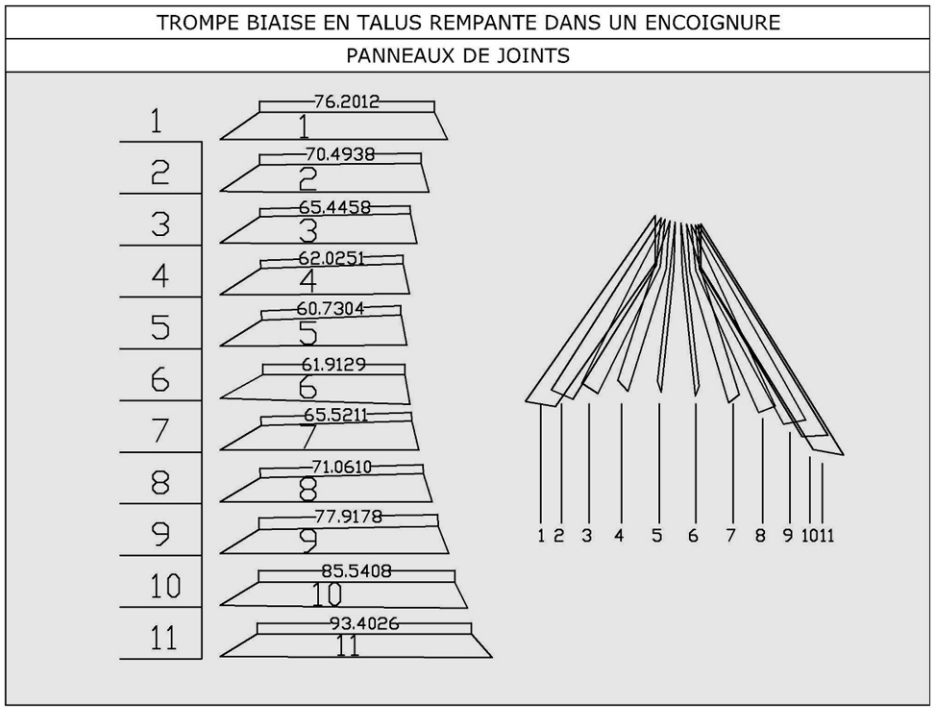
TAVOLA N° 156

Argomento della tavola: **Stage Trompe, Fondation Cubertin, Parigi: proiezioni ortogonali del modello;**

Fonti dell'elaborazione: **J. B. de La Rue, *Traité* cit. (cfr. bibliografia), pl. 37 -38 (rielaborazione progettuale);**

Tipo di modellazione: **3D Solido/superficiale;**

Software utilizzati: **Autocad 2004, Rhinoceros, Photoshop 7.**



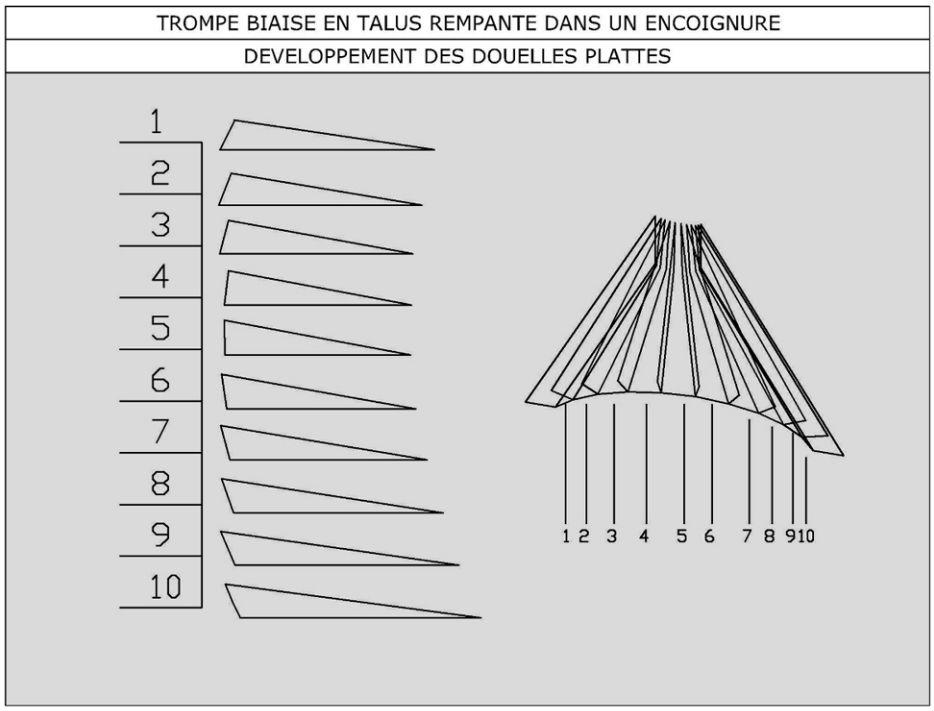


TAVOLA N° 157

Argomento della tavola: **Stage Trompe, Fondation Cubertin, Parigi: determinazione dei panneaux;**

Fonti dell'elaborazione: **J. B. de La Rue, *Traité* cit. (cfr. bibliografia), pl. 37 -38 (rielaborazione progettuale);**

Tipo di modellazione: **3D Solido/superficiale;**

Software utilizzati: **Autocad 2004, Rhinoceros, Photoshop 7**

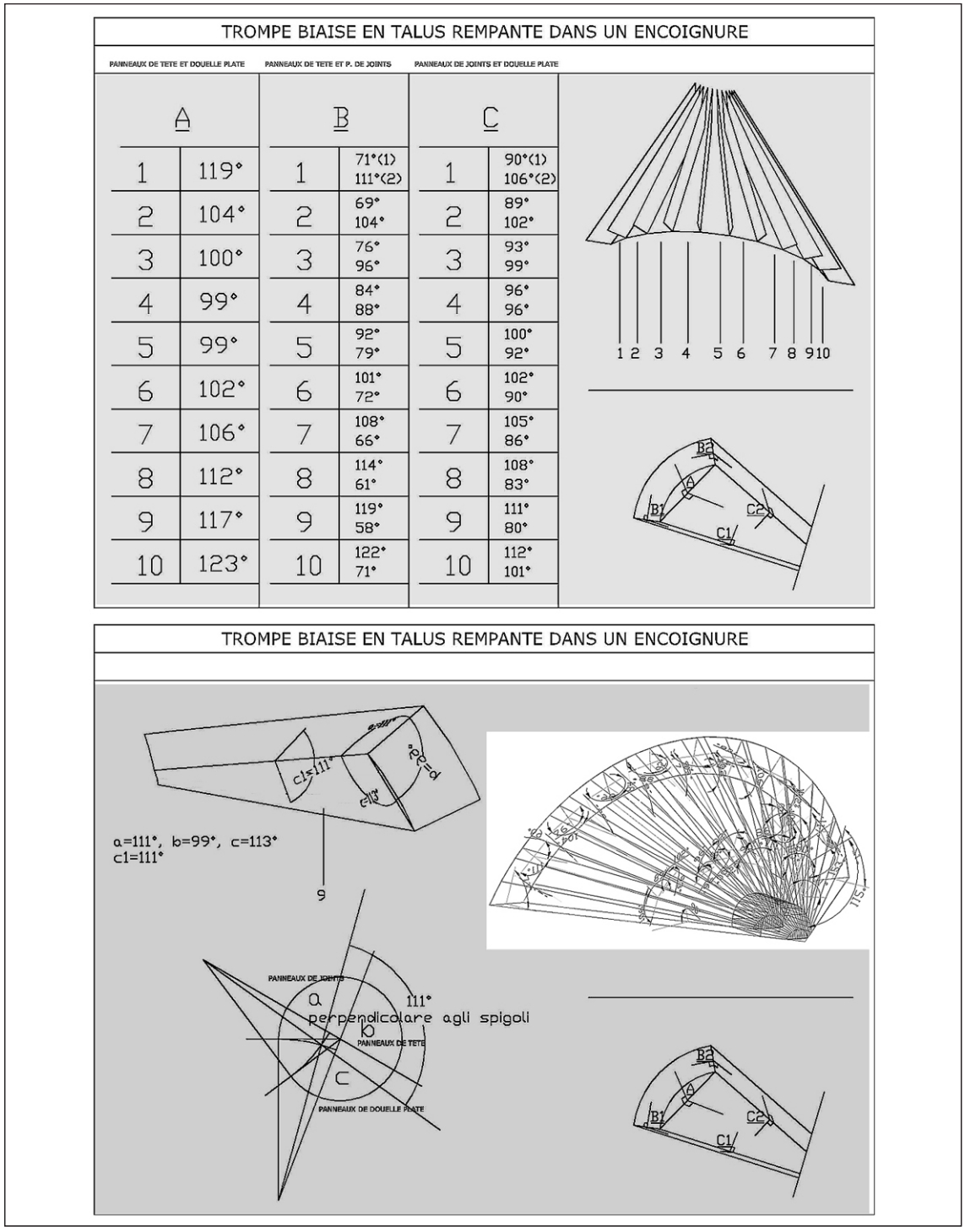


TAVOLA N° 158

Argomento della tavola: **Stage Trompe, Fondation Cubertin, Parigi: determinazione degli angoli perpendicolari agli spigoli dei conci;**

Fonti dell'elaborazione: **J. B. de La Rue, *Traité* cit. (cfr. bibliografia), pl. 37 -38 (rielaborazione progettuale);**

Tipo di modellazione: **3D Solido/superficiale;**

Software utilizzati: **Autocad 2004, Rhinoceros, Photoshop 7**

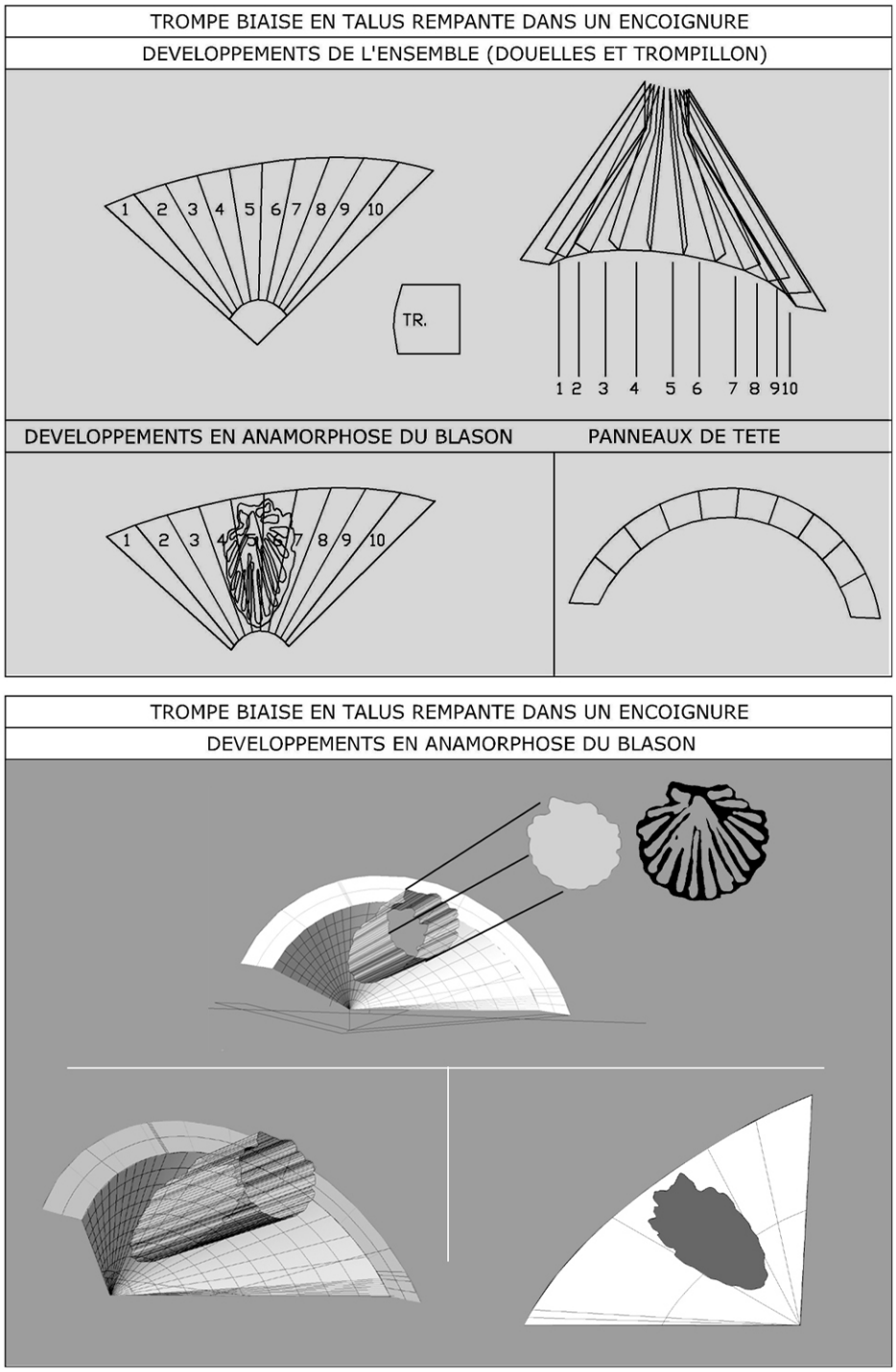


TAVOLA N° 159

Argomento della tavola: **Stage Trompe, Fondation Cubertin, Parigi: sviluppo della sup. di intradosso e anamorfosi dell'altorilievo della conchiglia di S. Jacquesi;**

Fonti dell'elaborazione: **J. B. de La Rue, *Traité* cit. (cfr. bibliografia), pl. 37 -38 (rielaborazione progettuale);**

Tipo di modellazione: **3D Solido/superficiale;**

Software utilizzati: **Autocad 2004, Rhinoceros, Photoshop 7**

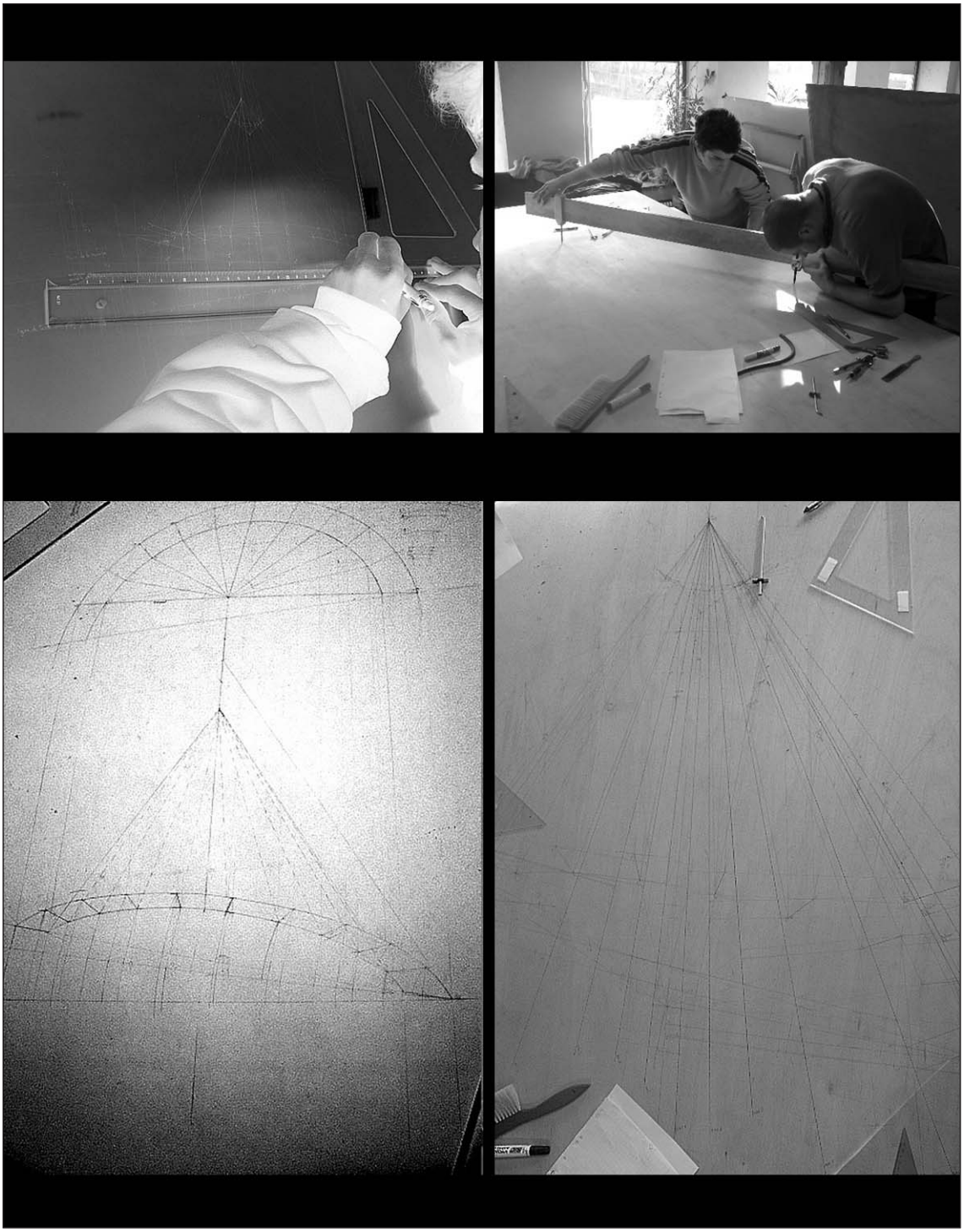


TAVOLA N° 160

Argomento della tavola: **Stage Trompe, Fondation Cubertin, Parigi: realizzazione dell'epure- tecnica tradizionale;**

Fonti dell'elaborazione: **J. B. de La Rue, *Traité* cit. (cfr. bibliografia), pl. 37 -38 (rielaborazione progettuale);**

Tipo di modellazione: **-**

Software utilizzati: **-**



TAVOLA N° 161

Argomento della tavola: **Stage Trompe, Fondation Cubertin, Parigi: taglio dei blocchi grezzi per la lavorazione;**

Fonti dell'elaborazione: **J. B. de La Rue, *Traité* cit. (cfr. bibliografia), pl. 37 -38 (rielaborazione progettuale);**

Tipo di modellazione: **-**

Software utilizzati: **-**

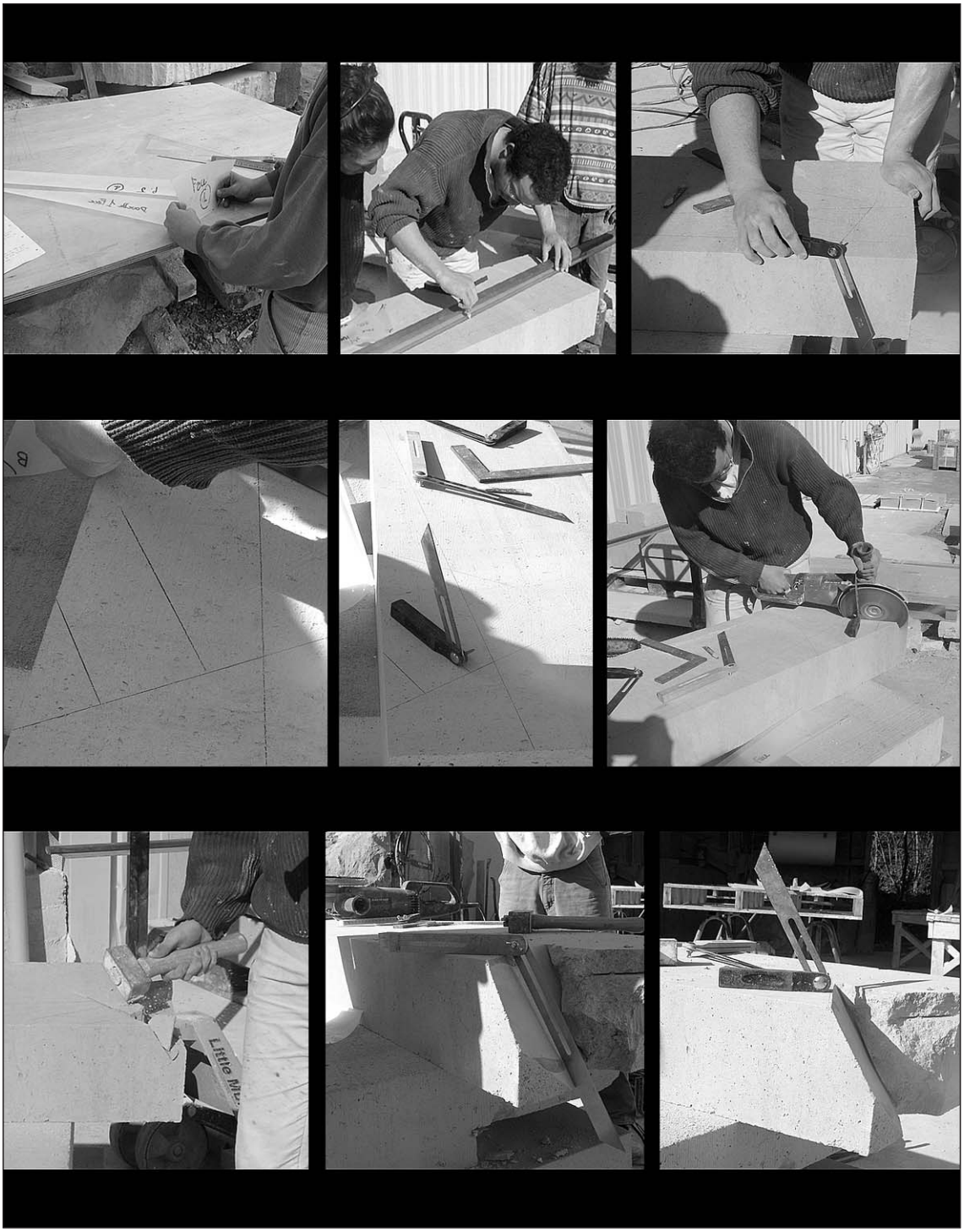


TAVOLA N° 162

Argomento della tavola: **Stage Trompe, Fondation Cubertin, Parigi: tecnica di taglio *a falso squadro* dei conci;**

Fonti dell'elaborazione: **J. B. de La Rue, *Traité* cit. (cfr. bibliografia), pl. 37 -38 (rielaborazione progettuale);**

Tipo di modellazione: **-**

Software utilizzati: **-**



TAVOLA N° 163

Argomento della tavola: **Stage Trompe, Fondation Cubertin, Parigi: controllo della geometria del concio per mezzo dei panneaux;**

Fonti dell'elaborazione: **J. B. de La Rue, *Traité* cit. (cfr. bibliografia), pl. 37 -38 (rielaborazione progettuale);**

Tipo di modellazione: **-**

Software utilizzati: **-**



TAVOLA N° 164

Argomento della tavola: **Stage Trompe, Fondation Cubertin, Parigi: realizzazione del trompillon;**

Fonti dell'elaborazione: **J. B. de La Rue, *Traité* cit. (cfr. bibliografia), pl. 37 -38 (rielaborazione progettuale);**

Tipo di modellazione: **-**

Software utilizzati: **-**



TAVOLA N° 165

Argomento della tavola: **Stage Trompe, Fondation Cubertin, Parigi: realizzazione dell'anamorfosi in altorilievo;**

Fonti dell'elaborazione: **J. B. de La Rue, *Traité* cit. (cfr. bibliografia), pl. 37 -38 (rielaborazione progettuale);**

Tipo di modellazione: **-**

Software utilizzati: **-**

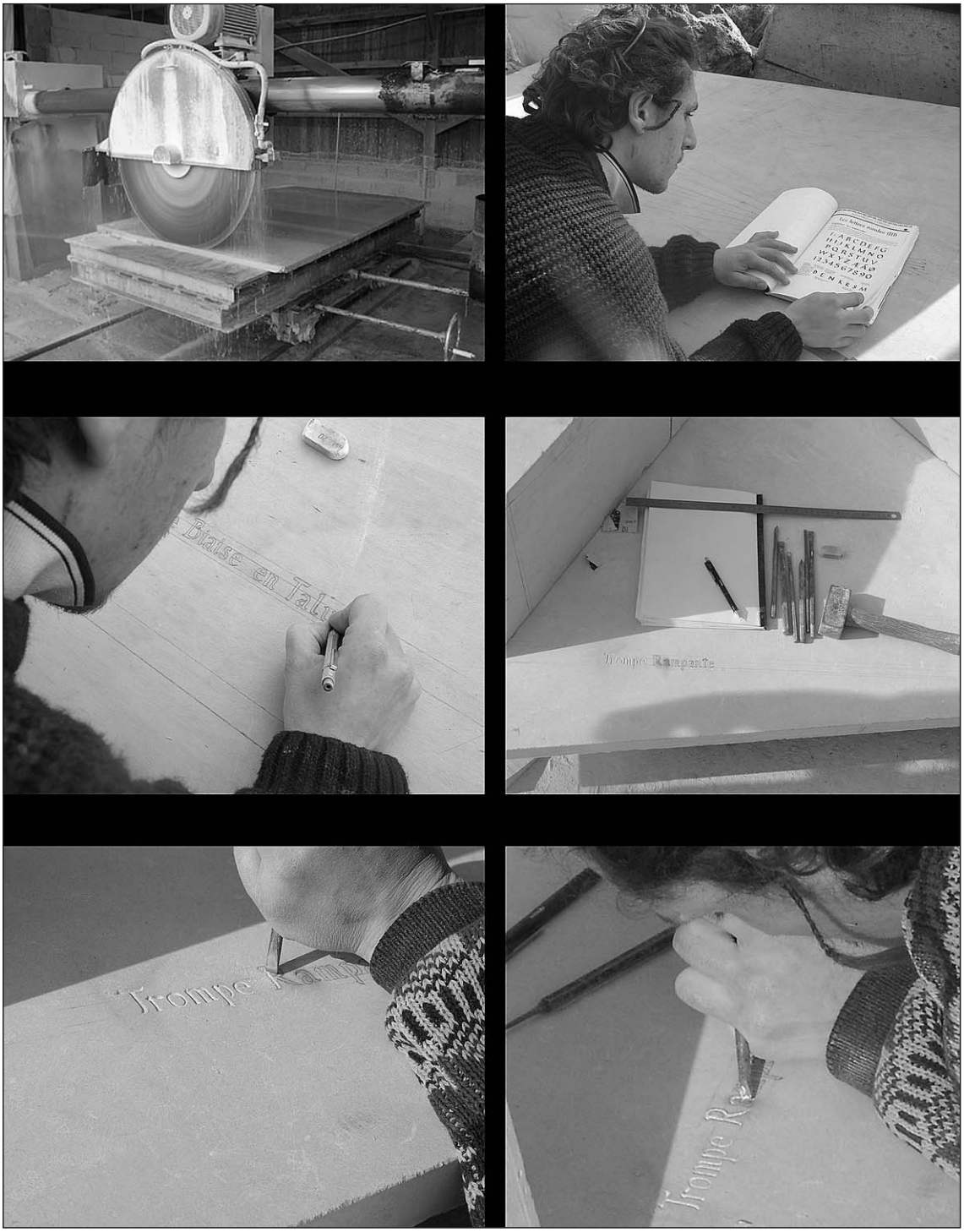


TAVOLA N° 166

Argomento della tavola: **Stage Trompe, Fondation Cubertin, Parigi: realizzazione dell'incisione sulla base del prototipo;**

Fonti dell'elaborazione: **J. B. de La Rue, *Traité* cit. (cfr. bibliografia), pl. 37 -38 (rielaborazione progettuale);**

Tipo di modellazione: **-**

Software utilizzati: **-**

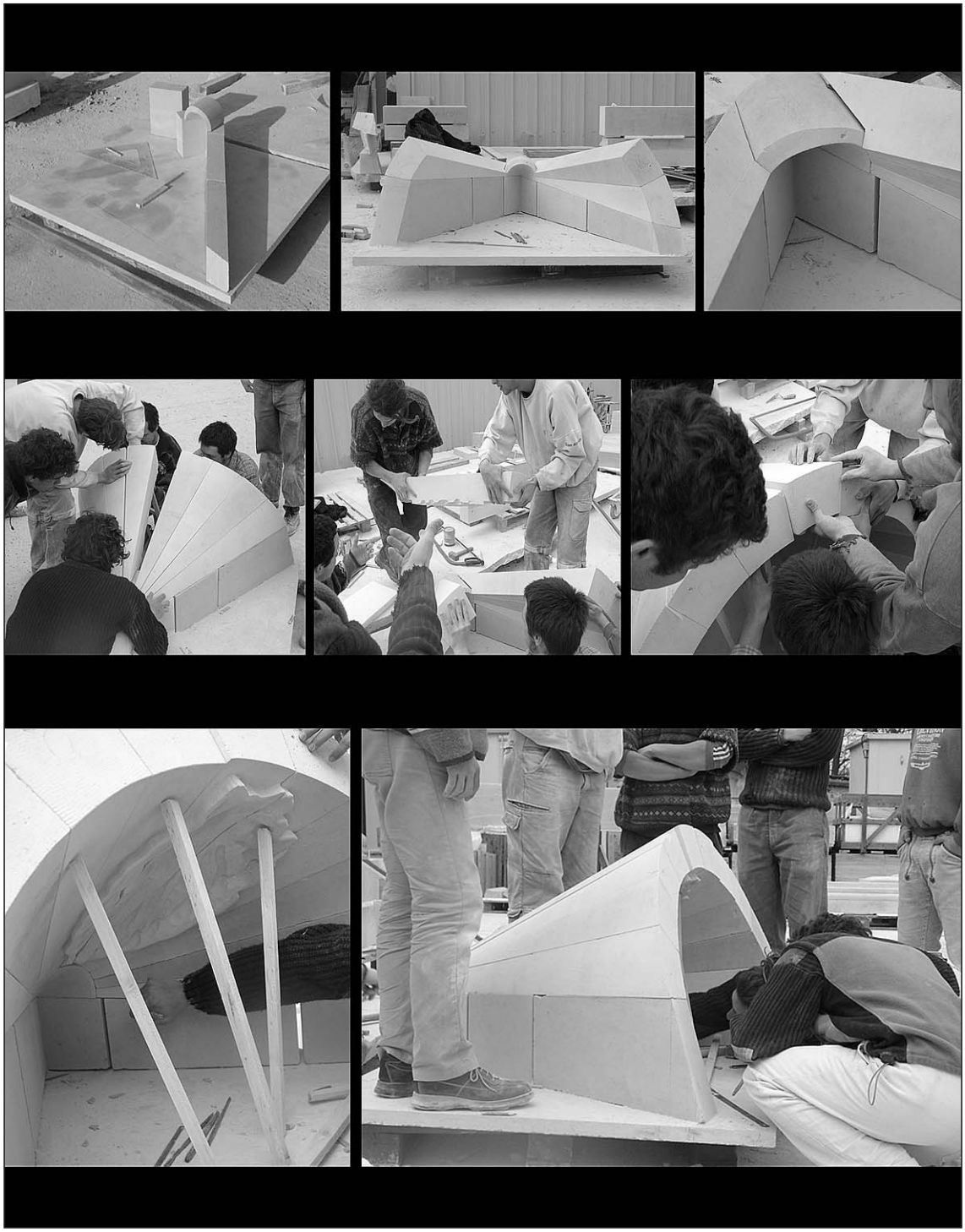


TAVOLA N° 167

Argomento della tavola: **Stage Trompe, Fondation Cubertin, Parigi: montaggio dei conci del prototipo;**

Fonti dell'elaborazione: **J. B. de La Rue, *Traité* cit. (cfr. bibliografia), pl. 37 -38 (rielaborazione progettuale);**

Tipo di modellazione: **-**

Software utilizzati: **-**

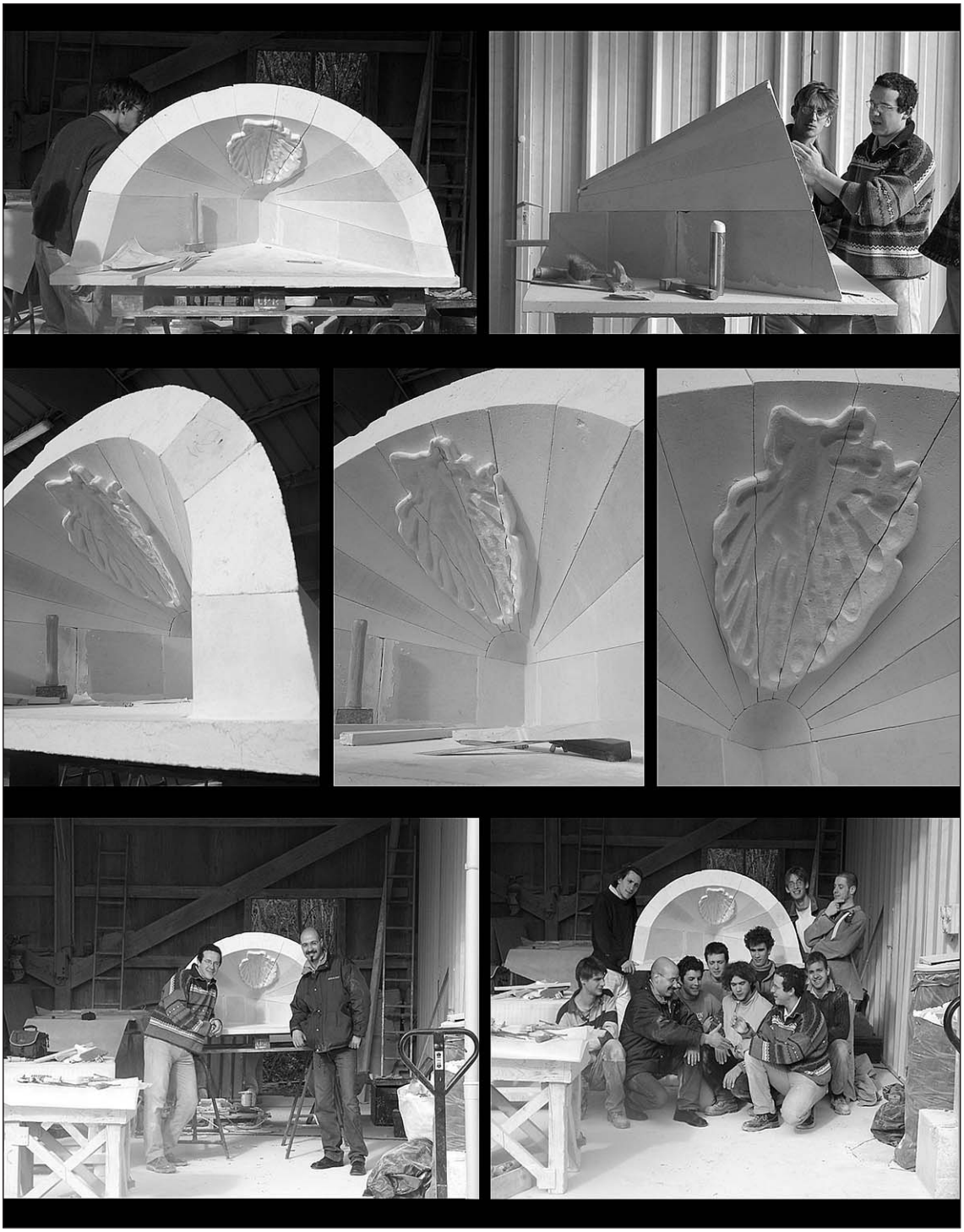


TAVOLA N° 168

Argomento della tavola: **Stage Trompe, Fondation Cubertin, Parigi: il prototipo, viste;**

Fonti dell'elaborazione: **J. B. de La Rue, *Traité* cit. (cfr. bibliografia), pl. 37 -38 (rielaborazione progettuale);**

Tipo di modellazione: **-**

Software utilizzati: **-**

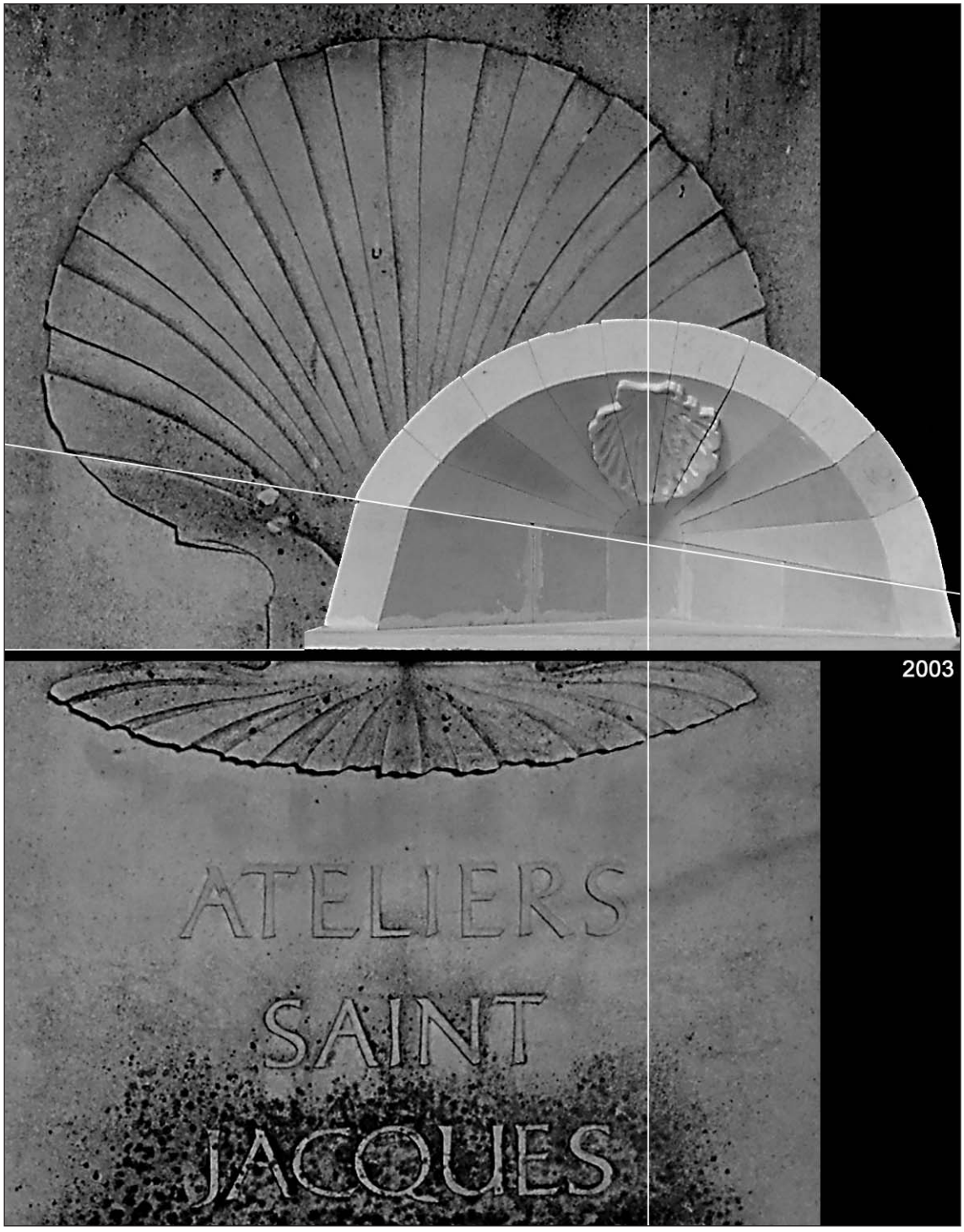


TAVOLA N° 169

Argomento della tavola: **Stage Trompe, Fondation Cubertin, Parigi: il prototipo;**

Fonti dell'elaborazione: **J. B. de La Rue, *Traité* cit. (cfr. bibliografia), pl. 37 -38 (rielaborazione progettuale);**

Tipo di modellazione: **-**

Software utilizzati: **-**

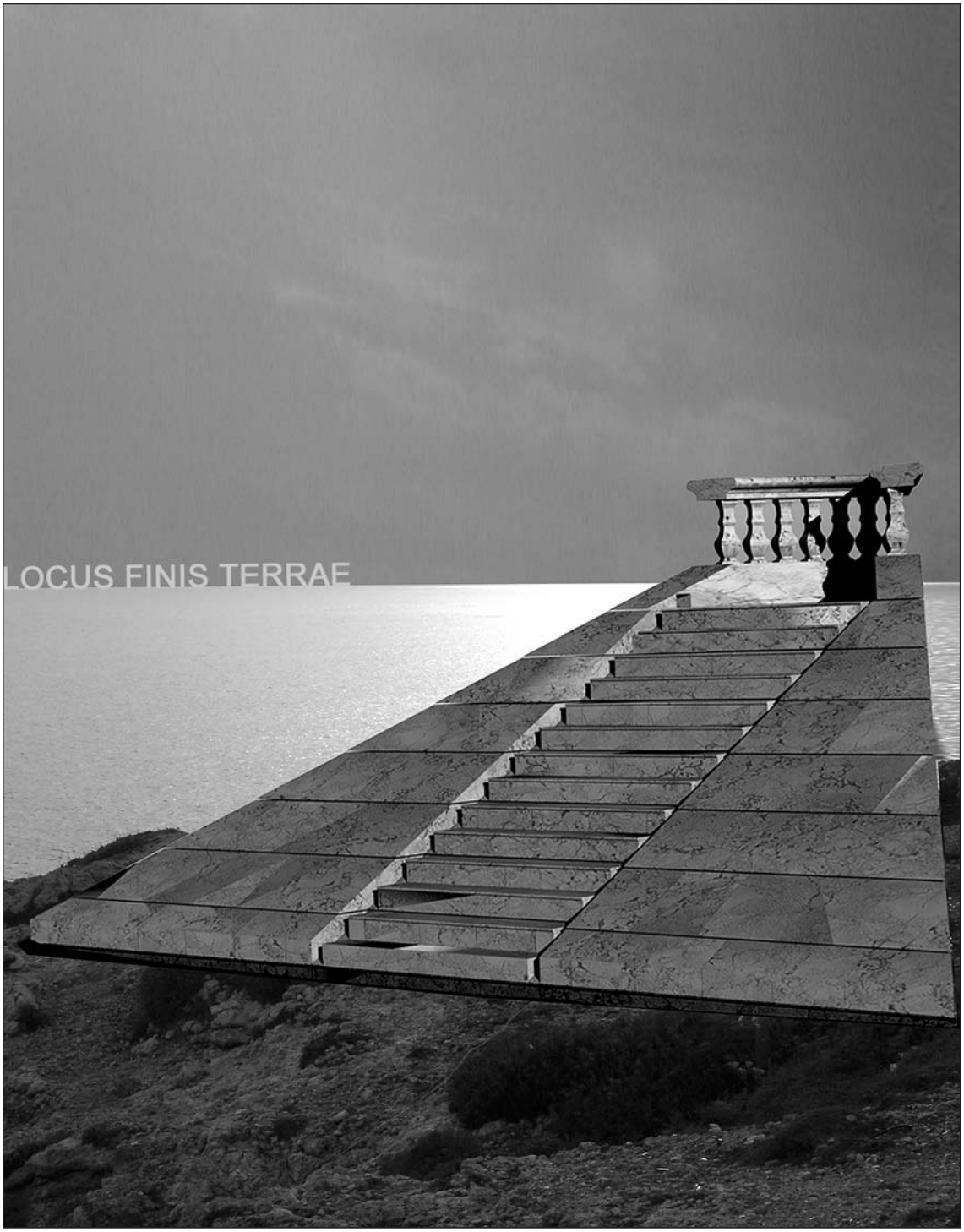


TAVOLA N° 170

Argomento della tavola: **Locus Finis Terrae, progetto in località Punta Ristola, S. Maria di Leuca (Lecce): restituzione prospettica del belvedere - fronte scala;**

Fonti dell'elaborazione: **Progetto;**

Tipo di modellazione: **3D Solida;**

Software utilizzati: **Autocad 2004, 3D Studio Max5, Photoshop 7.**

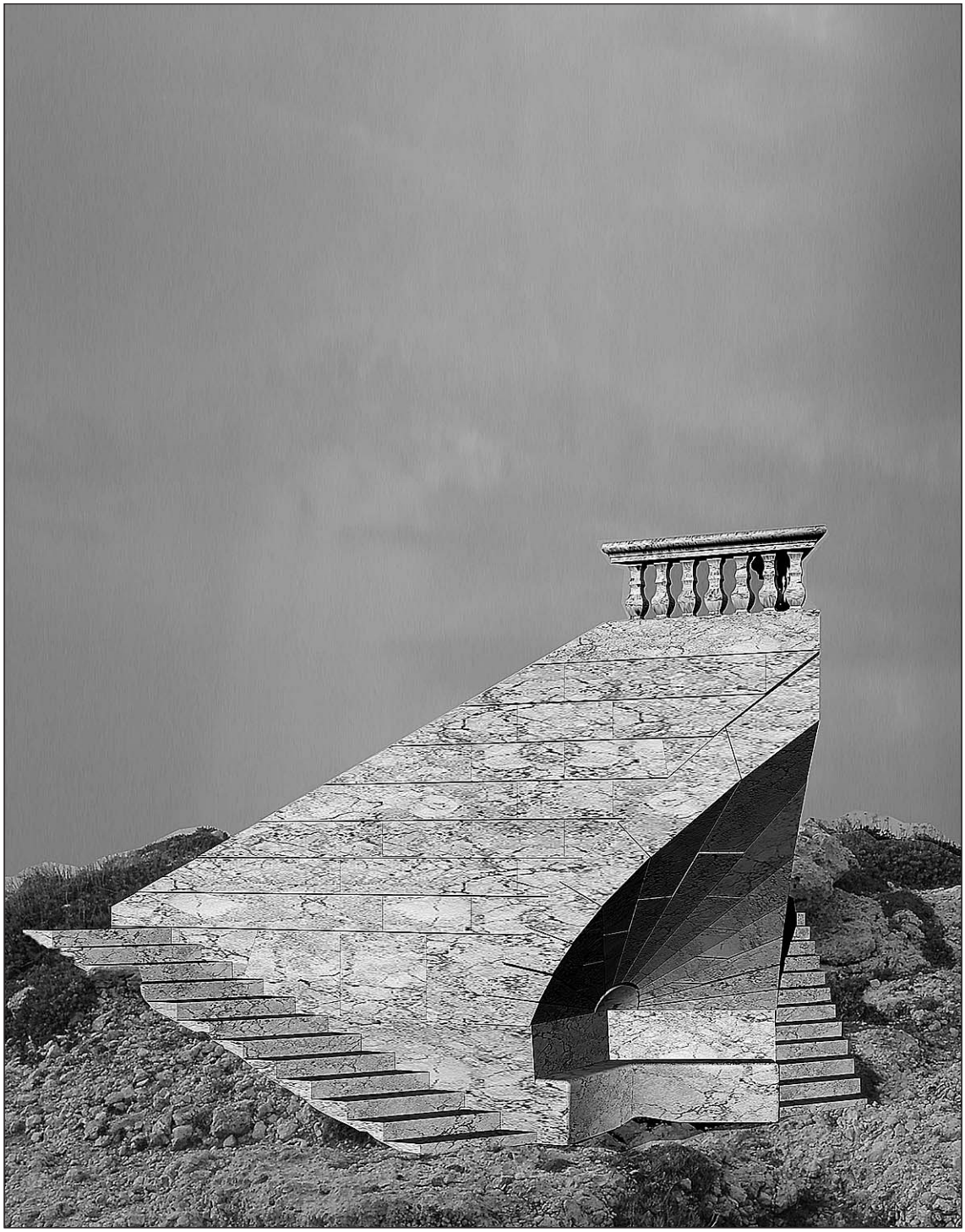


TAVOLA N° 171

Argomento della tavola:	**Locus Finis Terrae, progetto in località Punta Ristola, S. Maria di Leuca (Lecce): restituzione prospettica del belvedere - fronte trompe;**
Fonti dell'elaborazione:	**Progetto;**
Tipo di modellazione:	**3D Solida;**
Software utilizzati:	**Autocad 2004, 3D Studio Max5, Photoshop 7.**

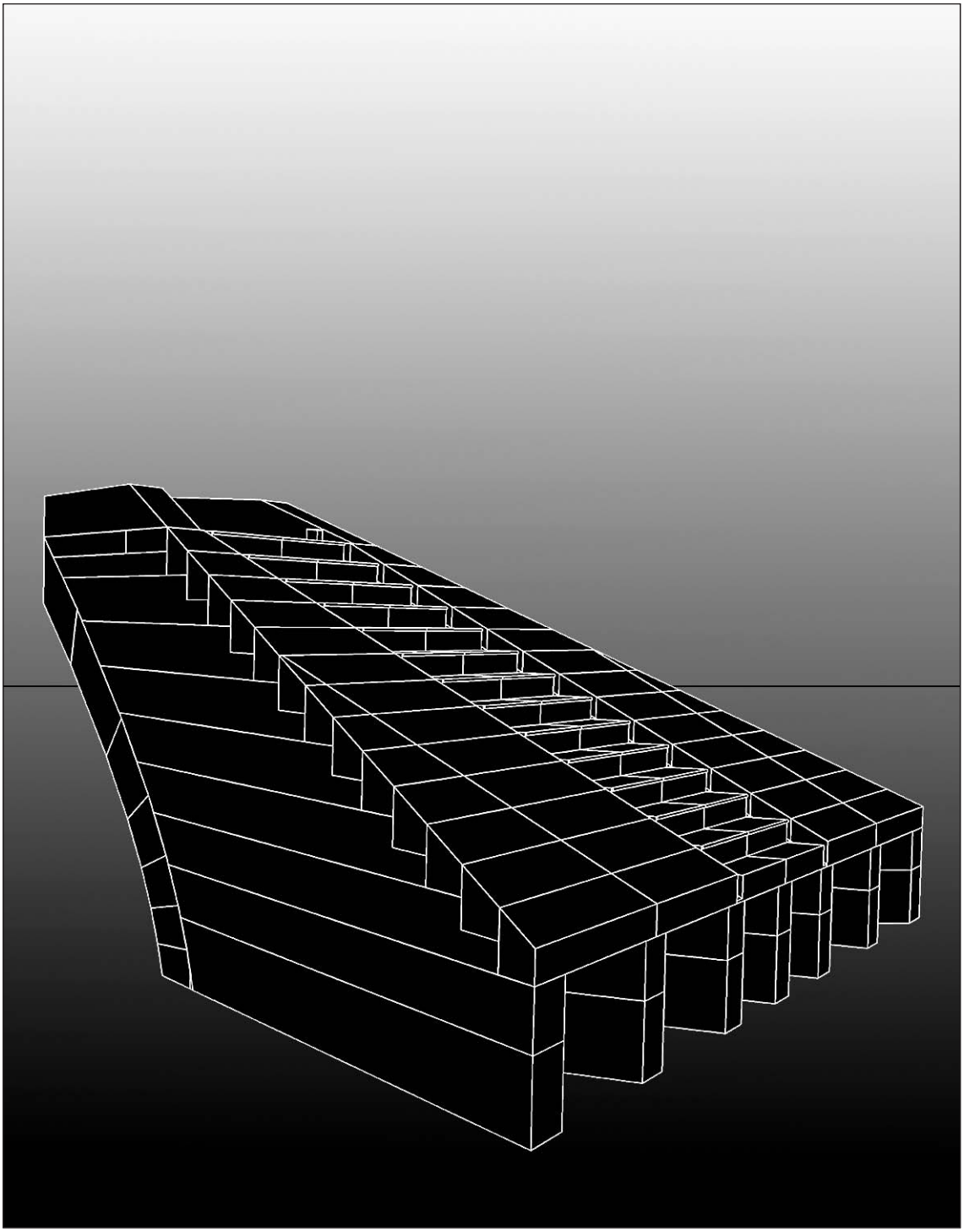


TAVOLA N° 172

Argomento della tavola: **Locus Finis Terrae, progetto in località Punta Ristola, S. Maria di Leuca (Lecce): razionalizza zione della struttura lapidea;**

Fonti dell'elaborazione: **Progetto;**

Tipo di modellazione: **3D Solida;**

Software utilizzati: **Autocad 2004, 3D Studio Max5, Photoshop 7.**

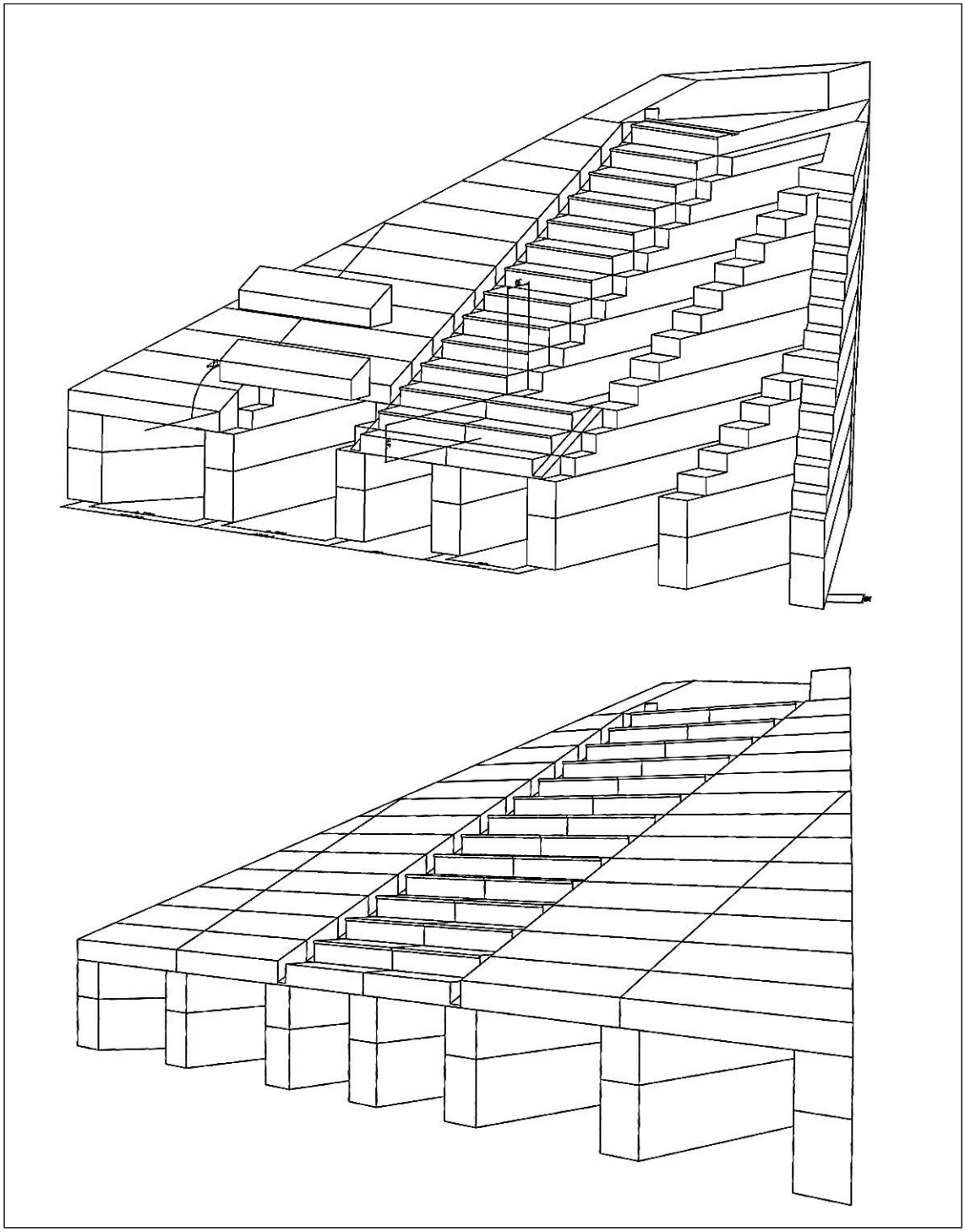


TAVOLA N° 173

Argomento della tavola: **Locus Finis Terrae, progetto in località Punta Ristola, S. Maria di Leuca (Lecce): razionalizza zione della struttura lapidea - conci fronte scala;**

Fonti dell'elaborazione: **Progetto;**

Tipo di modellazione: **3D Solida;**

Software utilizzati: **Autocad 2004, 3D Studio Max5, Photoshop 7.**

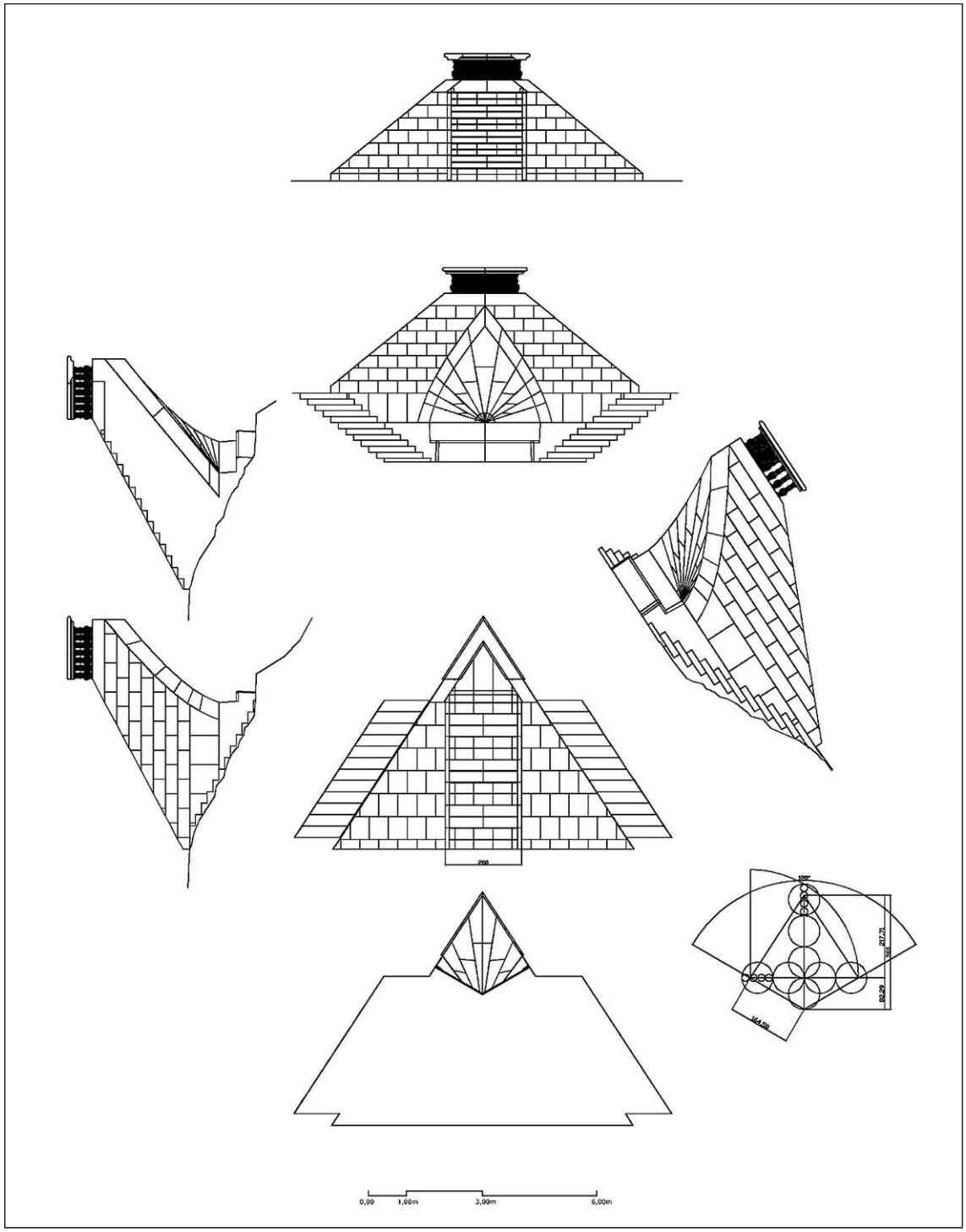


TAVOLA N° 174

Argomento della tavola: **Locus Finis Terrae, progetto in località Punta Ristola, S. Maria di Leuca (Lecce): proiezioni ortogonali del belvedere;**

Fonti dell'elaborazione: **Progetto;**

Tipo di modellazione: **3D Solida;**

Software utilizzati: **Autocad 2004, 3D Studio Max5, Photoshop 7.**

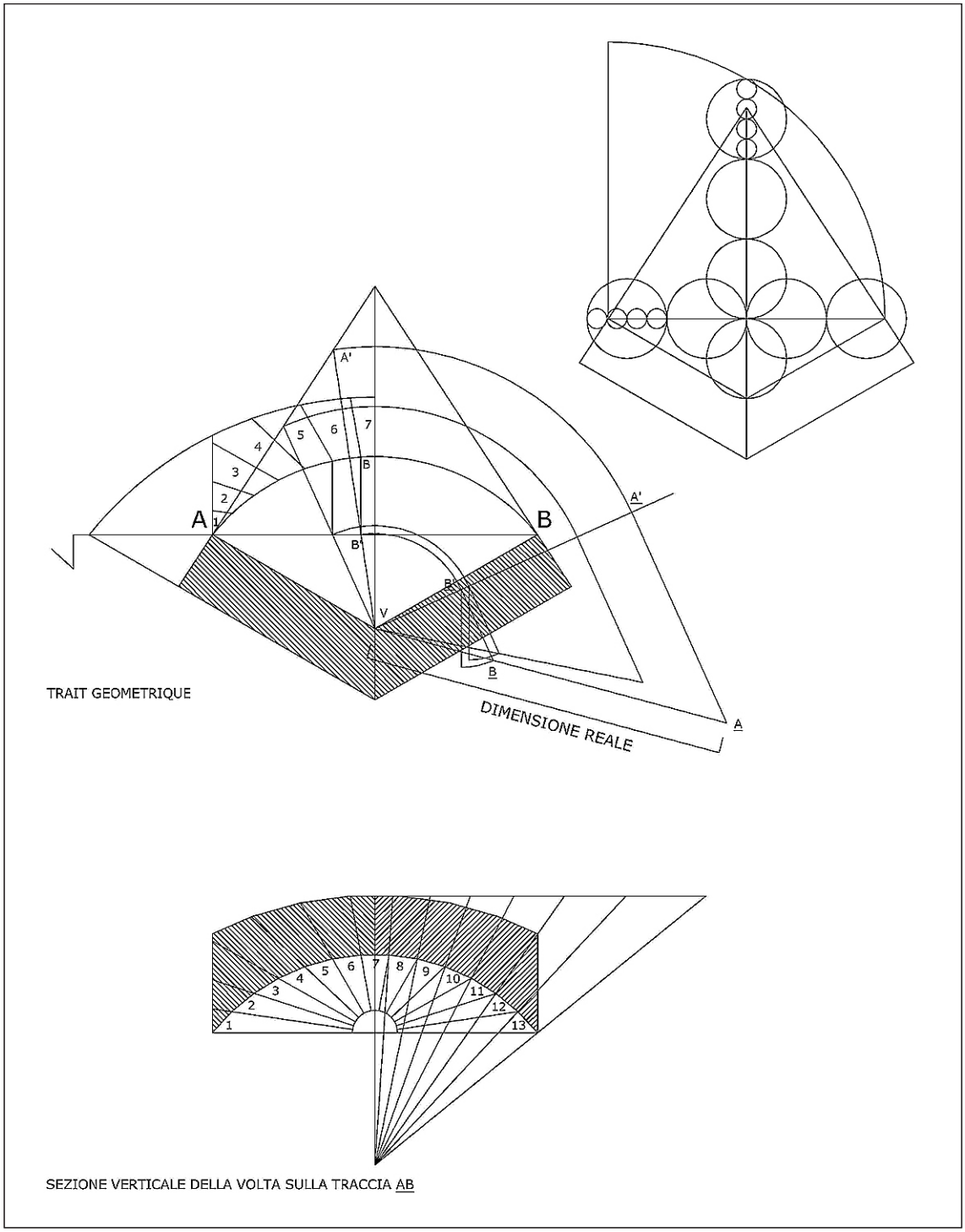


TAVOLA N° 175

Argomento della tavola: **Locus Finis Terrae, progetto in località Punta Ristola, S. Maria di Leuca (Lecce): apparecchia tura della trompe - trait géométrique;**

Fonti dell'elaborazione: **Progetto;**

Tipo di modellazione: **3D Solida;**

Software utilizzati: **Autocad 2004, 3D Studio Max5, Photoshop 7.**

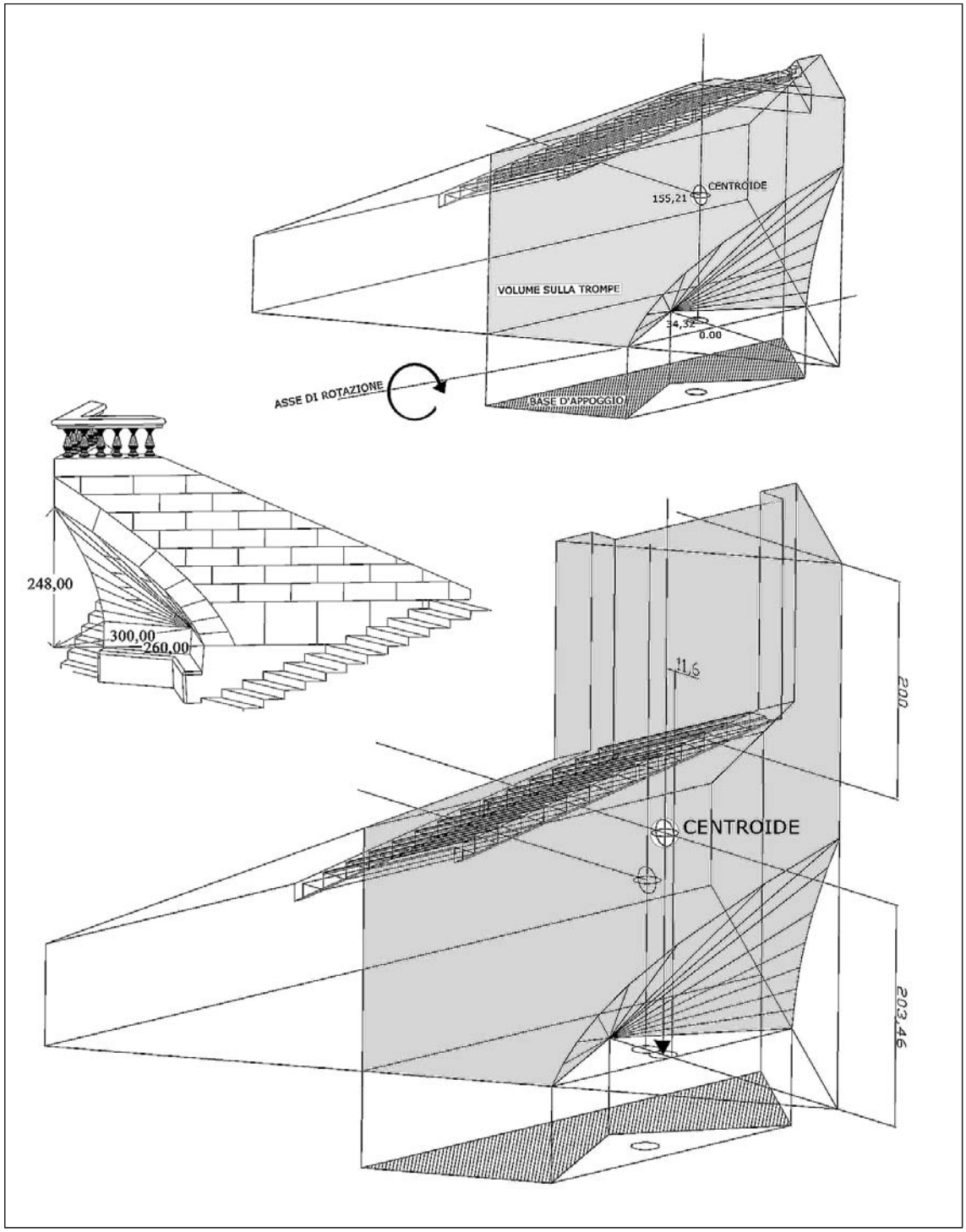


TAVOLA N° 176

Argomento della tavola: **Locus Finis Terrae, progetto in località Punta Ristola, S. Maria di Leuca (Lecce): verifica globa le dell'equilibrio meccanico delle masse;**

Fonti dell'elaborazione: **Progetto;**

Tipo di modellazione: **3D Solida;**

Software utilizzati: **Autocad 2004, 3D Studio Max5, Photoshop 7.**

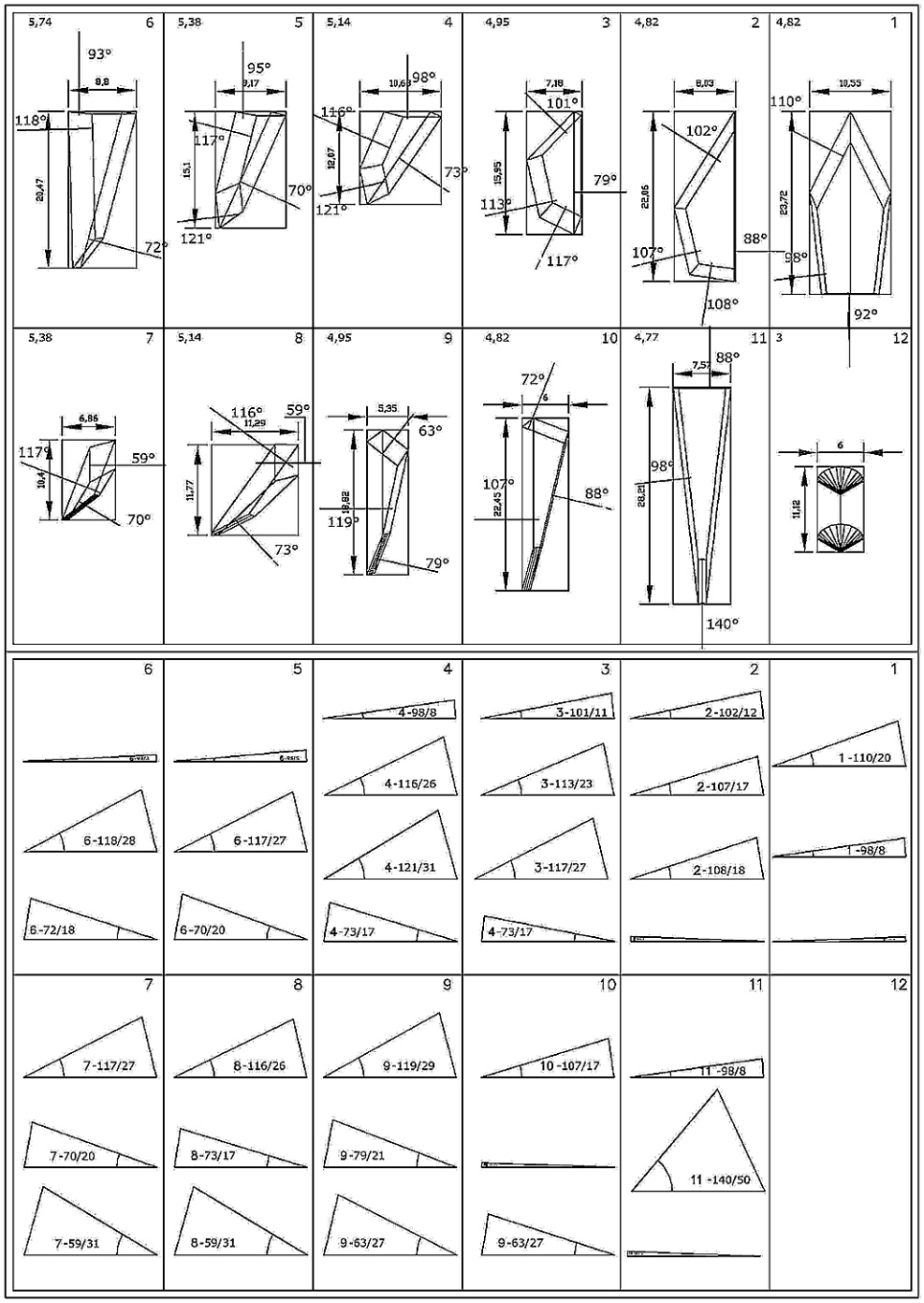


TAVOLA N° 177

Argomento della tavola: **Locus Finis Terrae, progetto in località Punta Ristola, S. Maria di Leuca (Lecce): calcolo degli angoli perpendicolari agli spigoli dei conci della volta e dei panneaux;**

Fonti dell'elaborazione: **Progetto;**

Tipo di modellazione: **3D Solida;**

Software utilizzati: **Autocad 2004, 3D Studio Max5, Photoshop 7.**

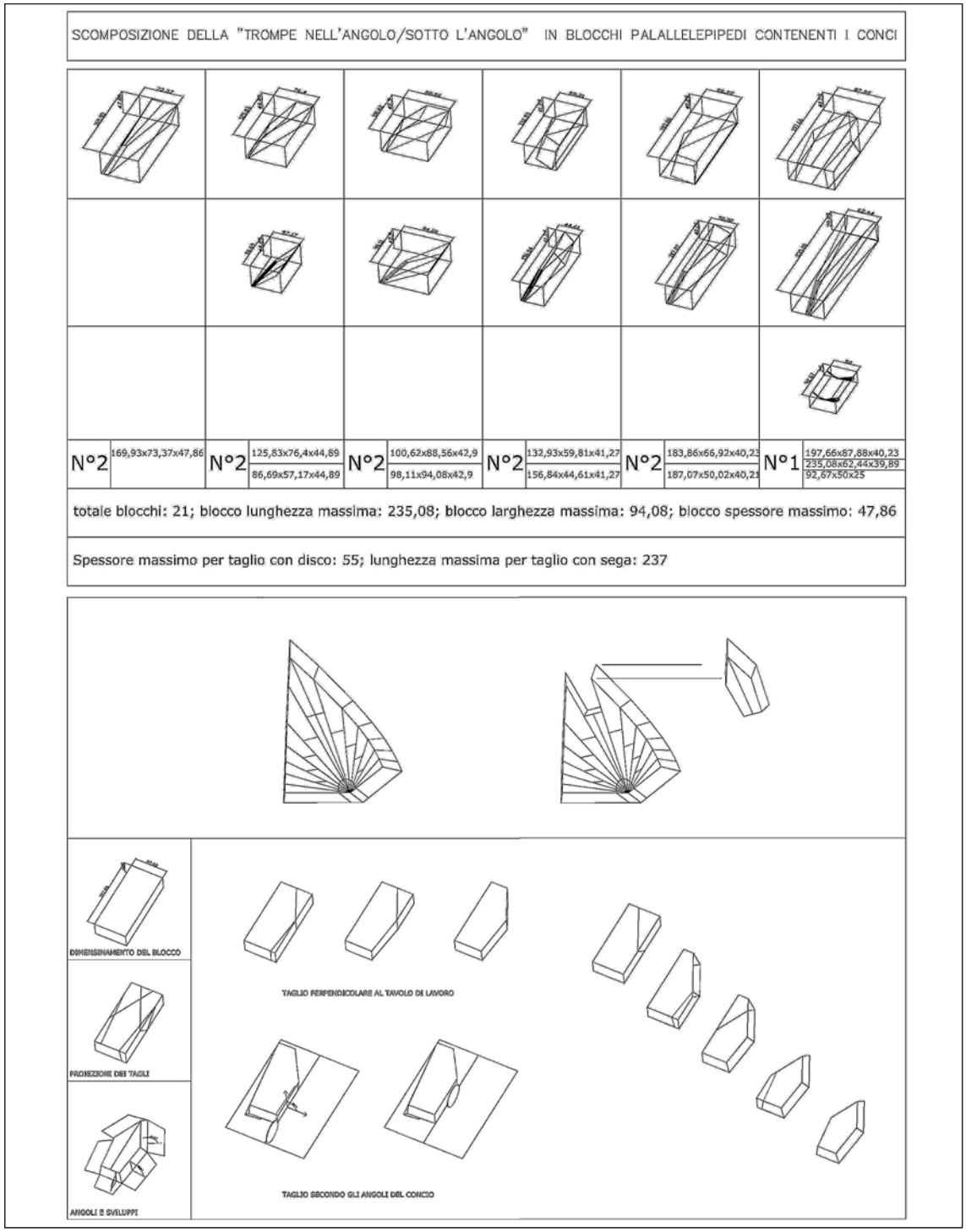


TAVOLA N° 178

Argomento della tavola: **Locus Finis Terrae, progetto in località Punta Ristola, S. Maria di Leuca (Lecce): calcolo degli ingombri dei blocchi parallelepipedi circoscritti ai conci della volta;**

Fonti dell'elaborazione: **Progetto;**

Tipo di modellazione: **3D Solida;**

Software utilizzati: **Autocad 2004, 3D Studio Max5, Photoshop 7.**

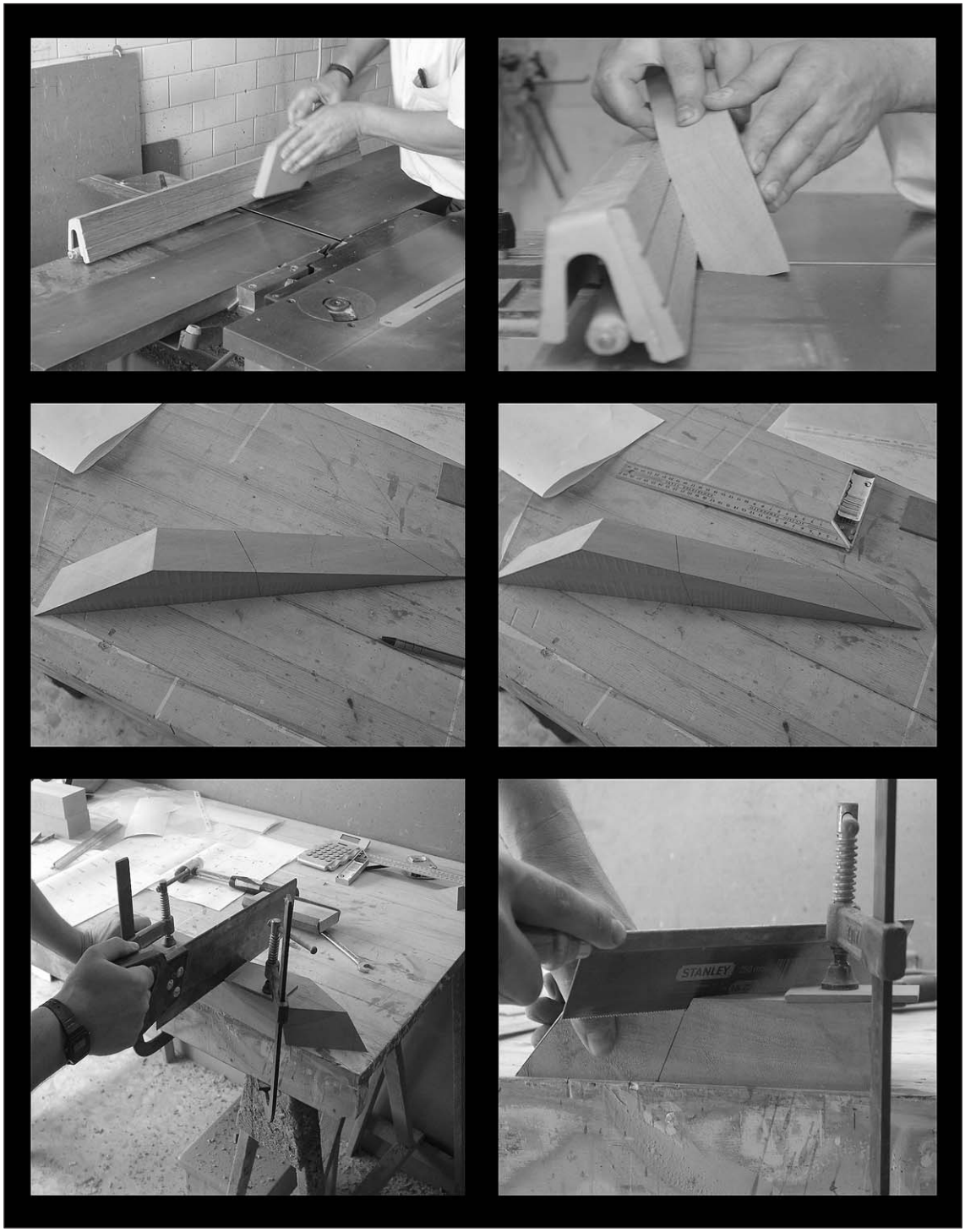


TAVOLA N° 179

Argomento della tavola: **Locus Finis Terrae, progetto in località Punta Ristola, S. Maria di Leuca (Lecce): costruzione del modello ligneo della volta;**

Fonti dell'elaborazione: **Progetto;**

Tipo di modellazione: **3D Solida;**

Software utilizzati: **Autocad 2004, 3D Studio Max5, Photoshop 7.**

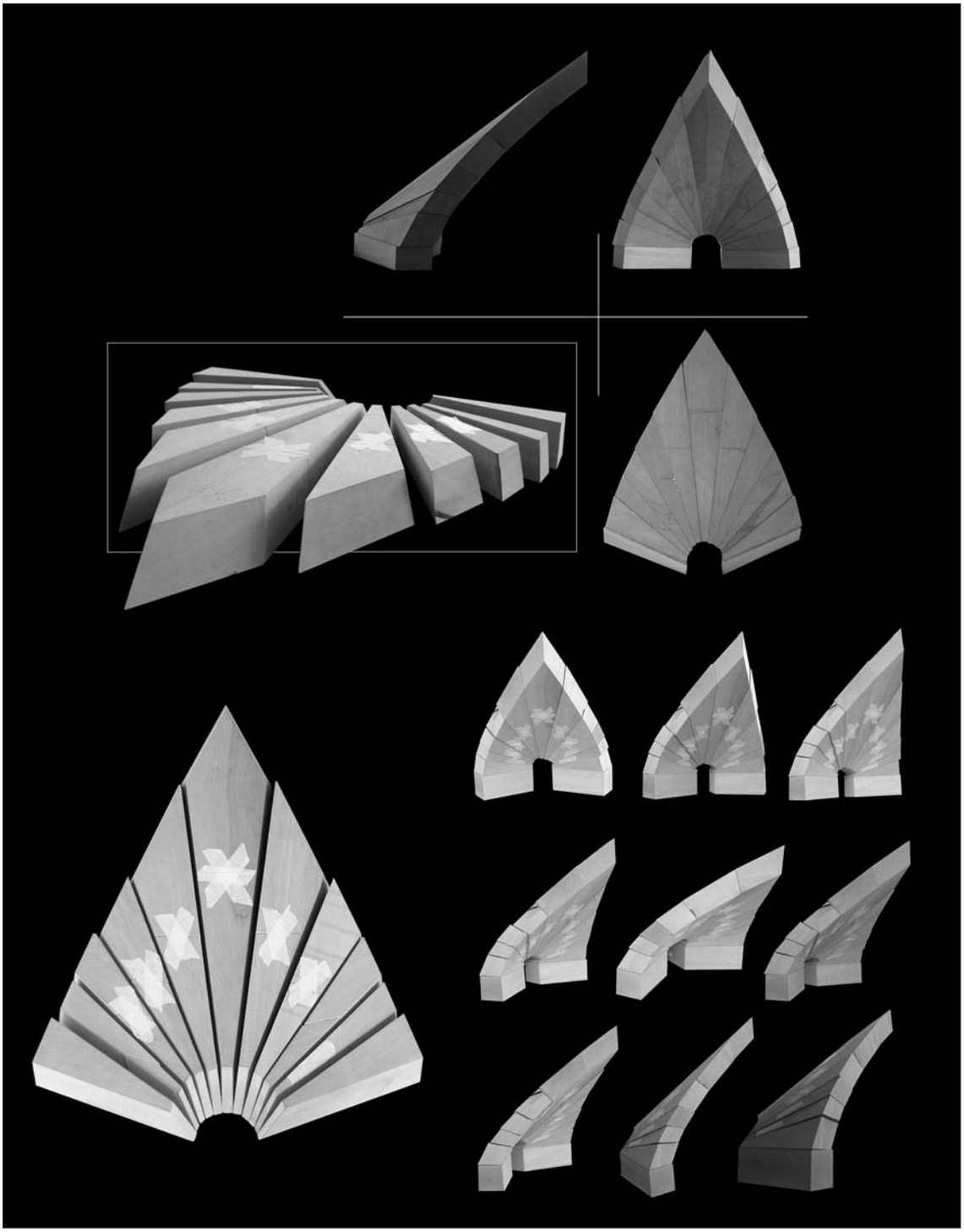


TAVOLA N° 180

Argomento della tavola: **Locus Finis Terrae, progetto in località Punta Ristola, S. Maria di Leuca (Lecce): costruzione del modello ligneo della volta - apparecchiatura;**

Fonti dell'elaborazione: **Progetto;**

Tipo di modellazione: **3D Solida;**

Software utilizzati: **Autocad 2004, 3D Studio Max5, Photoshop 7.**

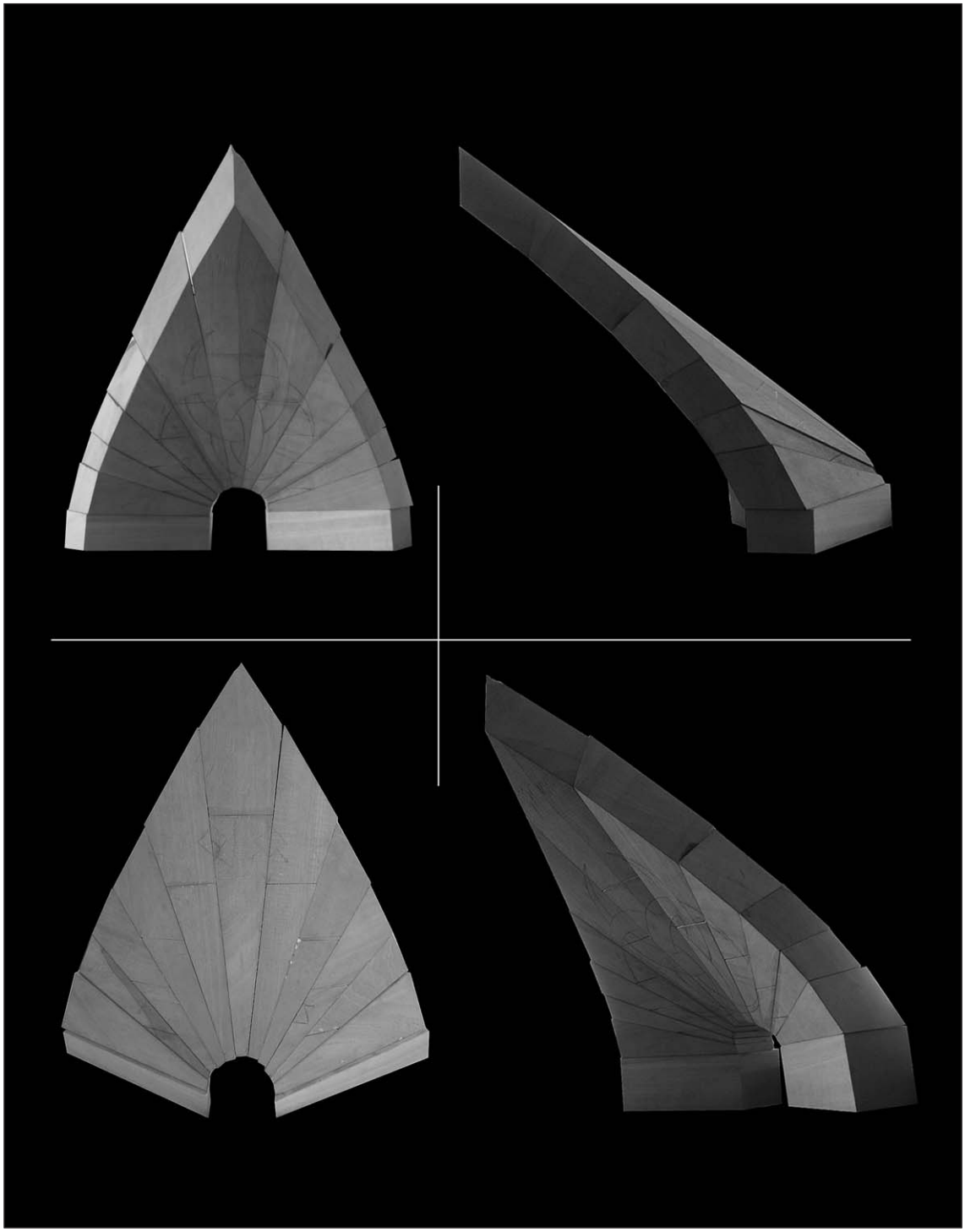


TAVOLA N° 181

Argomento della tavola:	**Locus Finis Terrae, progetto in località Punta Ristola, S. Maria di Leuca (Lecce): costruzione del modello ligneo della volta - proiezioni ortog.;**
Fonti dell'elaborazione:	**Progetto;**
Tipo di modellazione:	**3D Solida;**
Software utilizzati:	**Autocad 2004, 3D Studio Max5, Photoshop 7.**

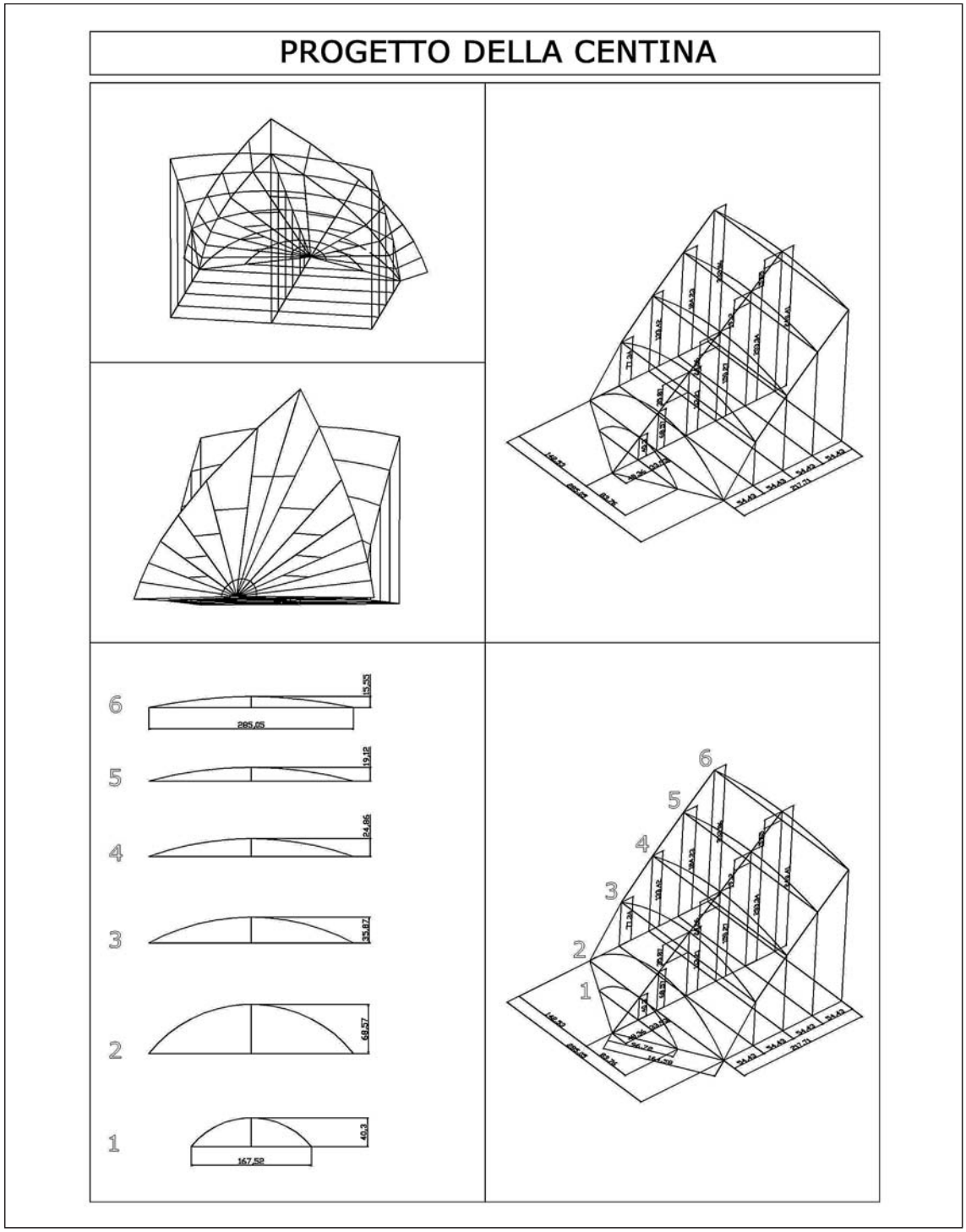


TAVOLA N° 182

Argomento della tavola: **Locus Finis Terrae, progetto in località Punta Ristola, S. Maria di Leuca (Lecce): progetto della centina per il montaggio della volta;**

Fonti dell'elaborazione: **Progetto;**

Tipo di modellazione: **3D Solida;**

Software utilizzati: **Autocad 2004, 3D Studio Max5, Photoshop 7.**

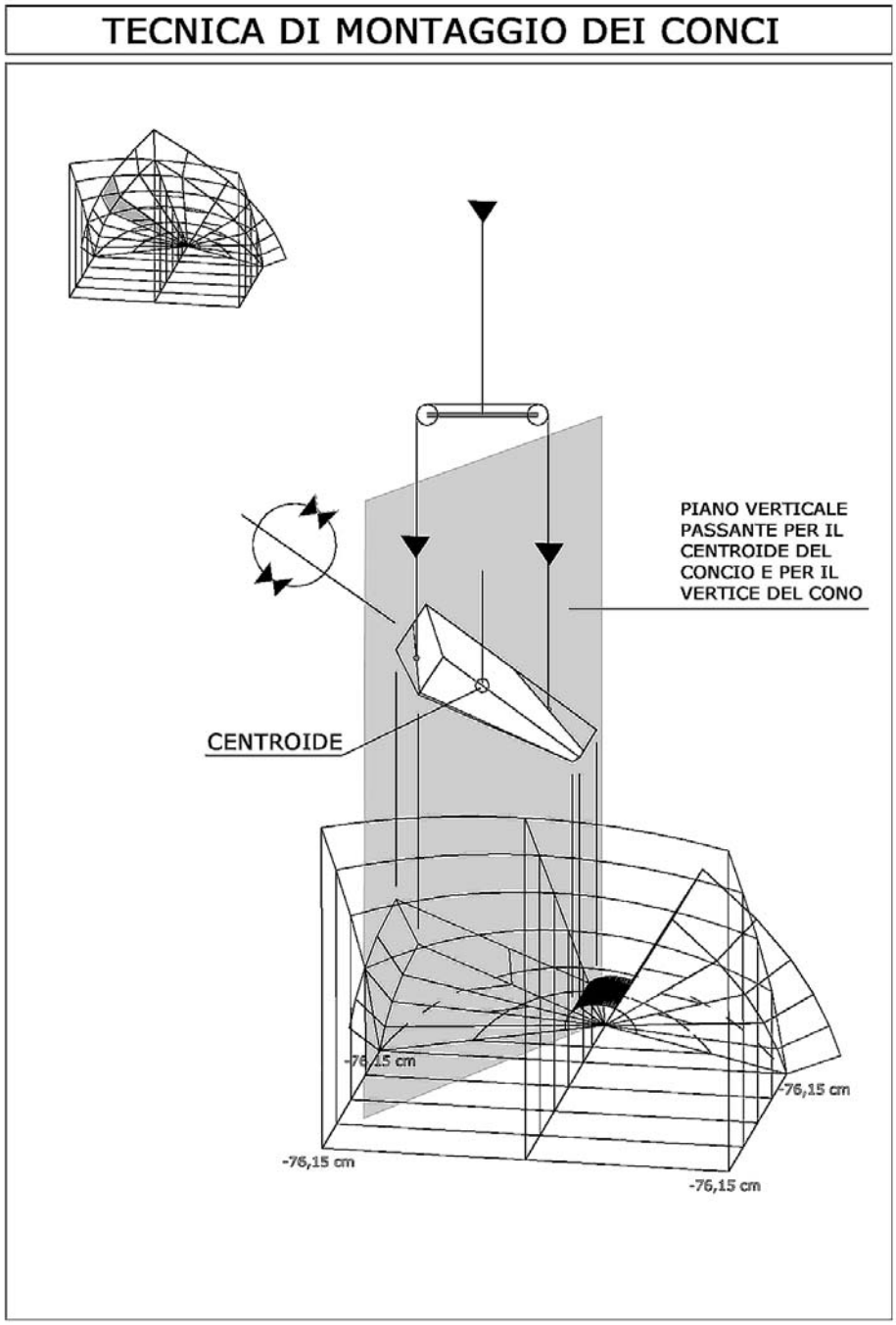


TAVOLA N° 183

Argomento della tavola: **Locus Finis Terrae, progetto in località Punta Ristola, S. Maria di Leuca (Lecce): fasi di mon taggio della volta;**

Fonti dell'elaborazione: **Progetto;**

Tipo di modellazione: **3D Solida;**

Software utilizzati: **Autocad 2004, 3D Studio Max5, Photoshop 7.**

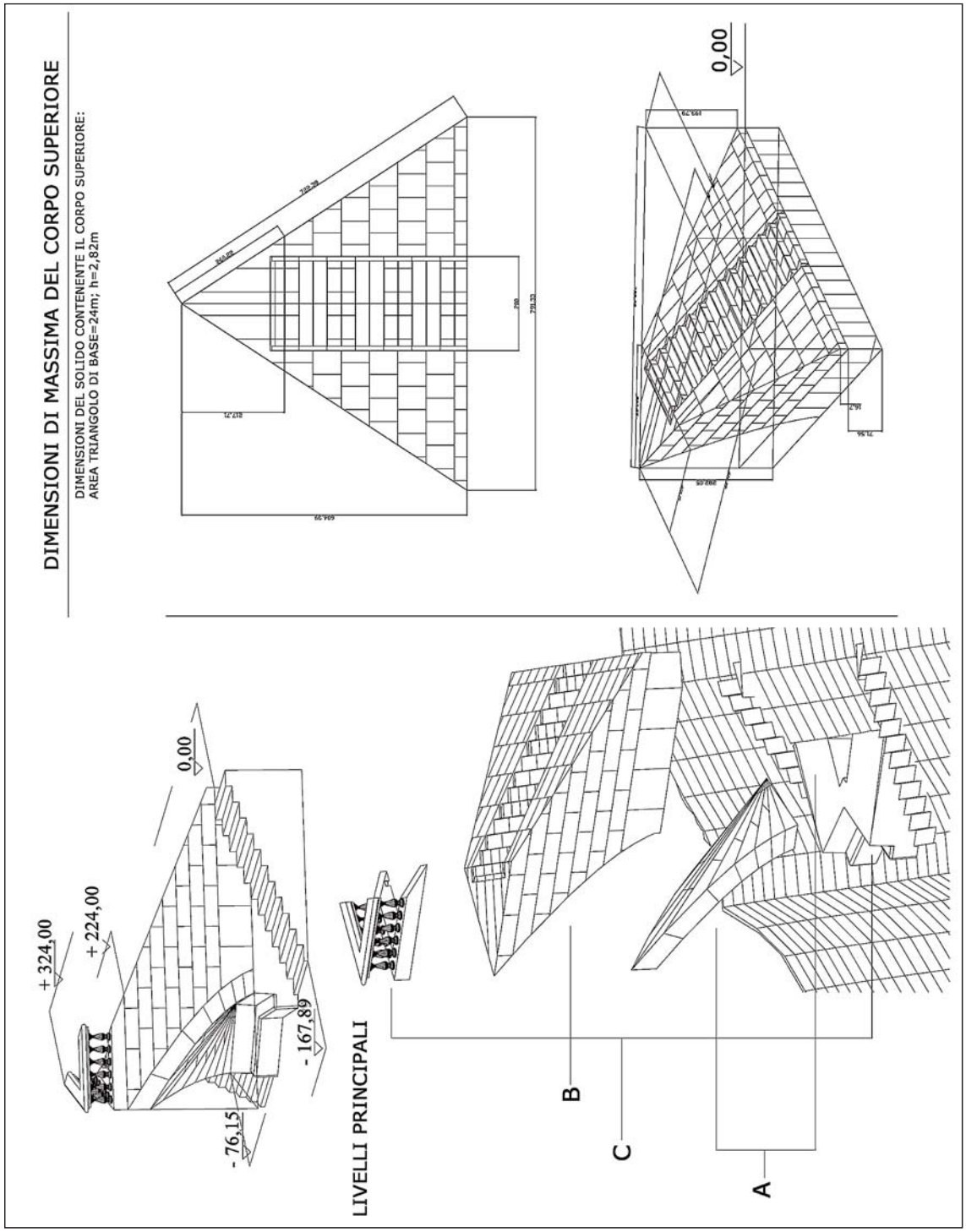


TAVOLA N° 184

Argomento della tavola: **Locus Finis Terrae, progetto in località Punta Ristola, S. Maria di Leuca (Lecce): fasi di mon taggio dell'intero belvedere;**

Fonti dell'elaborazione: **Progetto;**

Tipo di modellazione: **3D Solida;**

Software utilizzati: **Autocad 2004, 3D Studio Max5, Photoshop 7.**

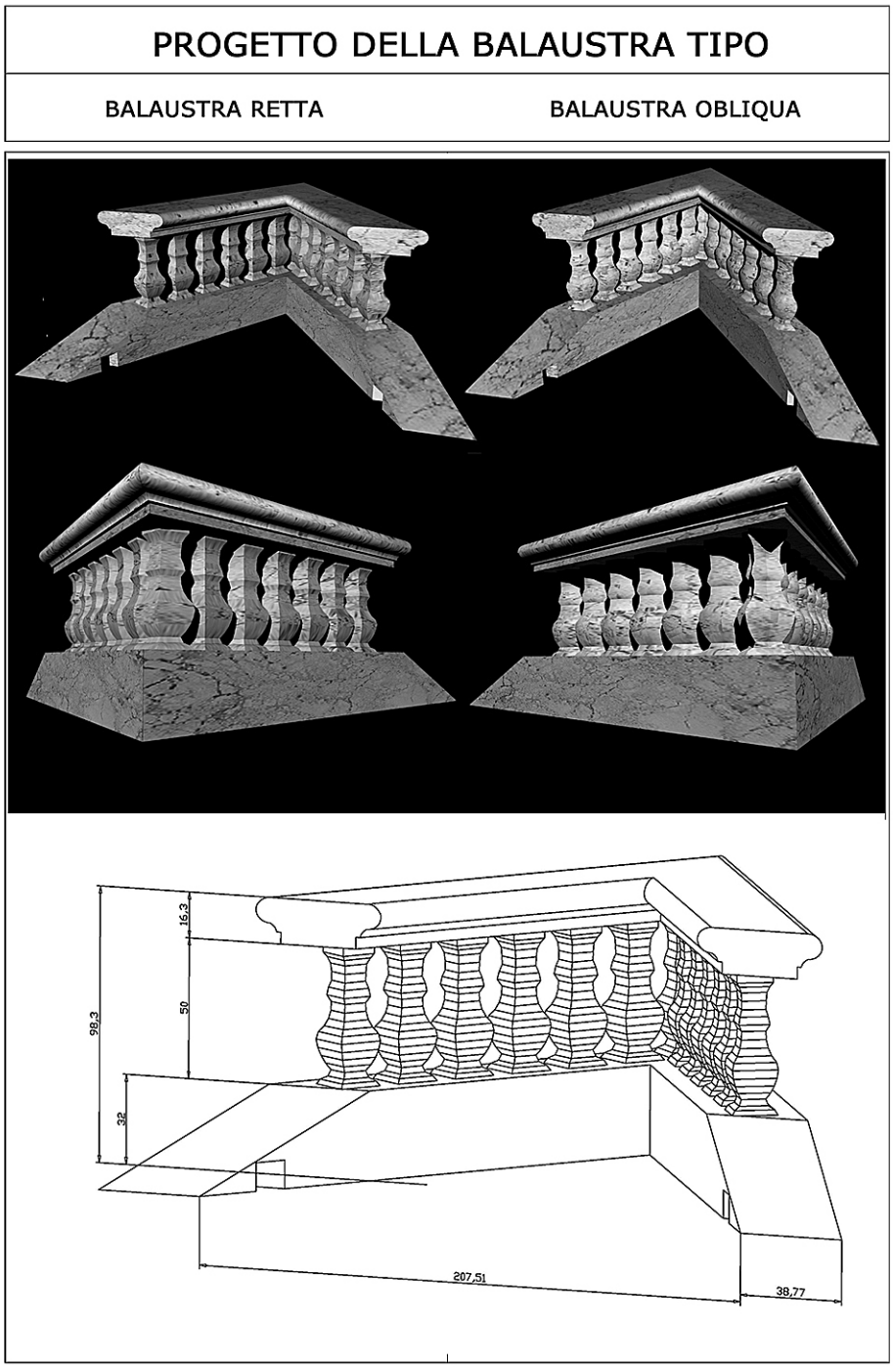


TAVOLA N° 185

Argomento della tavola: **Locus Finis Terrae, progetto in località Punta Ristola, S. Maria di Leuca (Lecce): progetto della balaustra - finitura;**

Fonti dell'elaborazione: **Progetto;**

Tipo di modellazione: **3D Solida;**

Software utilizzati: **Autocad 2004, 3D Studio Max5, Photoshop 7.**

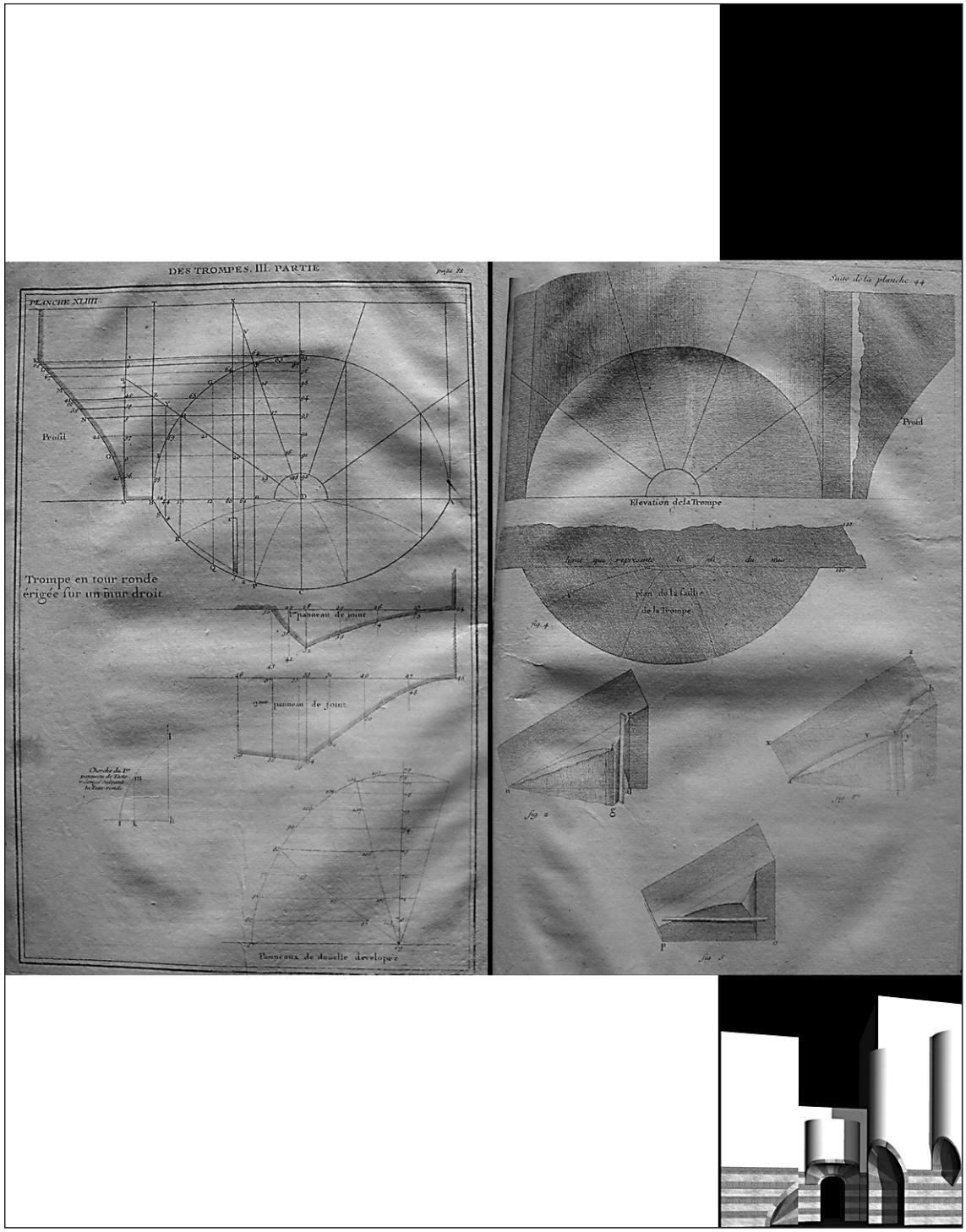


TAVOLA N° 186

Argomento della tavola: **Trompe (cilindrica) sotto una torre rotonda eret ta su di un muro rettilineo: trattato e disegno di invenzione;**

Fonti dell'elaborazione: **J. B. de La Rue, *Traité* cit. (cfr. bibliografia), pl. 44-44bis;**

Tipo di modellazione: **3D Solido/superficiale;**

Software utilizzati: **Autocad 2004, Rhinoceros, Photoshop 7.**



TAVOLA N° 187

Argomento della tavola:	**Trompe (cilindrica) nell'abside della chiesa del Saint-Sulpice (Charles de Wailly, 1774), Parigi: vista d'insieme;**
Fonti dell'elaborazione:	**Rilievo fotografico (M. Circella) in situ;**
Tipo di modellazione:	**3D Solido/superficiale;**
Software utilizzati:	**Autocad 2004, Rhinoceros, Photoshop 7.**

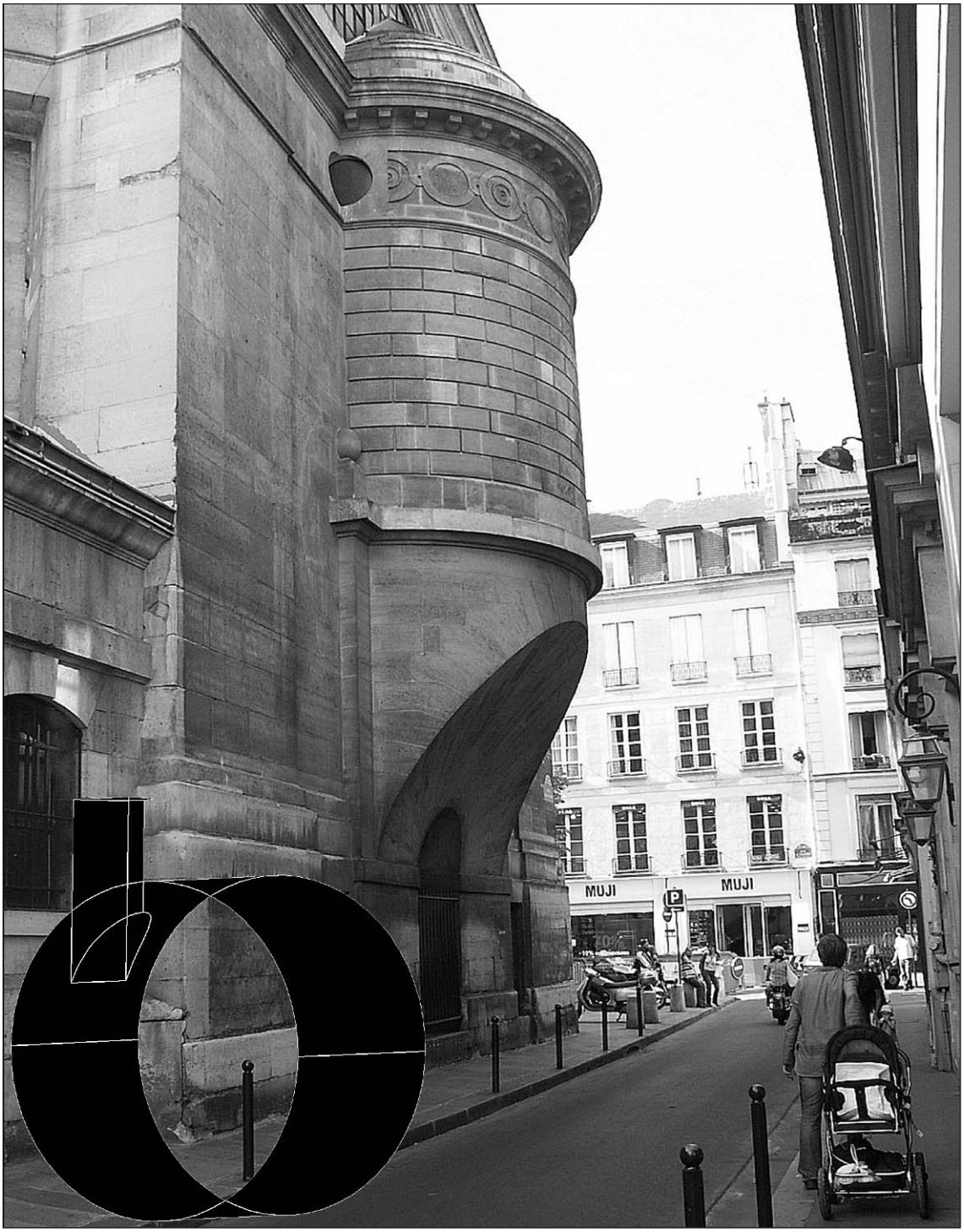


TAVOLA N° 188

Argomento della tavola:	**Trompe (cilindrica) nell'abside della chiesa del Saint-Sulpice (Charles de Wailly, 1774), Parigi: geometrie della trompe;**
Fonti dell'elaborazione:	**Rilievo fotografico (M. Circella) in situ;**
Tipo di modellazione:	**3D Solido/superficiale;**
Software utilizzati:	**Autocad 2004, Rhinoceros, Photoshop 7.**



TAVOLA N° 189

Argomento della tavola: **Trompe (cilindrica) nell'abside della chiesa del Saint-Sulpice (Charles de Wailly, 1774), Parigi: prospettiva centrale dal basso e modello;**

Fonti dell'elaborazione: **Rilievo fotografico (M. Circella) in situ;**

Tipo di modellazione: **3D Solido/superficiale;**

Software utilizzati: **Autocad 2004, Rhinoceros, Photoshop 7.**

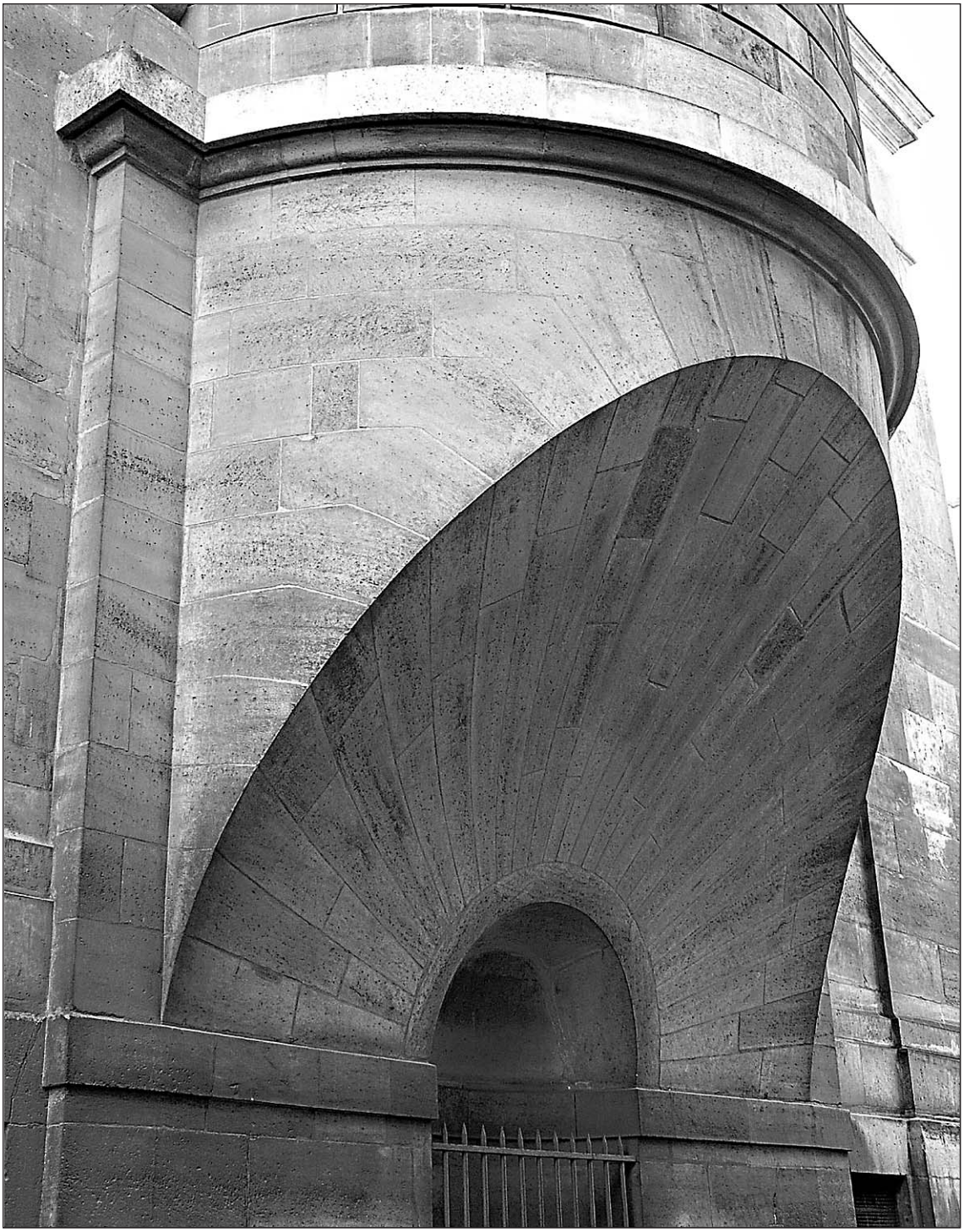


TAVOLA N° 190

Argomento della tavola: **Trompe (cilindrica) nell'abside della chiesa del Saint-Sulpice (Charles de Wailly, 1774), Parigi: dettaglio;**

Fonti dell'elaborazione: **Rilievo fotografico (M. Circella) in situ;**

Tipo di modellazione: **3D Solido/superficiale;**

Software utilizzati: **Autocad 2004, Rhinoceros, Photoshop 7.**

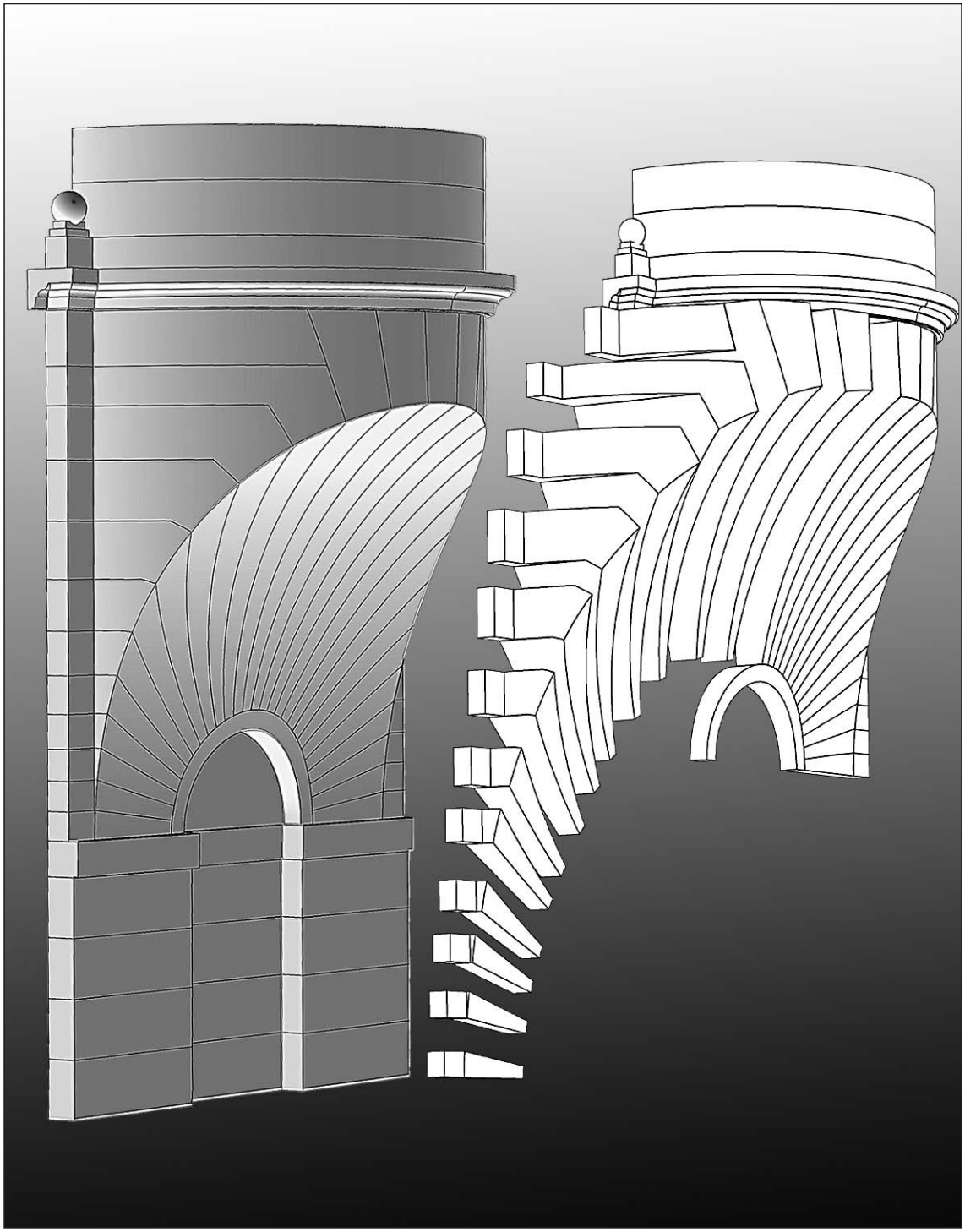


TAVOLA N° 191

Argomento della tavola:	**Trompe (cilindrica) nell'abside della chiesa del Saint-Sulpice (Charles de Wailly, 1774), Parigi: modello di insieme e apparecchiatura - esploso;**
Fonti dell'elaborazione:	**Rilievo fotografico (M. Circella) in situ;**
Tipo di modellazione:	**3D Solido/superficiale;**
Software utilizzati:	**Autocad 2004, Rhinoceros, Photoshop 7.**

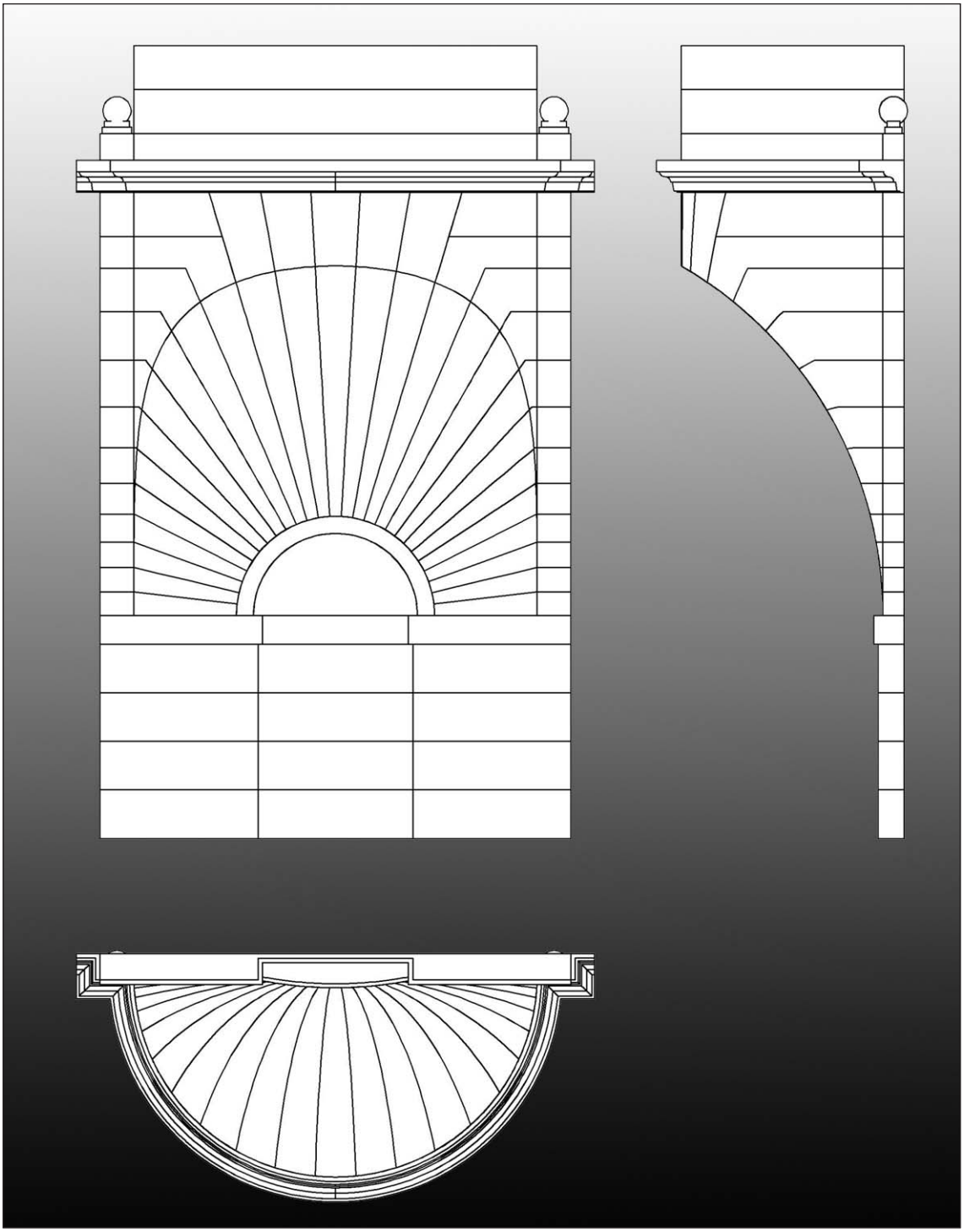


TAVOLA N° 192

Argomento della tavola: **Trompe (cilindrica) nell'abside della chiesa del Saint-Sulpice (Charles de Wailly, 1774), Parigi: proiezioni ortogonali;**

Fonti dell'elaborazione: **Rilievo fotografico (M. Circella) in situ;**

Tipo di modellazione: **3D Solido/superficiale;**

Software utilizzati: **Autocad 2004, Rhinoceros, Photoshop 7.**



TAVOLA N° 193

Argomento della tavola: **Trompe (cilindrica), hotel de Jaucourt (P. Desmaisons e S. Charpentier, 1733), Parigi: vista d'insieme;**

Fonti dell'elaborazione: **Rilievo fotografico (M. Circella) in situ;**

Tipo di modellazione: **-**

Software utilizzati: **-**



TAVOLA N° 194

Argomento della tavola: **Trompe (cilindrica), hotel de Jaucourt (P. Desmaisons e S. Charpentier, 1733), Parigi: dettaglio;**

Fonti dell'elaborazione: **Rilievo fotografico (M. Circella) in situ;**

Tipo di modellazione: **-**

Software utilizzati: **-**

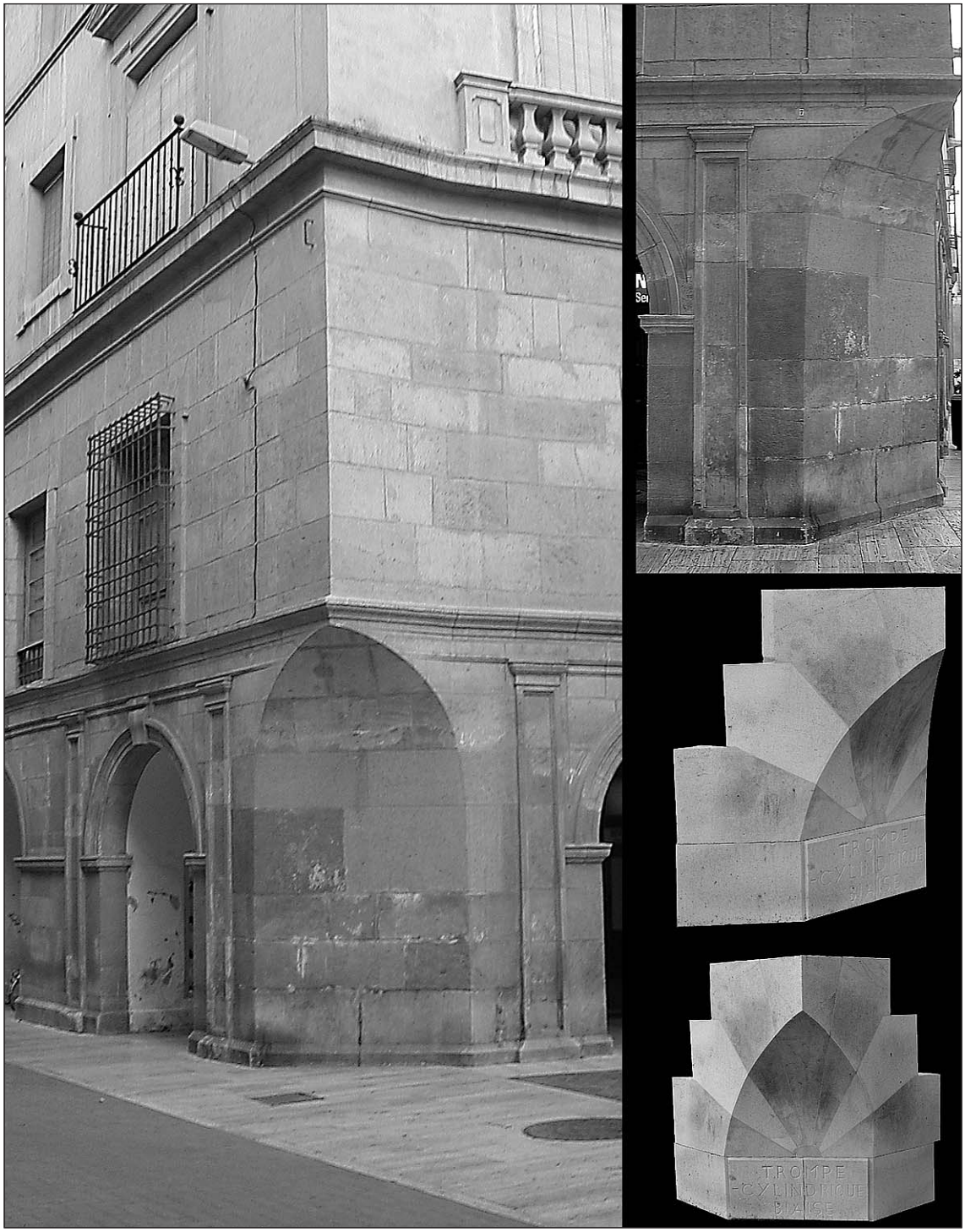


TAVOLA N° 195

Argomento della tavola: **Trompe (cilindrica), centro storico di Murcia, Spagna: dettaglio;**

Fonti dell'elaborazione: **Rilievo fotografico in situ. Modello de Atelier S. Jacques (Compagnon du Devoir), Parigi;**

Tipo di modellazione: **-**

Software utilizzati: **-**

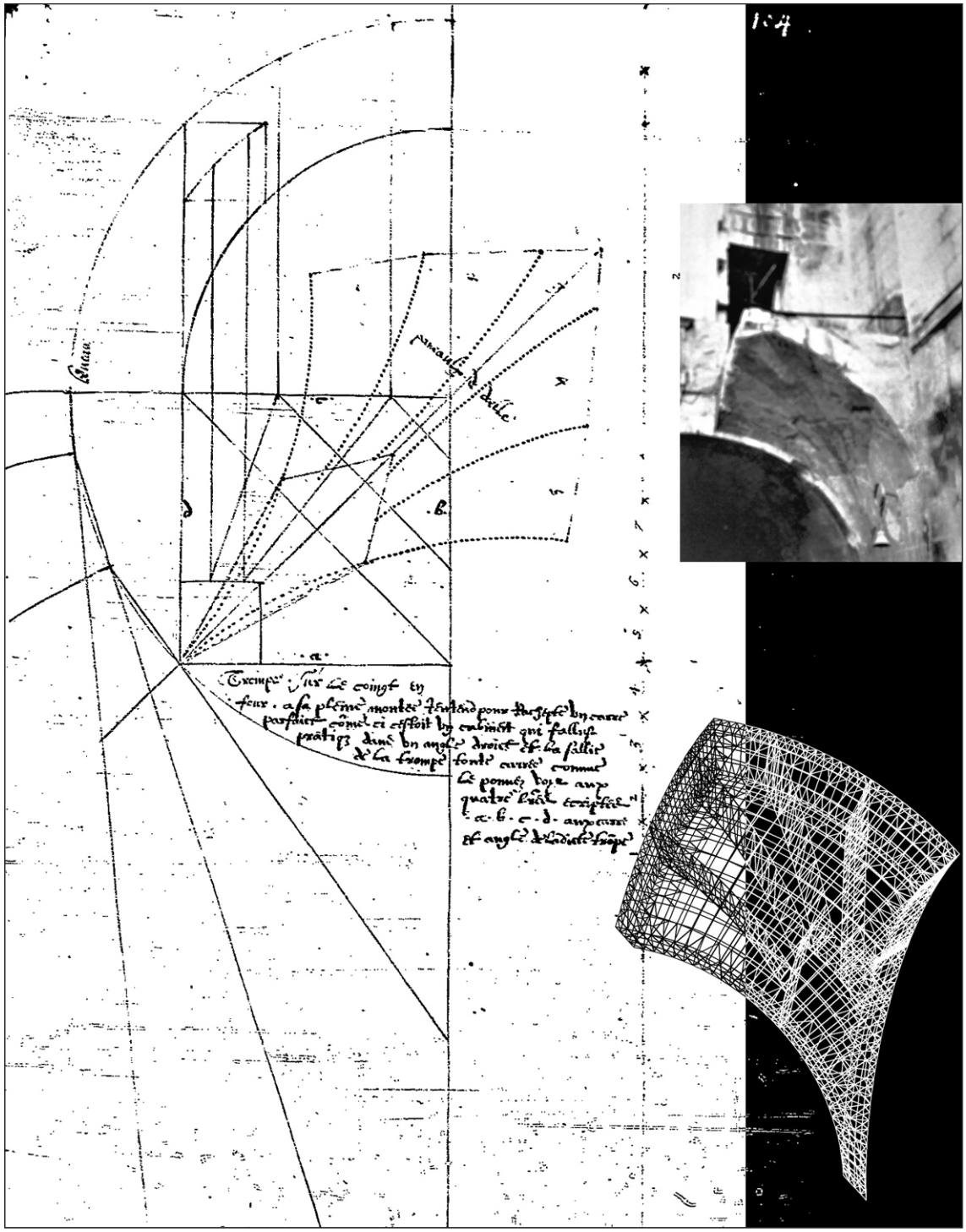


TAVOLA N° 196

Argomento della tavola: **Trompe (sferica)(J. Chéreau): analisi fol. 104 v;**

Fonti dell'elaborazione: **J. Chéreau, *livre* cit (cfr. bibliografia), fol. 104 v. Foto, J.M. Pérouse de Montclos, *L'Architecture*cit. (cfr. bibliografia): abbazia N.Dame des Ardilliers de Saumur;**

Tipo di modellazione: **2D Solido/superficiale;**

Software utilizzati: **Rhinoceros, 3DStudio Max 5, Photoshop 7.**

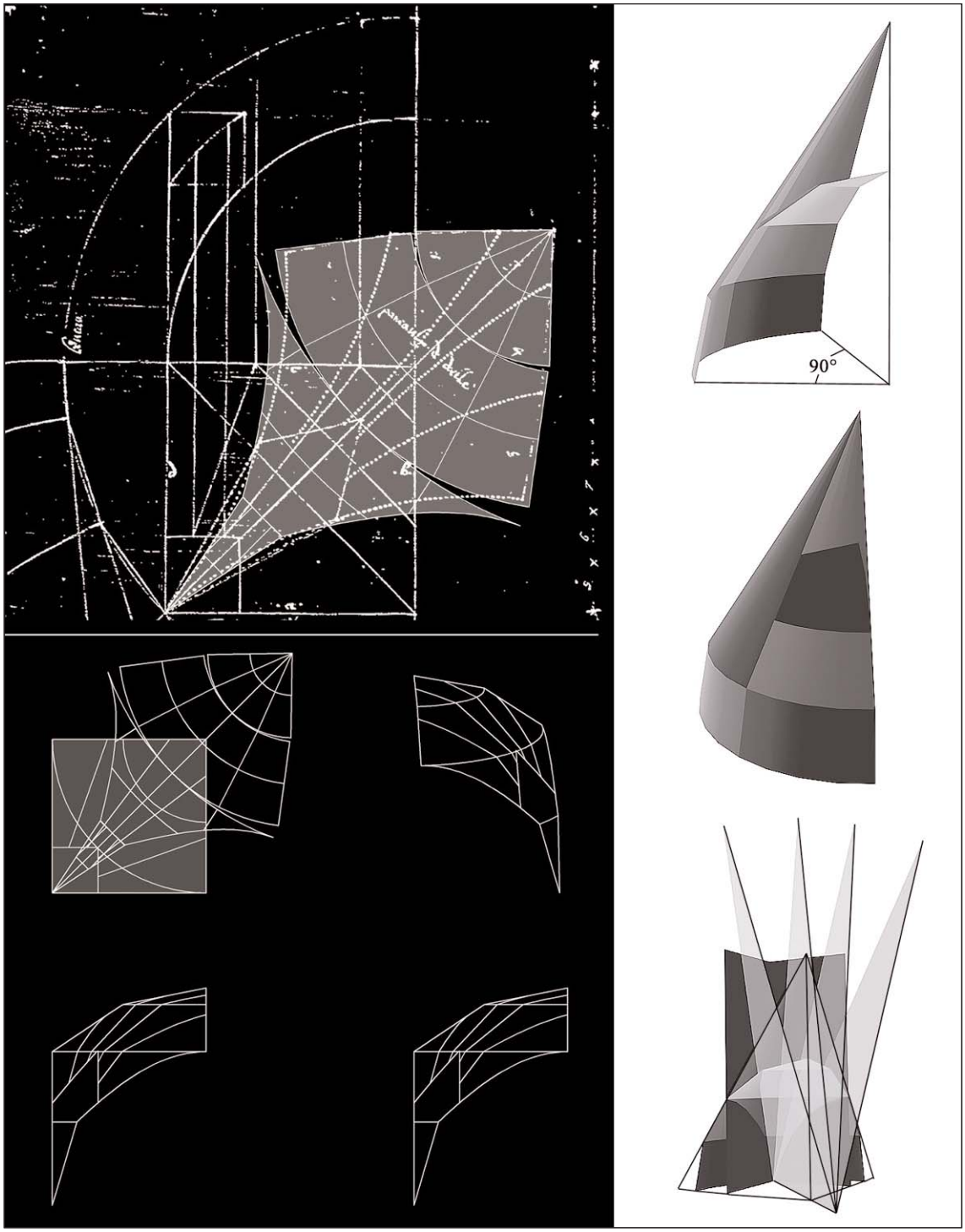


TAVOLA N° 197

Argomento della tavola: **Trompe (sferica)(J. Chéreau): analisi fol. 104 v, e sviluppo *conico* del quarto di sfera;**

Fonti dell'elaborazione: **J. Chéreau, *livre* cit (cfr. bibliografia), fol. 104 v;**

Tipo di modellazione: **2D Solido/superficiale;**

Software utilizzati: **Rhinoceros, 3DStudio Max 5, Photoshop 7.**

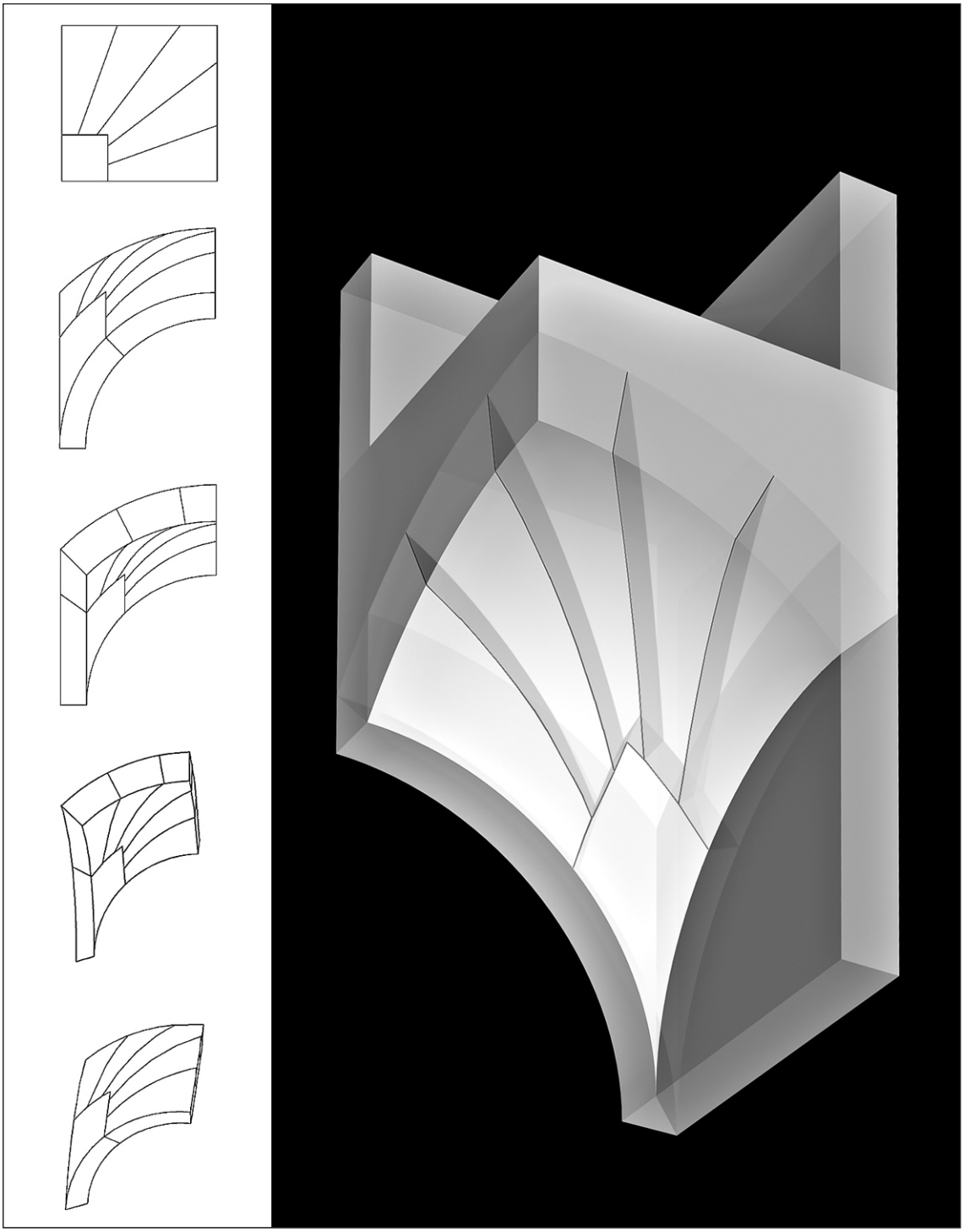


TAVOLA N° 198

Argomento della tavola: **Trompe (sferica)(J. Chéreau): viste del modello solido;**

Fonti dell'elaborazione: **J. Chéreau, *livre* cit (cfr. bibliografia), fol. 104 v;**

Tipo di modellazione: **2D Solido/superficiale;**

Software utilizzati: **Rhinoceros, 3DStudio Max 5, Photoshop 7.**

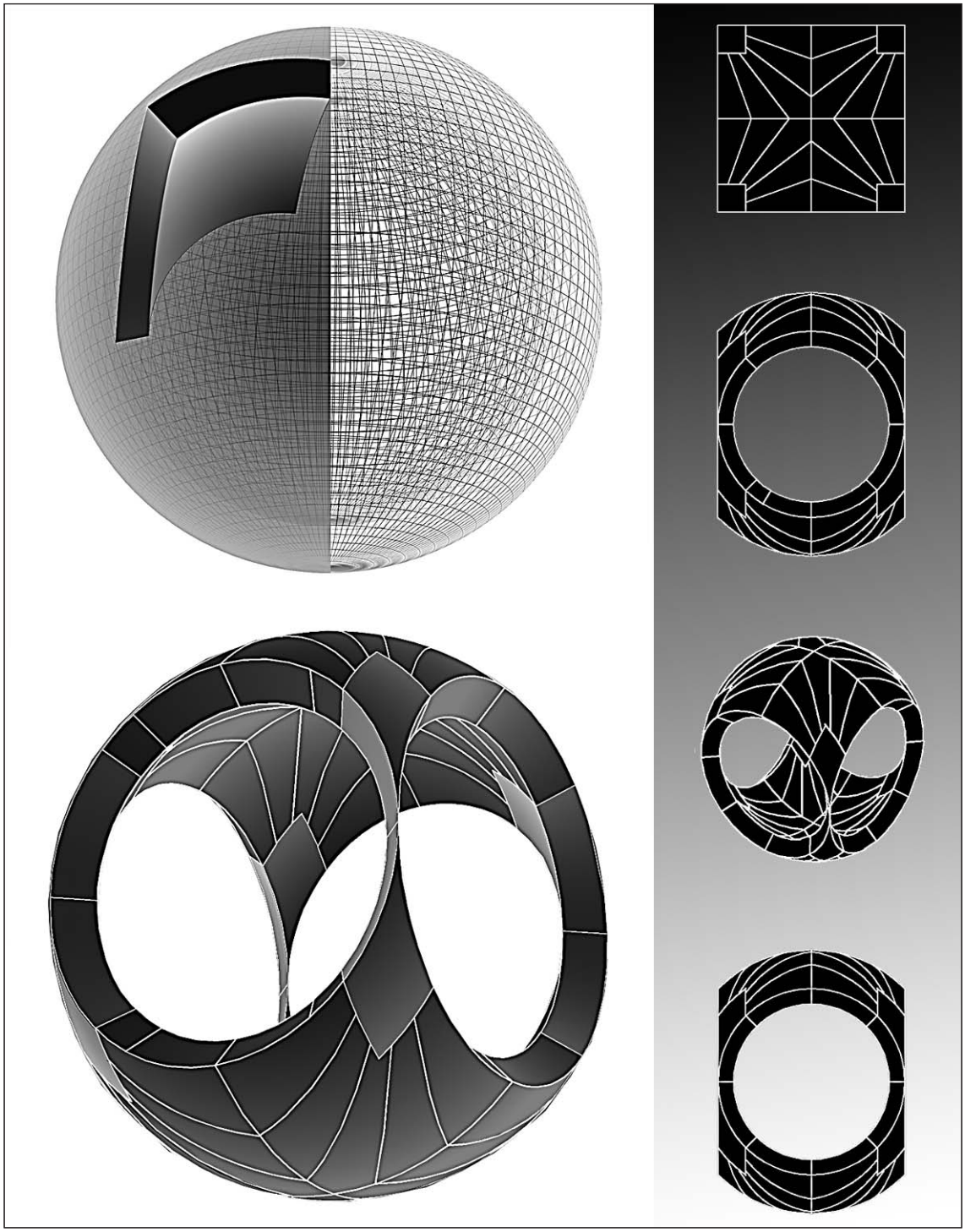


TAVOLA N° 199

Argomento della tavola: **Trompe (sferica)(J. Chéreau): la geometria glo bale dell'apparecchiatura e ricostituzione della sfera;**

Fonti dell'elaborazione: **J. Chéreau, *livre* cit (cfr. bibliografia), fol. 104 v;**

Tipo di modellazione: **2D Solido/superficiale;**

Software utilizzati: **Rhinoceros, 3DStudio Max 5, Photoshop 7.**

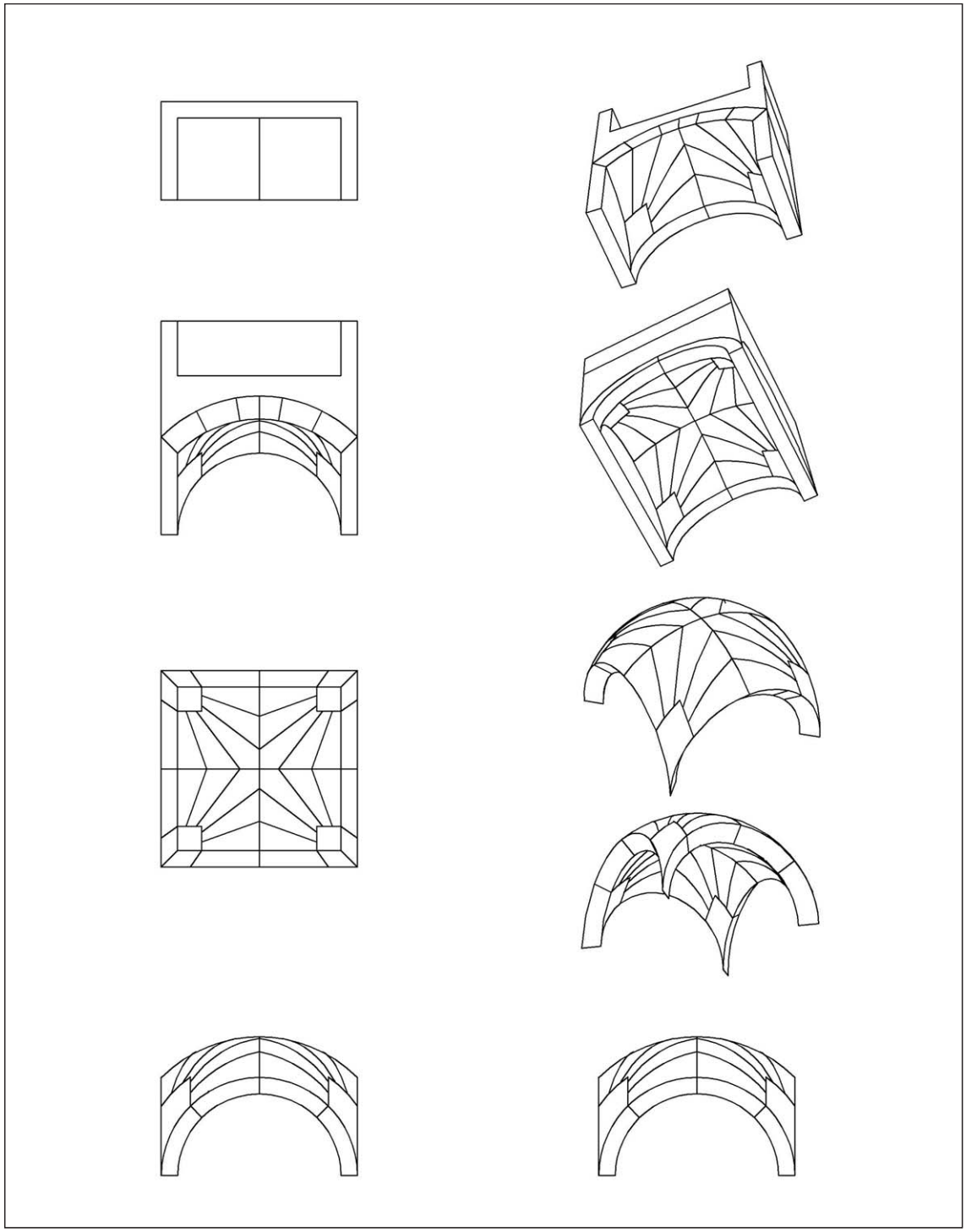


TAVOLA N° 200

Argomento della tavola: **Trompe (sferica)(J. Chéreau): volta sferica appa recchiata con quattro trompe;**

Fonti dell'elaborazione: **J. Chéreau, *livre* cit (cfr. bibliografia), fol. 104 v;**

Tipo di modellazione: **2D Solido/superficiale;**

Software utilizzati: **Rhinoceros, 3DStudio Max 5, Photoshop 7.**

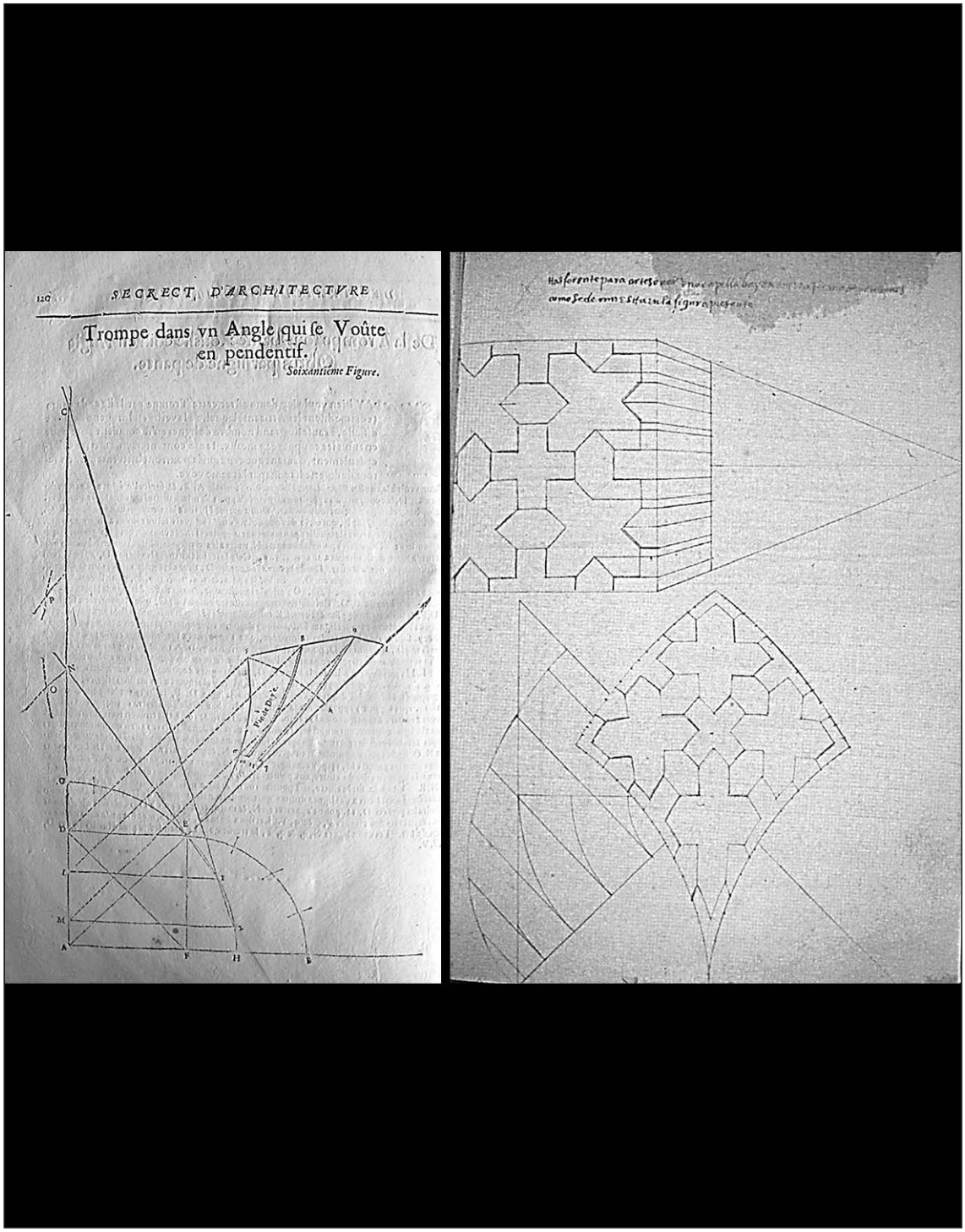


TAVOLA N° 201

Argomento della tavola: **Trompe (sferica) apparecchiata a *pendentif*: M. Jousse (sviluppo della volta) e H. Ruiz (intrados so decorato);**

Fonti dell'elaborazione: **M. Jousse, *Secret* cit. (cfr. bibliografia), fol. 120 v. (sinistra), H. Ruiz, ms. (cfr. E. Rabasa Dìaz - destra);**

Tipo di modellazione: **-**

Software utilizzati: **-**

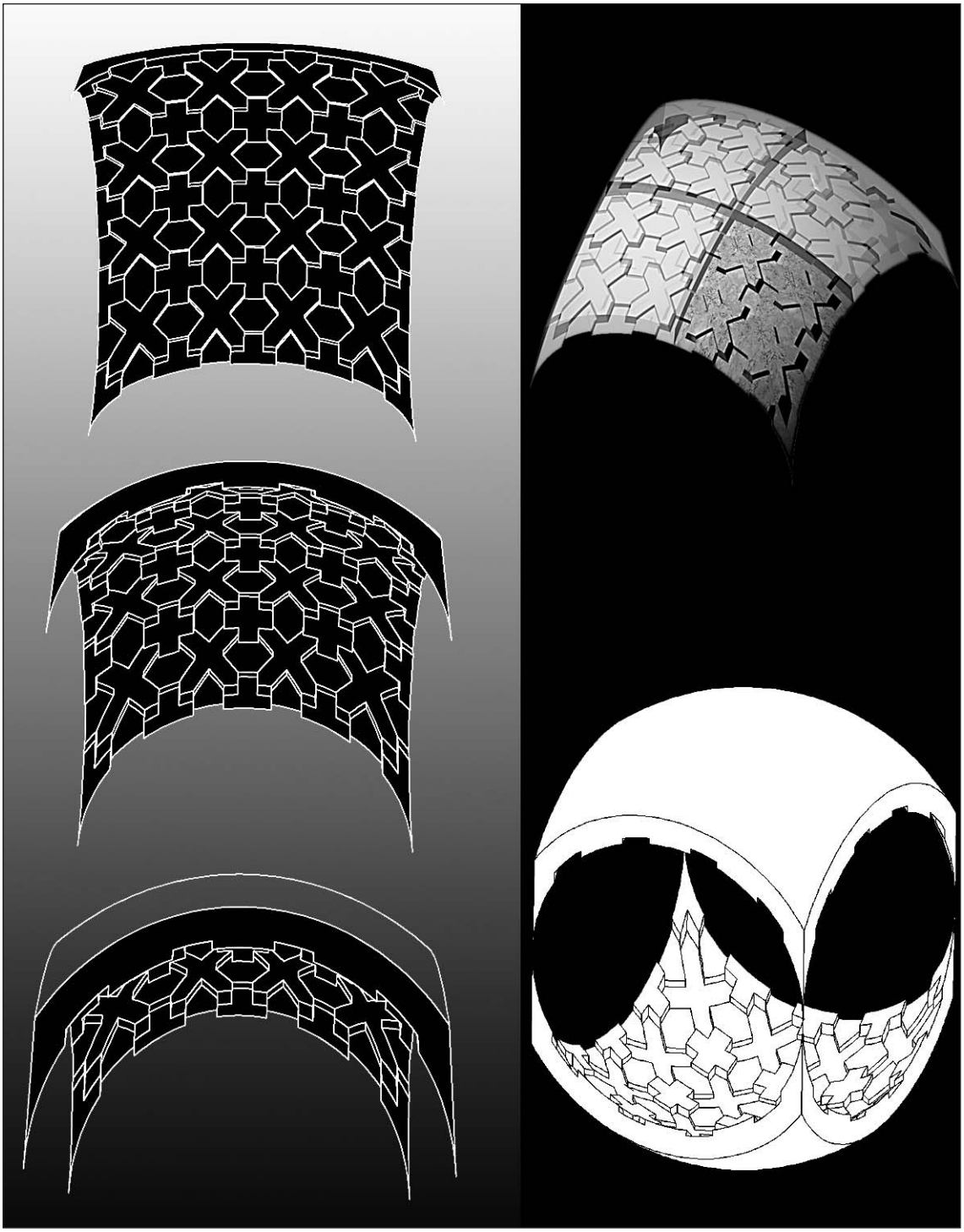


TAVOLA N° 202

Argomento della tavola: **Trompe (sferica) apparecchiata a *pendentif*: modello sferico di H. Ruiz (intradosso decorato);**

Fonti dell'elaborazione: **H. Ruiz, ms. (cfr. E. Rabasa Dìaz);**

Tipo di modellazione: **2D Solido/superficiale;**

Software utilizzati: **Rhinoceros, 3DStudio Max 5, Photoshop 7.**

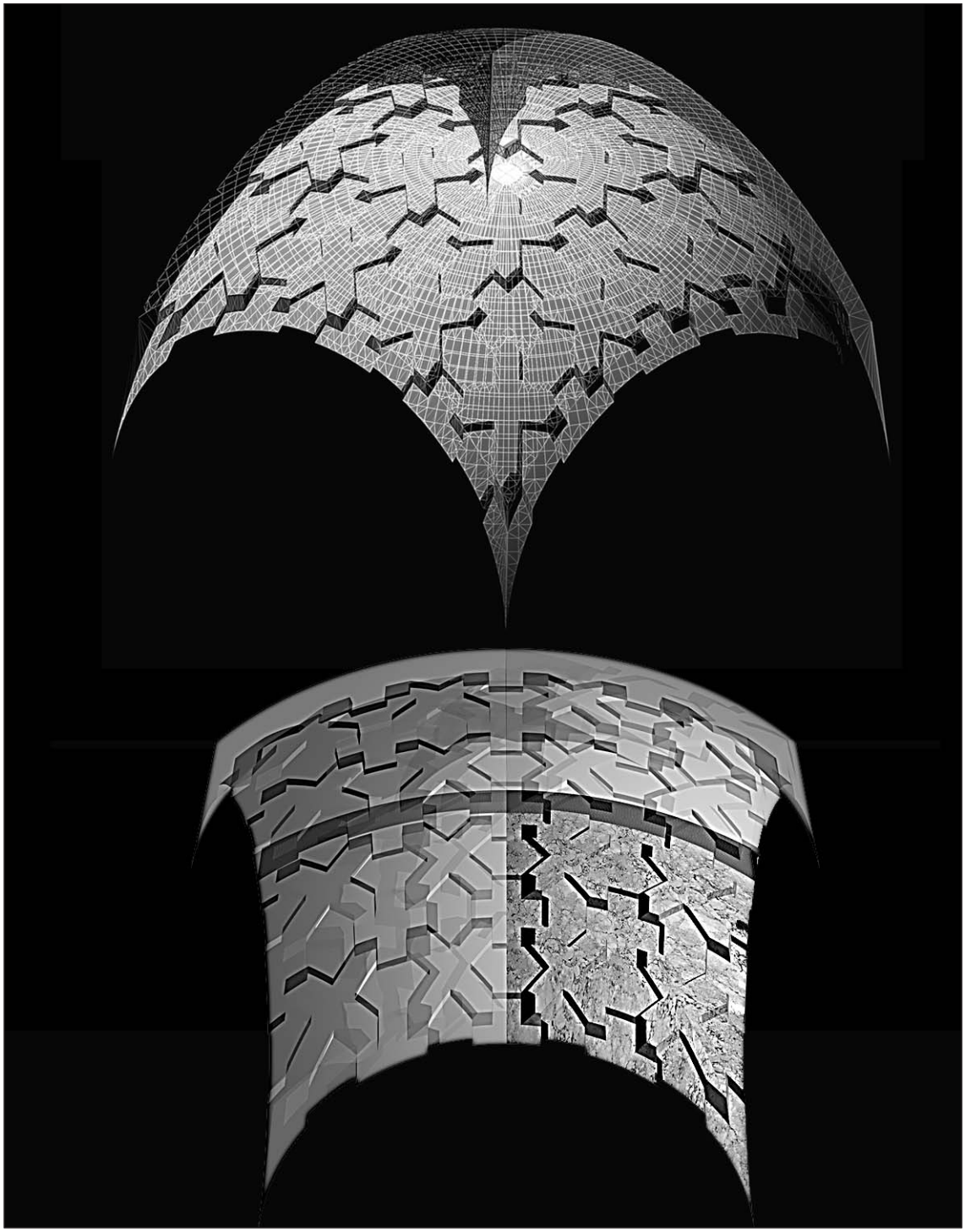


TAVOLA N° 203

Argomento della tavola:	**Trompe (sferica) apparecchiata a *pendentif*: modello sferico di H. Ruiz (intradosso decorato)-suddivisione in quattro trompe;**
Fonti dell'elaborazione:	**H. Ruiz, ms. (cfr. E. Rabasa Dìaz);**
Tipo di modellazione:	**2D Solido/superficiale;**
Software utilizzati:	**Rhinoceros, 3DStudio Max 5, Photoshop 7.**

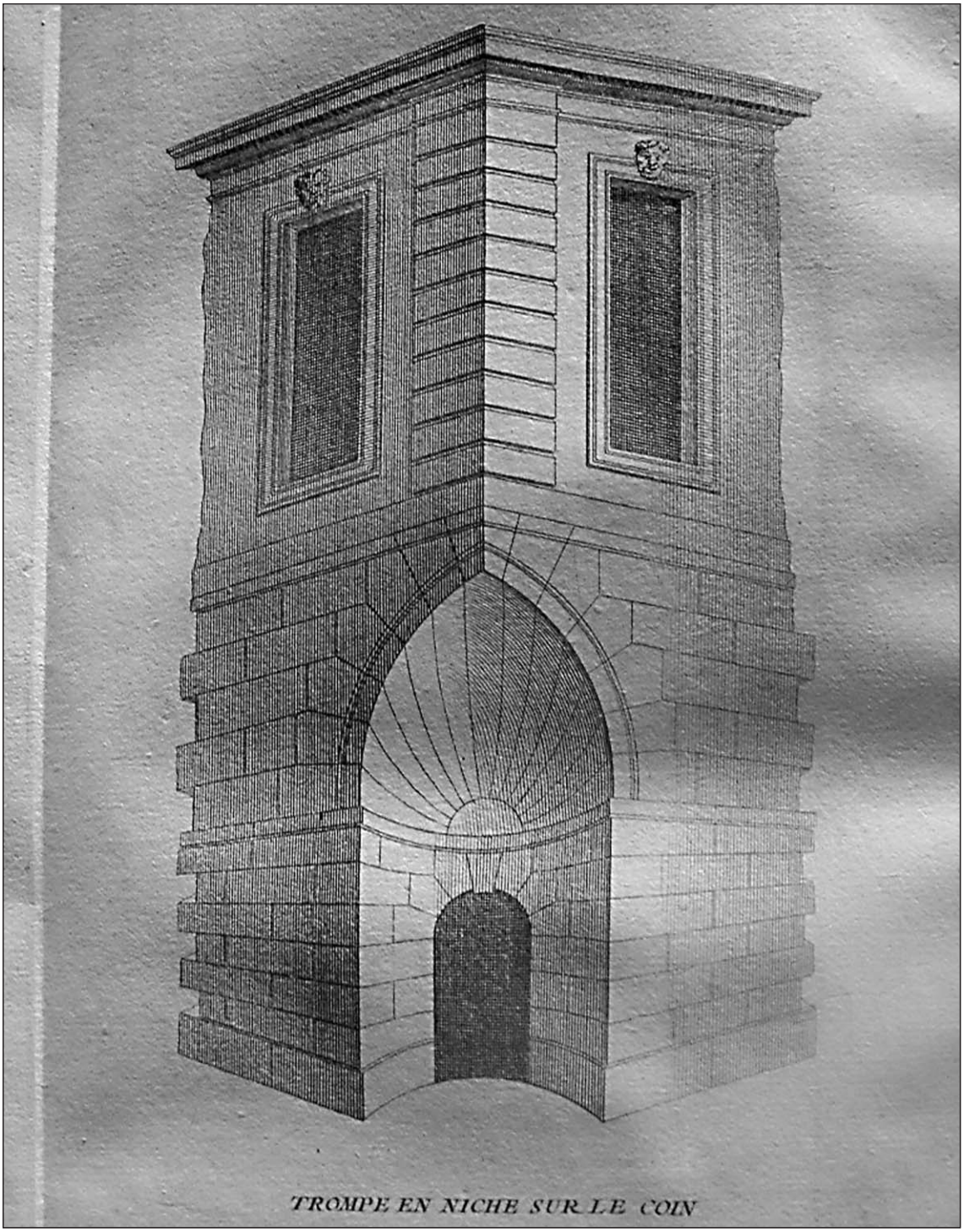


TAVOLA N° 204

Argomento della tavola: **Trompe (sferica) a nicchia sotto l'angolo: disegno in prospettiva;**

Fonti dell'elaborazione: **J. B. de La Rue, *Traité* cit. (cfr. bibliografia), fol. 78.**

Tipo di modellazione: **-**

Software utilizzati: **Photoshop 7.**

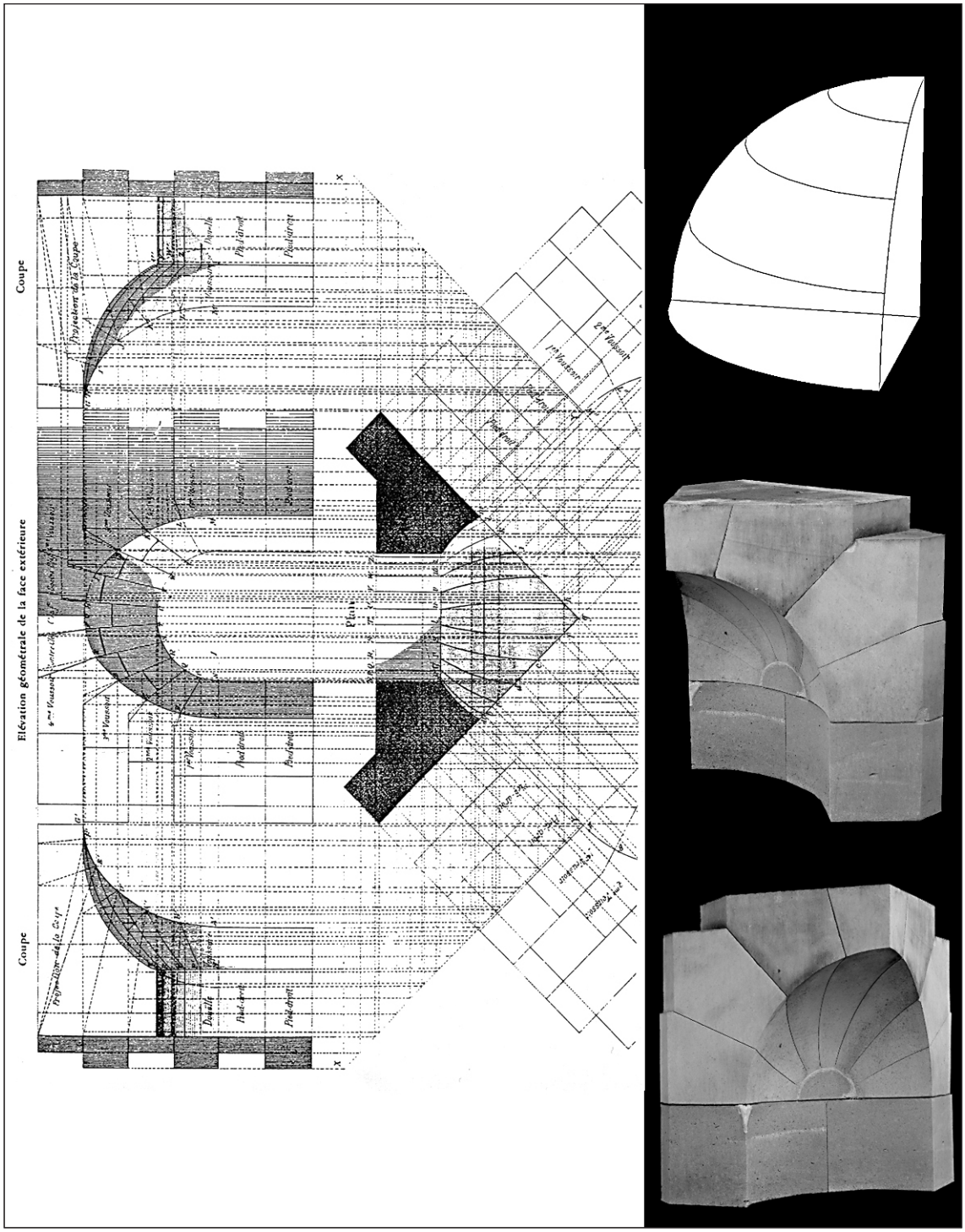


TAVOLA N° 205

Argomento della tavola: **Trompe (sferica) sotto l'angolo: geometria e modello lapideo (Atelier S. Jacques, Parigi);**

Fonti dell'elaborazione: **L. Monduit, *Traité* cit. (cfr. bibliografia), pl. 67-68;**

Tipo di modellazione: **3D Solida;**

Software utilizzati: **Autocad 2004, 3DStudio Max 5, Photoshop 7.**

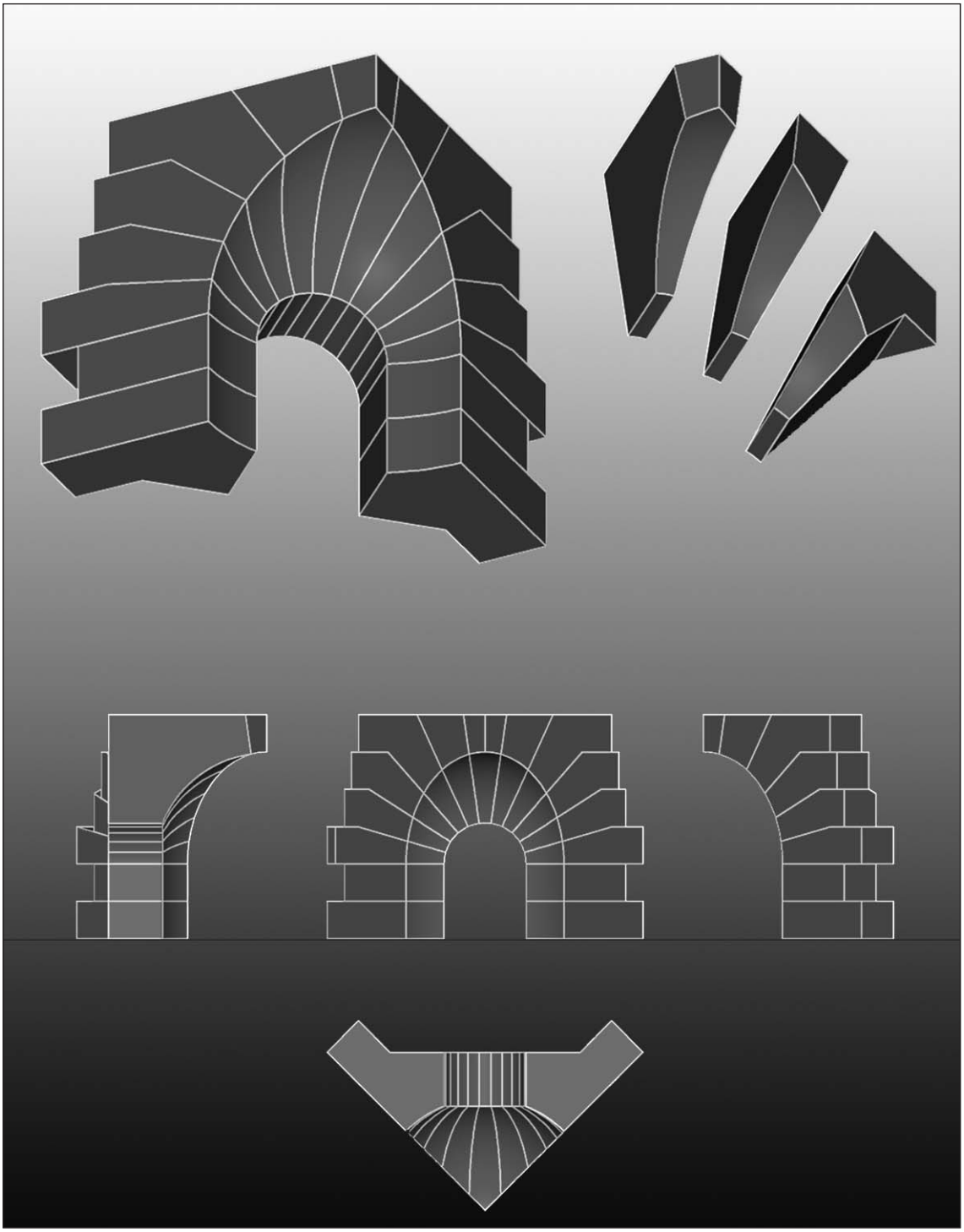


TAVOLA N° 206

Argomento della tavola: **Trompe (sferica) sotto l'angolo: modello infografico - viste e proiezioni;**

Fonti dell'elaborazione: **L. Monduit, *Traité* cit. (cfr. bibliografia), pl. 67-68;**

Tipo di modellazione: **3D Solida;**

Software utilizzati: **Autocad 2004, 3DStudio Max 5, Photoshop 7.**

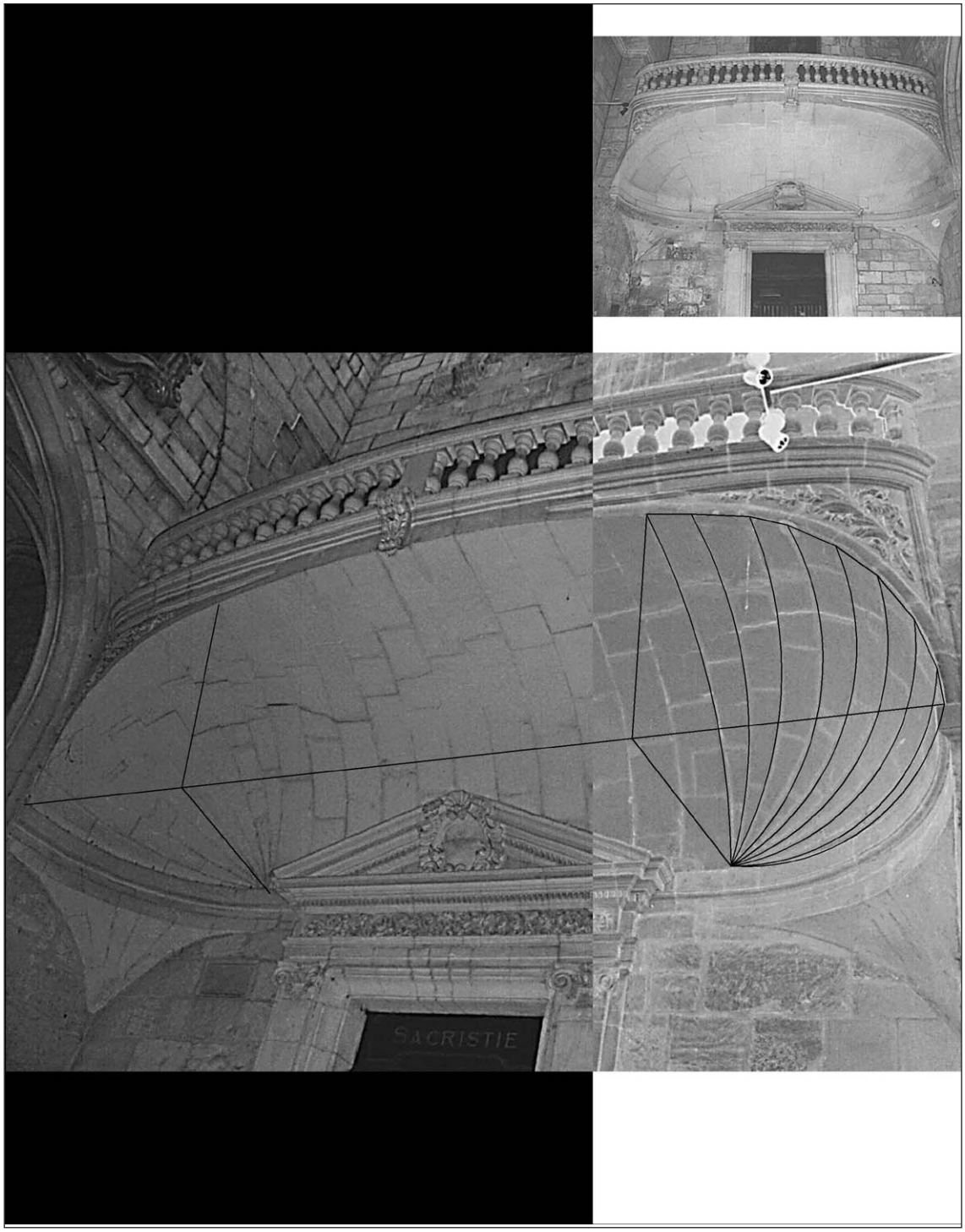


TAVOLA N° 207

Argomento della tavola: **Trompe (sferica) della tribuna della chiesa di S. Trophime (J.-B. A. de Monteil,1695) a Arles, Francia: analisi dell' apparecchiatura;**

Fonti dell'elaborazione: **Rilievo fotografico in situ;**

Tipo di modellazione: **3D Superficiale**

Software utilizzati: **Autocad 2004, Photoshop 7.**

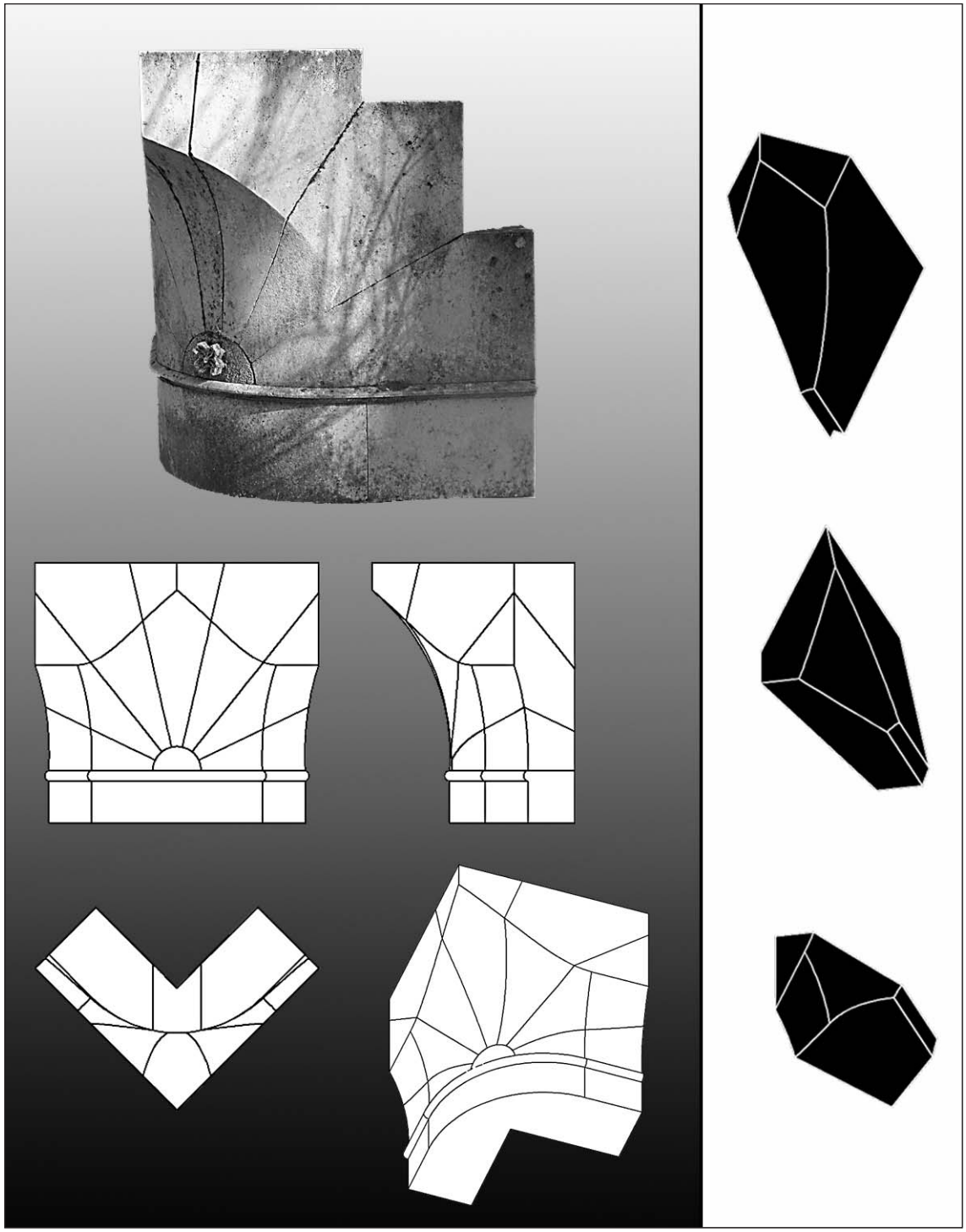


TAVOLA N° 208

Argomento della tavola: **Trompe (solido di rotazione) nell'angolo sotto l'angolo : analisi dell' apparecchiatura;**

Fonti dell'elaborazione: **Rilievo fotografico del modello lapideo (Compagnon du Devoir, Atelier S. Jacques, Parigi);**

Tipo di modellazione: **3D Solida;**

Software utilizzati: **Autocad 2004, 3d Studio Max 5, Photoshop 7.**

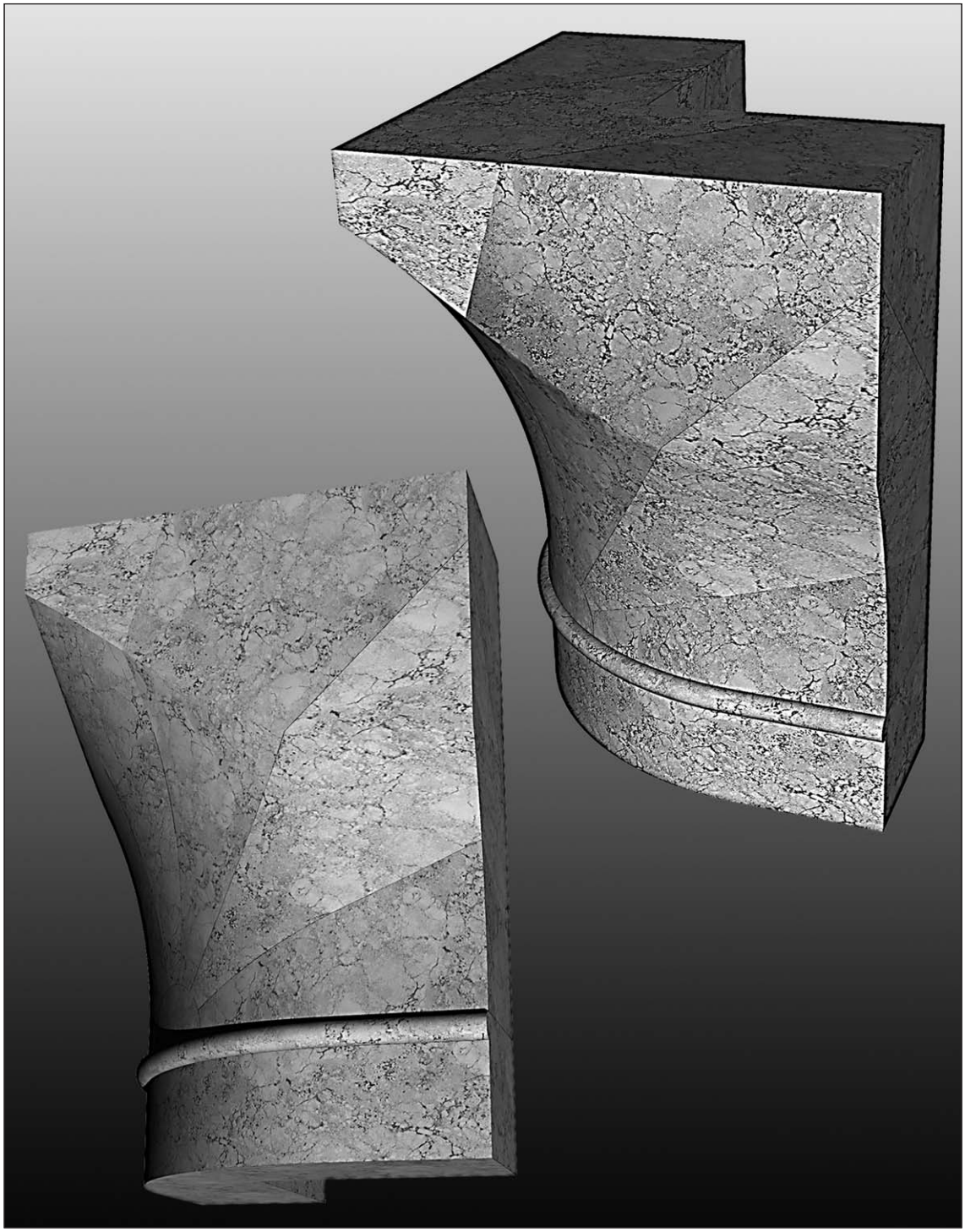


TAVOLA N° 209

Argomento della tavola: **Trompe (solido di rotazione) nell'angolo sotto l'angolo : viste;**

Fonti dell'elaborazione: **Rilievo fotografico del modello lapideo (Compagnon du Devoir, Atelier S. Jacques, Parigi);**

Tipo di modellazione: **3D Solida;**

Software utilizzati: **Autocad 2004, 3d Studio Max 5, Photoshop 7.**

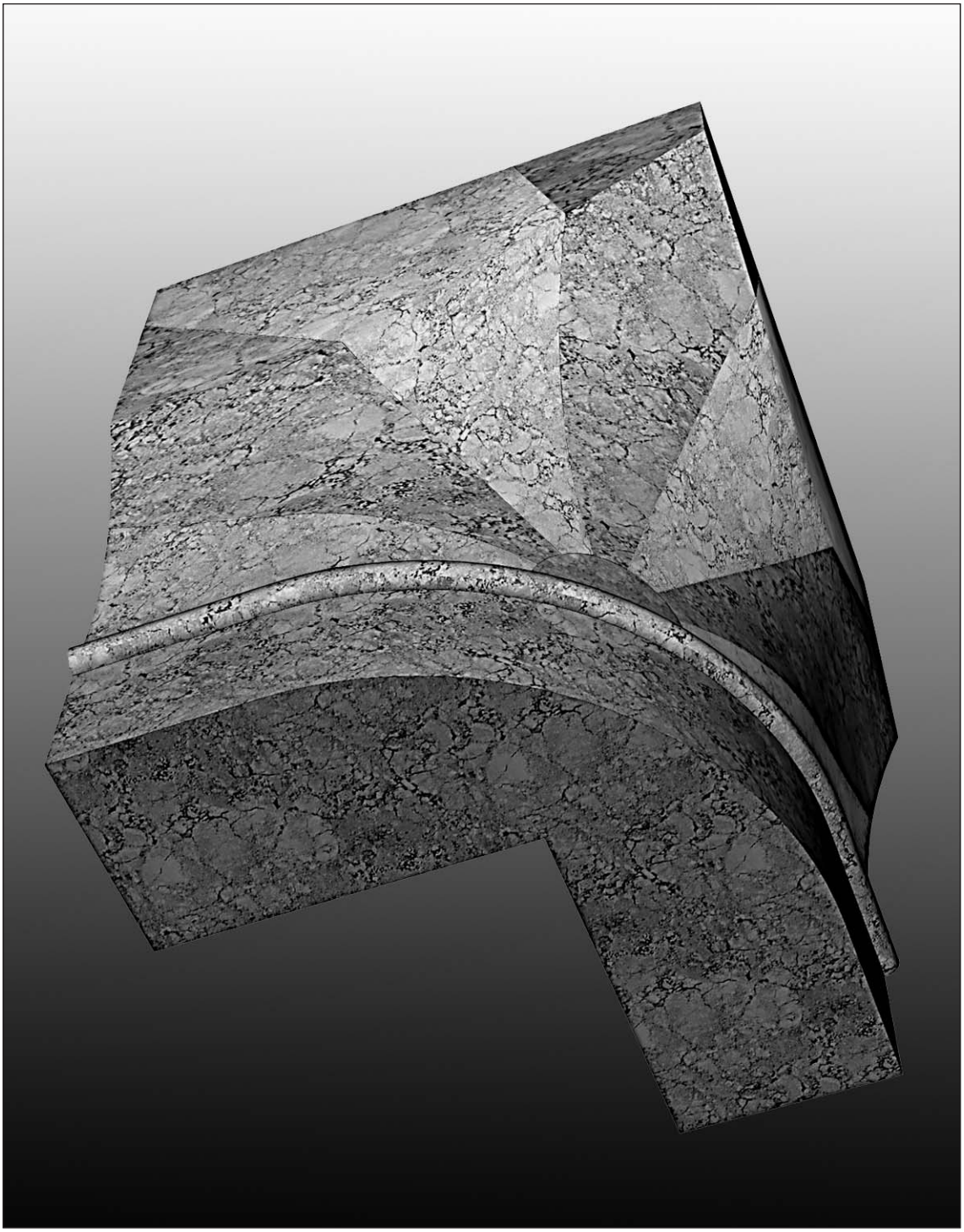


TAVOLA N° 210

Argomento della tavola: **Trompe (solido di rotazione) nell'angolo sotto l'angolo : vista dal basso - imposta;**

Fonti dell'elaborazione: **Rilievo fotografico del modello lapideo (Compagnon du Devoir, Atelier S. Jacques, Parigi);**

Tipo di modellazione: **3D Solida;**

Software utilizzati: **Autocad 2004, 3d Studio Max 5, Photoshop 7.**



TAVOLA N° 211

Argomento della tavola:	**Trompe (solido di rotazione) nell'angolo sotto l'angolo : serie polare dell'elemento - capitello stereotomico di invenzione;**
Fonti dell'elaborazione:	**Rilievo fotografico del modello lapideo (Compagnon du Devoir, Atelier S. Jacques, Parigi);**
Tipo di modellazione:	**3D Solida;**
Software utilizzati:	**Autocad 2004, 3d Studio Max 5, Photoshop 7.**

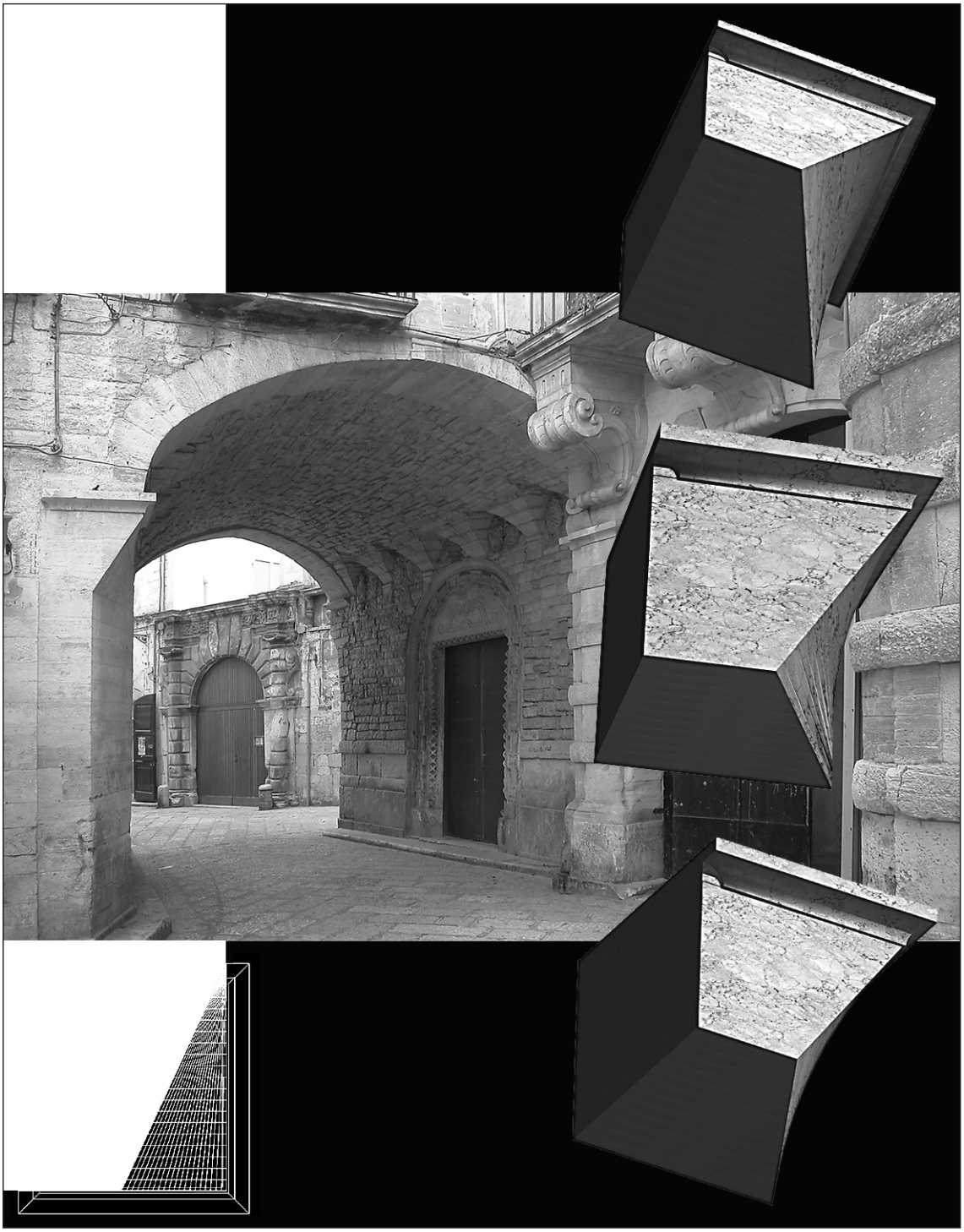


TAVOLA N° 212

Argomento della tavola: **Trompe rigata (superficie rigata) nell'angolo: vista d'insieme e della parte;**

Fonti dell'elaborazione: **Rilievo fotografico in situ, arco S. Anna (Valentino de Valentino, 1650, Bitonto - Bari);**

Tipo di modellazione: **3D Solido/superficiale;**

Software utilizzati: **Autocad 2004, 3d Studio Max 5, Photoshop 7.**



TAVOLA N° 213

Argomento della tavola: **Trompe rigata (superficie rigata) nell'angolo: profilo del paraboloide-iperbolico;**

Fonti dell'elaborazione: **Rilievo fotografico in situ, arco S. Anna (Valentino de Valentino, 1650, Bitonto - Bari);**

Tipo di modellazione: **3D Solido/superficiale;**

Software utilizzati: **Autocad 2004, 3d Studio Max 5, Photoshop 7.**

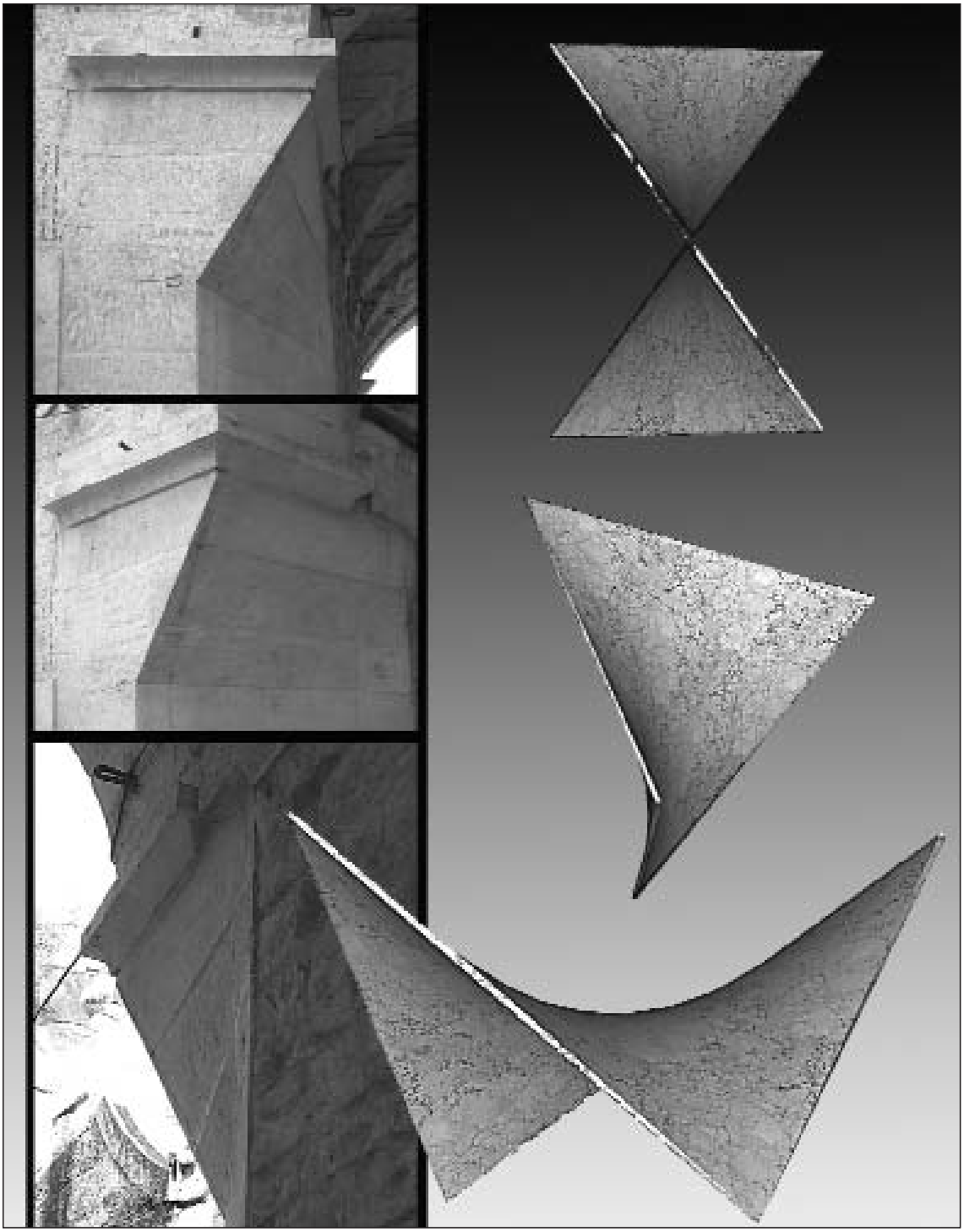


TAVOLA N° 214

Argomento della tavola: **Trompe rigata (superficie rigata) nell'angolo: viste del paraboloide-iperbolico;**

Fonti dell'elaborazione: **Rilievo fotografico in situ, arco S. Anna (Valentino de Valentino, 1650, Bitonto - Bari);**

Tipo di modellazione: **3D Solido/superficiale;**

Software utilizzati: **Autocad 2004, 3d Studio Max 5, Photoshop 7.**



TAVOLA N° 215

Argomento della tavola: **Trompe rigata (superficie rigata) nell'angolo: arco del paraboloide-iperbolico;**

Fonti dell'elaborazione: **Rilievo fotografico in situ, arco S. Anna (Valentino de Valentino, 1650, Bitonto - Bari);**

Tipo di modellazione: **3D Solido/superficiale;**

Software utilizzati: **Autocad 2004, 3d Studio Max 5, Photoshop 7.**



TAVOLA N° 216

Argomento della tavola: **Composizione di trompe coniche: viste del cabi net e modello lapideo delle trompe (Compagnon du Devoir, Parigi);**

Fonti dell'elaborazione: **Rilievo fotografico in situ, hotel d'Angouleme (prima metà del XVII sec, Parigi);**

Tipo di modellazione: **-**

Software utilizzati: **Photoshop 7.**



TAVOLA N° 217

Argomento della tavola: **Composizione di trompe coniche: viste delle trompe (4) e modello delle trompe ribaltate;**

Fonti dell'elaborazione: **Rilievo fotografico in situ, hotel d'Angouleme (prima metà del XVII sec, Parigi);**

Tipo di modellazione: **3D Solido/superficiale;**

Software utilizzati: **Autocad 2004, 3d Studio Max 5, Photoshop 7.**



TAVOLA N° 218

Argomento della tavola: **Composizione di trompe coniche: viste laterale del modello delle trompe (Compagnon du Devoir, Parigi);**

Fonti dell'elaborazione: **Rilievo fotografico in situ, hotel d'Angouleme (prima metà del XVII sec, Parigi);**

Tipo di modellazione: **-**

Software utilizzati: **Photoshop 7.**



TAVOLA N° 219

Argomento della tavola: **Composizione di trompe coniche: due trompe su mensola;**

Fonti dell'elaborazione: **Rilievo fotografico in situ (Compagnon du Devoir, Atelier S. Jacques, Parigi);**

Tipo di modellazione: **-**

Software utilizzati: **Photoshop 7.**

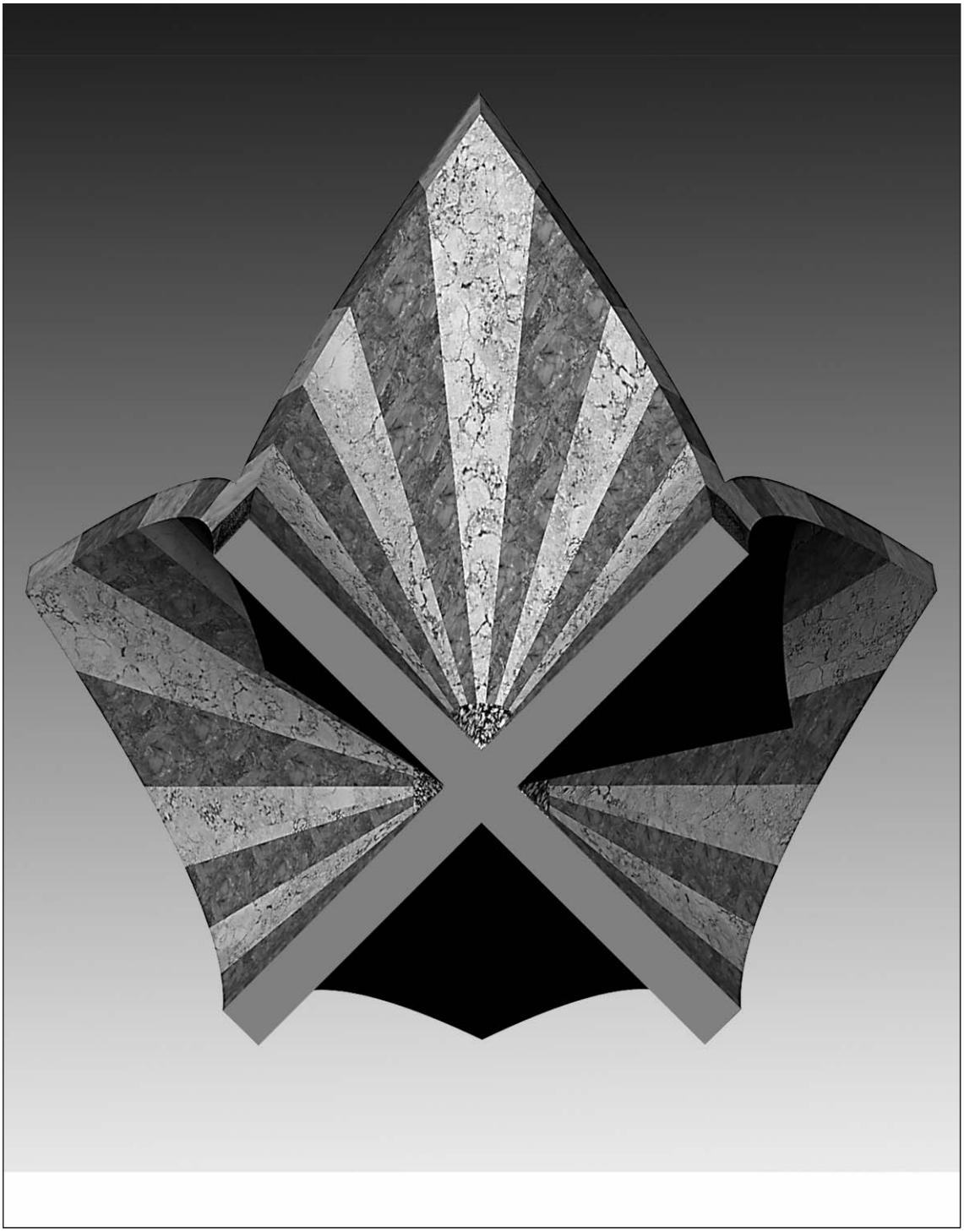


TAVOLA N° 220

Argomento della tavola: **Composizione di trompe coniche: disegno di invenzione - copertura di un tempietto;**

Fonti dell'elaborazione: **Rilievo fotografico in situ, hotel d'Angouleme (prima metà del XVII sec, Parigi);**

Tipo di modellazione: **3D Solido/superficiale;**

Software utilizzati: **Autocad 2004, 3d Studio Max 5, Photoshop 7.**



TAVOLA N° 221

Argomento della tavola: **Composizione di trompe coniche: disegno di invenzione - un tempietto;**

Fonti dell'elaborazione: **Rilievo fotografico in situ, hotel d'Angouleme (prima metà del XVII sec, Parigi);**

Tipo di modellazione: **3D Solido/superficiale;**

Software utilizzati: **Autocad 2004, 3d Studio Max 5, Photoshop 7.**

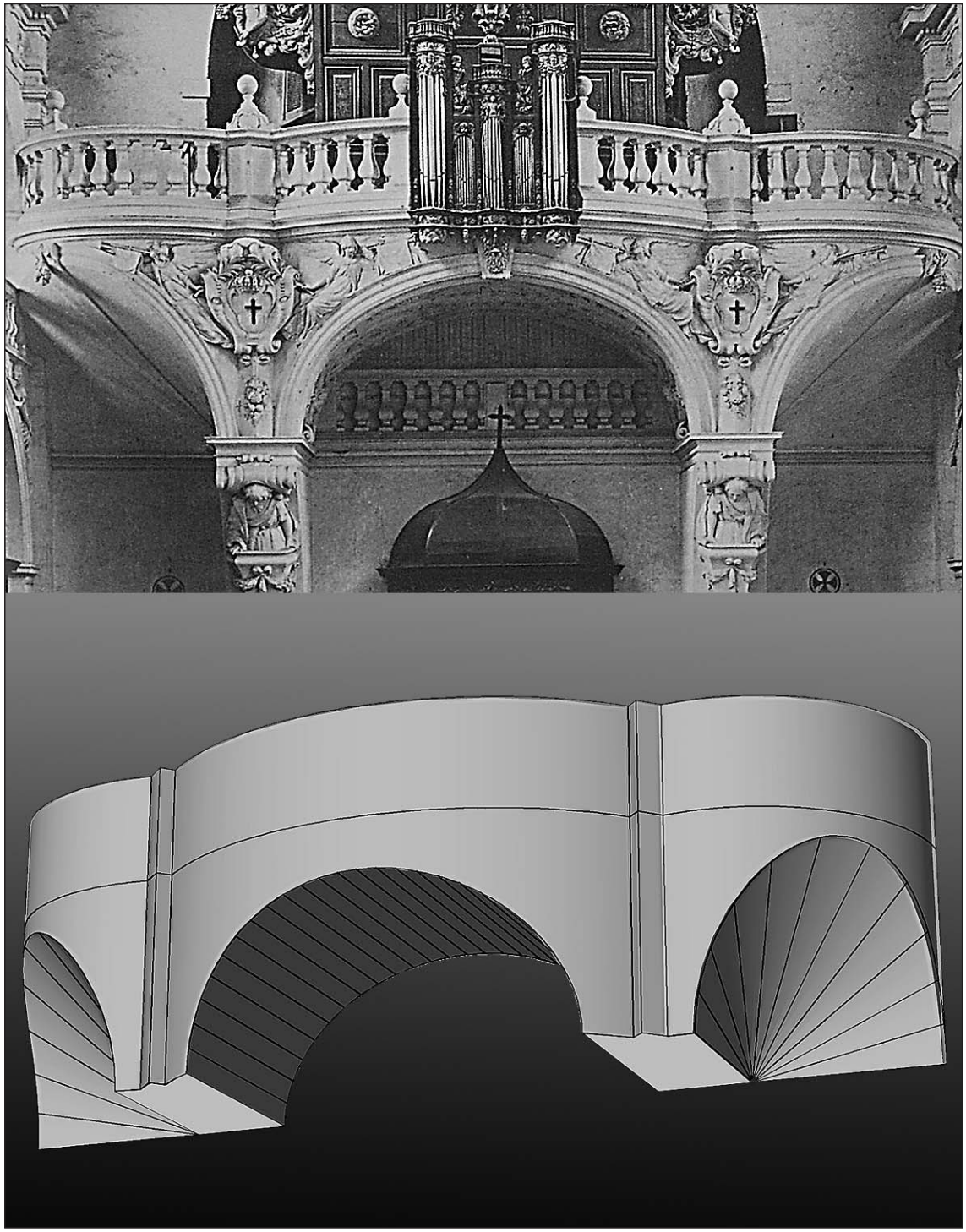


TAVOLA N° 222

Argomento della tavola: **Composizione di trompe coniche: tribuna - modello;**

Fonti dell'elaborazione: **Foto, J.M. Pérouse de Montclos, *L'Architecture*cit. (cfr. bibliografia): La Flèche, collegio dei Gesuiti, tribuna d'organo (Jacques Nadreau, 1636);**

Tipo di modellazione: **3D Superficiale;**

Software utilizzati: **Rhinoceros, 3d Studio Max 5, Photoshop 7.**

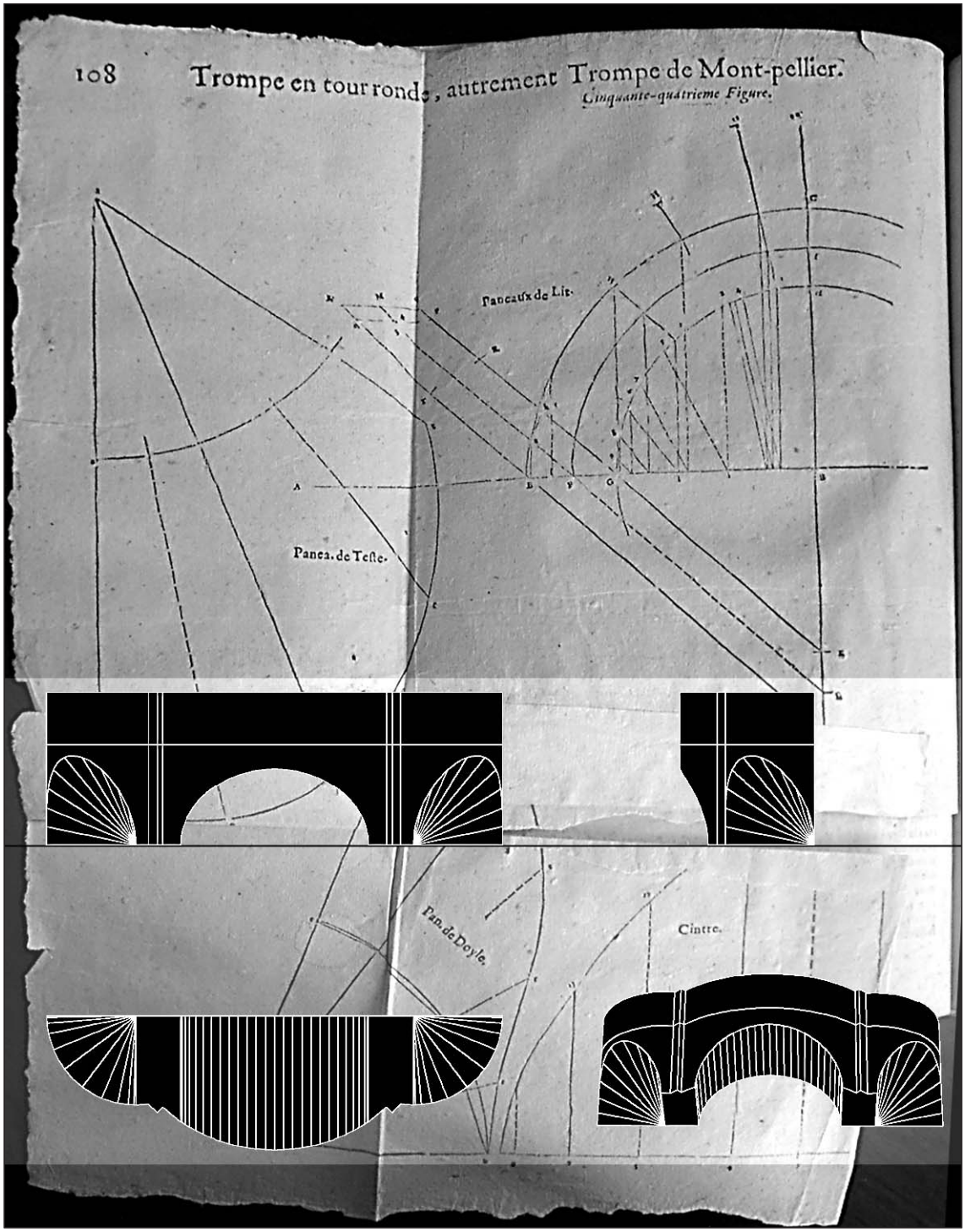


TAVOLA N° 223

Argomento della tavola: **Composizione di trompe coniche: tribuna - proiezioni ortogonali del modello;**

Fonti dell'elaborazione: **Foto, J.M. Pérouse de Montclos, *L'Architecture*cit. (cfr. bibliografia): La Flèche, collegio dei Gesuiti, tribuna d'organo (Jacques Nadreau, 1636). M. Jousse, *Secrtet cit* (cfr. bibliografia), fol. 108;**

Tipo di modellazione: **3D Superficiale;**

Software utilizzati: **Rhinoceros, 3d Studio Max 5, Photoshop 7.**

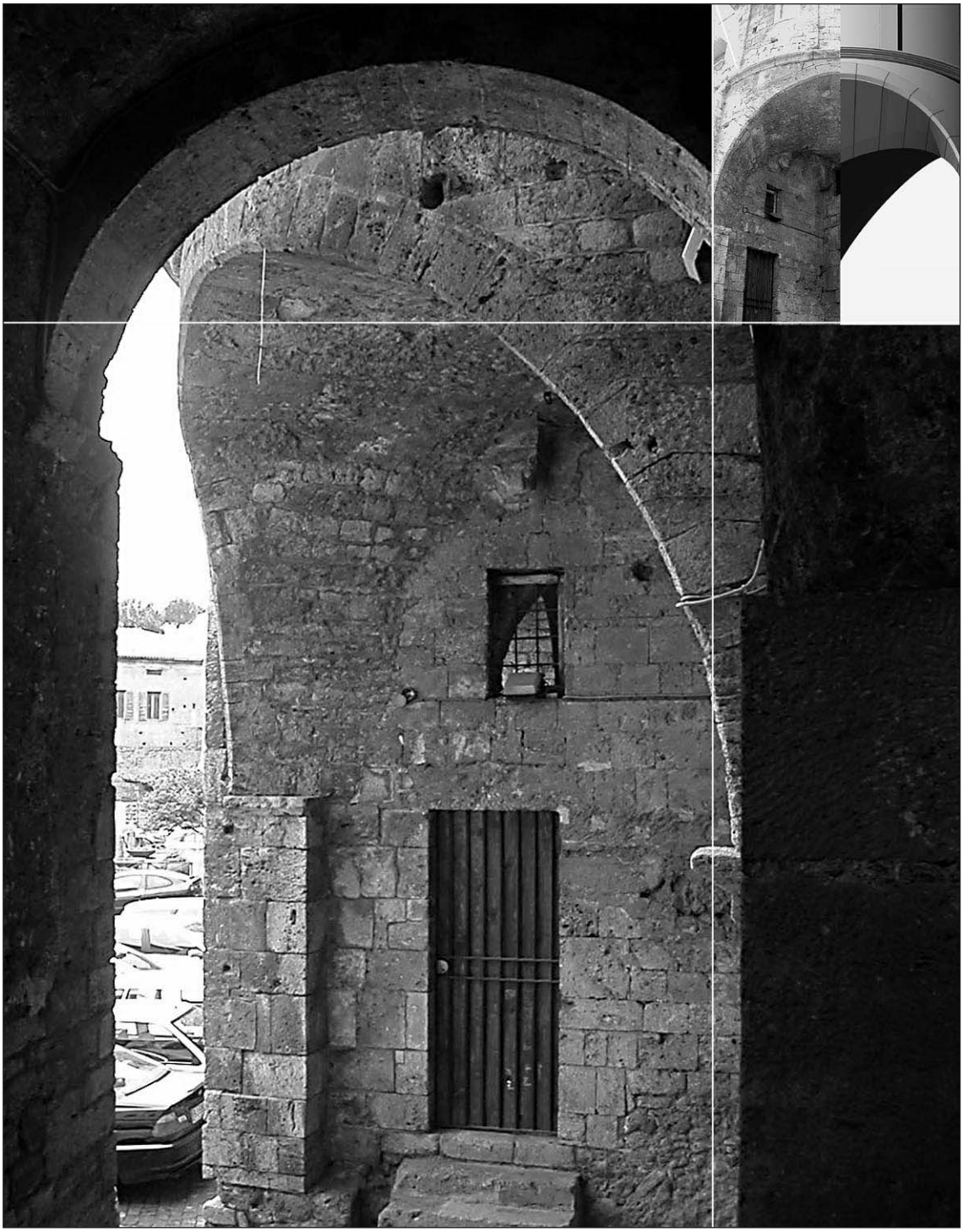


TAVOLA N° 224

Argomento della tavola: **Trompe con apparecchiatura cilindrica: batti stero della cattedrale di Anagni (Roma);**

Fonti dell'elaborazione: **Rilievo fotografico;**

Tipo di modellazione: **3D Solido/superficiale;**

Software utilizzati: **Rhinoceros, 3d Studio Max 5, Photoshop 7.**

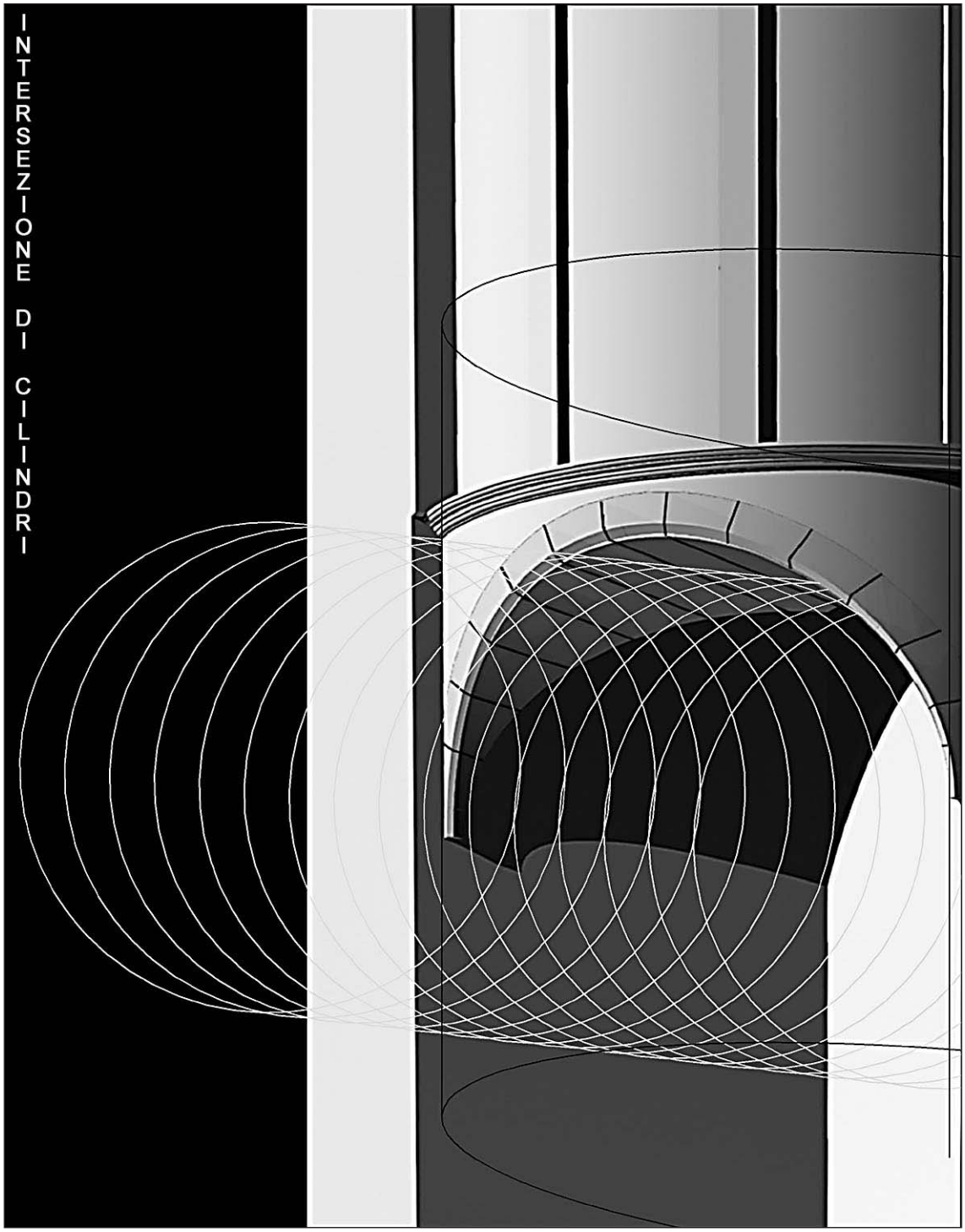


TAVOLA N° 225

Argomento della tavola: **Trompe con apparecchiatura cilindrica: batti stero della catt. di Anagni (Roma)- geometrie;**

Fonti dell'elaborazione: **Rilievo fotografico;**

Tipo di modellazione: **3D Solido/superficiale;**

Software utilizzati: **Rhinoceros, 3d Studio Max 5, Photoshop 7.**

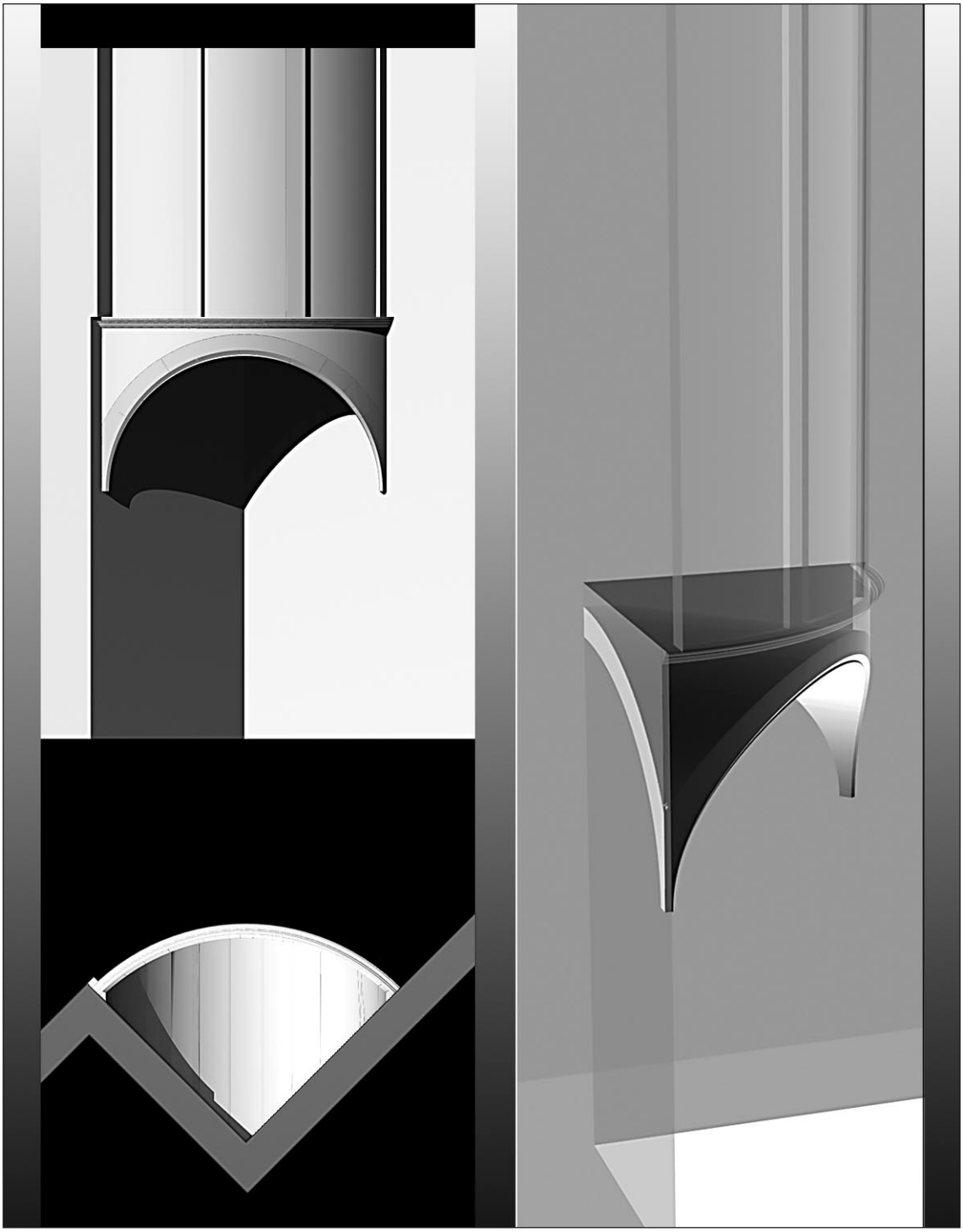


TAVOLA N° 226

Argomento della tavola: **Trompe con apparecchiatura cilindrica: batti stero della catt. di Anagni (Roma)- modello;**

Fonti dell'elaborazione: **Rilievo fotografico;**

Tipo di modellazione: **3D Solido/superficiale;**

Software utilizzati: **Rhinoceros, 3d Studio Max 5, Photoshop 7.**

7. Volte a ventaglio

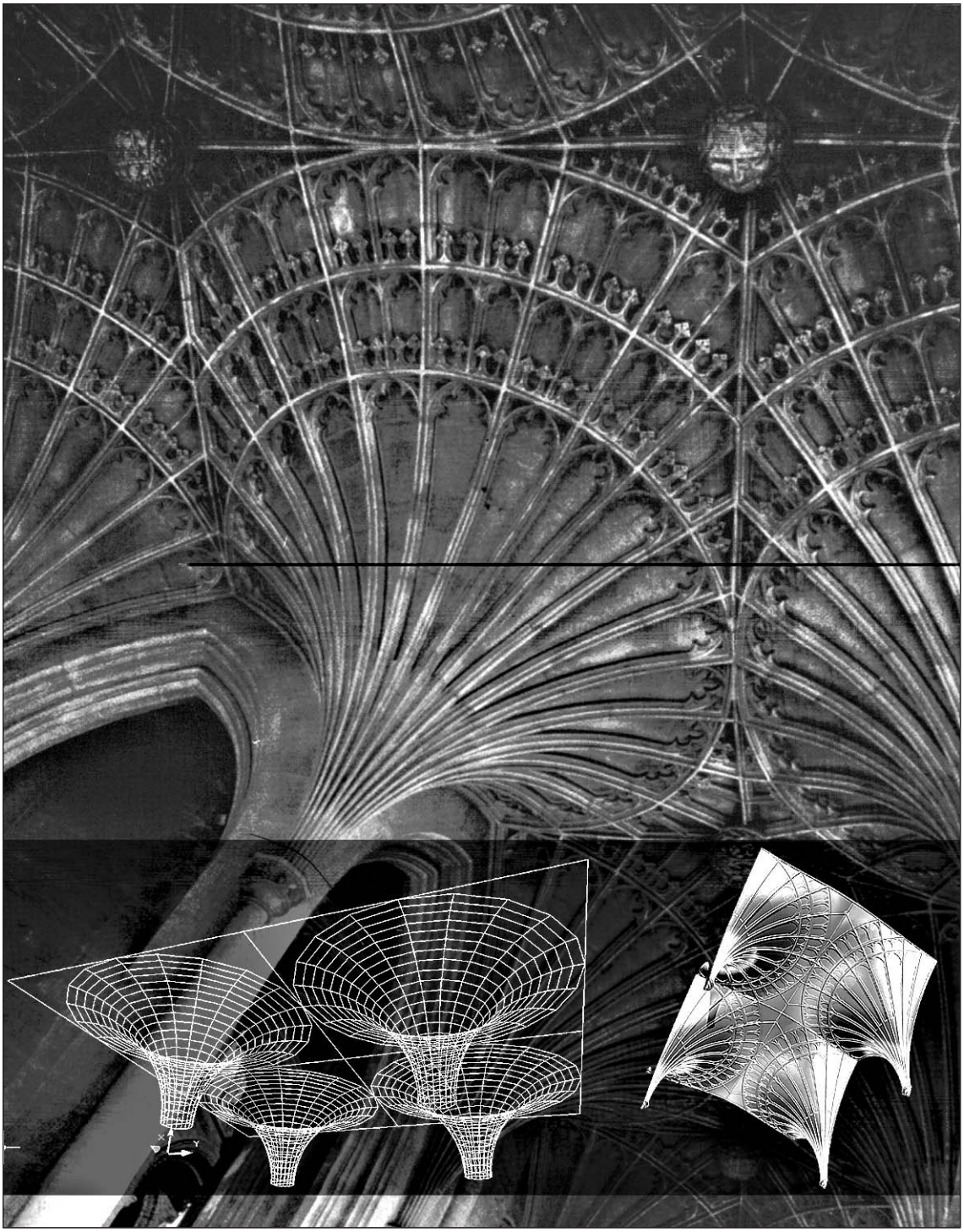


TAVOLA N° 227

Argomento della tavola: **Volta a ventaglio decorata: geometrie e modello;**

Fonti dell'elaborazione: **Foto, R. Evans, *Projective*. (cfr. bibliografia): Cattedrale di Peterborough (J. Wastell, XVI sec.);**

Tipo di modellazione: **3D Solido/superficiale;**

Software utilizzati: **Rhinoceros, 3d Studio Max 5, Photoshop 7.**

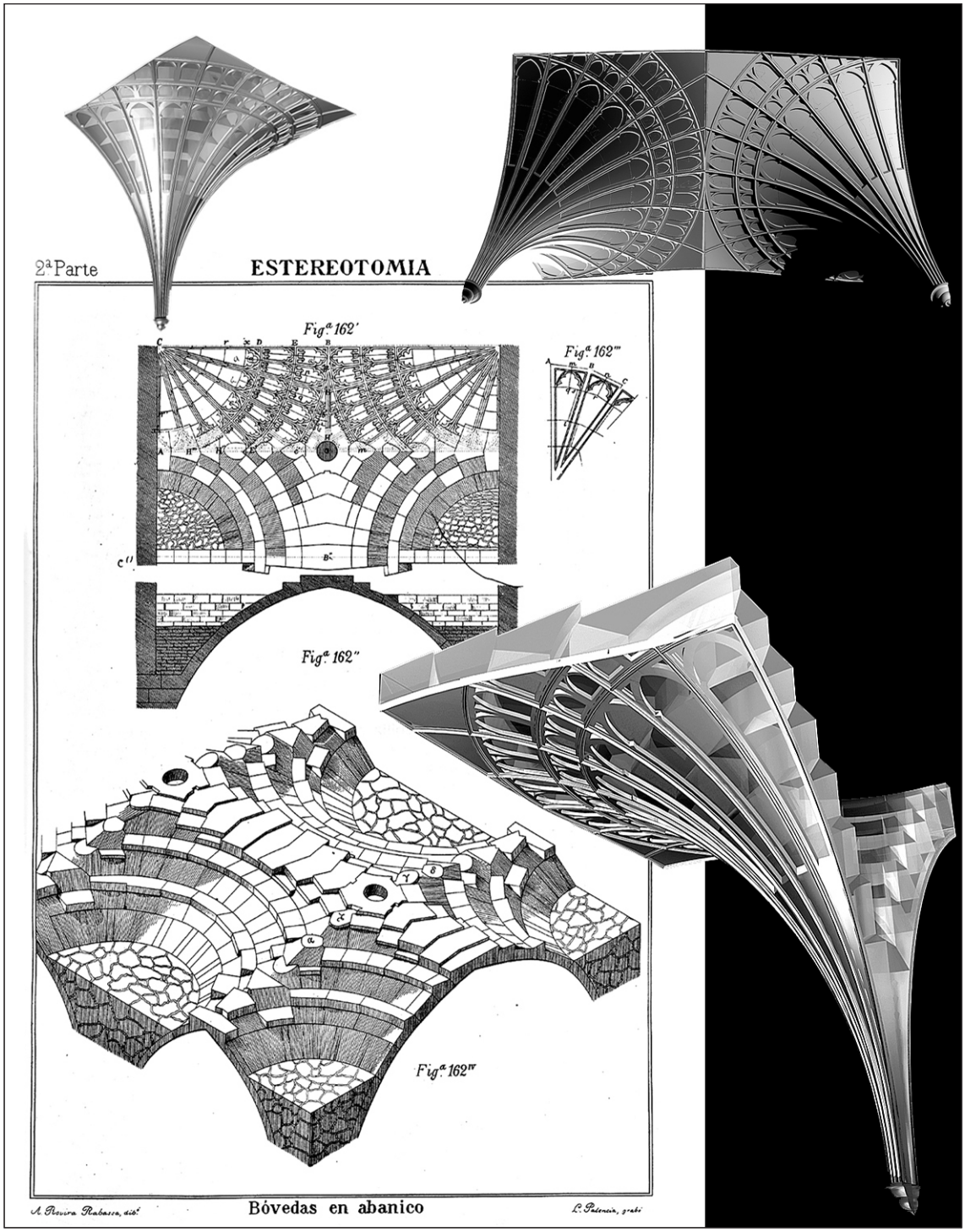


TAVOLA N° 228

Argomento della tavola: **Volta a ventaglio decorata: modello solido;**

Fonti dell'elaborazione: **Foto, E. Rabasa Diaz, *Forma*. (cfr. bibliografia): Bovedas en abanico (A. Rovira Rabasa);**

Tipo di modellazione: **3D Solido/superficiale;**

Software utilizzati: **Rhinoceros, 3d Studio Max 5, Photoshop 7.**

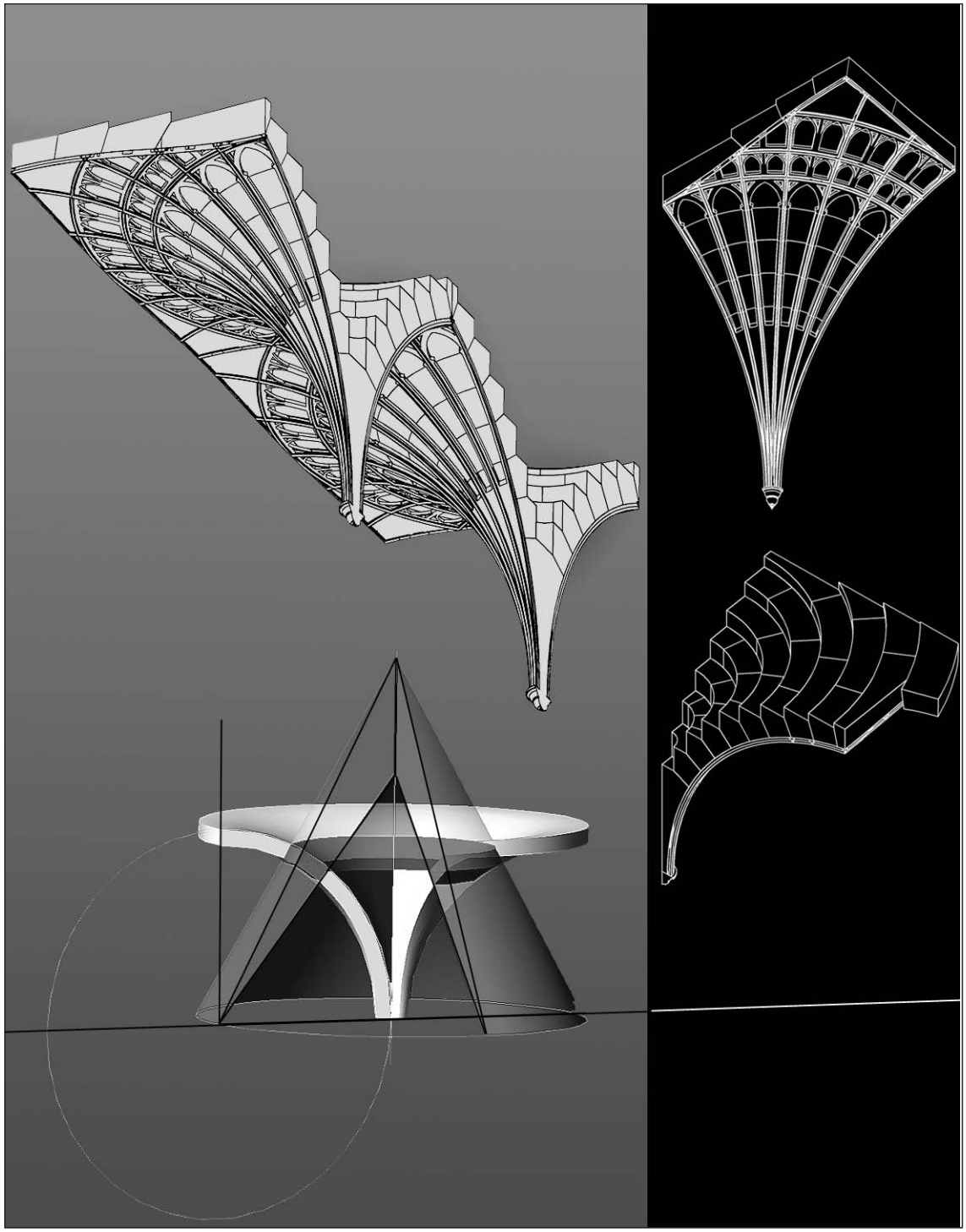


TAVOLA N° 229

Argomento della tavola: **Volta a ventaglio decorata: apparecchiatura della volta e genesi geometrica del "concio";**

Fonti dell'elaborazione: **Foto, E. Rabasa Diaz, *Forma*. (cfr. bibliografia): Bovedas en abanico (A. Rovira Rabasa);**

Tipo di modellazione: **3D Solido/superficiale;**

Software utilizzati: **Rhinoceros, 3d Studio Max 5, Photoshop 7.**

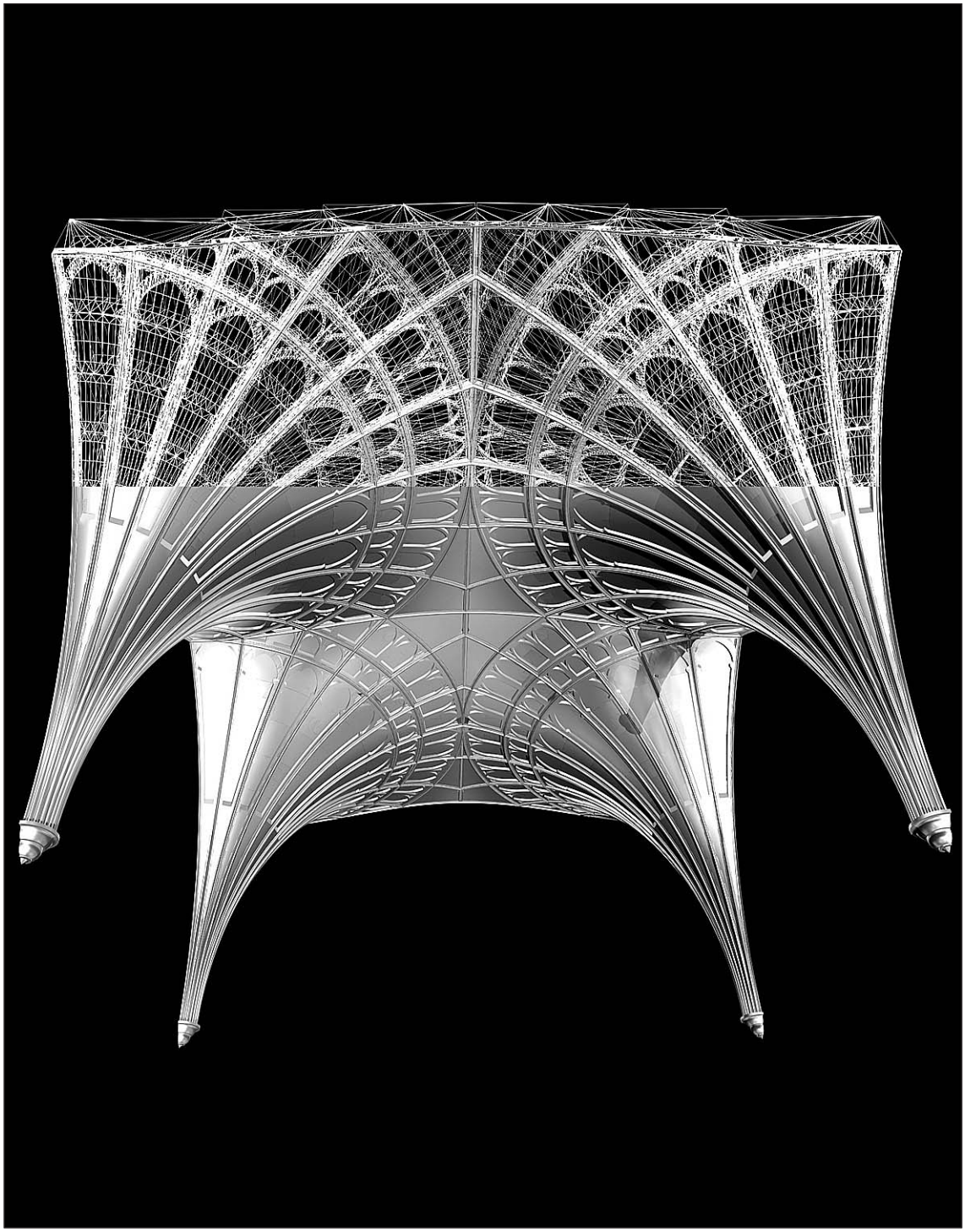


TAVOLA N° 230

Argomento della tavola: **Volta a ventaglio decorata: la mesh della decora zione;**

Fonti dell'elaborazione: **Foto, E. Rabasa Diaz, *Forma*. (cfr. bibliografia): Bovedas en abanico (A. Rovira Rabasa);**

Tipo di modellazione: **3D Solido/superficiale;**

Software utilizzati: **Rhinoceros, 3d Studio Max 5, Photoshop 7.**

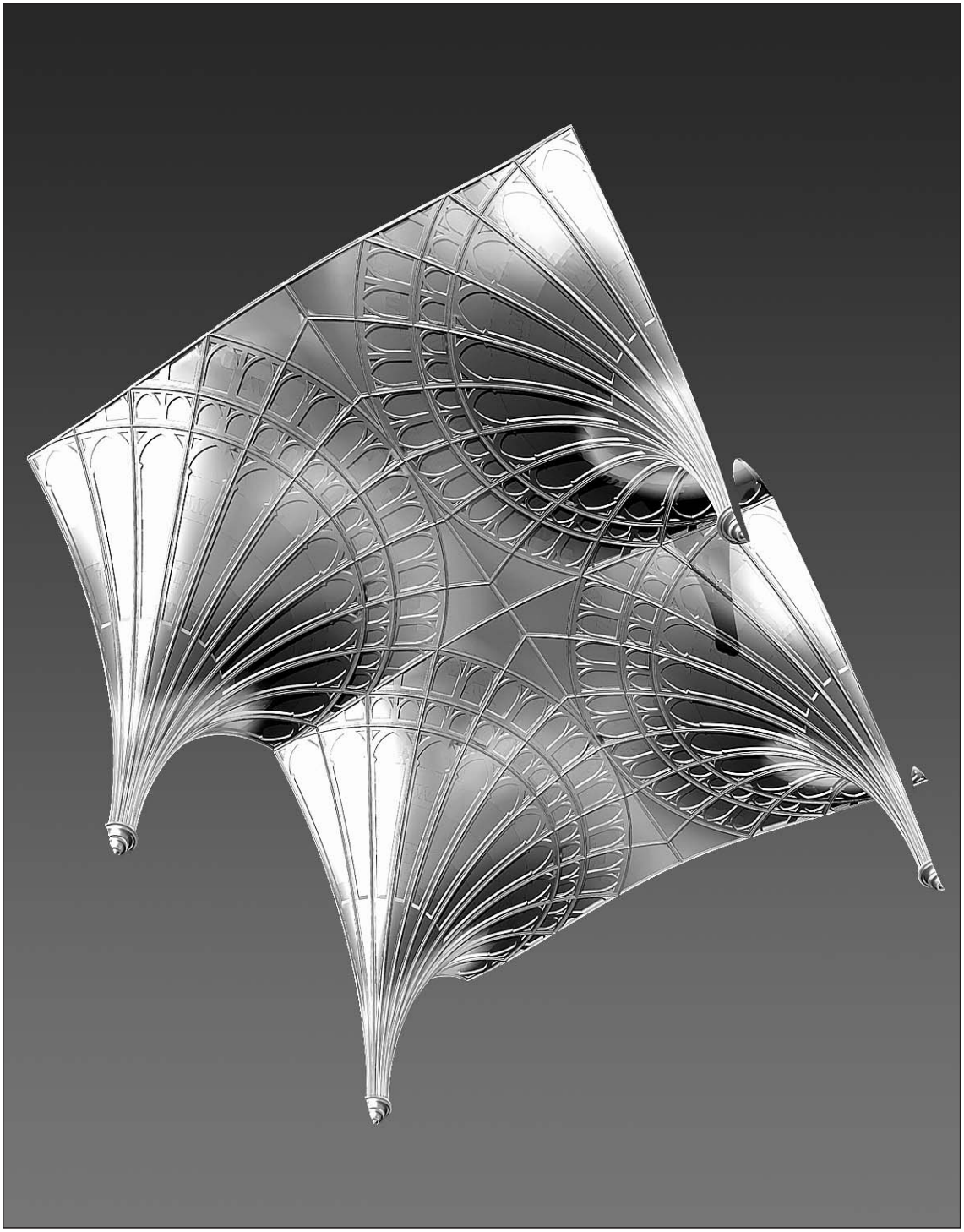


TAVOLA N° 231

Argomento della tavola: **Volta a ventaglio decorata: prospettiva dal basso;**

Fonti dell'elaborazione: **Foto, E. Rabasa Diaz, *Forma*. (cfr. bibliografia): Bovedas en abanico (A. Rovira Rabasa);**

Tipo di modellazione: **3D Solido/superficiale;**

Software utilizzati: **Rhinoceros, 3d Studio Max 5, Photoshop 7.**

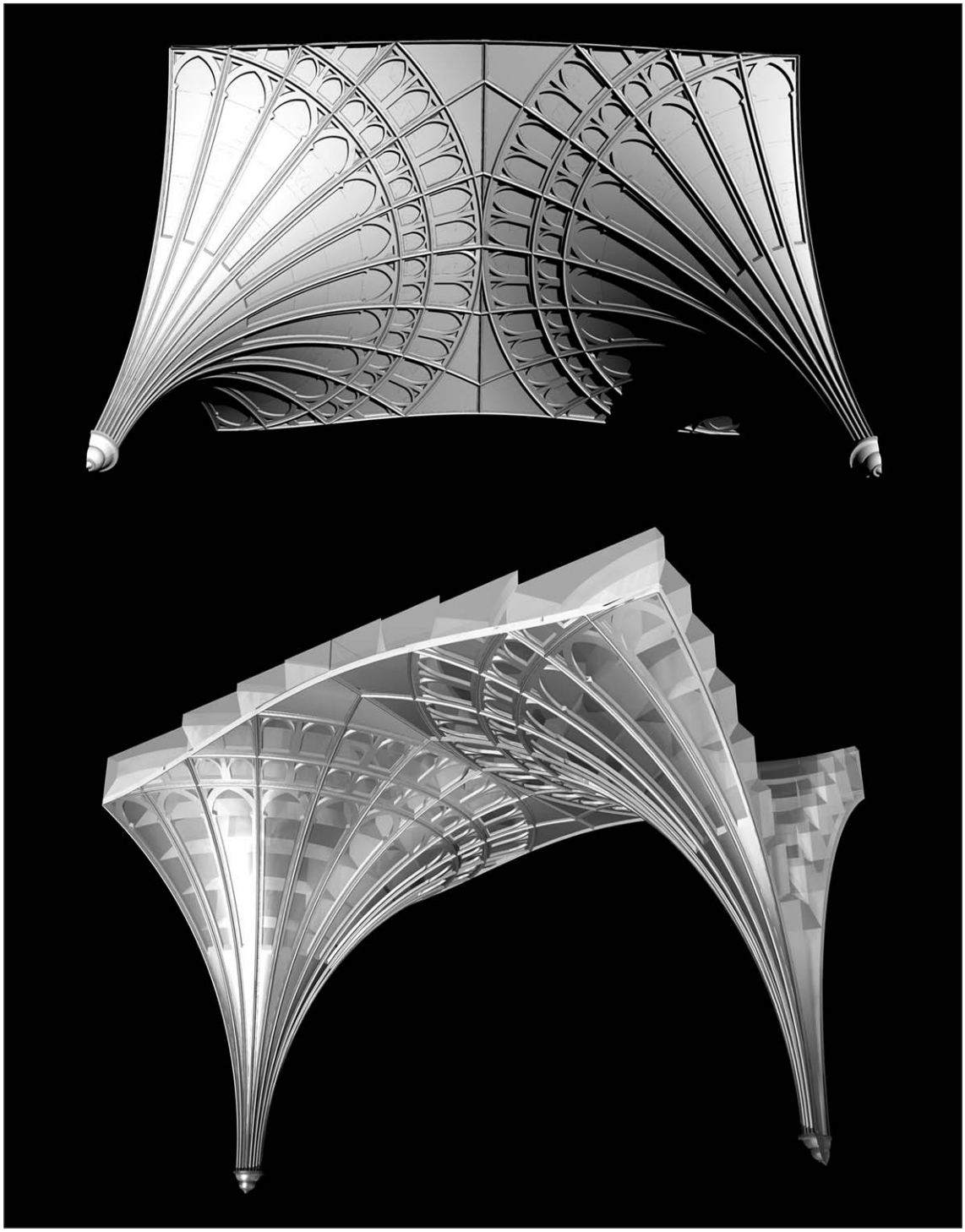


TAVOLA N° 232

Argomento della tavola: **Volta a ventaglio decorata: viste prospettiche;**

Fonti dell'elaborazione: **Foto, E. Rabasa Diaz, *Forma*. (cfr. bibliografia): Bovedas en abanico (A. Rovira Rabasa);**

Tipo di modellazione: **3D Solido/superficiale;**

Software utilizzati: **Rhinoceros, 3d Studio Max 5, Photoshop 7.**

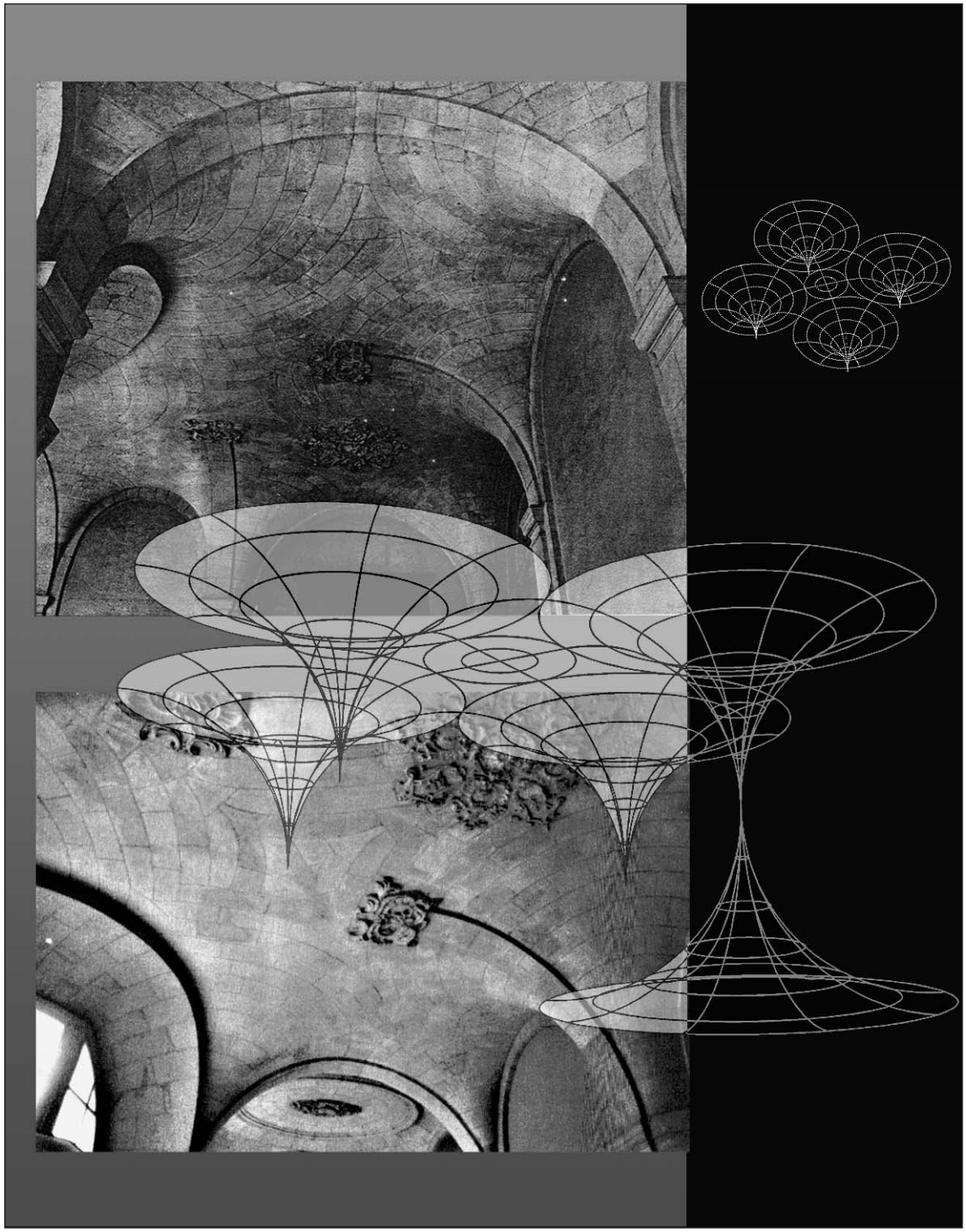


TAVOLA N° 233

Argomento della tavola: **Volta a ventaglio liscia: geometrie;**

Fonti dell'elaborazione: **Foto, J.M. Pérouse de Montclos, *L'Architecture*cit. (cfr. bibliografia): Le Mans, abbazia N. Dame de l a Couture (metà del XVIII sec.);**

Tipo di modellazione: **3D Solido/superficiale;**

Software utilizzati: **Rhinoceros, 3d Studio Max 5, Photoshop 7.**

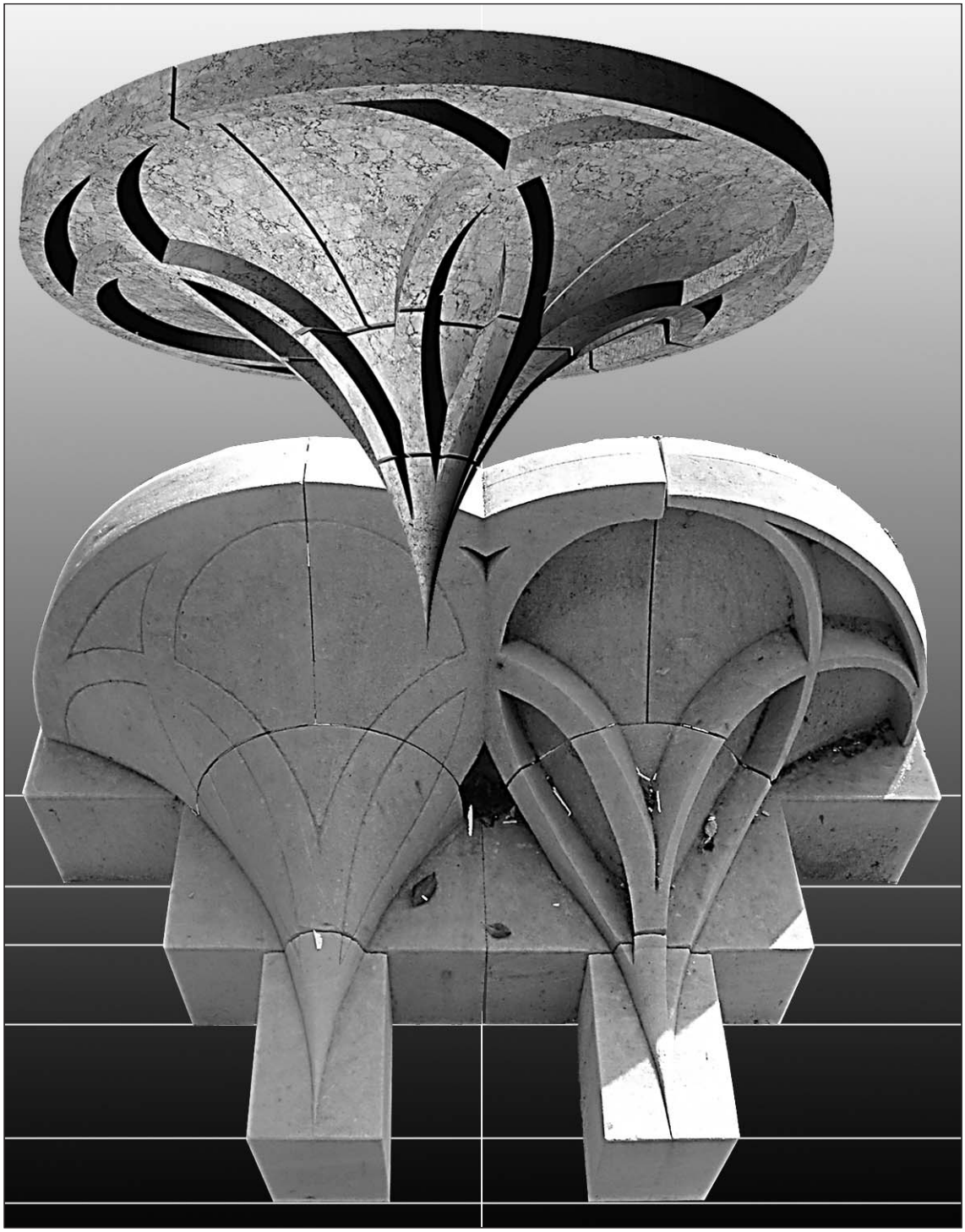


TAVOLA N° 234

Argomento della tavola: **Volta a ventaglio decorata: elementi terminali di imposta della volta;**

Fonti dell'elaborazione: **Rilievo fotografico Atelier S. Jacques (Compagnon du devoir, Parigi);**

Tipo di modellazione: **3D Solido/superficiale;**

Software utilizzati: **Rhinoceros, 3d Studio Max 5, Photoshop 7.**

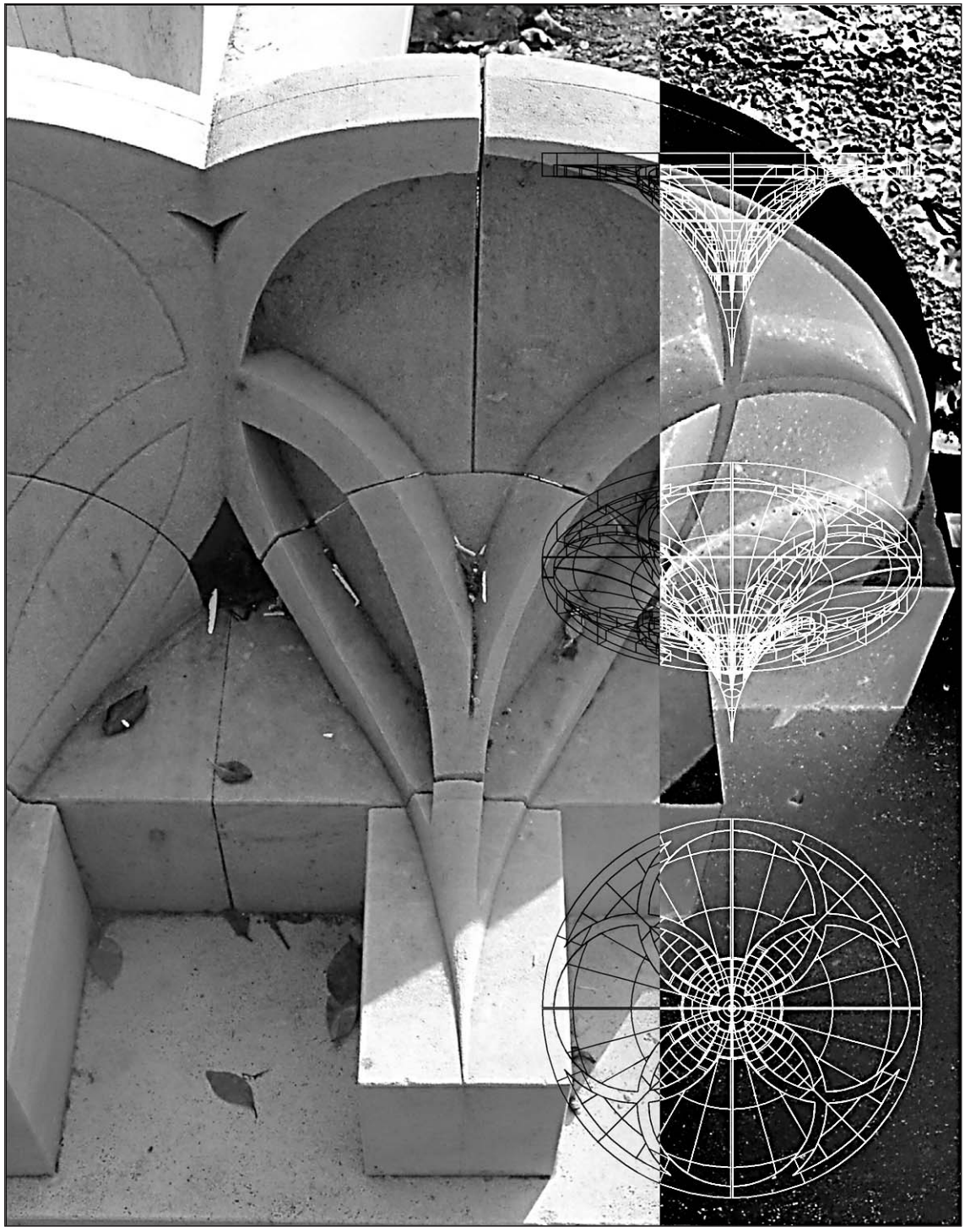


TAVOLA N° 235

Argomento della tavola: **Volta a ventaglio decorata: elementi terminali di imposta della volta - geometrie;**

Fonti dell'elaborazione: **Rilievo fotografico Atelier S. Jacques (Compagnon du devoir, Parigi);**

Tipo di modellazione: **3D Solido/superficiale;**

Software utilizzati: **Rhinoceros, 3d Studio Max 5, Photoshop 7.**



TAVOLA N° 236

Argomento della tavola: **Volta a ventaglio decorata: spazio di invenzione;**

Fonti dell'elaborazione: **Rilievo fotografico Atelier S. Jacques (Compagnon du devoir, Parigi);**

Tipo di modellazione: **3D Solido/superficiale;**

Software utilizzati: **Rhinoceros, 3d Studio Max 5, Photoshop 7.**

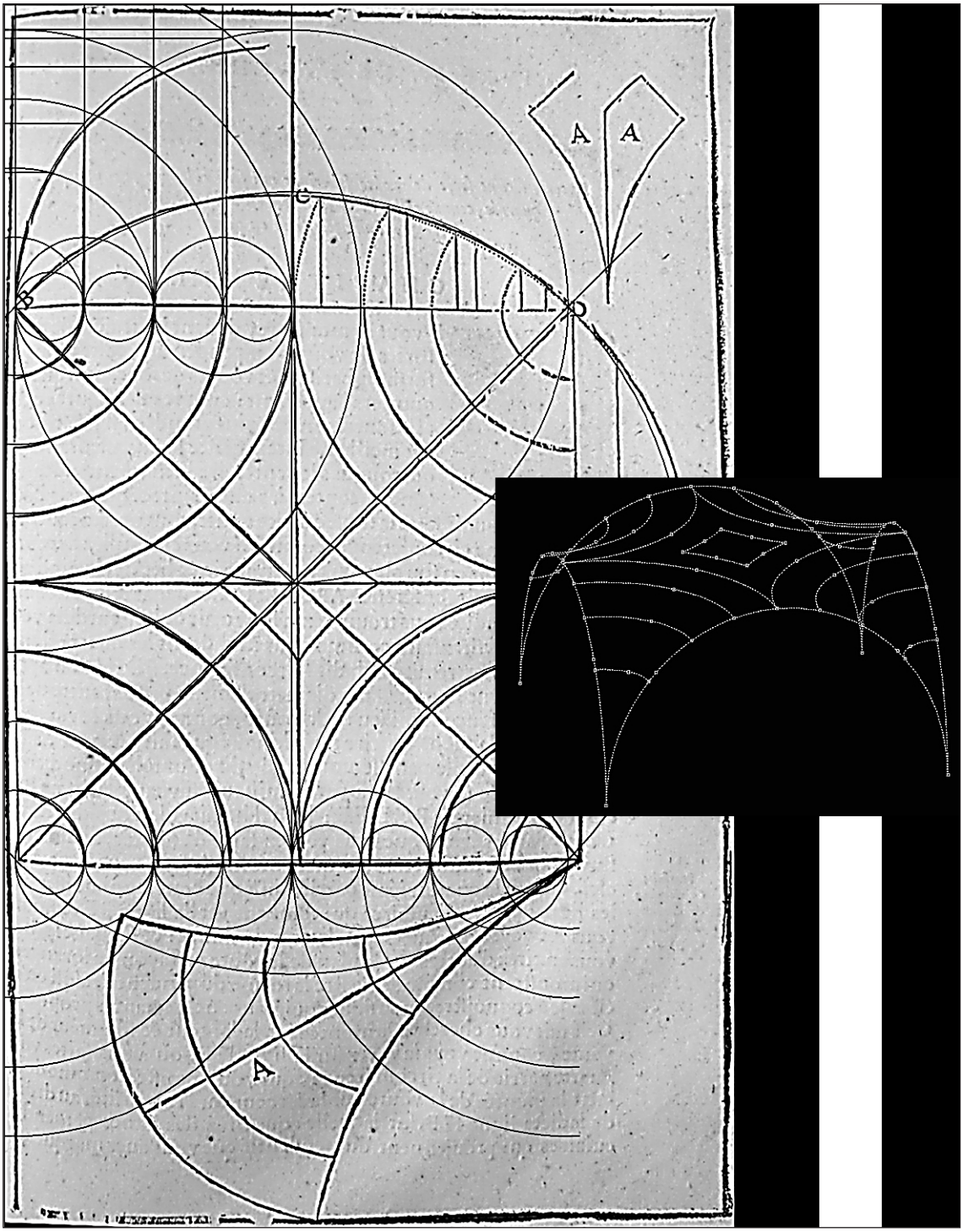


TAVOLA N° 237

Argomento della tavola: **Volta a ventaglio liscia: trait géométrique;**

Fonti dell'elaborazione: **P. Delorme, *Premiere* cit. (cfr. bibliografia), Libro IV, cap. XII, f. 114r.;**

Tipo di modellazione: **3D Superficiale;**

Software utilizzati: **Rhinoceros, 3d Studio Max 5, Photoshop 7.**

8. Cupole

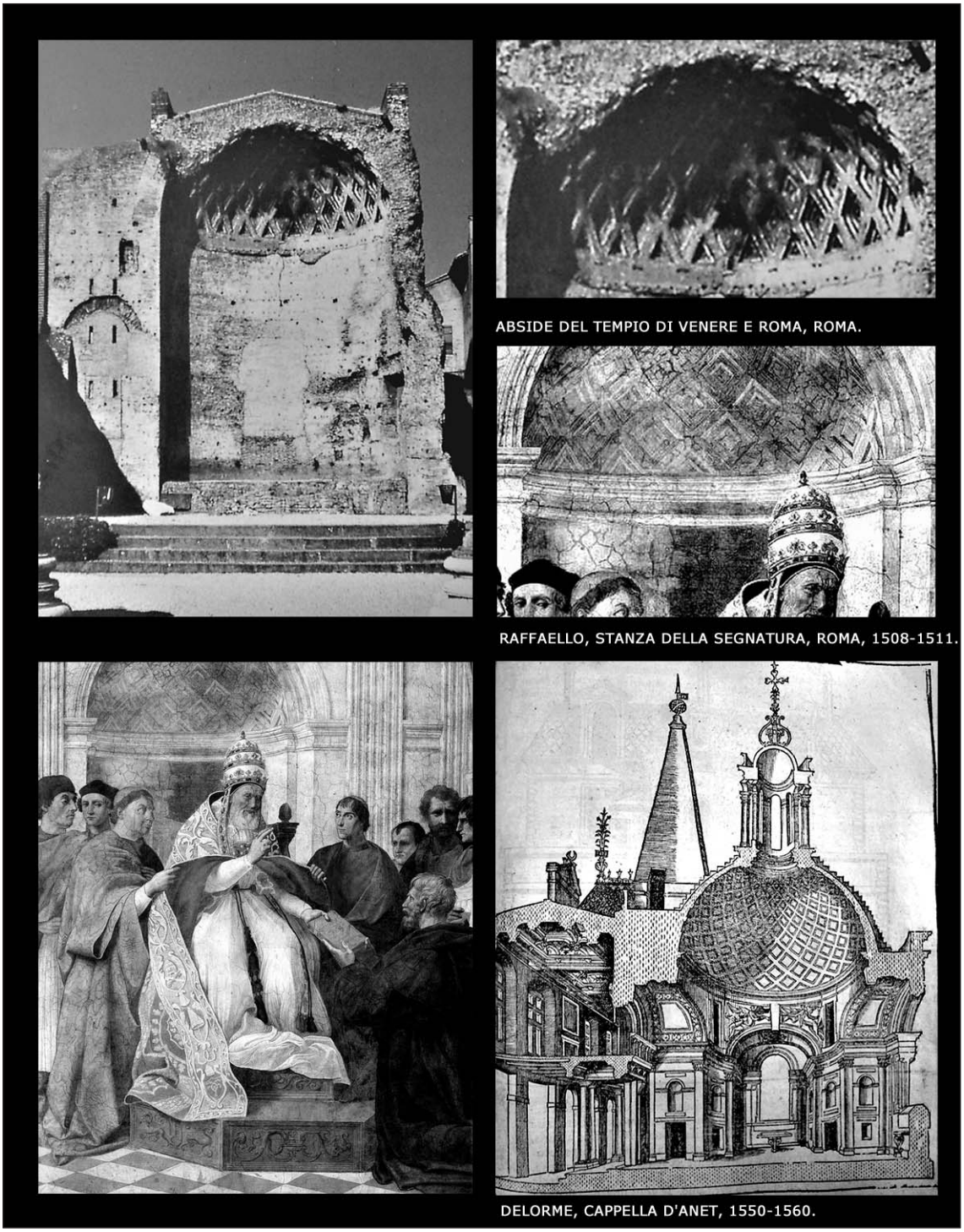


TAVOLA N° 238

Argomento della tavola: **Cupola cassettonata (Anet): antecedenti forma li;**

Fonti dell'elaborazione: **P. Delorme, *Premiere* cit. (cfr. bibliografia), Libro VIII, cap. XIII, f. 254r.;**

Tipo di modellazione: **3D Solido/superficiale;**

Software utilizzati: **Rhinoceros, 3d Studio Max 5, Photoshop 7.**



TAVOLA N° 239

Argomento della tavola: **Cupola cassettonata (Anet): geometrie;**

Fonti dell'elaborazione: **P. Delorme, *Premiere* cit. (cfr. bibliografia), Libro VIII, cap. XIII, f. 254r. Pianta: rilievi di Burgeois;**

Tipo di modellazione: **3D Solido/superficiale;**

Software utilizzati: **Rhinoceros, 3d Studio Max 5, Photoshop 7.**

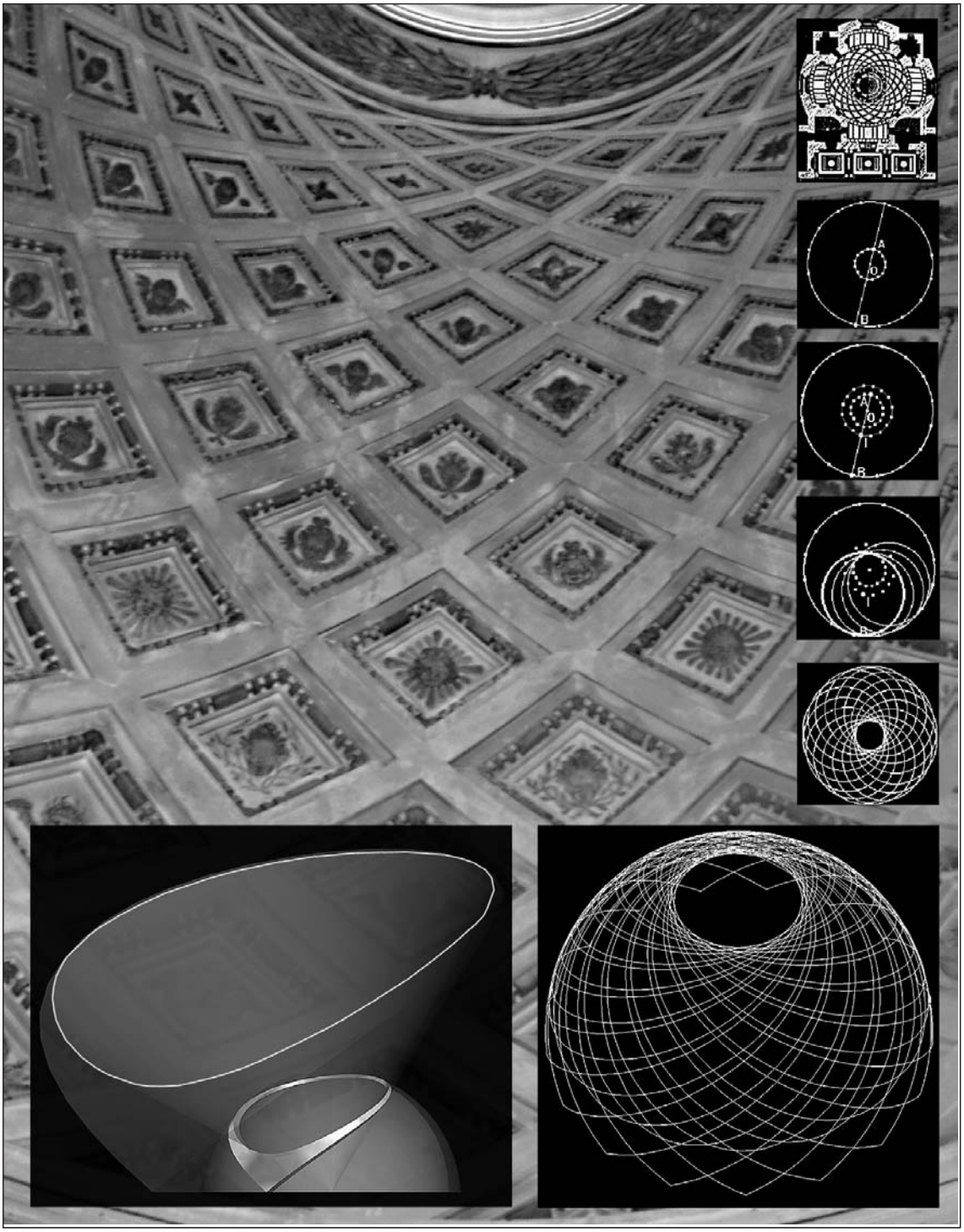


TAVOLA N° 240

Argomento della tavola: **Cupola cassettonata (Anet): geometrie del pavi mento/intradosso della volta;**

Fonti dell'elaborazione: **P. Delorme, *Premiere* cit. (cfr. bibliografia), Libro VIII, cap. XIII, f. 254r. Pianta: rilievi di Burgeois;**

Tipo di modellazione: **3D Solido/superficiale;**

Software utilizzati: **Rhinoceros, 3d Studio Max 5, Photoshop 7.**

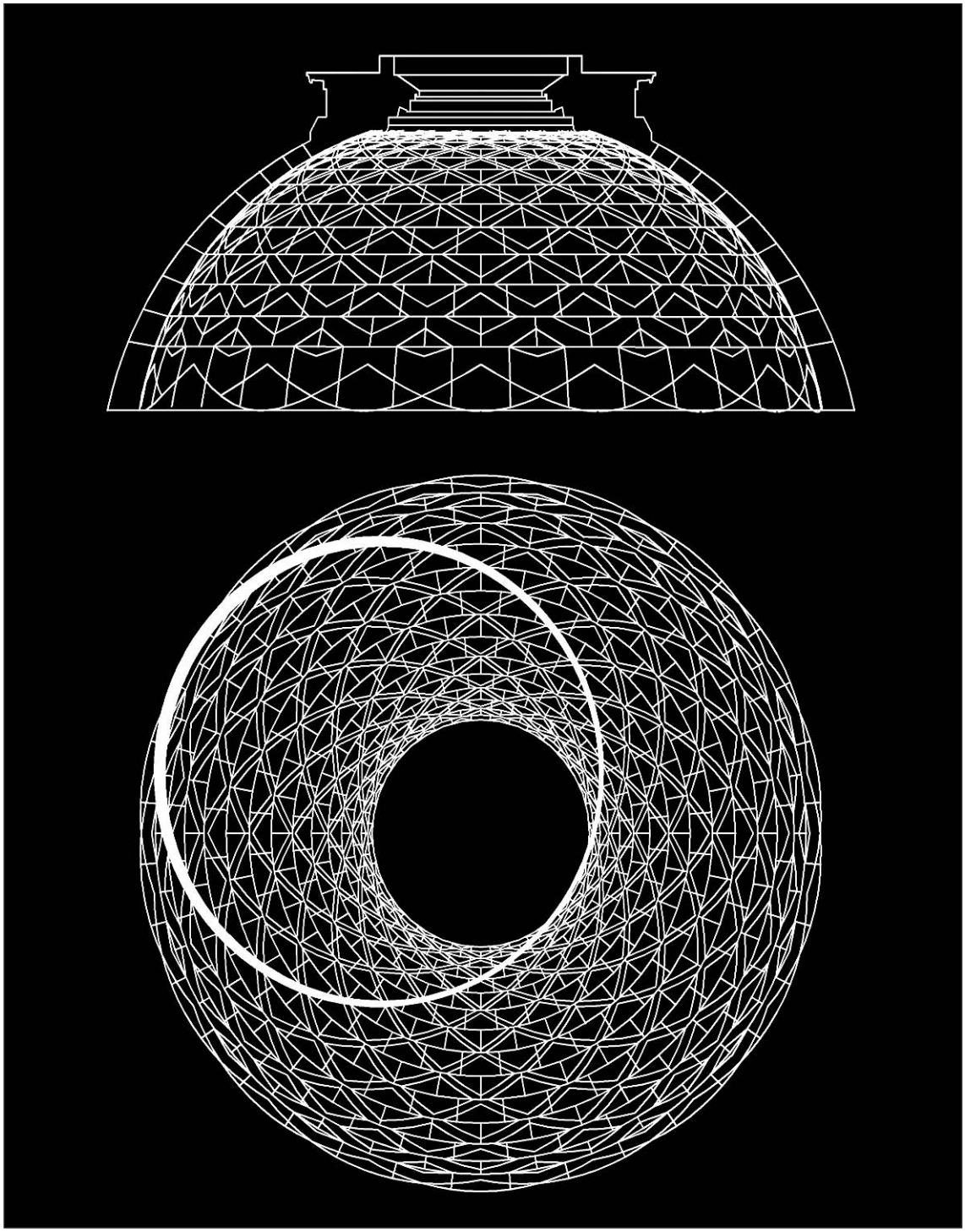


TAVOLA N° 241

Argomento della tavola: **Cupola cassettonata (Anet): proiezioni cilindri che tra pavimento/intradosso della volta;**

Fonti dell'elaborazione: **P. Delorme, *Premiere* cit. (cfr. bibliografia), Libro VIII, cap. XIII, f. 254r. Pianta: rilievi di Burgeois;**

Tipo di modellazione: **3D Solido/superficiale;**

Software utilizzati: **Rhinoceros, 3d Studio Max 5, Photoshop 7.**

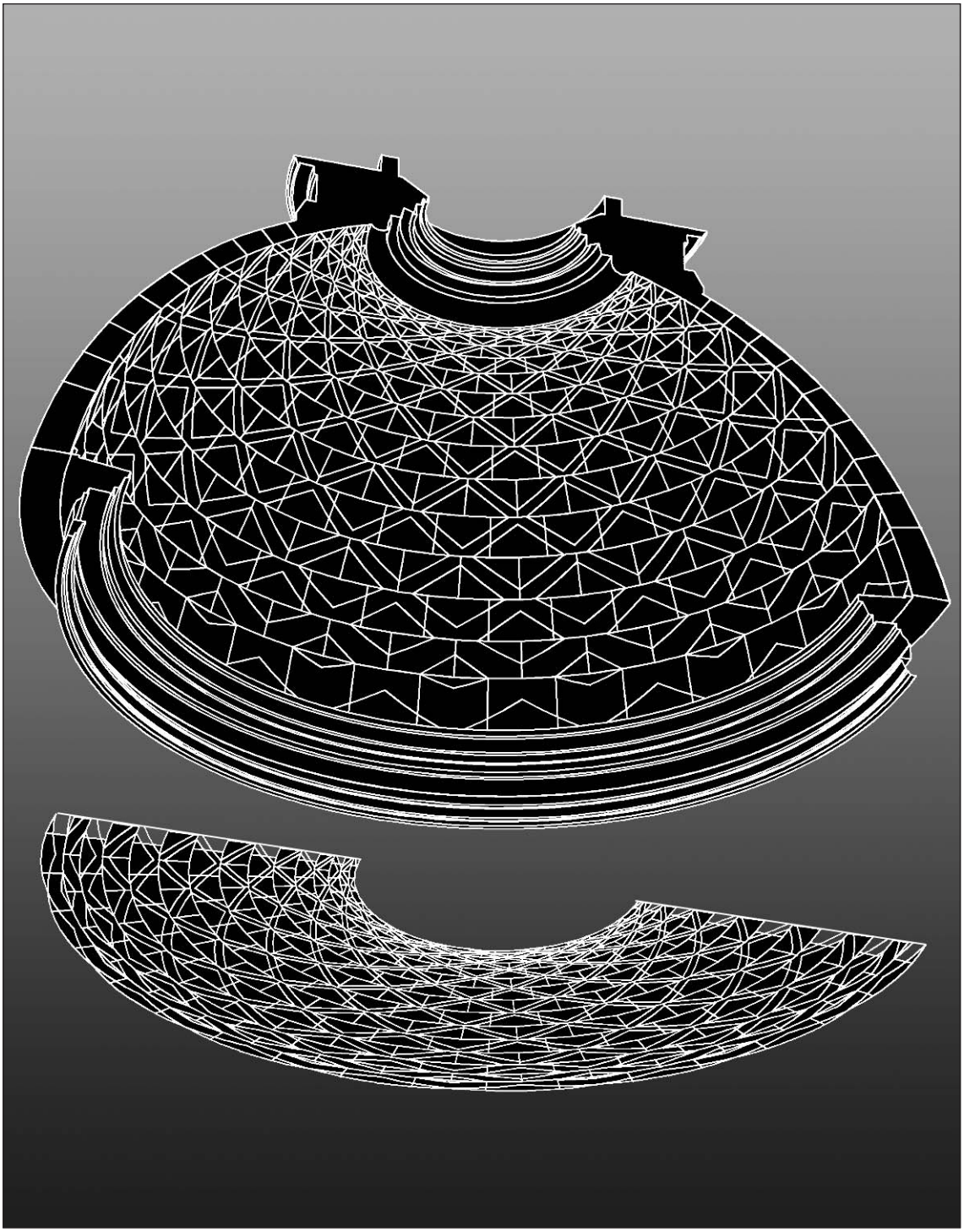


TAVOLA N° 242

Argomento della tavola:	**Cupola cassettonata (Anet): apparecchiatura della volta;**
Fonti dell'elaborazione:	**P. Delorme, *Premiere* cit. (cfr. bibliografia), Libro VIII, cap. XIII, f. 254r. Pianta: rilievi di Burgeois;**
Tipo di modellazione:	**3D Solido/superficiale;**
Software utilizzati:	**Rhinoceros, 3d Studio Max 5, Photoshop 7.**

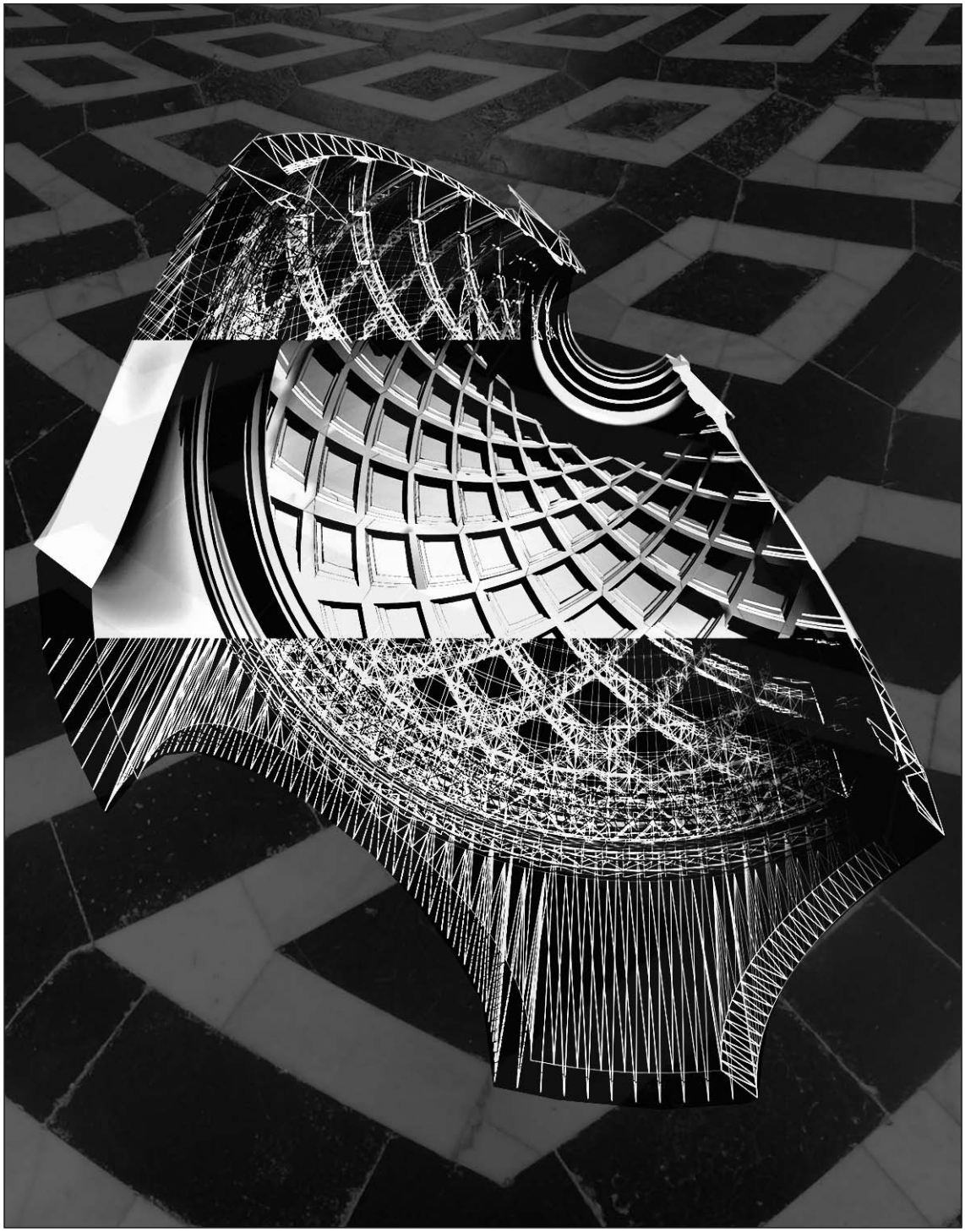


TAVOLA N° 243

Argomento della tavola:	**Cupola cassettonata (Anet): modello della volta, foto del pavimento;**
Fonti dell'elaborazione:	**P. Delorme, *Premiere* cit. (cfr. bibliografia), Libro VIII, cap. XIII, f. 254r. Pianta: rilievi di Burgeois;**
Tipo di modellazione:	**3D Solido/superficiale;**
Software utilizzati:	**Rhinoceros, 3d Studio Max 5, Photoshop 7.**

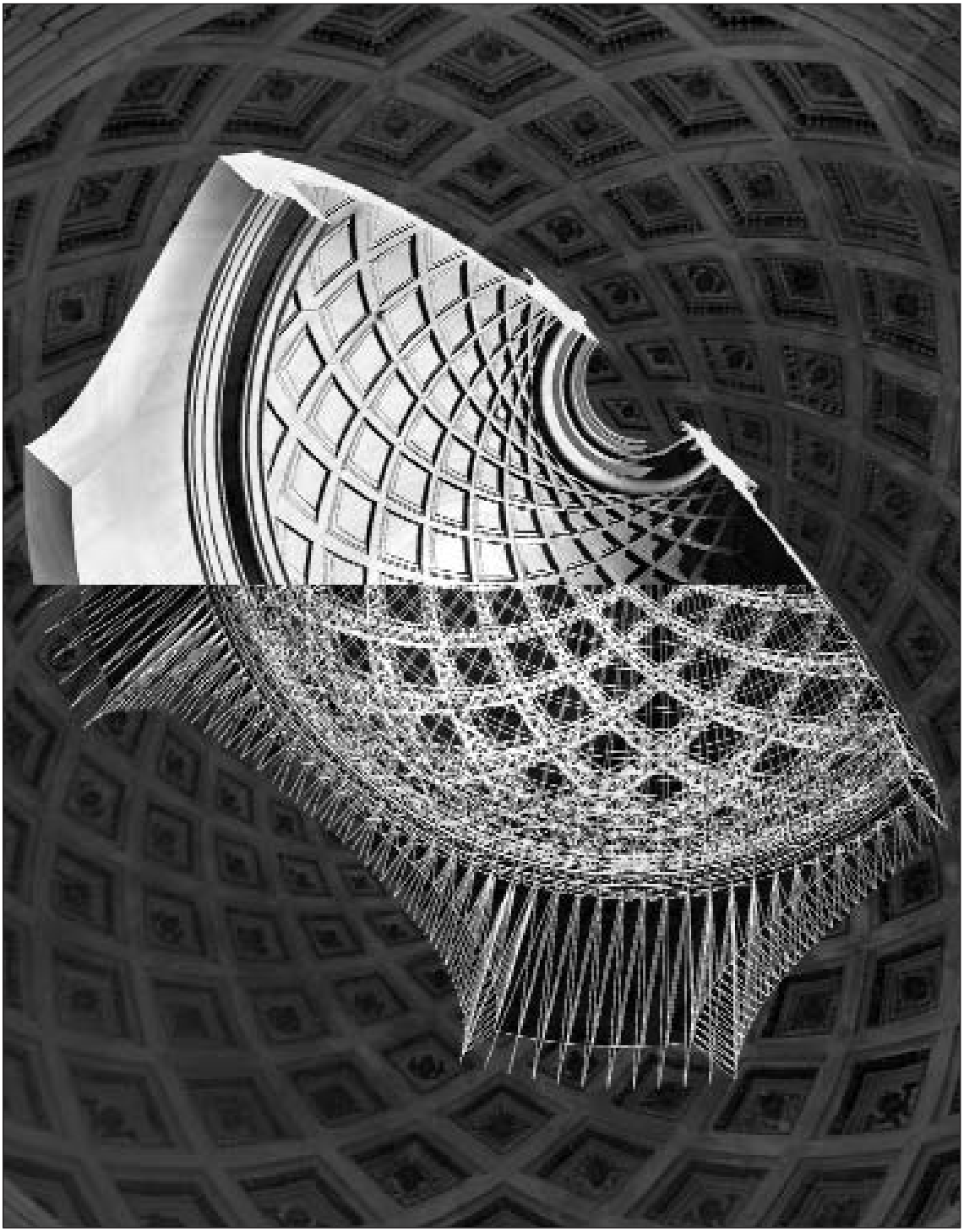


TAVOLA N° 244

Argomento della tavola:	**Cupola cassettonata (Anet): modello della volta, foto dell'intradosso;**
Fonti dell'elaborazione:	**P. Delorme, *Premiere* cit. (cfr. bibliografia), Libro VIII, cap. XIII, f. 254r. Pianta: rilievi di Burgeois;**
Tipo di modellazione:	**3D Solido/superficiale;**
Software utilizzati:	**Rhinoceros, 3d Studio Max 5, Photoshop 7.**

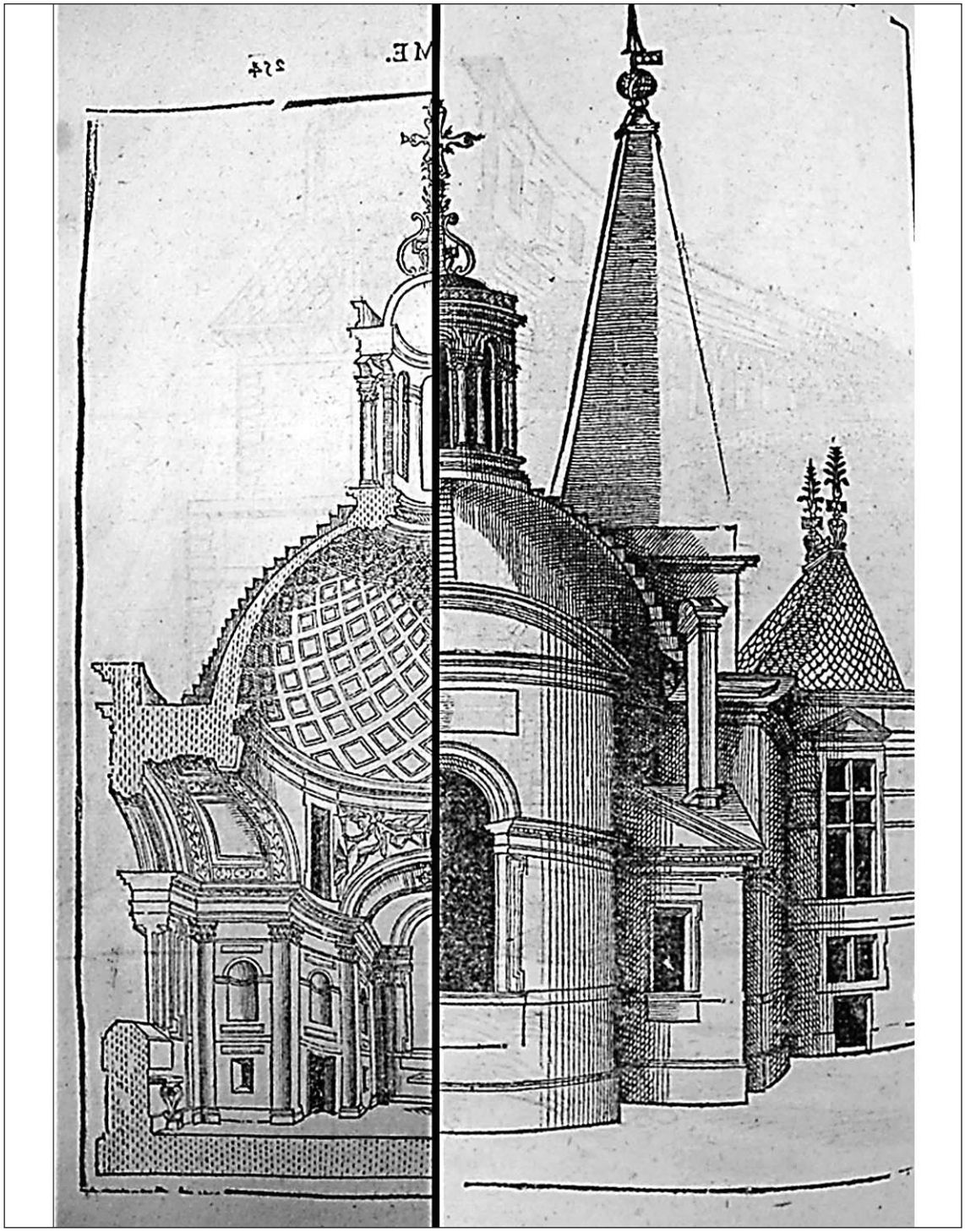


TAVOLA N° 245

Argomento della tavola: **Cupola cassettonata (Anet): sezione/prospetto;**

Fonti dell'elaborazione: **P. Delorme, *Premiere* cit. (cfr. bibliografia), Libro VIII, cap. XIII, ff. 254r., 264r.;**

Tipo di modellazione: **3D Solido/superficiale;**

Software utilizzati: **Rhinoceros, 3d Studio Max 5, Photoshop 7.**

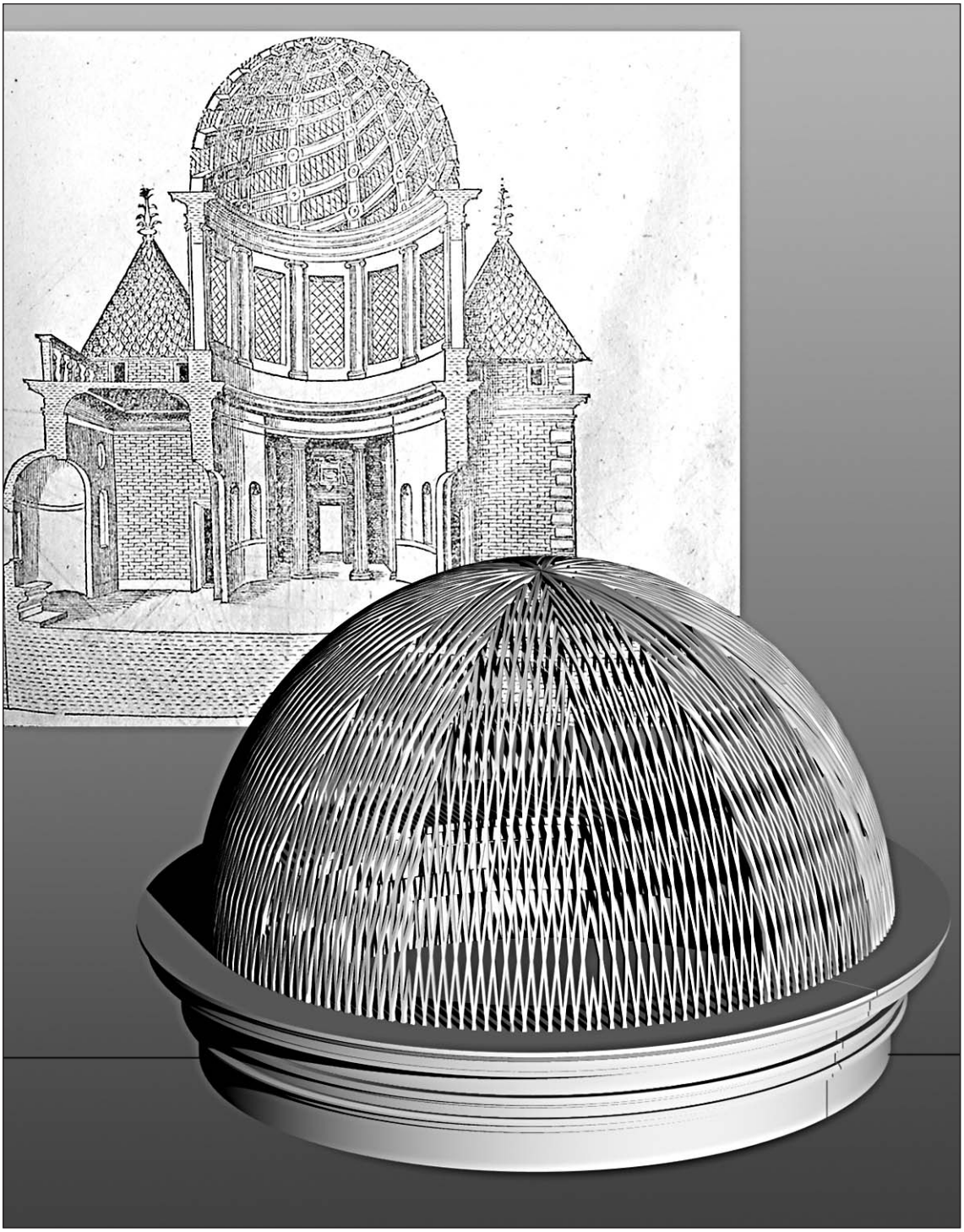


TAVOLA N° 246

Argomento della tavola: **Cupola a costoloni elicoidali e tamponamento vitreo: modello dell'estradosso;**

Fonti dell'elaborazione: **P. Delorme, *Premiere* cit. (cfr. bibliografia), Libro IV, cap. VIII, ff. 108v.;**

Tipo di modellazione: **3D Solido/superficiale;**

Software utilizzati: **Rhinoceros, 3d Studio Max 5, Photoshop 7.**

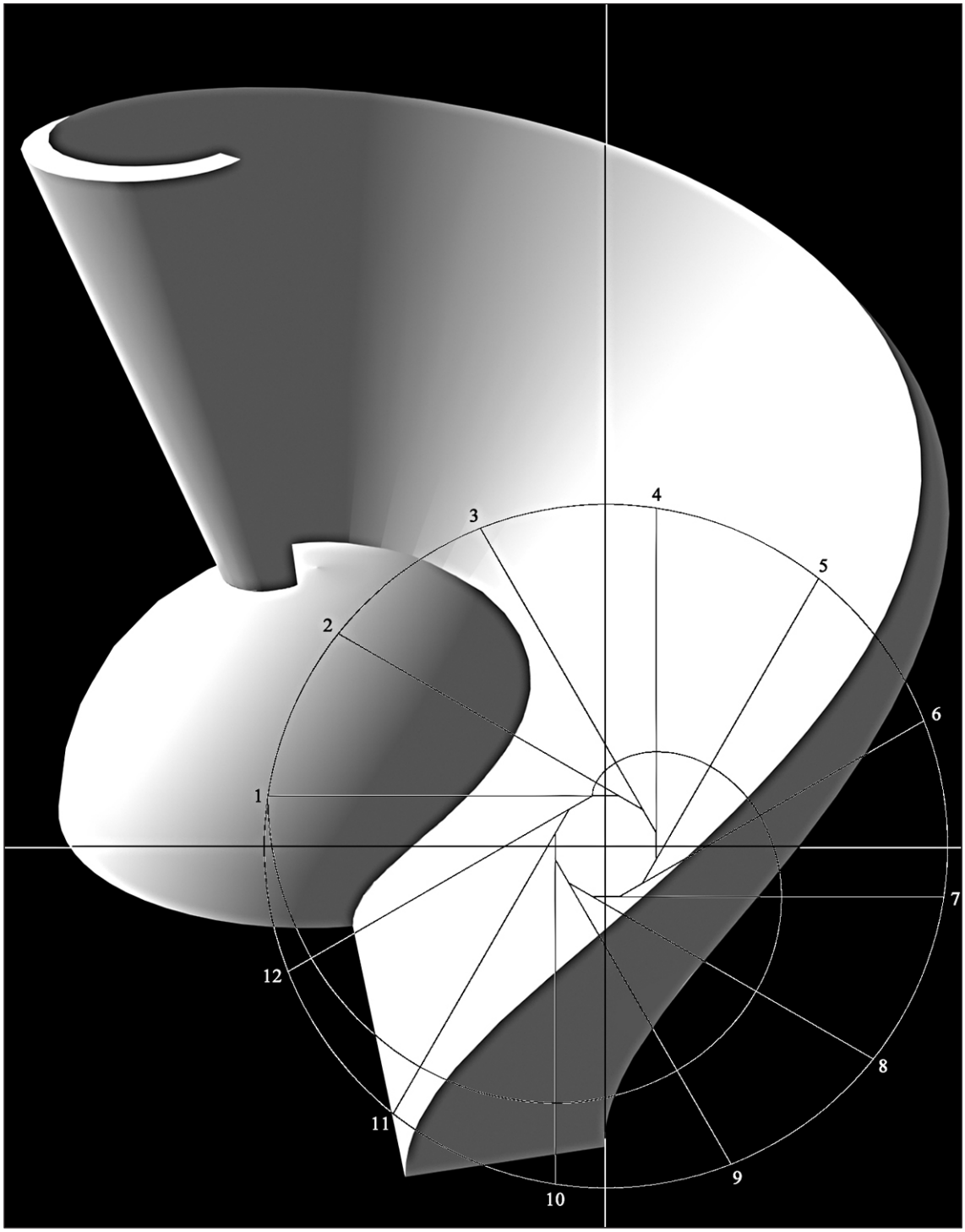


TAVOLA N° 247

Argomento della tavola: **Cupola a costoloni elicoidali e tamponamento vitreo: geometria solida del costolone-tipo;**

Fonti dell'elaborazione: **P. Delorme, *Premiere* cit. (cfr. bibliografia), Libro IV, cap. VIII, ff. 108v.;**

Tipo di modellazione: **3D Solido/superficiale;**

Software utilizzati: **Rhinoceros, 3d Studio Max 5, Photoshop 7.**

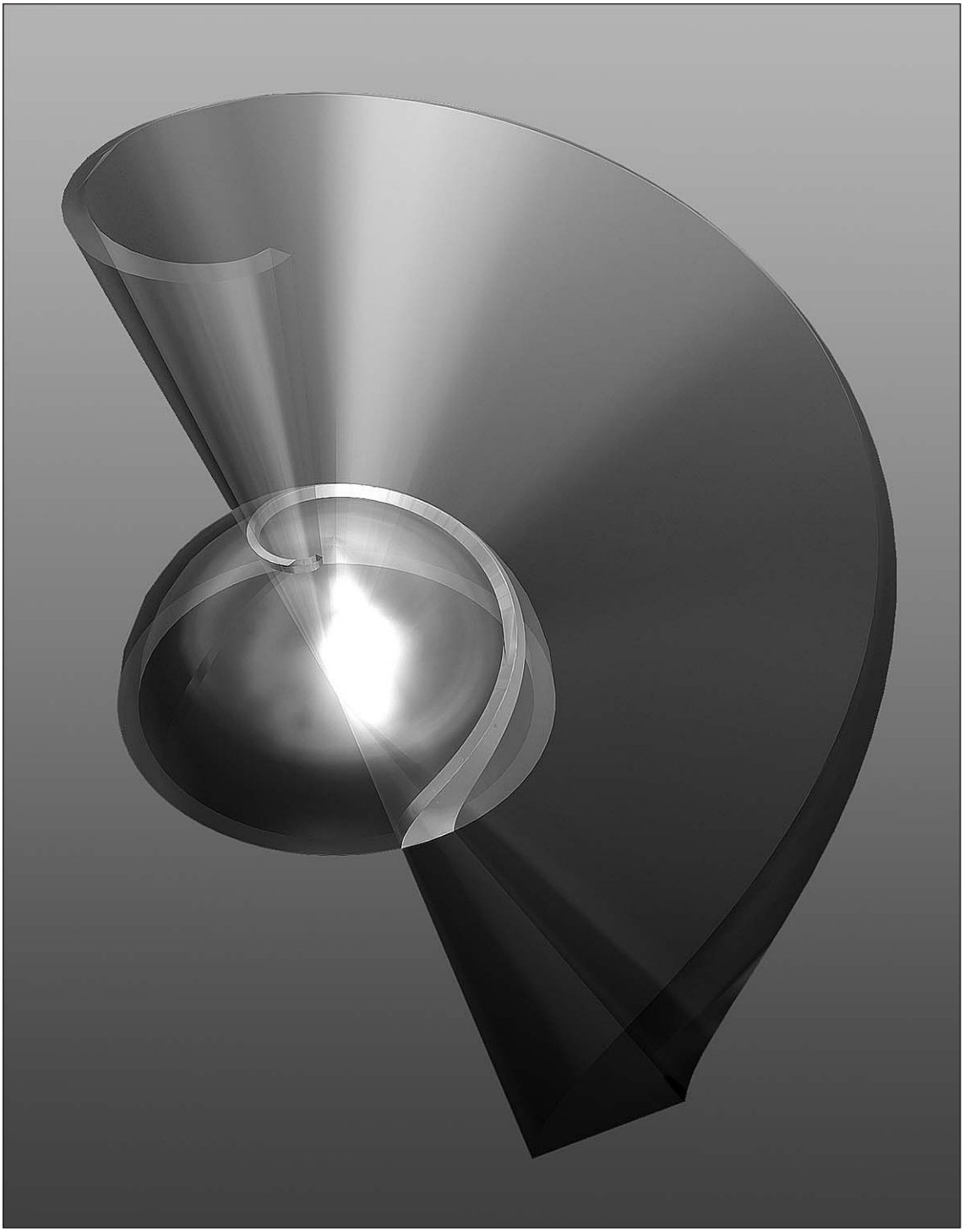


TAVOLA N° 248

Argomento della tavola: **Cupola a costoloni elicoidali e tamponamento vitreo: genesi geometrica del costolone-tipo;**

Fonti dell'elaborazione: **P. Delorme, *Premiere* cit. (cfr. bibliografia), Libro IV, cap. VIII, ff. 108v.;**

Tipo di modellazione: **3D Solido/superficiale;**

Software utilizzati: **Rhinoceros, 3d Studio Max 5, Photoshop 7.**

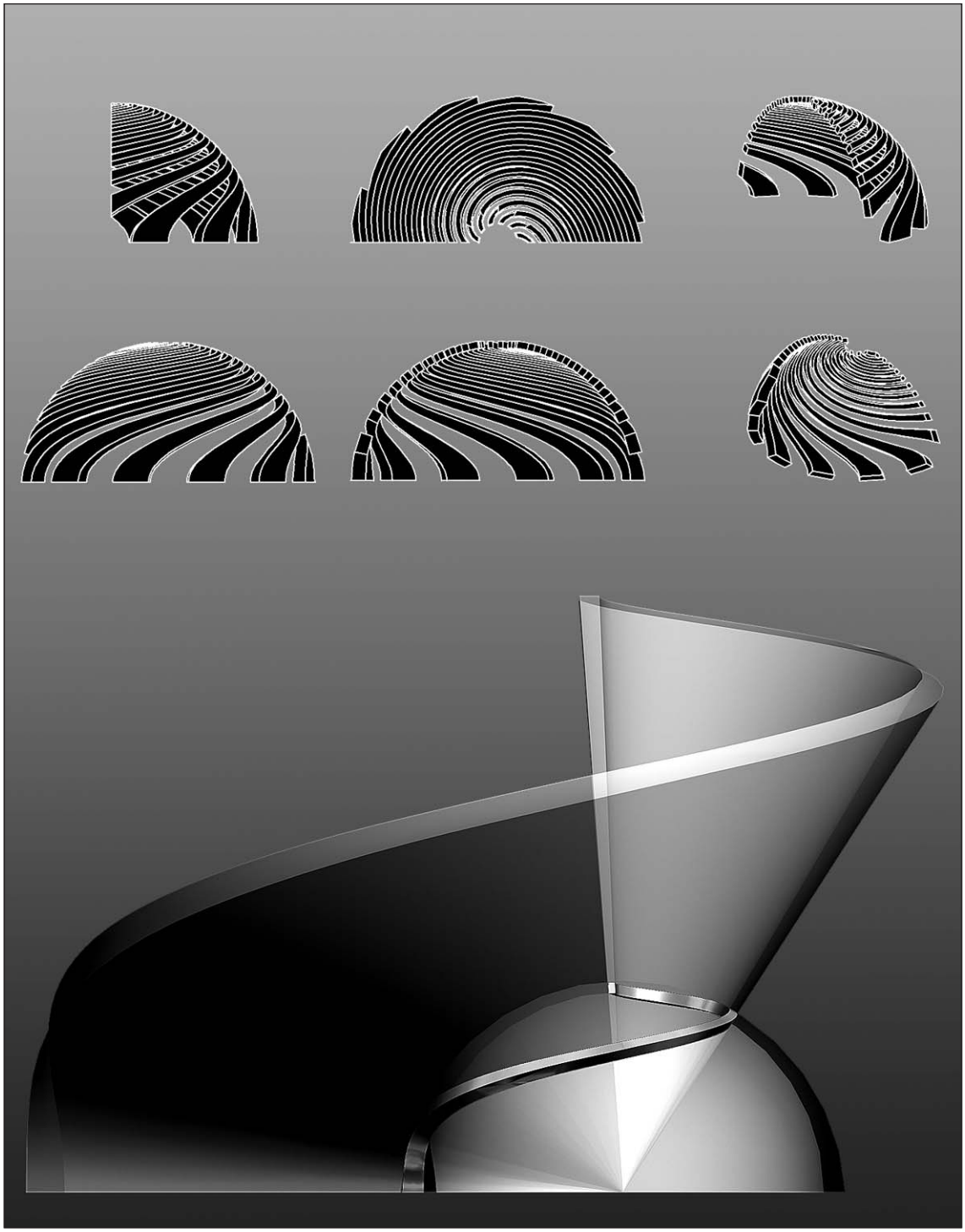


TAVOLA N° 249

Argomento della tavola: **Cupola a costoloni elicoidali e tamponamento vitreo: proiezioni dei costoloni;**

Fonti dell'elaborazione: **P. Delorme, *Premiere* cit. (cfr. bibliografia), Libro IV, cap. VIII, ff. 108v.;**

Tipo di modellazione: **3D Solido/superficiale;**

Software utilizzati: **Rhinoceros, 3d Studio Max 5, Photoshop 7.**

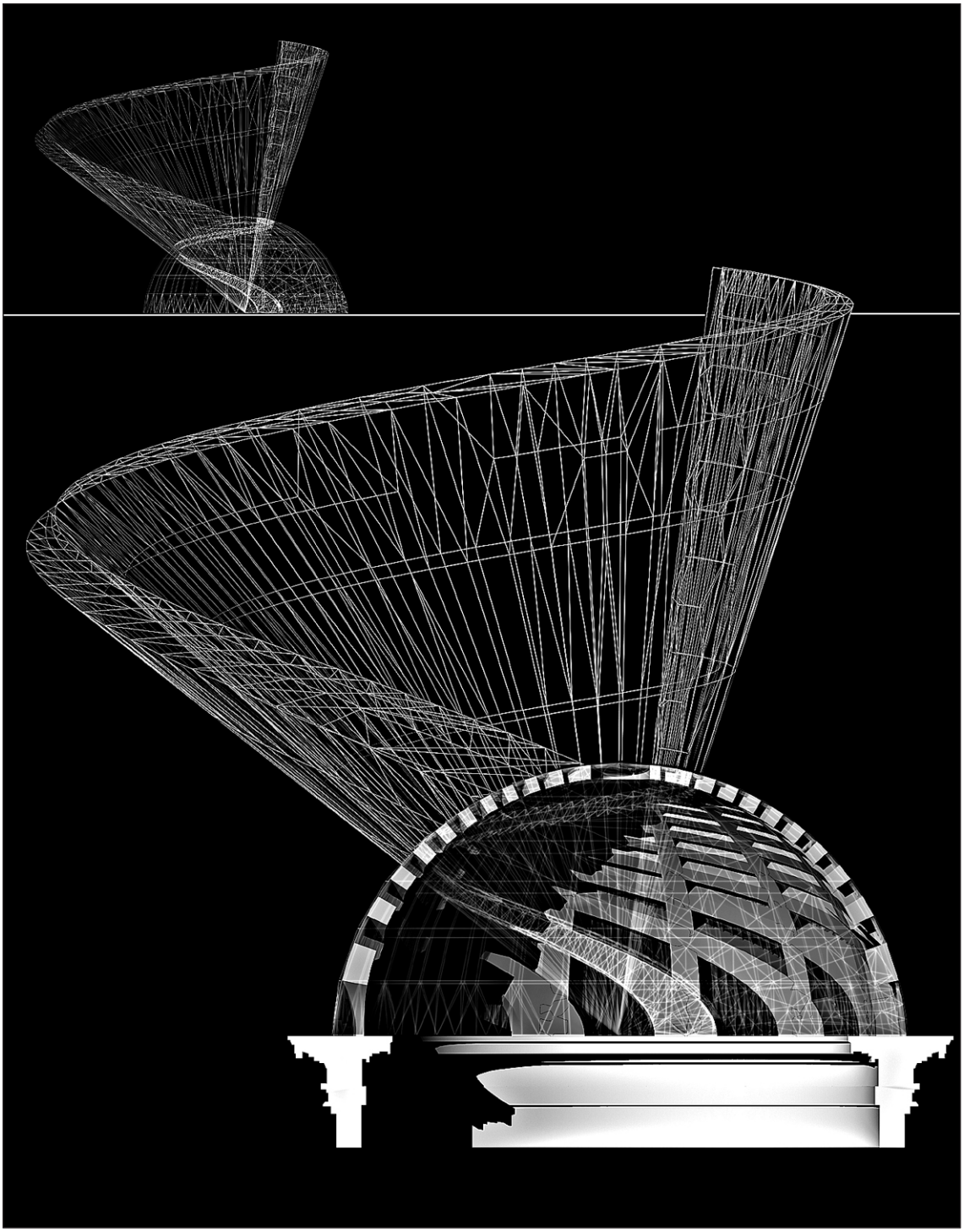


TAVOLA N° 250

Argomento della tavola: **Cupola a costoloni elicoidali e tamponamento vitreo: costoloni e superficie sferica;**

Fonti dell'elaborazione: **P. Delorme, *Premiere* cit. (cfr. bibliografia), Libro IV, cap. VIII, ff. 108v.;**

Tipo di modellazione: **3D Solido/superficiale;**

Software utilizzati: **Rhinoceros, 3d Studio Max 5, Photoshop 7.**

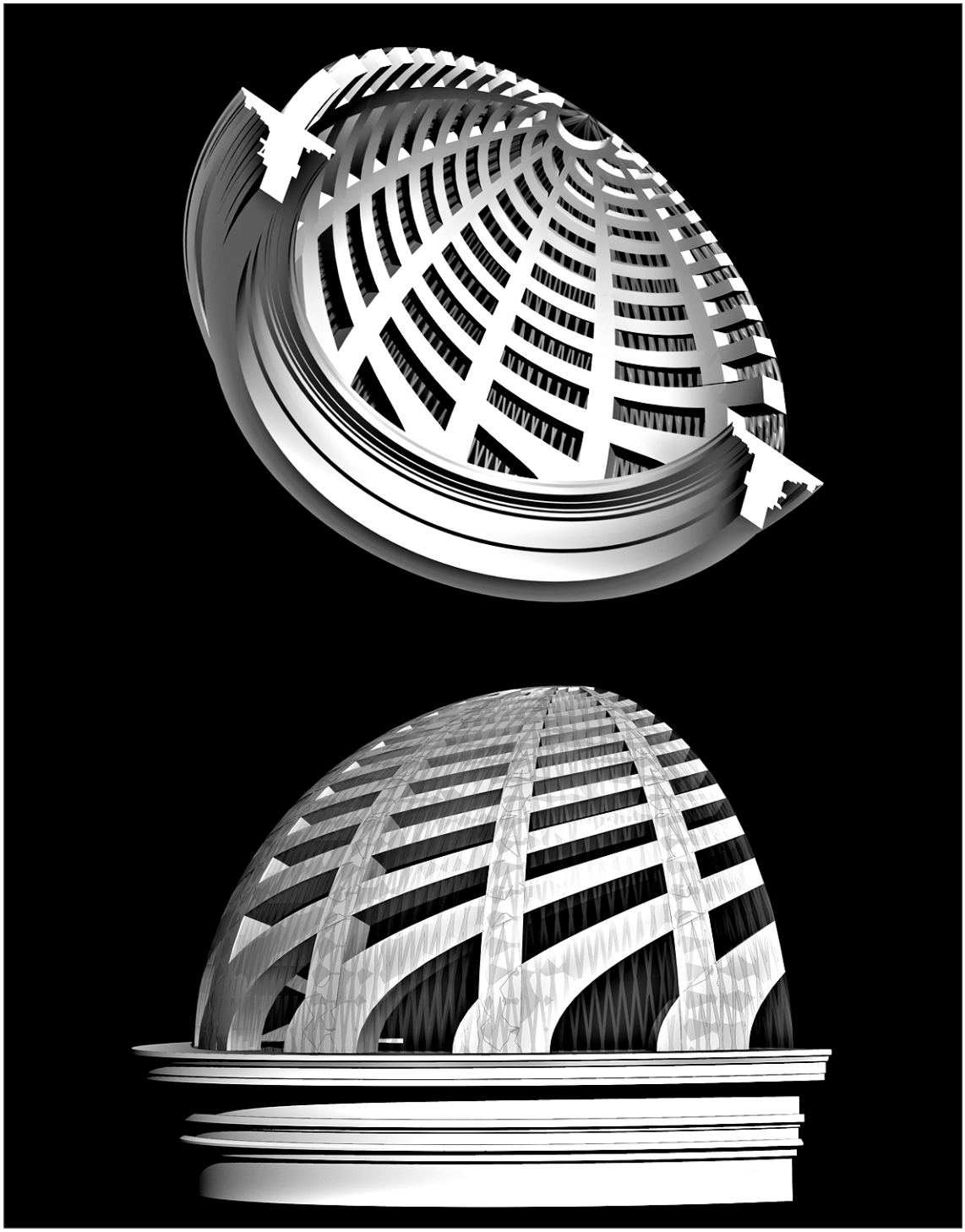


TAVOLA N° 251

Argomento della tavola: **Cupola a costoloni elicoidali e tamponamento vitreo: costoloni e superficie sferica - viste;**

Fonti dell'elaborazione: **P. Delorme, *Premiere* cit. (cfr. bibliografia), Libro IV, cap. VIII, ff. 108v.;**

Tipo di modellazione: **3D Solido/superficiale;**

Software utilizzati: **Rhinoceros, 3d Studio Max 5, Photoshop 7.**

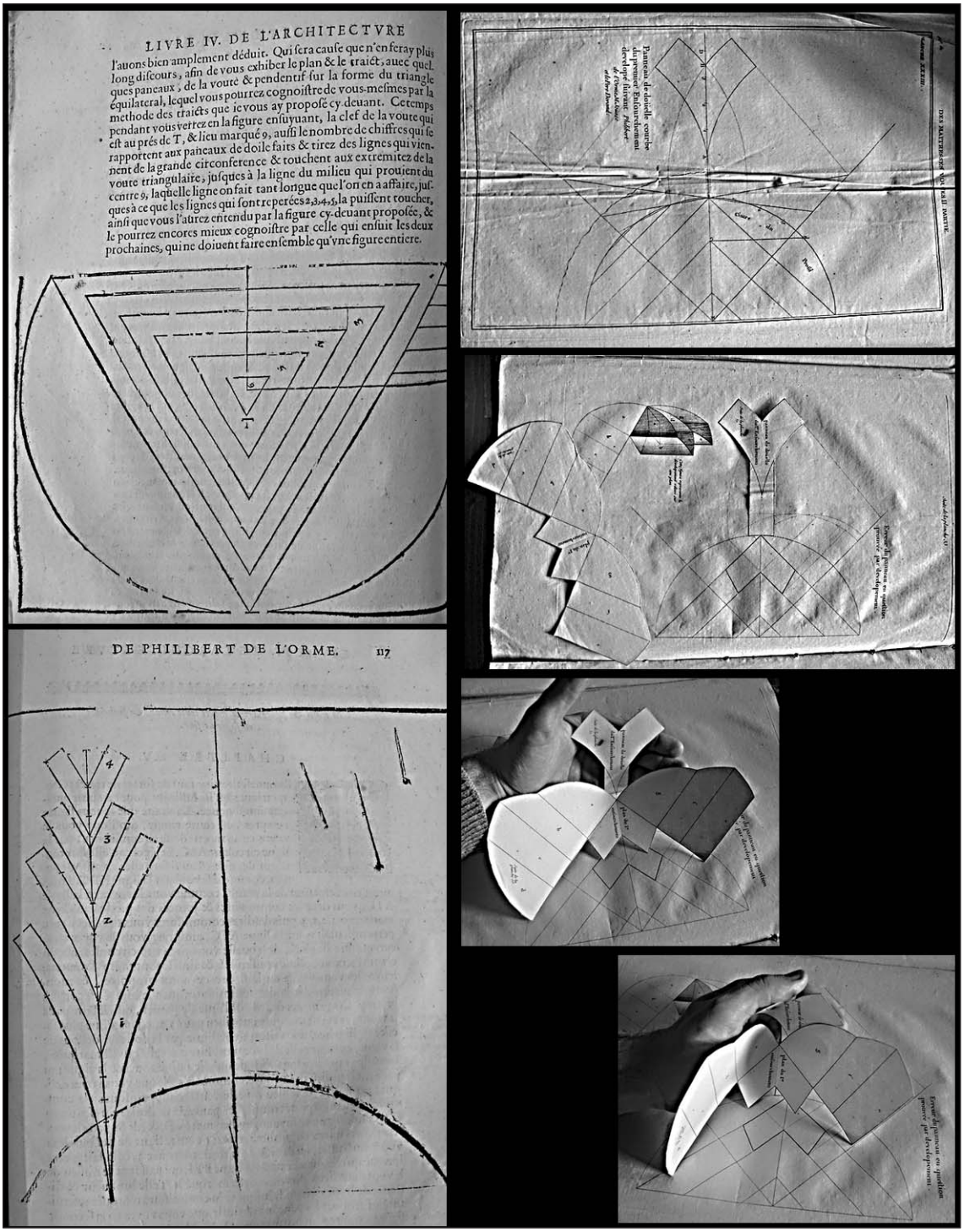


TAVOLA N° 252

Argomento della tavola: **Cupola sferica con apparecchiatura a forma di triangolo equilatero - trattati;**

Fonti dell'elaborazione: **P. Delorme, *Premiere* cit. (cfr. bibliografia), Libro IV, cap. XIV, ff. 116 r.-117v. J. B. De la Rue;**

Tipo di modellazione: **3D Solido/superficiale;**

Software utilizzati: **Rhinoceros, 3d Studio Max 5, Photoshop 7.**

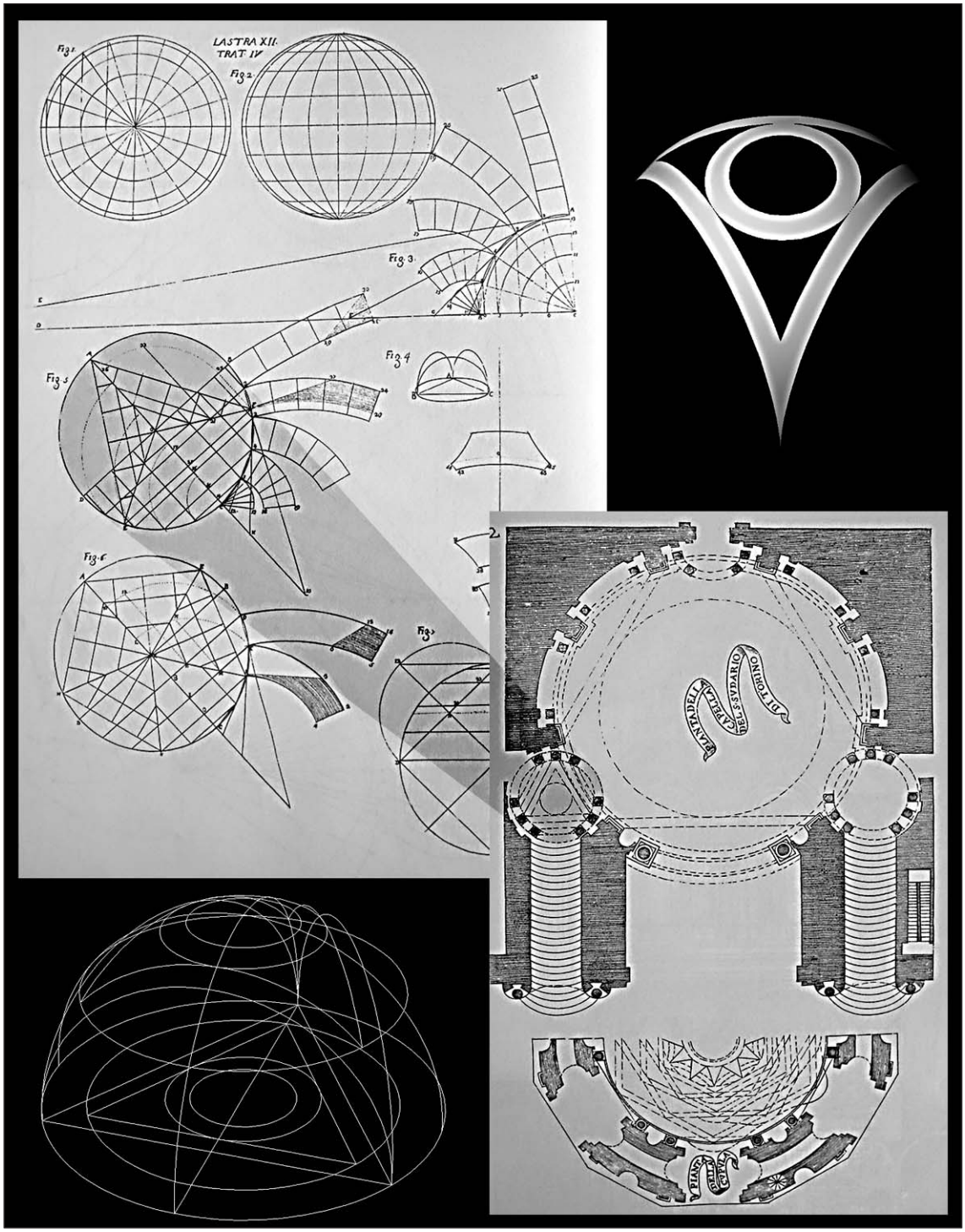


TAVOLA N° 253

Argomento della tavola:	**Cupola sferica con costolonature a forma di triangolo equilatero: vestiboli S.Sindone, To;**
Fonti dell'elaborazione:	**G. Guarini, *Architettura* cit. (cfr. bibliografia), Trat. IV, Lastra XII, pianta della Cappella del Sudario a Torino;**
Tipo di modellazione:	**3D Solido/superficiale;**
Software utilizzati:	**Rhinoceros, 3d Studio Max 5, Photoshop 7.**

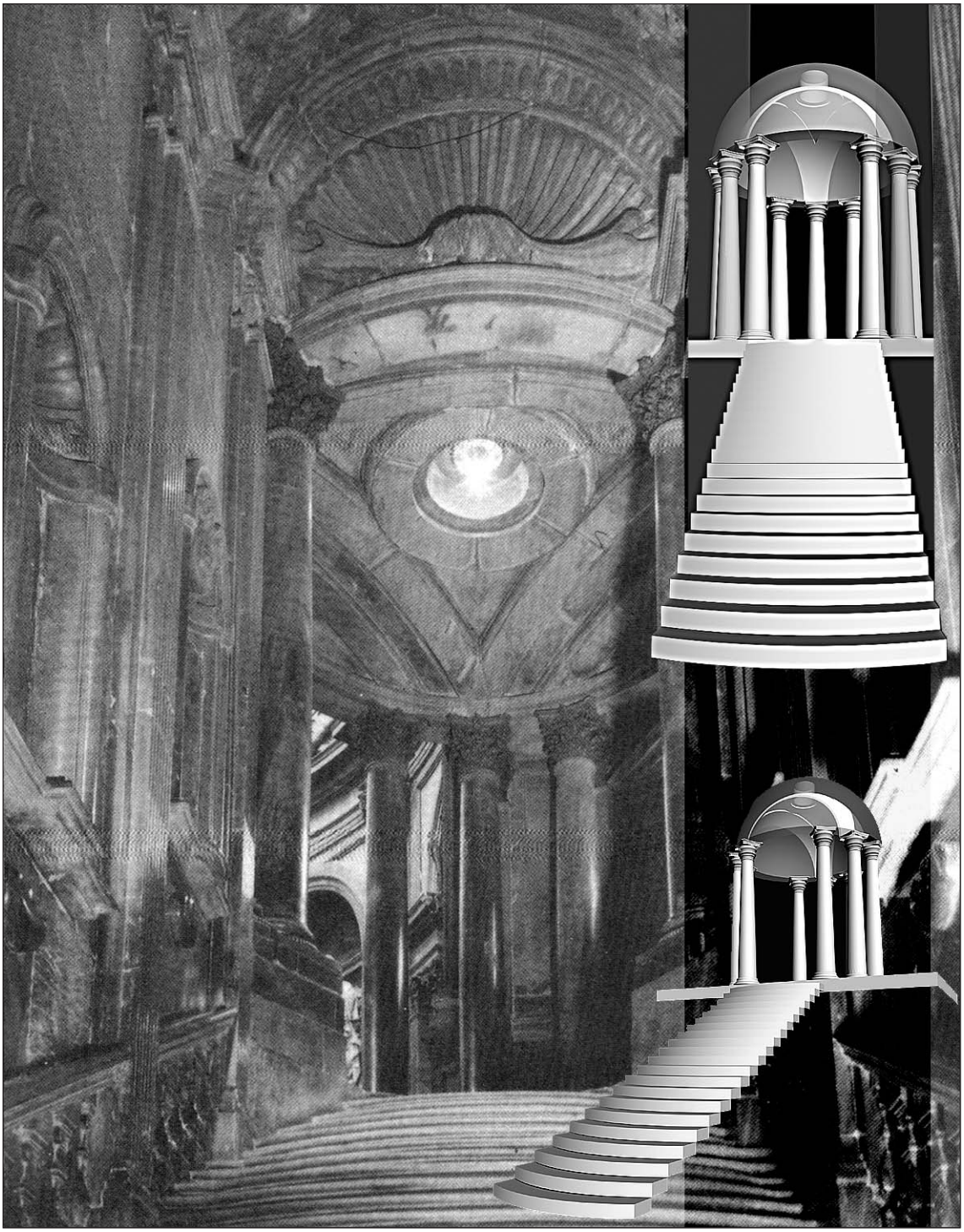


TAVOLA N° 254

Argomento della tavola:	**Cupola sferica con costolonature a forma di triangolo equilatero: vestiboli S.Sindone, To - modello;**
Fonti dell'elaborazione:	**Fotografia, H. A. Meek, *Guarini.* cit. (cfr. biblio grafia), p. 89;**
Tipo di modellazione:	**3D Solido/superficiale;**
Software utilizzati:	**Rhinoceros, 3d Studio Max 5, Photoshop 7.**

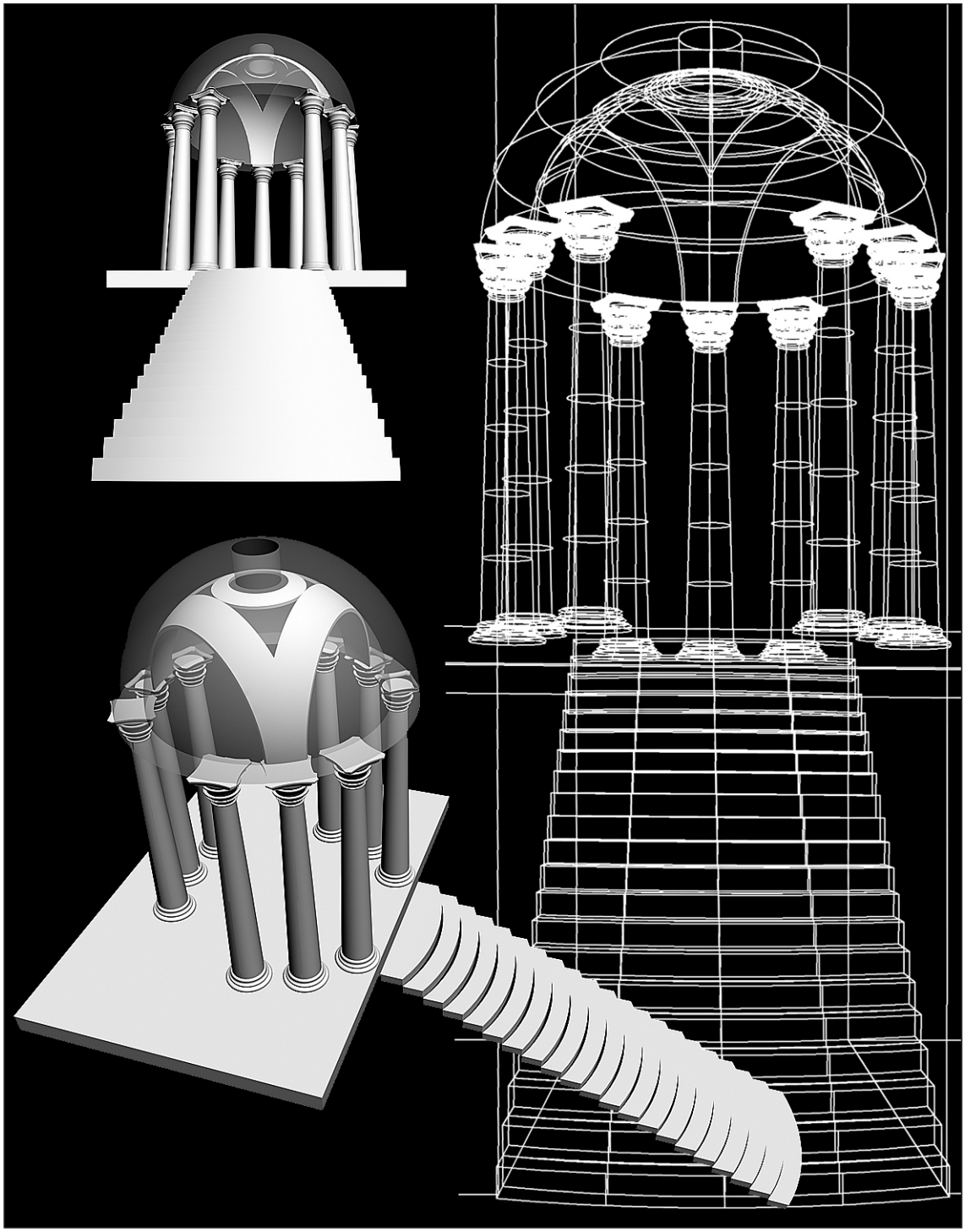


TAVOLA N° 255

Argomento della tavola: **Cupola sferica con costolonature a forma di triangolo equilatero: vestiboli S.Sindone, To - modello, viste;**

Fonti dell'elaborazione: **Fotografia, H. A. Meek, *Guarini.* cit. (cfr. biblio grafia), p. 89;**

Tipo di modellazione: **3D Solido/superficiale;**

Software utilizzati: **Rhinoceros, 3d Studio Max 5, Photoshop 7.**

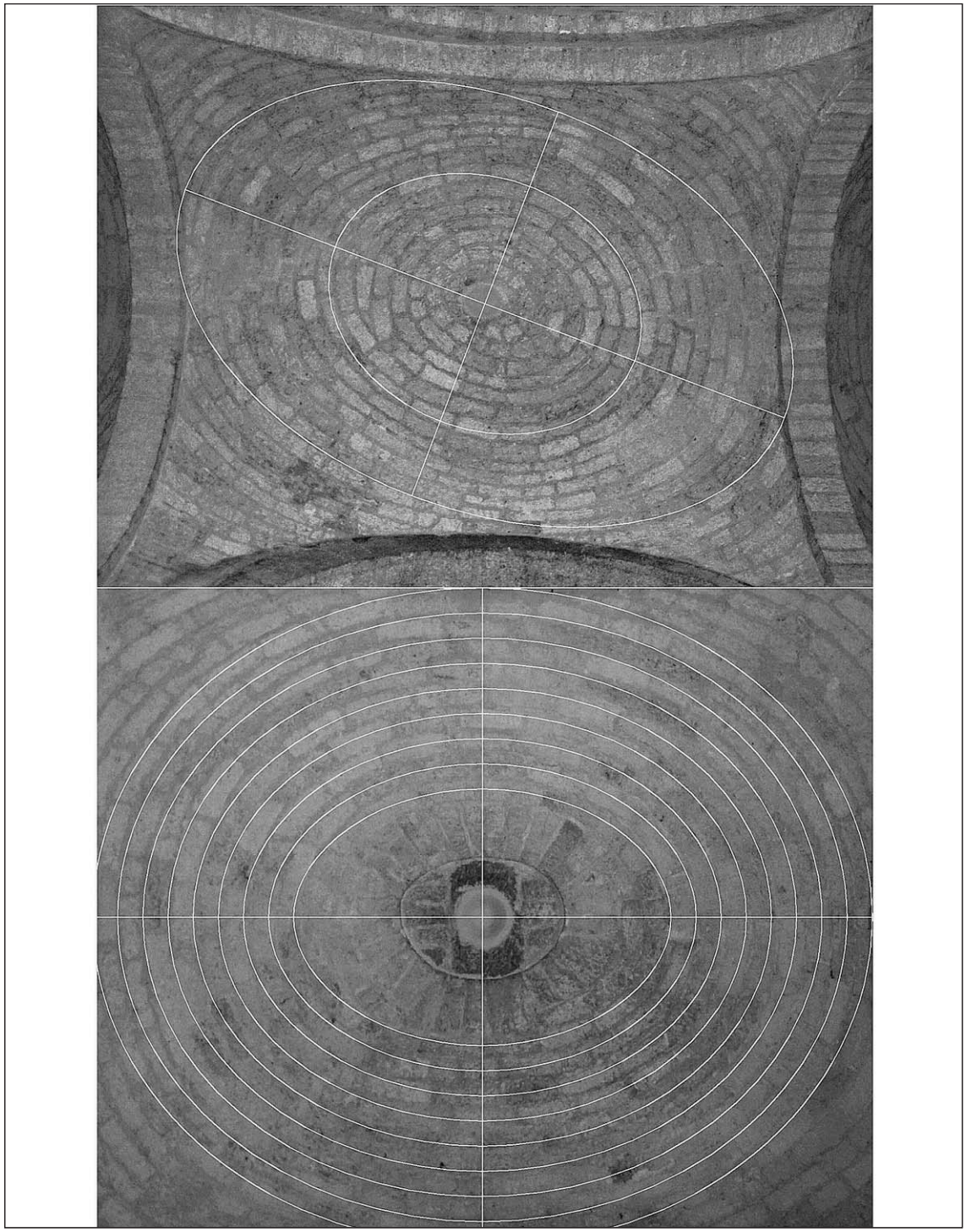


TAVOLA N° 256

Argomento della tavola: **Cupola ellittica: apparecchiatura romanica;**

Fonti dell'elaborazione: **Rilievo fotografico: volte delle navate laterali della Cattedrale (XII sec.) di Bitonto, Ba;**

Tipo di modellazione: **2D Vettoriale;**

Software utilizzati: **Rhinoceros, Photoshop 7.**

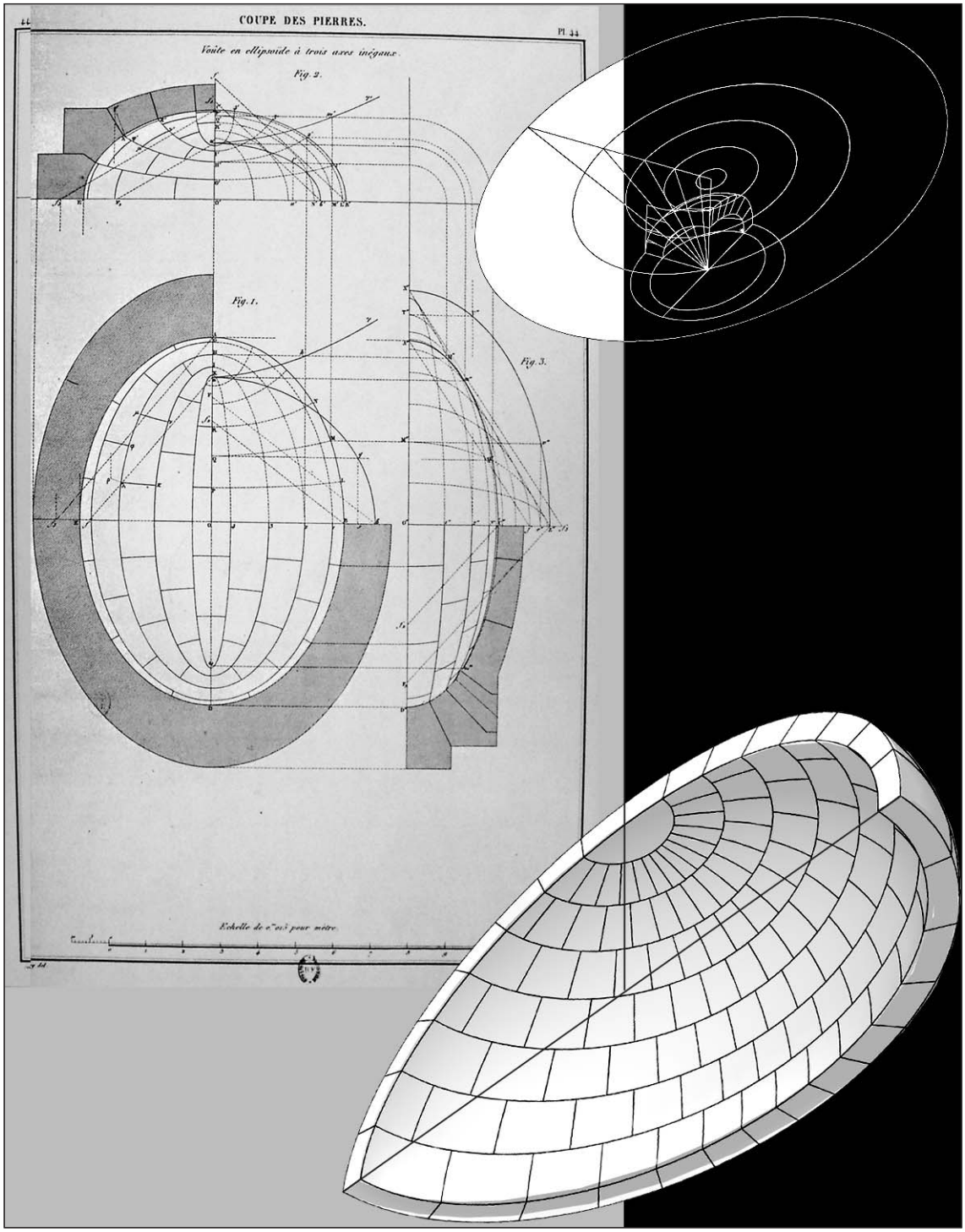


TAVOLA N° 257

Argomento della tavola: **Cupola ellittica: apparecchiatura moderna;**

Fonti dell'elaborazione: **C.A.F. Leroy, *Traité.* cit. (cfr. bibliografia), pl.44 ;**

Tipo di modellazione: **3D Solido/superficiale;**

Software utilizzati: **Rhinoceros, 3Dstudio MaX 5, Photoshop 7.**

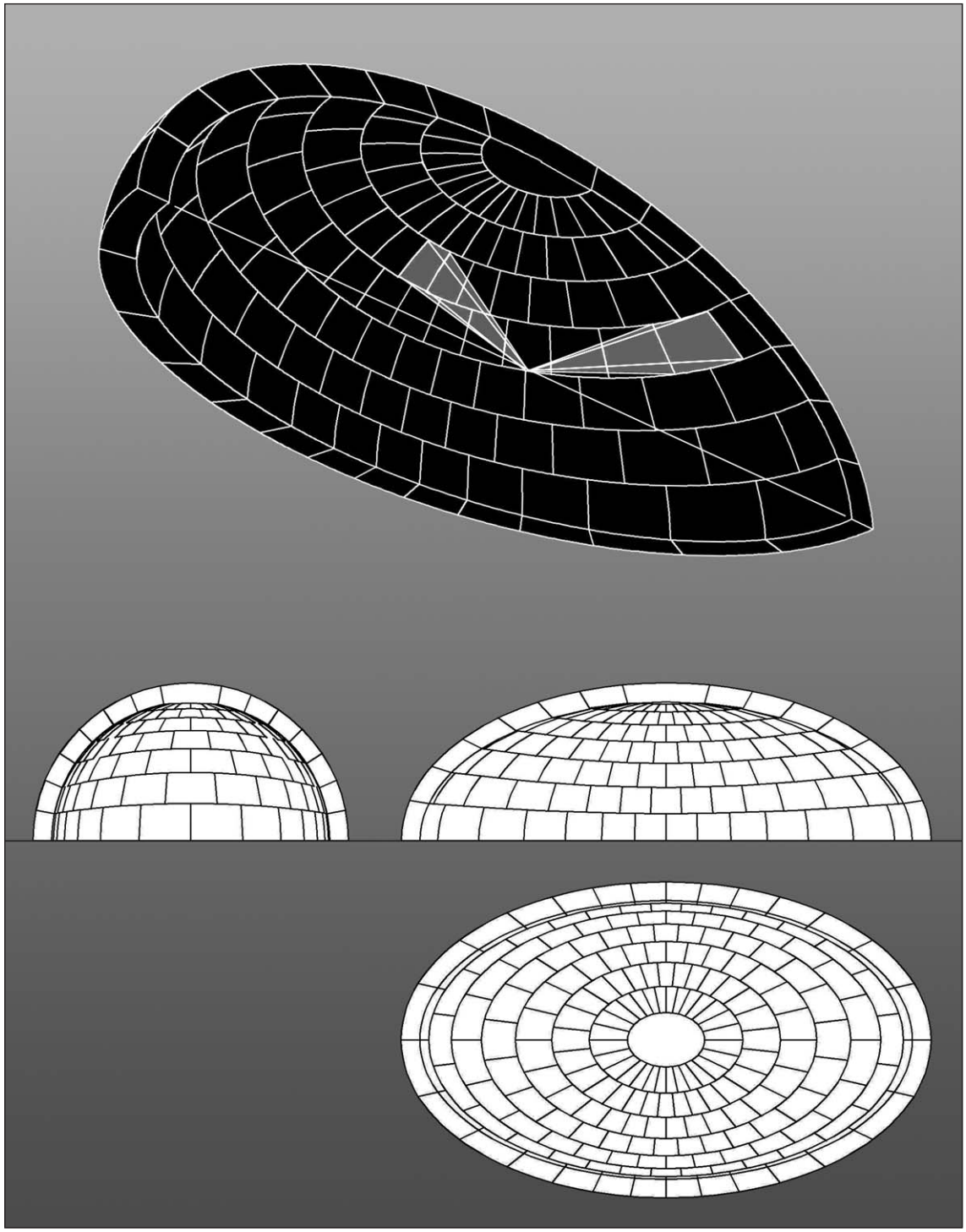


TAVOLA N° 258

Argomento della tavola: **Cupola ellittica: apparecchiatura moderna - sezione assonometrica e proiezioni;**

Fonti dell'elaborazione: **C.A.F. Leroy, *Traité.* cit. (cfr. bibliografia), pl.44 ;**

Tipo di modellazione: **3D Solido/superficiale;**

Software utilizzati: **Rhinoceros, 3Dstudio MaX 5, Photoshop 7.**

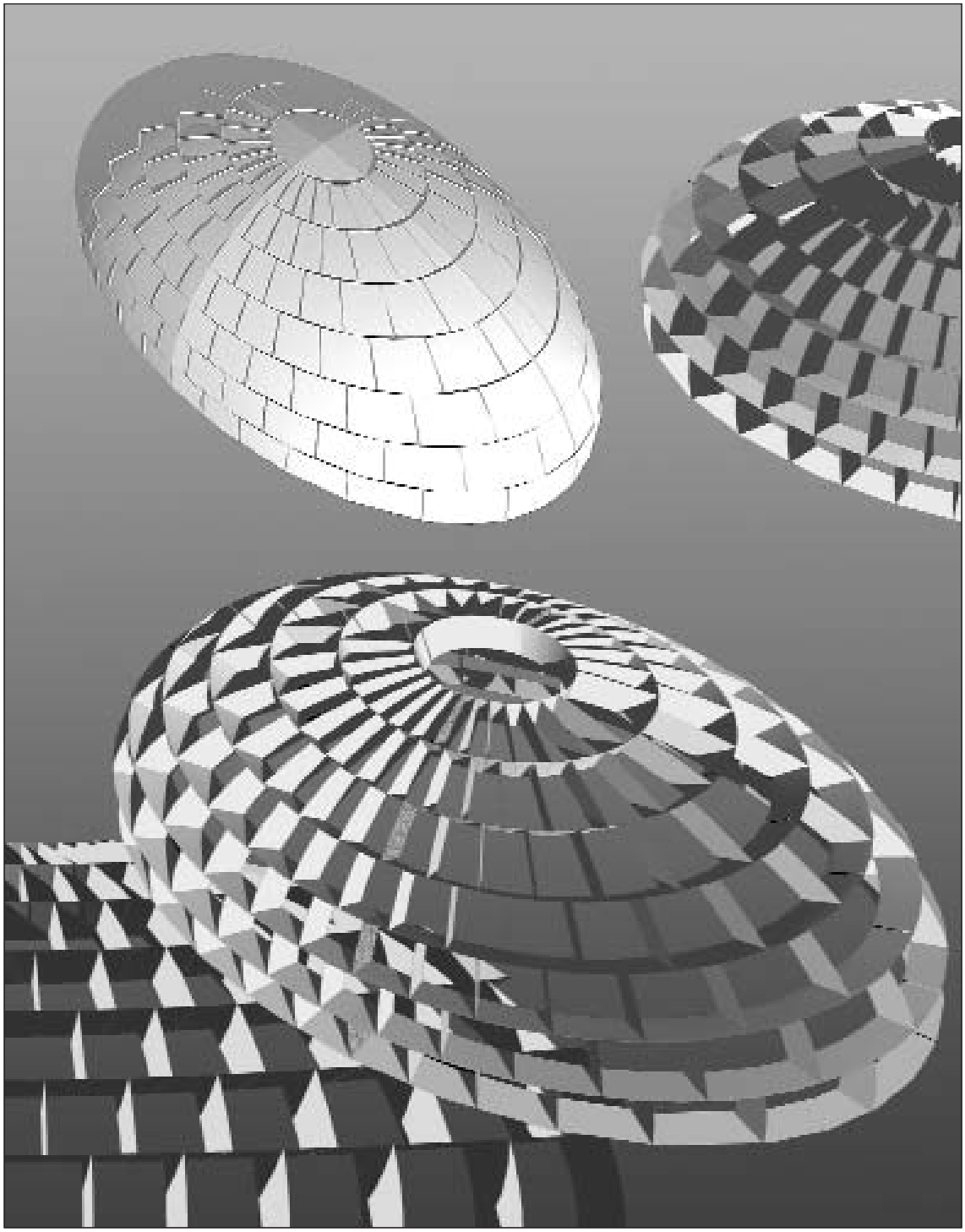


TAVOLA N° 259

Argomento della tavola:	**Cupola ellittica: apparecchiatura moderna - letti di contatto dei conci;**
Fonti dell'elaborazione:	**C.A.F. Leroy, *Traité.* cit. (cfr. bibliografia), pl.44 ;**
Tipo di modellazione:	**3D Solido/superficiale;**
Software utilizzati:	**Rhinoceros, 3Dstudio MaX 5, Photoshop 7.**

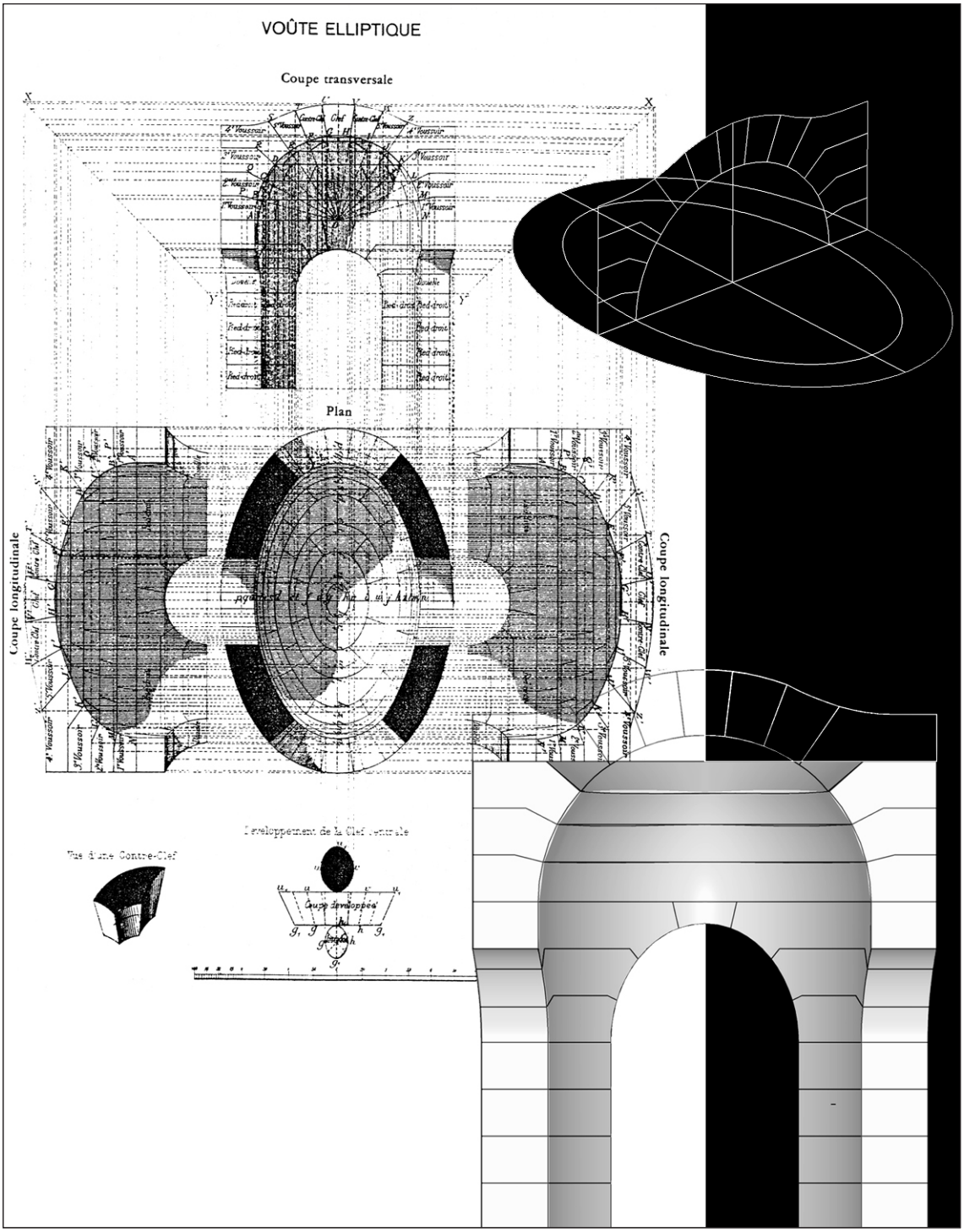


TAVOLA N° 260

Argomento della tavola: **Cupola ellittica: apparecchiatura moderna - filari orizzontali;**

Fonti dell'elaborazione: **L. Monduit. *Traité* cit. (cfr. bibliografia), pl.64 ;**

Tipo di modellazione: **3D Solido/superficiale;**

Software utilizzati: **Rhinoceros, 3Dstudio MaX 5, Photoshop 7.**

9. Volte composte

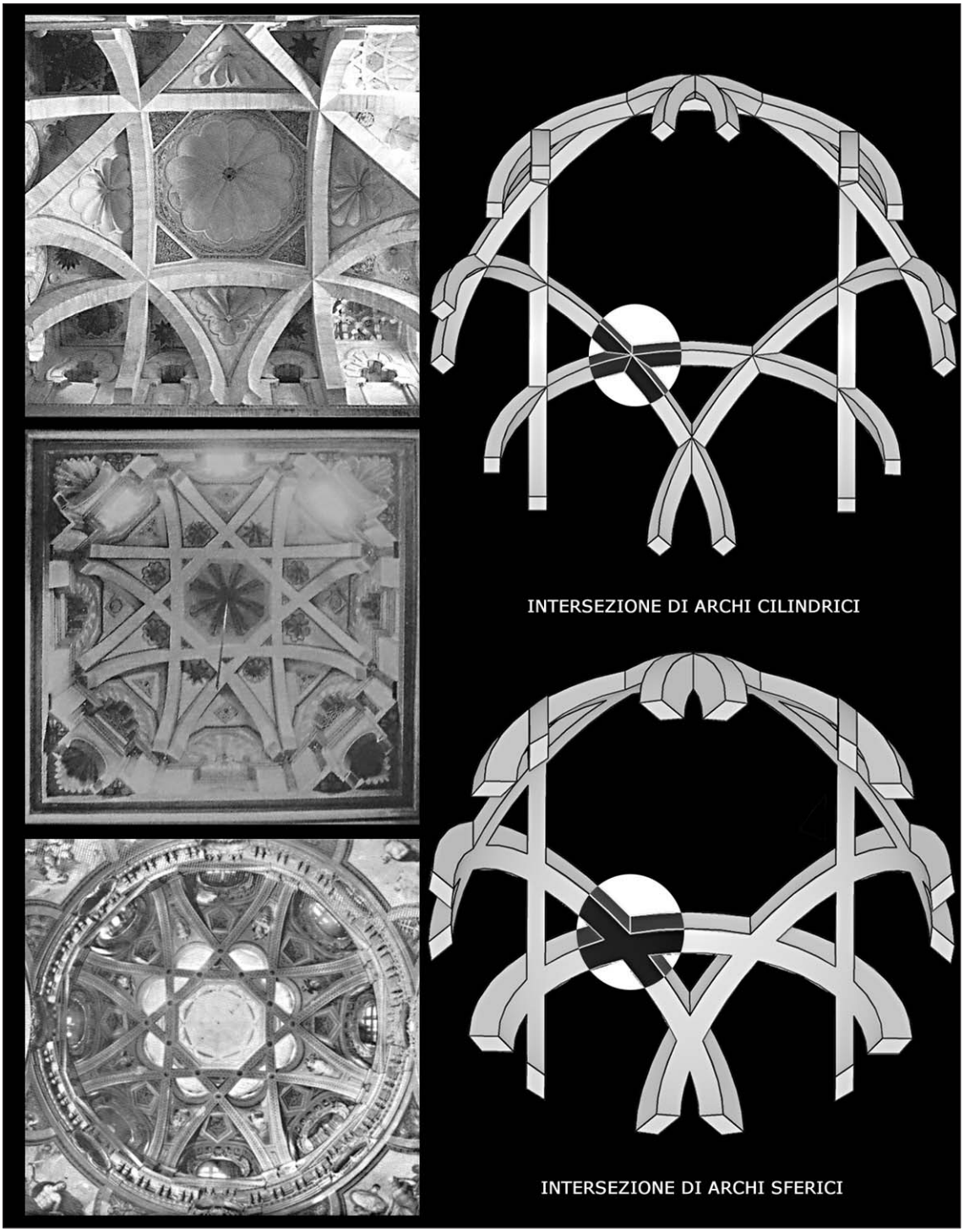


TAVOLA N° 261

Argomento della tavola: **Volta composta a sviluppo verticale: stereotomia degli archi intrecciati;**

Fonti dell'elaborazione: **Fotografia, H. A. Meek, *Guarini.* cit. (cfr. biblio grafia), p. 69. Dall'alto: due cupole della moschea di Al-Hakim a Cordoba e S. Lorenzo-To;**

Tipo di modellazione: **3D Solido/superficiale;**

Software utilizzati: **Rhinoceros, 3d Studio Max 5, Photoshop 7.**

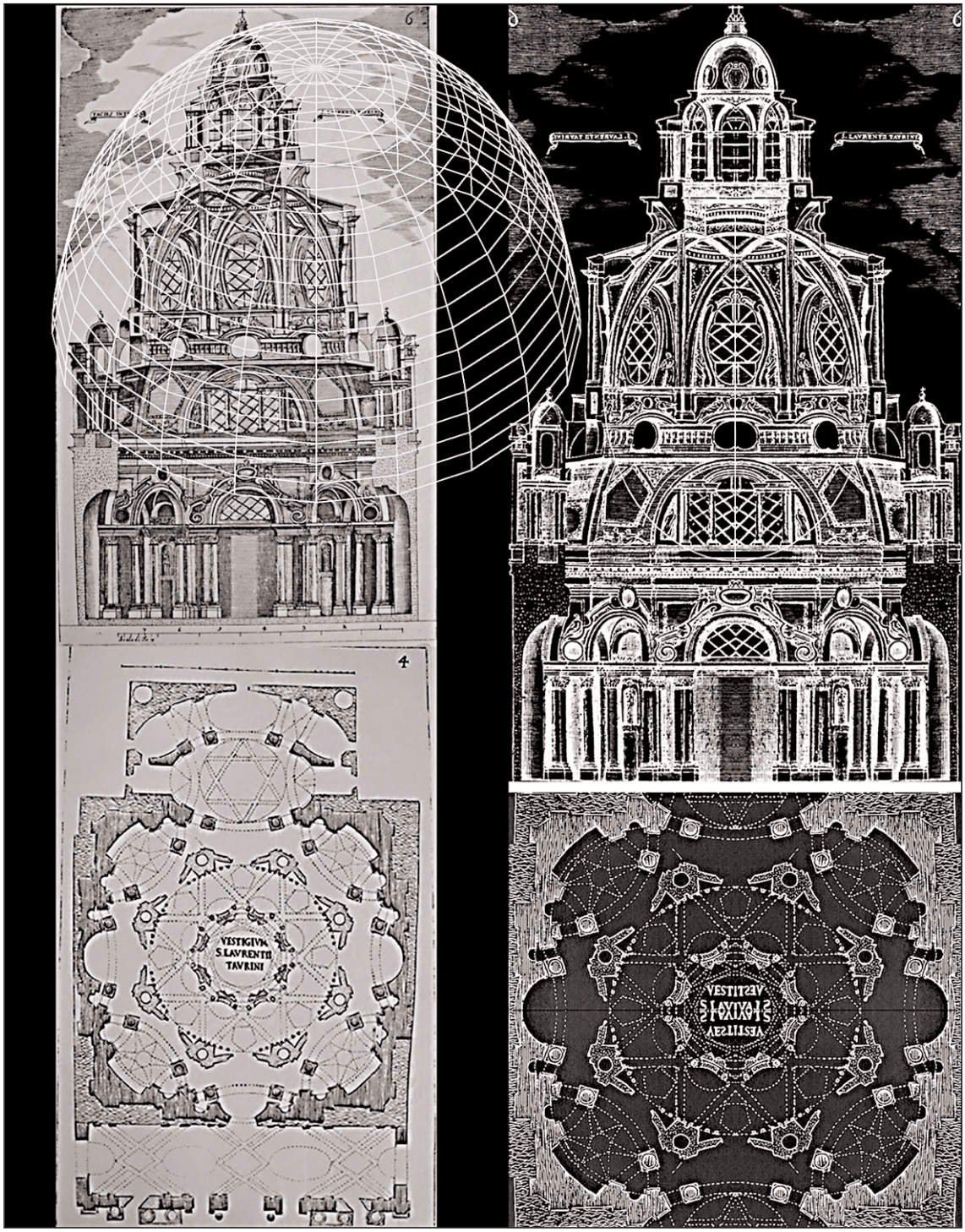


TAVOLA N° 262

Argomento della tavola: **Volta composta a sviluppo verticale: gli archi intrecciati di S. Lorenzo a Torino - trattato;**

Fonti dell'elaborazione: **G. Guarini, *Architettura* cit. (cfr. bibliografia), pianta e sezione della chiesa di S. Lorenzo a Torino;**

Tipo di modellazione: **3D Solido/superficiale;**

Software utilizzati: **Rhinoceros, 3d Studio Max 5, Photoshop 7.**

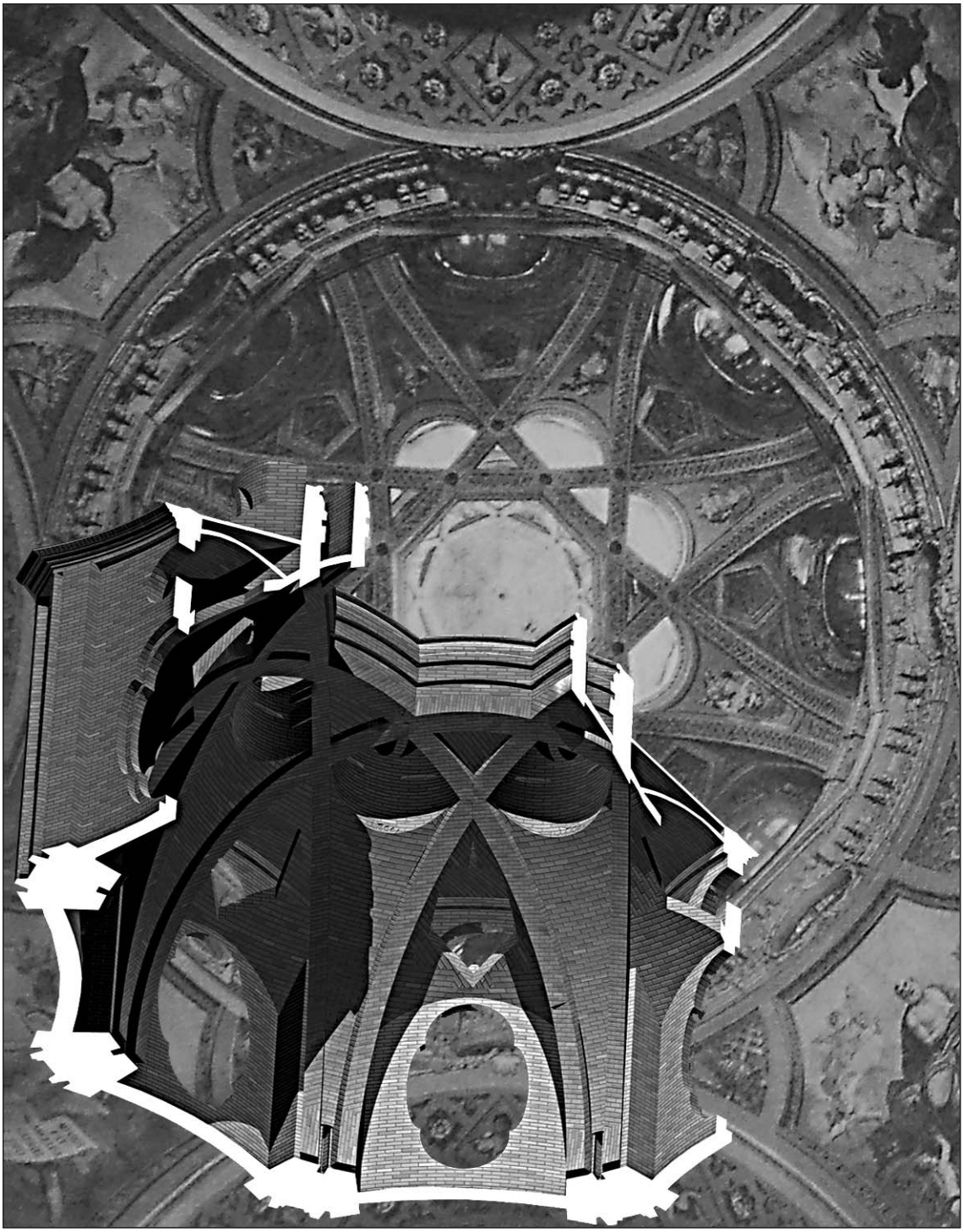


TAVOLA N° 263

Argomento della tavola: **Volta composta a sviluppo verticale: gli archi intrecciati di S. Lorenzo a Torino - modello 1;**

Fonti dell'elaborazione: **G. Guarini, *Architettura* cit. (cfr. bibliografia), pianta e sezione della chiesa di S. Lorenzo a Torino;**

Tipo di modellazione: **3D Solido/superficiale;**

Software utilizzati: **Rhinoceros, 3d Studio Max 5, Photoshop 7.**

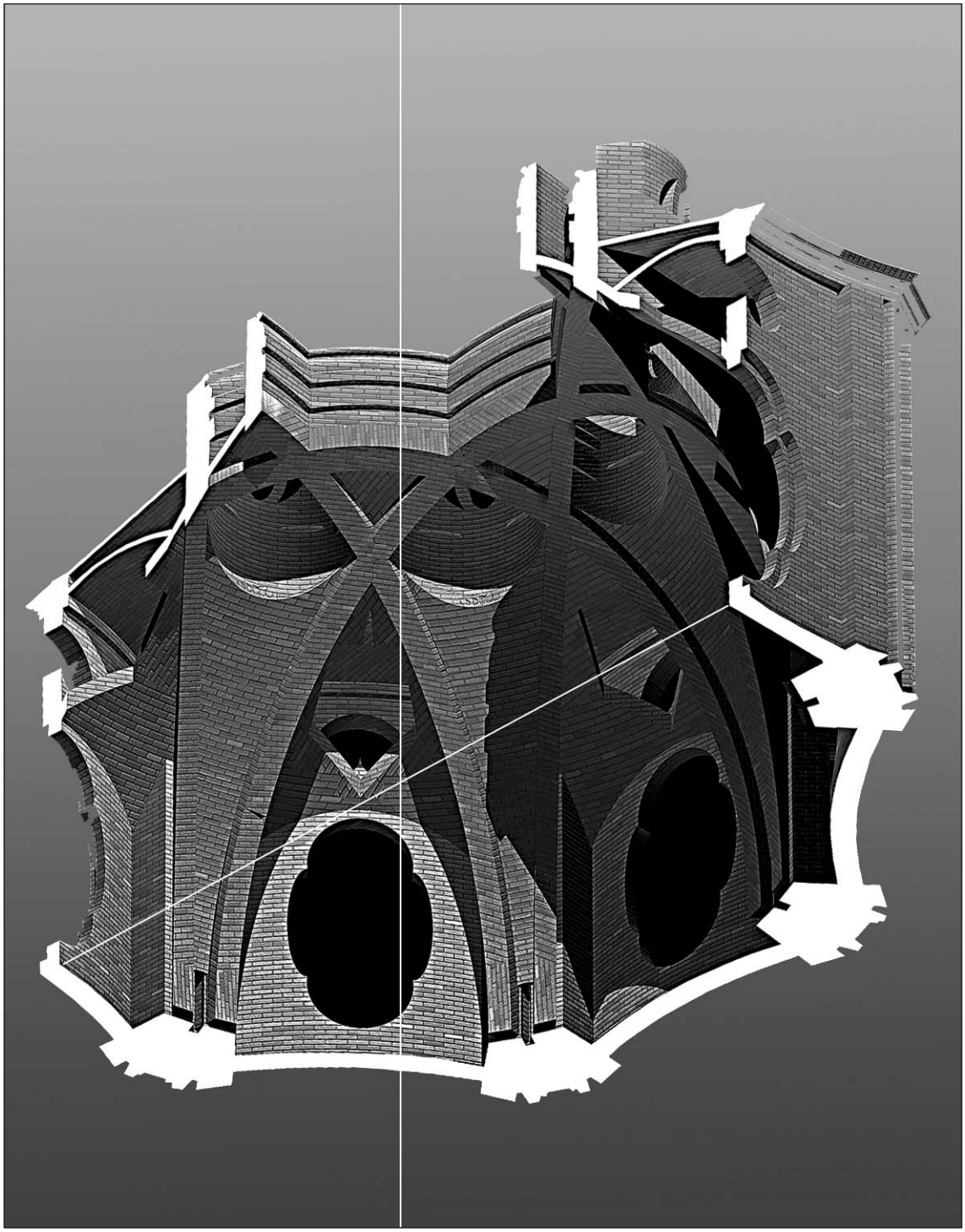


TAVOLA N° 264

Argomento della tavola: **Volta composta a sviluppo verticale: gli archi intrecciati di S. Lorenzo a Torino - modello 2;**

Fonti dell'elaborazione: **G. Guarini, *Architettura* cit. (cfr. bibliografia), pianta e sezione della chiesa di S. Lorenzo a Torino;**

Tipo di modellazione: **3D Solido/superficiale;**

Software utilizzati: **Rhinoceros, 3d Studio Max 5, Photoshop 7.**

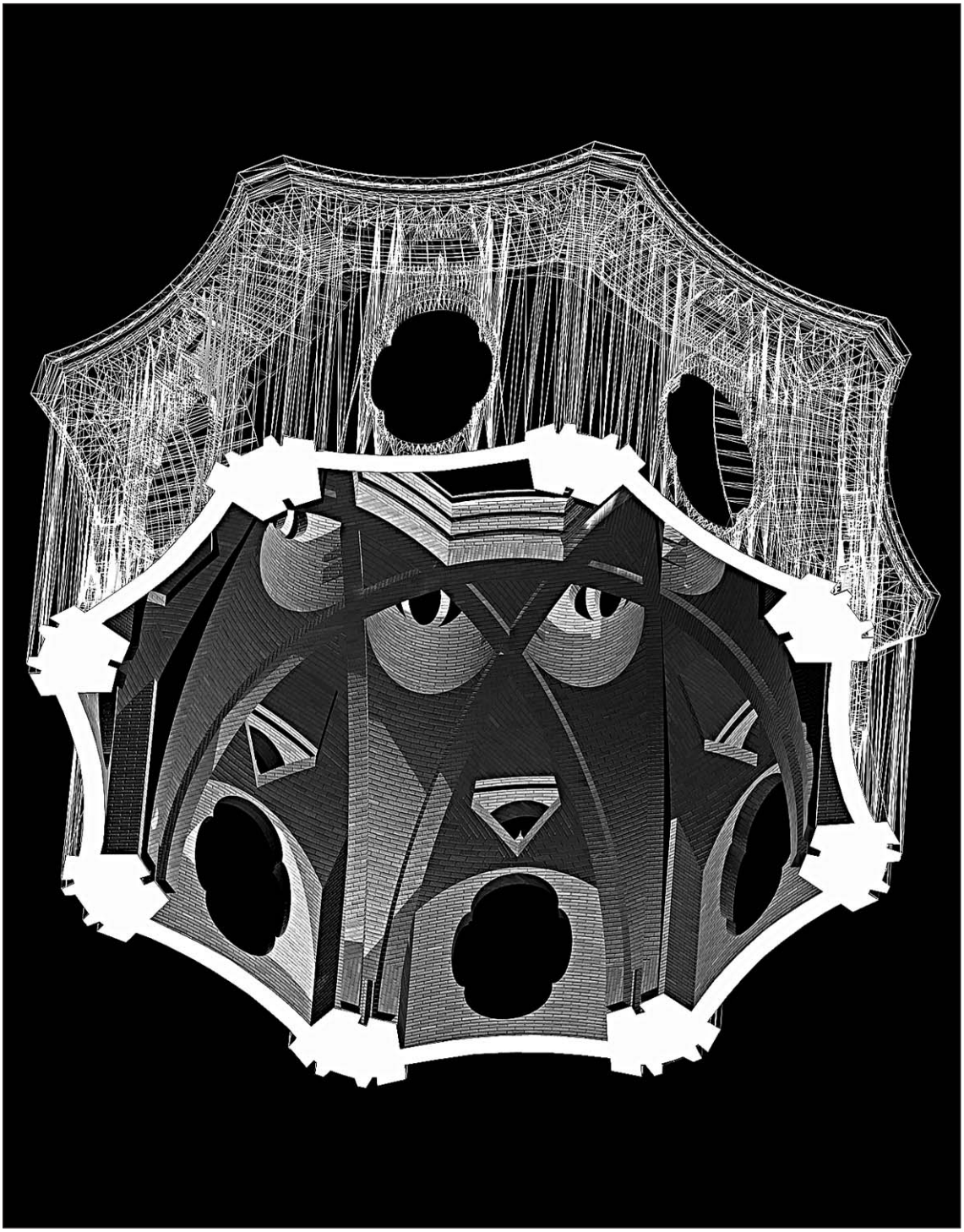


TAVOLA N° 265

Argomento della tavola: **Volta composta a sviluppo verticale: gli archi intrecciati di S. Lorenzo a Torino - modello 3;**

Fonti dell'elaborazione: **G. Guarini, *Architettura* cit. (cfr. bibliografia), pianta e sezione della chiesa di S. Lorenzo a Torino;**

Tipo di modellazione: **3D Solido/superficiale;**

Software utilizzati: **Rhinoceros, 3d Studio Max 5, Photoshop 7.**

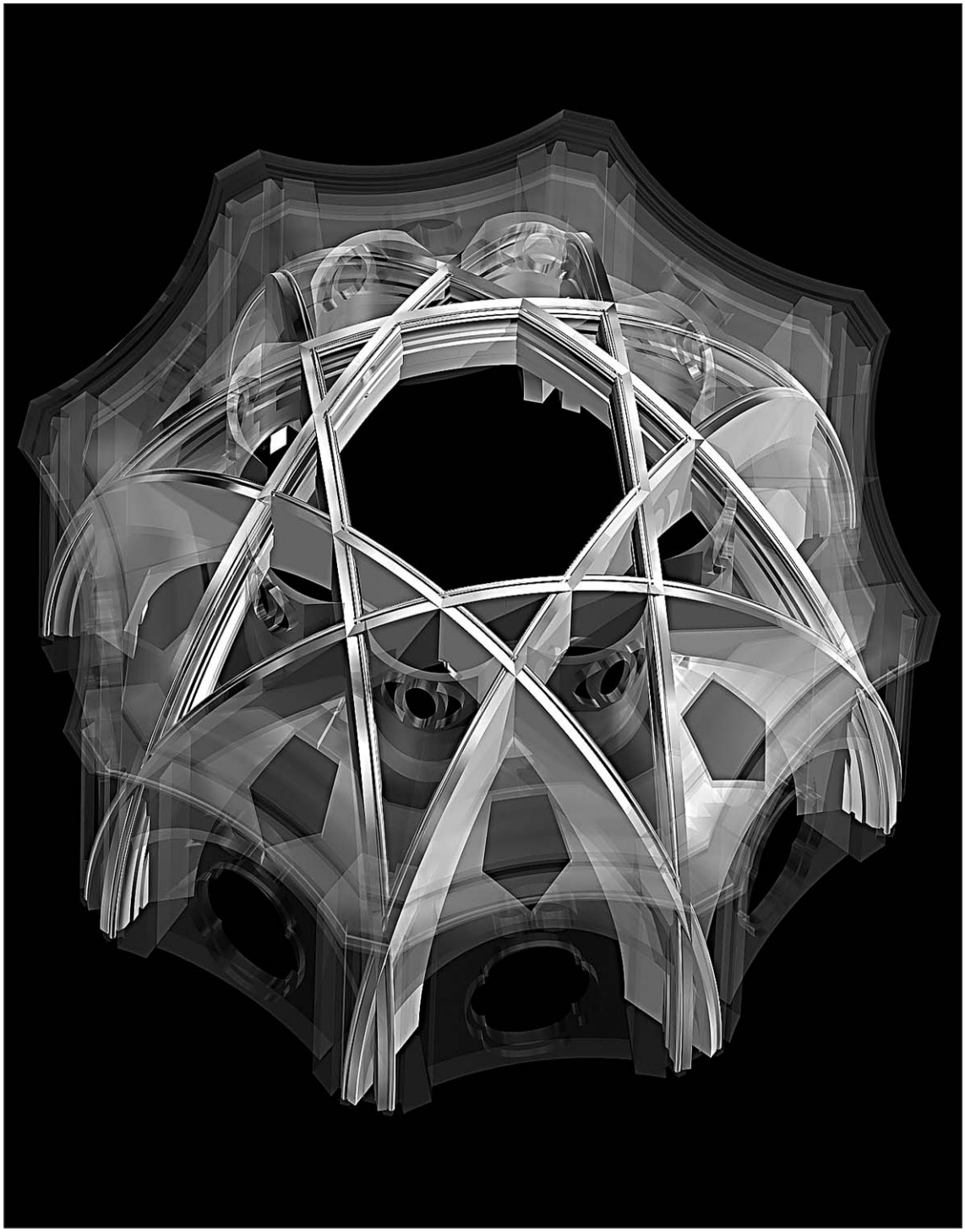


TAVOLA N° 266

Argomento della tavola:	**Volta composta a sviluppo verticale: gli archi intrecciati di S. Lorenzo a Torino - modello 4;**
Fonti dell'elaborazione:	**G. Guarini, *Architettura* cit. (cfr. bibliografia), pianta e sezione della chiesa di S. Lorenzo a Torino;**
Tipo di modellazione:	**3D Solido/superficiale;**
Software utilizzati:	**Rhinoceros, 3d Studio Max 5, Photoshop 7.**

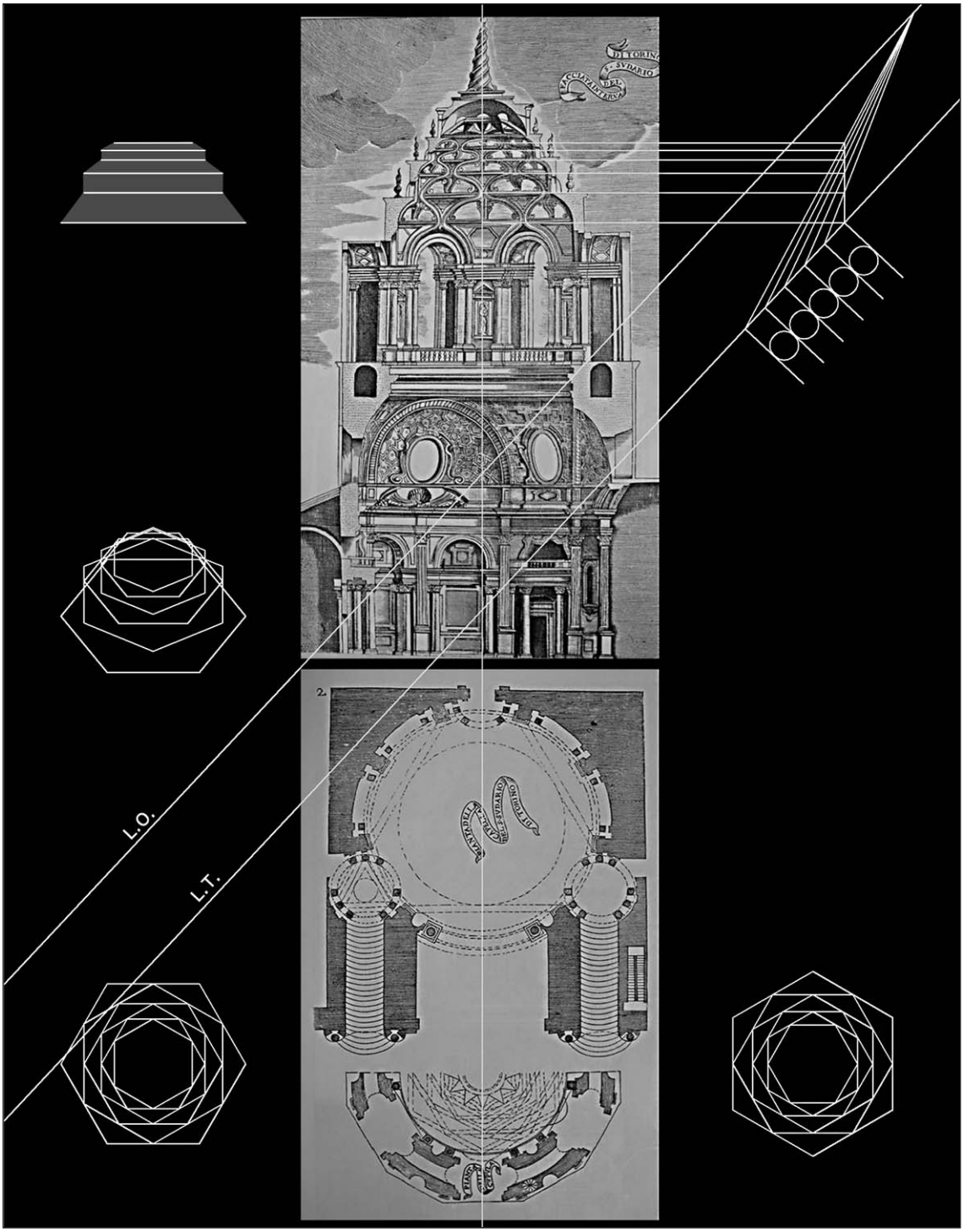


TAVOLA N° 267

Argomento della tavola: **Volta composta a sviluppo verticale: gli archi sovrapposti de S.Sindone a Torino - geometrie;**

Fonti dell'elaborazione: **G. Guarini, *Architettura* cit. (cfr. bibliografia), pianta e sezione della cappella del S. Sudario a Torino;**

Tipo di modellazione: **3D Solido/superficiale;**

Software utilizzati: **Rhinoceros, 3d Studio Max 5, Photoshop 7.**

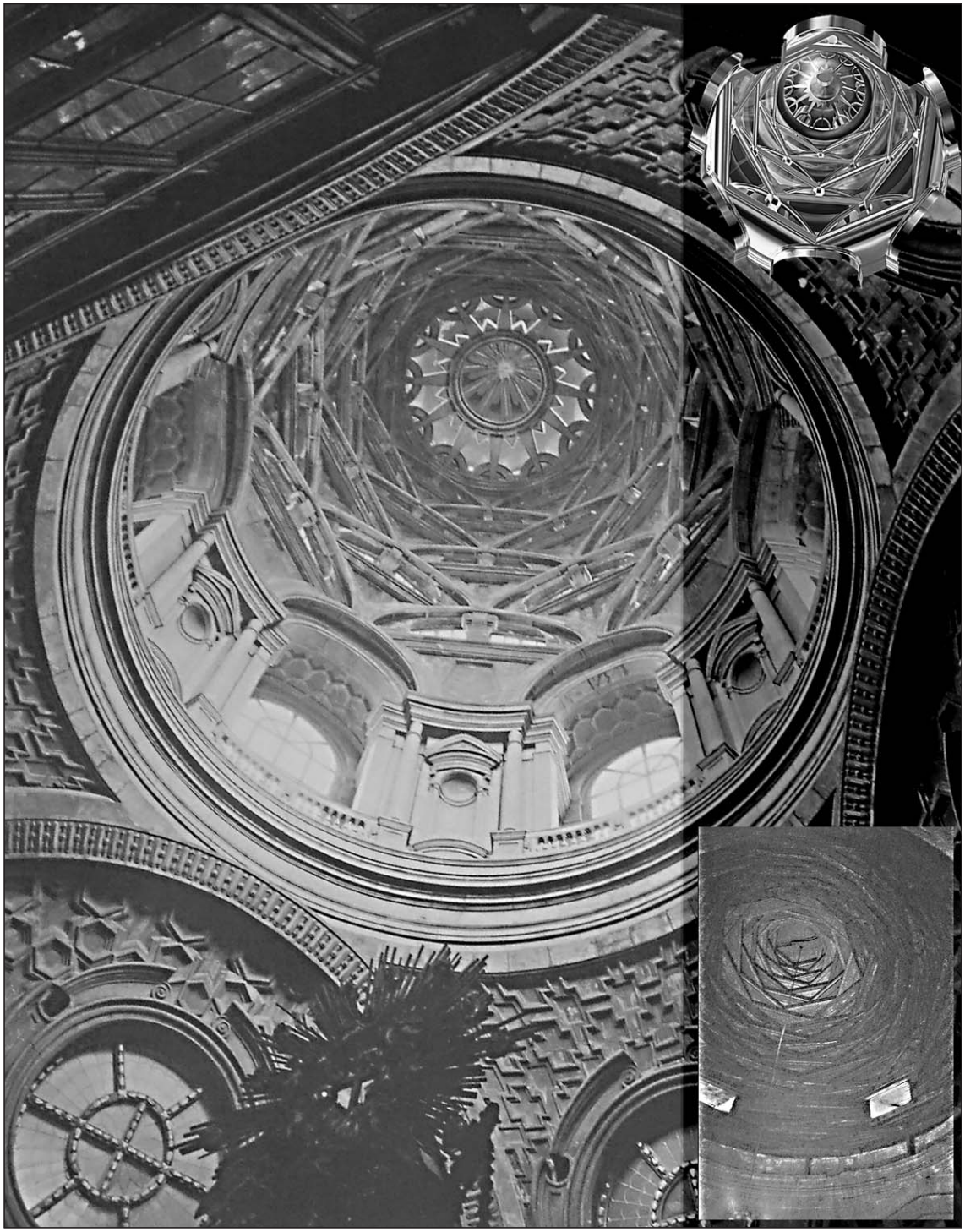


TAVOLA N° 268

Argomento della tavola: **Volta composta a sviluppo verticale: gli archi sovrapposti de S.Sindone a Torino - intradosso;**

Fonti dell'elaborazione: **Fotografia, H. A. Meek, *Guarini.* cit. (cfr. biblio grafia), p. 98. Moschea di Ulu a Ersurum, Turchia;**

Tipo di modellazione: **3D Solido/superficiale;**

Software utilizzati: **Rhinoceros, 3d Studio Max 5, Photoshop 7.**



TAVOLA N° 269

Argomento della tavola: **Volta composta a sviluppo verticale: gli archi sovrapposti de S.Sindone a Torino - modello 1;**

Fonti dell'elaborazione: **G. Guarini, *Architettura* cit. (cfr. bibliografia), pianta e sezione della cappella del S. Sudario a Torino;**

Tipo di modellazione: **3D Solido/superficiale;**

Software utilizzati: **Rhinoceros, 3d Studio Max 5, Photoshop 7.**

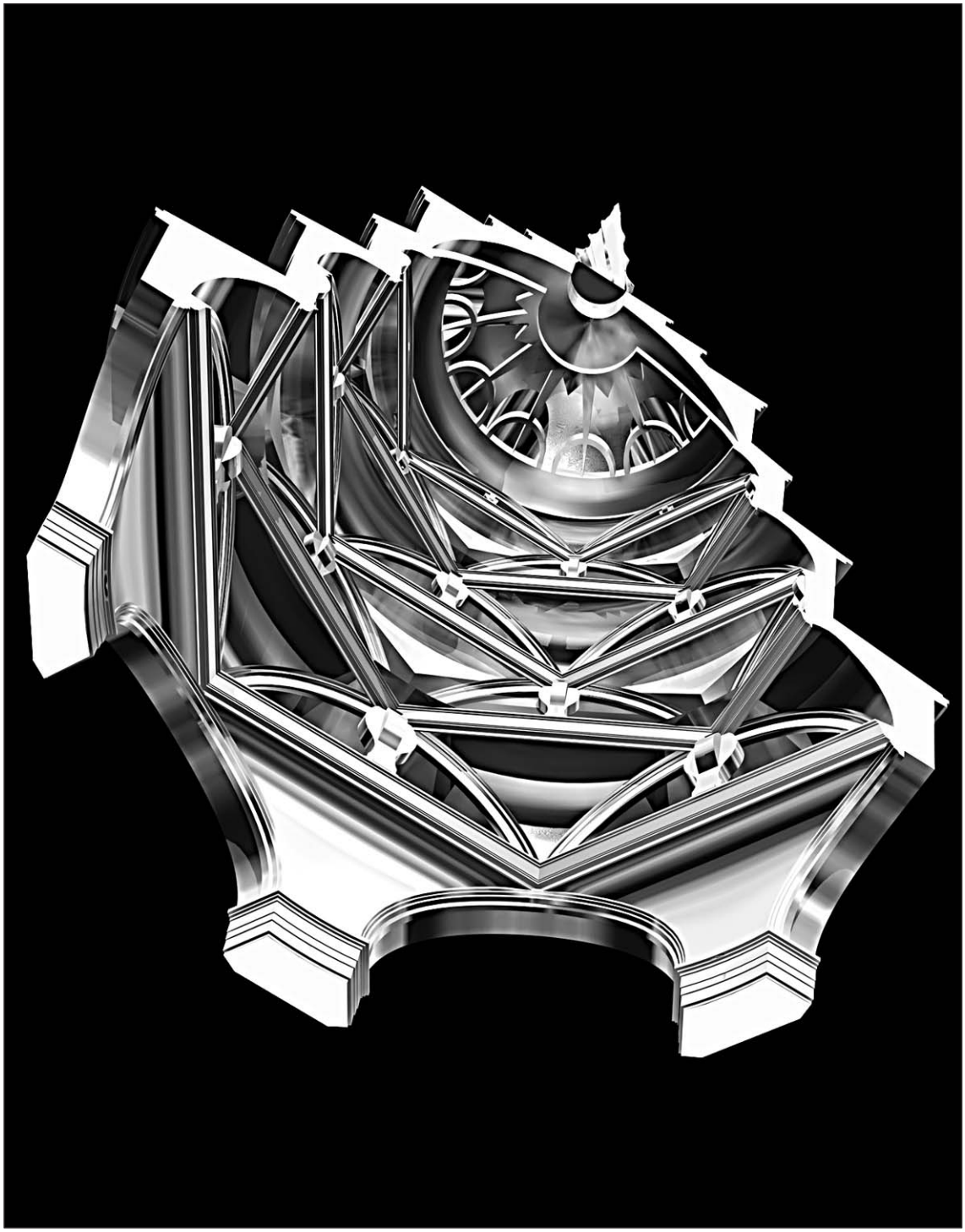


TAVOLA N° 270

Argomento della tavola: **Volta composta a sviluppo verticale: gli archi sovrapposti de S.Sindone a Torino - modello 2;**

Fonti dell'elaborazione: **G. Guarini, *Architettura* cit. (cfr. bibliografia), pianta e sezione della cappella del S. Sudario a Torino;**

Tipo di modellazione: **3D Solido/superficiale;**

Software utilizzati: **Rhinoceros, 3d Studio Max 5, Photoshop 7.**

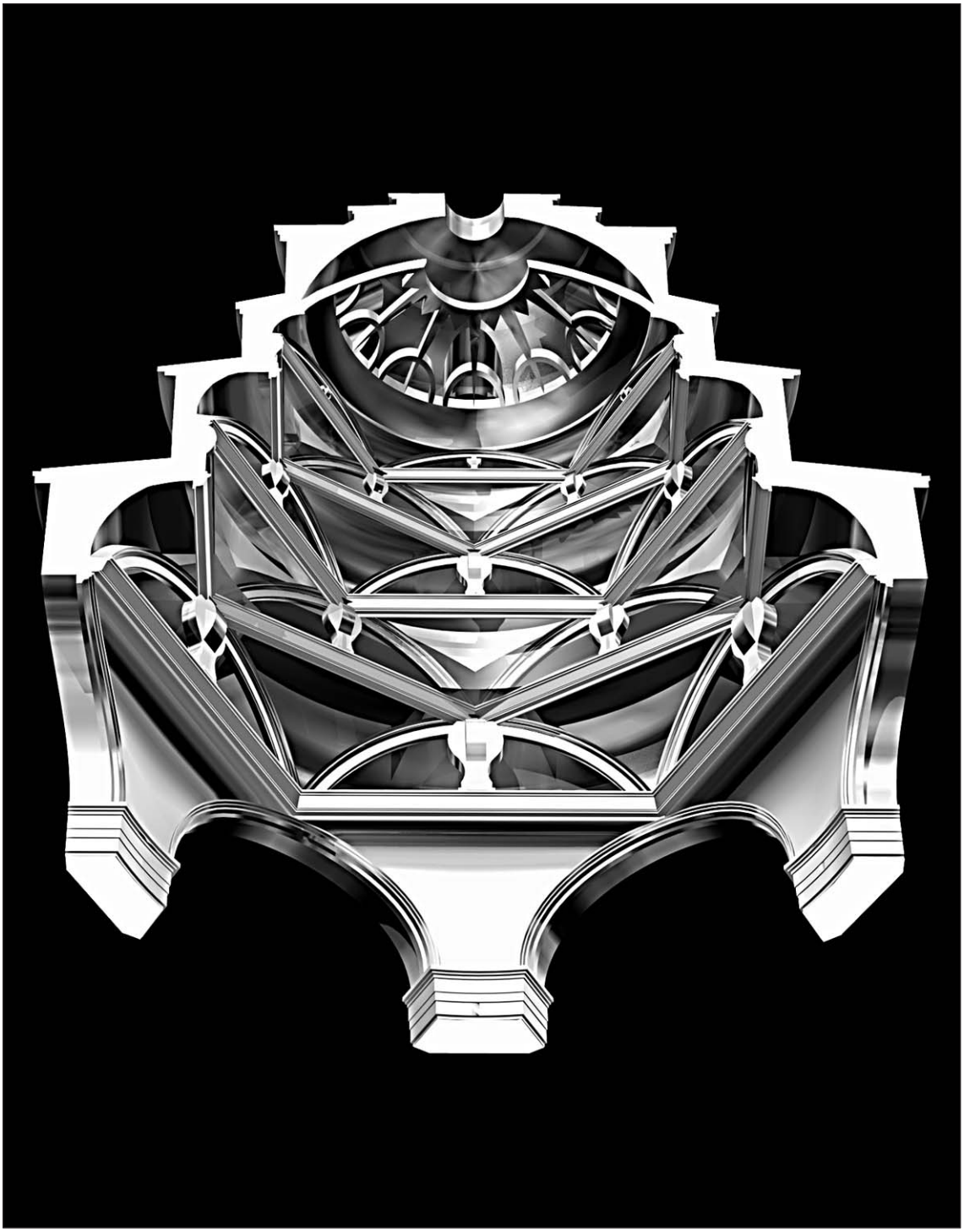


TAVOLA N° 271

Argomento della tavola: **Volta composta a sviluppo verticale: gli archi sovrapposti de S.Sindone a Torino - modello 3;**

Fonti dell'elaborazione: **G. Guarini, *Architettura* cit. (cfr. bibliografia), pianta e sezione della cappella del S. Sudario a Torino;**

Tipo di modellazione: **3D Solido/superficiale;**

Software utilizzati: **Rhinoceros, 3d Studio Max 5, Photoshop 7.**

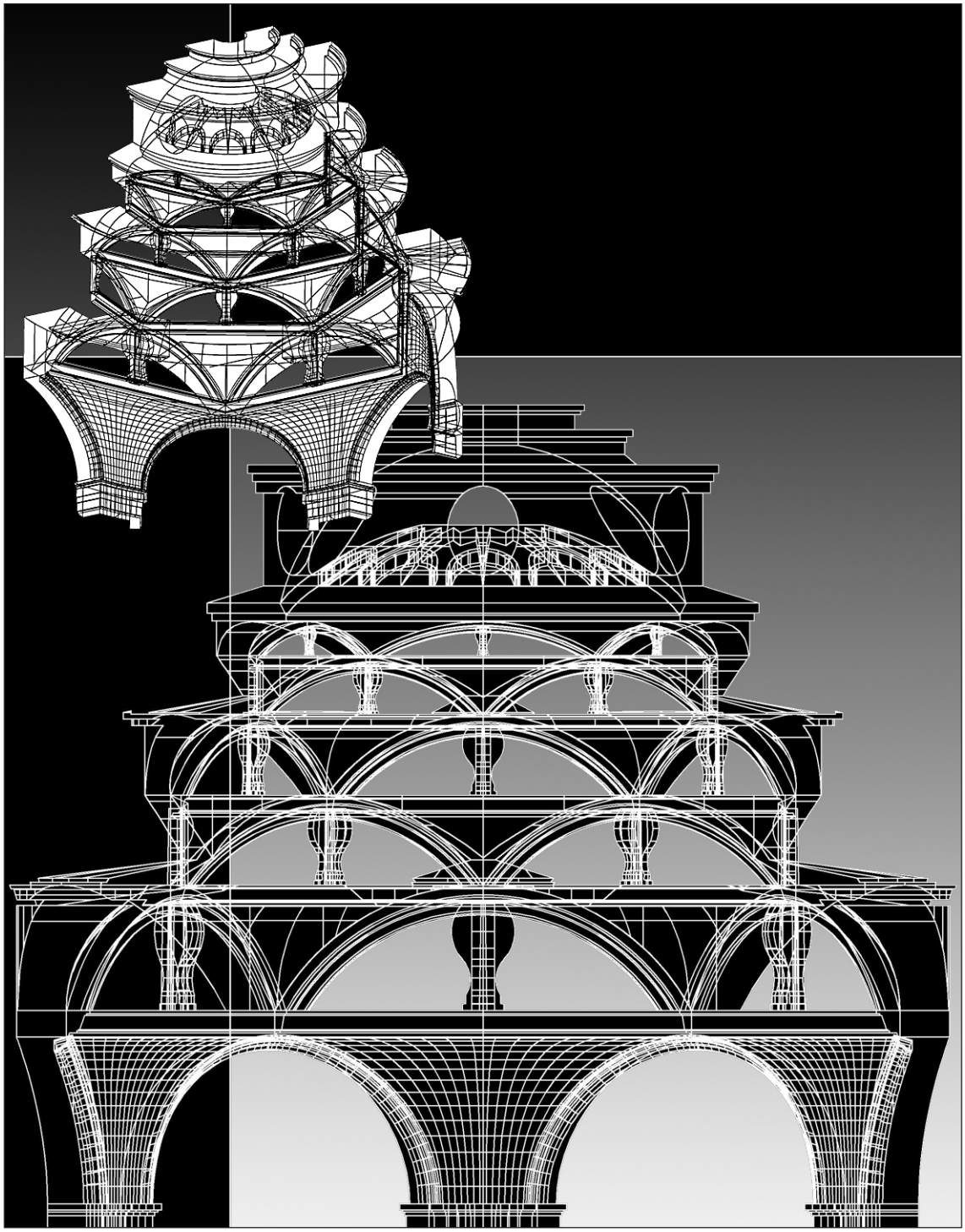


TAVOLA N° 272

Argomento della tavola: **Volta composta a sviluppo verticale: gli archi sovrapposti de S.Sindone a Torino - modello 4;**

Fonti dell'elaborazione: **G. Guarini, *Architettura* cit. (cfr. bibliografia), pianta e sezione della cappella del S. Sudario a Torino;**

Tipo di modellazione: **3D Solido/superficiale;**

Software utilizzati: **Rhinoceros, 3d Studio Max 5, Photoshop 7.**



TAVOLA N° 273

Argomento della tavola: **Volta composta a sviluppo verticale: gli archi intrecciati - trattato e modello;**

Fonti dell'elaborazione: **B. Vittone, *Istruzioni Diverse* cit. (cfr. bibliografia), tav. 71, S. Chiara in Alessandria;**

Tipo di modellazione: **3D Solido/superficiale;**

Software utilizzati: **Rhinoceros, 3d Studio Max 5, Photoshop 7.**

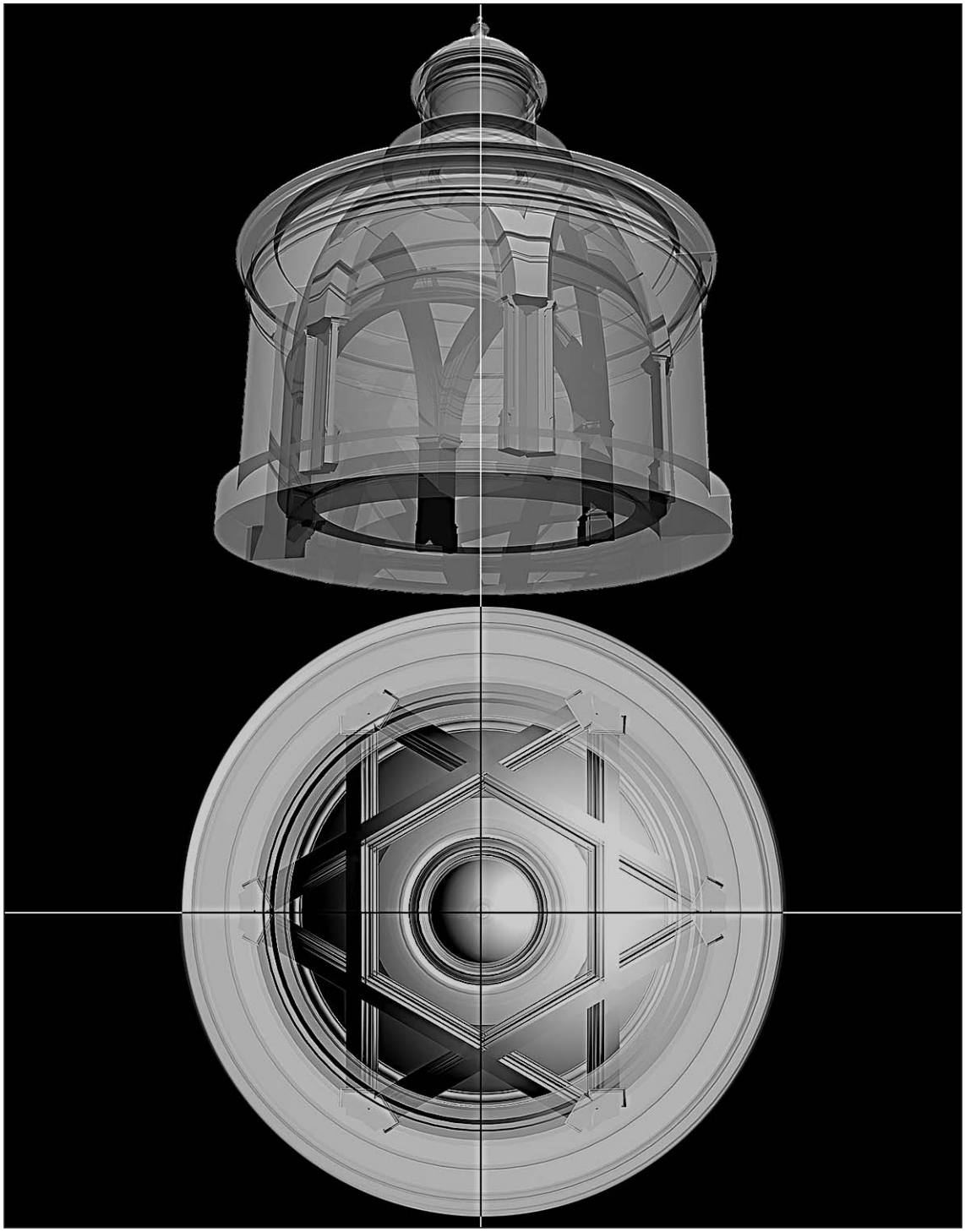


TAVOLA N° 274

Argomento della tavola: **Volta composta a sviluppo verticale: gli archi intrecciati - trattato e modello, ipografia;**

Fonti dell'elaborazione: **B. Vittone, *Istruzioni Diverse* cit. (cfr. bibliografia), tav. 71, S. Chiara in Alessandria;**

Tipo di modellazione: **3D Solido/superficiale;**

Software utilizzati: **Rhinoceros, 3d Studio Max 5, Photoshop 7.**

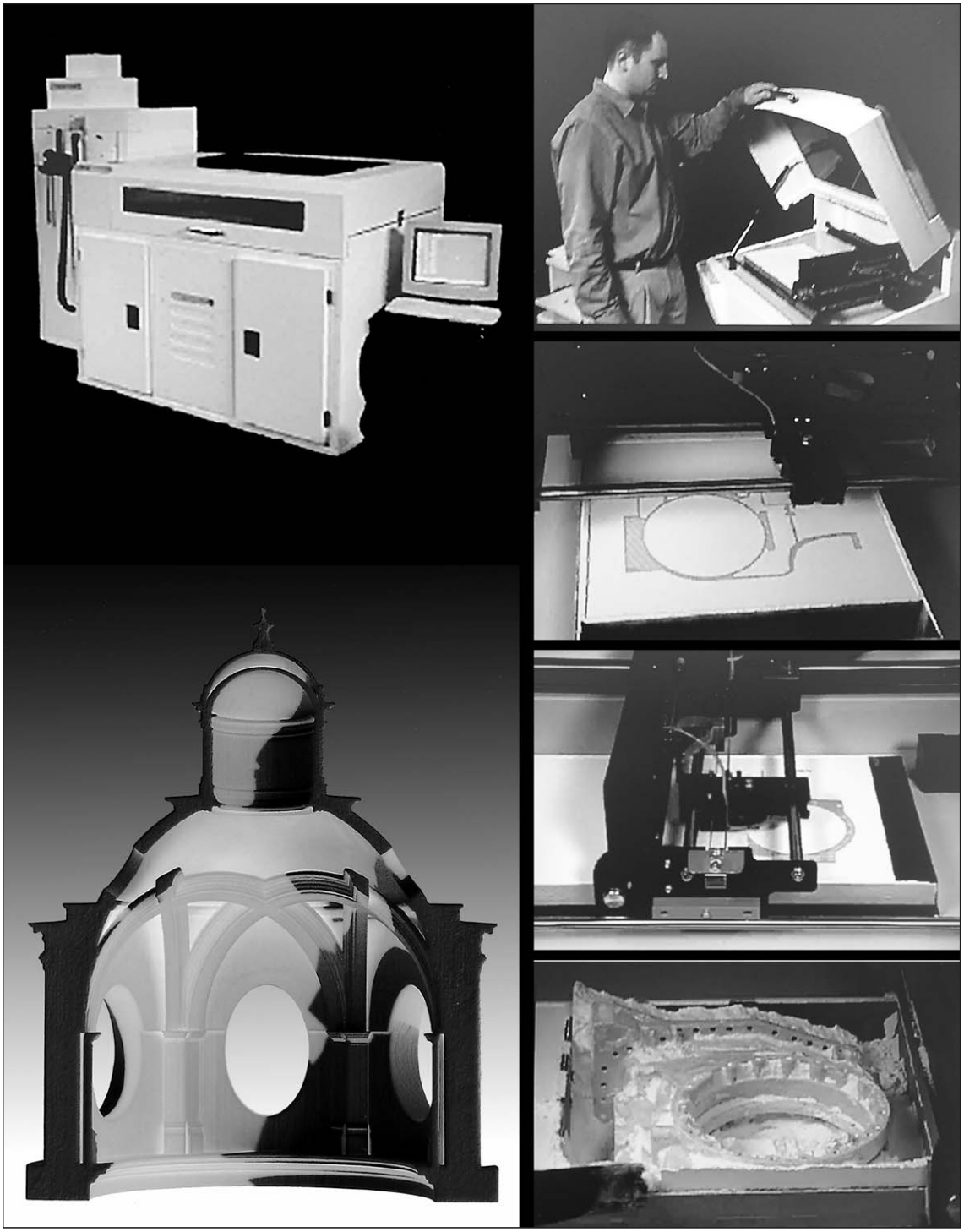


TAVOLA N° 275

Argomento della tavola: **Volta composta a sviluppo verticale: gli archi intrecciati - modello della prototipazione rapida-1;**

Fonti dell'elaborazione: **B. Vittone, *Istruzioni Diverse* cit. (cfr. bibliografia), tav. 71, S. Chiara in Alessandria;**

Tipo di modellazione: **3D Solido/superficiale;**

Software utilizzati: **Rhinoceros, Magics RP, Z Corp sf., Photoshop 7.**

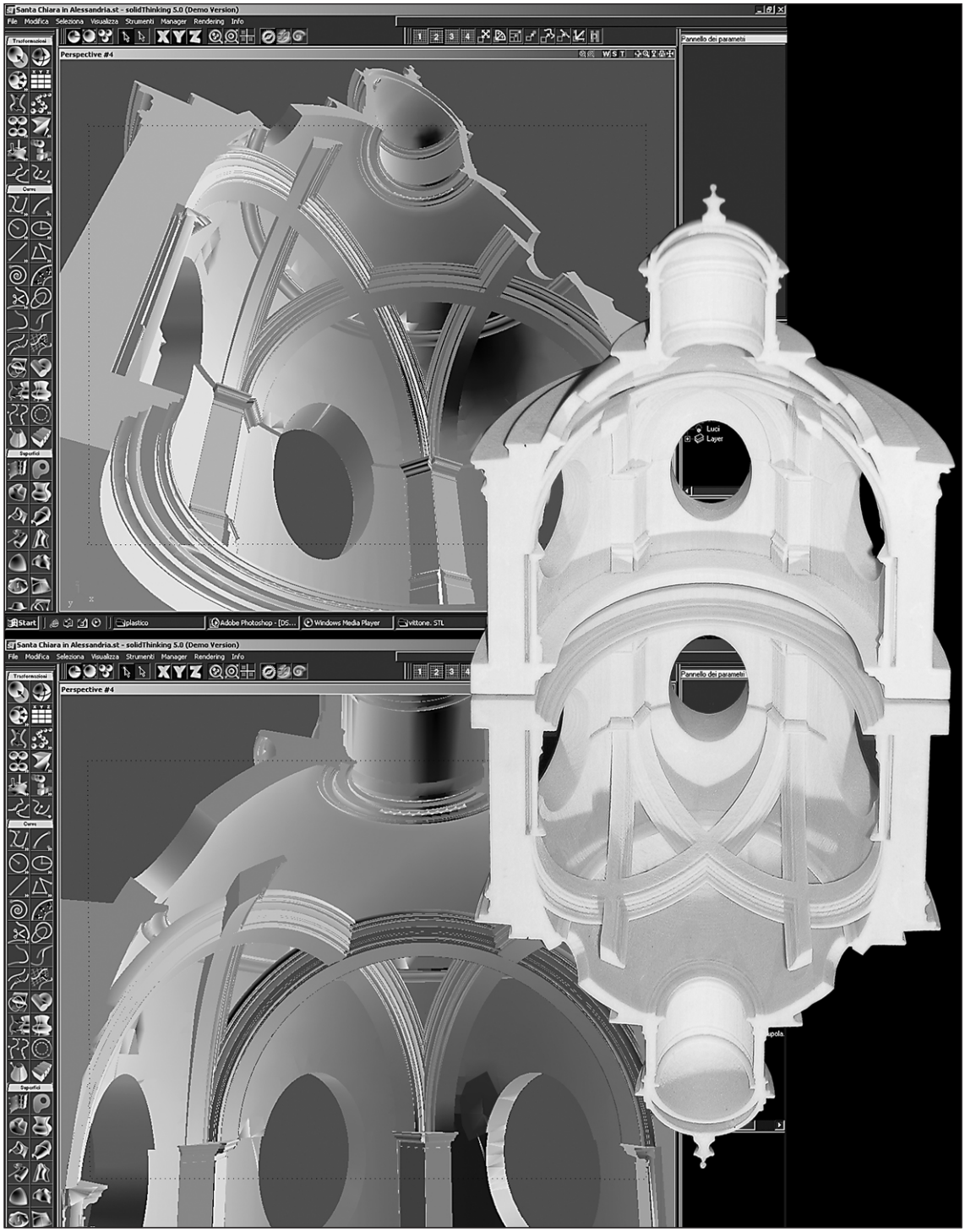


TAVOLA N° 276

Argomento della tavola: **Volta composta a sviluppo verticale: gli archi intrecciati - modello della prototipazione rapida-2;**

Fonti dell'elaborazione: **B. Vittone, *Istruzioni Diverse* cit. (cfr. bibliografia), tav. 71, S. Chiara in Alessandria;**

Tipo di modellazione: **3D Solido/superficiale;**

Software utilizzati: **Rhinoceros, Magics RP, Z Corp sf., Photoshop 7.**



TAVOLA N° 277

Argomento della tavola:	**Volta composta a sviluppo verticale: gli archi intrecciati - modello della prototipazione rapida-3;**
Fonti dell'elaborazione:	**B. Vittone, *Istruzioni Diverse* cit. (cfr. bibliografia), tav. 71, S. Chiara in Alessandria;**
Tipo di modellazione:	**3D Solido/superficiale;**
Software utilizzati:	**Rhinoceros, Magics RP, Z Corp sf., Photoshop 7.**



TAVOLA N° 278

Argomento della tavola:	**Volta composta a sviluppo verticale: gli archi intrecciati - modello della prototipazione rapida-4;**
Fonti dell'elaborazione:	**B. Vittone, *Istruzioni Diverse* cit. (cfr. bibliografia), tav. 71, S. Chiara in Alessandria;**
Tipo di modellazione:	**3D Solido/superficiale;**
Software utilizzati:	**Rhinoceros, Magics RP, Z Corp sf., Photoshop 7.**



TAVOLA N° 279

Argomento della tavola: **Volta composta a sviluppo verticale: gli archi intrecciati - modello della prototipazione rapida-5;**

Fonti dell'elaborazione: **B. Vittone, *Istruzioni Diverse* cit. (cfr. bibliografia), tav. 71, S. Chiara in Alessandria;**

Tipo di modellazione: **3D Solido/superficiale;**

Software utilizzati: **Rhinoceros, Magics RP, Z Corp sf., Photoshop 7.**

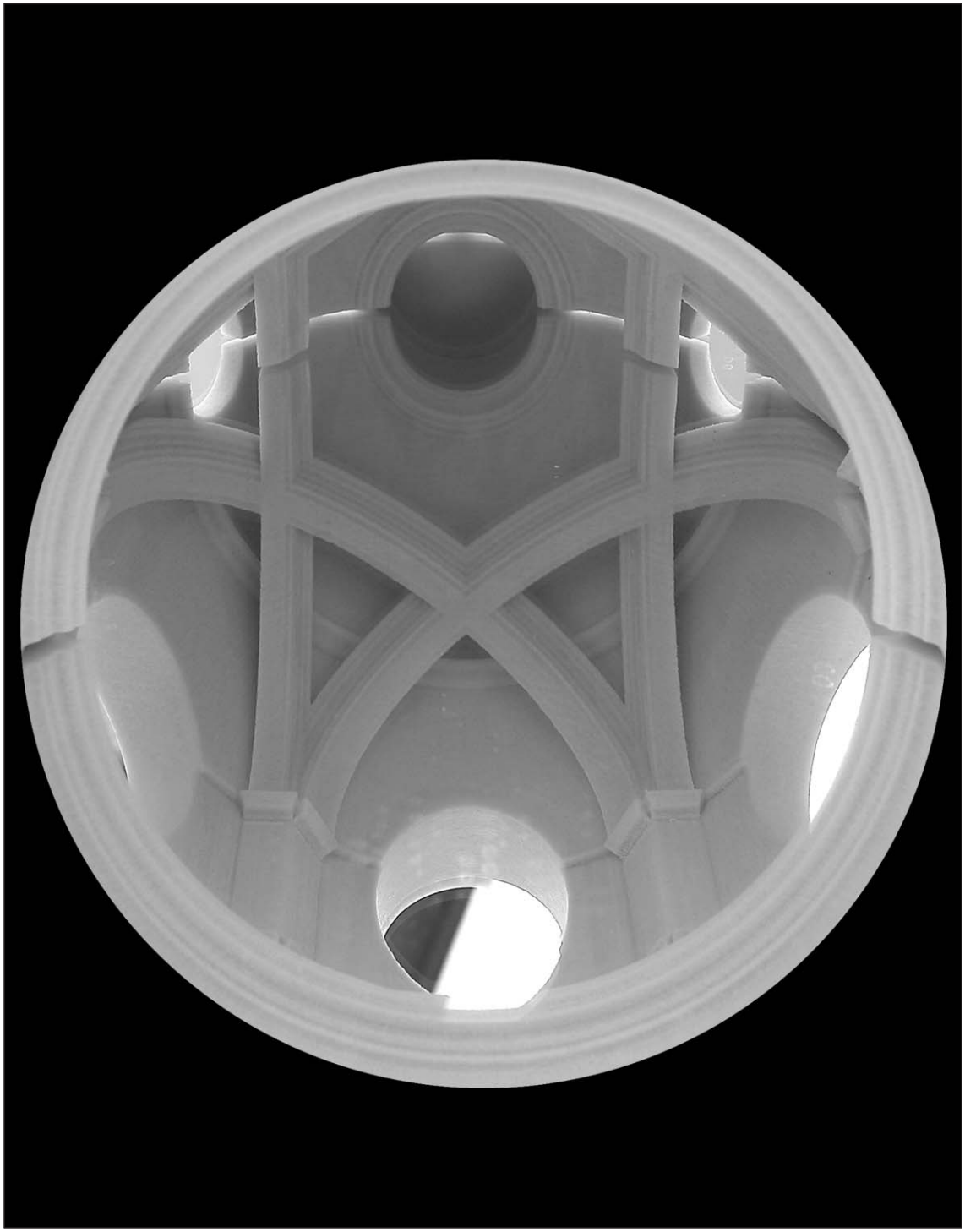


TAVOLA N° 280

Argomento della tavola:	**Volta composta a sviluppo verticale: gli archi intrecciati - modello della prototipazione rapida-6;**
Fonti dell'elaborazione:	**B. Vittone, *Istruzioni Diverse* cit. (cfr. bibliografia), tav. 71, S. Chiara in Alessandria;**
Tipo di modellazione:	**3D Solido/superficiale;**
Software utilizzati:	**Rhinoceros, Magics RP, Z Corp sf., Photoshop 7.**

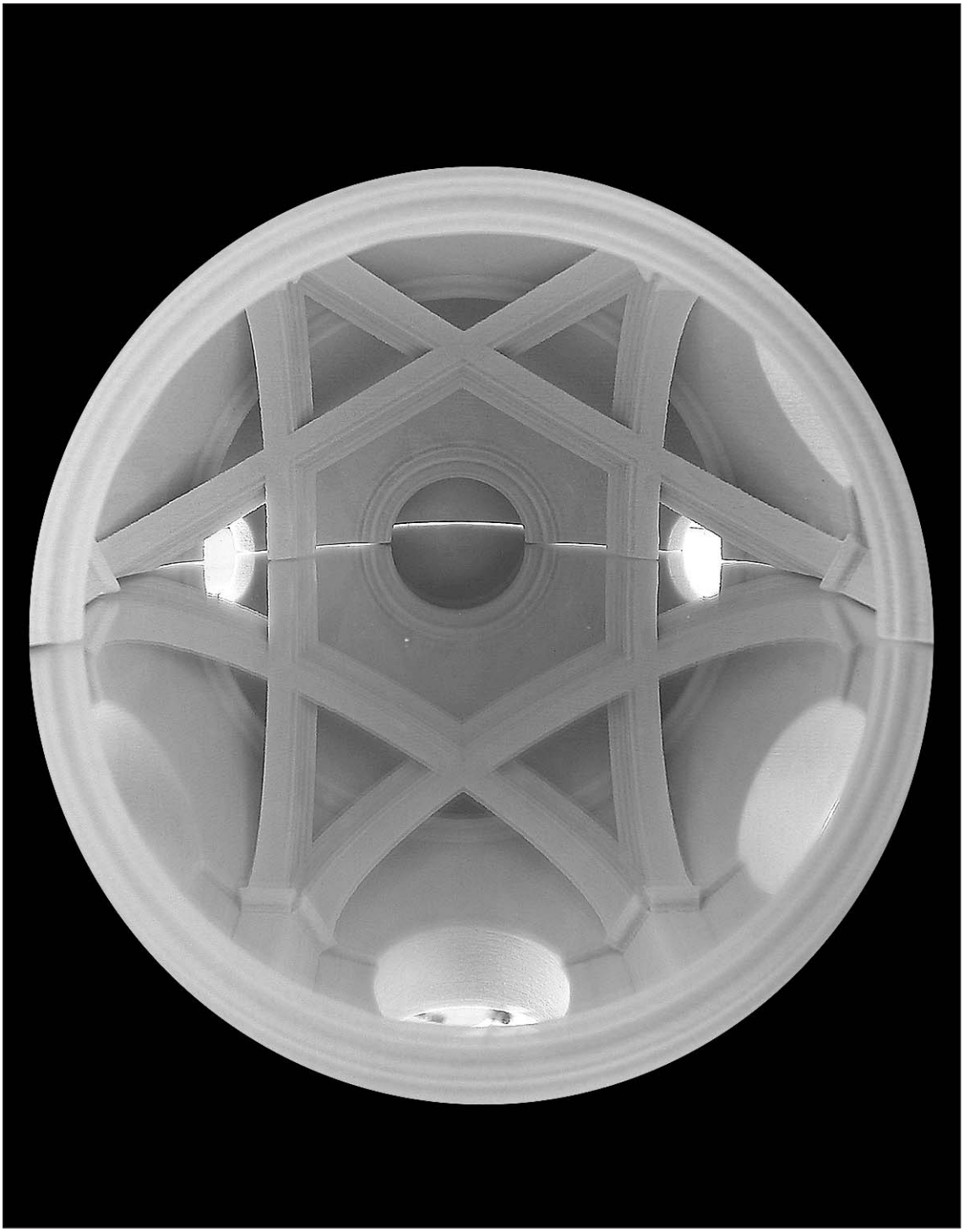


TAVOLA N° 281

Argomento della tavola: **Volta composta a sviluppo verticale: gli archi intrecciati - modello della prototipazione rapida-7;**

Fonti dell'elaborazione: **B. Vittone, *Istruzioni Diverse* cit. (cfr. bibliografia), tav. 71, S. Chiara in Alessandria;**

Tipo di modellazione: **3D Solido/superficiale;**

Software utilizzati: **Rhinoceros, Magics RP, Z Corp sf., Photoshop 7.**

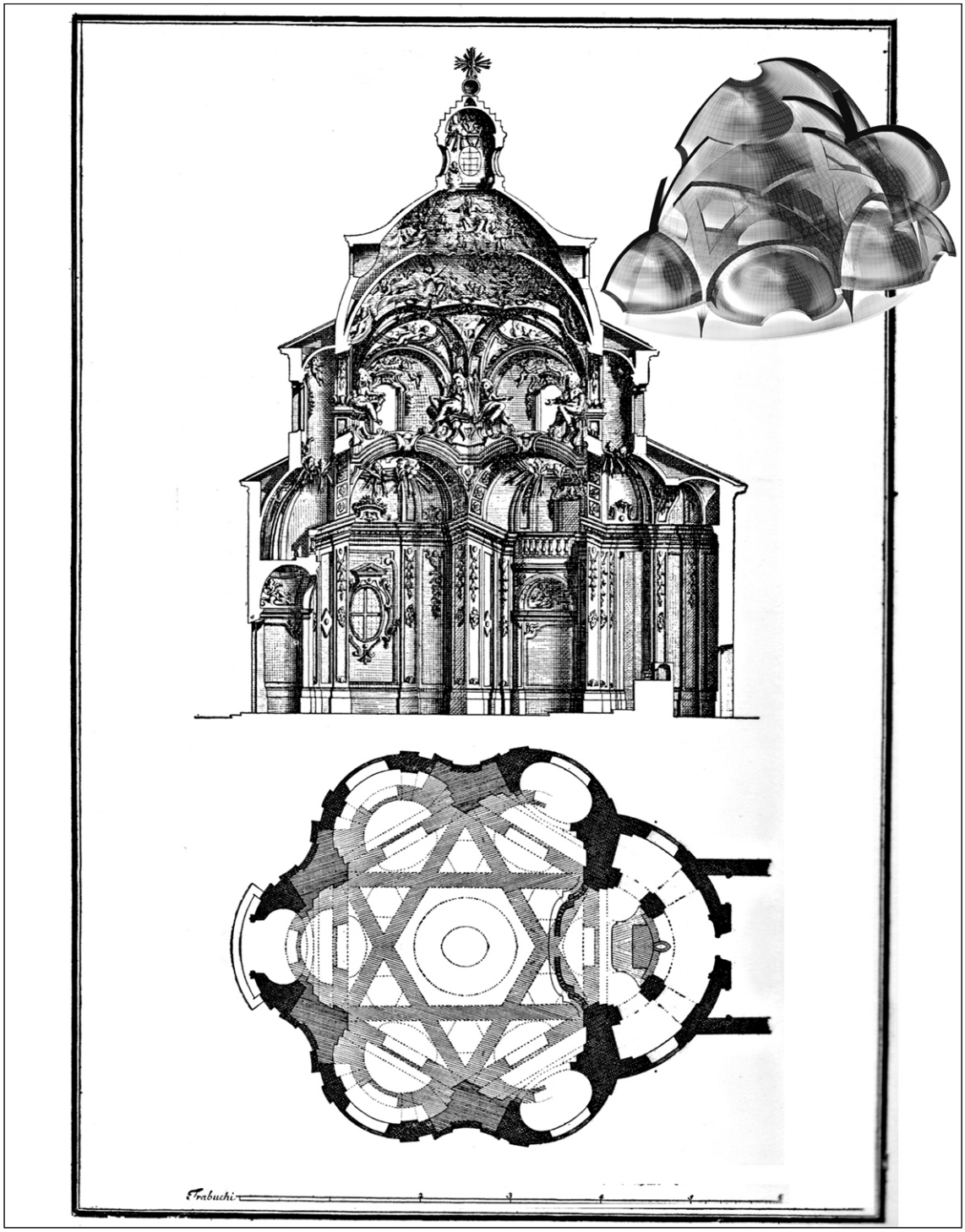


TAVOLA N° 282

Argomento della tavola: **Volta composta a sviluppo verticale: gli archi intrecciati e le cupole sferoidali - trattato;**

Fonti dell'elaborazione: **B. Vittone, *Istruzioni Diverse* cit. (cfr. bibliografia), tav. 78, Santuario a Carignano Vallinotto;**

Tipo di modellazione: **3D Solido/superficiale;**

Software utilizzati: **Rhinoceros, 3D Studio Max 5, Photoshop 7.**

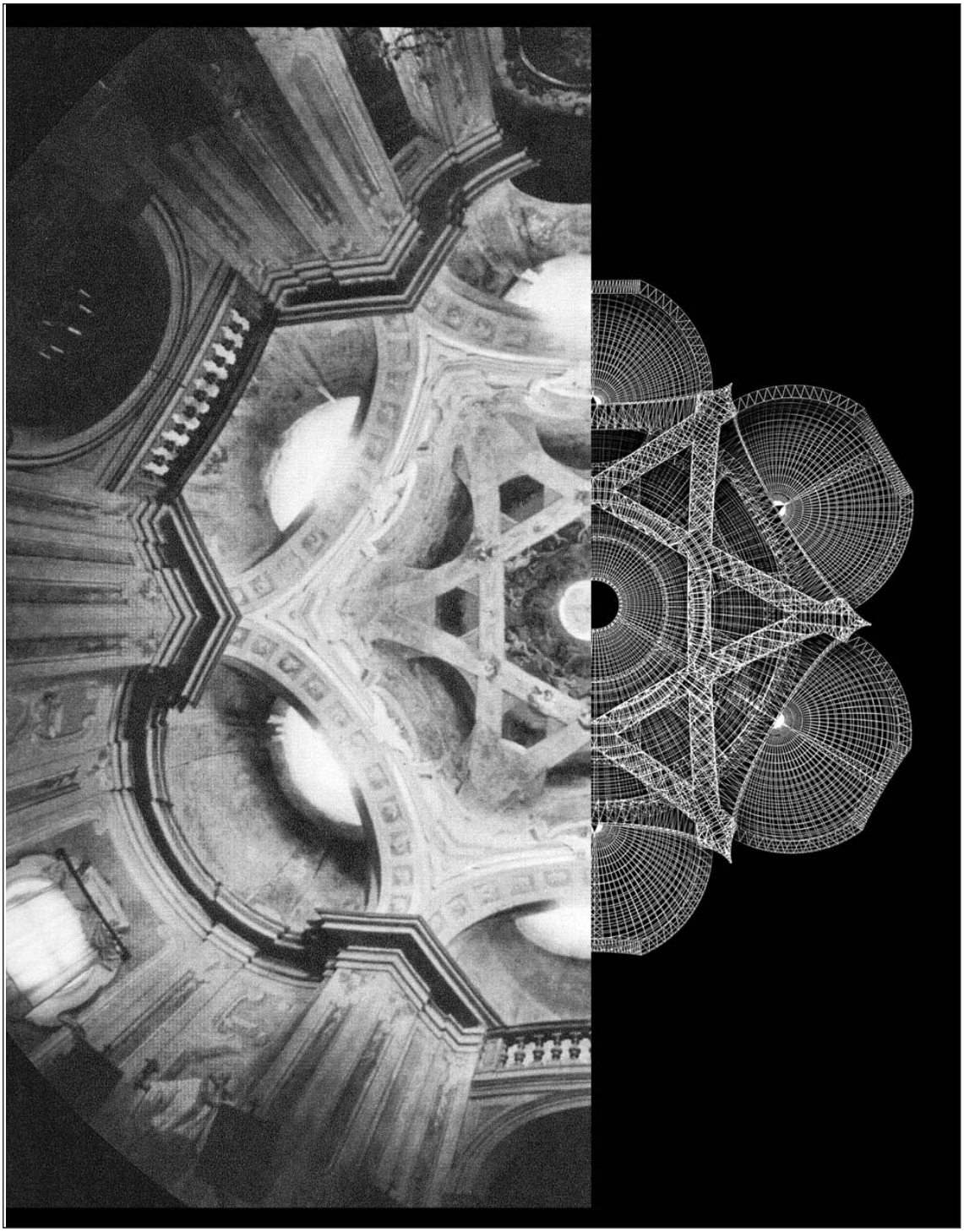


TAVOLA N° 283

Argomento della tavola: **Volta composta a sviluppo verticale: gli archi intrecciati e le cupole sferoidali - ipografia;**

Fonti dell'elaborazione: **B. Vittone, *Istruzioni Diverse* cit. (cfr. bibliografia), tav. 78, Santuario a Carignano Vallinotto. Fotografia: P.Portoghesi, *Vittone. cit,* p. 37;**

Tipo di modellazione: **3D Solido/superficiale;**

Software utilizzati: **Rhinoceros, 3D Studio Max 5, Photoshop 7.**

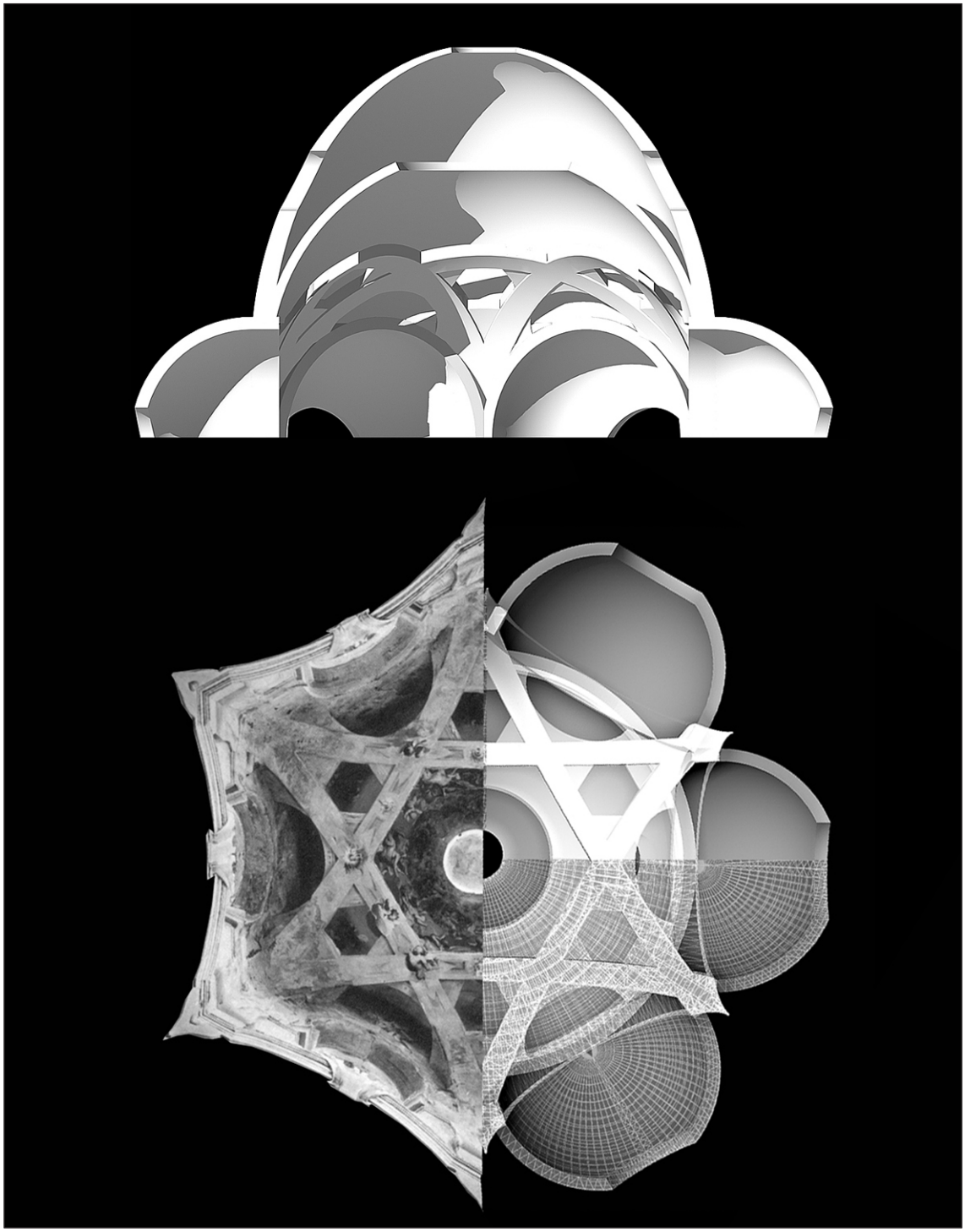


TAVOLA N° 284

Argomento della tavola: **Volta composta a sviluppo verticale: gli archi intrecciati e le cupole sferoidali - modello solido;**

Fonti dell'elaborazione: **B. Vittone, *Istruzioni Diverse* cit. (cfr. bibliografia), tav. 78, Santuario a Carignano Vallinotto. Fotografia: P.Portoghesi, *Vittone. cit,* p. 38;**

Tipo di modellazione: **3D Solido/superficiale;**

Software utilizzati: **Rhinoceros, 3D Studio Max 5, Photoshop 7.**

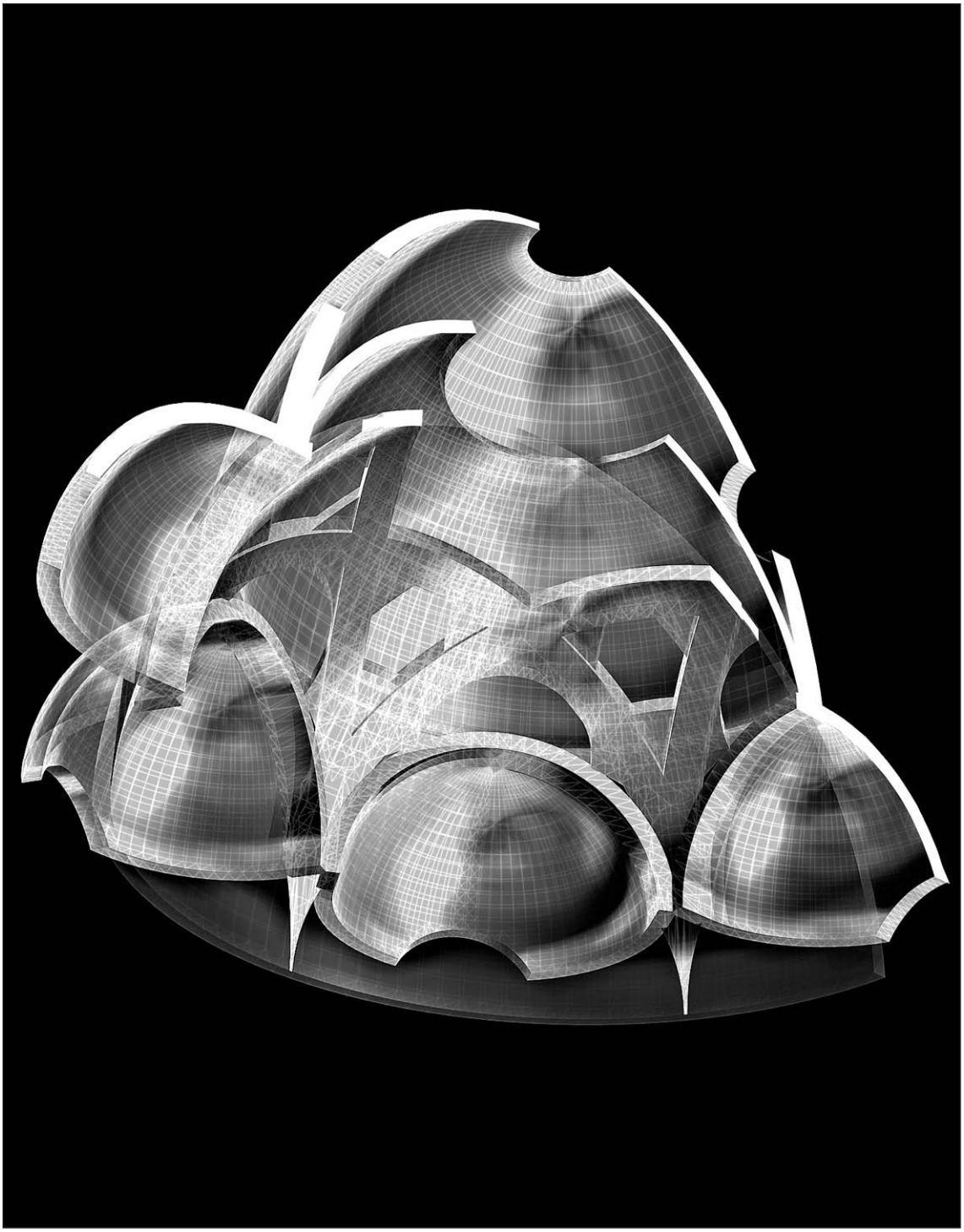


TAVOLA N° 285

Argomento della tavola: **Volta composta a sviluppo verticale: gli archi intrecciati e le cupole sferoidali - modello/rete1;**

Fonti dell'elaborazione: **B. Vittone, *Istruzioni Diverse* cit. (cfr. bibliografia), tav. 78, Santuario a Carignano Vallinotto. Fotografia: P.Portoghesi, *Vittone. cit,* p. 38;**

Tipo di modellazione: **3D Solido/superficiale;**

Software utilizzati: **Rhinoceros, 3D Studio Max 5, Photoshop 7.**

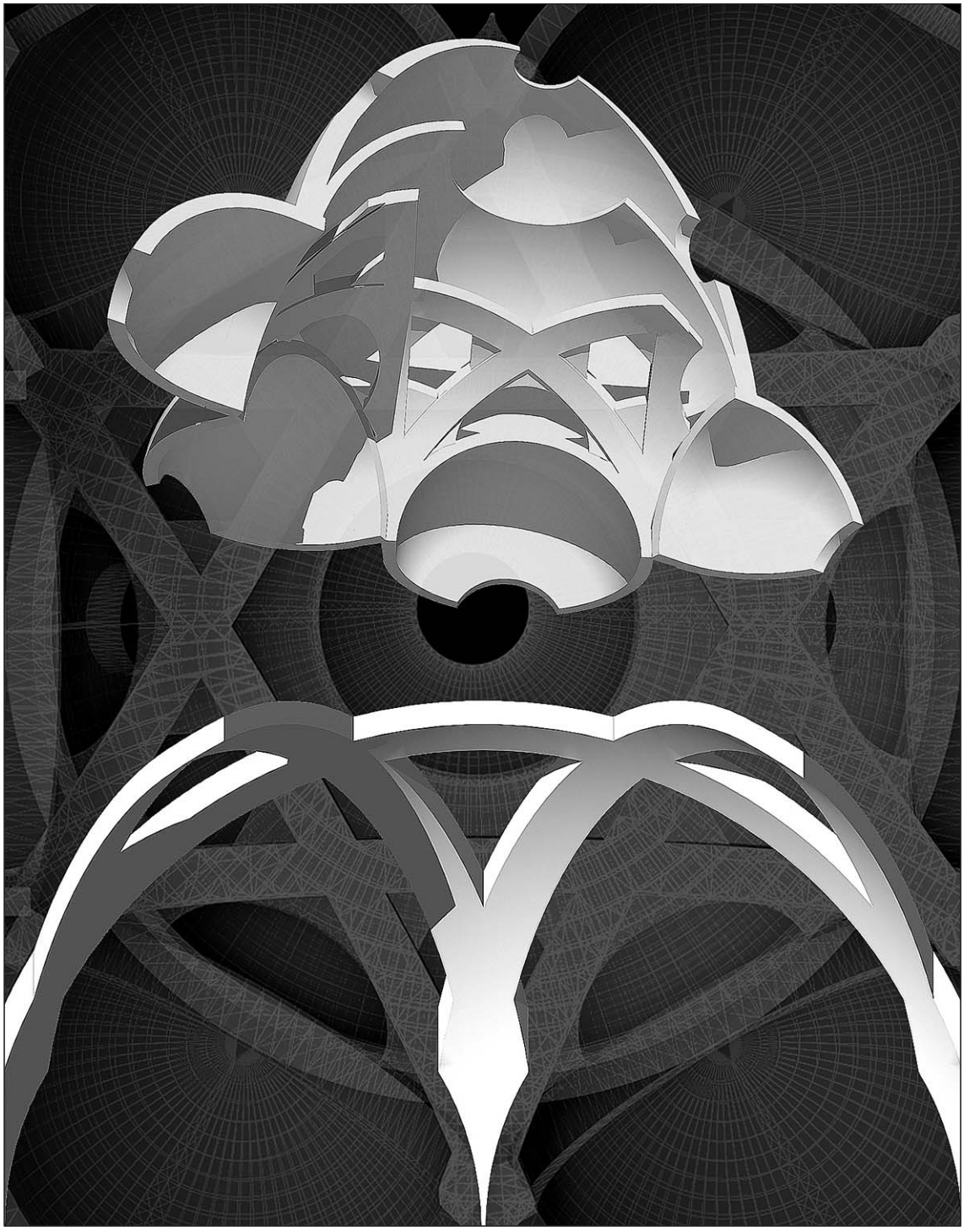


TAVOLA N° 286

Argomento della tavola:	**Volta composta a sviluppo verticale: gli archi intrecciati e le cupole sferoidali - modello/rete2;**
Fonti dell'elaborazione:	**B. Vittone, *Istruzioni Diverse* cit. (cfr. bibliografia), tav. 78, Santuario a Carignano Vallinotto. Fotografia: P.Portoghesi, *Vittone. cit,* p. 38;**
Tipo di modellazione:	**3D Solido/superficiale;**
Software utilizzati:	**Rhinoceros, 3D Studio Max 5, Photoshop 7.**

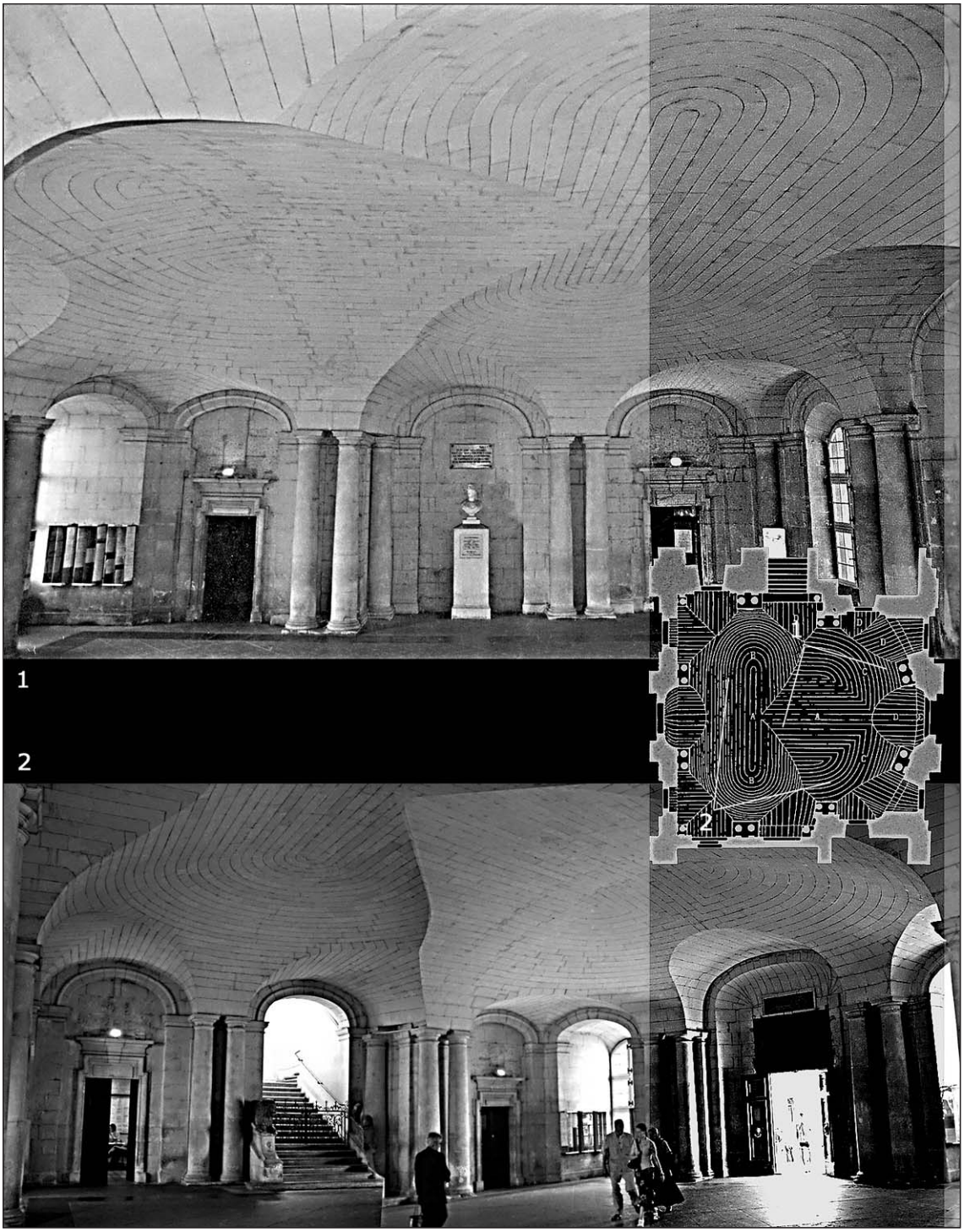


TAVOLA N° 287

Argomento della tavola: **Volta composta a sviluppo orizzontale: spazio voltato dell'hotel de ville d'Arles - interno 1;**

Fonti dell'elaborazione: **Rilievo fotografico in situ, rilievo metrico e resti tuzione grafica di Luc Tamborero (Compagnon, tailleur de pierre - la perseverance d'Arles);**

Tipo di modellazione: **2D Vettoriale;**

Software utilizzati: **Autocad 2004, Photoshop 7.**

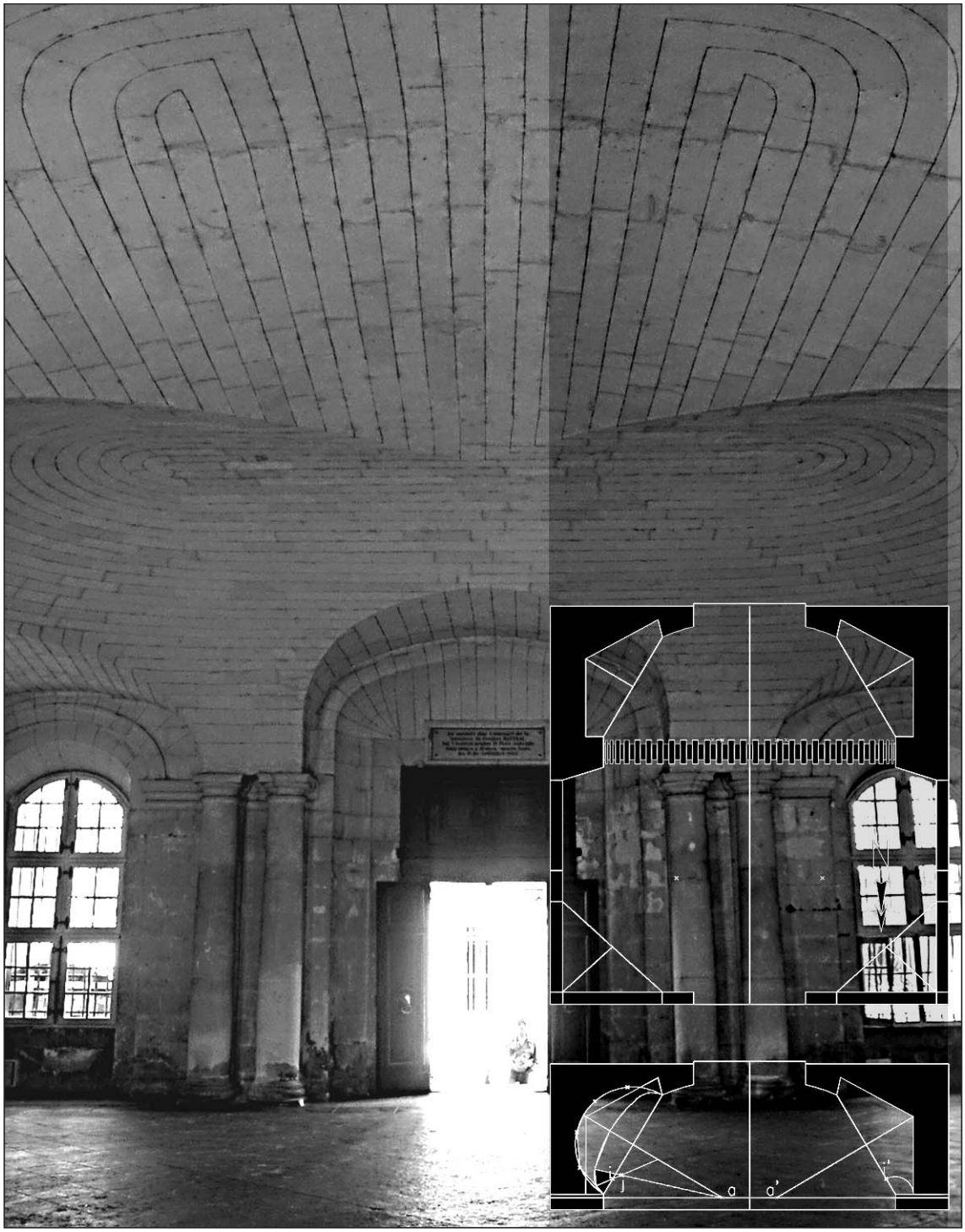


TAVOLA N° 288

Argomento della tavola: **Volta composta a sviluppo orizzontale: spazio voltato dell'hotel de ville d'Arles - interno 2;**

Fonti dell'elaborazione: **Rilievo fotografico in situ, rilievo metrico e resti tuzione grafica di Luc Tamborero (Compagnon, tailleur de pierre - la perseverance d'Arles);**

Tipo di modellazione: **2D Vettoriale;**

Software utilizzati: **Autocad 2004, Photoshop 7.**

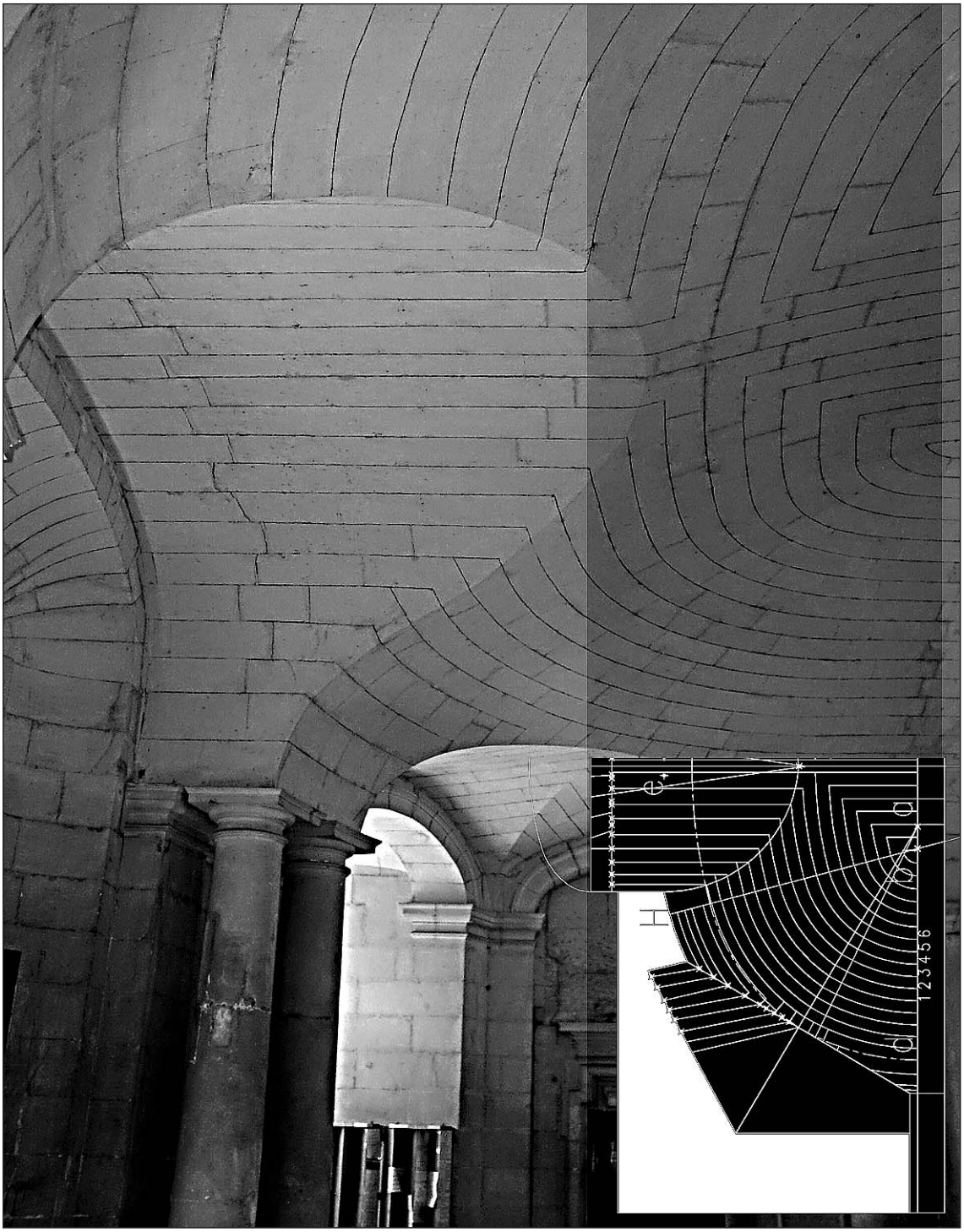


TAVOLA N° 289

Argomento della tavola: **Volta composta a sviluppo orizzontale: spazio voltato dell'hotel de ville d'Arles - dettaglio;**

Fonti dell'elaborazione: **Rilievo fotografico in situ, rilievo metrico e resti tuzione grafica di Luc Tamborero (Compagnon, tailleur de pierre - la perseverance d'Arles);**

Tipo di modellazione: **2D Vettoriale;**

Software utilizzati: **Autocad 2004, Photoshop 7.**

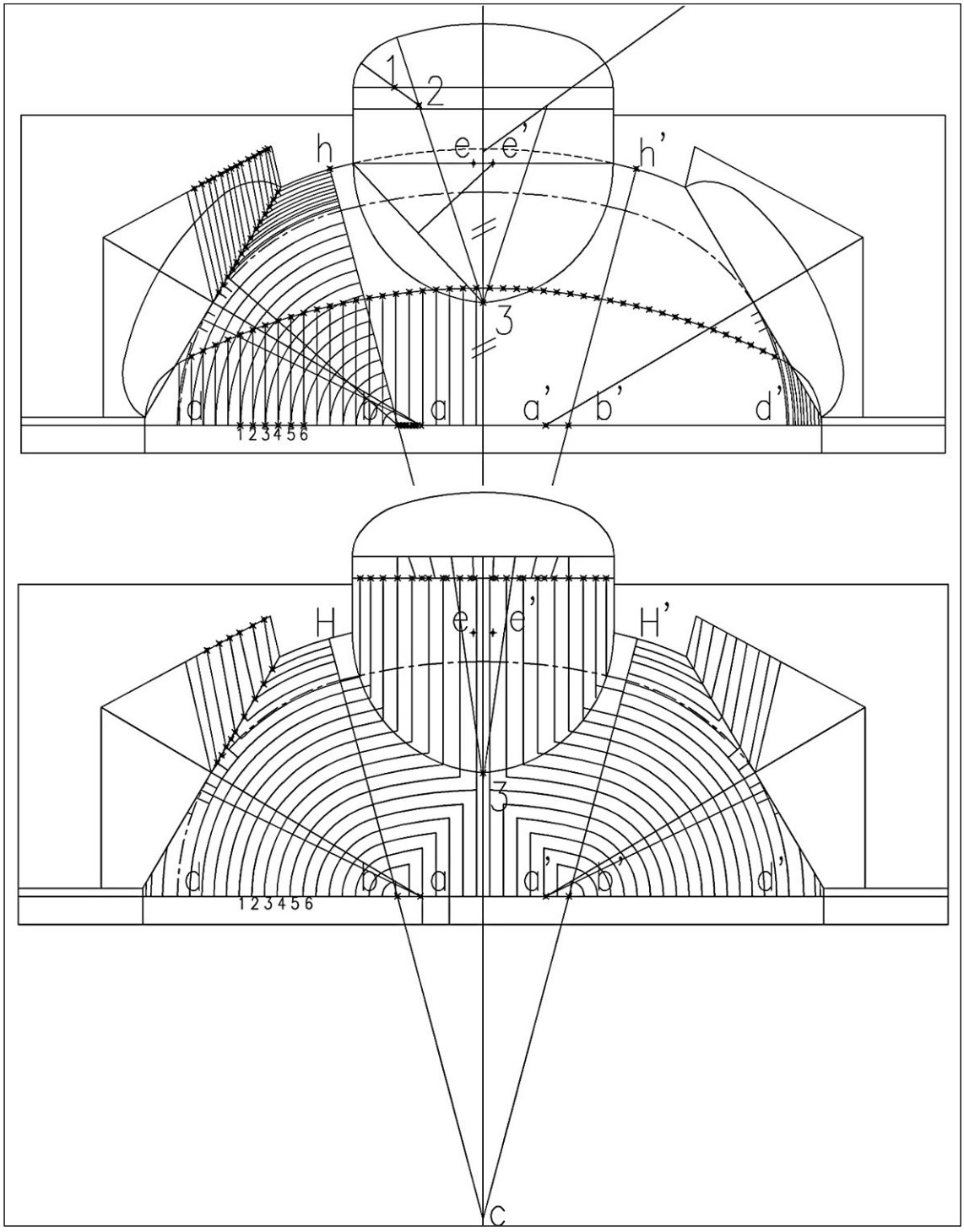


TAVOLA N° 290

Argomento della tavola: **Volta composta a sviluppo orizzontale: spazio voltato dell'hotel de ville d'Arles - ipografia;**

Fonti dell'elaborazione: **Rilievo fotografico in situ, rilievo metrico e resti tuzione grafica di Luc Tamborero (Compagnon, tailleur de pierre - la perseverance d'Arles);**

Tipo di modellazione: **2D Vettoriale;**

Software utilizzati: **Autocad 2004, Photoshop 7.**

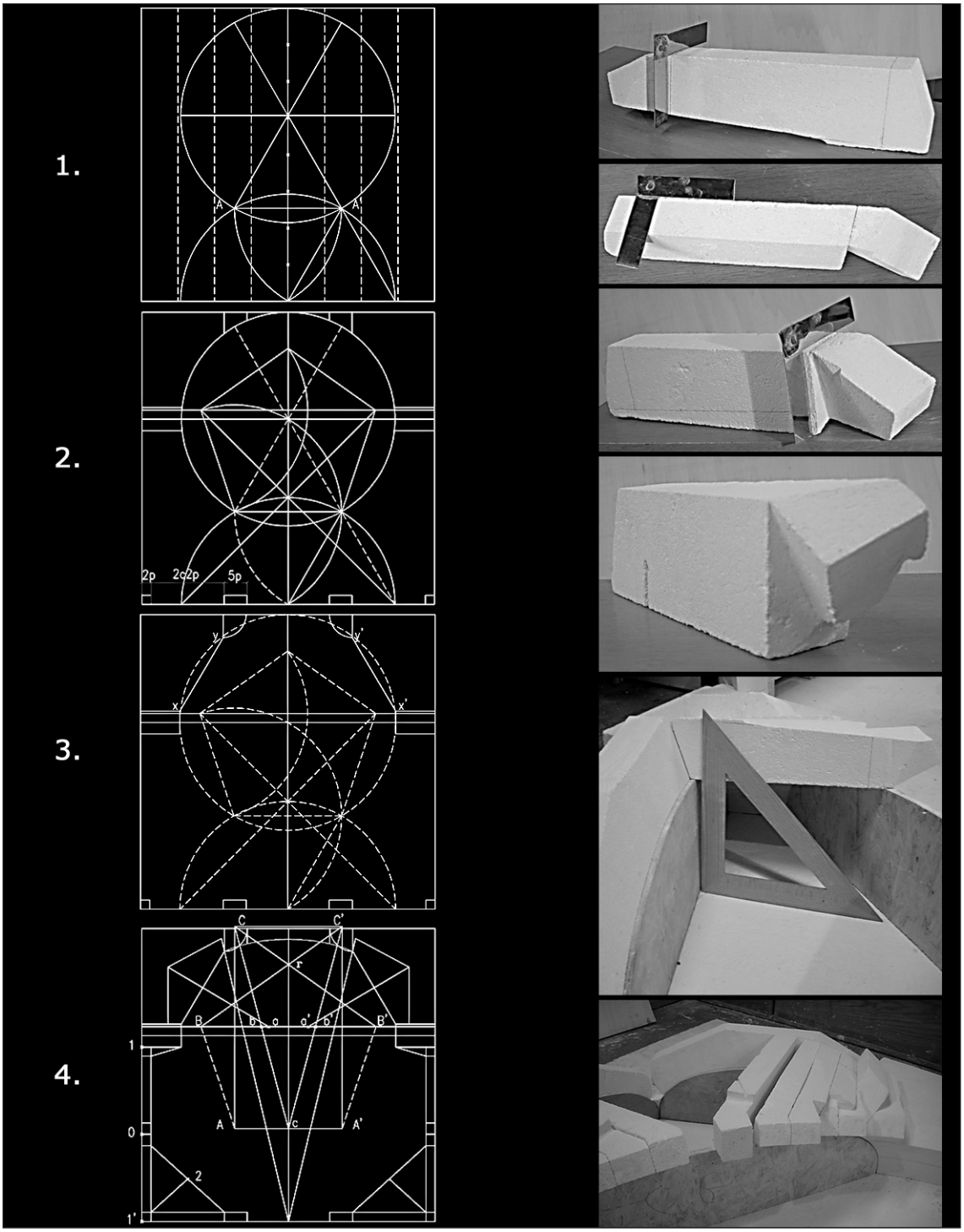


TAVOLA N° 291

Argomento della tavola: **Volta composta a sviluppo orizzontale: spazio voltato dell'hotel de ville d'Arles -geometrie;**

Fonti dell'elaborazione: **Rilievo fotografico in situ, rilievo metrico e resti tuzione grafica di Luc Tamborero (Compagnon, tailleur de pierre - la perseverance d'Arles);**

Tipo di modellazione: **2D Vettoriale;**

Software utilizzati: **Autocad 2004, Photoshop 7.**



TAVOLA N° 292

Argomento della tavola:	**Volta composta a sviluppo orizzontale: spazio voltato dell'ingresso della sacrestia della certosa di Valbonne - modello;**
Fonti dell'elaborazione:	**Rilievo fotografico in situ;**
Tipo di modellazione:	**3D Solido/superficiale;**
Software utilizzati:	**Autocad 2004, 3D Studio Max 5, Photoshop 7.**

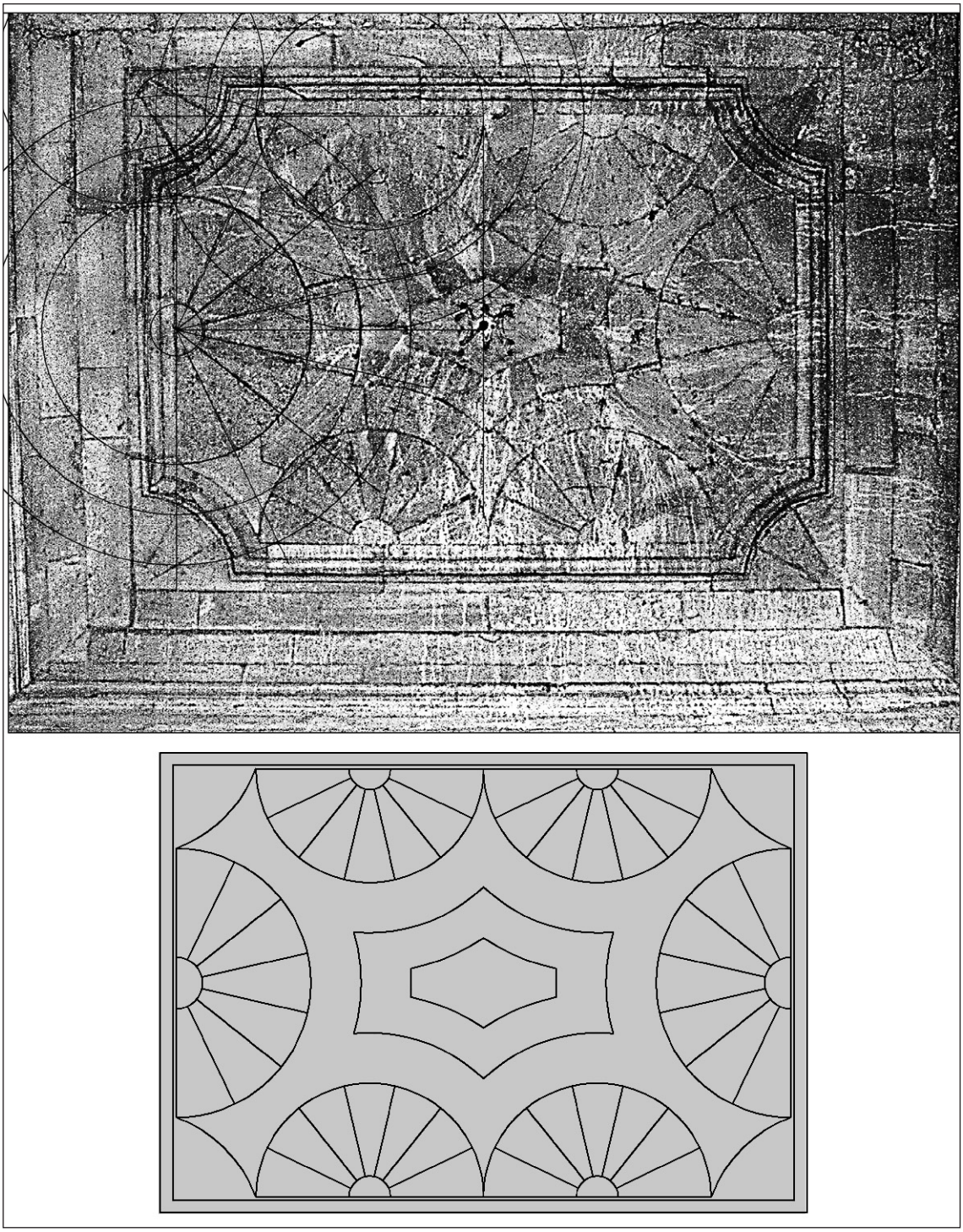


TAVOLA N° 293

Argomento della tavola: **Volta composta a sviluppo orizzontale: spazio voltato dell'ingresso del seminario Saint- Charles (J. B. Franque, Avignon, 1749-1757) - ipografia;**

Fonti dell'elaborazione: **Rilievo fotografico in situ;**

Tipo di modellazione: **2D Vettoriale;**

Software utilizzati: **Autocad 2004, Photoshop 7.**

10. Scale

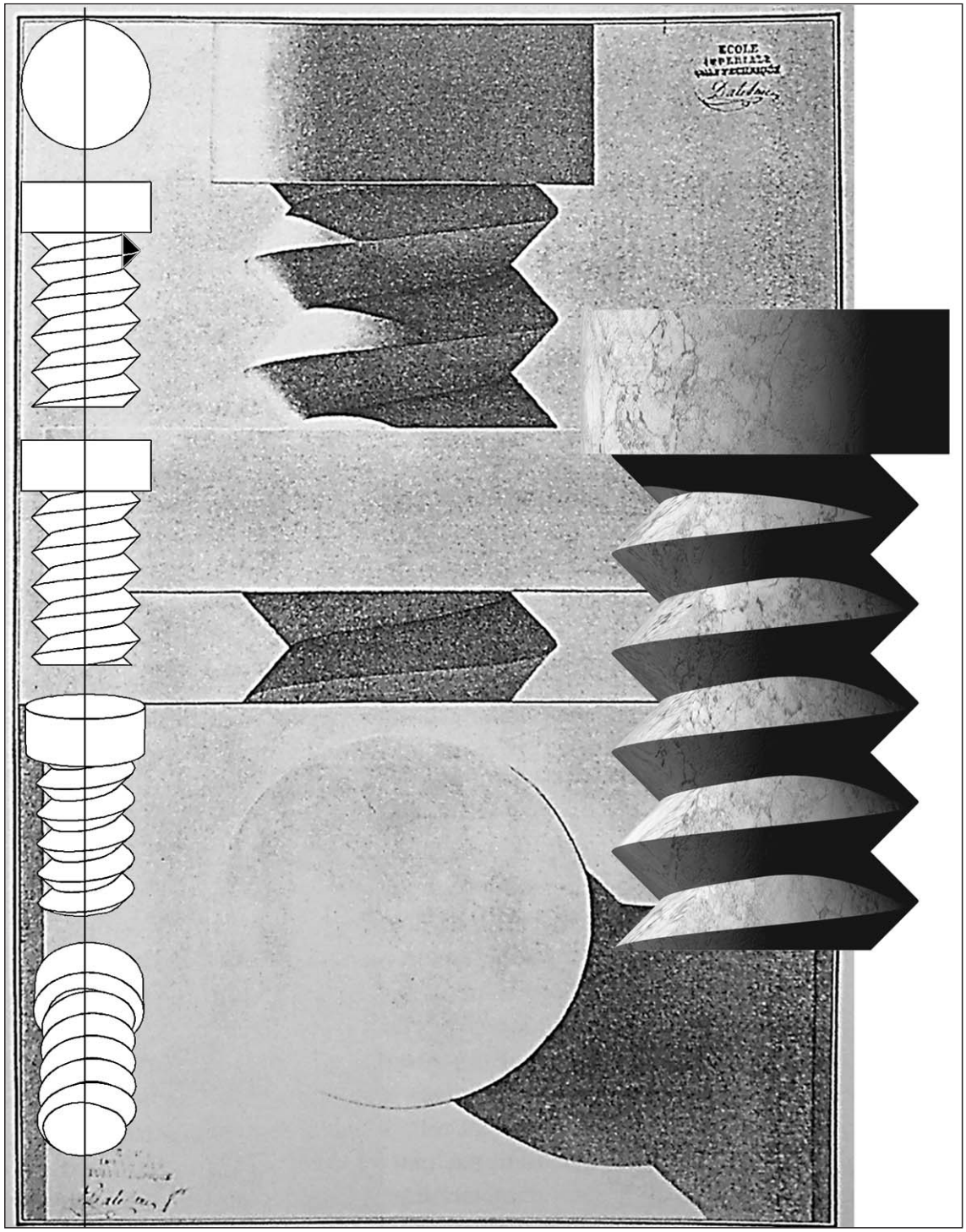


TAVOLA N° 294

Argomento della tavola: **La vite elicoidale: la geometria della filettatura triangolare e il modello;**

Fonti dell'elaborazione: **Trattato da J. Sakarovitch, *Epure.* cit. (cfr. biblio grafia), p. 272, disegni di Dalesme, 1812;**

Tipo di modellazione: **3D Solido/superficiale;**

Software utilizzati: **Rhinoceros, 3D Studio Max 5, Photoshop 7.**



TAVOLA N° 295

Argomento della tavola: **La vite elicoidale: la geometria della filettatura triangolare e il modello - vista;**

Fonti dell'elaborazione: **Trattato da J. Sakarovitch, *Epure.* cit. (cfr. biblio grafia), p. 272, disegni di Dalesme, 1812;**

Tipo di modellazione: **3D Solido/superficiale;**

Software utilizzati: **Rhinoceros, 3D Studio Max 5, Photoshop 7.**



TAVOLA N° 296

Argomento della tavola: **Scala elicoidale a nucleo centrale e perimetrale continuo: la "vis de Saint-Gilles" - modello 1;**

Fonti dell'elaborazione: **Rilievo fotografico in situ, Abbazia di Saint-Gilles dans le Gard;**

Tipo di modellazione: **3D Solido/superficiale;**

Software utilizzati: **Rhinoceros, 3D Studio Max 5, Photoshop 7.**

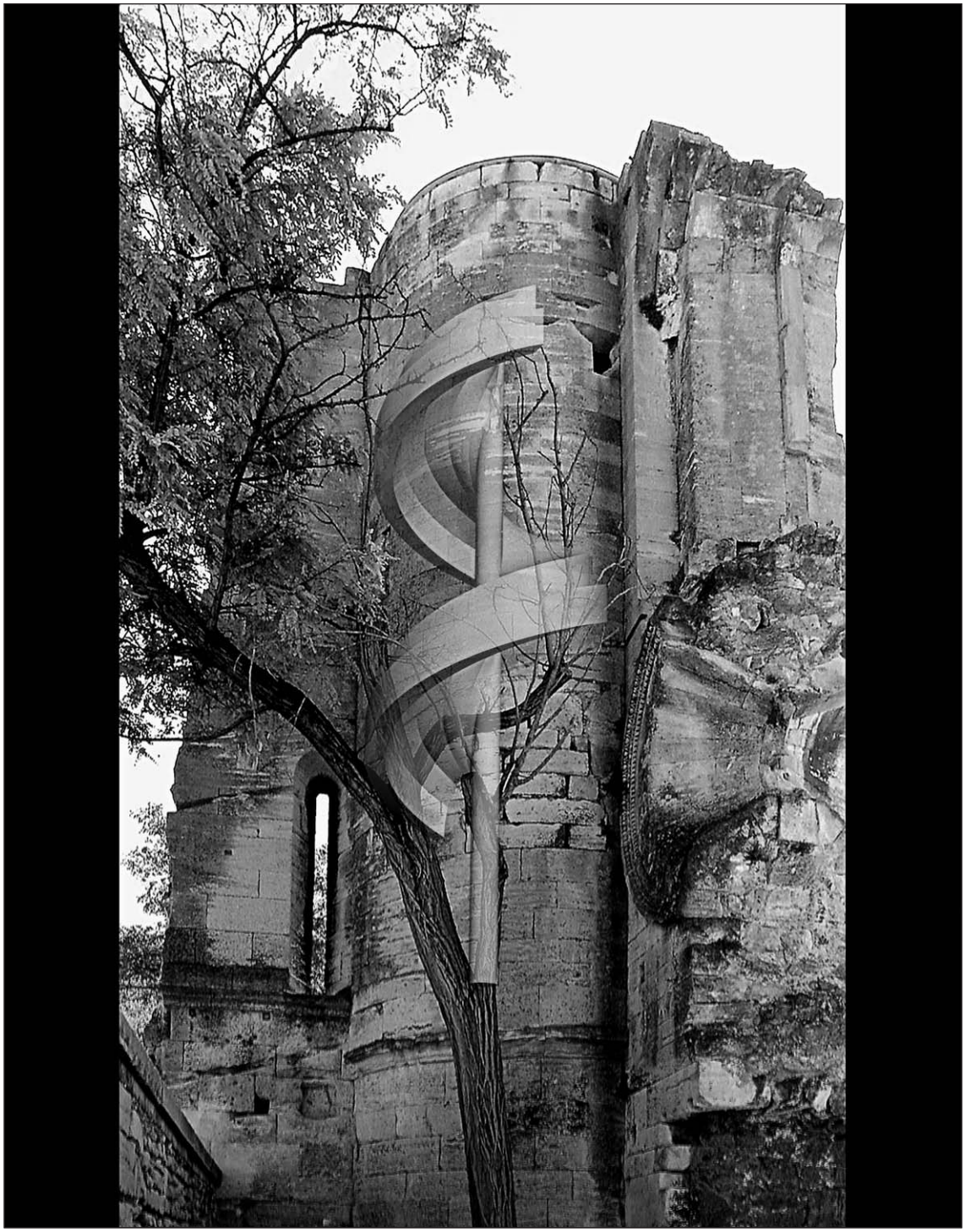


TAVOLA N° 297

Argomento della tavola:	**Scala elicoidale a nucleo centrale e perimetrale continuo: la "vis de Saint-Gilles" - modello 2;**
Fonti dell'elaborazione:	**Rilievo fotografico in situ, Abbazia di Saint-Gilles dans le Gard;**
Tipo di modellazione:	**3D Solido/superficiale;**
Software utilizzati:	**Rhinoceros, 3D Studio Max 5, Photoshop 7.**

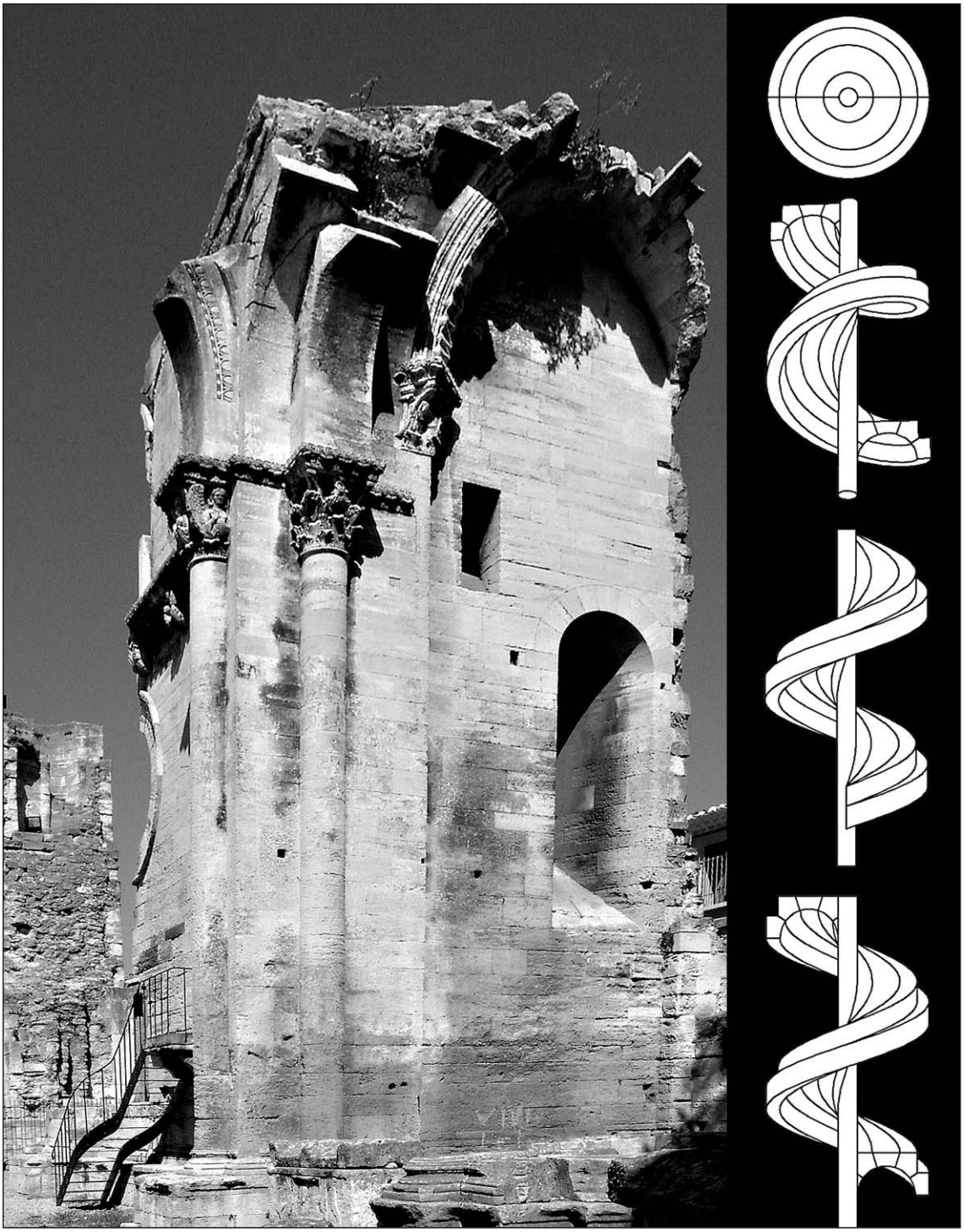


TAVOLA N° 298

Argomento della tavola:	**Scala elicoidale a nucleo centrale e perimetrale continuo: la "vis de Saint-Gilles" - modello - proiezioni;**
Fonti dell'elaborazione:	**Rilievo fotografico in situ, Abbazia di Saint-Gilles dans le Gard;**
Tipo di modellazione:	**3D Solido/superficiale;**
Software utilizzati:	**Rhinoceros, 3D Studio Max 5, Photoshop 7.**

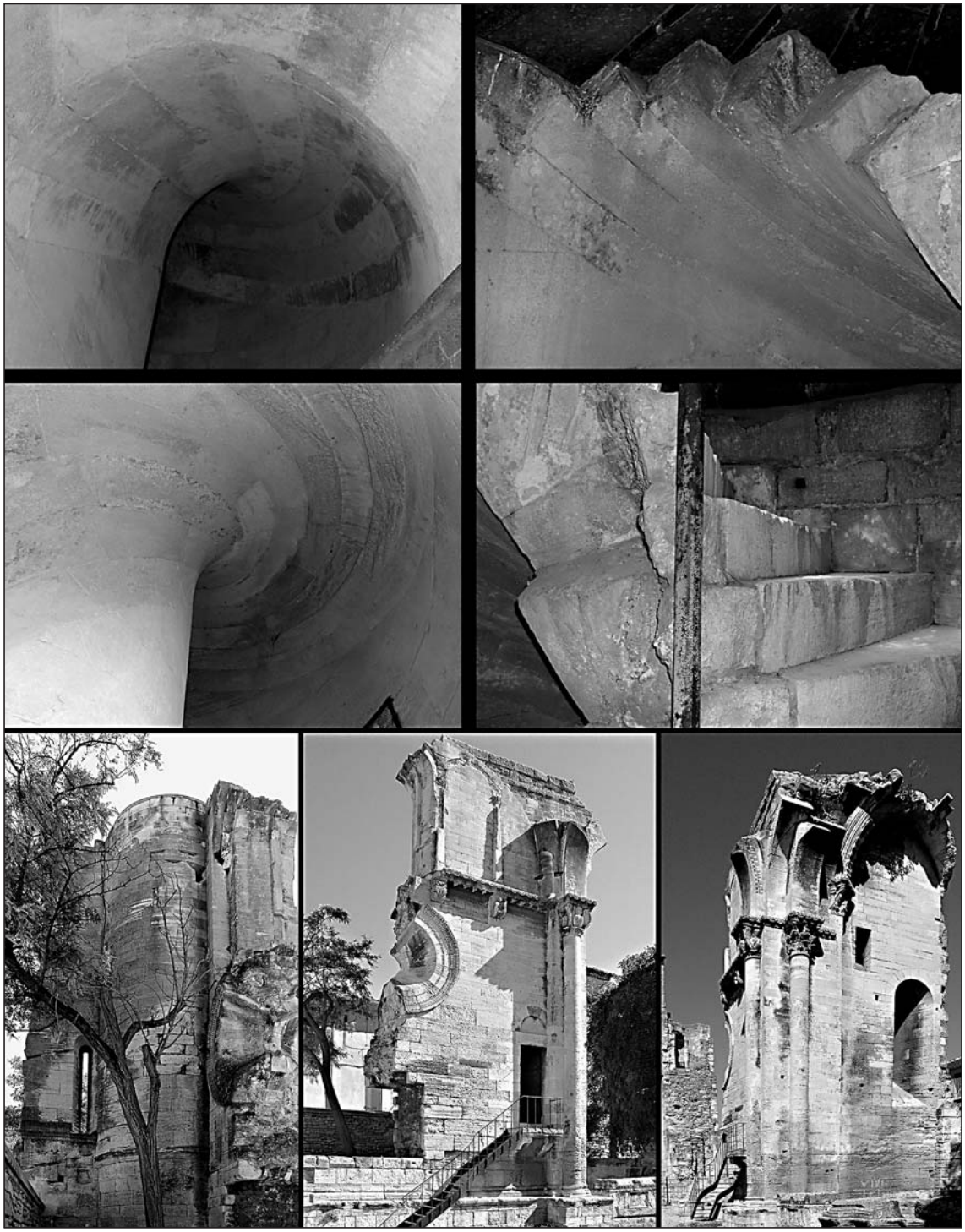


TAVOLA N° 299

Argomento della tavola: **Scala elicoidale a nucleo centrale e perimetrale continuo: la "vis de Saint-Gilles" - modello - dettagli;**

Fonti dell'elaborazione: **Rilievo fotografico in situ, Abbazia di Saint-Gilles dans le Gard;**

Tipo di modellazione: **3D Solido/superficiale;**

Software utilizzati: **Rhinoceros, 3D Studio Max 5, Photoshop 7.**

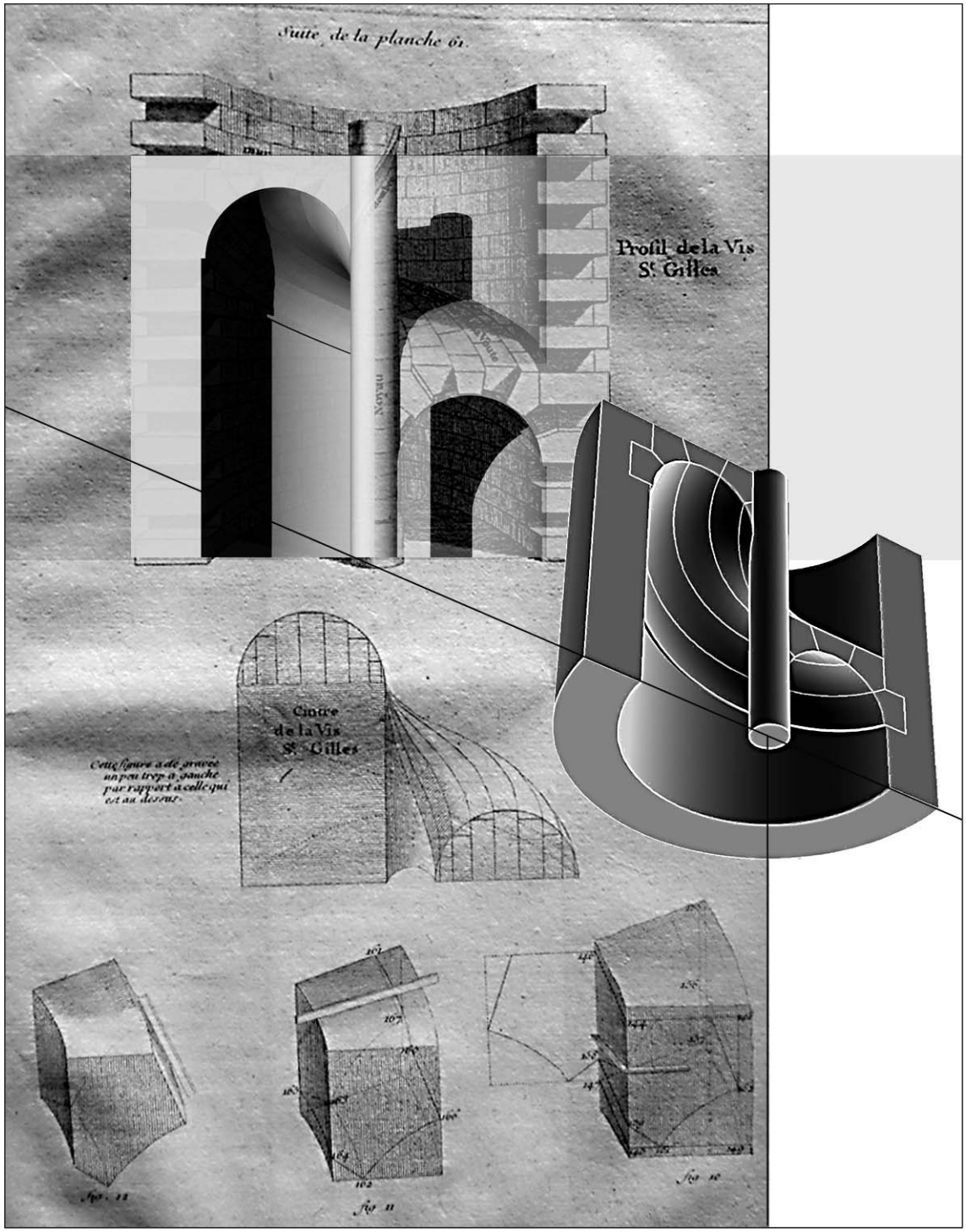


TAVOLA N° 300

Argomento della tavola: **Scala elicoidale a nucleo centrale e perimetrale continuo: la "vis de Saint-Gilles" - modello - secondo De La Rue;**

Fonti dell'elaborazione: **J. B. De La Rue, *Traité.* cit. (cfr. bibliografia), pl. LXI;**

Tipo di modellazione: **3D Solido/superficiale;**

Software utilizzati: **Rhinoceros, 3D Studio Max 5, Photoshop 7.**

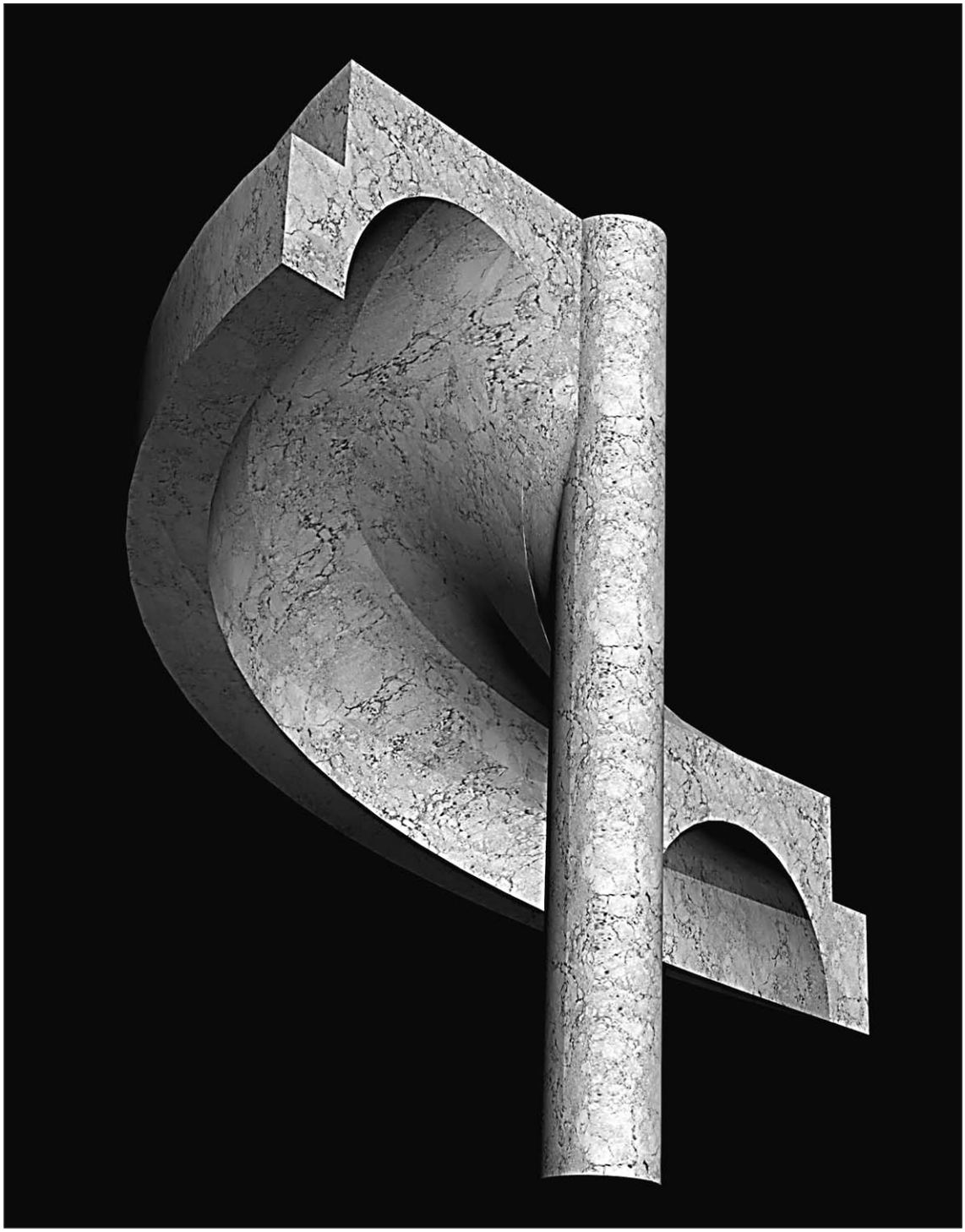


TAVOLA N° 301

Argomento della tavola:	**Scala elicoidale a nucleo centrale e perimetrale continuo: la "vis de Saint-Gilles" - modello dell' intradosso - secondo De La Rue;**
Fonti dell'elaborazione:	**J. B. De La Rue, *Traité.* cit. (cfr. bibliografia), pl. LXI;**
Tipo di modellazione:	**3D Solido/superficiale;**
Software utilizzati:	**Rhinoceros, 3D Studio Max 5, Photoshop 7.**

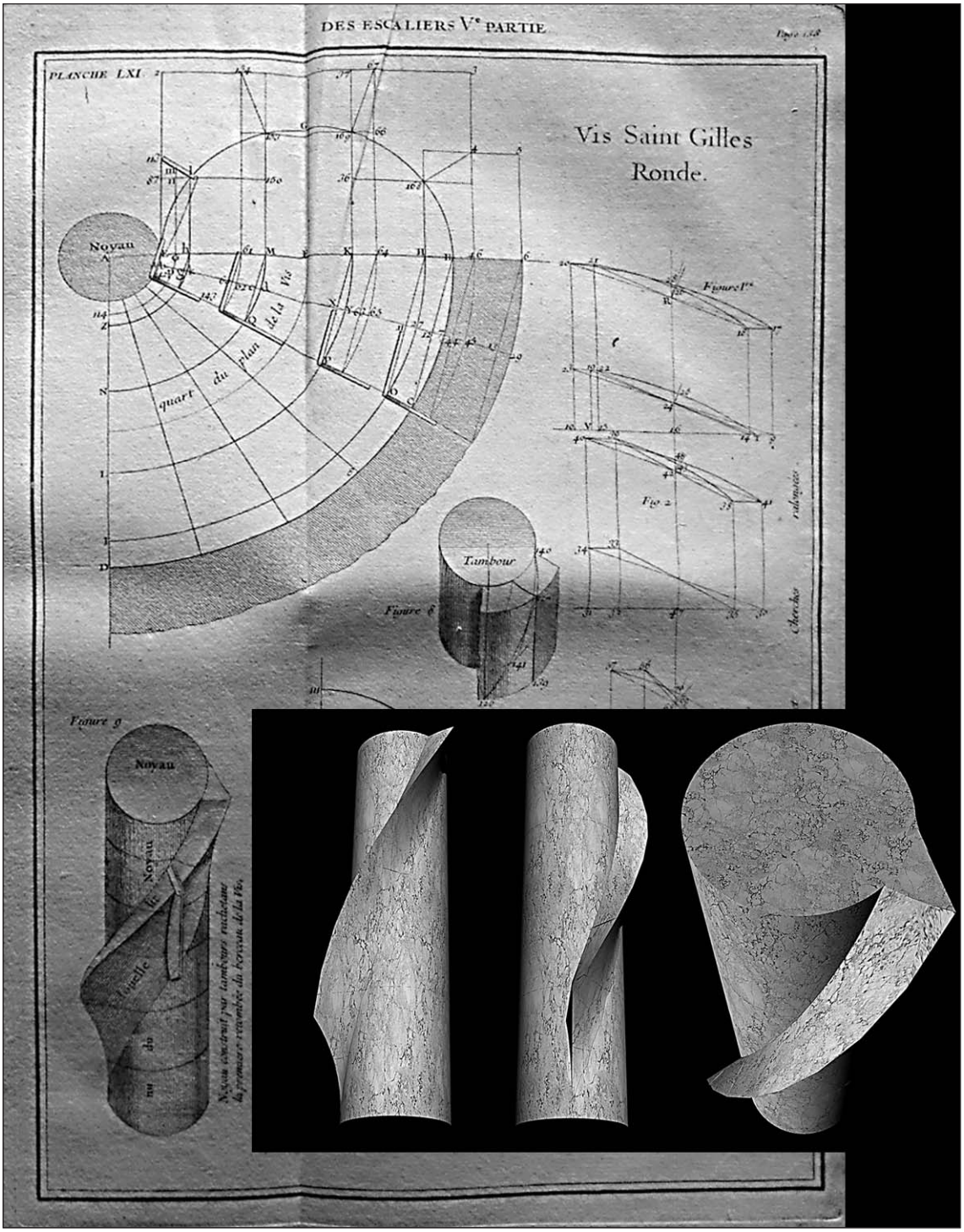


TAVOLA N° 302

Argomento della tavola:	**Scala elicoidale a nucleo centrale e perimetrale continuo: la "vis de Saint-Gilles" - modello del nucleo centrale - secondo De La Rue;**
Fonti dell'elaborazione:	**J. B. De La Rue, *Traité.* cit. (cfr. bibliografia), pl. LXI;**
Tipo di modellazione:	**3D Solido/superficiale;**
Software utilizzati:	**Rhinoceros, 3D Studio Max 5, Photoshop 7.**

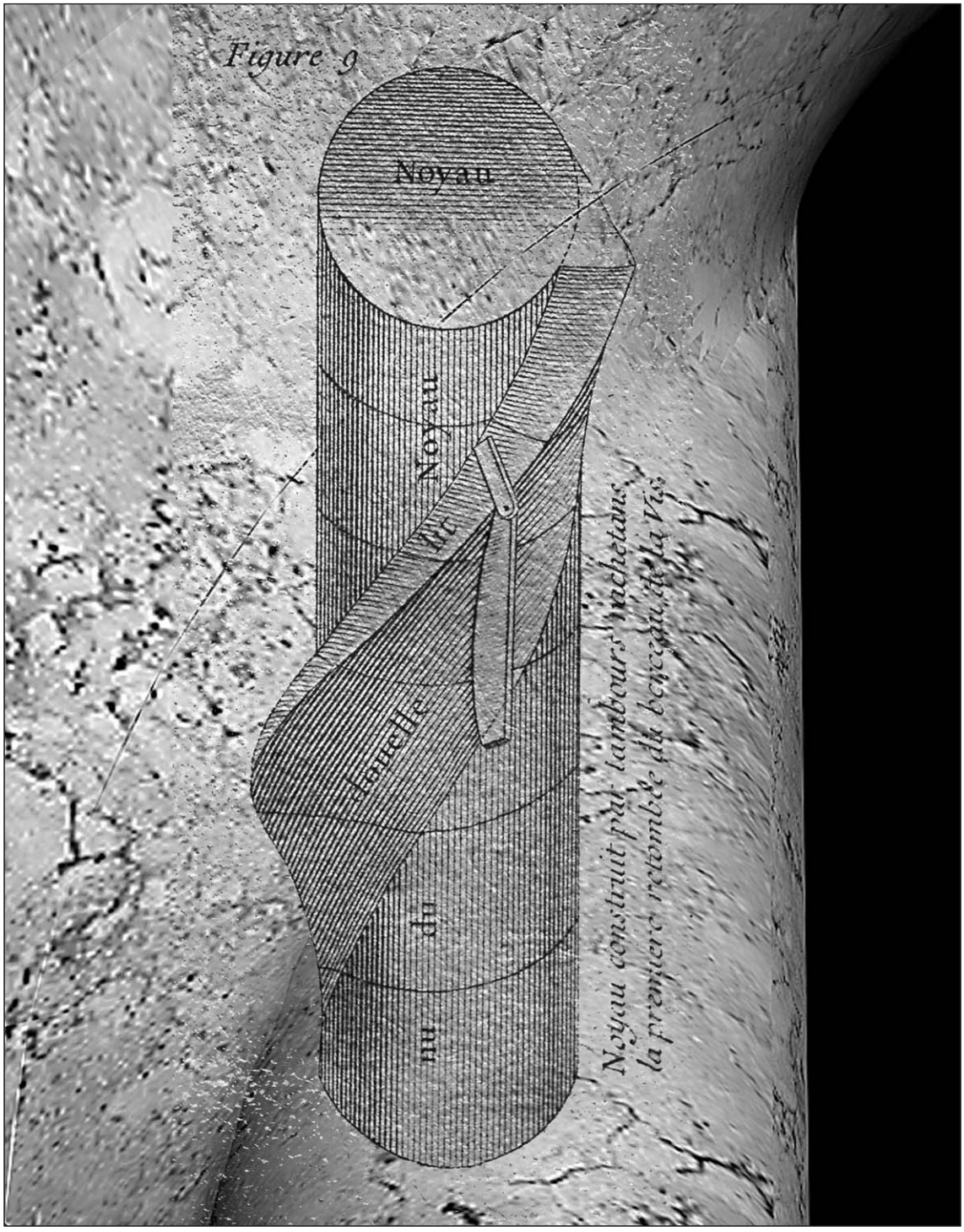


TAVOLA N° 303

Argomento della tavola: **Scala elicoidale a nucleo centrale e perimetrale continuo: la "vis de Saint-Gilles" - modello del nucleo centrale (tang.) - secondo De La Rue;**

Fonti dell'elaborazione: **J. B. De La Rue, *Traité.* cit. (cfr. bibliografia), pl. LXI;**

Tipo di modellazione: **3D Solido/superficiale;**

Software utilizzati: **Rhinoceros, 3D Studio Max 5, Photoshop 7.**

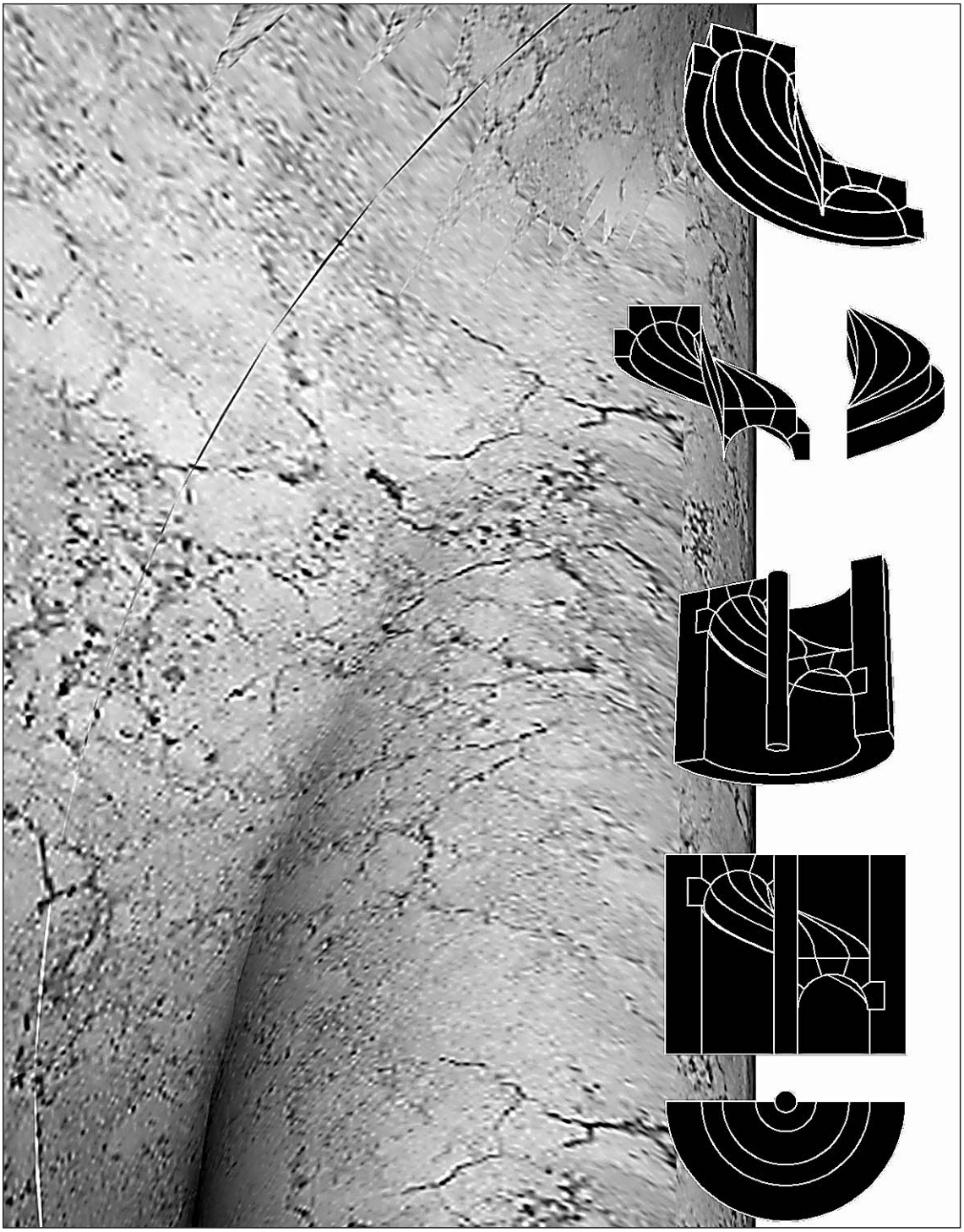


TAVOLA N° 304

Argomento della tavola:	**Scala elicoidale a nucleo centrale e perimetrale continuo: la "vis de Saint-Gilles" - modello del nucleo centrale (viste) - secondo De La Rue;**
Fonti dell'elaborazione:	**J. B. De La Rue, *Traité.* cit. (cfr. bibliografia), pl. LXI;**
Tipo di modellazione:	**3D Solido/superficiale;**
Software utilizzati:	**Rhinoceros, 3D Studio Max 5, Photoshop 7.**

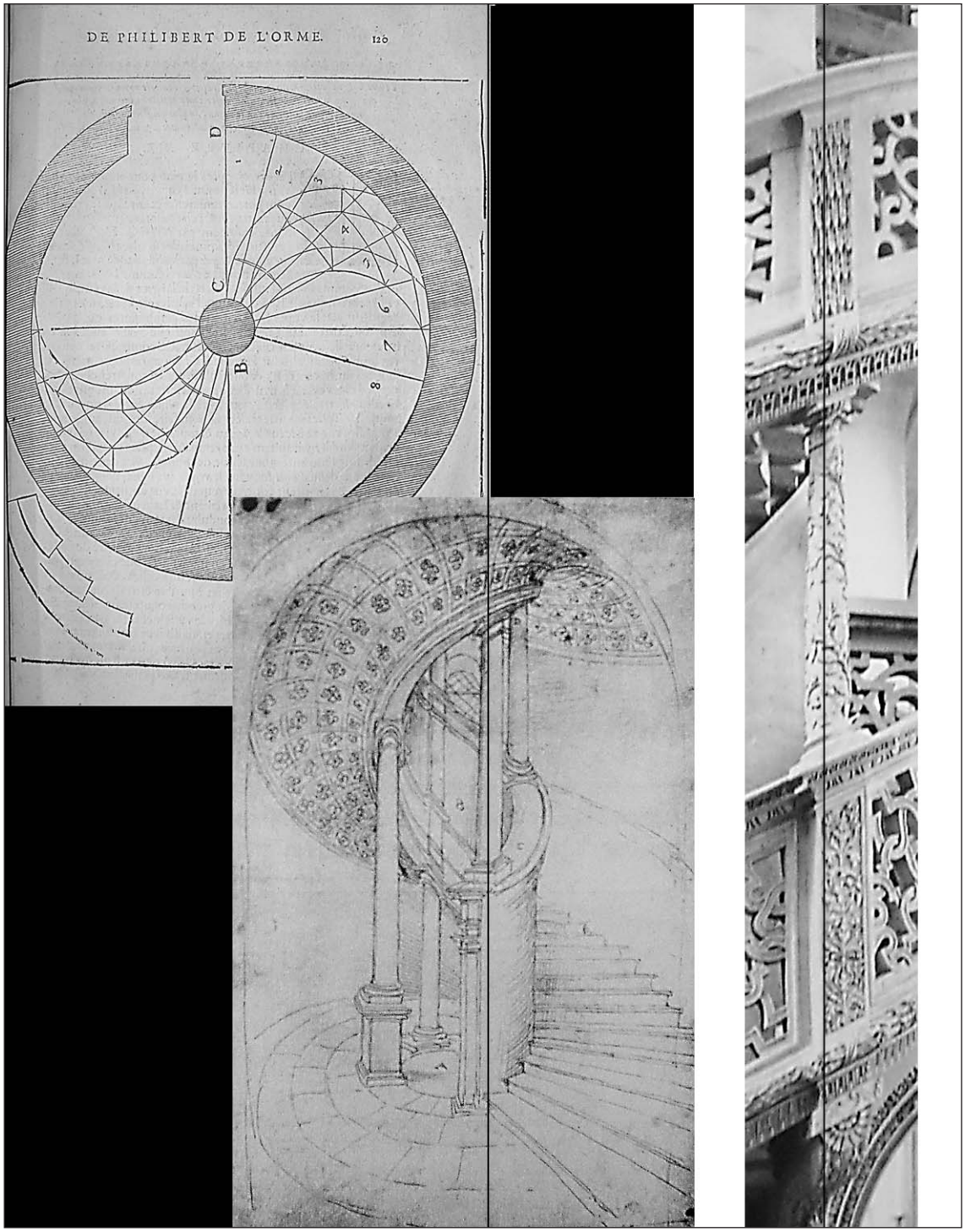


TAVOLA N° 305

Argomento della tavola: **Scala elicoidale a nucleo centrale puntiforme e perimetrale continuo: opere attribuite a P. Delorme;**

Fonti dell'elaborazione: **P. Delorme, *Premier* cit. (cfr. bibliografia), f.123 v., disegno di scala (Parigi, Louvre), scala a S. Etienne du Mont, Parigi;**

Tipo di modellazione: **-**

Software utilizzati: **Photoshop 7.**

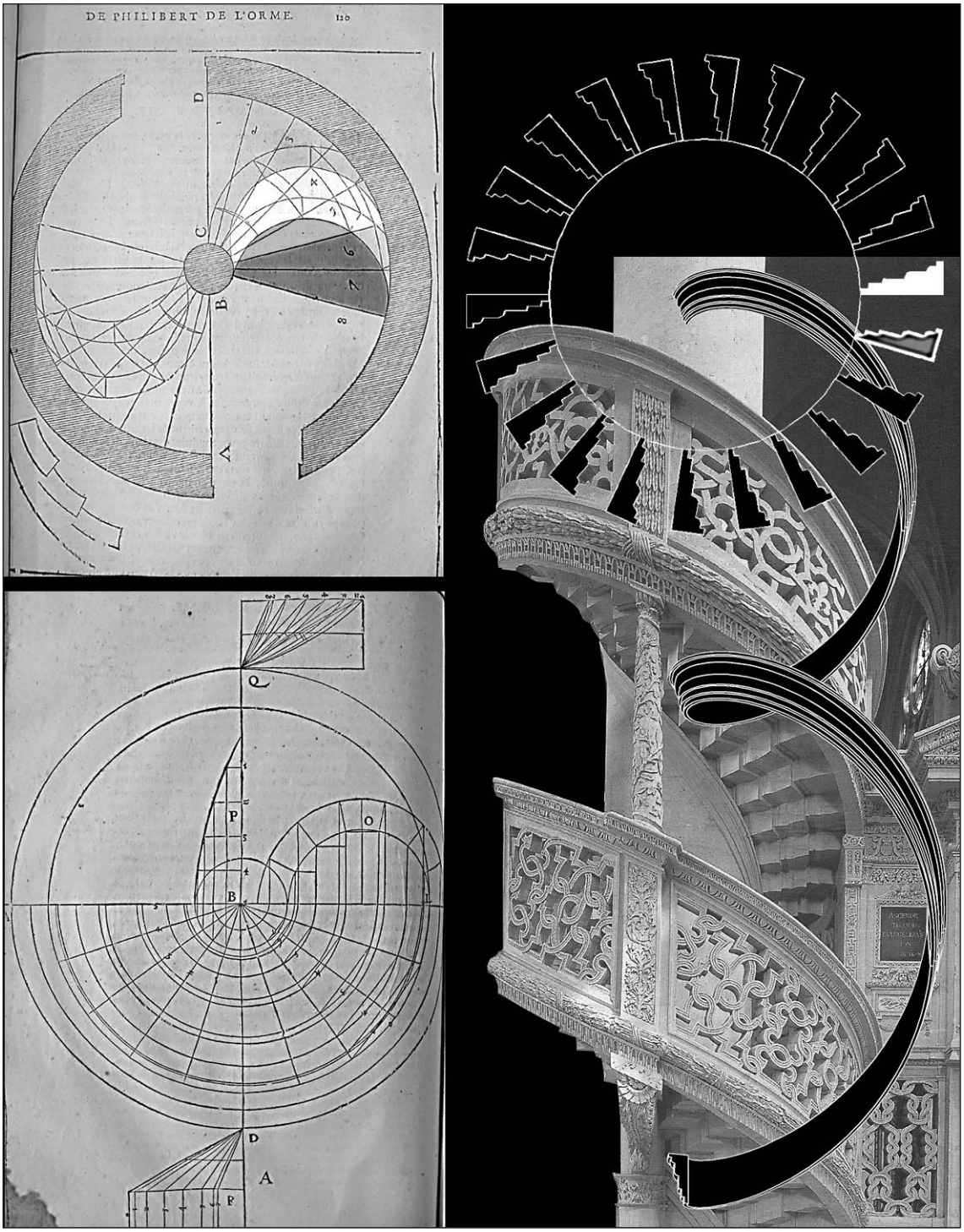


TAVOLA N° 306

Argomento della tavola: **Scala elicoidale a nucleo centrale puntiforme e perimetrale continuo: geometrie degli elementi - 1;**

Fonti dell'elaborazione: **P. Delorme, *Premier* cit. (cfr. bibliografia), f.123 v., scala a S.Etienne du Mont, Parigi;**

Tipo di modellazione: **3D Solido/superficiale;**

Software utilizzati: **Rhinoceros, 3DStudio Max 5, Photoshop 7.**

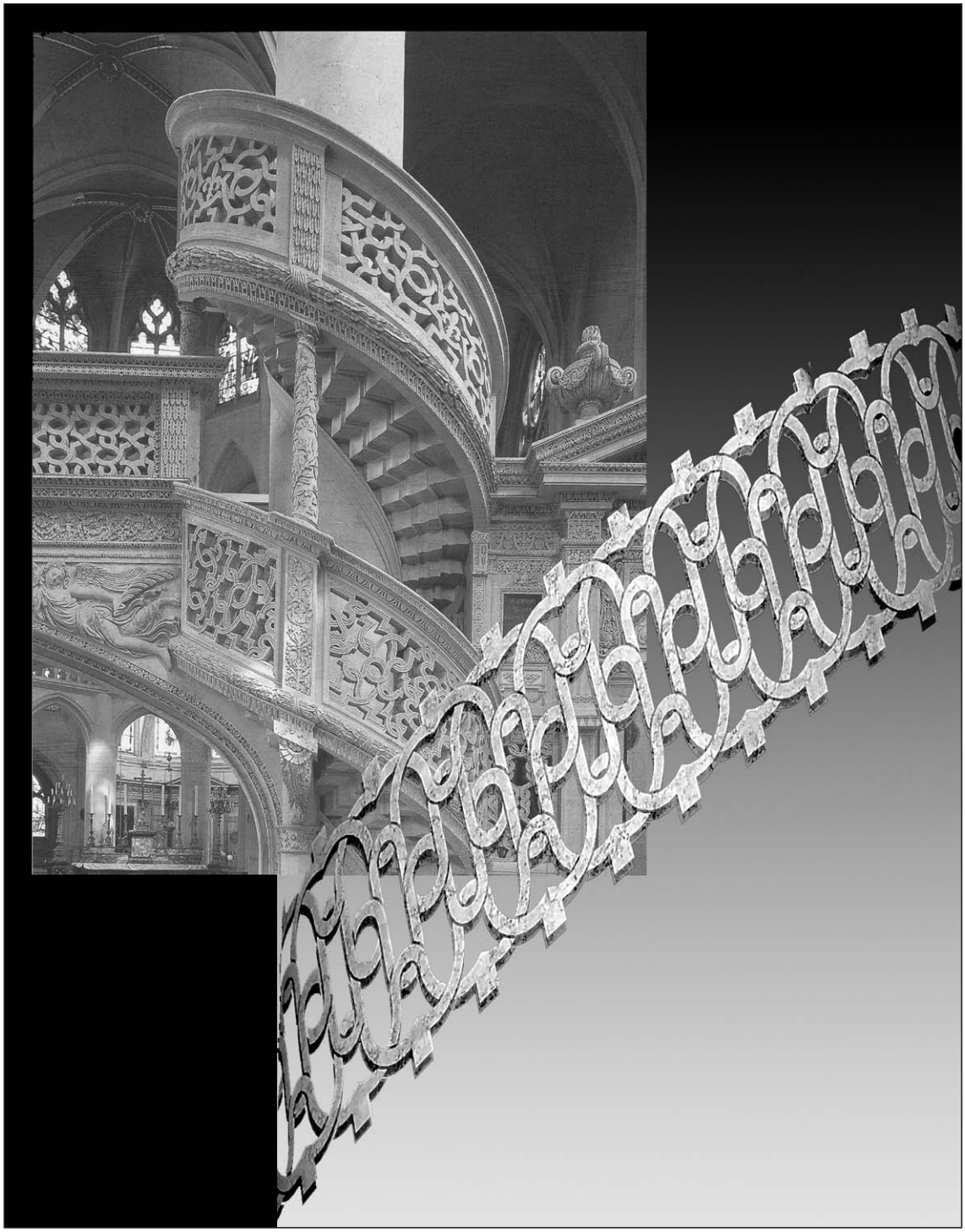


TAVOLA N° 307

Argomento della tavola: **Scala elicoidale a nucleo centrale puntiforme e perimetrale continuo: geometrie degli elementi - 2;**

Fonti dell'elaborazione: **P. Delorme, *Premier* cit. (cfr. bibliografia), f.123 v., scala a S.Etienne du Mont, Parigi;**

Tipo di modellazione: **3D Solido/superficiale;**

Software utilizzati: **Rhinoceros, 3DStudio Max 5, Photoshop 7.**

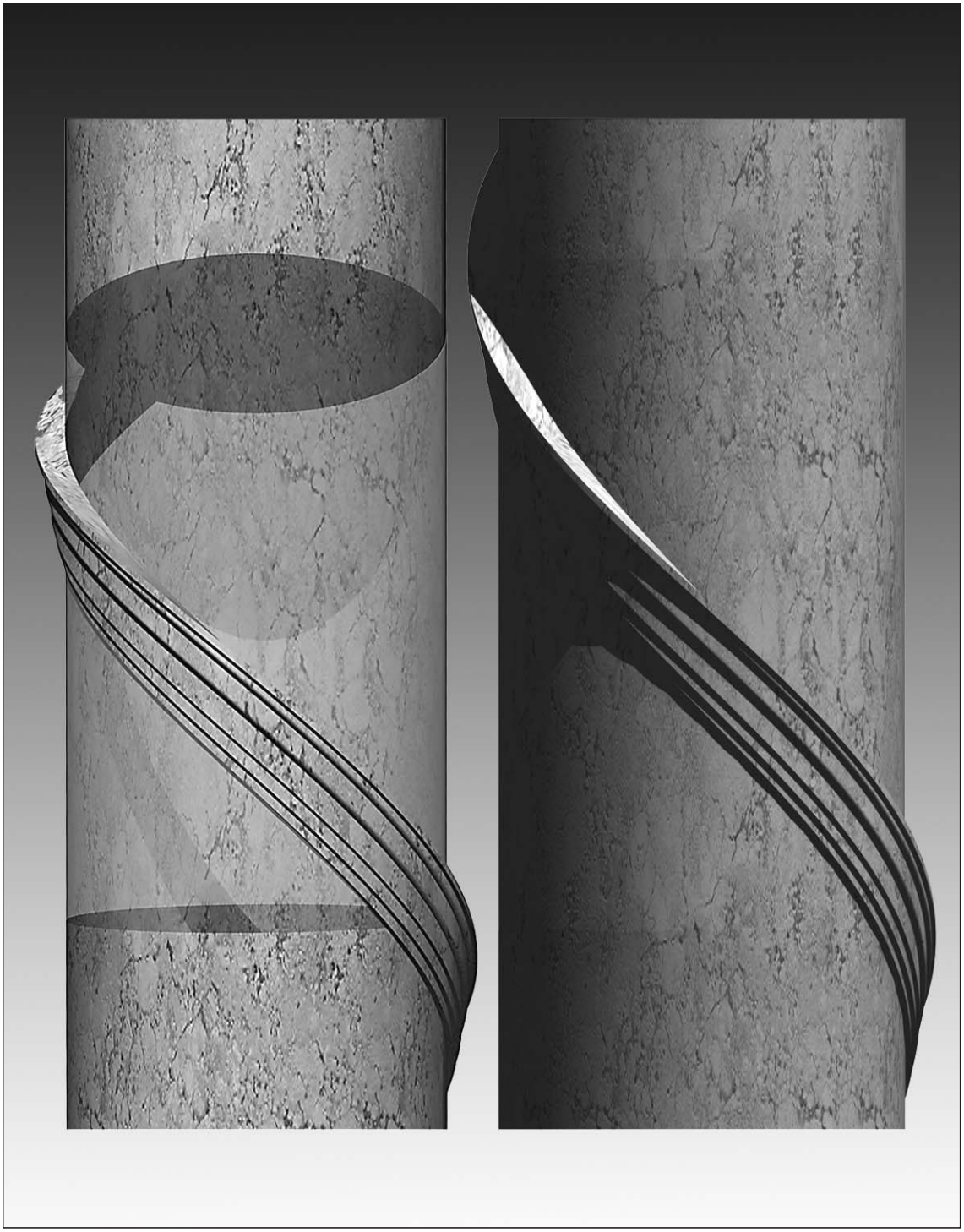


TAVOLA N° 308

Argomento della tavola: **Scala elicoidale a nucleo centrale puntiforme e perimetrale continuo: geometrie degli elementi - 3;**

Fonti dell'elaborazione: **P. Delorme, *Premier* cit. (cfr. bibliografia), f.123 v., scala a S.Etienne du Mont, Parigi;**

Tipo di modellazione: **3D Solido/superficiale;**

Software utilizzati: **Rhinoceros, 3DStudio Max 5, Photoshop 7.**



TAVOLA N° 309

Argomento della tavola:	**Scala elicoidale a nucleo centrale puntiforme e perimetrale continuo: geometrie degli elementi - 4;**
Fonti dell'elaborazione:	**P. Delorme, *Premier* cit. (cfr. bibliografia), f.123 v., scala a S.Etienne du Mont, Parigi;**
Tipo di modellazione:	**3D Solido/superficiale;**
Software utilizzati:	**Rhinoceros, 3DStudio Max 5, Photoshop 7.**

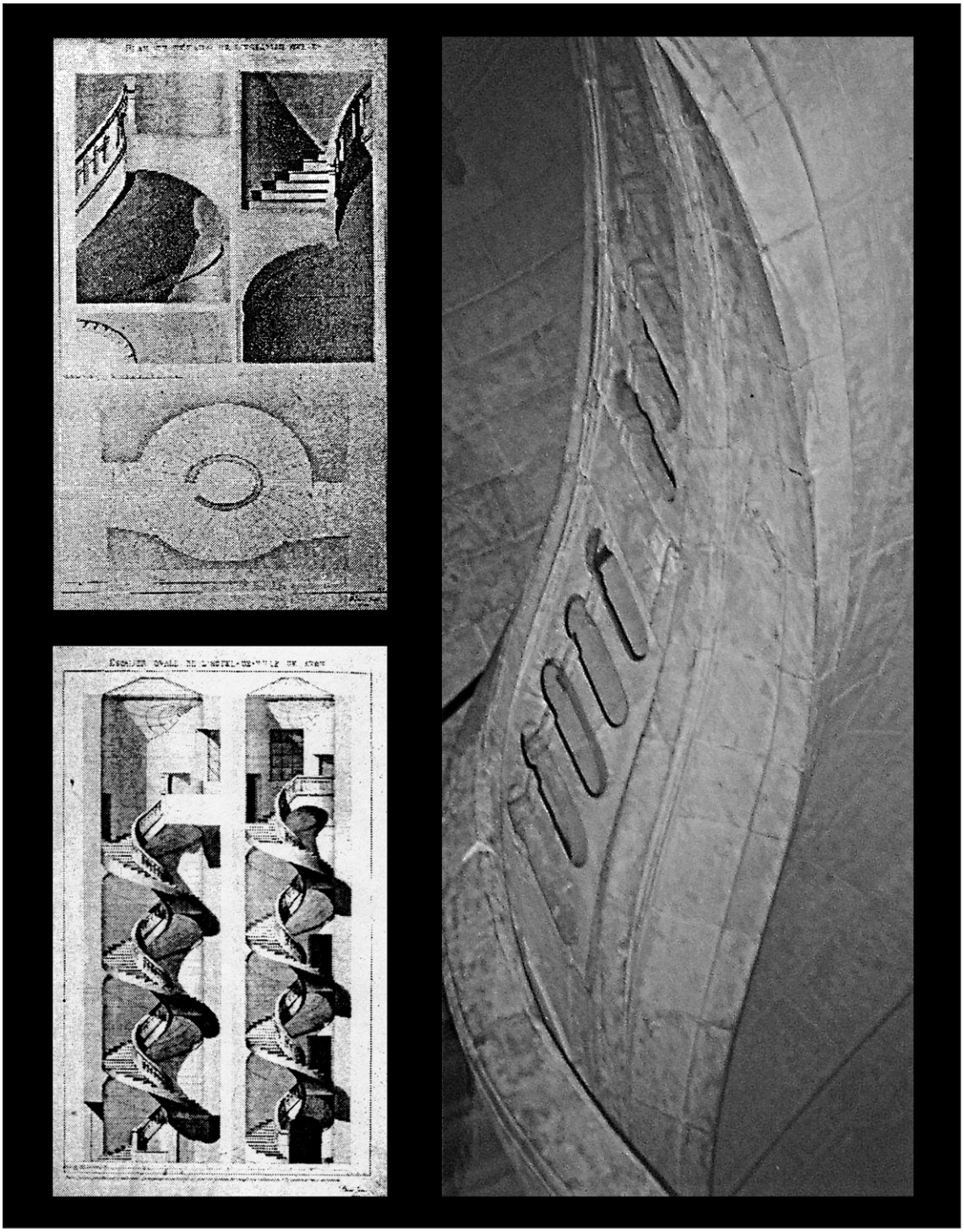


TAVOLA N° 310

Argomento della tavola: **Scala elicoidale a nucleo perimetrale continuo: fonti dell'elaborazione;**

Fonti dell'elaborazione: **Rilievo ad opera di Buis (Archivi della Società Accademica dell'Architettura, Lione, 1889), rilie vo fotografico in situ;**

Tipo di modellazione: **3D Solido/superficiale;**

Software utilizzati: **Rhinoceros, 3DStudio Max 5, Photoshop 7.**

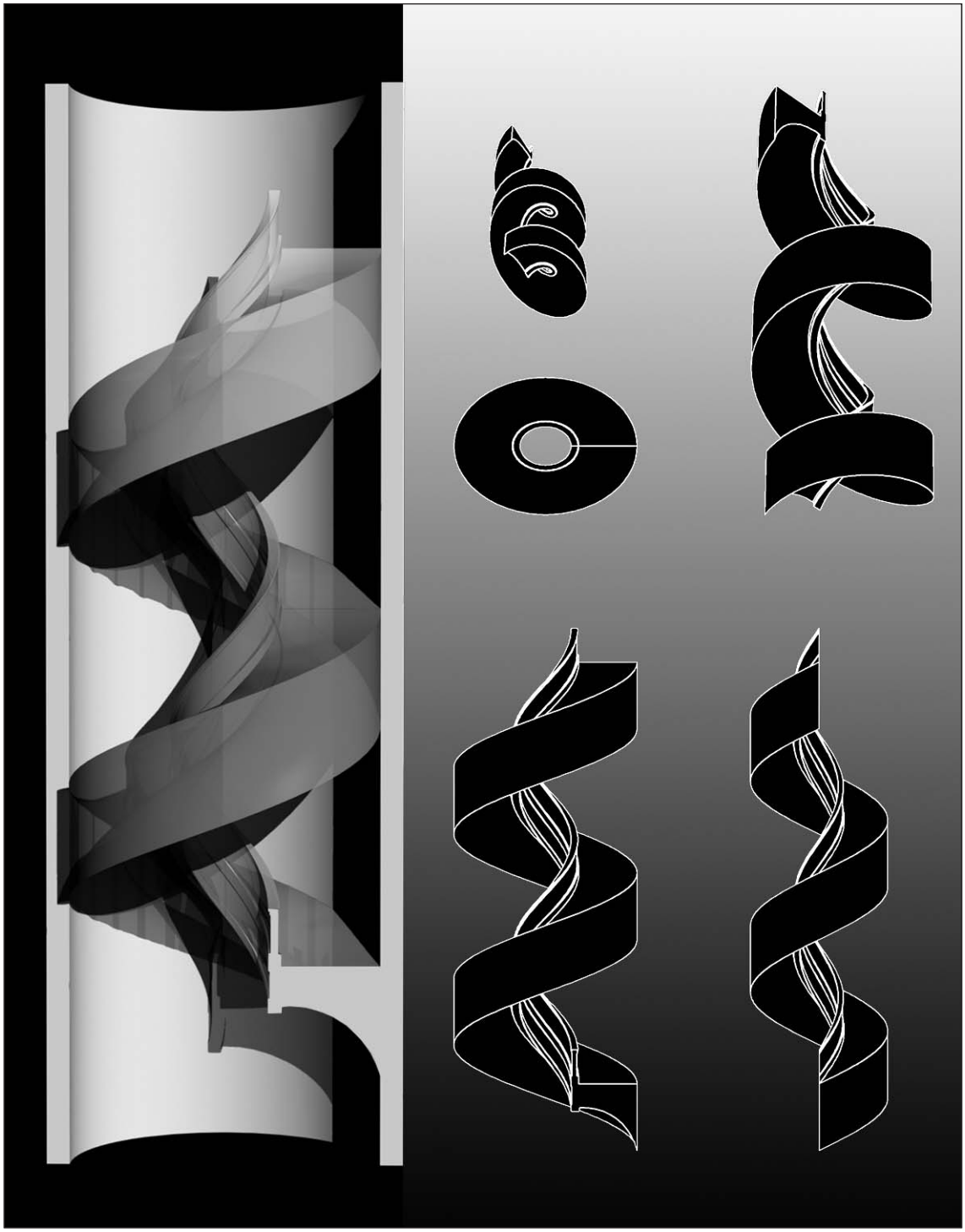


TAVOLA N° 311

Argomento della tavola: **Scala elicoidale a nucleo perimetrale continuo: modello geometrico spaziale;**

Fonti dell'elaborazione: **Rilievo ad opera di Buis (Archivi della Società Accademica dell'Architettura, Lione, 1889), rilie vo fotografico in situ;**

Tipo di modellazione: **3D Solido/superficiale;**

Software utilizzati: **Rhinoceros, 3DStudio Max 5, Photoshop 7.**

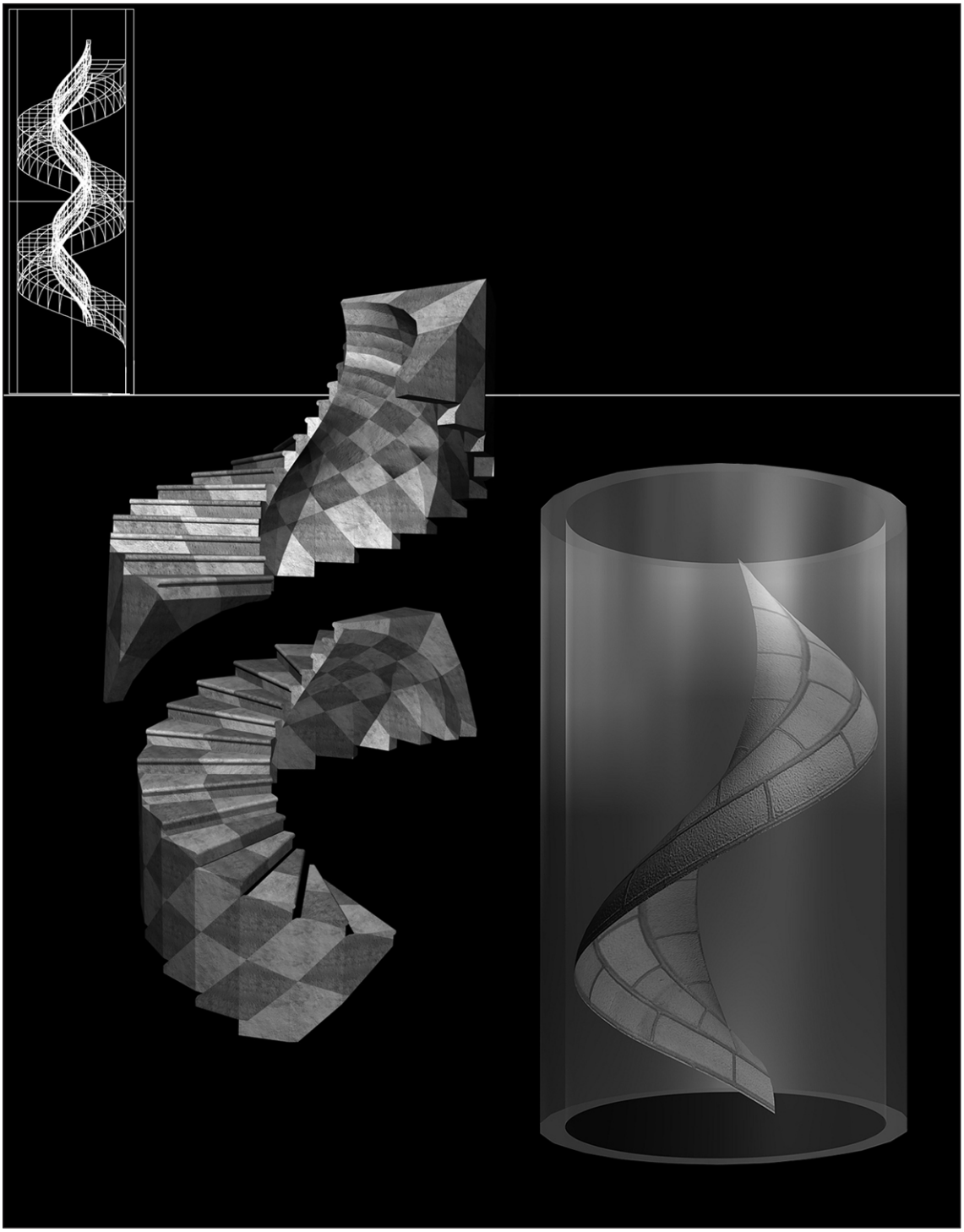


TAVOLA N° 312

Argomento della tavola: **Scala elicoidale a nucleo perimetrale continuo: modello geometrico spaziale - ipotesi statica;**

Fonti dell'elaborazione: **Rilievo ad opera di Buis (Archivi della Società Accademica dell'Architettura, Lione, 1889), rilie vo fotografico in situ;**

Tipo di modellazione: **3D Solido/superficiale;**

Software utilizzati: **Rhinoceros, 3DStudio Max 5, Photoshop 7.**

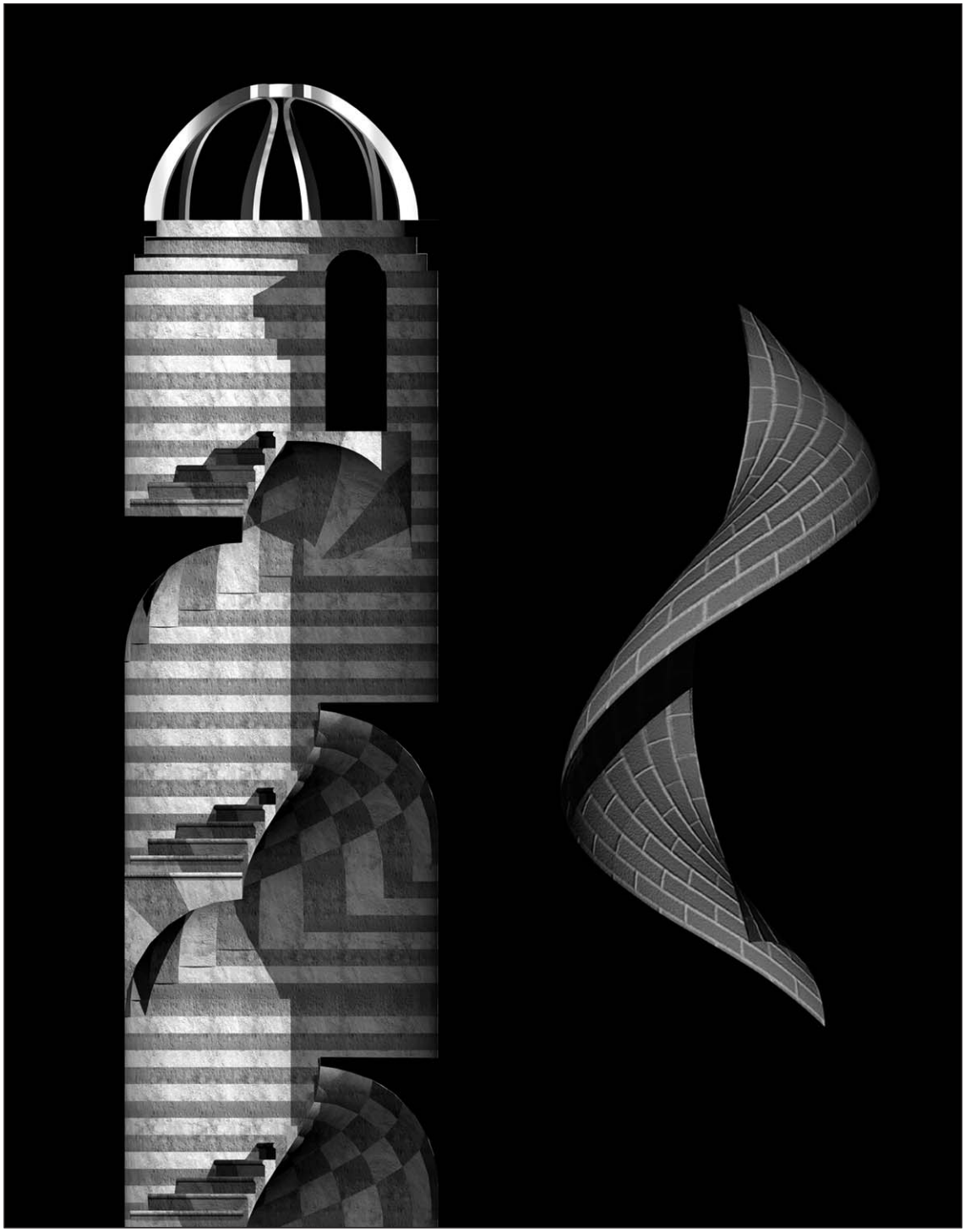


TAVOLA N° 313

Argomento della tavola: **Scala elicoidale a nucleo perimetrale continuo: modello geometrico spaziale - l'insieme;**

Fonti dell'elaborazione: **Rilievo ad opera di Buis (Archivi della Società Accademica dell'Architettura, Lione, 1889), rilie vo fotografico in situ;**

Tipo di modellazione: **3D Solido/superficiale;**

Software utilizzati: **Rhinoceros, 3DStudio Max 5, Photoshop 7.**

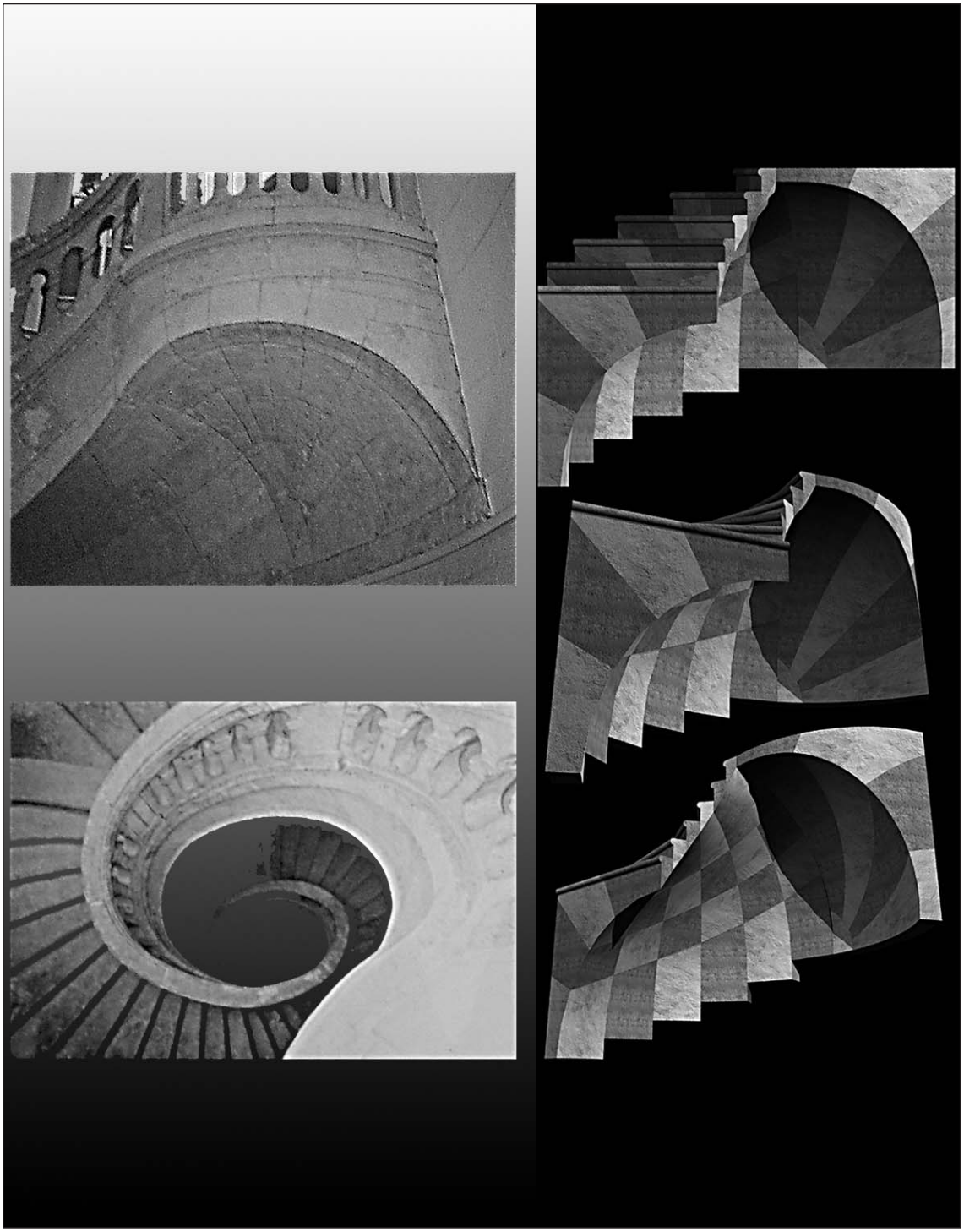


TAVOLA N° 314

Argomento della tavola: **Scala elicoidale a nucleo perimetrale continuo: modello geometrico spaziale - la trompe sferica;**

Fonti dell'elaborazione: **Rilievo ad opera di Buis (Archivi della Società Accademica dell'Architettura, Lione, 1889), rilie vo fotografico in situ;**

Tipo di modellazione: **3D Solido/superficiale;**

Software utilizzati: **Rhinoceros, 3DStudio Max 5, Photoshop 7.**

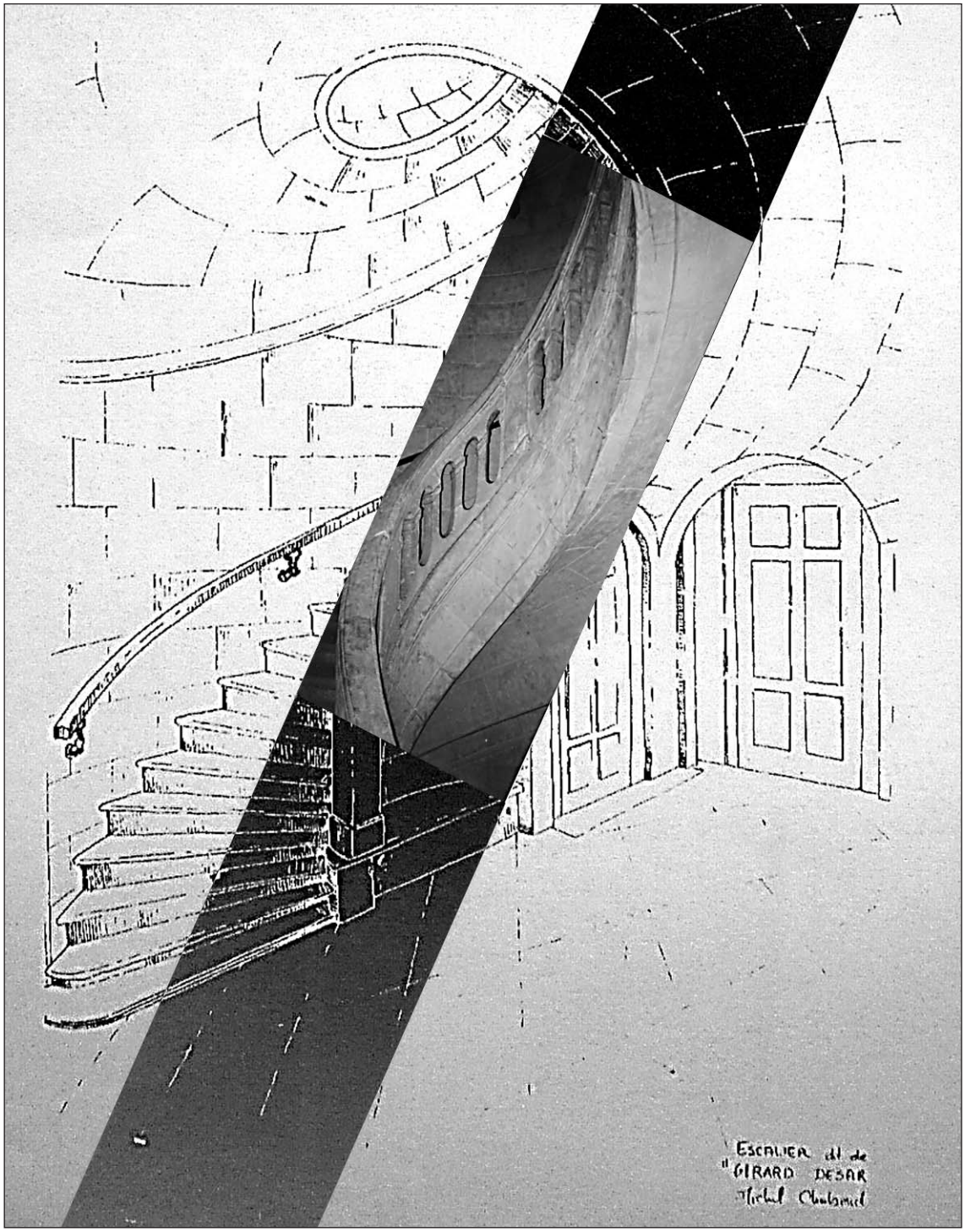


TAVOLA N° 315

Argomento della tavola: **Scala elicoidale a nucleo perimetrale continuo: schizzo di Marcel Chaboud - ri-elaborazione;**

Fonti dell'elaborazione: **Rilievo ad opera di Buis (Archivi della Società Accademica dell'Architettura, Lione, 1889), rilie vo fotografico in situ;**

Tipo di modellazione: **2D raster;**

Software utilizzati: **Photoshop 7.**



TAVOLA N° 316

Argomento della tavola: **Scala elicoidale a nucleo perimetrale continuo: immagine fotografica;**

Fonti dell'elaborazione: **Rilievo fotografico in situ: scala della biblioteca della Certosa di Padula (XVII-XVIII sec.);**

Tipo di modellazione: **-**

Software utilizzati: **Photoshop 7.**

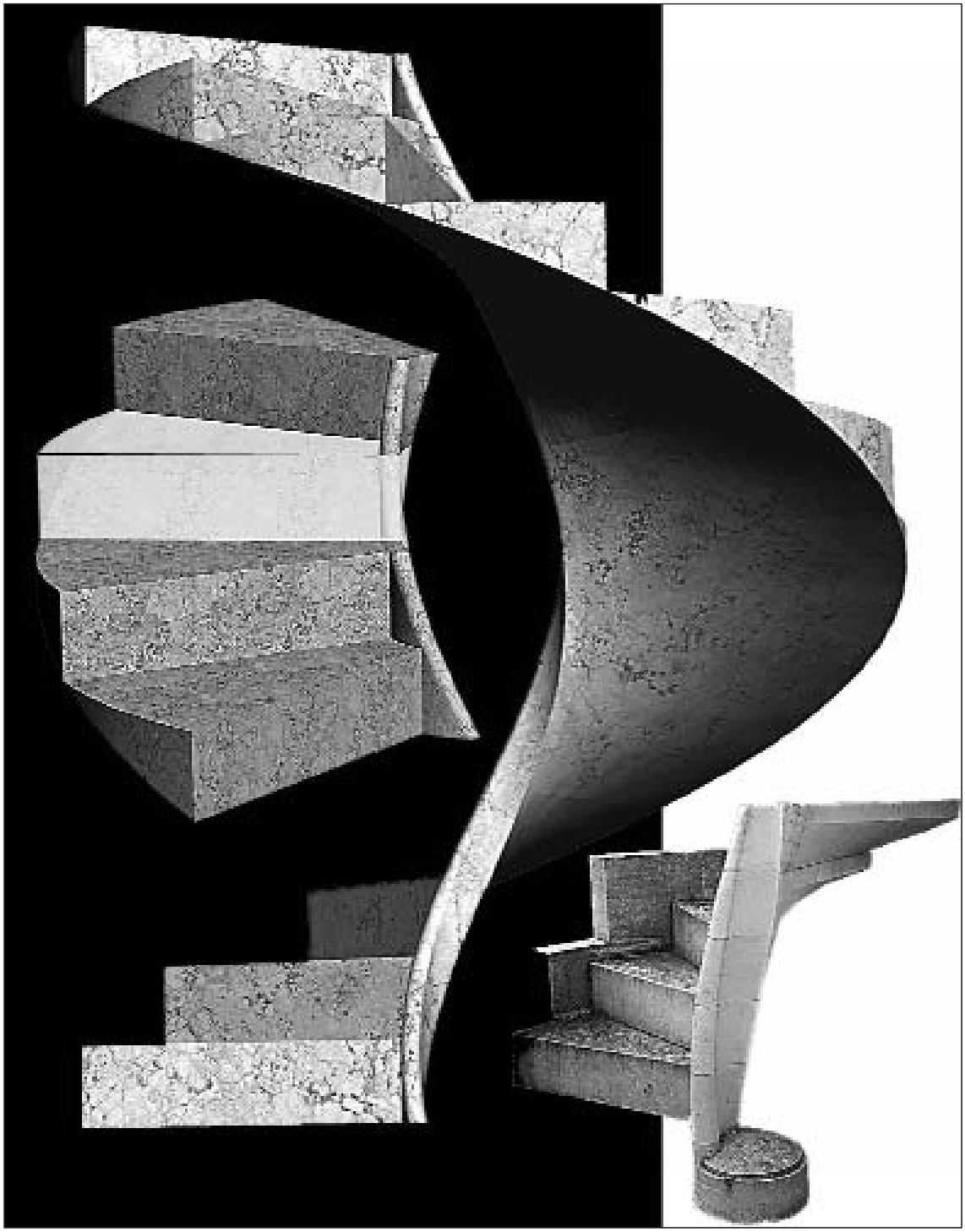


TAVOLA N° 317

Argomento della tavola:	**Scala elicoidale a nucleo perimetrale continuo: tipo a "caracolle de Majorca";**
Fonti dell'elaborazione:	**Rilievo fotografico in situ: Atelier Saint Jacques, Parigi (Compagnon du Devoir);**
Tipo di modellazione:	**3D Solido/superficiale;**
Software utilizzati:	**Rhinoceros, 3DStudio Max 5, Photoshop 7.**

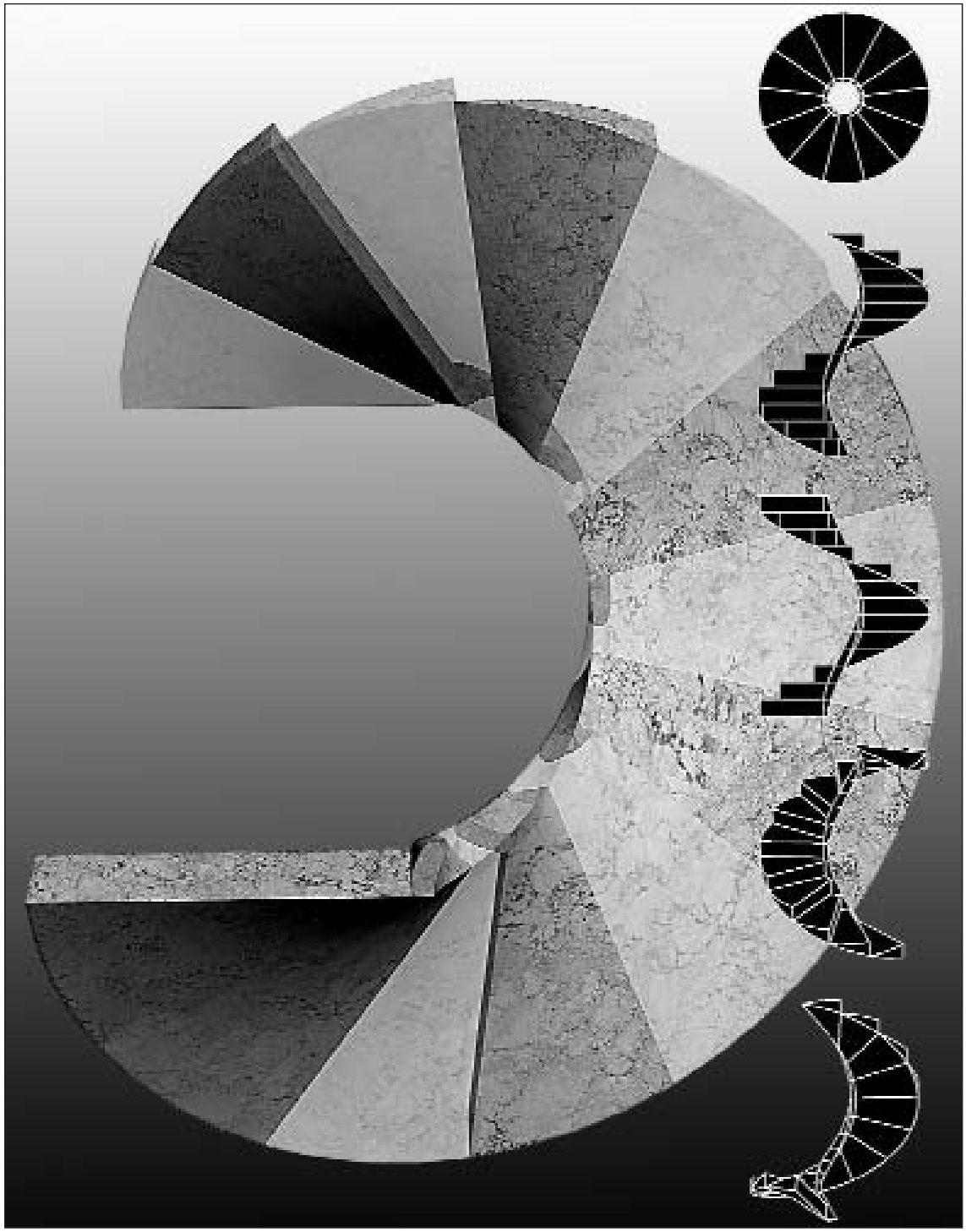


TAVOLA N° 318

Argomento della tavola: **Scala elicoidale a nucleo perimetrale continuo: tipo a "caracolle de Majorca" - modello, viste;**

Fonti dell'elaborazione: **Rilievo fotografico in situ: Atelier Saint Jacques, Parigi (Compagnon du Devoir);**

Tipo di modellazione: **3D Solido/superficiale;**

Software utilizzati: **Rhinoceros, 3DStudio Max 5, Photoshop 7.**

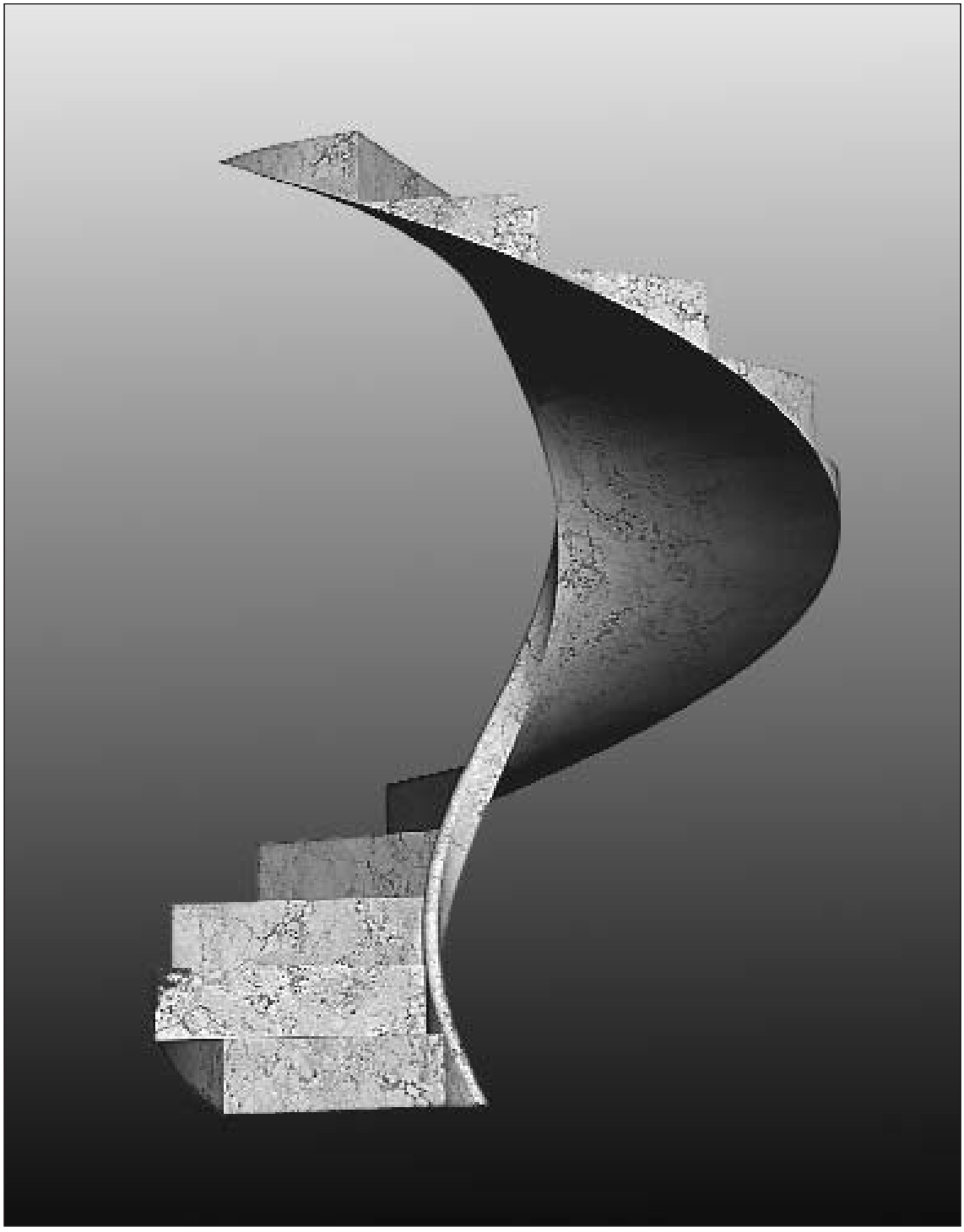


TAVOLA N° 319

Argomento della tavola:	**Scala elicoidale a nucleo perimetrale continuo: tipo a "caracolle de Majorca" - modello;**
Fonti dell'elaborazione:	**Rilievo fotografico in situ: Atelier Saint Jacques, Parigi (Compagnon du Devoir);**
Tipo di modellazione:	**3D Solido/superficiale;**
Software utilizzati:	**Rhinoceros, 3DStudio Max 5, Photoshop 7.**

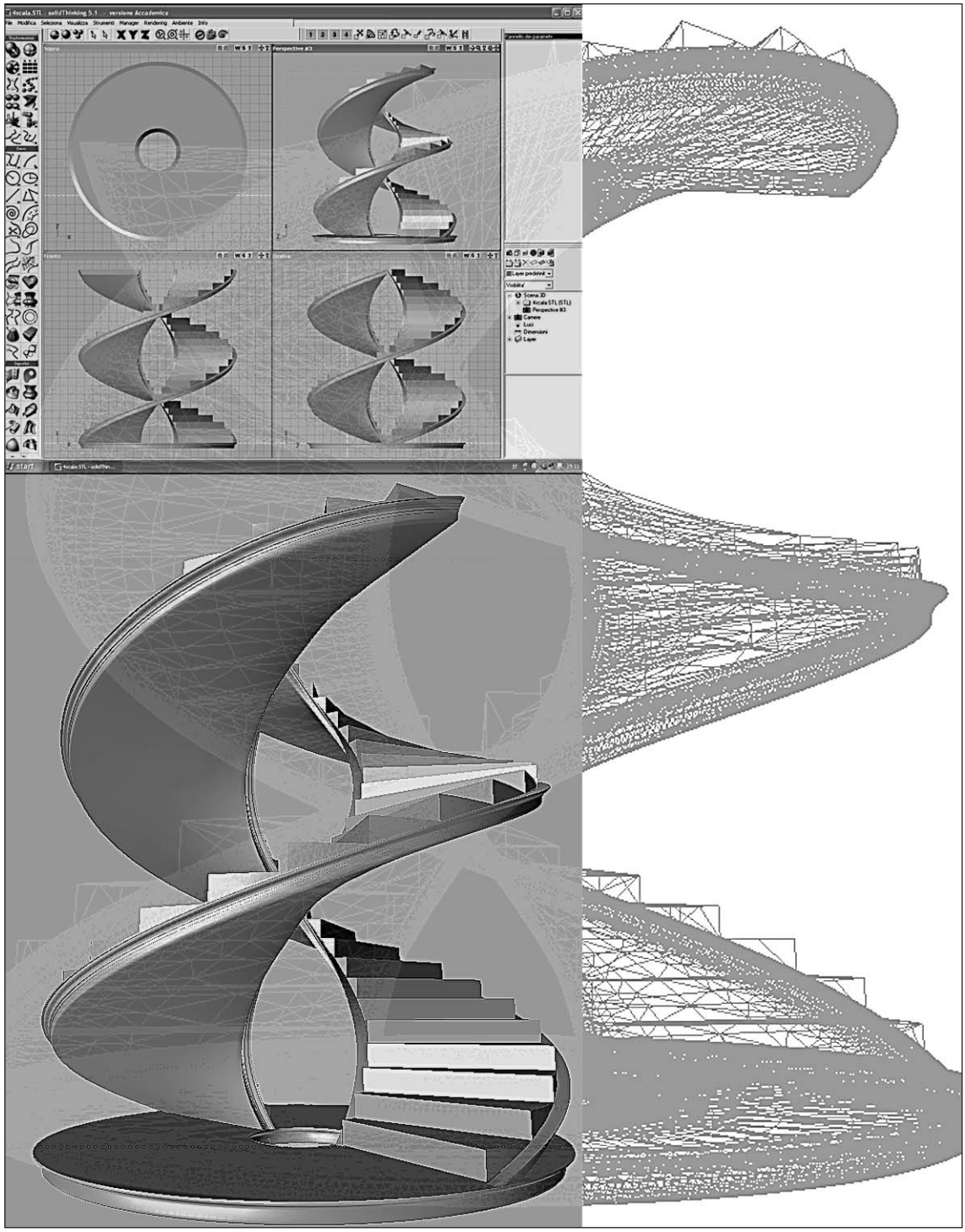


TAVOLA N° 320

Argomento della tavola: **Scala elicoidale a nucleo perimetrale continuo: doppia elica modanata, modello parametrico;**

Fonti dell'elaborazione: **progetto;**

Tipo di modellazione: **3D Solida/parametrica;**

Software utilizzati: **Solidthinking, Photoshop 7.**

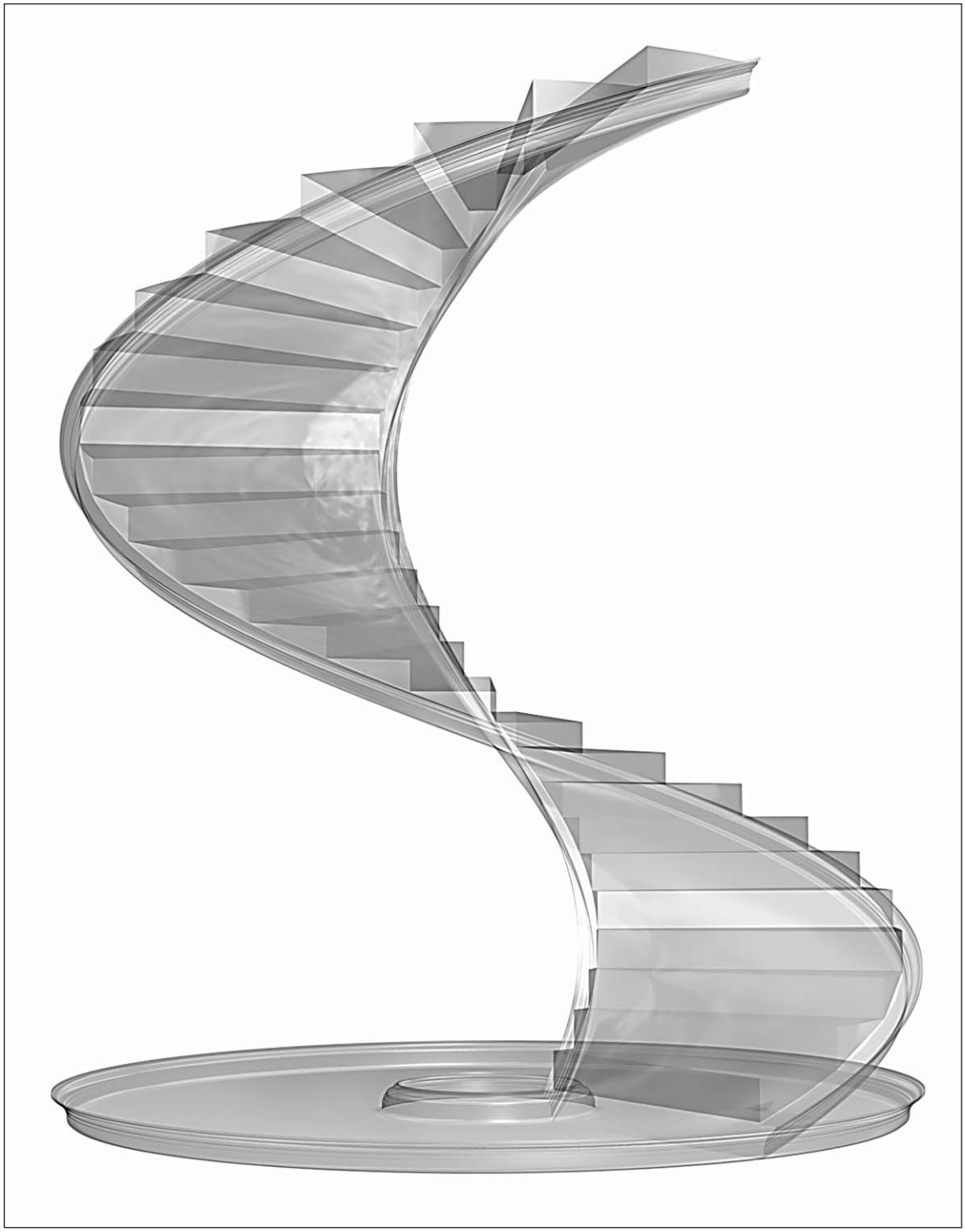


TAVOLA N° 321

Argomento della tavola: **Scala elicoidale a nucleo perimetrale continuo: doppia elica modanata - superfici del modello parametrico;**

Fonti dell'elaborazione: **progetto;**

Tipo di modellazione: **3D Solida/parametrica;**

Software utilizzati: **Solidthinking, Photoshop 7.**

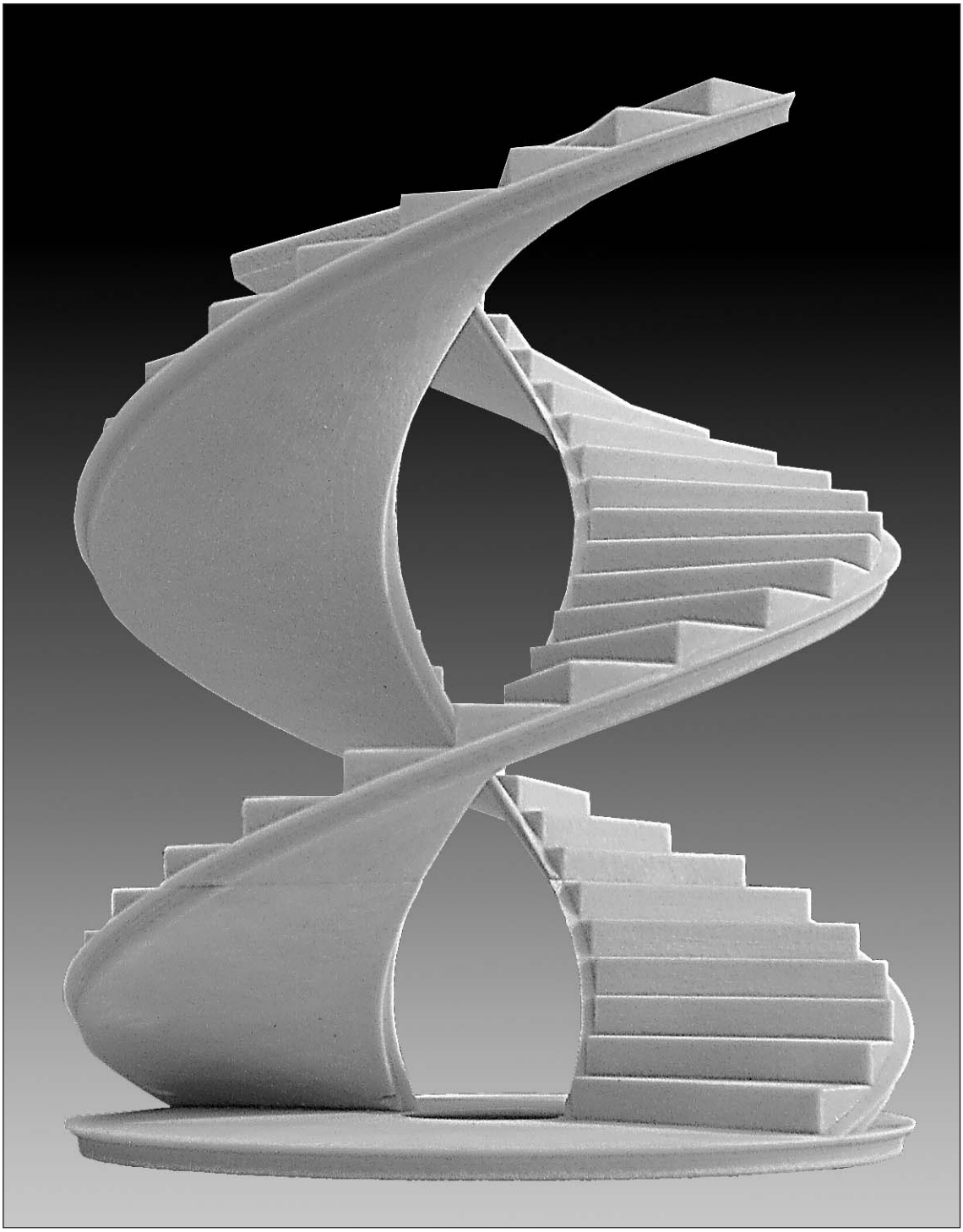


TAVOLA N° 322

Argomento della tavola: **Scala elicoidale a nucleo perimetrale continuo: doppia elica modanata - prototipazione rapida 1;**

Fonti dell'elaborazione: **progetto;**

Tipo di modellazione: **Exp. STL;**

Software utilizzati: **Solidthinking, Magics RP, Photoshop 7.**

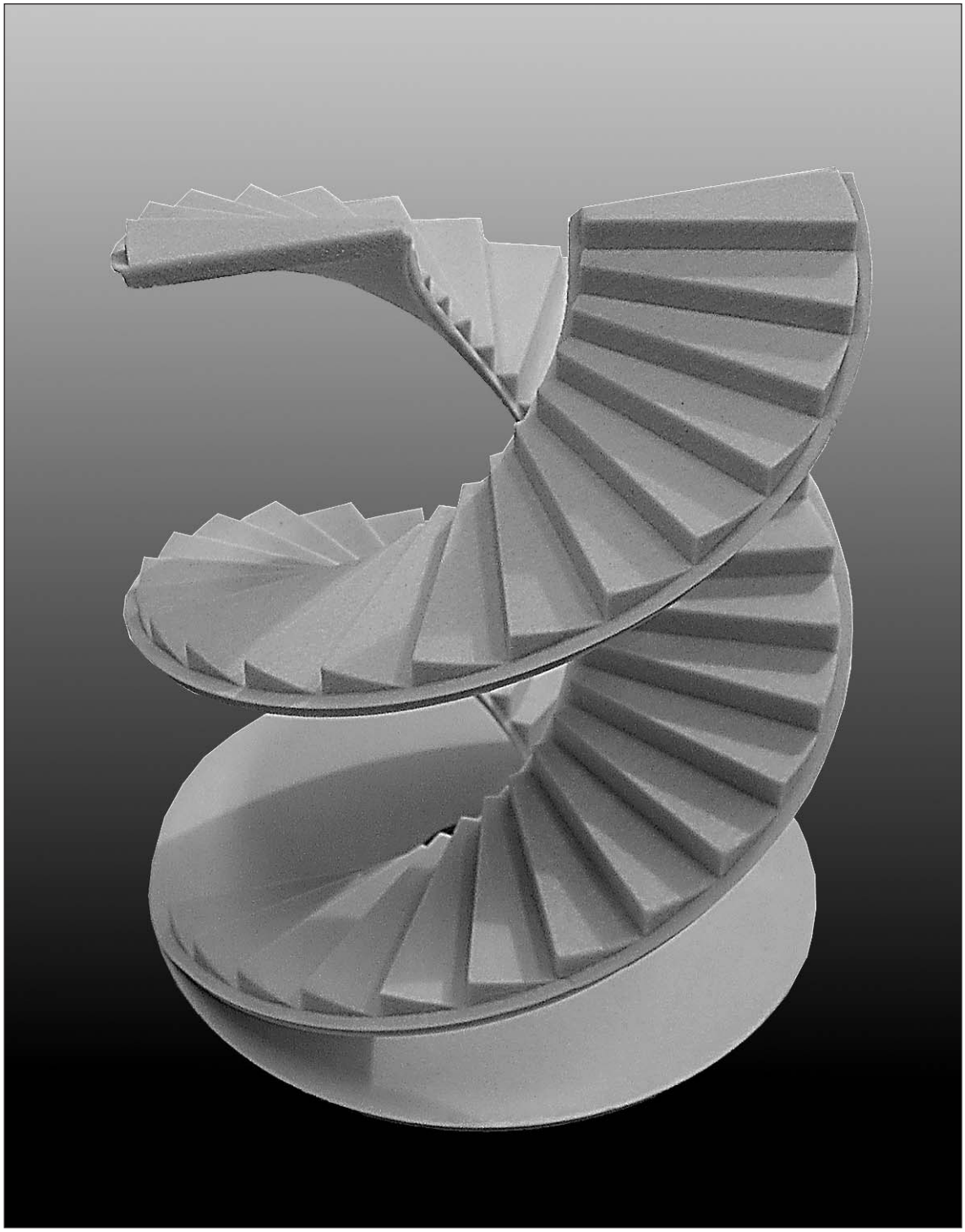


TAVOLA N° 323

Argomento della tavola: **Scala elicoidale a nucleo perimetrale continuo: doppia elica modanata - prototipazione rapida 2;**

Fonti dell'elaborazione: **progetto;**

Tipo di modellazione: **Exp. STL;**

Software utilizzati: **Solidthinking, Magics RP, Photoshop 7.**

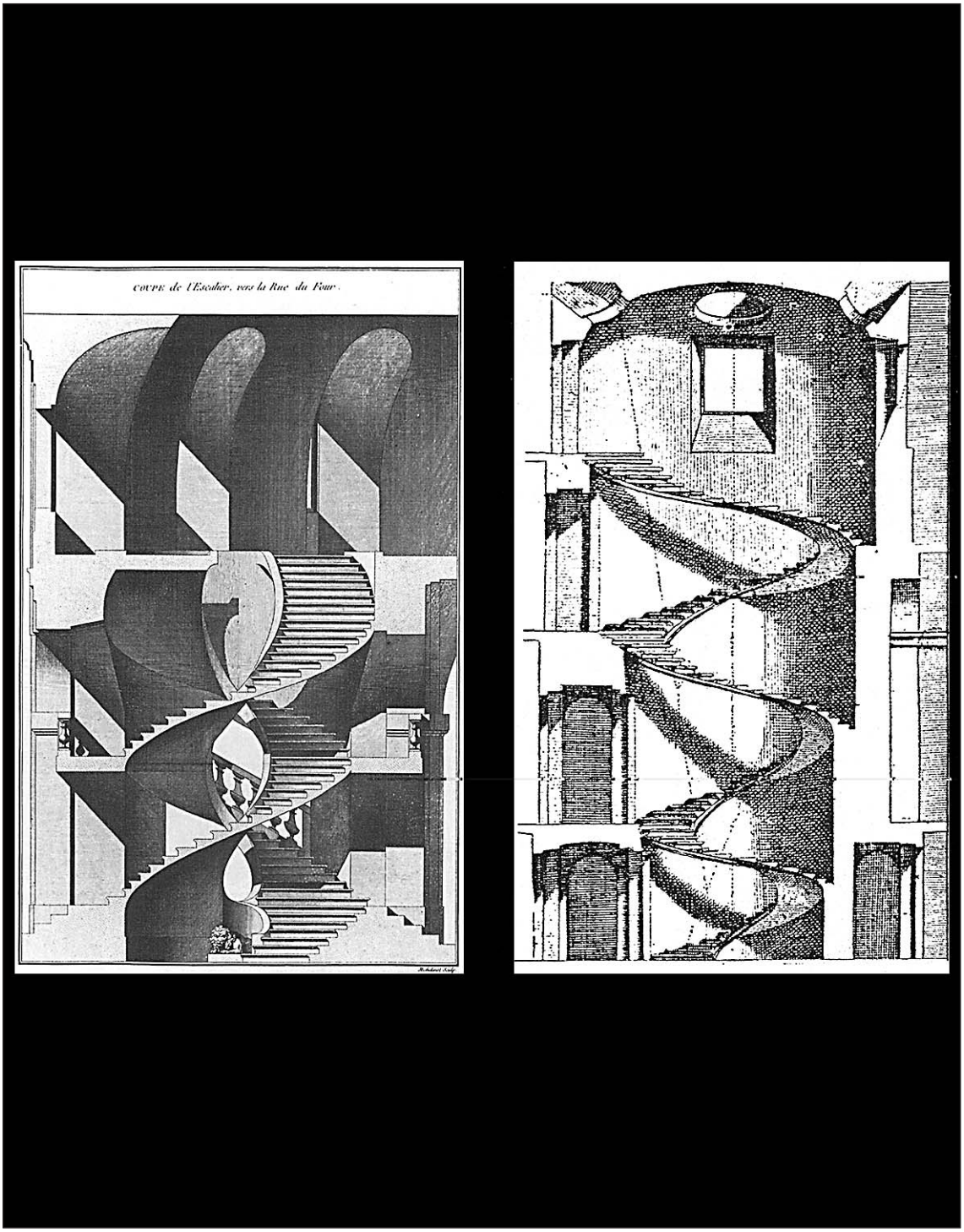


TAVOLA N° 324

Argomento della tavola: **Scala elicoidale a nucleo perimetrale continuo inscritta in due superfici coniche: rampa doppia e singola - le fonti;**

Fonti dell'elaborazione: **R. Evans, *Projective* cit (cfr. bibliografia), p. 218 (da *Recueil*, 1769). B. Vittone, *Istruzioni Diverse*cit. (cfr. bibliografia), tav. 18;**

Tipo di modellazione: **-**

Software utilizzati: **Rhinoceros, 3d Studio Max 5, Photoshop 7.**

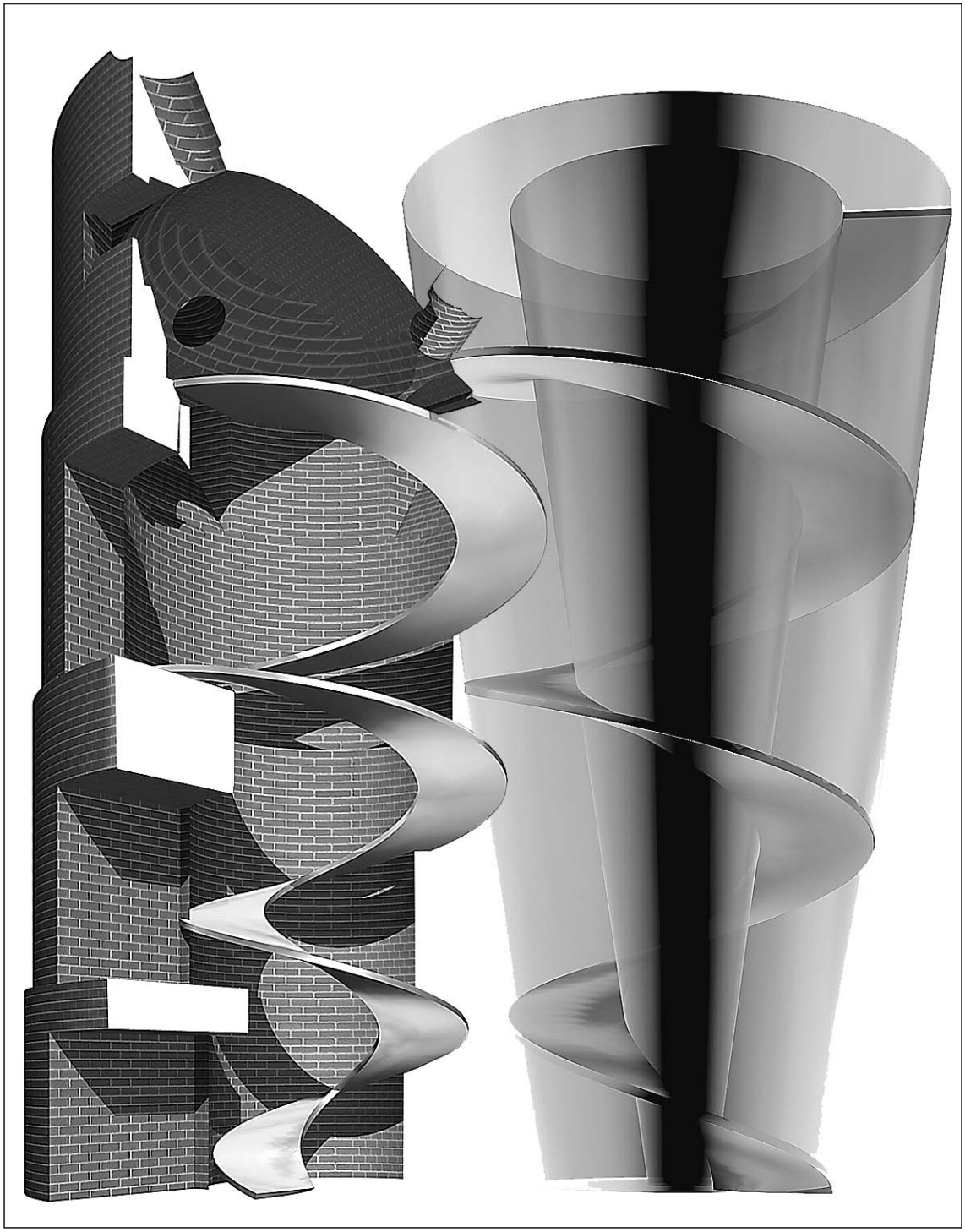


TAVOLA N° 325

Argomento della tavola:	**Scala elicoidale a nucleo perimetrale continuo inscritta in due superfici coniche: rampa singola, modello;**
Fonti dell'elaborazione:	**B. Vittone, *Istruzioni Diverse* cit. (cfr. bibliografia), tav. 18;**
Tipo di modellazione:	**3D Solido/superficiale;**
Software utilizzati:	**Rhinoceros, 3d Studio Max 5, Photoshop 7.**

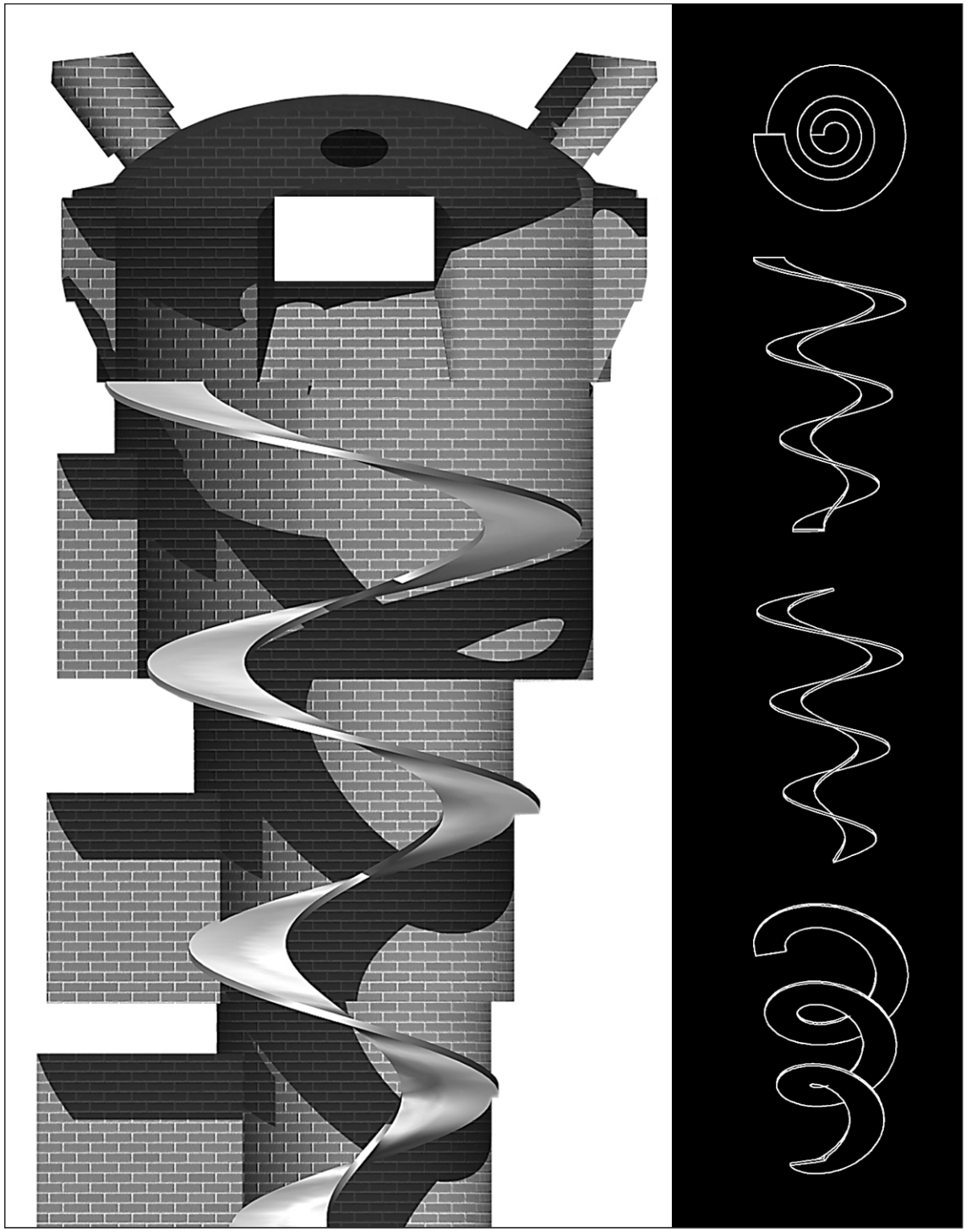


TAVOLA N° 326

Argomento della tavola: **Scala elicoidale a nucleo perimetrale continuo inscritta in due superfici coniche: rampa singola, modello - sezione e proiezioni;**

Fonti dell'elaborazione: **B. Vittone, *Istruzioni Diverse* cit. (cfr. bibliografia), tav. 18;**

Tipo di modellazione: **3D Solido/superficiale;**

Software utilizzati: **Rhinoceros, 3d Studio Max 5, Photoshop 7.**

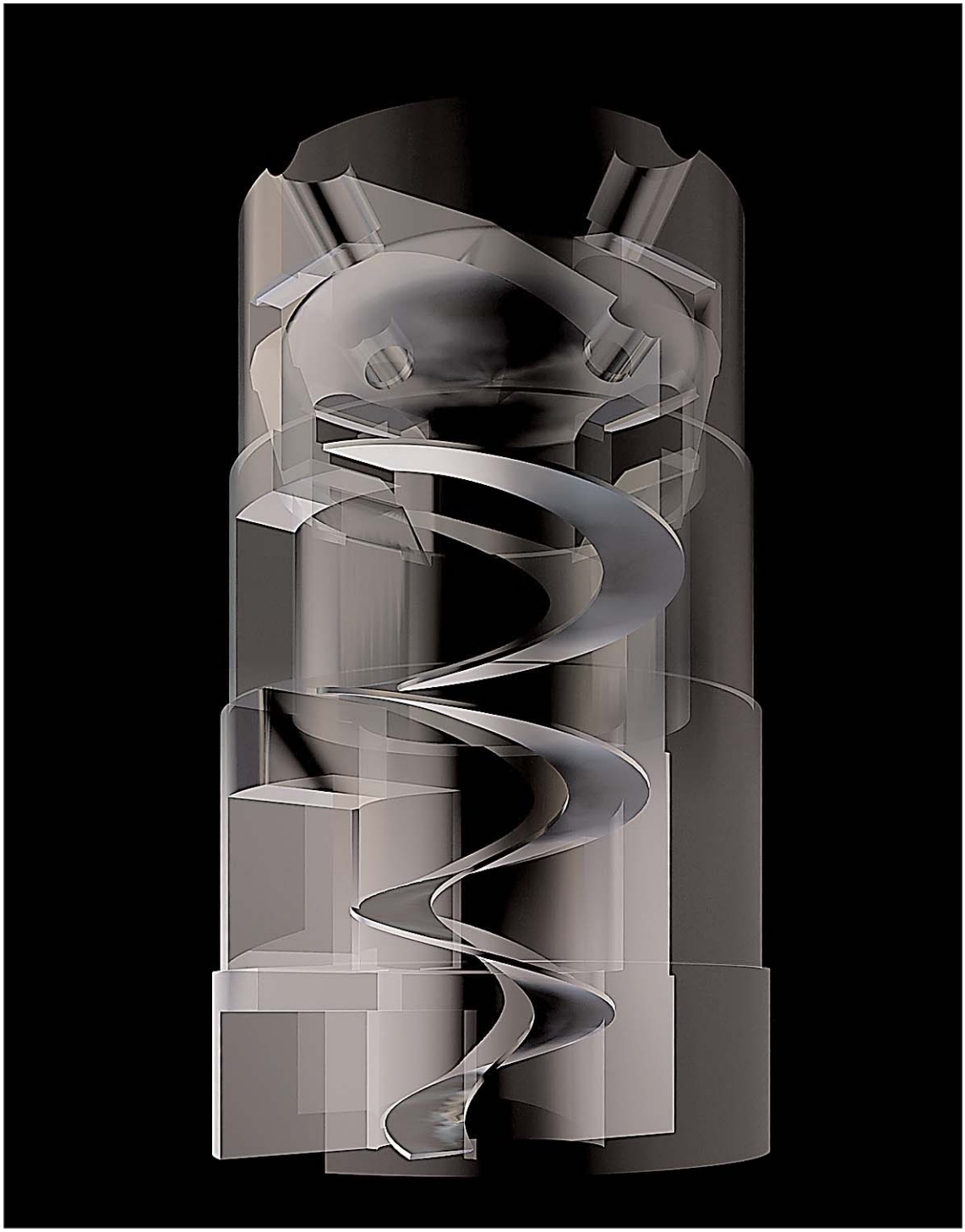


TAVOLA N° 327

Argomento della tavola:	**Scala elicoidale a nucleo perimetrale continuo inscritta in due superfici coniche: rampa singola, modello - l'ingombro;**
Fonti dell'elaborazione:	**B. Vittone, *Istruzioni Diverse* cit. (cfr. bibliografia), tav. 18;**
Tipo di modellazione:	**3D Solido/superficiale;**
Software utilizzati:	**Rhinoceros, 3d Studio Max 5, Photoshop 7.**

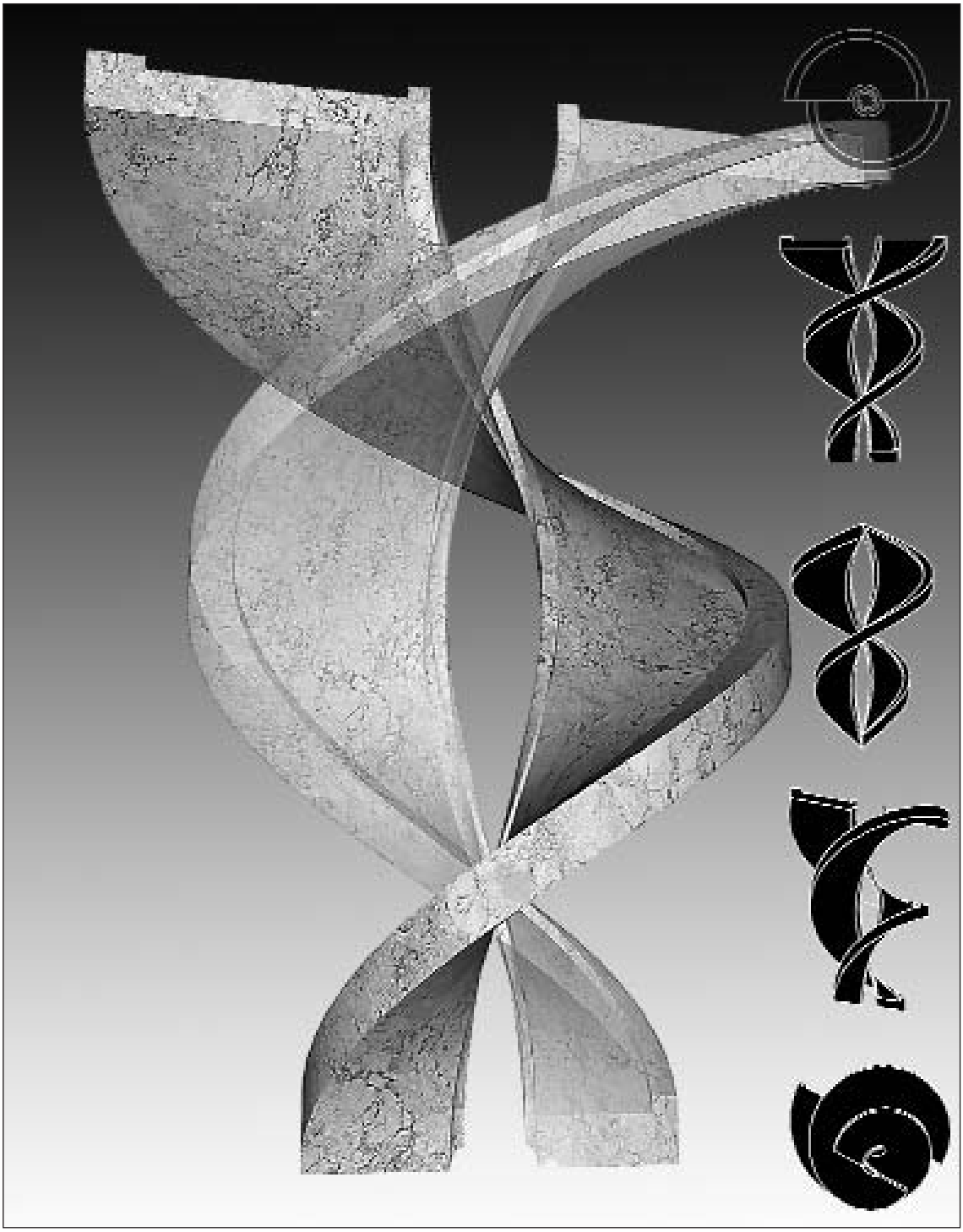


TAVOLA N° 328

Argomento della tavola: **Scala elicoidale a nucleo perimetrale continuo inscritta in due superfici coniche: rampa doppia, modello e proiezioni;**

Fonti dell'elaborazione: **R. Evans, *Projective* cit (cfr. bibliografia), p. 218 (da *Recueil*, 1769);**

Tipo di modellazione: **3D Solido/superficiale;**

Software utilizzati: **Rhinoceros, 3d Studio Max 5, Photoshop 7.**

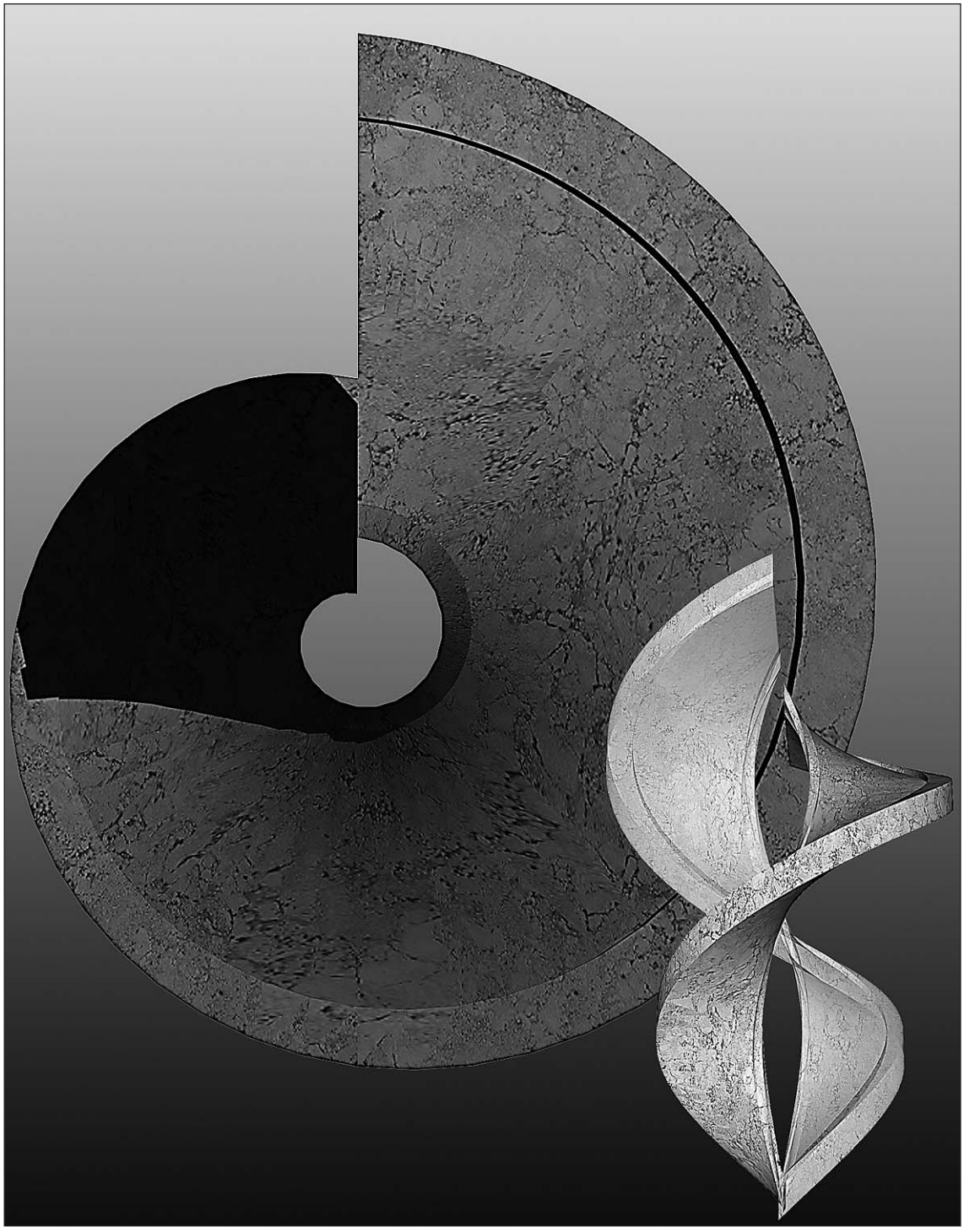


TAVOLA N° 329

Argomento della tavola:	**Scala elicoidale a nucleo perimetrale continuo inscritta in due superfici coniche: rampa doppia, modello e ipografia;**
Fonti dell'elaborazione:	**R. Evans, *Projective* cit (cfr. bibliografia), p. 218 (da *Recueil*, 1769);**
Tipo di modellazione:	**3D Solido/superficiale;**
Software utilizzati:	**Rhinoceros, 3d Studio Max 5, Photoshop 7.**

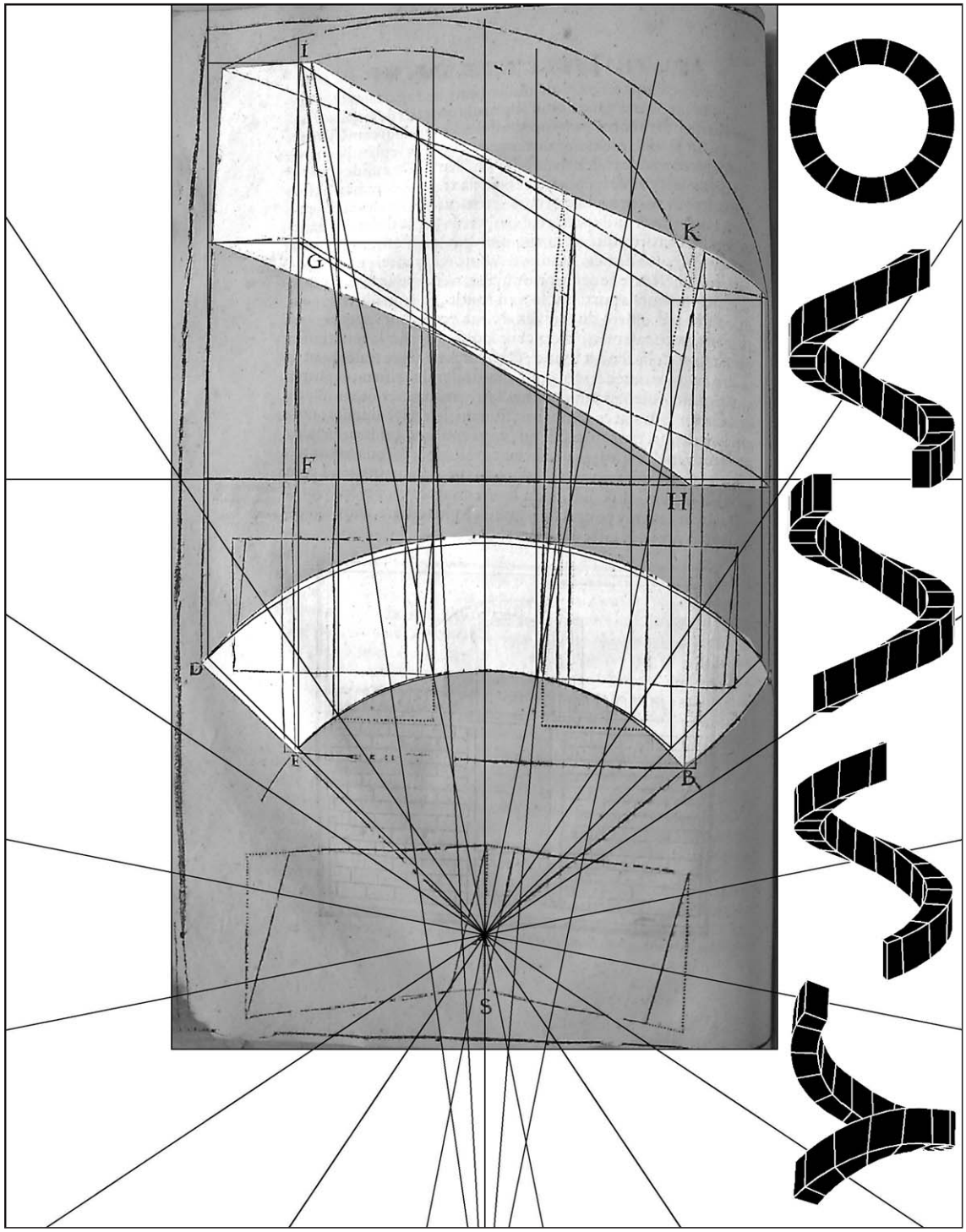


TAVOLA N° 330

Argomento della tavola: **Scala elicoidale a nucleo perimetrale puntiforme: architrave (cosciale) elicoidale, modello;**

Fonti dell'elaborazione: **P. Delorme, *Premiere* cit. (cfr. bibliografia), Libro IV, cap. XVII, f. 121 r;**

Tipo di modellazione: **3D Solido/superficiale;**

Software utilizzati: **Rhinoceros, 3d Studio Max 5, Photoshop 7.**

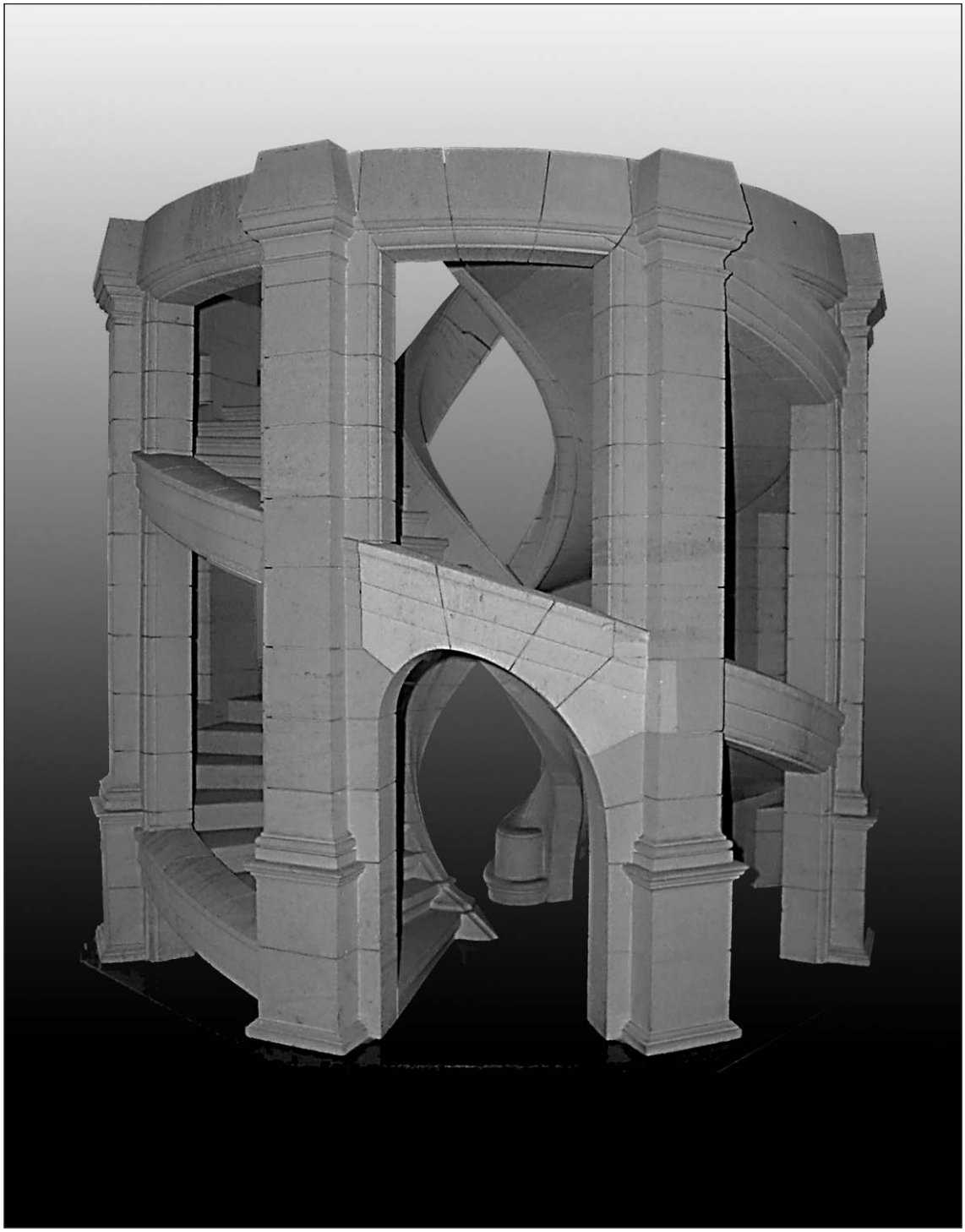


TAVOLA N° 331

Argomento della tavola: **Scala elicoidale a nucleo perimetrale puntiforme a doppia rampa: architrave e cosciale elicoidali, modello lapideo;**

Fonti dell'elaborazione: **Rilievo fotografico in situ: Meson de Compagnon, Hotel de Ville Paris;**

Tipo di modellazione: **-**

Software utilizzati: **Photoshop 7.**



TAVOLA N° 332

Argomento della tavola: **Scala elicoidale a nucleo perimetrale puntiforme a doppia rampa: architrave e cosciale elicoidali, modello lapideo - dettaglio cosciali interni;**

Fonti dell'elaborazione: **Rilievo fotografico in situ: Meson de Compagnon, Hotel de Ville Paris;**

Tipo di modellazione: **-**

Software utilizzati: **Photoshop 7.**

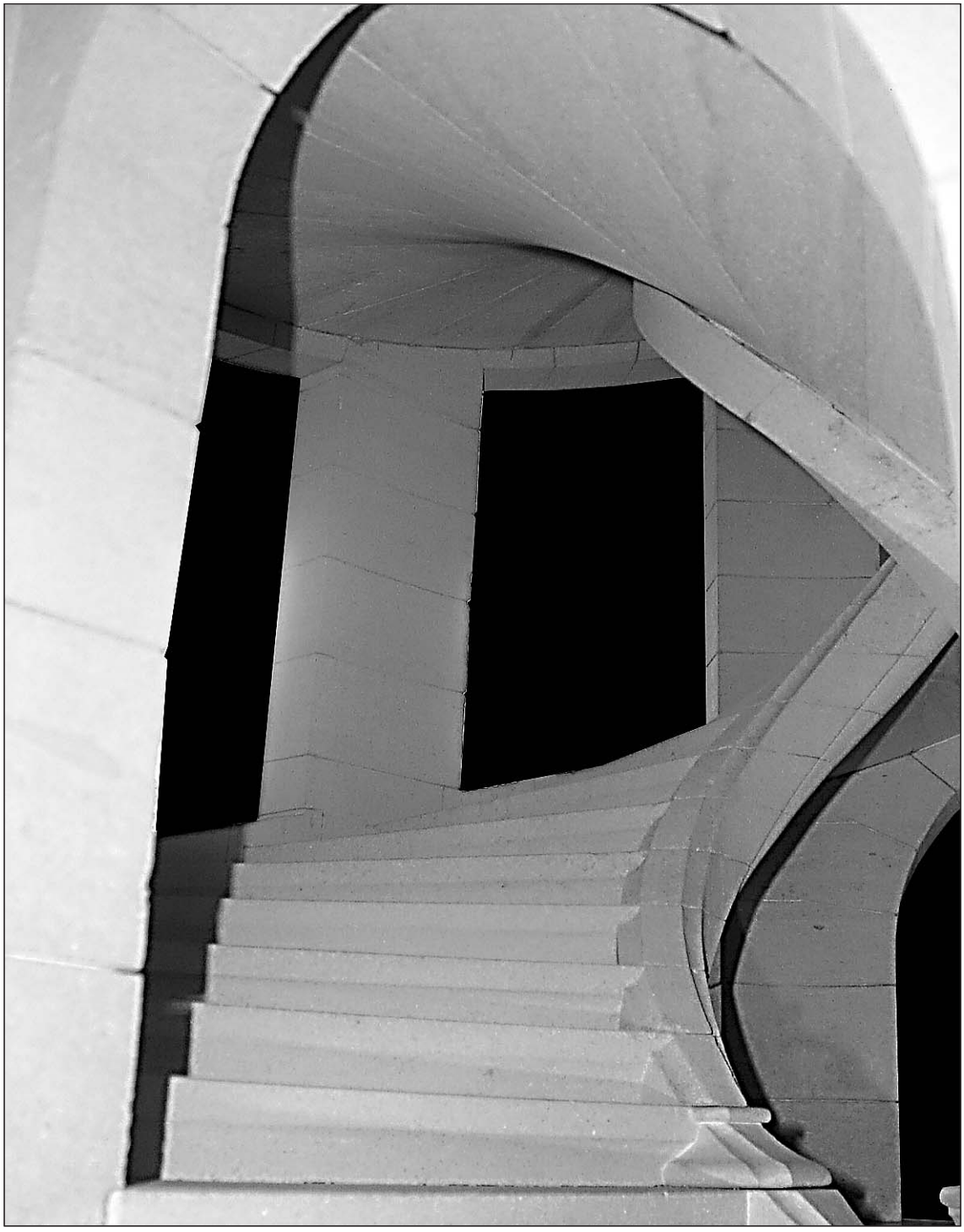


TAVOLA N° 333

Argomento della tavola: **Scala elicoidale a nucleo perimetrale puntiforme a doppia rampa: architrave e cosciale elicoidali, modello lapideo - dettaglio sup. intradossale;**

Fonti dell'elaborazione: **Rilievo fotografico in situ: Meson de Compagnon, Hotel de Ville Paris;**

Tipo di modellazione: **-**

Software utilizzati: **Photoshop 7.**

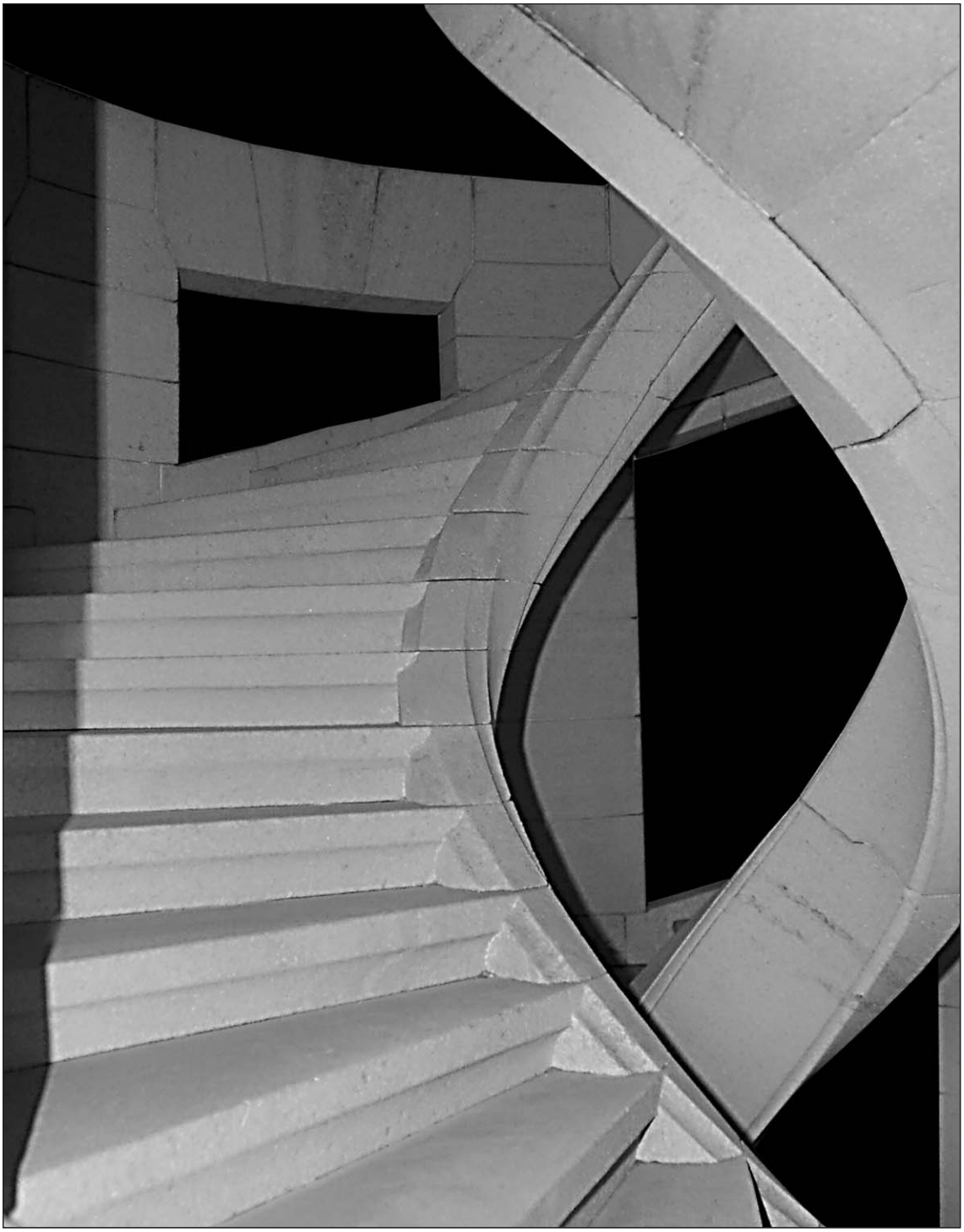


TAVOLA N° 334

Argomento della tavola: **Scala elicoidale a nucleo perimetrale puntiforme a doppia rampa: architrave e cosciale elicoidali, modello lapideo - dettaglio cosciali e gradini;**

Fonti dell'elaborazione: **Rilievo fotografico in situ: Meson de Compagnon, Hotel de Ville Paris;**

Tipo di modellazione: **-**

Software utilizzati: **Photoshop 7.**

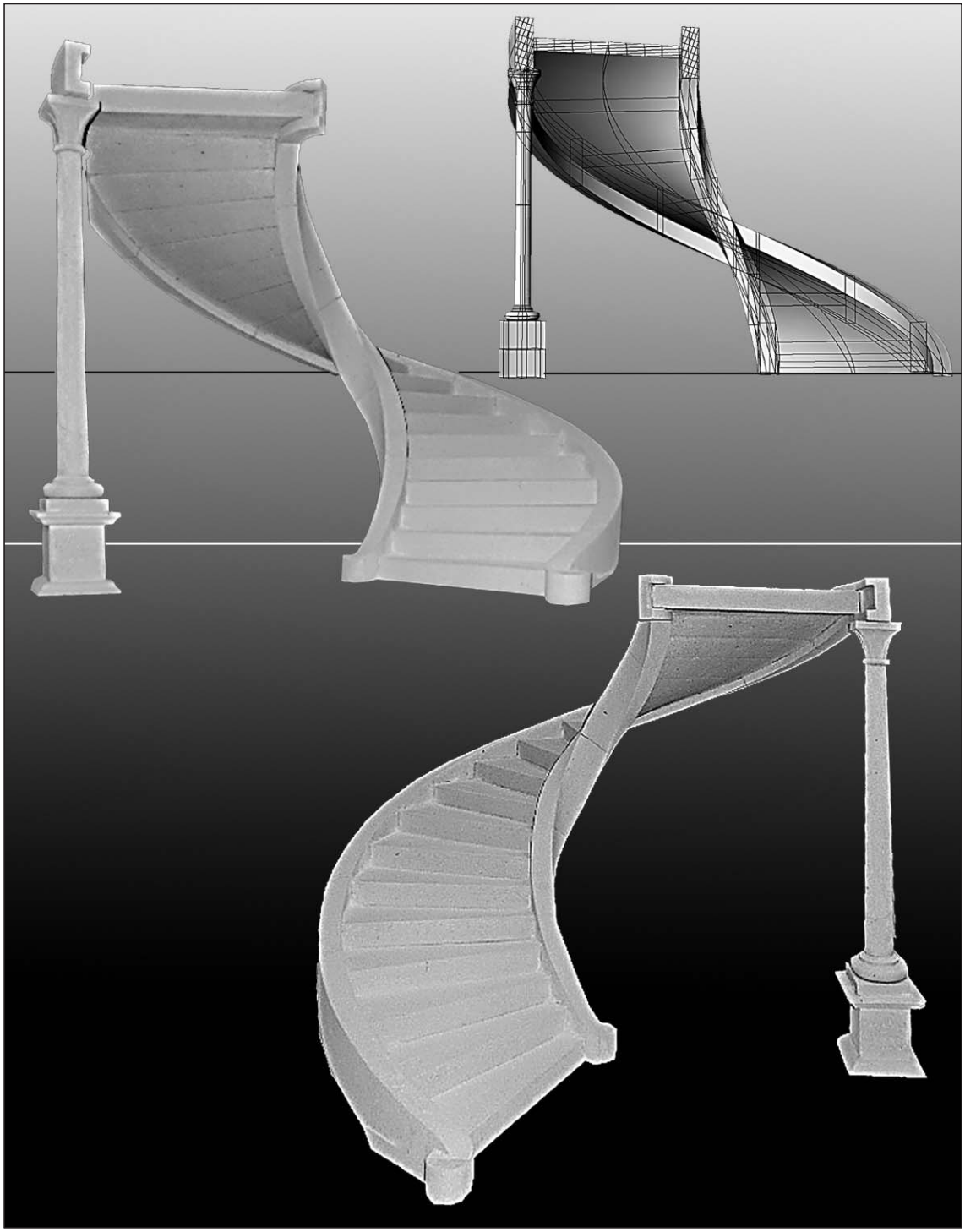


TAVOLA N° 335

Argomento della tavola:	**Scala elicoidale a nucleo perimetrale puntiforme su colonna a rampa singola: modello lapideo e infografico;**
Fonti dell'elaborazione:	**Rilievo fotografico in situ: Atelier Saint Jacques, (Compagnon du Devoir) Paris;**
Tipo di modellazione:	**3D Solido/superficiale;**
Software utilizzati:	**Rhinoceros, 3d Studio Max 5, Photoshop 7.**

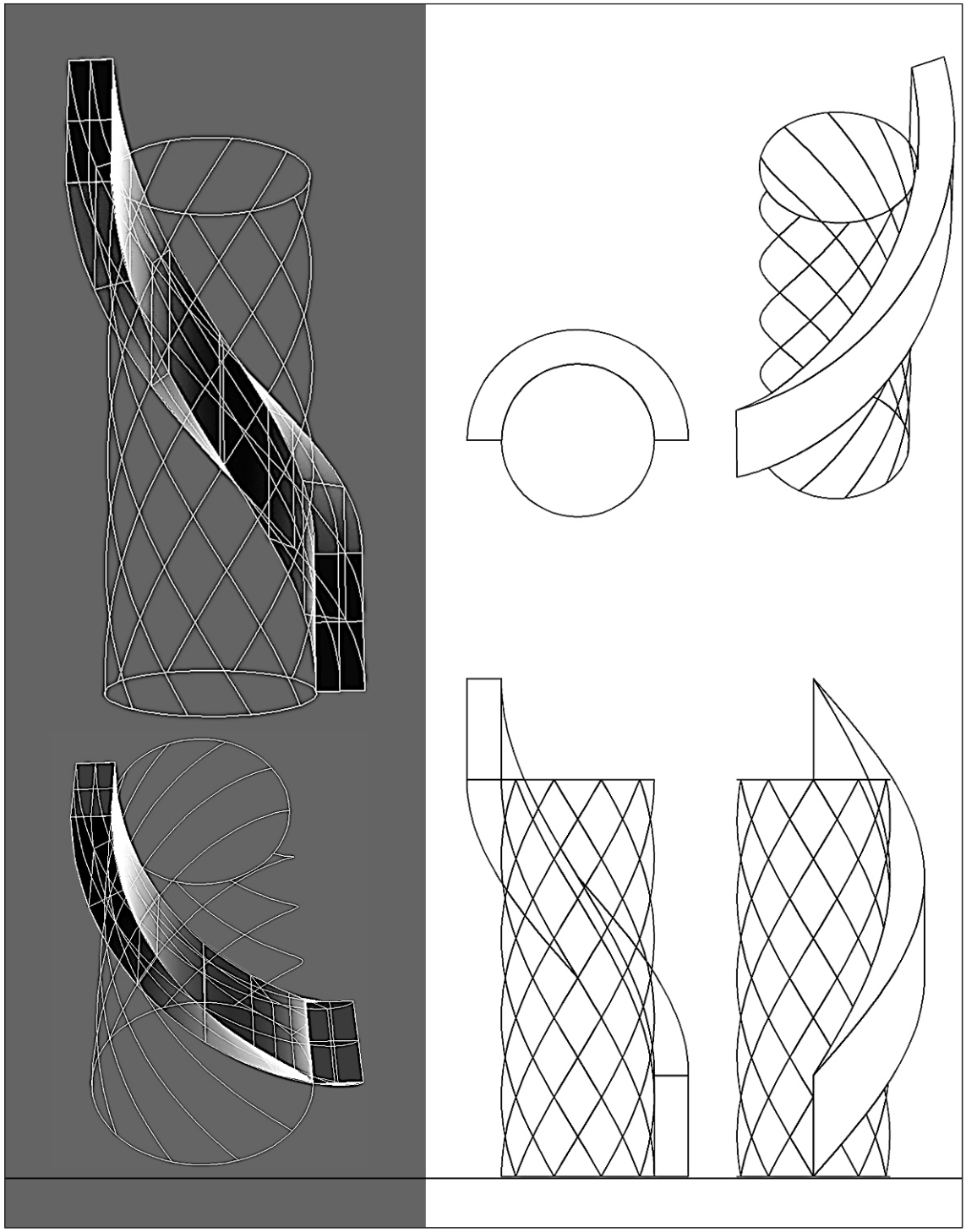


TAVOLA N° 336

Argomento della tavola: **Scala elicoidale: geometria del cosciale elicoidale;**

Fonti dell'elaborazione: **progetto;**

Tipo di modellazione: **3D Solido/superficiale;**

Software utilizzati: **Rhinoceros, 3d Studio Max 5, Photoshop 7.**

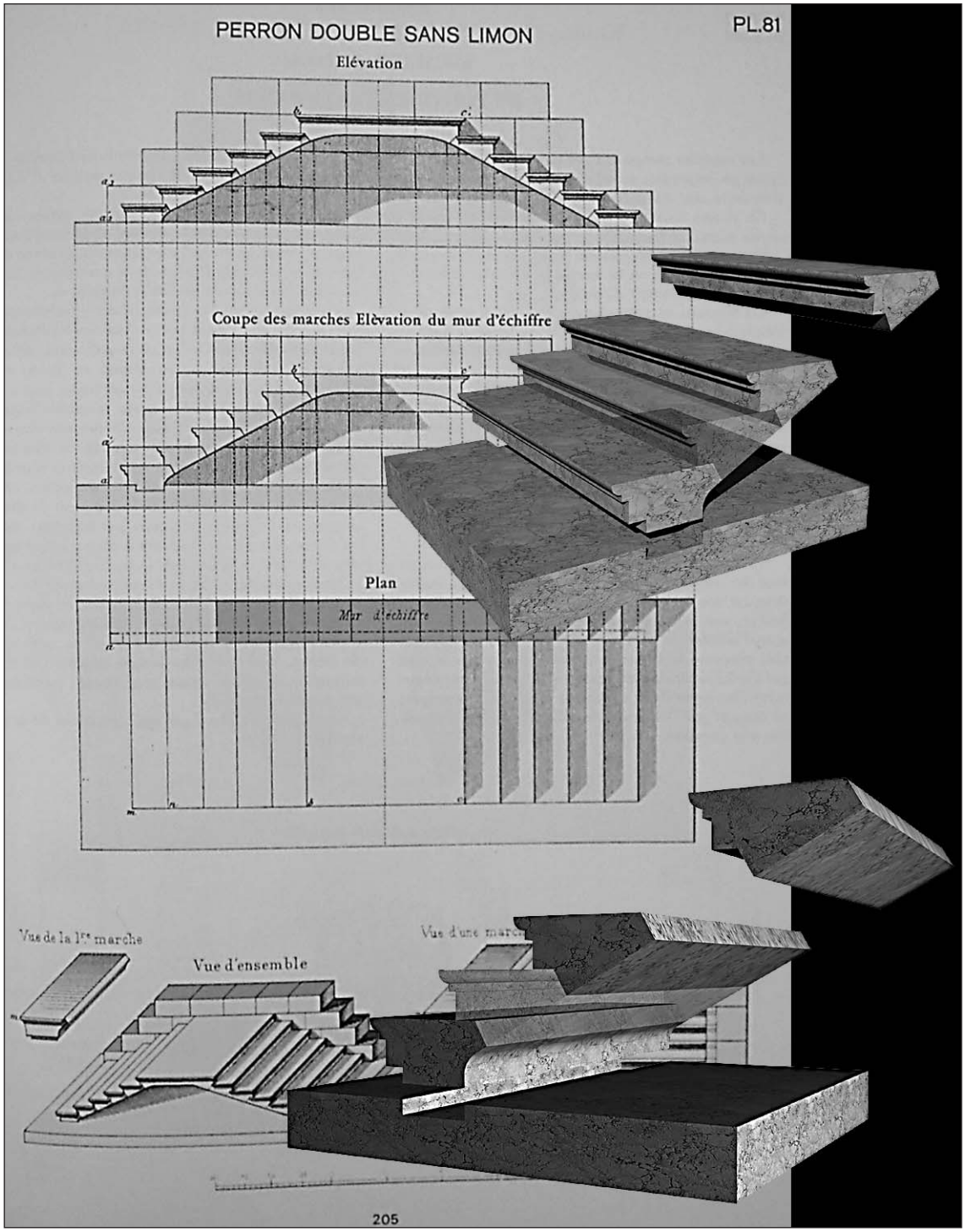


TAVOLA N° 337

Argomento della tavola: **Scala con gradini ad incastro: modello;**

Fonti dell'elaborazione: **L. Monduit, *Traité* cit. (cfr. bibliografia), pl. 81;**

Tipo di modellazione: **3D Solido/superficiale;**

Software utilizzati: **Autocad 2004, 3DStudio Max 5, Photoshop 7.**

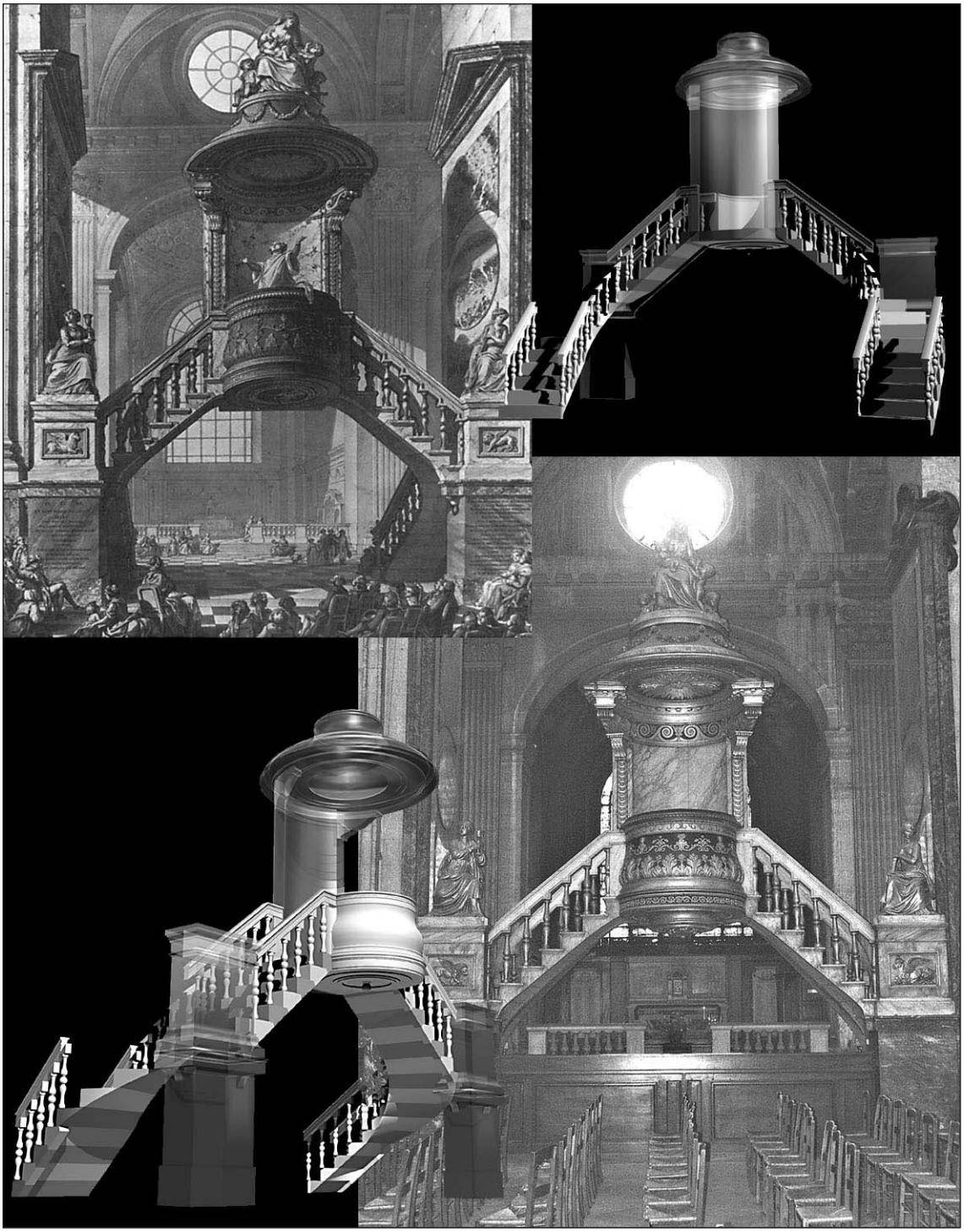


TAVOLA N° 338

Argomento della tavola: **Scala aerea con gradini ad incastro: pulpito a Saint-Sulpice, Parigi. Reale/virtuale;**

Fonti dell'elaborazione: **R. Evans, *Projective* cit (cfr. bibliografia), p. 194 (Charles de Wailly, 1789). Rilievo fotog. in situ;**

Tipo di modellazione: **3D Solido/superficiale;**

Software utilizzati: **Autocad 2004, 3DStudio Max 5, Photoshop 7.**



TAVOLA N° 339

Argomento della tavola:	**Scala aerea con gradini ad incastro: pulpito a Saint-Sulpice, Parigi - foto d'insieme e di det taglio;**
Fonti dell'elaborazione:	**R. Evans, *Projective* cit (cfr. bibliografia), p. 194 (Charles de Wailly, 1789). Rilievo fotog. in situ;**
Tipo di modellazione:	**3D Solido/superficiale;**
Software utilizzati:	**Autocad 2004, 3DStudio Max 5, Photoshop 7.**



TAVOLA N° 340

Argomento della tavola: **Scala aerea con gradini ad incastro: pulpito a Saint-Sulpice, Parigi - foto di dettaglio;**

Fonti dell'elaborazione: **R. Evans, *Projective* cit (cfr. bibliografia), p. 194 (Charles de Wailly, 1789). Rilievo fotog. in situ;**

Tipo di modellazione: **3D Solido/superficiale;**

Software utilizzati: **Autocad 2004, 3DStudio Max 5, Photoshop 7.**

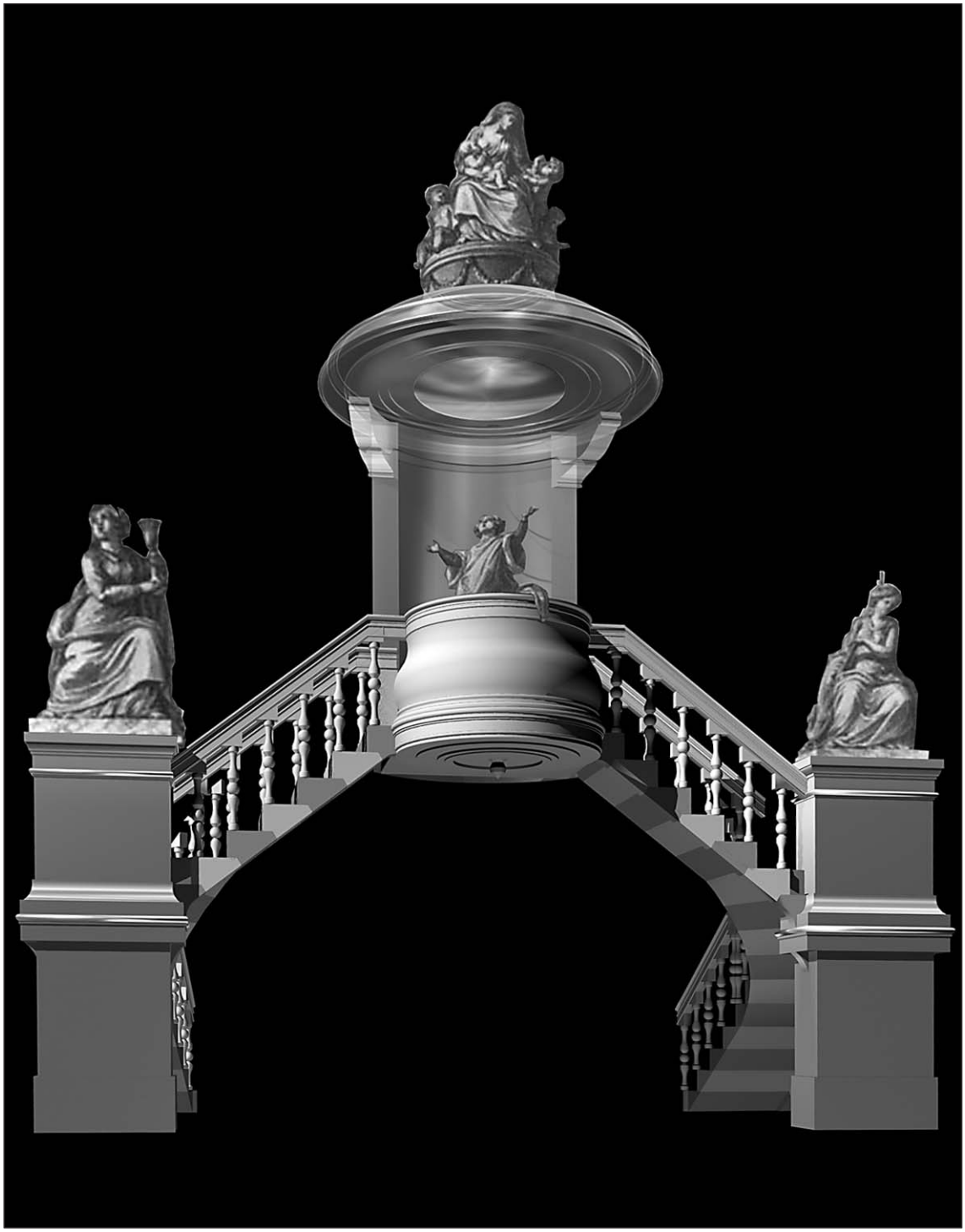


TAVOLA N° 341

Argomento della tavola: **Scala aerea con gradini ad incastro: pulpito a Saint-Sulpice, Parigi. Modello infografico 1;**

Fonti dell'elaborazione: **R. Evans, *Projective* cit (cfr. bibliografia), p. 194 (Charles de Wailly, 1789). Rilievo fotog. in situ;**

Tipo di modellazione: **3D Solido/superficiale;**

Software utilizzati: **Autocad 2004, 3DStudio Max 5, Photoshop 7.**



TAVOLA N° 342

Argomento della tavola: **Scala aerea con gradini ad incastro: pulpito a Saint-Sulpice, Parigi. Modello infografico 2;**

Fonti dell'elaborazione: **R. Evans, *Projective* cit (cfr. bibliografia), p. 194 (Charles de Wailly, 1789). Rilievo fotog. in situ;**

Tipo di modellazione: **3D Solido/superficiale;**

Software utilizzati: **Autocad 2004, 3DStudio Max 5, Photoshop 7.**

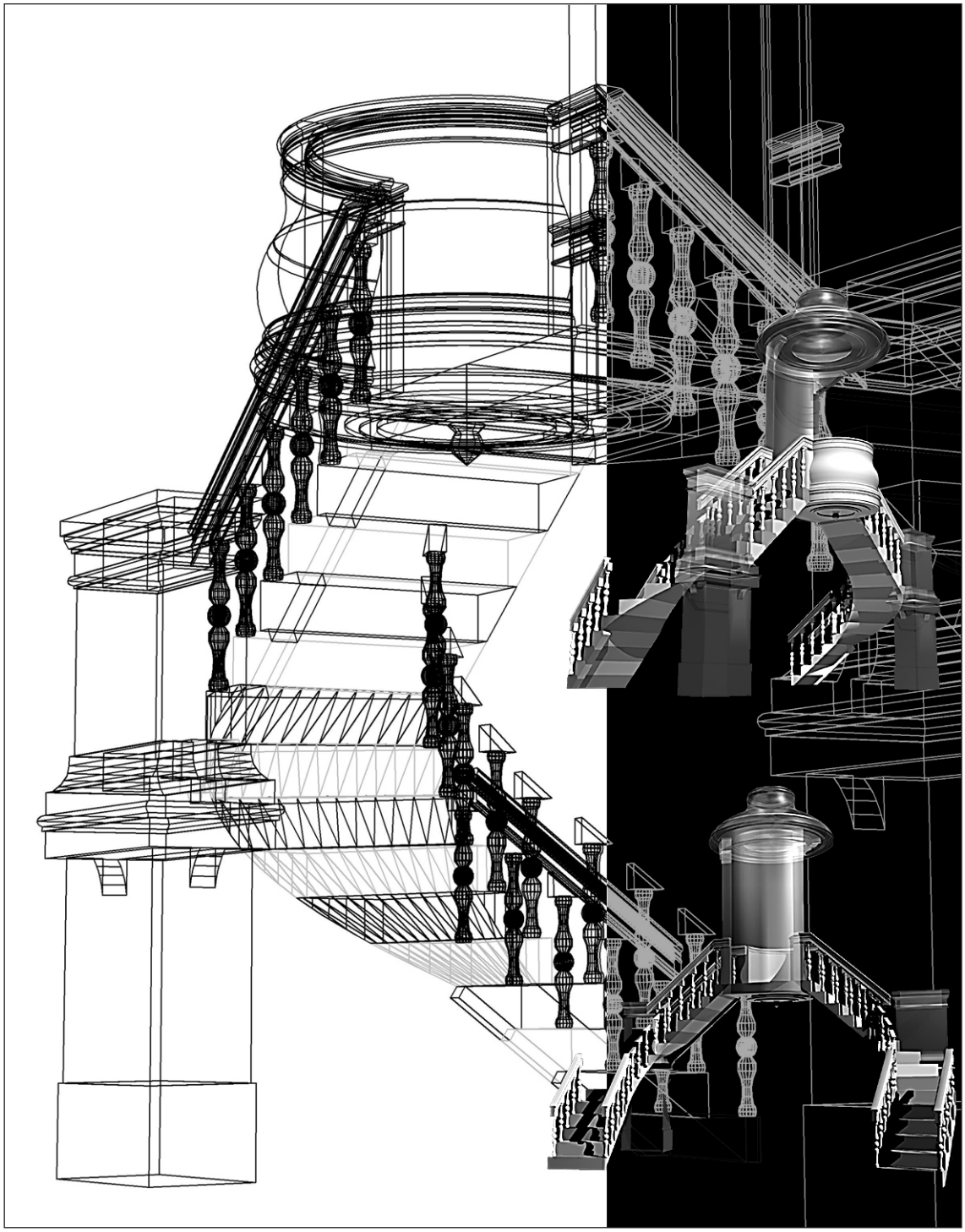


TAVOLA N° 343

Argomento della tavola: **Scala aerea con gradini ad incastro: pulpito a Saint-Sulpice, Parigi. Modello infografico 3;**

Fonti dell'elaborazione: **R. Evans, *Projective* cit (cfr. bibliografia), p. 194 (Charles de Wailly, 1789). Rilievo fotog. in situ;**

Tipo di modellazione: **3D Solido/superficiale;**

Software utilizzati: **Autocad 2004, 3DStudio Max 5, Photoshop 7.**



TAVOLA N° 344

Argomento della tavola: **Scale aeree: tipi composti;**

Fonti dell'elaborazione: **Rilievo fotografico: Bordeaux (sin.), Arles (des.);**

Tipo di modellazione: **-**

Software utilizzati: **Photoshop 7.**

11. Stereotomia e modellazione parametrica

introduzione metodologica

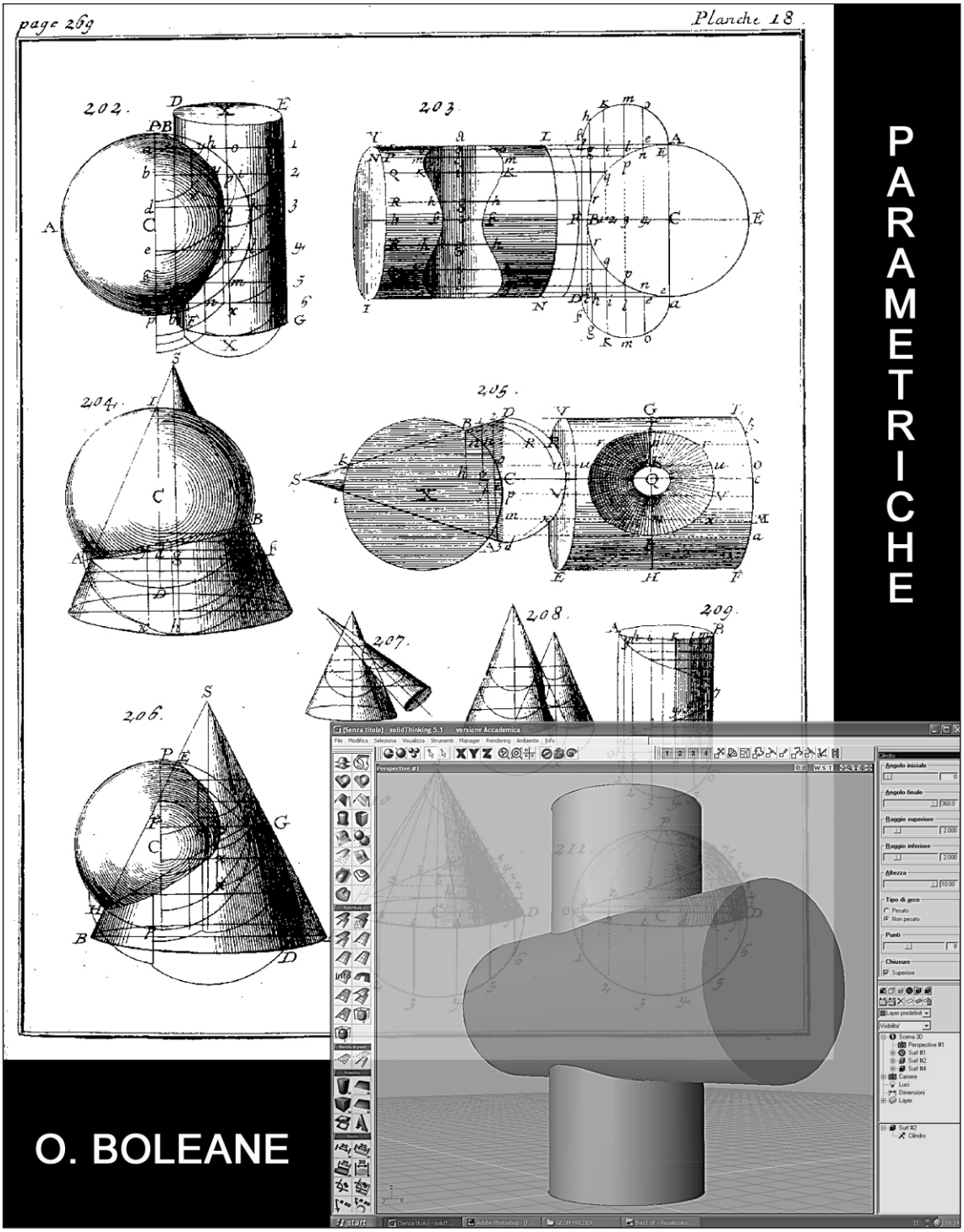


TAVOLA N° 345

Argomento della tavola: **Operazioni Booleane parametriche: due cilindri;**

Fonti dell'elaborazione: **A.-F. Frézier, *La théorie* cit. (cfr. bibliografia), t. I, pl. 18, p. 269;**

Tipo di modellazione: **3D Solido/parametrica;**

Software utilizzati: **Solidthinking, Photoshop 7.**

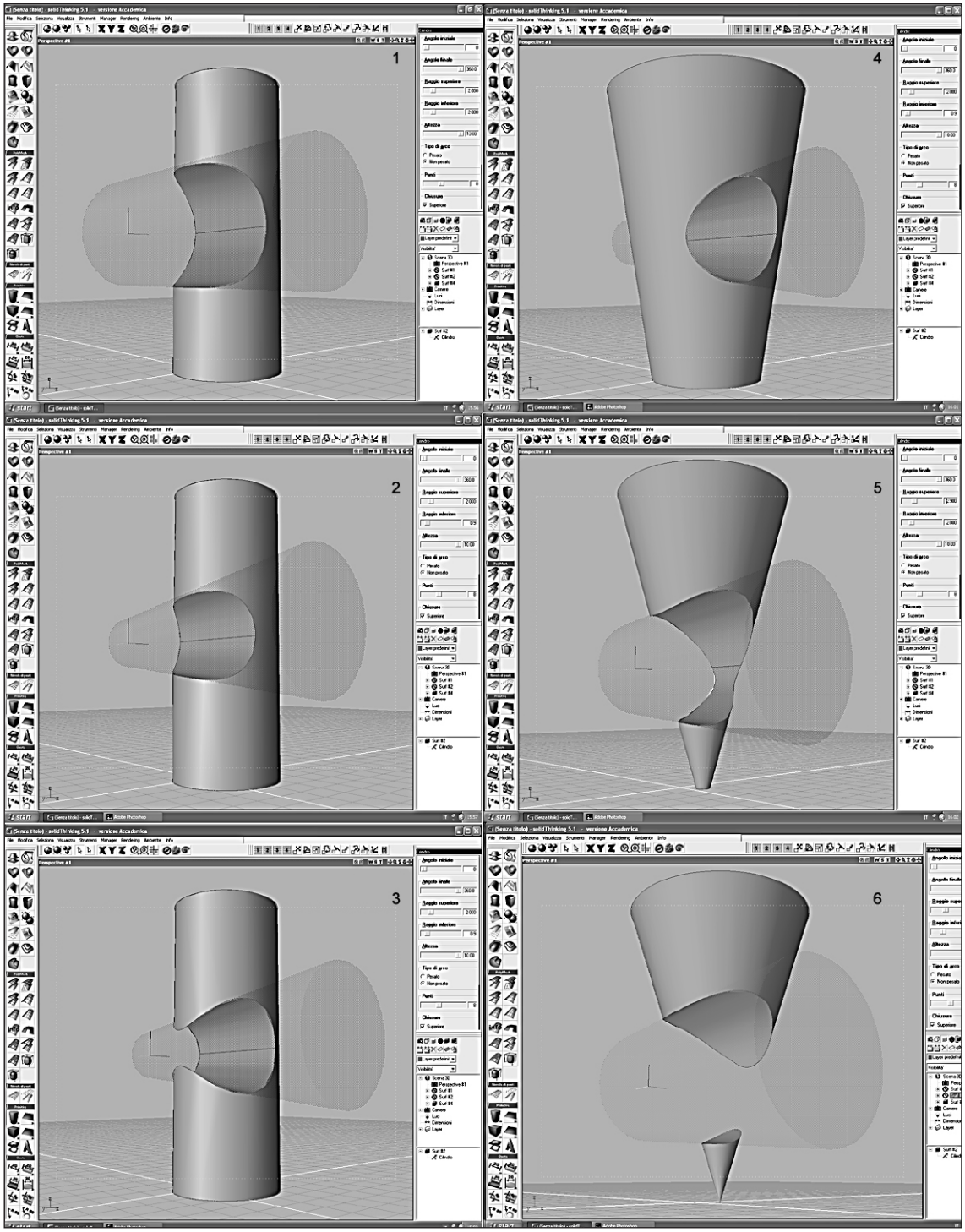


TAVOLA N° 346

Argomento della tavola: **Operazioni Booleane parametriche: due cilindri, variazioni;**

Fonti dell'elaborazione: **A.-F. Frézier, *La théorie* cit. (cfr. bibliografia), t. I, pl. 18, p. 269;**

Tipo di modellazione: **3D Solido/parametrica;**

Software utilizzati: **Solidthinking, Photoshop 7.**

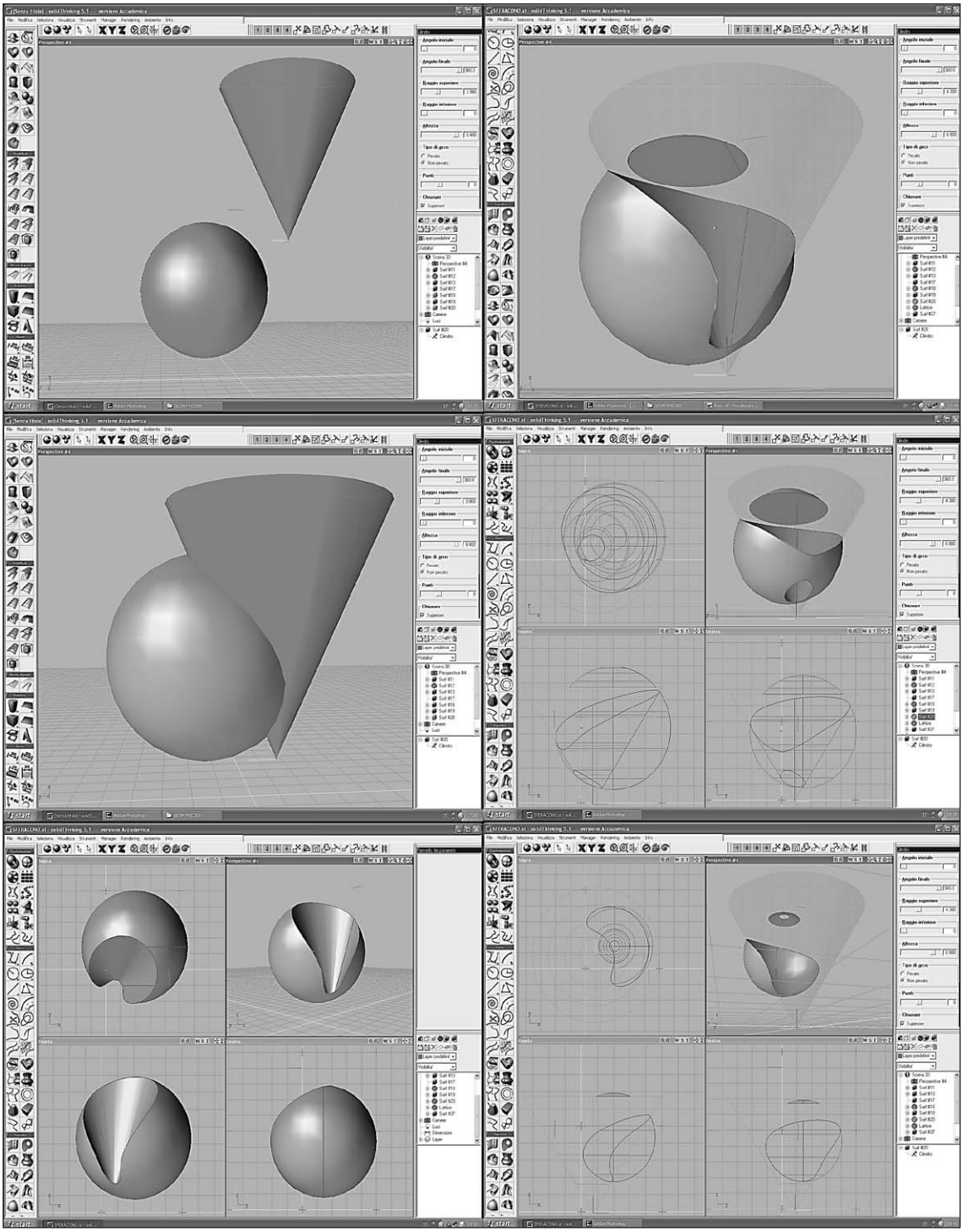


TAVOLA N° 347

Argomento della tavola: **Operazioni Booleane parametriche: cono e sfera, variazioni;**

Fonti dell'elaborazione: **A.-F. Frézier, *La théorie* cit. (cfr. bibliografia), t. I, pl. 18, p. 269;**

Tipo di modellazione: **3D Solido/parametrica;**

Software utilizzati: **Solidthinking, Photoshop 7.**

Fine